

GUIPAVAS (Finistère)  
ZAC Nord Lavallot

# Occupations diachroniques du plateau léonard : Des premiers agriculteurs à la libération de Brest

sous la direction de

Yvan Pailler



Inrap Grand Ouest  
Août 2015





**Rapport d'opération**  
Diagnostic archéologique

**GUIPAVAS (Finistère)**  
**ZAC Nord Lavallot**

Code INSEE  
29 075

Nr site  
-

Entité archéologique  
n° -

Arrêté de prescription  
SRA 2014-318

Système d'information

Code Inrap  
D022722

sous la direction de

**Yvan Paillet**

avec la contribution de

**Kevin Bideau**  
**Vérane Brisotto**  
**Emmanuelle Coffineau**  
**Bernard Hallégouët**  
**Lucie Jouan**  
**Daniel Léal**  
**Myriam Le Puil-Textier**  
**Théophane Nicolas**

avec la collaboration de

**Anne Boterf**  
**François Briand**  
**Julie Conan**  
**Aneta Gorczynska**  
**André Nové Josserand**  
**Pierrick Leblanc**  
**Emeline Le Goff**  
**Frédéric Maret**  
**Anne-Sophie Paranthoën**  
**Patrick Pihuit**  
**Pierre Stéphane**

**Inrap Grand Ouest**

37 rue du Bignon CS 67737

35 577 Cesson-Sévigné

Tél. 02 23 36 00 40 grand-ouest@inrap.fr

**Août 2015**

# Sommaire

## Données administratives, techniques et scientifiques

8	Fiche signalétique
9	Mots-clefs des thesaurus
10	Intervenants
10	Intervenants scientifiques
10	Intervenants administratifs
10	Intervenants techniques
11	Équipe de diagnostic
11	Collaborations
11	Équipe de post-fouille
12	Localisation de l'opération
13	Extrait cadastral
14	Notice scientifique
15	Arrêté de prescription
21	Projet de diagnostic
24	Arrêté de désignation
25	Listing des tranchées

## Résultats

29	<b>1. Présentation de l'opération</b>
29	<b>1.1. Contexte d'intervention</b>
29	1.1.1. Cadre général
31	1.1.2. Stratégie et méthode mise en œuvre
35	1.1.3. Surfaces diagnostiquées
35	<b>1.2. Cadre géographique et géologique (B. Hallégouët)</b>
35	1.2.1. Guipavas : cadre général
36	1.2.2. Milieu physique
36	1.2.2.1. Géologie
36	1.2.2.2. Altérites
38	1.2.2.3. Dépôts superficiels
38	1.2.3. L'emprise du diagnostic
40	<b>1.3. L'apport de la micro-toponymie à partir de l'examen du cadastre napoléonien et des sources anciennes (D. Léal)</b>
40	1.3.1. Kerervern (fig. 11)
42	1.3.2. Kerinvarch (fig. 12)
43	1.3.3. Ty Rus (fig. 13)
45	1.3.4. Scraign (fig. 14)
47	1.3.5. Scraign 1 (fig. 16)
49	<b>1.4. Contexte archéologique</b>
49	1.4.1. Préhistoire
49	1.4.2. De la fin de la Protohistoire au Moyen Age

53	<b>2.</b>	<b>Les vestiges mis en évidence</b>
53	<b>2.1.</b>	<b>Présentation</b>
55	<b>2.2.</b>	<b>Le Néolithique</b>
55	2.2.1.	Des structures du Néolithique ancien en tranchée 21
61	2.2.2.	Des foyers du Néolithique moyen 2 en tranchée 39
61	2.2.1.1.	Le foyer F1071
63	2.2.1.2.	Les autres foyers proches de F1071
65	2.2.1.3.	D'autres foyers à pierres chauffées non datés
68	2.2.3.	Des foyers à pierres chauffées non datés au nord-est de l'emprise
77	2.2.4.	Conclusion
81	<b>2.3.</b>	<b>Le Campaniforme / Age du Bronze ancien (Y. Pailler, T. Nicolas)</b>
81	2.3.1.	Le Campaniforme
81	2.3.1.1.	Le fait F523 en tranchée 26
86	2.3.1.2.	La fosse F477, Tr. 26
89	2.3.1.3.	D'autres structures autour de F523 et 477
89	2.3.1.4.	Plus au nord, dans la pente
93	2.3.2.	Un indice du Bronze ancien
97	<b>2.4.</b>	<b>Une présence discrète à l'âge du Fer (Y. Pailler, T. Nicolas, V. Brisotto)</b>
97	2.4.1.	Des indices d'une occupation du premier âge du Fer
101	2.4.2.	Des indices d'une occupation de la Tène
103	<b>2.5.</b>	<b>La Protohistoire au sens large</b>
103	2.5.1.	Une fosse isolée
103	2.5.2.	Des fossés protohistoriques ?
105	2.5.3.	Un foyer/four
110	2.5.4.	Une fosse d'extraction, F685 en Tr 40
115	<b>2.6.</b>	<b>Le Haut-Empire</b>
115	2.6.1.	Deux tombes à crémation secondaires antiques (M. Le Puil-Texier)
115	2.6.1.1.	Objectifs et méthode d'analyse des dépôts osseux
117	2.6.1.2.	La tombe F734 en tranchée 39
120	2.6.1.3.	La tombe F1078 en tranchée 39
121	2.6.1.4.	Une modeste unité funéraire du Haut-Empire
123	2.6.2.	Une occupation domestique associée à du parcellaire
123	2.6.2.1.	Des trous de poteau, des fosses et des foyers
129	2.6.2.2.	Des fossés de parcellaire
143	2.6.3.	Une occupation gallo-romaine de part et d'autre d'une carrière
143	2.6.3.1.	La carrière
147	2.6.3.2.	Un enclos quadrangulaire
151	2.6.3.3.	Le parcellaire
155	2.6.3.4.	Les fosses et les trous de poteau (fig. 147)
155	2.6.3.5.	Pour conclure
156	2.6.4.	Présentation générale de la céramique gallo-romaine (E. Coffineau)
156	2.6.4.1.	La céramique commune
156	2.6.4.2.	La céramique modelée
157	2.6.4.3.	La céramique fine
157	2.6.4.4.	Les amphores
157	2.6.4.5.	Les urnes funéraires
159	<b>2.7.</b>	<b>Le Moyen Age</b>
159	2.7.1.	Le haut Moyen Age
159	2.7.1.1.	Découverte d'un cimetière médiéval (M. Le Puil-Texier <sup>12</sup> )
171	2.7.1.2.	Une occupation domestique du haut Moyen Age
183	2.7.1.3.	Quelques indices du haut Moyen Age
187	2.7.1.4.	La céramique du haut Moyen Age (E. Coffineau)
189	2.7.2.	Un habitat du bas Moyen Age
189	2.7.2.1.	Les fossés
195	2.7.2.2.	Les structures de combustion
197	2.7.2.3.	Un niveau de démolition ?
197	2.7.2.4.	Des fosses
197	2.7.2.5.	La céramique du bas Moyen Age (E. Coffineau)
199	2.7.2.6.	Pour conclure

<b>201</b>	<b>2.8.</b>	<b>La période moderne</b>
201	2.8.1	Description des faits
201	2.8.2	La céramique moderne (E. Coffineau)
<b>203</b>	<b>2.9.</b>	<b>La période contemporaine</b>
203	2.9.1.	Un réseau de parcelles (fig. 208)
211	2.9.2.	Des vestiges de la deuxième Guerre Mondiale (K. Bideau)
211	2.9.2.1.	La fosse dépotoir F703 (Tr 41)
217	2.9.2.2.	La fosse F1018 (Tr 77)
218	2.9.2.3.	Conclusion
<b>219</b>	<b>2.10.</b>	<b>Les structures non attribuées chronologiquement</b>

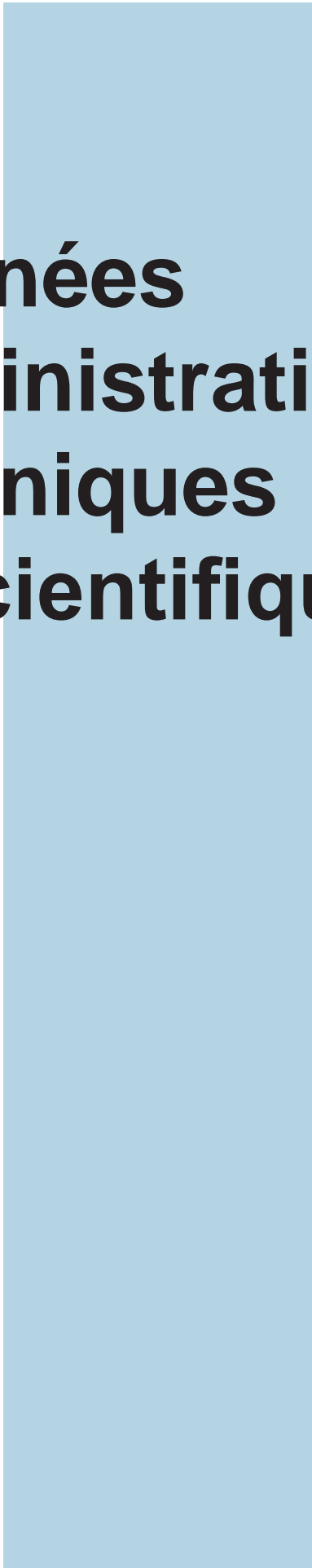
**223 3. Conclusion**

**225 Annexes**

**228 Bibliographie**

## Inventaires techniques

<b>236</b>	<b>Inventaire des faits</b>
<b>328</b>	<b>Inventaire du mobilier lithique</b>
<b>330</b>	<b>Inventaire des céramiques protohistoriques</b>
<b>331</b>	<b>Inventaire des céramiques historiques</b>
<b>335</b>	<b>Inventaire du mobilier de la Deuxième Guerre Mondiale</b>
<b>336</b>	<b>Inventaire des photos</b>



**I. Données  
administratives,  
techniques  
et scientifiques**

# Fiche signalétique

## Localisation

Région  
Bretagne

Département  
Finistère (29)

Commune  
Guipavas

Adresse ou lieu-dit  
ZAC Nord Lavallot

## Codes

code INSEE  
29 075

Numéro de l'entité archéologique

## Coordonnées géographiques et altimétriques selon le système Lambert 93 CC48 IGN69

x : 150982  
y : 6840293  
z : entre 84 et 97,5 m NGF

## Références cadastrales

Commune : Guipavas

Année : -

section(s) & parcelle(s) :  
**G**, n° 348, 1968, 2403, 2238,  
2401, 2232, 356, 2461, 2464,  
2227p, 2170

**H**, n° 752, 753, 1831, 755, 756,  
757, 758, 759, 794, 797, 1955,  
1956, 1842, 800, 801, 799, 802,  
796, 795, 1822, 1832, 822, 823,  
1824, 942, 1313, 1311, 837,  
1599, 1597, 1595, 1486, 842,  
843, 1640, 1634, 1636, 1638,  
1133, 1124, 1128, 853, 1122

## Statut du terrain au regard des législations sur le patrimoine et l'environnement

—

## Propriétaire du terrain

Brest Métropole aménagement (BMa)  
M. Aziz Ghazani, Responsable d'opérations BMa (en charge du dossier)

## Références de l'opération

Numéro de l'arrêté de prescription  
2014-318

Numéro de l'arrêté de désignation du responsable  
2015-065

Référence du projet INRAP  
D022722

## Maître d'ouvrage des travaux d'aménagement

Brest Métropole aménagement (BMa)  
9, rue Duquesne  
CS 23821  
29238 BREST Cedex

## Nature de l'aménagement

Aménagement d'une zone d'aménagement concertée (ZAC) pour l'installation d'entreprises

## Opérateur d'archéologie

Inrap Grand-Ouest

## Responsable scientifique de l'opération

Yvan Pailler, Inrap

## Organisme de rattachement

Inrap Grand-Ouest  
37 rue du Bignon  
CS 67737  
35577Cesson-Sévigné cedex

Tél : 02 23 36 00 40  
Fax : 02 23 36 00 50

grand-ouest@inrap.fr

## Dates d'intervention sur le terrain

02/03/2015 au 17/04/2015  
et le 27/04/2015

## Dates de Post-fouille

du 20/04/2015 au 26/04/2015  
du 28/04/2015 au 30/04/2015  
du 03/06/2015 au 21/08/2015

## Surfaces

Emprise maximale prescrite  
352 436 m<sup>2</sup>

Surface sondée  
37 874 m<sup>2</sup> (10,75%)



# Mots-clefs des thesaurus

## Chronologie

- Paléolithique**
  - Inférieur
  - Moyen
  - Supérieur
  - Mésolithique et Epipaléolithique
- Néolithique**
  - Ancien
  - Moyen
  - Récent
- Chalcolithique**
- Protohistoire**
- Âge du Bronze**
  - Ancien
  - Moyen
  - Récent
- Âge du Fer**
  - Hallstatt (premier Âge du Fer)
  - La Tène (second Âge du Fer)
- Antiquité romaine (gallo-romain)**
  - République romaine
  - Empire romain
    - Haut-Empire (jusqu'en 284)
    - Bas-Empire (de 285 a 476)
- Epoque médiévale**
  - haut Moyen Âge
  - Moyen Âge
  - bas Moyen Âge
- Temps modernes**
- Epoque contemporaine**
  - Ere industrielle

## Sujets et thèmes

- Edifice public
- Edifice religieux
- Edifice militaire
- Bâtiment
- Structure funéraire
- Voirie
- Hydraulique
- Habitat rural
- Villa
- Bâtiment agricole
- Structure agraire
- Urbanisme
- Maison
- Structure urbaine
- Foyer
- Fosse
- Fossé
- Sépulture
- Grotte
- Abri
- Alignement mégalithique
- Artisanat
- Argile : atelier
- Atelier
- Parcellaire
- ...

## Mobilier

- Industrie lithique
- Industrie osseuse
- Céramique
- Restes
- Végétaux
- Faune (malacofaune)
- Flore
- Objet métallique
- Arme
- Outil
- Parure
- Habillement
- Trésor
- Monnaie
- Verre
- Mosaïque
- Peinture
- Sculpture
- Inscription
- ...

## Etudes annexes

- Géologie
- Datation
- Anthropologie
- Paléontologie
- Zoologie (malacologie)
- Botanique
- Palynologie
- Macrorestes
- An. de céramique
- An. de métaux
- Aca. des données
- Numismatique
- Conservation
- Restauration
- ...

# Intervenants

## Intervenants scientifiques

Prénom Nom, organisme d'appartenance	Tâches génériques	Tâches affectées dans le cadre de l'opération
Stéphane Deschamps, SRA	Conservateur régional	Prescription et contrôle scientifique
Yves Menez, SRA	Conservateur régional adjoint	Prescription et contrôle scientifique et suivi de l'opération
Jean-Charles Arramond, SRA	Ingénieur chargé du suivi du dossier	Prescription et contrôle scientifique et suivi sur le terrain
Michel Baillieu, Inrap	Adjoint scientifique et technique	Mise en place et suivi de l'opération
Thomas Arnoux, Inrap	Assistant AST	Mise en place et suivi de l'opération
Yvan Pailler, Inrap	Assistant d'étude et d'opération	Responsable scientifique

## Intervenants administratifs

Prénom Nom, organisme d'appartenance	Tâches génériques	Tâches affectées dans le cadre de l'opération
Stéphane Deschamps, SRA	Conservateur régional	Prescription et contrôle scientifique
Yves Menez, SRA	Conservateur régional adjoint	Prescription et contrôle scientifique et suivi de l'opération
Jean-Charles Arramond, SRA	Ingénieur chargé du suivi du dossier	Prescription et contrôle scientifique et suivi sur le terrain
Claude Le Potier, Inrap	Directeur interrégional Grand-Ouest	Mise en place et suivi de l'opération
Arnaud Dumas, Inrap	Administrateur	Mise en place et suivi de l'opération
Michel Baillieu, Inrap	Adjoint scientifique et technique	Mise en place et suivi de l'opération
Thomas Arnoux, Inrap	Assistant technique	Mise en place et suivi de l'opération
Christelle Picault, Inrap Jessica Freitas, Inrap	Assistants opérationnelles	Mise en place et suivi de l'opération
Marie Nollier, Inrap Nathalie Ruaud, Inrap	Logisticiennes	Mise en place et suivi de l'opération
Emeline Le Goff, Inrap	Topographe	Réalisation de la DICT, de plans via un SIG
Isabelle Giron-Audeoud, Inrap	Ingénieur sécurité	Mise en place, suivi de l'opération et visite de terrain
Aziz Ghazani, BMa (aménagement)	Responsable d'opérations	Suivi de l'opération, visites de terrain

## Intervenants techniques

Prénom Nom, organisme d'appartenance	Fonction	Tâches affectées dans le cadre de l'opération
Jacky Huet, Etps. Beaussire	Conducteur d'engin	Ouverture des tranchées et des fenêtres, rebouchage
Christophe Lebrene, Etps. Beaussire	Conducteur d'engin	Ouverture des tranchées et des fenêtres, rebouchage

## Équipe de diagnostic

Prénom Nom, organisme d'appartenance	Fonction	Tâches affectées dans le cadre de l'opération
Anne Boterf, Inrap	Technicienne	Fouille, relevés, prise de photos
François Briand, Inrap	Technicien	Fouille, relevés, prise de photos, suivi de pelles
Aneta Gorczynska	Stagiaire Master 2 Professionnel Archéologie, univ. Paris 1	Fouille, relevés, suivi de pelles, prise de photos, inventaire et base de données, traitement des données, réalisation de cartes SIG
Pierrick Leblanc, Inrap	Topographe	Prise de points au DGPS centimétrique
Emeline Le Goff, Inrap	Topographe	Prise de points au DGPS centimétrique, MNT, géo-référencement de photos, SIG
Frédéric Maret, Inrap	Technicien	Suivi de pelles, fouille, relevés, prise de photos
André Nové Josserand, Inrap	Technicien	Suivi de pelles, fouille, relevés, prise de photos
Yvan Pailler, Inrap	Assistant d'étude et d'opération	Responsable d'opération
Anne-Sophie Paranthoën, Inrap	Technicienne	Fouille, relevés, prise de photos, inventaire et base de données SIG
Pierre Stéphan, CNRS	Géomorphologue	Prise de points au DGPS centimétrique
Myriam Le Puil-Textier, Inrap	Anthropologue	Fouille d'une urne funéraire

## Collaborations

Prénom Nom, organisme d'appartenance	Tâches génériques	Tâches affectées dans le cadre de l'opération
Kevin Bideau	Archéologue et historien	Etude du mobilier et des structures de la deuxième Guerre Mondiale
Bernard Hallégouët, UMR 6566, CReAAH	Maître de conférences UBO (e.r.), Géographe, géomorphologue	Expertise sur le terrain, rédaction
Lucie Jouan, étudiante Master 2 SML, IUEM, UBO	Spécialiste, étude de la malacofaune	Détermination des espèces et rédaction
Daniel Léal, Association Guipavas Identité Patrimoine	Historien local	Etude micro-toponymique et analyse des sources anciennes

## Équipe de post-fouille

Prénom Nom, organisme d'appartenance	Fonction	Tâches affectées dans le cadre de l'opération
Vérane Brisotto, Inrap	Spécialiste lithicienne	Etude du macro-outillage lithique
Emmanuelle Coffineau, Inrap	Céramologue	Expertise, céramiques historiques, dessin et rédaction
Julie Conan, Inrap	Dessinatrice infographe	DAO, PAO, SIG
Aneta Gorczynska	Stagiaire Master 2 Professionnel Archéologie, univ. Paris 1	Inventaire et base de données, réalisation de cartes via le SIG
Emeline Le Goff, Inrap	Topographe	Mise au net du plan général et SIG (recalage photos)
Myriam Le Puil-Textier, Inrap	Anthropologue	Etude et fouille en laboratoire des urnes, analyse spatiale du cimetière alto-médiéval et rédaction
Théophane Nicolas, Inrap	Céramologue	Expertise, céramique néolithique et âge du Bronze, dessin et rédaction
Yvan Pailler, Inrap	Responsable d'opération et spécialiste lithicien	Coordination scientifique, étude lithique et rédaction
Patrick Pihuit, Inrap	Dessinateur infographe	DAO

# Localisation de l'opération



Bretagne  
Finistère  
Guipavas  
ZAC Nord Lavallot

**Section(s) et parcelle(s):**

**G - n°** 348, 1968, 2403, 2238, 2401, 2232, 356, 2461, 2464, 2227p, 2170.  
**H - n°** 752, 753, 1831, 755, 756, 757, 758, 759, 794, 797, 1955, 1956, 1842, 800, 801, 799, 802, 796, 795, 1822, 1832, 822, 823, 1824, 942, 1313, 1311, 837, 1599, 1597, 1595, 1486, 842, 843, 1640, 1634, 1636, 1638, 1133, 1124, 1128, 853, 1122.

**Coordonnées géographiques et altimétriques** selon le système national de référence (RGF93 CC48) :

X : 150982  
Y : 6840293  
Z : entre 84 et 97,5 m NGF

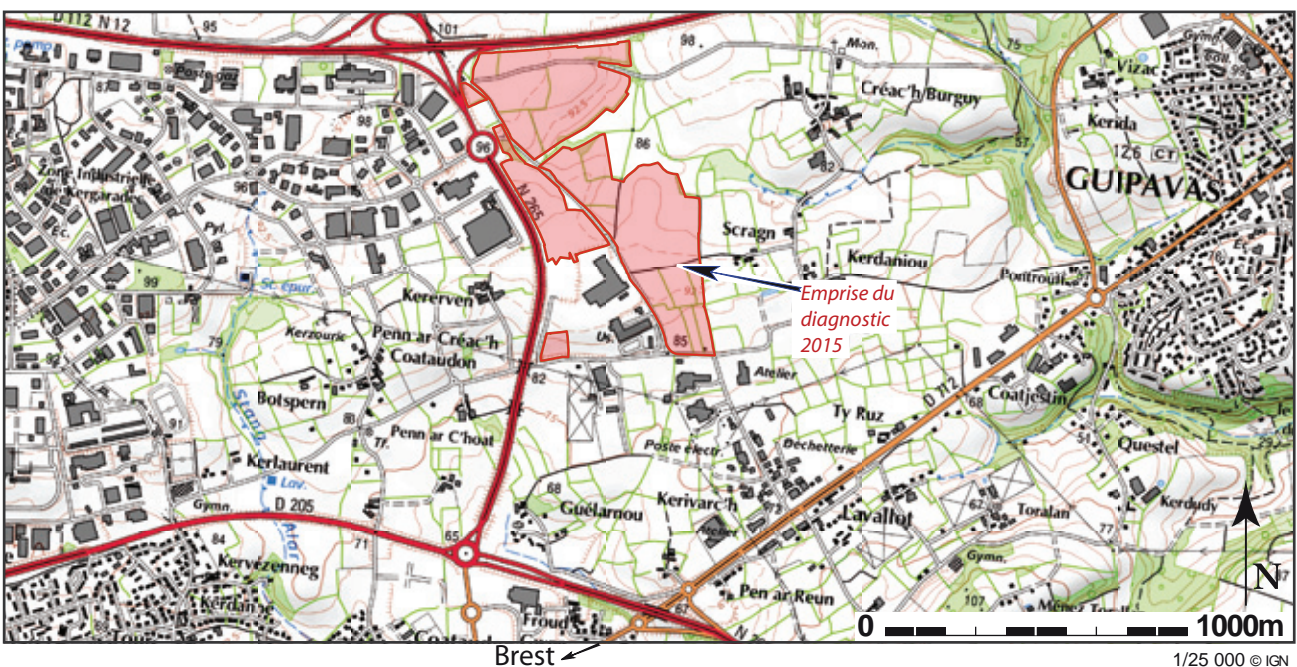
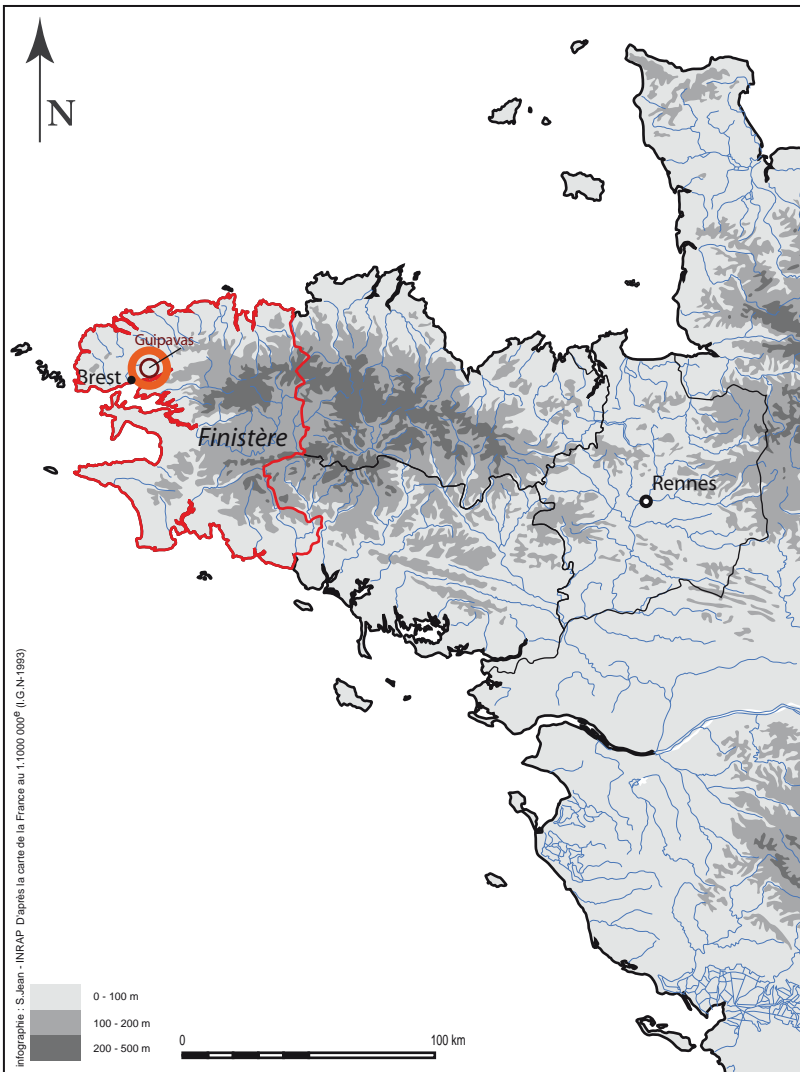


Fig. 1A. Localisation de l'opération sur fond de cartes IGN 1/1 000 000, 1/250 000 et 1/25 000.



# Extrait cadastral

DIRECTION GÉNÉRALE DES FINANCES PUBLIQUES

EXTRAIT DU PLAN CADASTRAL

Département :  
FINISTERECommune :  
GUIPAVASSection : H  
Feuille : 000 H 03Échelle d'origine : 1/2500  
Échelle d'édition : 1/6400Date d'édition : 23/01/2015  
(fuseau horaire de Paris)Coordonnées en projection : RGF93CC48  
©2012 Ministère de l'Économie et des Finances

Le plan visualisé sur cet extrait est géré par le centre des impôts foncier suivant :  
**BREST**  
 Cité Administrative 3, Square Marc Sangnier  
 29218  
 29218 BREST CEDEX 2  
 tél. 02 98 80 89 31 -fax 02 98 80 89 34  
 cdif.brest@dgfip.finances.gouv.fr

Cet extrait de plan vous est délivré par :

cadastre.gouv.fr

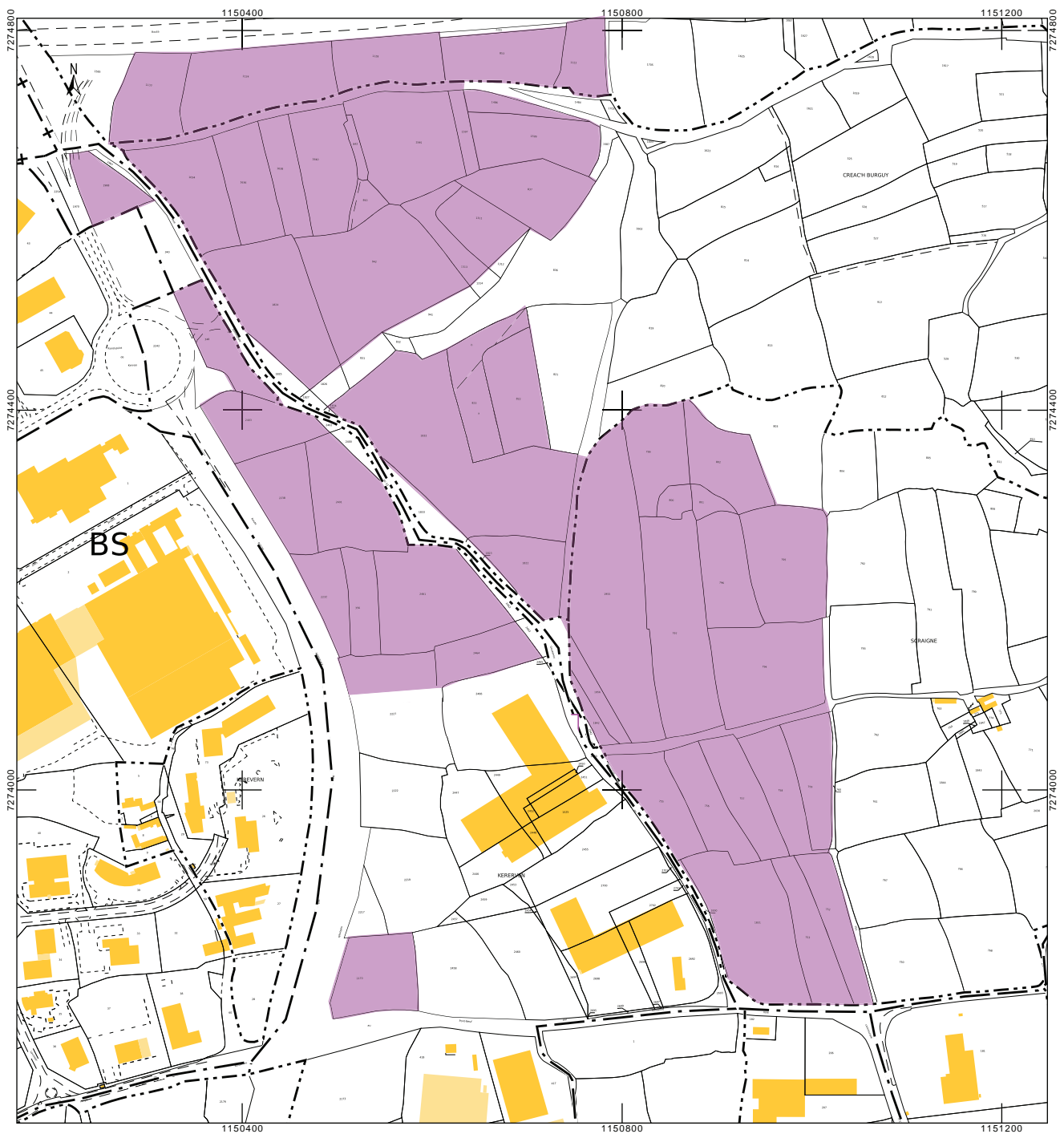


Fig. 1B. Localisation de l'opération sur fond de cadastre actuel.

## Notice scientifique

Le diagnostic réalisé à l'emplacement de la ZAC nord de Lavallot sur la commune de Guipavas a permis de mettre en évidence plusieurs sites et indices de sites archéologiques. Cette occupation humaine débute dès le Néolithique avec les premiers agriculteurs mais ne s'est pas fait de façon continue et il existe de longues phases de déprise où la zone a été délaissée ou du moins ne se trouvait plus au cœur des activités humaines. Certaines des traces mises en évidence sont bien imprimées dans le paysage tandis que d'autres sont plus fugaces. Ces installations humaines prennent place le plus souvent sur des points hauts du paysage.

Le Néolithique est représenté à travers plusieurs structures de combustion, petits foyers à pierres chauffées de forme circulaire ou ovale. Deux foyers implantés dans deux petites concentrations ont fait l'objet de datations 14C. Au sud de l'emprise, un foyer a été daté du Néolithique ancien. Dans la partie ouest du diagnostic, un foyer a livré un fragment de coupe à socle du Néolithique moyen 2, attribution confirmée par une datation 14C. Les autres foyers à pierres chauffées n'ont livré aucun mobilier et c'est seulement par analogie formelle qu'on peut émettre l'hypothèse qu'ils datent également du Néolithique.

Il faudra attendre près de 2000 ans pour voir un site campaniforme prendre place sur la colline de Prat Mellec. Cette occupation a été reconnue à travers une petite dizaine de structures, essentiellement des fosses. L'une d'elles a livré un bel ensemble céramique, composé de formes et de décors en creux originaux et qui, dans le cas de certains vases, présentent un traitement de surface avec un engobe rouge. D'autres fosses ont livré quelques éléments lithiques (taillés ou macro-outils sur galets) qui indiquent des relations avec les côtes livrant des galets de silex et de grès armoricain et la Forêt-Landerneau où affleurent les gisements de microquartzite. Le matériel mis au jour est caractéristique de dépotoirs domestiques. A environ 250 m au sud-ouest de l'occupation campaniforme, quelques éléments mobiliers céramiques se rapportent sans ambiguïté à l'âge du Bronze ancien.

L'âge du Fer est très peu représenté dans l'emprise, comme la Protohistoire au sens large. La culture de Hallstatt est seulement attestée à travers deux tessons mis au jour dans deux faits. La Tène n'est guère mieux représentée : seules trois structures ont livré du mobilier caractéristique. Un four en pierres sèches et une importante carrière d'extraction de sable arénitique, tous deux sis dans l'ouest de l'emprise pourraient, sous réserve, dater de la Protohistoire.

La période gallo-romaine est bien représentée dans l'emprise du diagnostic. La présence de voies supposées antiques la traversant ou la bordant n'y est certainement pas étrangère.

A l'ouest de la voie venant de Cornouaille, un petit ensemble funéraire a été repéré : il est composé de deux urnes funéraires. Ces deux tombes documentent le rituel funéraire de la crémation, pratique dominante à l'époque du Haut-Empire.

L'ensemble gallo-romain mis au jour sur la hauteur du plateau, en partie nord de l'emprise, peut être attribué majoritairement au Haut-Empire et plus précisément au 1er siècle. Il semble qu'on l'on ait affaire à une ferme implantée en bordure de voie, sur laquelle vient se caler l'orientation du parcellaire.

Une troisième occupation gallo-romaine se développe de part et d'autre d'une carrière de granite qui exploite un important pointement granitique. Il est probable que les produits de cette exploitation (moellons) ont dû servir dans la construction de bâtiments en pierre implantés dans un rayon assez proche. De part et d'autre, un réseau parcellaire, un enclos quadrangulaire et des trous de poteau font penser là aussi à une installation rurale. Comme pour le site précédent, les éléments de datation renvoient au Haut Empire.

Après une interruption de quelques siècles, un cimetière, vient s'installer sur une hauteur au sud du chemin nommé ar Valy. 45 tombes y ont été mises au jour mais, d'après la densité des tombes découvertes, on peut estimer que ce cimetière en comptait au moins une centaine. Les premiers indices obtenus (organisation des tombes, orientations, mobilier céramique) nous orientent vers un espace funéraire médiéval. Il fonctionne sans doute avec un habitat dont l'emplacement probable a pu être identifié à 200 m au nord, légèrement en contrebas. Ce dernier est constitué pour l'essentiel de trous de poteau et de fosses, certains ayant livré du mobilier céramique des VII<sup>e</sup>-VIII<sup>e</sup> siècles.

Près de cinq siècles plus tard, c'est au lieu-dit Prat Mellec que s'est installée une occupation domestique (ferme ou hameau ?) du bas Moyen Age (XIII<sup>e</sup> et XIV<sup>e</sup> siècles) ceinturée par un, voire deux fossés, sur certains côtés. Le site est installé sur le point haut d'une petite colline qui culmine à 91 m d'altitude. Il est bordé au nord par une zone humide alors qu'à l'ouest il est tangent avec la voie antique remontant depuis l'Elorn. Cette enceinte est de forme trapézoïdale aux angles arrondis. Les fossés bordiers suivent globalement un axe nord-sud et est-ouest. Aux angles nord-ouest et sud-est, comme du fossé nord, partent plusieurs tronçons de fossés qui pourraient correspondre à un réseau parcellaire venant s'appuyer sur les contours de l'habitat.

Par la suite, aux Périodes Moderne et Contemporaine, le secteur fera l'objet d'une exploitation agricole sans grande modification du parcellaire jusque dans les années 1950. Enfin, la Seconde Guerre Mondiale a laissé ses stigmates sur l'emprise avec notamment de nombreux impacts d'obus, des dépôts d'engins explosifs et la découverte de fosses-dépotoirs contenant du matériel militaire.



# Arrêté de prescription



Liberté • Égalité • Fraternité  
RÉPUBLIQUE FRANÇAISE

DA 05 0494 01

COPIE

## PREFET DE LA REGION BRETAGNE

le Préfet de la région de Bretagne,  
Préfet d'Ille-et-Vilaine,

### ARRETE n° 2014-318 modifiant l'arrêté 2012-113 du 12 juin 2012 portant prescription de diagnostic archéologique

VU le code du patrimoine, notamment son livre V ;

VU l'arrêté préfectoral n° 2014 SGAR/DRAC/DSG du 21 juillet 2014 portant délégation de signature à M. Jean-Loup LECOQ, directeur régional adjoint des affaires culturelles de Bretagne, chargé de l'intérim des fonctions de directeur régional des affaires culturelles ;

VU l'arrêté de prescription de diagnostic n° 2012-071 du 29 février 2012 ;

VU l'arrêté modificatif n° 2012-113 du 12 juin 2012 ,

VU la demande de modification de l'emprise émise par Brest métropole Océane en date du 10 octobre 2014 reçue le 14 octobre 2014,

**CONSIDERANT** que, en raison de leur localisation, les travaux envisagés sont susceptibles d'affecter des éléments du patrimoine archéologique ;

**CONSIDERANT** qu'il est nécessaire de mettre en évidence et de caractériser la nature, l'étendue et le degré de conservation des vestiges archéologiques éventuellement présents afin de déterminer le type de mesures dont ils doivent faire l'objet ;

## ARRETE

**Article 1<sup>er</sup>** : L'arrêté de diagnostic n° 2012-113 est modifié comme suit :

un diagnostic archéologique sera réalisé sur le terrain faisant l'objet des aménagements, ouvrage ou travaux susvisés, sis en :

Région : Bretagne

Département : Finistère

Commune : Guipavas

Lieu-dit : ZAC de Lavallot Nord

Cadastre : section : G

parcelles : 348, 1968, 2403, 2238, 2401, 2232, 356, 2461, 2464, 2227p, 2170

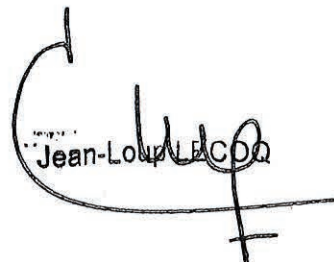
## section H

parcelles : 752, 753, 1831, 755, 756, 757, 758, 759, 794, 797, 1955, 1956,  
1842, 800, 801, 799, 802, 796, 795, 1822, 1832, 822, 823, 1824,  
942, 1313, 1311, 837, 1599, 1597, 1595, 1486, 842, 843, 1640,  
1634, 1636, 1638, 1133, 1124, 1128, 853, 1122

**Article 2** : Le directeur régional des affaires culturelles est chargé de l'exécution du présent arrêté, qui sera notifié à Brest Métropole Aménagement et au directeur interrégional de l'Institut national de recherches archéologiques préventives.

Fait à Rennes, le 12 novembre 2014

le Préfet de région Bretagne,  
par délégation,  
le directeur régional adjoint  
des affaires culturelles de Bretagne,  
directeur régional par intérim,

  
Jean-Louis LeCDD

destinataires : Brest Métropole Aménagement  
INRAP  
C.G. 29  
copie à : mairie de Guipavas  
Préfecture du Finistère

**PREFET DE LA REGION DE BRETAGNE**

**le Préfet de la région de Bretagne,  
Préfet d'Ille-et-Vilaine,**

**Prescriptions de diagnostic archéologique  
annexées à l'arrêté préfectoral numéro 2014-318**

région :	Bretagne
département :	Finistère
commune :	Guipavas
lieu-dit :	ZAC de Lavallot Nord
cadastre :	section : G - parcelles : 348, 1968, 2403, 2238, 2401, 2232, 356, 2461, 2464, 2227p, 2170 section : H - parcelles : 752, 753, 1831, 755, 756, 757, 758, 759, 794, 797, 1955, 1956, 1842, 800, 801, 799, 802, 796, 795, 1822, 1832, 822, 823, 1824, 942, 1313, 1311, 837, 1599, 1597, 1595, 1486, 842, 843, 1640, 1634, 1636, 1638, 1133, 1124, 1128, 853, 1122,
pétitionnaire:	M. le Président de Brest Métropole Aménagement

**Emprise du diagnostic archéologique : 352.436 m<sup>2</sup>**

**Principes méthodologiques :**

Les principes méthodologiques seront ceux qui sont habituellement utilisés pour les opérations de diagnostic sur d'importantes surfaces (sondages à la pelle mécanique avec godet lisse jusqu'à l'apparition du substrat). En tant que de besoin, des fenêtres élargies devront être réalisées afin de contribuer à caractériser et dater les structures ou ensembles de structures mis au jour. Des sondages manuels pourront être effectués pour préciser la complexité stratigraphique des structures, sur la base d'un échantillonnage raisonné.

Tout élément permettant d'apprécier l'intérêt scientifique des vestiges archéologiques mis au jour (nature des structures, étendue du site, chronologie, recoupements et phasages éventuels, mobilier datant, etc...) devra être mentionné et explicité dans le rapport de diagnostic soumis à l'examen de la Commission Interrégionale de la Recherche archéologique (CIRA).

Le rapport de diagnostic comportera une version en format pdf ainsi qu'un plan d'emprise de l'opération de diagnostic figurant les zones ouvertes (sondages, fenêtres, zones éventuellement décapées) et les structures mises au jour, en format shape.

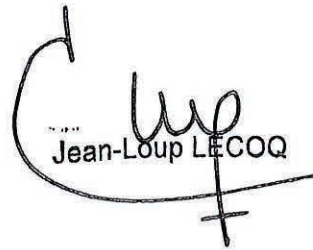


**Objectifs :**

Le projet d'une grande ampleur de plus de 30 ha est localisé en zone de plateau, situation topographique particulièrement favorable aux implantations humaines de toutes périodes. D'une manière générale, il conviendra de mettre en évidence, de dater et de caractériser l'ensemble des vestiges conservés dans l'emprise du projet d'aménagement. Le rapport de diagnostic devra donc s'attacher à apporter tous les éléments (descriptions précises, diagrammes, plans, planches de mobilier, photographies...) permettant d'apprécier la nature et l'intérêt des vestiges mis au jour afin que leur préservation ou leur sauvegarde par l'étude puisse être envisagée préalablement à la réalisation des travaux.

Fait à Rennes, le 12 novembre 2014

le Préfet de région Bretagne,  
par délégation,  
le directeur régional adjoint  
des affaires culturelles de Bretagne,  
directeur régional par intérim,

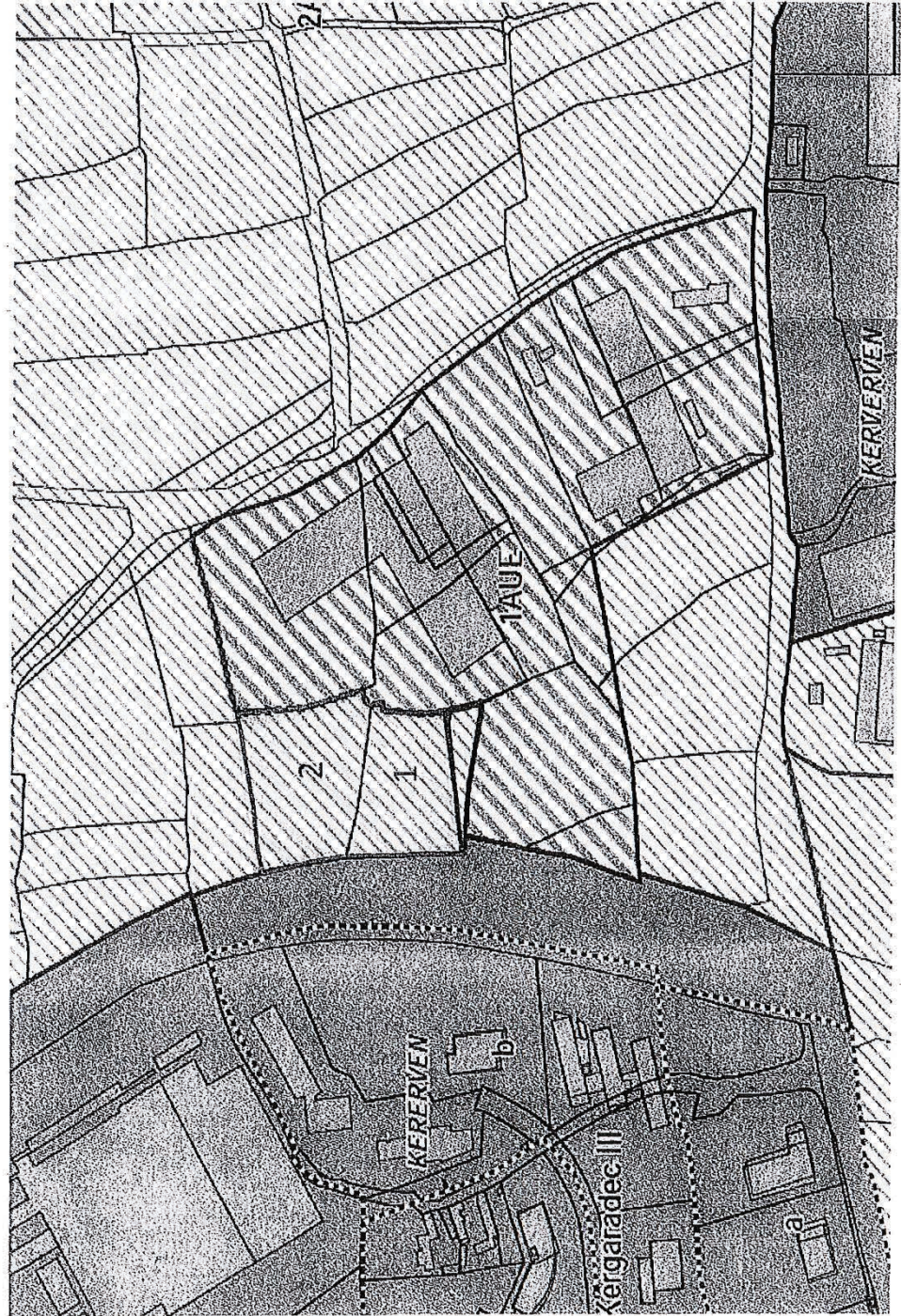


Jean-Loup LECOQ



Emprises (environ 13 000 m<sup>2</sup>) à retirer des terrains soumis au diagnostic archéologique :

- 1 G 2222 (p)
- 2 G 2227 (p)



Vu pour être annexé  
à l'arrêté n° 2014-318

Jean-Loup LECOQ





PREFET DE LA REGION BRETAGNE

COURRIER REÇU I.F.  
4838  
19 NOV. 2014

Rennes, le 12 novembre 2014 **INRAP GO**

Le directeur régional adjoint des affaires culturelles

à

Monsieur le Directeur interrégional  
INRAP Grand-Ouest  
37 rue du Bignon  
CS 67737  
35577 CESSON SEVIGNE cedex

Direction régionale  
des affaires culturelles  
de Bretagne

Service régional  
de l'archéologie

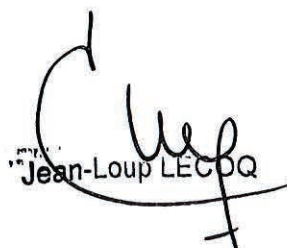
Affaire suivie par  
Jean-Charles ARRAMOND  
Poste : 02 99 84.59.00  
jean-charles.aramond@culture.fr

**Objet** : prescription de diagnostic archéologique  
à Brest (29)  
**Ref** : arrêté n° 2014-318  
**PJ** : 1 copie arrêté

J'ai l'honneur de vous notifier l'arrêté ci-joint, portant prescription de diagnostic archéologique. Ce texte est établi conformément à la loi 2001-44 du 17 janvier 2001 modifiée, relative à l'archéologie préventive et au décret 2004-490 du 3 juin 2004 relatif aux procédures administratives et financières en matière d'archéologie préventive.

Je vous informe que j'ai également notifié cet arrêté au Conseil Général du Finistère afin que cette collectivité puisse m'indiquer si elle souhaite faire réaliser ce diagnostic par son service archéologique agréé. Je en manquerais pas de vous tenir informé de cette décision dès réception. En tout état de cause, dans un délai d'un mois, le diagnostic sera effectué par vos services.

le Préfet de région Bretagne,  
par délégation,  
le directeur régional adjoint  
des affaires culturelles de Bretagne,  
directeur régional par intérim,

  
Jean-Loup LECOQ



# Projet de diagnostic

Référence : MB/TA/2012/2431  
Page 1 sur 3  
Dossier n° : DA05049401  
Affaire suivie par : Michel BAILLIEU

Service régional de l'archéologie  
Avenue du Professeur Charles Foulon  
35700 RENNES

A l'attention de Monsieur Stéphane  
DESCHAMPS

Objet : Projet de diagnostic de  
l'opération dénommée « ZAC de  
Lavallot Nord » à GUIPAVAS (29)

Cesson-Sévigné, le 6 novembre 2012

## LETTRRE RECOMMANDEE AVEC ACCUSE DE RECEPTION

Monsieur le Conservateur,

Par la présente envoyée en recommandé avec demande d'accusé de réception et conformément à l'article 16, alinéa 1 du décret n°2002-89 du 16 janvier 2002, je vous transmets le projet de diagnostic rédigé par l'Institut national de recherches archéologiques préventives, indiquant les modalités de la mise en œuvre de votre prescription notifiée le portant sur l'opération « ZAC de Lavallot Nord » sur la commune de GUIPAVAS (29).

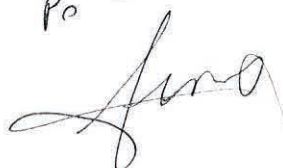
Nos services (tel : 02.23.36.00.40) sont à votre disposition pour tous renseignements complémentaires dont vous pourriez avoir besoin pour étudier ce dossier.

Je vous prie de croire, Monsieur le Conservateur, à l'assurance de ma considération distinguée.

Michel BAILLIEU

L'Adjoint Scientifique et Technique

Po



PJ : projet de diagnostic

Page 2 sur 3

## FICHE DE PROJET DE DIAGNOSTIC

Réf. du projet : DA05049401

Affaire suivie par : Michel BAILLIEU

### 1. IDENTIFICATION

#### 1.1 Site

Département :	Finistère
Commune :	GUIPAVAS
Lieu-dit	ZAC de Lavallot Nord
Nature du projet :	ZAC
Références cadastrales	Cf. liste annexée

#### 1.2 Aménageur

Nom ou raison sociale :	Collectivité BREST METROPOLE AMENAGEMENT
Adresse	9 rue Dusquene - CS 23 821 - 29238 BREST Cedex 2
Téléphone / télécopie	
Représenté par	son président

#### 1.3 Service instructeur

Service régional de l'Archéologie de :	Bretagne
Téléphone / télécopie	02 99 84 59 00 / 02 99 84 59 19
Dossier suivi par	Yves Menez

#### 1.4 Opération

<b>Arrêté préfectoral n°2012-071 du 29/03/2012 reçu à l'Inrap le 04/04/2012.</b>	
Numéro d'opération SRA	
Nature de l'opération	<b>Diagnostic</b>
Cadre de l'opération	<b>milieu rural</b>
Surface à traiter	<b>365692 m<sup>2</sup></b>
Calendrier prévisionnel	<b>2ème semestre 2014 (demande aménageur)</b>
Responsable pressenti	<b>A déterminer ultérieurement</b>

### 2. PROBLEMATIQUE SCIENTIFIQUE

Conformément à l'arrêté de prescription n°2012-071, l'objet du diagnostic consiste à reconnaître l'existence et l'état de conservation des vestiges archéologiques. Cette étude doit permettre de rassembler tous les éléments techniques et scientifiques permettant l'élaboration d'un éventuel projet de fouille préventive.

### 3. CONTRAINTES TECHNIQUES

Les contraintes techniques seront déterminées ultérieurement après contact avec l'aménageur.

Page 3 sur 3

#### 4. METHODES ET TECHNIQUES ENVISAGEES

Le diagnostic consistera dans la réalisation de tranchées de sondage d'environ 20m de long disposées en quinconce et régulièrement réparties sur l'ensemble du projet. La surface sondée devra couvrir au moins 7% de l'emprise affectée par les travaux. Des fenêtres de décapage plus larges pourront être implantées afin d'évaluer plus finement l'état de conservation des vestiges. Un nettoyage manuel et le cas échéant, une fouille par échantillonnage seront réalisés sur les vestiges les plus significatifs du site afin de caractériser la nature et la chronologie des différentes entités archéologiques.

#### 5. VOLUME DES MOYENS PREVUS (en jours ouvrés)

**5.1 Tranche ferme** correspondant à la vérification de la présence ou de l'absence de vestiges :

5.1.1 Phase de terrain (incluant la préparation) :

- Encadrement : 37 jours
- Technicien : 37 jours
- Topographe : 7 jours

5.1.2 Phase de post-fouille :

- Encadrement : 5 jours
- Topographe : 2 jours

5.1.3 Moyens de terrassement à mettre en œuvre :

- Pelle à chenilles : 36 jours et 2 transferts (pour l'ouverture)
- Pelle à chenilles : 15 jours ( pour le rebouchage )

**5.2 Provision** correspondant à la caractérisation des sites découverts :

5.2.1 Phase de terrain :

- Encadrement : 15 jours
- Technicien : 15 jours
- Topographe : 3 jours
- Spécialiste : 5 jours (expertises diverses)

5.2.2 Phase de post-fouille :

- Encadrement : 15 jours
- Dessinateur : 10 jours
- Spécialiste : 15 jours (céramologue/lithicien)
- Technicien : 5 jours (traitement des données et du mobilier)
- Spécialiste : 5 jours (études diverses)
- Topographe : 1 jour

5.3.3 Moyens de terrassement à mettre en œuvre :

- Pelle à chenilles : 10 jours (pour l'ouverture)
- Pelle à chenilles : 5 jours ( pour le rebouchage )
- Mini pelle : 5 jours

Fait à Cesson-Sévigné, le 6 novembre 2012

Michel BAILLIEU  
Adjoint Scientifique et Technique

P= 



# Arrêté de désignation



COURRIER REÇU LE  
725  
06 FEV. 2015  
INRAP GO

## PREFECTURE DE LA REGION BRETAGNE

### Arrêté n° 2015-065 portant désignation du responsable scientifique de l'opération d'archéologie préventive prescrite par arrêté n° 2014-318

le Préfet de la région de Bretagne,  
Préfet d'Ille-et-Vilaine,

VU le code du patrimoine, notamment son livre V - articles R 522-1 et R 523-22;

VU l'arrêté préfectoral n° 2014 S.G.A.R./DRAC/DSG en date du 13 novembre 2014 portant délégation de signature à M. Jean-Loup LECOQ, directeur régional des affaires culturelles de Bretagne,

VU l'arrêté préfectoral n° 2014 S.G.A.R./DRAC/DSG du 13 novembre 2014 portant subdélégation de signature,

VU l'arrêté n° 2014-318 du 12 novembre 2014 portant prescription d'un diagnostic archéologique à réaliser à Guipavas - ZAC de Lavallot Nord (29) ;

**CONSIDERANT** que le responsable d'opération n'a pas été désigné par l'arrêté susvisé ;

### ARRETE

**Article 1<sup>er</sup>** : Monsieur Yvan PAILLER - Institut national de recherches archéologiques préventives - est désigné(e) responsable scientifique du diagnostic prescrit(e) par l'arrêté n° 2014-318 susvisé.

**Article 2** : Le directeur régional des affaires culturelles est chargé de l'exécution du présent arrêté, qui sera notifié au directeur de l'INRAP et à la mairie de Guipavas (29).

Fait à Rennes, le 2 février 2015

pour le Préfet de région,  
pour le directeur régional des affaires culturelles  
par délégation,

Stéphane Deschamps  
Conservateur régional de l'archéologie

destinataires : INRAP  
Y. Pailler  
copie à mairie de Guipavas

0022722

## Listing des tranchées

Numéro	Etiquette	Surface en m <sup>2</sup>	Numéro	Etiquette	Surface en m <sup>2</sup>
1	Tr 01	801,67	42	Tr 42	435,23
2	Tr 02	971,35	43	Tr 43	177,98
3	Tr 03	1023,00	44	Tr 44	266,62
4	Tr 04	1386,85	45	Tr 45	308,54
5	Tr 05	1360,10	46	Tr 46	278,14
6	Tr 06	1017,37	47	Tr 47	327,76
7	Tr 07	943,77	48	Tr 48	314,72
8	Tr 08	778,48	49	Tr 49	327,62
9	Tr 09	586,92	50	Tr 50	337,23
10	Tr 10	359,62	51	Tr 51	234,56
11	Tr 11	203,25	52	Tr 52	105,87
12	Tr 12	297,76	53	Tr 53	716,07
13	Tr 13	305,32	54	Tr 54	161,85
14	Tr 14	363,73	55	Tr 55	721,13
15	Tr 15	353,37	56	Tr 56	709,73
16	Tr 16	442,45	57	Tr 57	713,93
17	Tr 17	396,07	58	Tr 58	687,75
18	Tr 18	382,18	59	Tr 59	680,66
19	Tr 19	359,10	60	Tr 60	491,66
20	Tr 20	375,28	61	Tr 61	406,35
21	Tr 21	415,66	62	Tr 62	338,10
22	Tr 22	426,13	63	Tr 63	242,36
23	Tr 23	137,59	64	Tr 64	79,72
24	Tr 24	58,61	65	Tr 65	506,38
25	Tr 25	860,51	66	Tr 66	699,39
26	Tr 26	722,64	67	Tr 67	382,71
27	Tr 27	776,38	68	Tr 68	152,70
28	Tr 28	218,75	69	Tr 69	81,97
29	Tr 29	134,59	70	Tr 70	459,09
30	Tr 30	74,55	71	Tr 71	87,32
31	Tr 31	214,75	72	Tr 72	114,27
32	Tr 32	248,41	73	Tr 73	177,74
33	Tr 33	262,64	74	Tr 74	217,98
34	Tr 34	221,30	75	Tr 75	214,93
35	Tr 35	189,87	76	Tr 76	243,82
36	Tr 36	33,51	77	Tr 77	1248,99
37	Tr 37	73,80	78	Tr 78	1463,85
38	Tr 38	935,68	79	Tr 79	368,27
39	Tr 39	1283,36	80	Tr 80	261,89
40	Tr 40	1094,38	81	Tr 81	60,53
41	Tr 41	978,13			
			<b>Total</b>		37 874,29
			<b>Surface Emprise</b>		352 436,00
			<b>Pourcentage</b>		10,75%

Tabl. 1. Surface des tranchées (E. Le Goff).





## **II. Résultats**

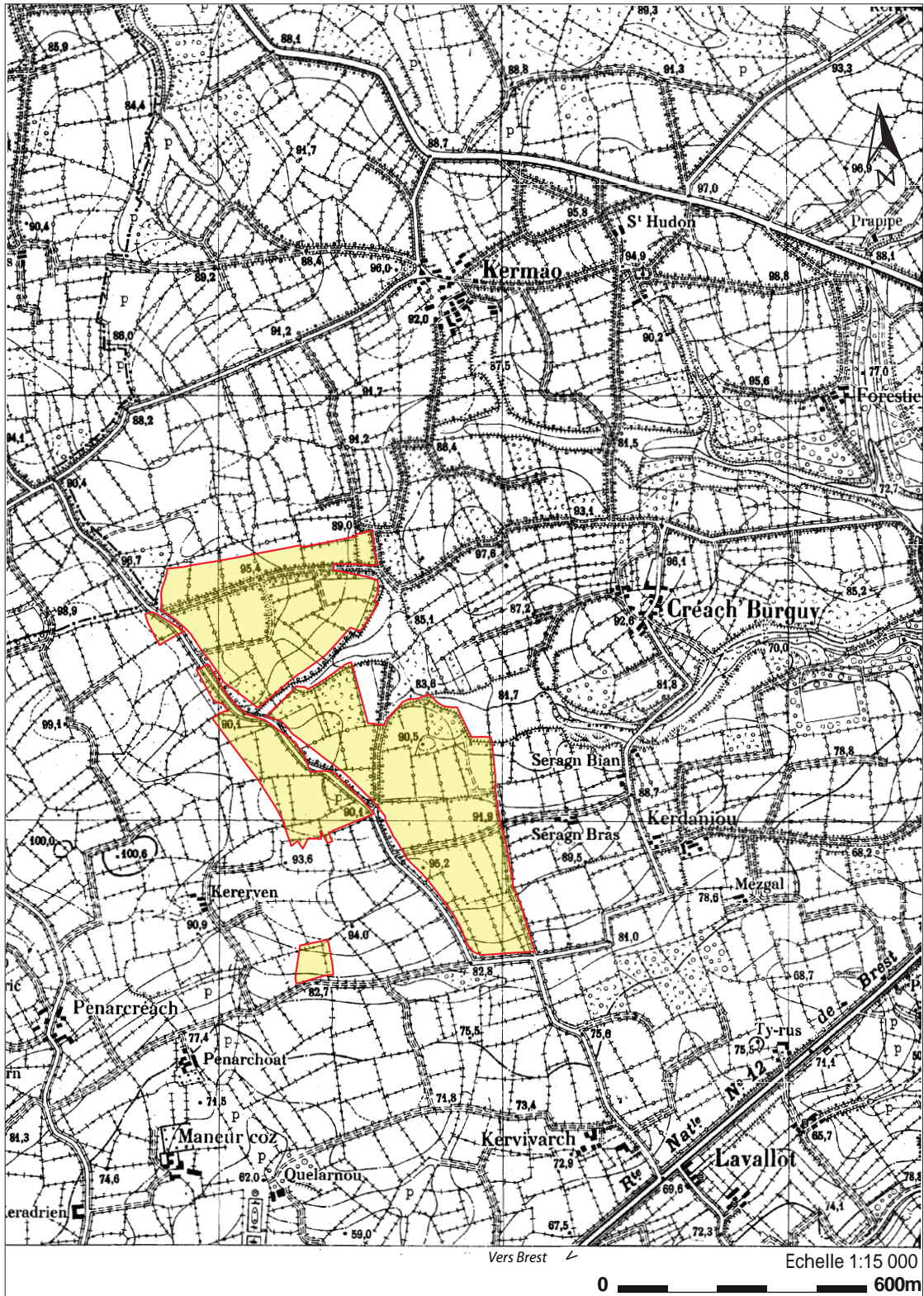


Fig. 2. Localisation de l'emprise sur un extrait du plan directeur de Brest (levé entre 1903 et 1910).

# 1. Présentation de l'opération

## 1.1. Contexte d'intervention

### 1.1.1. Cadre général

Brest Métropole Aménagement (BMA) est propriétaire d'une emprise foncière de plus de 35 ha au nord de la ZAC Lavallot sur le territoire communal de Guipavas. L'aménageur voulant étendre la ZAC préexistante au nord en direction de la N12, un diagnostic archéologique a été prescrit par le Service régional de l'archéologie (**fig. 1A. et 1B.**). Globalement, l'emprise du diagnostic est contrainte à l'est par la N265 et au nord par la N12. A l'est, la limite, très découpée, est placée à l'ouest des fermes de Scragh et de Creac'h Burguy. Un chemin communal qui part du Vizac (bourg de Guipavas) à l'est, puis passe près de la ferme de Creac'h Burguy et forme un angle droit au nord-ouest de l'emprise du diagnostic. Ensuite, ce chemin communal part en direction du SSE jusqu'à un croisement formé avec la route allant des fermes de Kerdaniou à l'est à Penarchoat à l'ouest (**fig. 2.**). Cette dernière route forme la limite septentrionale de l'emprise.

L'emprise du présent diagnostic concerne plusieurs lots déconnectés physiquement par des routes, des champs ou des zones naturelles sensibles, ce qui a impliqué plusieurs transferts de pelles mécaniques à l'aide de porte-engins.

Le lot septentrional forme un rectangle allongé, coïncé entre la Nationale 12 au nord et, au sud, par le chemin communal menant au bourg du Guipavas, nommé allée du Vizac dans sa partie orientale. D'ouest en est, il concerne les parcelles 1133, 1124, 1128, 853 et 1122. Immédiatement au sud du chemin communal dont nous avons décrit plus haut le tracé se trouve un vaste lot qui affecte une forme sub-triangulaire ; il se compose des parcelles 1634, 1636, 1638, 1640, 842, 843, 1595, 1597, 1486, 1599, 1824, 942, 1313, 1311 et 837. Plus au sud et déconnecté du précédent par un petit vallon, le lot suivant est composé des parcelles 1832, 823 a et b, 822 et 1822. Il est délimité au sud par un chemin de terre orienté NNE/SSO qui permet d'accéder aux champs de part et d'autre. Au sud, le lot suivant est de forme absidale (parcelles 799, 802, 1955, 800, 801, 797, 796, 795, 794, 1956, 1842) ; en plus du chemin de terre précédent, il est bordé au nord par une vaste zone humide et délimité au sud par un chemin orienté est-ouest menant à la ferme de Scragh. Plus au sud encore, se trouve un lot trapézoïdal bordé sur ses quatre côtés par des chemins ou des routes ; il est formé des parcelles 755, 756, 757, 758, 759, 1831, 753 et 752. A l'ouest du chemin communal qui traverse l'emprise et au nord de l'entreprise Pichon, nous avons diagnostiqué un lot composé de huit parcelles (2227, 2464, 2461, 356, 2232, 2401, 2238, 2403) qui s'étire le long de la Nationale 265. Pour des raisons pratiques, nous avons délaissé le petit bout de la parcelle 348, non impacté par une zone naturelle, car il est traversé par un échangeur partant du rond-point de Kervao. Au nord de ce rond-point, la petite parcelle n°1969 a été testée. En revanche, pour des raisons d'accessibilité et en accord avec J.-C. Arramond (SRA), nous n'avons pas testé la parcelle 2170 qui est complètement déconnectée du reste de l'emprise.

Bien qu'aucun indice archéologique ne soit répertorié dans l'emprise, la réalisation de travaux sur une telle surface, comme la situation topographique favorable à l'établissement d'implantations humaines, ainsi que l'environnement archéologique riche du secteur (*cf. infra* carte archéologique) ont été déterminants dans la réalisation du diagnostic. De plus, la présence de plusieurs voies présumées antiques dans l'environnement proche de l'emprise était également un bon argument



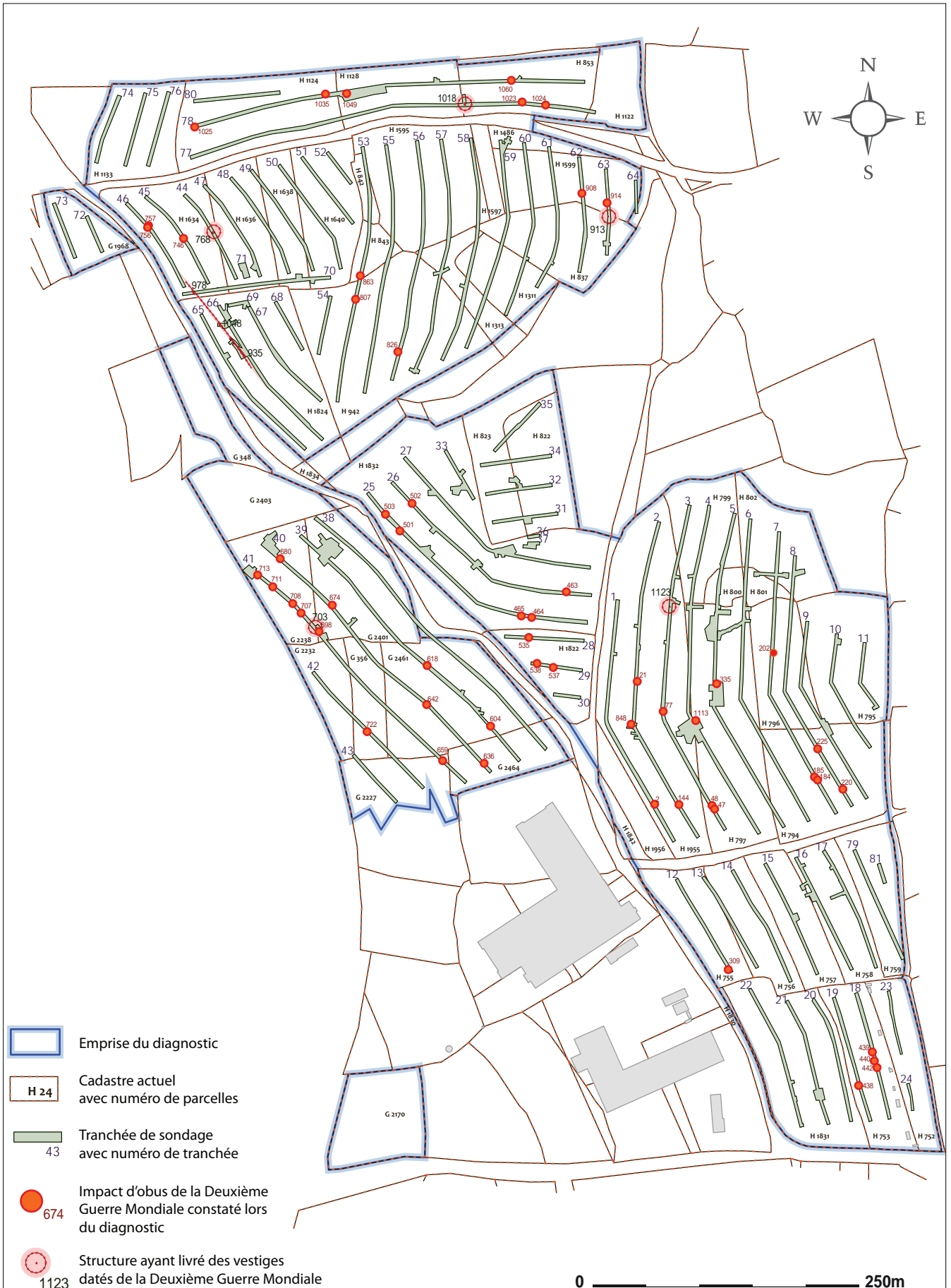


Fig. 3. Plan des impacts d'obus et des structures ayant livré des vestiges de la Deuxième Guerre Mondiale dans l'emprise du diagnostic.

pour envisager la présence d'occupations anciennes. La maîtrise d'ouvrage de ce diagnostic a été confiée à l'Inrap GO.

Les objectifs du diagnostic archéologique sont de caractériser la nature, l'étendue et le degré de conservation des vestiges archéologiques susceptibles de se trouver dans l'emprise concernée.

### 1.1.2. Stratégie et méthode mise en œuvre

Les parcelles concernées par le diagnostic ayant été acquises par l'aménageur (BMA), nous n'avons pas eu à composer avec les agriculteurs. Toutefois, lors de notre progression dans les parcelles en pâture, nous avons parfois dû tenir compte de la présence de fils électriques ou de bovins.

Par ailleurs, le lot le plus méridional est traversé par une ligne électrique aérienne orientée NE-SO autour de laquelle nous avons respecté une marge de sécurité lors de la réalisation des tranchées. Il s'agit de la seule contrainte liée à des réseaux rencontrée sur l'emprise, les canalisations d'eau étant situées en périphérie du diagnostic le long des voies.

Nous avons effectué des tranchées parallèles continues avec deux pelles mécaniques de 25 tonnes munies d'un godet lisse de 3 m de largeur. Autant que faire ce peut, les deux pelles mécaniques ont avancé de concert. Des fenêtres ont été réalisées à chaque fois que nous avons rencontré des concentrations de structures. Le substrat (argile, arène granitique voire roche en place) a été atteint dans toutes les tranchées.

Dès l'ouverture des premières tranchées, nous avons reconnu la présence de possibles engins de guerre. A ce titre, rappelons que nous nous trouvons dans un secteur qui a fait l'objet d'âpres combats au moment de la libération de Brest en 1944. En concertation avec I. Giron-Audeoud, ingénieur sécurité et la direction de l'Inrap GO, nous avons rapidement pris contact avec le centre de déminage de Brest qui a dépêché sur place un de ses agents. Il s'est avéré que la plupart des trouvailles correspondaient à des impacts d'obus datant de la deuxième Guerre Mondiale (**fig. 4**). Toutefois, nous avons également mis au jour un dépôt d'engins explosifs actifs (grenades à main et à fusils) que les démineurs ont fait exploser (**fig. 5**). D'autres fosses ont livré du matériel militaire ; il peut s'agir de fosses avec de l'équipement allemand (casques, objets divers) ou des balles de fusils (chargeur, cartouchières) (*cf. infra* l'étude de K. Bideau). Toutes ces découvertes ont été cartographiées dans l'emprise du diagnostic (**fig. 3**). Celles ne présentant aucun danger pour les archéologues ont été traitées comme des structures archéologiques classiques (par exemple, F 703, TR 41 et F 1078, TR 77 ; **fig. 6**). Après discussion avec les personnes âgées des environs, il apparaît que la plupart de ces fosses qui contiennent du matériel de la deuxième Guerre Mondiale (en majorité allemand) ont été creusées après la libération. En effet, il s'agissait pour les paysans de démilitariser la zone et d'enterrer la majorité des vestiges potentiellement dangereux. On constate d'ailleurs que plusieurs fosses ont été creusées en limite de parcelles, à proximité des talus.

**Fig. 4.** Vues d'un impact d'obus (F 2) (**4A.**) et de fragments métalliques caractéristiques d'un engin ayant explosé (F 176) (**4B.**)







**Fig. 5.** Les démineurs en action autour du dépôt de grenades :

**5A.** Le dépôt en cours de dégagement ;

**5B.** Le dépôt dégagé, les grenades sont bien alignées ;

**5C.** Cratère après la destruction des explosifs.



**Fig. 6.** Vue générale depuis l'est de la fosse F 703, Tr 41 contenant du matériel militaire allemand dont cinq casques alignés.









### 1.1.3. Surfaces diagnostiquées

Sur la commune de Guipavas, les parcelles concernées par l'emprise du diagnostic ZAC nord de Lavallot se trouvent dans les sections G et H. Pour la section G, il s'agit des 11 parcelles suivantes : n° 348, 1968, 2403, 2238, 2401, 2232, 356, 2461, 2464, 2227p, 2170. Pour la section H, il s'agit des 43 parcelles portant les numéros suivants : 752, 753, 1831, 755, 756, 757, 758, 759, 794, 797, 1955, 1956, 1842, 800, 801, 799, 802, 796, 795, 1822, 1832, 822, 823, 1824, 942, 1313, 1311, 837, 1599, 1597, 1595, 1486, 842, 843, 1640, 1634, 1636, 1638, 1133, 1124, 1128, 853, 1122.

Au total, ce sont 81 tranchées qui ont été réalisées. Elles représentent une surface de 37874 m<sup>2</sup>, ce qui correspond à 10,75 % du total de l'emprise (352436 m<sup>2</sup>) (**Tabl. 1, partie I**) (**fig. 7**).

A la fin de l'opération, les tranchées ont été rebouchées en prenant soin de respecter les couches de sédiments (terre arable, argile limoneuse).

## 1.2. Cadre géographique et géologique (B. Hallégouët)

### 1.2.1. Guipavas : cadre général

La commune de Guipavas occupe la rive droite de l'estuaire de l'Elorn, entre les agglomérations brestoïse et landernéenne. Elle est traversée par la voie royale ouverte au XVIII<sup>e</sup> siècle, entre Brest et Landerneau, par le Duc d'Aiguillon. L'ancienne RN12 a été doublée au nord du bourg de Guipavas par une voie rapide reliant directement Brest à Landivisiau, avec un embranchement en direction de Quimper, par le pont de l'Iroise (RN 165). Au sud de la commune, la voie ferrée Paris-Brest permet également la circulation des trains en direction de Quimper. Près de la plage du Moulin Blanc, l'embranchement du Rody est utilisé par les trains de marchandise pour rejoindre la zone portuaire.

La commune de Guipavas a eu pendant longtemps une vocation agricole, puis la poudrerie du Moulin-Blanc et la pyrotechnie de Saint-Nicolas se sont établies à proximité de la voie ferrée en bordure de l'Elorn. Les populations ouvrières installées entre ces deux établissements, ont obtenu leur indépendance avec la création de la commune du Relecq-Kerhuon, en 1896. Cette dernière est enclavée dans le territoire de Guipavas qui a conservé deux fenêtres littorales sur l'Elorn et la rade de Brest.

Après 1945, l'agglomération urbaine de Brest a débordé sur les quartiers de Tourbihan et de Coataudon, à l'ouest de la commune de Guipavas. Une coupure d'urbanisation existe encore entre Coataudon et le bourg de Guipavas, et la mise à 4 voies de l'ancienne RN 12 a incité les entreprises à s'installer dans le secteur de Lavallot. Au nord de la commune, la majeure partie des espaces agricoles ont été accaparés par l'aérodrome de Brest-Guipavas.

La commune fait partie de la communauté urbaine de Brest créée en 1974 (Brest métropole océane). Elle forme actuellement avec la commune du Relecq-Kerhuon le canton de Guipavas.

## 1.2.2. Milieu physique

### 1.2.2.1. Géologie

Une coupe nord-sud de la commune de Guipavas montre les formations suivantes (Fig. 8) :

-Le massif granitique de Saint-Renan – Kersaint qui s’allonge depuis Plouneventer jusqu’à l’île Molène. Ce pluton magmatique s’est formé pendant l’orogénèse hercynienne autour de 340-320 Ma. Le granite de Kersaint au nord de Guipavas, correspond à une roche claire, grossière, montrant de gros feldspaths potassiques. Sa bordure méridionale se caractérise par des zones d’écrasement, plus ou moins intense, avec des bandes d’ultramylonites grises. Ce sont les témoins du passage de l’une des failles majeures structurant le Massif armoricain, depuis la région d’Alençon jusqu’à l’île Molène (Chauris, 1969). On attribue à ce cisaillement des décrochements latéraux dextres de l’ordre de 15 à 20 km, entre la pointe de Corsen et Moncontour (BRGM, 1980).

-Plus au sud, la formation des gneiss et micaschistes du Conquet, montre une succession de niveaux de gneiss et de micaschistes discontinus, formant un coin dont la largeur se réduit progressivement vers l’est (BRGM, 1972). Ces roches sont affectées au nord par le cisaillement Corsen - Moncontour, d’orientation sensiblement est-ouest, recoupant la linéation OSO-ENE des formations métamorphiques : phyllonites (mylonites schistosées). Un gabbro juxtaposé aux gneiss et micaschistes du Conquet a été observé localement entre les falaises de Porsliogan et le bourg de Guipavas (BRGM, 1972 et 1989). Cet amas métabasique est actuellement considéré comme la suture d’un océan qui occupait l’emplacement de la Manche avant la convergence des plaques Avalonia et Armorica, entre 440 Ma et 390 Ma (Ballèvre *et al.*, 2011). Au moment de la collision, les roches ont été métamorphosées et écaillées : terrassements de la rocade nord de Guipavas et du lotissement du Vizac.

-Les gneiss de Brest constituent un ensemble complexe au sud des micaschistes du Conquet. Ils dérivent en partie de roches magmatiques métamorphosées postérieurement à leur mise en place. De nouvelles datations du protolithe de l’orthogneiss de Brest ont livré un âge cambrien (504 et 529 Ma) postérieur aux dates proposées antérieurement (BRGM, 2010). L’existence de paragneiss est également suggérée par la présence de niveaux discontinus quartziteux, entre La Forêt-Landerneau et les falaises de la pointe Saint-Mathieu, ainsi que de rhyolithes métamorphiques (Chauris et Hallégouët, 1973 et 1974). Le contact entre les gneiss de Brest et la formation des gneiss et micaschistes du Conquet est complexe. Des panneaux de gneiss de Brest sont associés aux micaschistes, mais on retrouve également ces derniers enclavés dans les gneiss plus au sud : collision hercynienne entre le bloc du Léon et la micro-plaque Armorica (Faure *et al.*, 2008).

-Les schistes zébrés de l’Elorn montrent une succession de lits phylliteux et gréseux indéfiniment répétés. La foliation schisteuse orientée OSO-ENE et le métamorphisme observés près du gneiss de Brest, n’ont pas effacé les plis serrés que l’on observe dans les falaises et sur les platiers en bordure de l’estuaire de l’Elorn. Ces schistes sont antérieurs à la mise en place du magma granodioritique correspondant à l’orthogneiss de Brest et ils sont attribués au Briovérien (plus de 600 Ma). Ils sont parfois enclavés dans les gneiss et leurs contacts avec les formations ordoviciennes (quartzites de la Roche-Maurice) sont discordants ou tectoniques (BRGM, 1980, 2010).

### 1.2.2.2. Altérites

Pendant l’orogénèse hercynienne, les formations du substratum ont subi de fortes tensions. En surface, on observe le tracé de grandes failles directionnelles, parfois décalées par des failles obliques ou transversales. En fonction de la répartition des compressions et de distensions, certaines fractures ont été remplies de magma, comme les dolérites datées du Jurassique, injectées dans les gneiss et les

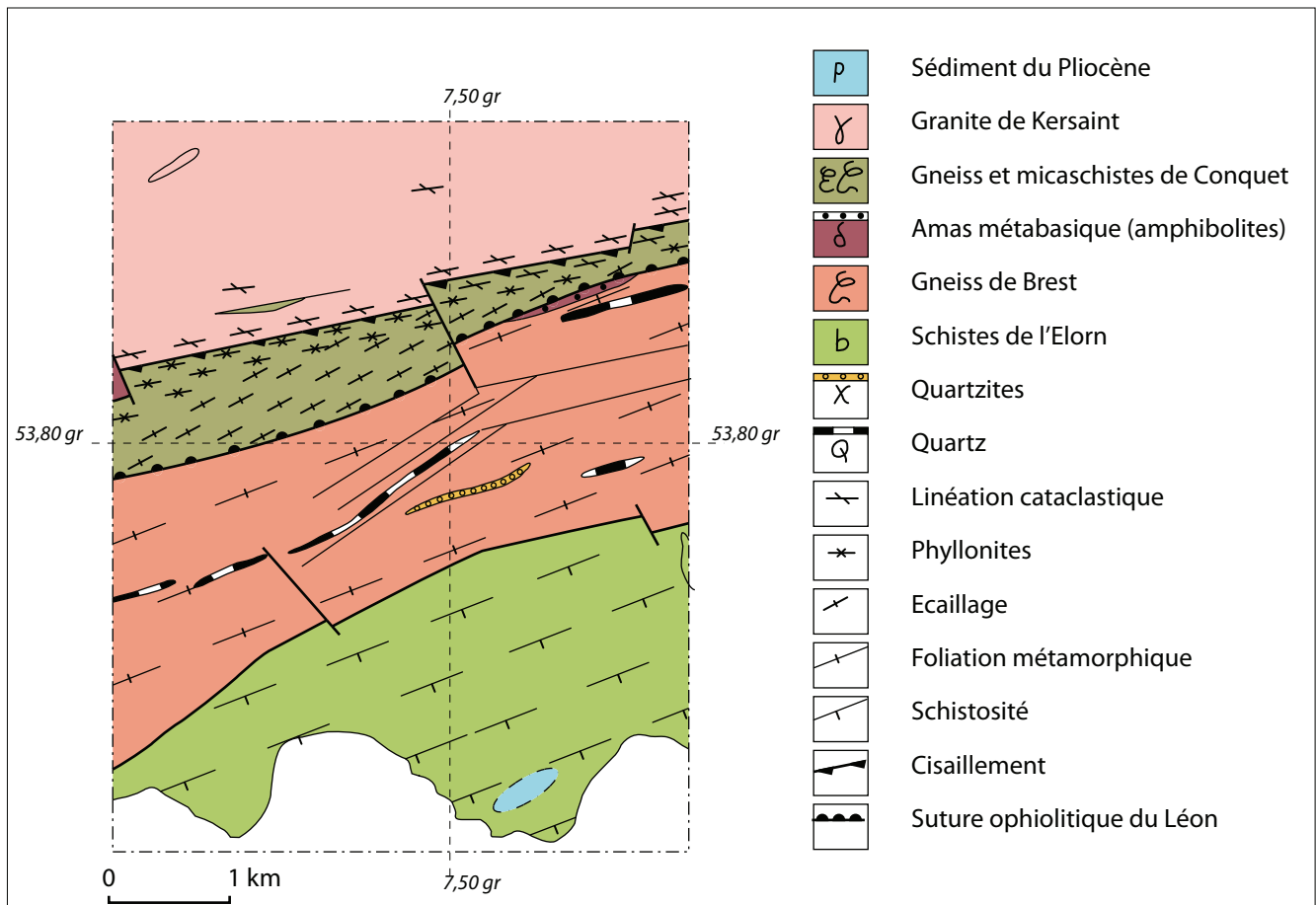


Fig. 8. Croquis géologique de Guipavas (dessin B. Hallégouët, DAO J. Conan).

micaschistes, de Pors Milin à Breterc'h, sur le parcours de la faille Kerforne, à l'est du Conquet (BRGM, 1989). D'autres fractures ont livré passage à des solutions aqueuses chaudes qui ont engendré des cristallisations et formé des filons pouvant atteindre plusieurs mètres de puissance, comme les bandes de quartz qui arment les gneiss entre Brest et Landerneau. Les circulations hydrothermales ont pu également altérer les roches fissurées par les failles, avec parfois production de kaolinite, par hydrolyse de minéraux comme les micas et les feldspaths. On constate que la densité des fissures diminue en profondeur, de même que la perméabilité des roches. La campagne de sondages de résonance magnétique protonique (RMP) sur le bassin versant de la rade de Brest a permis une estimation moyenne des épaisseurs correspondant aux roches fissurées : 44,4 m pour le granite de Kersaint grossier, 42,75 m pour les micaschistes, 44,0 m pour les gneiss de Brest et 46 m pour les schistes de l'Elorn (Mougin *et al.*, 2003).

L'espace des fissures augmente au fur et à mesure que l'on s'élève dans le profil, en raison de l'hydratation et du changement de volume des minéraux altérables. Vers la surface, en raison de la décompression de la roche, les joints verticaux et horizontaux s'ouvrent ce qui facilite la circulation des eaux. Ce sont les micaschistes du Conquet qui possèdent les teneurs en eau les plus élevées : 6,1 % pour l'horizon fissuré supérieur et 7,1 % pour les altérites. Le granite grossier de Kersaint présente respectivement 3,7 % et 4,6 % pour les deux niveaux considérés. Par contre, le gneiss de Brest a des capacités relativement faibles : 3 % et 0,7 % (Mougin *et al.*, 2003).

La surface supérieure de la zone fissurée est accidentée, comme l'avait montré la campagne de reconnaissance précédant l'ouverture du chantier de la nouvelle RN 12. Le granite de Kersaint est localement sub-affleurant à la surface du plateau entre l'aérodrome de Brest Guipavas et l'échangeur de Kergaradec. Les talwegs ont été guidés par des fractures profondes aquifères qui ont orienté les écoulements souterrains. Des sources d'eau minéralisées parfois radioactives ont été reconnues

sur le trajet du cisaillement Corsen – Moncontour. Celle de Keroual au sud de Guilers, a été exploitée aux XVII<sup>e</sup> et XVIII<sup>e</sup> siècles à des fins thérapeutiques (BRGM, 1980). Dans l'ensemble, le front des altérites est irrégulier, comme l'ont révélé les sondages menés à la tarière mécanique (BRGM, 2000). L'altération du socle cristallin s'est exercée pendant les périodes d'émersion depuis le retrait des mers du Crétacé (Schroetter, 2010). D'autres transgressions marines se sont également manifestées tout au long du Tertiaire et ont élaboré des surfaces étagées entre les Monts d'Arrée et la Manche. L'érosion linéaire des cours d'eau s'est manifestée pendant les périodes de régression marine, en fonction de l'évolution climatique et des mouvements positifs du socle armoricain, par rapport aux orogènes pyrénéenne et alpine.

Les transgressions marines du Pliocène ont submergé le plateau léonard, mais les témoins de son passage restent discrets, à part les argiles à spicules d'éponge de la vallée de l'Elorn, exploitées près de Landerneau par les Romains, pour la confection de poteries et de tuiles (BRGM, 2010). Le décapage des altérites s'est par la suite poursuivi par ruissellement et par déflation éolienne, pendant les périodes froides du Quaternaire.

### 1.2.3. Dépôts superficiels

Le sommet des altérites est souvent flué et pendant les périodes glaciaires, au moment du dégel estival, les débris libérés en haut de versant par la cryoclastie alimentaient des coulées boueuses, constituant le head périglaciaire. Lors du dernier maximum glaciaire, il y a 20 000 ans, des vents catabatiques issus de la calotte britannique ont soulevé des particules fines sur les fonds de la Manche alors asséchée. Elles se sont déposées sur les collines de Bretagne, en particulier entre Portsall et Saint-Pol-de-Léon et constituent des limons lœssiques rarement carbonatés (Hallégouët, 1971). Ces formations sont peu abondantes dans la région de Guipavas, où elles ont alimenté parfois des colluvions en contrebas des grands versants pendant la période post glaciaire. On les trouve aussi dans les têtes de vallon où elles passent progressivement vers l'aval à des alluvions.

### 1.2.3. L'emprise du diagnostic

Plusieurs entreprises sont déjà installées à Lavallot en bordure de l'ancienne RN 12. L'extension projetée se développe vers le nord jusqu'à la nouvelle RN 12 et en direction de la zone de Kergaradec, en limite de la commune de Gouesnou.

La zone s'étend de part et d'autre de la crête de la garenne du Scraign, dominant vers le sud un long ensellement se tenant vers 70 m d'altitude, suivi par l'ancienne RN entre les échangeurs de Pen ar Reun et de Pontrouff. Au nord s'ouvre une tête de vallon drainée par un ruisseau s'encaissant entre Le Scraign et Créac'h Burguy, pour rejoindre la rivière du Moulin du Cam. La surface du plateau du Léon nivèle la crête du Scraign ainsi que la partie nord de la ZAC en direction de Gouesnou, entre 90 m et 100 m d'altitude.

L'ensemble de la zone appartient au bassin versant de la rade de Brest et les eaux du vallon de Créac'h Burguy rejoignent l'anse de Kerhuon. Latéralement des écoulements pourraient vers le sud-ouest, atteindre le vallon du Costour, qui débouche dans l'anse du Moulin Blanc.

Les décapages entrepris confirment les observations effectuées en 1969 lors de la préparation de la troisième édition de la feuille Brest au 1 : 80 000 (BRGM, 1972 ; **fig. 9**). Ils ont mis au jour les ultra-mylonites de la limite méridionale du granite de Kersaint et révélé l'importance des phyllonites (mylonite d'aspect schisteux) au nord de la série des micaschistes et gneiss du Conquet. Un panneau de micaschiste écrasé, enclavé dans le granite, a été également observé dans la tête de vallon de Créac'h Burguy. Les travaux ont aussi confirmé la présence de grandes poches d'arène granitique dans ce secteur. Les altérites atteignent localement 10 m d'épaisseur, mais la roche saine fissurée est localement sub-affleurante. Dans ce secteur, les limons



péglaciaires ont été décapés et les sols se développent souvent sur une arène parfois limoneuse. Des épaisseurs de limon supérieures à 1 m avaient été reconnues lors des explorations menées à la tarière manuelle en 1969, à l'ouest des établissements Pichon, en direction de Kererven.

La zone considérée, au sud de la garenne du Sraign, se situe au croisement de deux accidents tectoniques majeurs : la suture du Conquet au nord des gneiss de Brest et le cisaillement Corsen – Moncontour, au sud du granite de Kersaint. La complexité de cette zone a pu être observée en détail plus à l'est, lors de travaux de terrassement menés ces dernières années, dans l'agglomération de Guipavas.

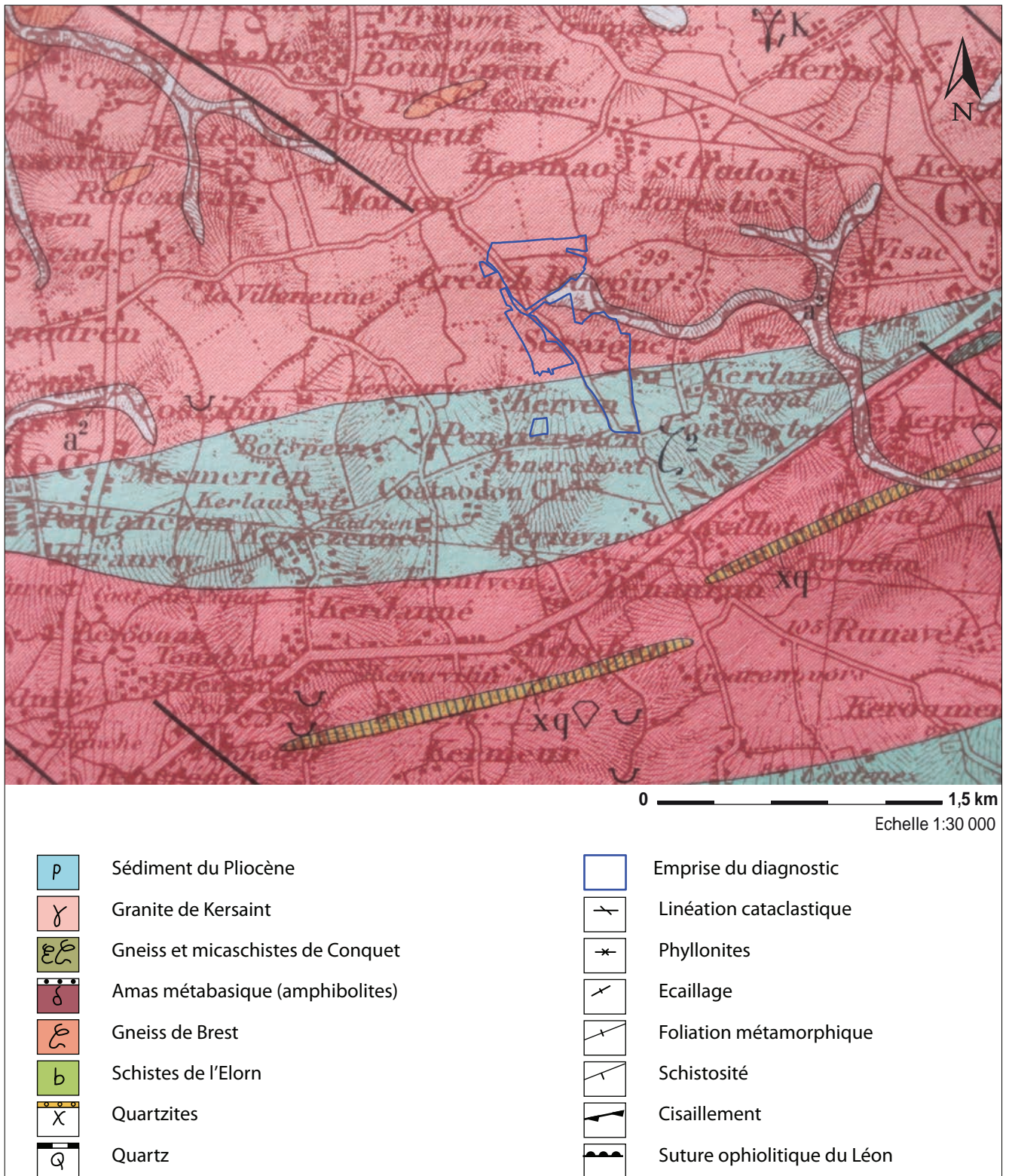


Fig. 9. Extrait de la carte géologique de Brest au 1 : 80000 (d'après BRGM, 1972).



### 1.3. L'apport de la micro-toponymie à partir de l'examen du cadastre napoléonien et des sources anciennes (D. Léal)

Le secteur est très riche pour ce qui est de la toponymie (il y a des noms latins et bretons impossibles à traduire). En allant vers Brest, en direction de Pen ar Créach, Kerdanné, Kerlaurent, on trouve plusieurs noms révélateurs de la présence gallo-romaine : ar Roumen, Stréat ar Roumen, Stréat Glas, Cosquer, Vilar, Croas ar Gal, *etc.*, mais tout la zone est actuellement couverte par des bâtiments. Il est également intéressant de noter l'implantation sur la ligne de crête en allant vers l'est des toponymes Parc ar Castel, ar Castellic, ar Bastil.

L'emprise du diagnostic est à cheval sur les sections H3 de Kermao et G2 de Coataodon du cadastre napoléonien (fig. 10).

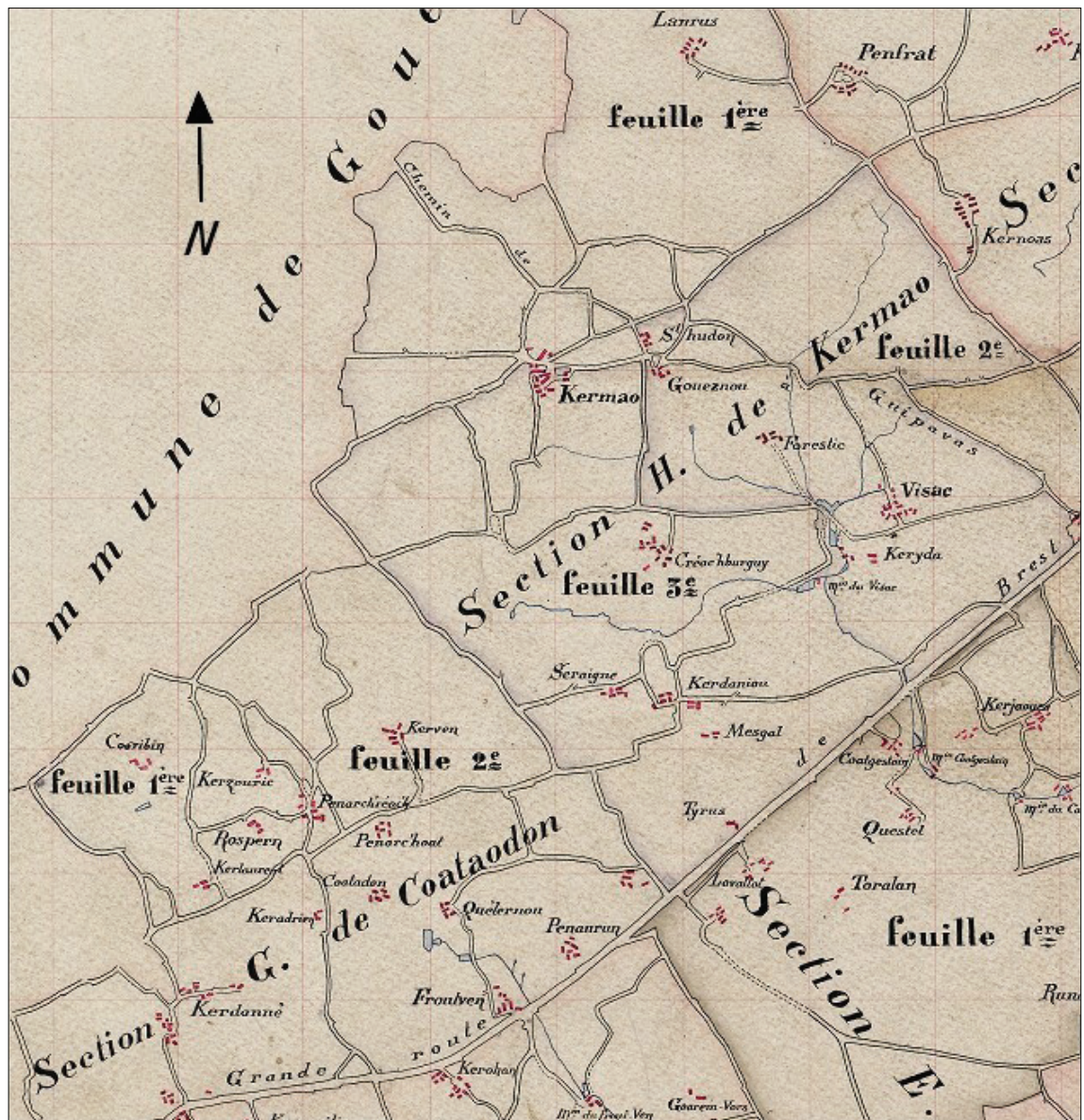


Fig. 10. Extrait du tableau d'assemblage, commune de Guipavas, Section de Kermao, cadastre de 1828.

#### 1.3.1. Kerervern (fig. 11)

1. parcelle 475 : parc ar groas ruz = champ de la croix rouge
2. parcelle 477 : goarem corn quoniam
3. parcelle 478 : goarem corn quoniam
4. parcelle 487 : an emgann = le combat
5. parcelle 488 : lanoguic an emgan = petite lande du combat
6. parcelle 491 : parc ar groas = champ de la croix



- 7. parcelle 490 : parc ar groas
- 8. parcelle 515 : stréat moan = chemin étroit
- 9. parcelle 563 : parc ar groas
- 10. parcelle 564 : parc ar groas
- 11. parcelle 473 : stréat ar mervellec

Stréat ar Mervellec : embryon de chemin semblant se diriger vers le Valy, à remarquer un autre embryon de chemin (8. Streat Moan).

Mervel : d'après le dictionnaire de Le Gonidec (Hersart de la Villemarqué, 1850) : mourir, cesser de vivre, trépasser ; daré eo bed d'ezhan mervel (il a été sur le point de mourir), mervellec : mortel.

Ce toponyme peut-il être mis en rapport avec la croix rouge et le cimetière du haut Moyen Age mis au jour lors du diagnostic archéologique ?

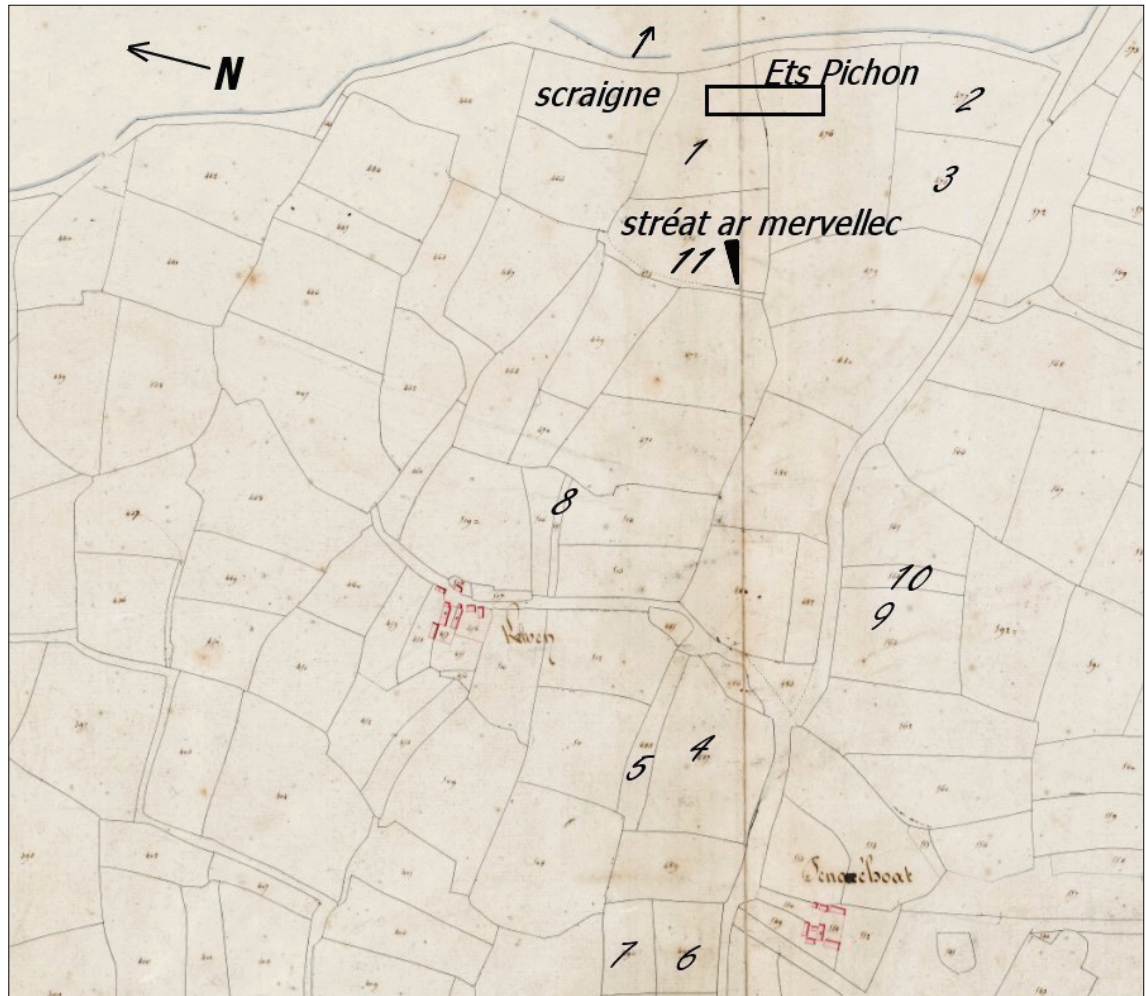


Fig. 11. Kerervern, extrait du cadastre napoléonien (DAO D. Léal).

Yves-Pascal Castel écrit (1997, p. 19) : « *croas ru : croix rouge des templiers ? Mémorial de combat ?* » Pour aller dans le sens de l'hypothèse du combat, il y a la présence proche des parcelles nommées « an emgann ». Les archives consultées ne remontent pas avant le XV<sup>e</sup> siècle. On peut juste mentionner les combats de la guerre de la Ligue en 1592 qui eurent lieu entre les troupes de Sourdeac et celles des Ligueurs menées par le duc de Mercœur. Une partie des ligueurs avait établi son camp entre Guipavas et Brest, les combats firent de nombreux morts dans les deux camps (Levot, 1865).

9 et 10 (parc ar groaz) : il est fait mention dans le bulletin diocésain d'histoire et d'archéologie (1912, p. 192) d'une croix de Penhoat près du manoir de Coataudon<sup>1</sup>, elle a aujourd'hui disparu.

1. « Croix du Penhoat. Au bout d'une ancienne allée menant au manoir de Coataudon. Il n'en reste debout qu'une belle colonne ayant à son sommet une traverse qui a dû porter, outre la croix, deux personnages » (Peyron, Abgrall, 1912, p. 192).



### 1.3.2. Kerinvarch (fig. 12)

1. parcelle 574 : coat quoniam = bois *quoniam*
2. parcelle 575 : coat quoniam
3. parcelle 586 : parc ar choat vilar bras = champ du grand bois de la villa
4. parcelle 587 : parc ar choat vilar bian = champ du petit bois de la villa
5. parcelle 660 : parc ar porastel = champ de la herse ou porte de fortification ou barrière à deux battants au bout d'une allée

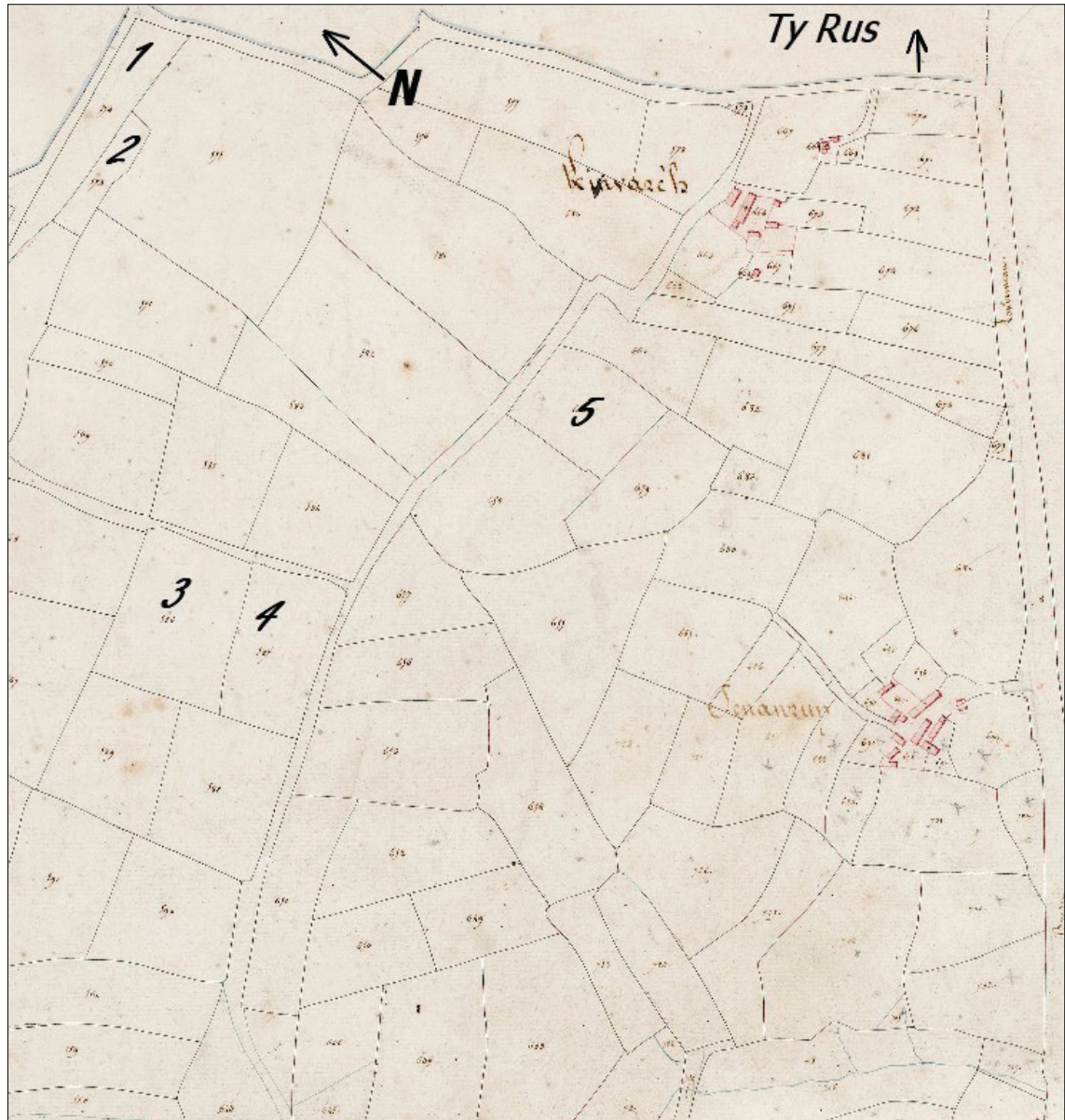


Fig. 12. Kerinvarch, extrait du cadastre napoléonien (DAO D. Léal).

### 1.3.3. Ty Rus (fig. 13)

La parcelle 935 est la seule faisant mention de Ty Rus. A noter que dans les baillées ducales de 1486, il est fait mention pour ce secteur du terroir de Coz Heber (« heber » : trad. hébergement), était-ce une maison ou une auberge peinte en rouge ?



Fig. 13. Ty Rus, extrait du cadastre napoléonien (DAO D. Léal).



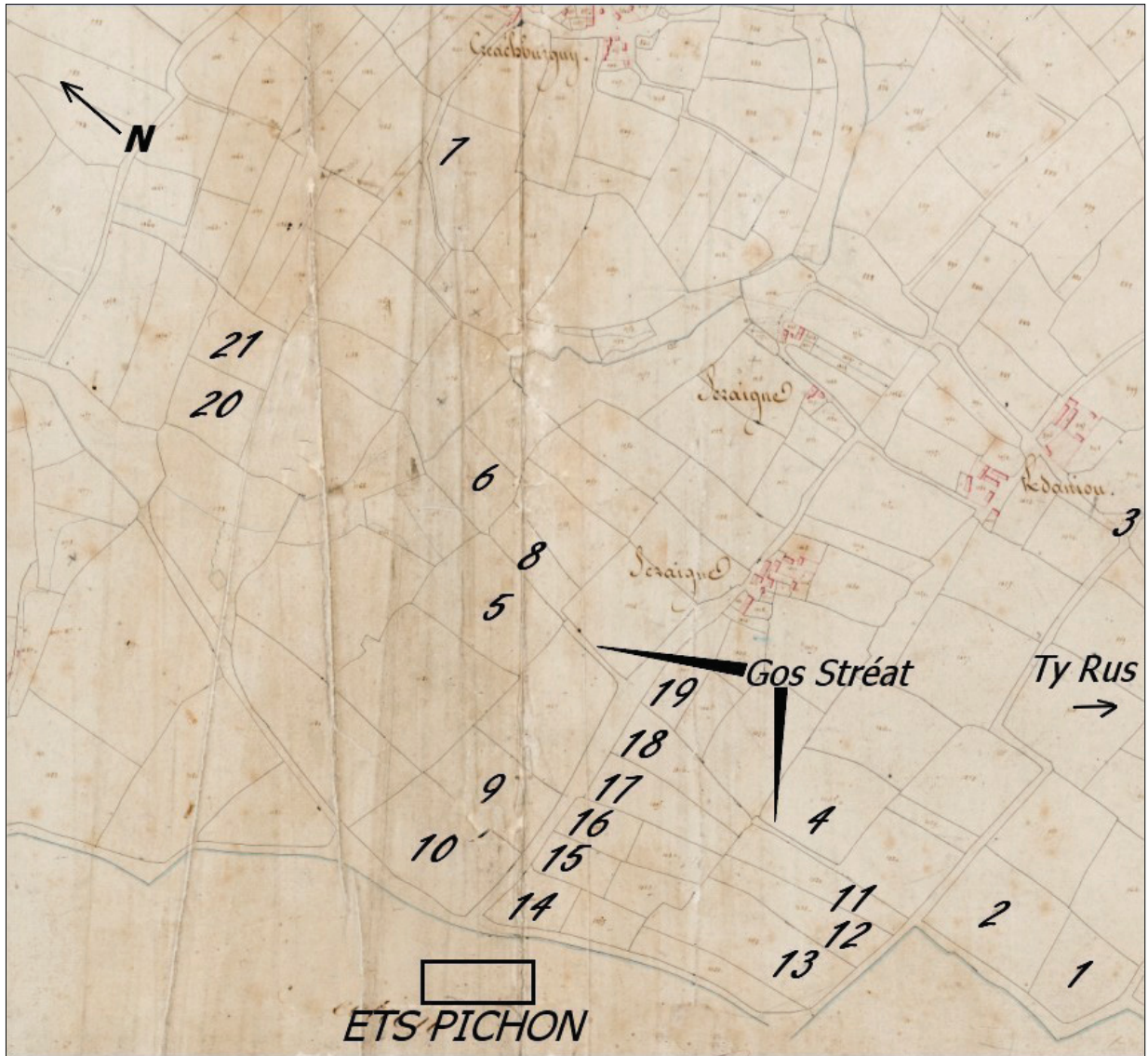


Fig. 14. Scraign, extrait du cadastre napoléonien (DAO D. Léal).



Fig. 15. Lavallot, extrait du cadastre napoléonien (DAO D. Léal).

### 1.3.4. Scraign (fig. 14)

1. parcelle 966 : goarem coadic quoniam = garenne du petit bois *quoniam*
2. parcelle 967 : goarem coadic quoniam
3. parcelle 971 : ar vilar = « vilar » comme « guiler » dérivent du latin *villa* qui désigne des domaines ruraux importants
4. parcelle 1042 : goarem ar gos streat = garenne du vieux chemin
5. parcelle 1162 : goarem ar gos streat
6. parcelle 1160 : goarem bian ar gos streat
8. parcelle 1161 : goarem ar bran = garenne du corbeau
9. parcelle 1128 : goarem ar groas bian = petite garenne de la croix
10. parcelle 1129 : goarem ar groas bras = grande garenne de la croix
11. parcelle 1031 : coat quoniam = bois quoniam
12. parcelle 1032 : coat quoniam
13. parcelle 1033 : coat quoniam
- 14 à 18. parcelles 1002, 1009, 1004, 1005, 1006 : goarem ar valy = garenne de l'allée
19. parcelle 1007 : parc ar rous = le champ roux
20. parcelle 1134 : lannoc ar promelec = petite lande de promellec
21. parcelle 1135 : lannoc ar promelec

*Quoniam* est un intéressant surnom médiéval délocutif (formé sur une parole censée être ou avoir été prononcée par la personne ainsi nommée, à titre professionnel ou comportemental évoquant la profession ou la fonction), issu de la conjonction latine *quoniam* : « du moment que, puisque » en tant que parole tirée d'un chant, d'un texte liturgique ou légal. On a donc affaire ici à un possible surnom de chantre d'église, mais le mot *quoniam* figure également dans diverses formules légales et un sobriquet de clerc est donc aussi envisageable.

Dans le papier terrier de Guipavas de 1685, voici ce qui est dit de la description des propriétés du manoir de Coataudon : « *autre garenne nommée goarem bras pella donnant au septentrion sur croix quoniam sur le chemin qui conduit du passage de Treizquinnec à st gouesnou* ». Nous trouvons le terme latin : « quoniam » que l'on peut traduire par puisque, parce que. Dans ce secteur, on trouve un certain nombre de noms à consonance latine : *cilisa, francesca, ploegata* (en rapport avec le visac : terminaison romane *acum* ?).

Gos streat : l'adjectif « gos » (vieux) placé avant le nom indiquant l'ancienneté comme dans « cosquer », s'agit-il d'un chemin antique ? On voit d'ailleurs en 8 un embryon de chemin qui part de Creac'h Burguy.

Ar bran : dans les baillées ducales de 1486 de la sénéchaussée de Brest et Saint-Renan (cote b 476 archives Loire-Atlantique), il est écrit : « *terroir de Kerguimarch<sup>2</sup> parc gartz an roux prés le chemin de st goueznou à treizquinnec, 5 arpents, autre parc idem prés de la montagne roch ar bran cerné de vieux fossés.* »

On voit également que dans les baillées, il est souvent fait mention dans ce secteur du chemin ou grand chemin qui mène de Treizquinnec (le Passage au Relecq-Kerhuon aujourd'hui<sup>3</sup>) à Saint-Gouesnou. D'ailleurs, de l'autre côté du carrefour de Lavallot (appelé terroir de « an avallot<sup>4</sup> » dans les baillées) venant de Kerhuon, il y avait une autre croix (parc ar groas : parcelle 6, section du Relecq du cadastre napoléonien (fig. 15)). Ce chemin correspond à la voie venant de Cornouailles qui est d'abord appelée dans sa partie sud chemin des Gaulois, puis qui bifurque avant Runavel et part vert le nord et l'ouest (Lavallot). Il s'agissait sûrement d'une voie très fréquentée.

Ar rous : ce terme est employé pour un champ à Kergavarec en Saint-Divy, près du Stréat ar Folgoët ; M. Abily a trouvé des tuiles gallo-romaines dans ce champ, d'où peut être le qualificatif roux (Pailler *et al.*, 2014).

Valy : allée, souvent employé à Guipavas quand il s'agit d'une allée menant à un manoir ou autre demeure importante.

2. Aujourd'hui écrit Kerinvarch.

3. Treiz, trad. le passage.

4. Trad. la pommeraie.





Fig. 16. Sraigne 1, extrait du cadastre napoléonien (DAO D. Léal).

### 1.3.5. Scraign 1 (fig. 16)

1. parcelle 1173 : goarem promellec
2. parcelle 1174 : goarem promellec
3. parcelle 1175 : goarem promellec
4. parcelle 1186 : goarem promellec
5. parcelle 1188 : goarem promellec
6. parcelle 1189 : goarem promellec
7. parcelle 1190 : goarem promellec
8. parcelle 1191 : goarem promellec
9. parcelle 1202 : goarem promellec
10. parcelle 1203 : goarem promellec
11. parcelle 1204 : goarem promellec
12. parcelle 1205 : goarem promellec
13. parcelle 1219 : goarem ar mouden = garenne des mottes ou du tertre
14. parcelle 1220 : goarem ar mouden
15. parcelle 1221 : goarem ar mouden

Dans le papier terrier de 1685, les garennes de Promellec sont appelées Prاتمellec. Aux archives de Brest (cote b 1734), il est fait référence à messire Guillaume de Coataudon, prêtre, sieur de Prاتمellec, de la chapellenie de Lescoët au prieuré Notre-Dame de Lesneven en 1669. C'est dans les parcelles portant ce nom que nous avons reconnu lors du diagnostic une assez importante occupation du bas Moyen Age (XIII<sup>e</sup>-XV<sup>e</sup> siècle) entourée d'un double fossé qui pourrait correspondre à un hameau voire un petit village.

En revanche, il n'est pas fait mention de Prاتمellec dans les bailliées duciales de 1486. Dans les bailliées duciales, il est fait mention dans le secteur du village de Pennankernech (Penarcréach aujourd'hui, kernech : ancien breton pour créach (trad. colline) et du village de Avallot ; les champs ne sont pas nombreux, certains noms ne se retrouvent plus dans le cadastre napoléonien, mais il y a Parc Kerarven qui a donné le petit village de Kererven, Kerguymarch aujourd'hui Kerivarch et la montagne déjà citée dans le descriptif des parcelles : montagne Roch ar Bran (trad. montagne du rocher du corbeau).

Dans la dépêche de Brest des 20 et 22 février 1934, Louis Le Guennec donne un aperçu des maisons nobles de Guipavas et de leurs possessions en 1674. Pour ce qui concerne la cordelée du Froutvén, voici ce qu'on apprend : « *le manoir de Kerarnou affermé à Guillaume Le Coueffeur pour 150 livres, le lieu noble de Lhervet-Hir affermé à Jacques Kérian pour 120 livres, les garennes du Scraign affermée 42 livres, le manoir noble de Kervern, tenu en ferme par Hiérome Le Roux, moyennant 105 livres ; deux garennes dites Goaremmou Prاتمellec, affermé 43 livres et données en supplément de partage du Sieur de Kerléach, prêtre de l'Isle d'Oyssant, le tout dépendant du dit manoir de Coataudon.* » Précisons que le lieu-dit Promellec existait encore au début du XX<sup>e</sup> siècle puisqu'il est usité dans une annonce de vente de terres publiée dans le Courrier du Finistère du 18 janvier 1902 : « en la commune de Guipavas, au terroir de Promellec, 1<sup>o</sup> une garenne de terre labourable, dite Goarem Promellec, contenance de 1 ha 34 ares 70 centiares ». Le lieu-dit est encore mentionné en 1919 (14 juin) dans le même journal. ([http://mnesys-viewer.archives-finistere.fr/accounts/mnesys\\_cg29/datas/medias/collections/bibliotheque/presse/4MI020/FRAD029\\_4MI\\_020\\_1902\\_01\\_04\\_001\\_1902\\_01\\_25\\_004.pdf](http://mnesys-viewer.archives-finistere.fr/accounts/mnesys_cg29/datas/medias/collections/bibliotheque/presse/4MI020/FRAD029_4MI_020_1902_01_04_001_1902_01_25_004.pdf))

Prاتمellec est composé de la racine « maël » (trad. prince) ou comme « Mellac » dans le sud-est du Finistère (nom d'origine gallo romaine associant un radical gaulois « mello » (trad. colline), sinon « meleg » (trad. mielleux) : pré où il y a du miel. A ce propos, des anciens agriculteurs de Kervao qui possédaient une partie de ces garennes disent qu'il y avait beaucoup d'abeilles (terres assez pauvres converties en pâtures).



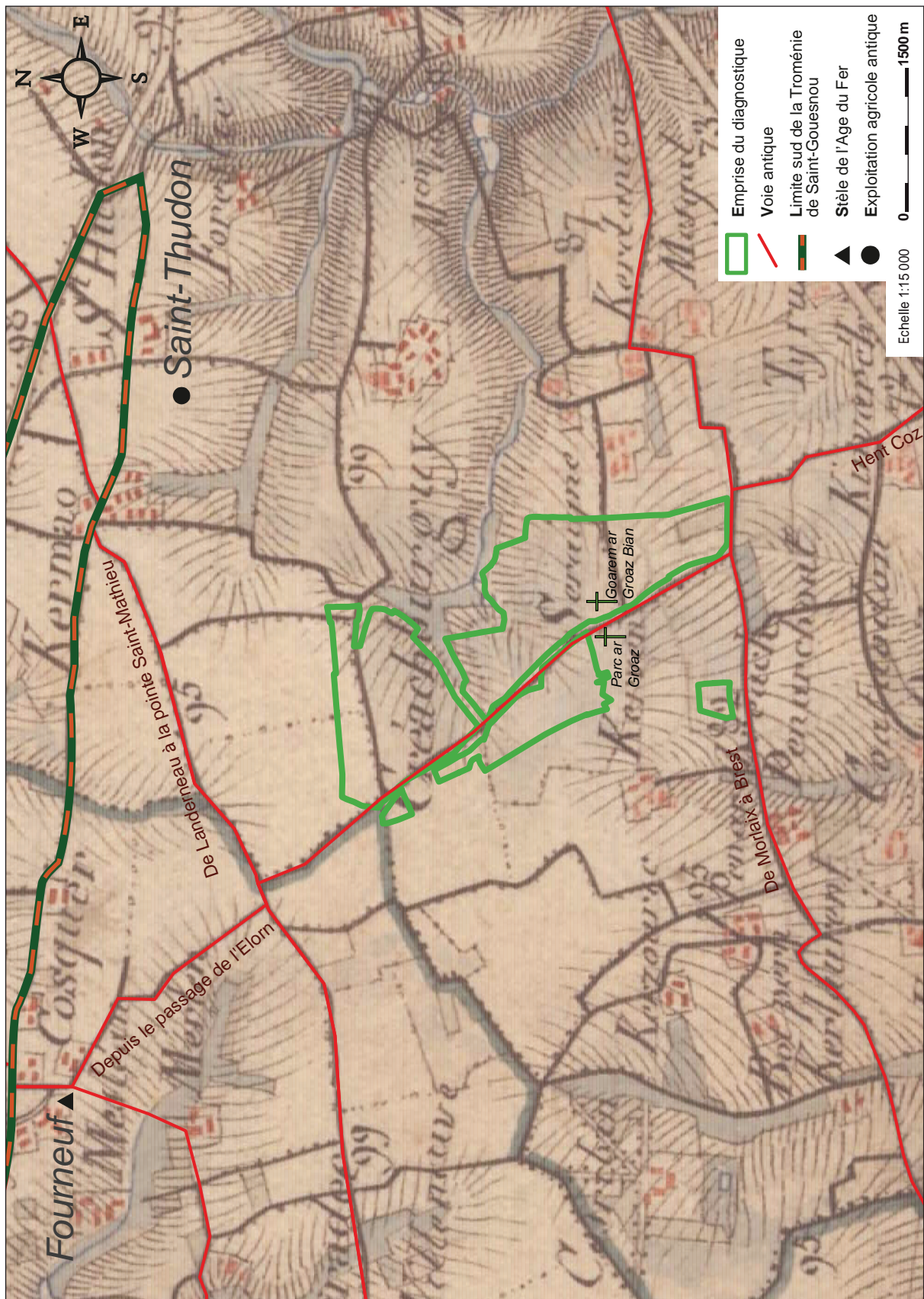


Fig. 17. Carte des sites archéologiques et des voies antiques présumées autour de l'emprise du diagnostic sur fond de carte d'Etat major.

## 1.4. Contexte archéologique

Nous avons tenté dans un précédent rapport de présenter un aperçu assez exhaustif de l'environnement archéologique de la commune de Guipavas et des communes avoisinantes (Pailler *et al.*, 2014). Nous nous contenterons de mentionner ici les éléments qui intéressent les environs proches de l'emprise du diagnostic. Rappelons que l'inventaire des sites et indices de sites archéologiques est désormais corrélé à un SIG de la commune ce qui permet aisément de sortir des cartes thématiques ou chronologiques. Par ailleurs, cette base de données est destinée à s'enrichir au fil des résultats des opérations préventives qui auront lieu sur le territoire communal.

### 1.4.1. Préhistoire

Le seul site répertorié dans l'environnement proche du diagnostic est l'important gisement du Mésolithique final de Kerlaurent qui est implanté à 90 m d'altitude à la confluence entre le Stang Alar et un petit ru. Silex côtier, microquartzite de la Forêt-Landerneau et, dans une moindre mesure, quartzarénite sont les roches les plus exploitées. Dans la série, les trapèzes dominent largement même si quelques armatures indiquent une occupation plus ancienne des lieux (Le Goffic, 2006).

### 1.4.2. De la fin de la Protohistoire au Moyen Age

Dans l'environnement proche du diagnostic, ce se sont pas moins de trois voies présumées antiques qui sont inventoriées (Le Pennec, 2000) (**fig. 17**).

L'emprise du diagnostic est traversée par la voie qui part du Passage sur l'Elorn (Le Relecq-Kerhuon) et remonte vers le nord-ouest en passant par Keroumen (Le Relecq-Kerhuon), Lavallot (Guipavas) puis Kergalet (Gouesnou) pour atteindre le lieu-dit Kerviniou à Milizac (Eveillard, 1990). Localement, de Lavallot à Cosquer, cette route est quasi-rectiligne et a une orientation strictement NO-SE. A son extrémité nord-ouest, au lieu-dit Fourneuf (transformé en Bourg Neuf), une stèle gauloise haute quadrangulaire est répertoriée.

Au sud, le bord de l'emprise est bordé par un tronçon de la voie allant de Morlaix à Brest qui est globalement orienté est-ouest. Localement, on la suit entre Kerdaniou et Kerlaurent.

Au nord, c'est la voie de Landerneau à la pointe Saint-Mathieu, orienté ENE-OSO que l'on suit entre Saint-Hudon et Kergaradec. Elle passe à quelques dizaines de mètres au nord de l'emprise.

A moins d'un kilomètre de l'extrémité nord-est de l'emprise, il nous faut mentionner le site gallo-romain de Saint-Thudon mis au jour par notre collègue E. Roy (2010) lors d'un diagnostic archéologique visant à la création de la ZAC éponyme. Ont été mises au jour lors de cette opération deux occupations gallo-romaines attribuées au I<sup>er</sup> siècle situées de part et d'autre d'un chemin orienté nord-sud que le fouilleur propose de faire remonter à l'antiquité. A l'est comme à l'ouest de ce chemin, ont été reconnus des bâtiments sur poteaux associés à un réseau de fossés parcellaires. Sur ces deux sites correspondant à de l'habitat rural, le mobilier recueilli comprend de la céramique commune, de la sigillée, de la *terra nigra* et des *tegulae* assez rares.

Plus au nord encore, on peut mentionner la limite méridionale de la troménie de Saint-Gouesnou que l'on suit de Saint-Hudon au Cosquer en passant par Kermao (Tanguy, 1984).

La carte des ingénieurs du roi de 1785 concernant le secteur de Saint-Hudon est intéressante car elle donne une photographie du parcellaire bocager, du réseau viaire et des hameaux à la fin de l'Ancien Régime (**fig. 18**). Au nord, y sont notées des

indications concernant la présence de croix à Kervao, Saint-Hudon et Pénéty. On remarque la présence de chemins non répertoriés sur la carte d'Etat major comme par exemple celui nommé Goz Streat (Léal et Pailler, ce volume), orienté nord-sud, qui part du sud de l'embranchement de Lavallot et rejoint le village de Kervao où passe la voie antique de Landerneau à la Pointe Saint-Mathieu. Ce chemin forme la limite est de l'emprise et est parfaitement visible malgré des manques dans son tracé sur le cadastre napoléonien. Certaines anomalies de terrain sont également représentées comme l'importante butte qui se trouve au nord de Scragn et sur laquelle nous reviendrons puisqu'il s'agit d'un pointement granitique exploité comme carrière durant la période gallo-romaine.

En partant du lieu-dit Scragn, un chemin part vers l'est en direction de Kerdaniou et Bas Scragn et semble mener à une petite enceinte de forme absidale délimitée par un chemin. Plusieurs des parcelles qui bordent ce chemin portent le nom de Valy, toponyme indiquant une allée menant généralement à une demeure de quelque importance. On ne manquera de faire remarquer que la parcelle 971 (cadastre napoléonien), située dans le prolongement sud-est de cette possible enceinte s'appelle ar Vilar, toponyme qui pourrait indiquer la présence d'un établissement romain d'importance.

Cinq croix aujourd'hui disparues ont été révélées par l'étude micro-toponymique dans ou à proximité immédiate de l'emprise du diagnostic.

Bordant au nord le chemin Ar Valy et à l'est la voie du passage de l'Elorn, deux parcelles (1128, 1129) sont appelées Goarem ar Groaz. De l'autre côté de la voie du Passage sur L'Elorn<sup>5</sup> et dans le prolongement du chemin Ar Valy qui mène à Kerevern (représenté sur la carte des ingénieurs du Roy), la parcelle 475 porte le nom de Goarem ar Groaz Ruz. Nous avons donc là au niveau d'un petit carrefour la présence de deux croix implantées en vis à vis. La découverte d'un cimetière alto médiéval implanté immédiatement au sud et à l'est de ces croix n'est probablement pas fortuite même si la contemporanéité des vestiges n'est pas assurée (*cf. infra*).

Plus au sud, au niveau du croisement de Lavallot, à la jonction de deux voies anciennes (dont celles montant de l'Elorn) une autre parcelle (6) porte le toponyme de Parc ar Groaz.

Sur l'axe antique de Morlaix à Brest passant au sud immédiat de l'emprise et à quelques dizaines de mètres à l'est de Pen ar C'hoat, deux parcelles voisines (n° 490 et 491) portent les toponymes évocateurs de Parc ar Groaz. Toujours sur le même axe viaire, à l'ouest immédiat de Pen ar C'hoat, au nord de la route, les parcelles 563 et 564 sont toutes deux nommées Parc ar Groaz. La présence de ces croix indique clairement une continuité dans l'utilisation des voies antiques au cours du Moyen Age voire des périodes postérieures.

---

5. Sur une des parcelles actuellement occupée par l'entreprise Pichon.





Fig. 18. Carte des ingénieurs du Roy, secteur de Saint-Hudon (1785).



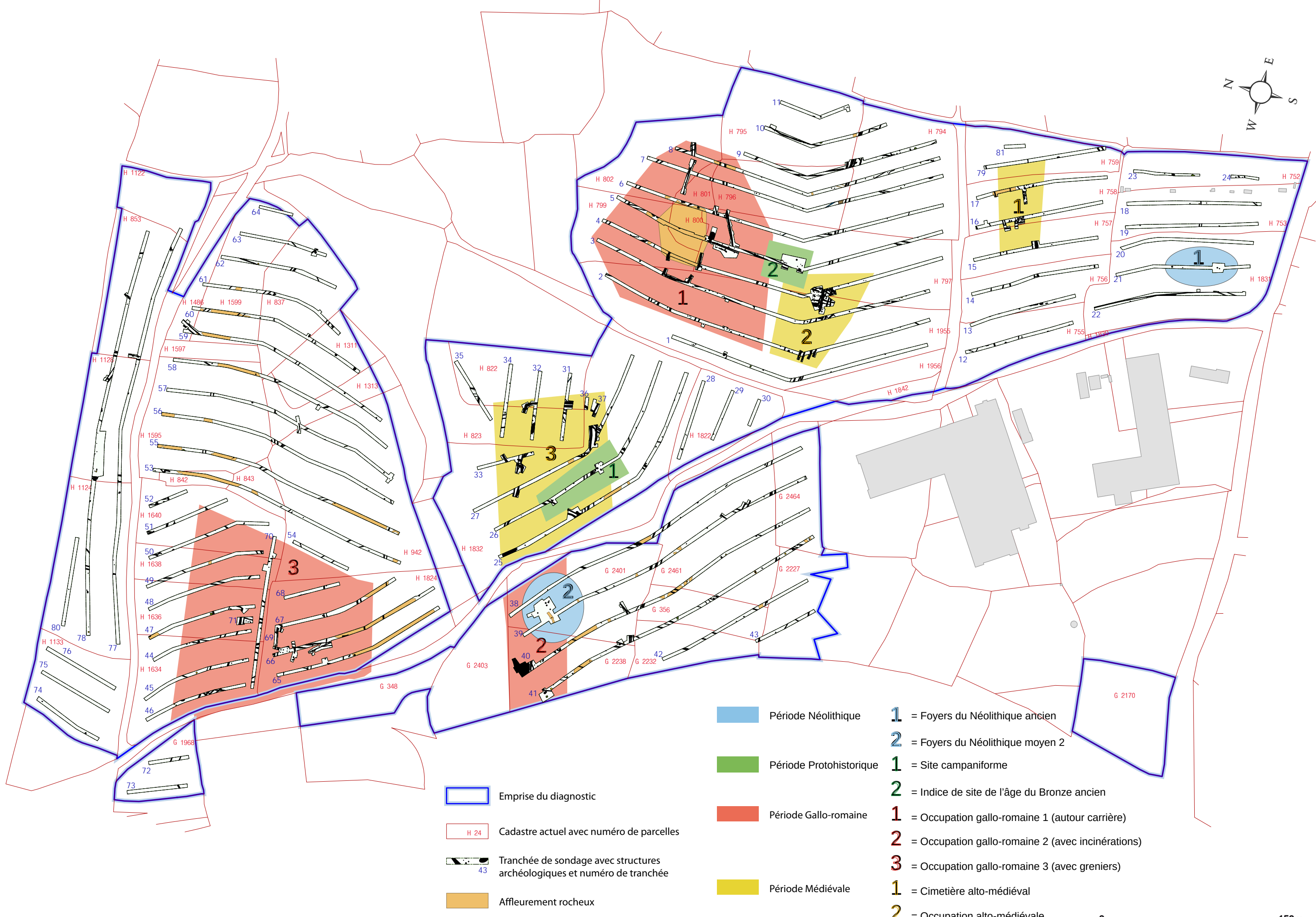


Fig. 19. Plan de répartition général des sites et indices de sites repérés dans l'emprise du diagnostic.

## 2. Les vestiges mis en évidence

### 2.1. Présentation

Le diagnostic effectué à la ZAC nord de Lavallot a permis la découverte de quatre sites archéologiques et de plusieurs indices de sites, auxquelles il faut ajouter des découvertes de structures semble-t-il isolées (**fig. 19**). Tous ces sites sont implantés sur le plateau léonard et occupent souvent des points hauts du paysage. Précisons quand même que les secteurs en contrebas des occupations sont généralement occupés par des petites zones humides classées en zone naturelle qu'il n'a pas été possible de tester. Dans l'éventualité de fouilles, il serait important de pouvoir y réaliser des carottages afin de mieux comprendre le comblement de ces vallons et de pouvoir effectuer des analyses palynologiques qui apporteraient sans doute des informations sur les paléo-environnements.

Du sud au nord, on peut résumer les occupations mises au jour de la manière suivantes :

A l'extrémité sud-ouest de l'emprise, quelques structures de combustion de type foyer à pierres chauffées semblent appartenir au Néolithique ancien sur la base d'une datation  $^{14}\text{C}$ , elles n'ont pas livré de mobilier.

Un cimetière du haut Moyen Age est installé sur un des points hauts dans la partie sud de l'emprise. Sur la base de la densité des sépultures repérées, on peut estimer que ce sont plus d'une centaine de tombes qui ont été creusées dans les phyllonites.

Un peu au nord, une occupation domestique du haut Moyen Age et une occupation gallo-romaine s'organisant autour d'un pointement granitique exploité comme carrière. Quelques indices de l'âge du Bronze ancien y ont aussi été reconnus.

Une occupation s'étendant chronologiquement du Moyen Age classique au bas Moyen Age est installé sur une petite colline. Elle correspond à un hameau ou un petit village nommé Prat Mellec. Ces terres dépendaient du manoir de Coataudon (mentionné dans des textes du XVII<sup>e</sup> siècle). Le site est circonscrit par un enclos fossoyé quadrangulaire. Dans la même emprise ou à proximité immédiate, quelques fosses appartenant à la culture campaniforme ont été reconnues ; une des structures un livré un ensemble céramique riche et original.

Une seconde occupation domestique gallo-romaine est installée en hauteur sur le plateau. Organisée autour d'un réseau parcellaire dense, on y a repéré des greniers, un four, des foyers, des trous de poteau et des fosses.

A l'ouest de l'emprise, le long de la N265, plusieurs indices ont été répertoriés : une fosse d'extraction de sable arénitique, un grand four en pierre sèche installé dans une fosse, deux urnes funéraires gallo-romaines. En tranchée 39, c'est une série de foyers à pierres chauffées qui a été reconnue ; l'un d'entre eux a livré un fragment de coupe à socle permettant de le positionner chronologiquement au Néolithique moyen.

Dans le nord-est de l'emprise, une autre série de foyers similaires a été mise au jour mais aucun n'a pu être daté.

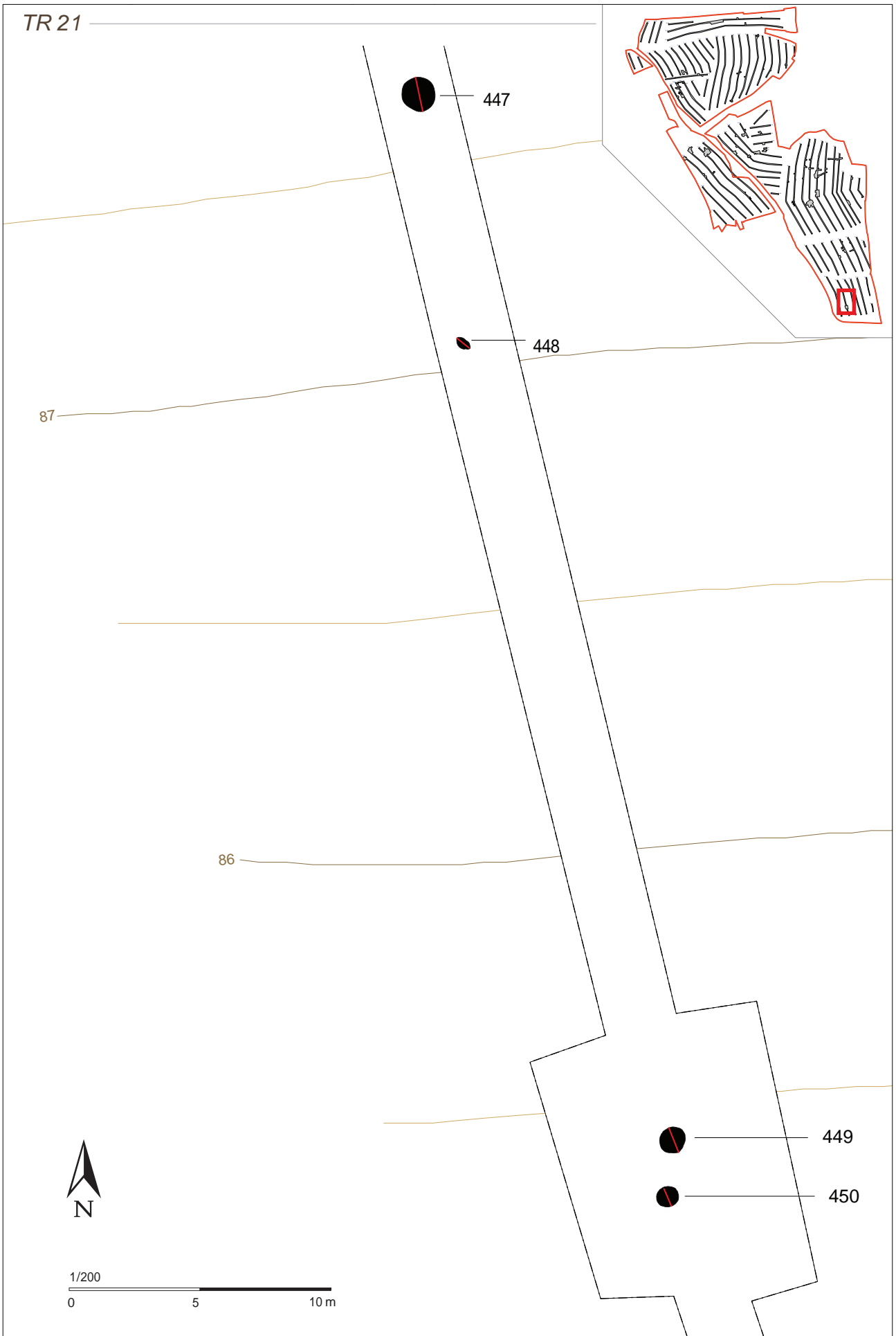


Fig. 20. Zoom sur la partie sud de la tranchée 21.

## 2.2. Le Néolithique

Dans plusieurs parcelles de l'emprise, on trouve en surface quelques rares silex taillés. Il s'agit dans la majorité des cas de supports issus du débitage sur enclume de petits galets de silex côtiers. Ces pierres taillées constituent un bruit de fond néolithique voire du bronze ancien. Dans le cadre du diagnostic, le Néolithique n'a été mis en évidence de manière certaine qu'à travers la reconnaissance et la datation absolue de foyers à pierres chauffées. Par analogie formelle, nous avons intégré à ce paragraphe les autres foyers à pierres chauffées mais il est bien évident qu'il faudrait multiplier largement les dates  $^{14}\text{C}$  pour se convaincre totalement de leur attribution au Néolithique.

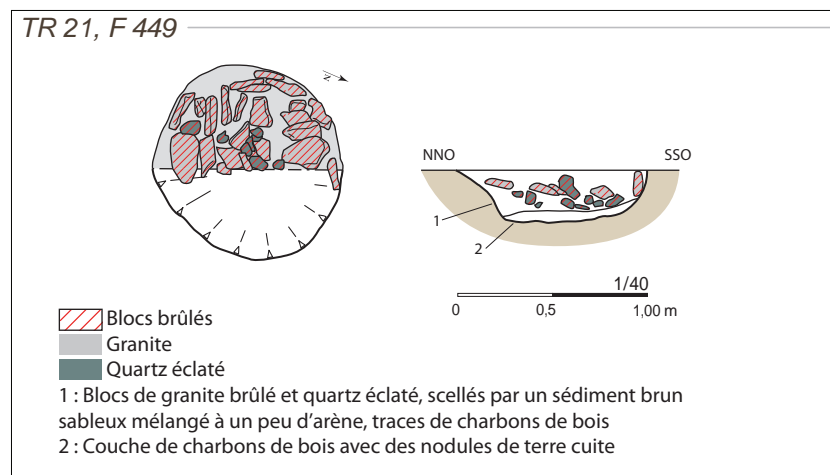
### 2.2.1. Des structures du Néolithique ancien en tranchée 21

Dans le sud de la tranchée 21, quatre structures proches les unes des autres pourraient se rapporter au Néolithique même si là non plus nous ne disposons pas de mobilier pour être affirmatif (**fig. 20**). Elles apparaissent assez profondément, entre 45 cm et 50 cm sous le niveau de sol actuel. Globalement, c'est le type de structures (foyers à pierres chauffées) et l'aspect lessivé du remplissage du trou de poteau qui nous incite à les attribuer à une période ancienne. Malgré la réalisation d'une fenêtre autour des deux foyers, nous n'avons repéré aucune trace d'aménagement autour. Les structures mises au jour se composent de deux foyers à pierres chauffées (F449 et 450), d'une fosse présentant des traces (F457) de rubéfaction sur les bords et d'un trou de poteau (F448).

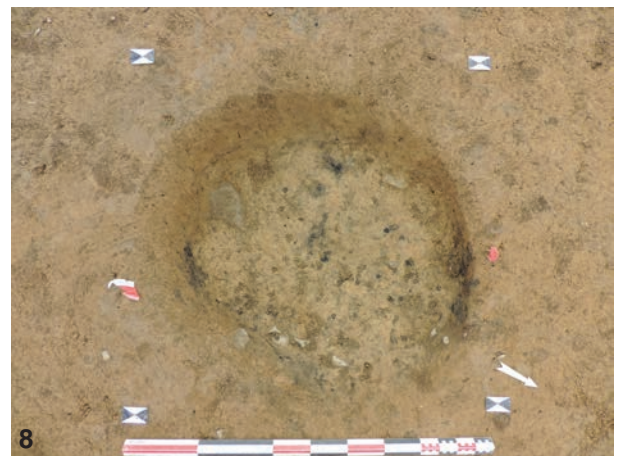
Les deux foyers circulaires se trouvent à un peu plus d'un mètre l'un de l'autre. Ils apparaissent à 50 cm sous le niveau du sol actuel.

Le foyer F449 est le mieux conservé ; il mesure 90 cm de diamètre. Il est installé dans une petite fosse à fond plat et bords évasés, qui mesure 28 cm de profondeur. Deux niveaux de comblement bien distincts ont été observés à la fouille (**fig. 21**). La couche inférieure est essentiellement constituée de charbons de bois, de cendre et de nodules de terre cuite. Le remplissage supérieur est composé de nombreux petits blocs de granite brûlé et de cailloux de quartz éclaté qui sont emballés dans un limon argilo-sableux brun moyen homogène et meuble (**fig. 22**). Les charbons y sont beaucoup plus rares. Sur le pourtour du foyer, plusieurs des petits blocs sont disposés de chant ; ils sont en règle générale de plus gros gabarit que ceux qui se trouvent en partie centrale. Ce foyer évoque fortement les fours polynésiens pour une cuisson à l'étouffé des aliments.

Fig. 21. Plan et coupe du foyer F449, Tr 21.







**Fig. 22.** Montage photos du foyer F449. 1. En cours de fouille, coupe vue depuis l'est ; 2. Vue verticale en cours de fouille ; 3. Vue verticale après nettoyage des pierres ; 4. Vue de la coupe depuis l'est après démontage de la couche supérieure ; 5. Vue verticale après enlèvement de la moitié des pierres ; 6. coupe depuis l'est, substrat atteint ; 7. Vue générale après fouille à 50% ; 8. vue verticale après fouille complète.



Le foyer F450 est de dimension analogue au précédent mais a une profondeur de seulement 16 cm. Un seul niveau de comblement assez bioturbé y a été reconnu (fig. 23). Il correspond à un limon argilo-sableux brun moyen homogène, meuble avec quelques graviers (arène). On y trouve également des blocs de granite brûlé et des cailloux de quartz éclaté mais disposés sans ordre apparent ; de plus, nous trouvons des cailloux de quartz épars en dehors de la fosse (fig. 24). Il ne présente aucune trace de rubéfaction et les charbons sont assez rares. Il pourrait s'agir d'un rejet de foyer ou d'un foyer démantelé. Nous avons fait effectuer une datation au  $^{14}\text{C}$  sur un des charbons contenus dans la partie inférieure du remplissage. Le résultat obtenu est le suivant :  $5960 \pm 30$  BP, soit 4940-4790 cal. BC (Beta - 414515<sup>6</sup>) (voir en annexe pour rapport détaillé de la datation). Cette datation se rapporte au Néolithique ancien (culture VSG) ; le site géographiquement le plus proche ayant livré du mobilier en contexte caractéristique de cette culture est celui de Kervouyec à Quimper (Tinévez *et al.*, 2015).

Fig. 23. Plan et coupe du foyer F450.

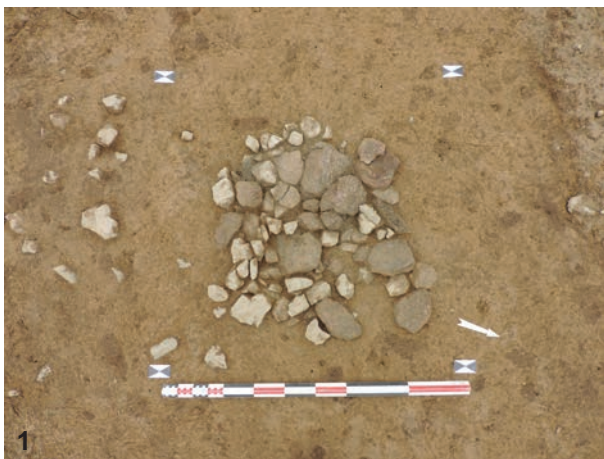
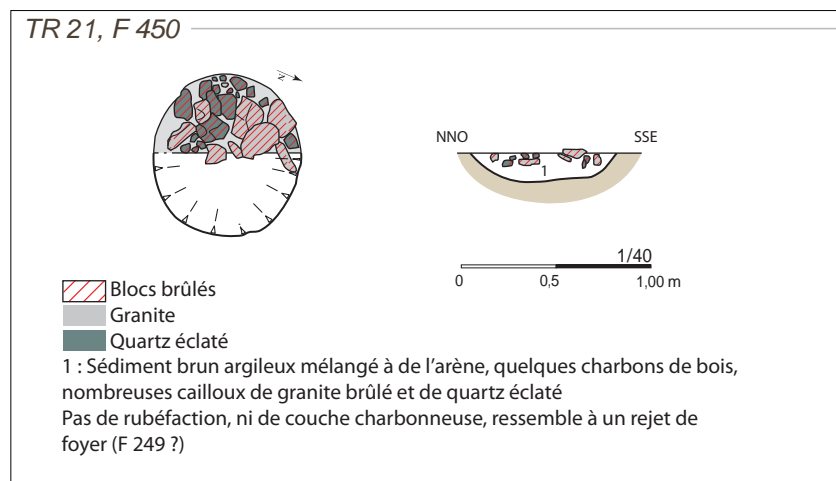


Fig. 24. Montage photos du foyer F450. 1. Vue verticale après détournage des pierres ; 2. Vue verticale après coupe à 50% ; 3. Vue de la coupe depuis l'est.

6. Le laboratoire Beta Analytic a effectué une erreur en recopiant les références de l'échantillon : ils ont lu F458, là où il fallait voir F450 (cf. annexe).

Dans la même tranchée, à quelques mètres au nord, deux autres faits pourraient avoir fonctionné avec les deux foyers.

F447 est une fosse circulaire de 1,34 m de diamètre et 28 cm de profondeur (fig. 25). Le creusement affecte un profil en cuvette aux bords évasés. Le remplissage est constitué d'un limon argilo-sableux brun foncé homogène, meuble, avec quelques cailloux de quartz et de granite. Des traces de rubéfaction sont visibles dans le fond de la fosse, ce qui indique qu'une activité de combustion a eu lieu sur place (fig. 26). Le comblement n'a livré des charbons de bois que dans sa partie inférieure.

Fig. 25. Plan et coupe de la structure de combustion F447.

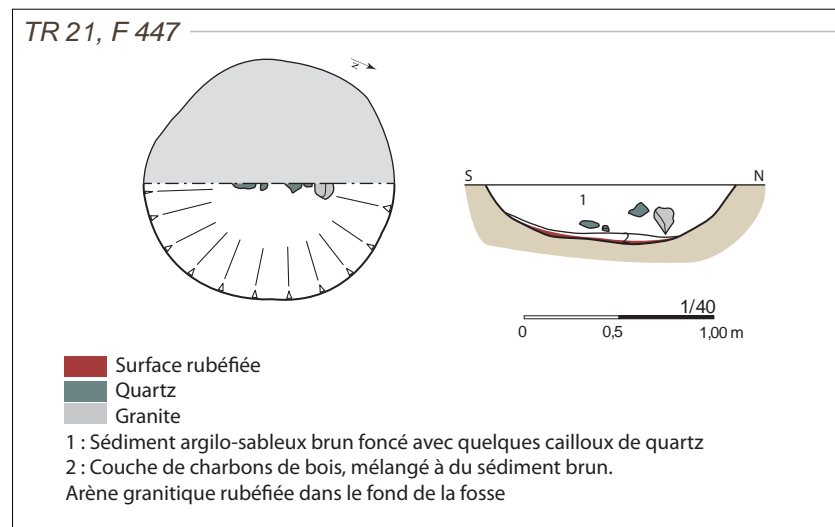


Fig. 26. F447. 1. Vue verticale à moitié fouillé ; 2. Vue de la coupe depuis l'est.



F448 est une petite fosse ou un trou de poteau de forme ovale en surface. Le creusement forme un U très évasé. Il mesure 0,6 m de longueur pour 40 cm de largeur pour une profondeur de 18 cm (fig. 27). Le remplissage est limono-argileux sableux de couleur de couleur gris clair (fig. 28).

Les foyers à pierres chauffées sont des structures bien connues depuis le Mésolithique jusqu'à l'âge du Bronze, même si c'est au Néolithique moyen qu'ils sont les plus nombreux. Dans la majorité des cas, les vestiges mobiliers accompagnants ces foyers sont des plus rares. Il existe une bibliographie pléthorique dans le domaine. La datation  $^{14}\text{C}$  obtenue sur un charbon de F450 le situe en plein Néolithique ancien (culture VSG), maintenant bien attesté en Basse Bretagne (Pailler, 2007 ; Pailler *et al.*, 2008 ; Tinevez *et al.*, 2015).

Si les trois structures de combustion mises au jour dans la tranchée 21 correspondent bien au même type de foyer, alors ils se trouvent à différents stades d'abandon : F448 aurait été complètement vidé de ses pierres chauffées (pour les réutiliser dans un foyer voisin ?), tandis que F450 semble avoir été partiellement démantelé et, enfin, F449 semble avoir été abandonné après utilisation.

Fig. 27. Plan et coupe de la petite fosse ou du trou de poteau F448.

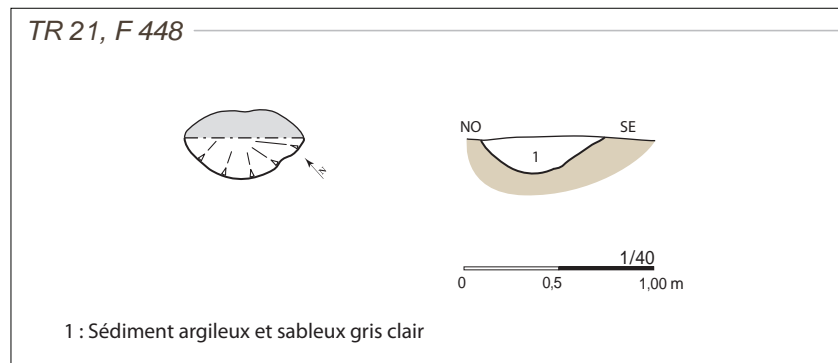


Fig. 28. F. 448. 1. Vue verticale ; 2. Vue de la coupe depuis le sud.

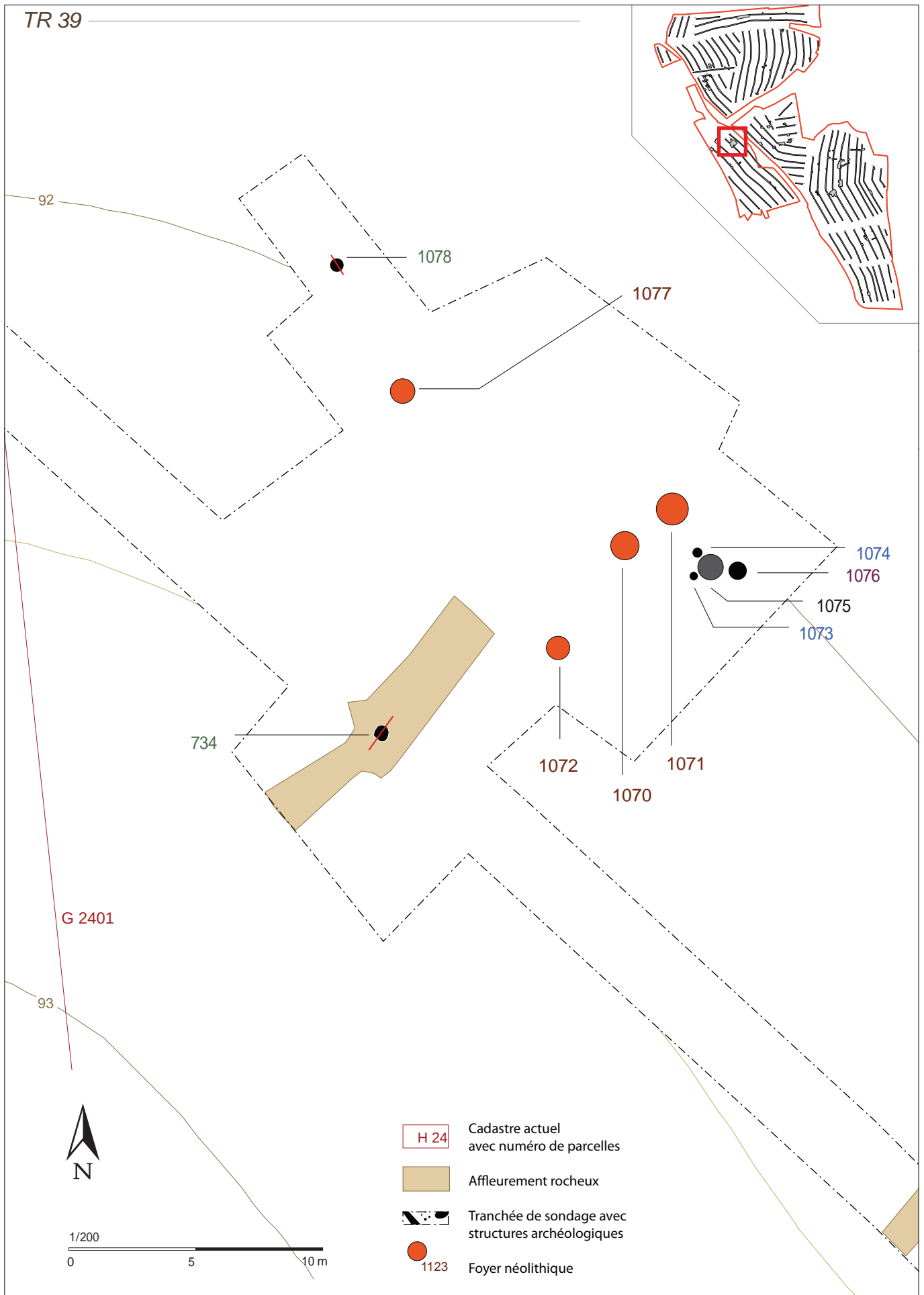


Fig. 29. Zoom sur la fenêtre réalisée au nord de la tranchée 39.

## 2.2.2. Des foyers du Néolithique moyen 2 en tranchée 39

En toute fin d'opération, il a été décidé en concertation avec le SRA d'élargir la fenêtre originellement réalisée autour de l'urne funéraire gallo-romaine (F734) en tranchée 39. Cette extension a permis de repérer une nouvelle urne, malheureusement très arasée (*cf. infra*), et plusieurs structures dont quatre foyers à pierres chauffées, trois étant alignés. Dans la mesure où nous avons déjà fouillé un certain nombre de structures similaires et qu'elles n'avaient livré aucun mobilier datant, nous avons limité notre intervention à un nettoyage soigné et à une prise de clichés verticaux (**fig. 29**). Précisons que ces foyers apparaissent tous à environ 35 cm sous le sol actuel.

### 2.2.1.1. Le foyer F1071

Le fait 1071 est la seule structure à avoir livré du matériel attribuable au Néolithique dans le cadre de cette opération. Il s'agit d'un foyer circulaire bien conservé d'1,35 m de diamètre (**fig. 30**). Le comblement est constitué d'un limon argileux brun moyen homogène et meuble ainsi que de nombreux petits blocs de granite chauffés. On note également la présence de nombreux charbons de bois qui ont fait l'objet d'un prélèvement pour une future étude anthracologique. Il s'agit de charbons d'assez gros modules ; l'un d'entre eux a fait l'objet d'une datation  $^{14}\text{C}$  et a donné le résultat suivant  $5290 \pm 30$  BP, soit 4230-3995 cal. BC (Beta-414516) (voir en annexe pour rapport détaillé de la datation).

Le fait 1071 a livré au nettoyage quatre tessons de céramique fine parmi lesquels T. Nicolas a identifié un fragment de la partie supérieure d'une coupe à socle. Le diamètre du récipient a pu être restitué (**fig. 31**). D'un point de vue typochronologique, cet élément peut être attribué au Néolithique moyen 2. Un décor de motif triangulaire est placé sur le marli ainsi que sous le bord. Le motif est composite : triangle (incision mousse) à remplissage de petits points (impression au poinçon, incrustée de pâte blanche) (**fig. 32**). Il s'agit d'un registre récurrent régionalement. A titre de comparaison, on peut citer la coupe à socle n° 191 d'Er Lannic en Arzon (Grouber, 2000). La datation  $^{14}\text{C}$  obtenue est donc parfaitement en cohérence avec la chronologie des coupes à socle.

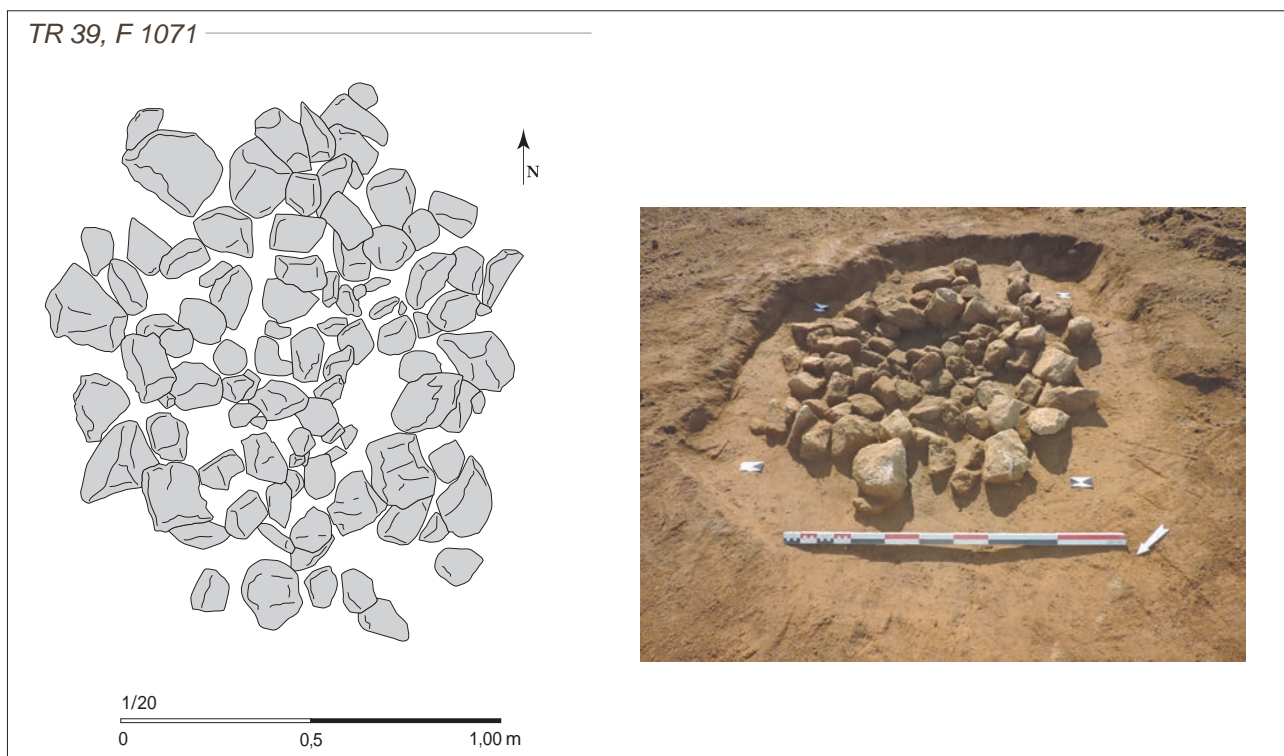


Fig. 30. Plan du foyer F1071, Tr 39, et vue générale du foyer après nettoyage depuis le NNO.



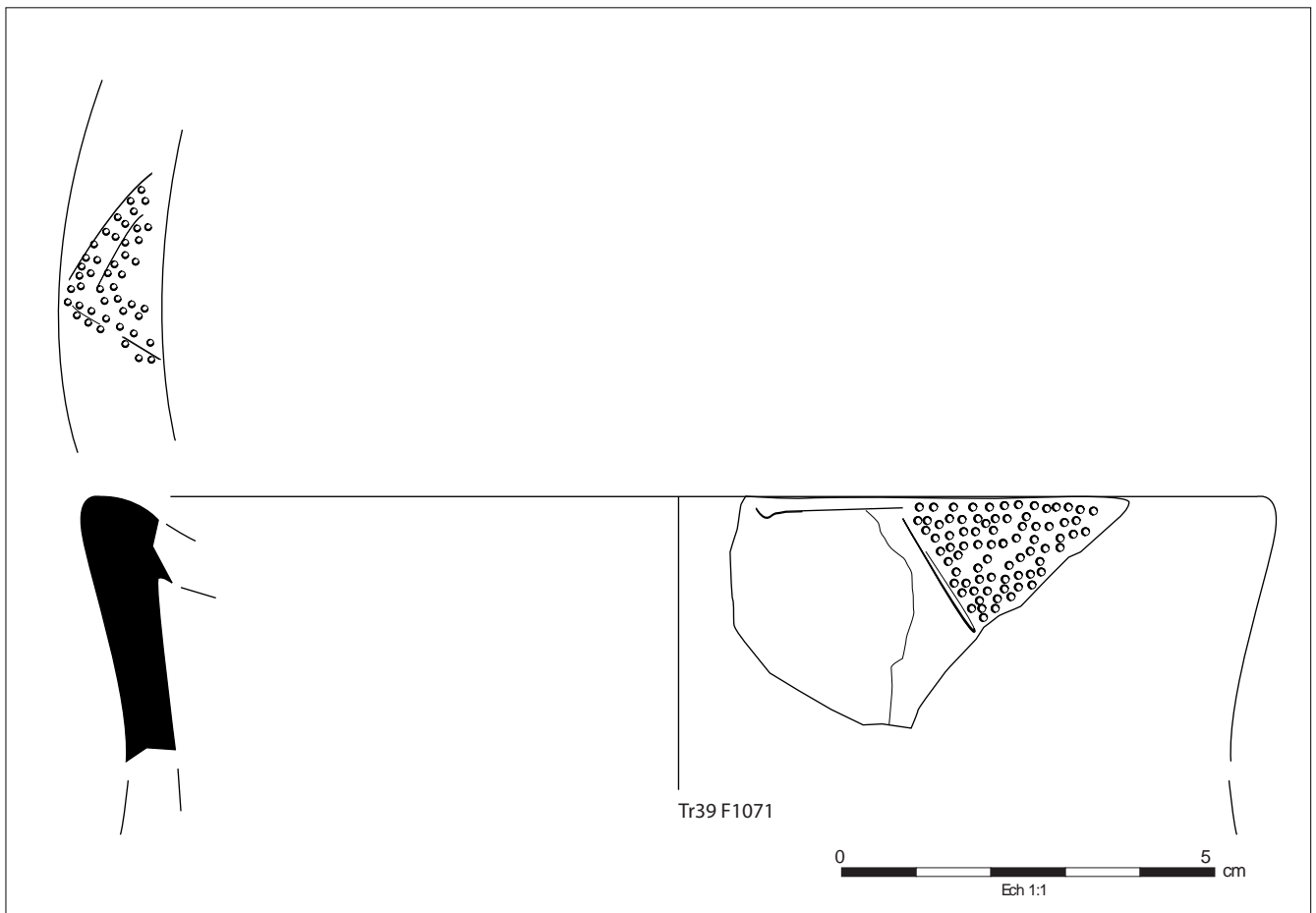


Fig. 31. Fragment de la coupe à socle (Tr 39, F1071) Relevés et DAO : T. Nicolas.

Fig. 32. Détail du registre décoratif de la coupe à socle (Tr 39, F1071) Photo : T. Nicolas.



### 2.2.1.2. Les autres foyers proches de F1071

Par analogie avec le foyer F1071, on peut raisonnablement estimer que les structures similaires voisines appartiennent à la même période et datent elles-aussi du Néolithique moyen.

A environ un mètre au sud-ouest du précédent, le foyer F1070 mesure 1,2 m de longueur sur 1,1 m de largeur (**fig. 33**). Il est très bouleversé, seule une partie des pierres subsiste. Son remplissage est composé de blocs de granite rubéfiés pris dans un limon argileux brun moyen homogène et meuble. Sur une même ligne et environ à quatre mètres de F1071, le foyer F1072, de forme circulaire, est bien conservé (**fig. 34**). De dimensions modestes, il mesure seulement 1 m sur 0,9 m. Son remplissage est identique aux deux autres : limon argileux brun moyen homogène, meuble, avec de nombreux blocs de granite rubéfiés. Une partie des pierres composant le dernier foyer (F1077) ont été arrachées lors du décapage. De forme ovale, il mesure 1,28 m de longueur par 0,7 m de largeur (**fig. 35**). Le comblement est similaire aux trois autres avec ponctuellement des poches de charbons assez denses.

**Fig. 33.** Vue verticale du foyer F1070 après nettoyage, Tr39



**Fig. 34.** Vue verticale du foyer F1072 après nettoyage, Tr39



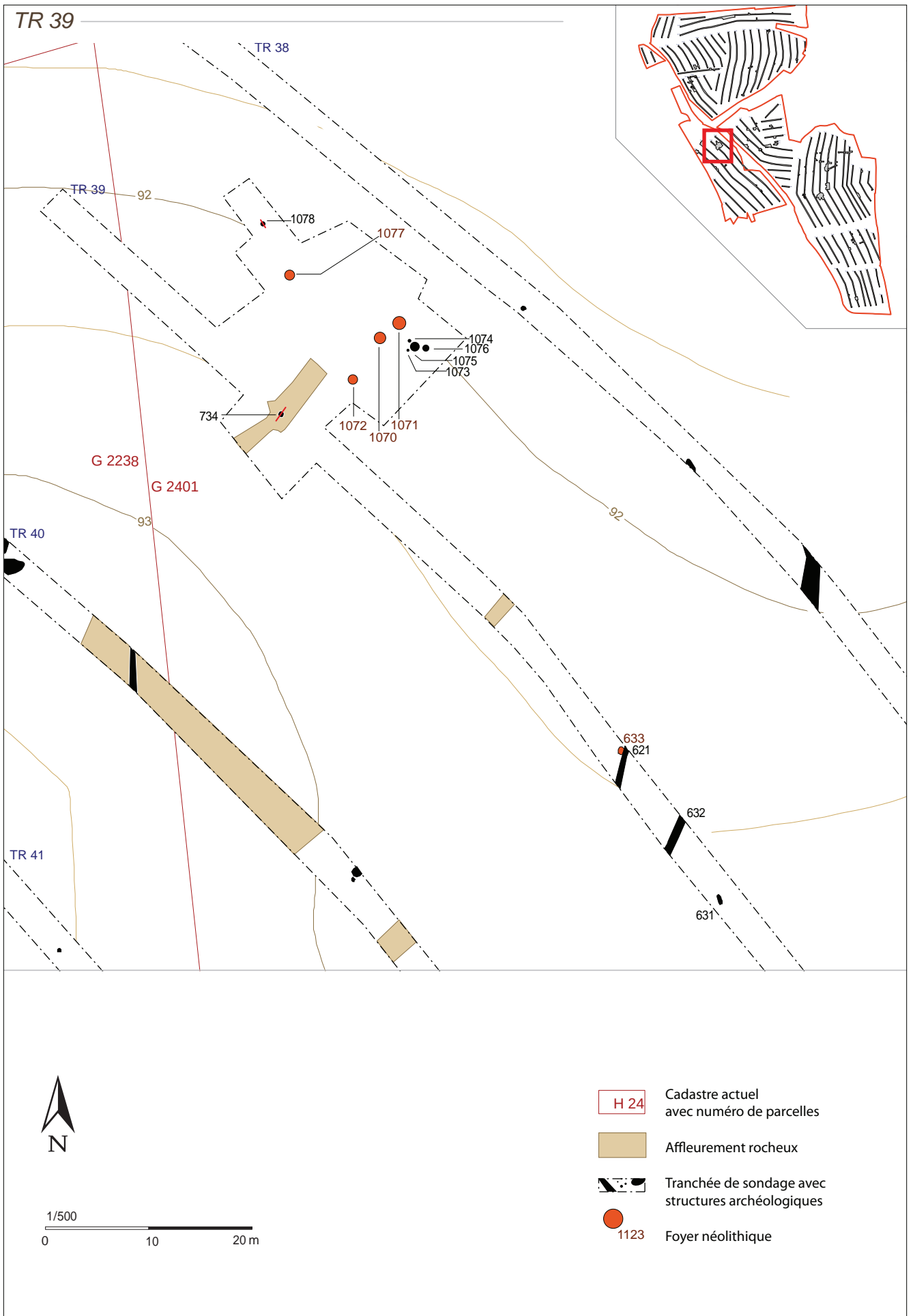


Fig. 36. Zoom sur la tranchée 39 (en incorporant les foyers en partie nord et F633 au sud-est).



**Fig. 35.** Vue verticale du foyer F1077 après nettoyage, Tr 39



Immédiatement à l'est des foyers 1070 et 1071, ont été mis au jour quatre structures qui pourraient avoir fonctionné de concert. Leur niveau d'apparition est le même que celui des foyers, soit environ 35 cm sous le sol actuel. Les deux plus grandes, F1075 (1,24 x 0,77 m) et 1076 (0,8 x 0,65 m), sont adjacentes ; la première correspond à une aire rubéfiée et l'autre est une petite fosse riche en charbons de bois. De part et d'autre de F1075 sont implantés deux trous de poteau (F1073 et 1074) dont l'un présente des éléments de calage en pierre.

A 45 m au sud-est du groupe de foyers précédemment décrit (**fig. 36**), un autre petit foyer circulaire à pierres chauffées (F633) est recoupé partiellement par le fossé F62 qui est presque orienté nord-sud. Il mesure 70 cm de diamètre. Le remplissage correspond à un limon argileux brun moyen homogène, meuble, avec des poches charbonneuses auquel sont mêlés des petits blocs de granite chauffés.

### 2.2.1.3. D'autres foyers à pierres chauffées non datés

Dans la même parcelle mais à près de 150 m au sud-est de la précédente concentration, quatre autres foyers ont été mis au jour. Ils sont relativement proches les uns des autres (**fig. 37**).

Un seul a été fouillé. Il s'agit d'un foyer à pierres chauffées F614 (Tr39) bien conservé sous près d'un mètre de colluvions en bas de pente (**fig. 38**). De forme subcirculaire, il mesure 1,2 m de diamètre et a été installé dans une petite fosse à profil en cuvette et bords évasés de 19 cm de profondeur. Le remplissage est composé d'un limon argileux brun moyen, homogène et meuble, très charbonneux surmonté par un lit de petits blocs de granites chauffés ou rubéfiés (**fig. 39**).

Au sud de F614, le foyer F641 (Tr 40) est de forme ovale ; de grand gabarit, il mesure 1,6 sur 1,1 m. En surface, son remplissage correspond à un limon brun foncé homogène, très meuble, riche en charbons de bois. Nous n'avons pas accroché de pierres au décapage. Au nord-ouest dans la même tranchée F647 mesure 80 cm de diamètre. En surface, le comblement est constitué d'un limon brun foncé, meuble, mélangé à de l'arène dans lequel sont visibles des petits blocs de granite rubéfiés et des poches de charbons.

A l'ouest de F641, F664 (Tr 41) est de forme ovale (1,5 x 1,1 m). Des blocs de granite rubéfiés sont là aussi présents en surface pris dans un limon brun argileux meuble dans lequel on observe des poches charbonneuses.

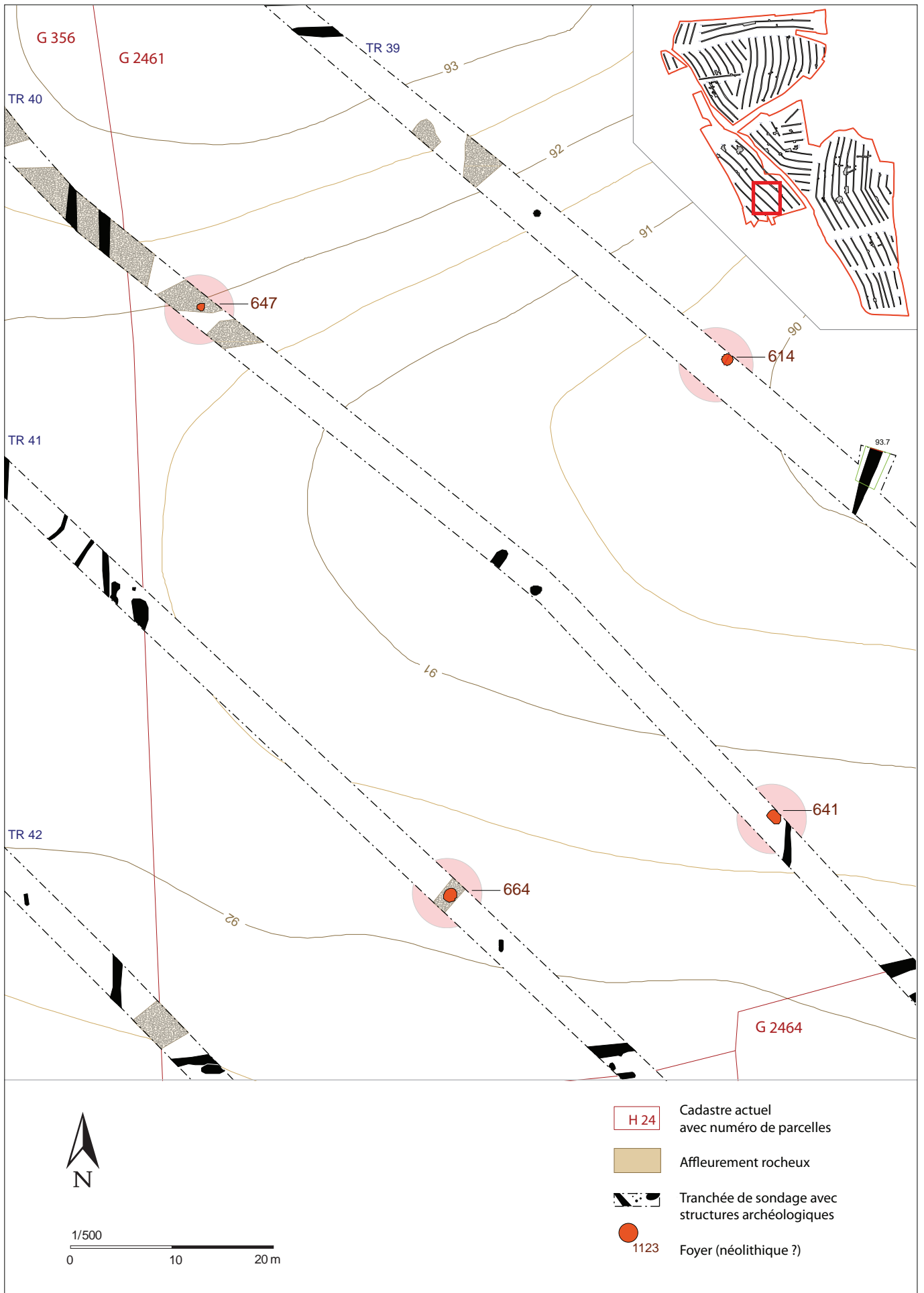


Fig. 37. Plan de répartition des foyers F614, F641, F647 et F664.

Fig. 38. Plan et coupe du foyer F614, Tr39.

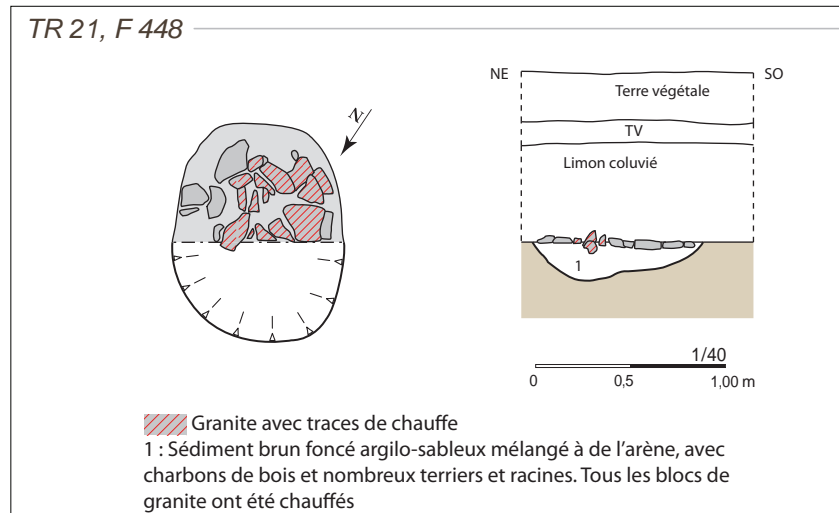


Fig. 39. Différentes vues du foyer F614, tr39. 1. Vue en plan après nettoyage ; 2. Vue de la coupe depuis le nord ; 3. Vue en plan après fouille à moitié ; 4. Vue oblique depuis le sud-est montrant le niveau d'implantation du foyer.



### 2.2.3. Des foyers à pierres chauffées non datés au nord-est de l'emprise

Dans la partie nord-est de l'emprise, une autre série de sept foyers a été mise en évidence. Ils s'égrènent le long du talweg où serpente un petit ru entre les hameaux Le Scraign et Créac'h Burguy. Plusieurs sont orientés selon une ligne NE/SO (**fig. 40**). Aucun n'a livré d'élément de datation mais leurs dimensions modestes comme leur morphologie les rapprochent de ceux décrits plus haut.

En tranchée 56, le foyer F822 mesure 1,07 m de diamètre. Son remplissage se compose d'un limon argileux brun moyen hétérogène et meuble dans lequel sont emballées des petits blocs de granite. Il présente en surface des concentrations de charbons.

Le foyer F839 en tranchée 57 mesure 1 m de diamètre pour 17 cm de profondeur (**fig. 41**). Le creusement présente des bords évasés et un fond plat. Deux remplissages ont été reconnus. En partie inférieure, le comblement correspond à une couche de charbons surmontée d'un lit de petits cailloux de granite, non rubéfiés. La couche supérieure correspond à un limon argileux brun clair peu hétérogène, meuble, avec quelques poches charbonneuses. On y observe aussi la présence de cailloux et de petits blocs de granite rubéfiés. Plusieurs de ces derniers sont plantés de chant et forment un arc de cercle dans la moitié sud (**fig. 42**). Ce dispositif, même incomplet, rappelle celui observé sur le foyer F449 en tranchée 21.

Le foyer F855 en tranchée 58 affecte une forme ovale. Il mesure 94 cm de longueur sur 60 cm de largeur pour seulement 7 cm de profondeur. Son creusement présente des bords évasés et un fond plat. Le remplissage est composé d'un limon argileux brun-noir, très hétérogène, meuble avec des poches charbonneuses, dont une qui occupe quasiment toute la partie centrale, et quelques cailloux et blocs de granite rubéfiés (**fig. 43**). Cette structure fait l'effet d'avoir été démantelée (**fig. 44**).

Le foyer F869 en tranchée 59 mesure 1,05 m de diamètre pour 9 cm de profondeur. Les bords du creusement sont évasés et le fond est plat. En surface, sont visibles plusieurs petits blocs de granite rubéfiés qui sont pris dans un limon argileux brun moyen, hétérogène et meuble avec des poches charbonneuses assez denses (**fig. 45 et 46**).

De forme ovale, le foyer F871 en tranchée 59 mesure 1,2 m de longueur sur 0,82 m de largeur. Il est installé dans une petite fosse de 10 cm de profondeur. Les bords sont évasés et le fond irrégulier (**fig. 47**). Le remplissage est limoneux brun moyen hétérogène mêlé à des charbons de bois (parfois de gros calibre) et quelques cailloux de granite rubéfiés (**fig. 48**).

En tranchée 60, le foyer F884 affecte une forme ovale et mesure 1,1 m sur 0,78 m et 10 cm de profondeur. Il est implanté dans une petite cuvette aux bords évasés (**fig. 49**). Son unique niveau de remplissage est composé d'un limon brun mêlé de charbons de bois (dont de gros morceaux) et quelques cailloux de granite rubéfiés situés plutôt en périphérie de la structure. A noter la présence d'un galet dans le comblement. Cette structure donne l'impression d'avoir été partiellement démantelée (**fig. 50**).

Le dernier foyer mis au jour dans ce secteur de l'emprise diffère de ceux précédemment observés, il s'agit du fait F910 en tranchée 63. Bien que bouleversé par un terrier ou des racines dans sa partie sud-ouest, il a plus ou moins une forme trapézoïdale (**fig. 51**). Il est bordé au nord par un fossé (F911) au remplissage brun sombre orienté NO-SE attribuable à la période contemporaine (**fig. 52 et 53**). Il mesure 2,2 m de longueur pour 1,64 m de largeur. Le creusement a une profondeur de 13 cm ; il est à fond plat et à bords évasés. En plan, on observe que des blocs sur chant forment une ligne bien nette NE-SO. Il est probable que la structure ait été partiellement démontée (arrachage de pierres). Ce foyer présente en partie supérieure de nombreux petits blocs de granite rubéfiés pris dans un limon argilo-sableux brun avec des charbons de bois. La couche inférieure est composée quasi-exclusivement de charbons mais l'ensemble est très bioturbée. La rubéfaction du fond de la fosse n'est pas homogène.

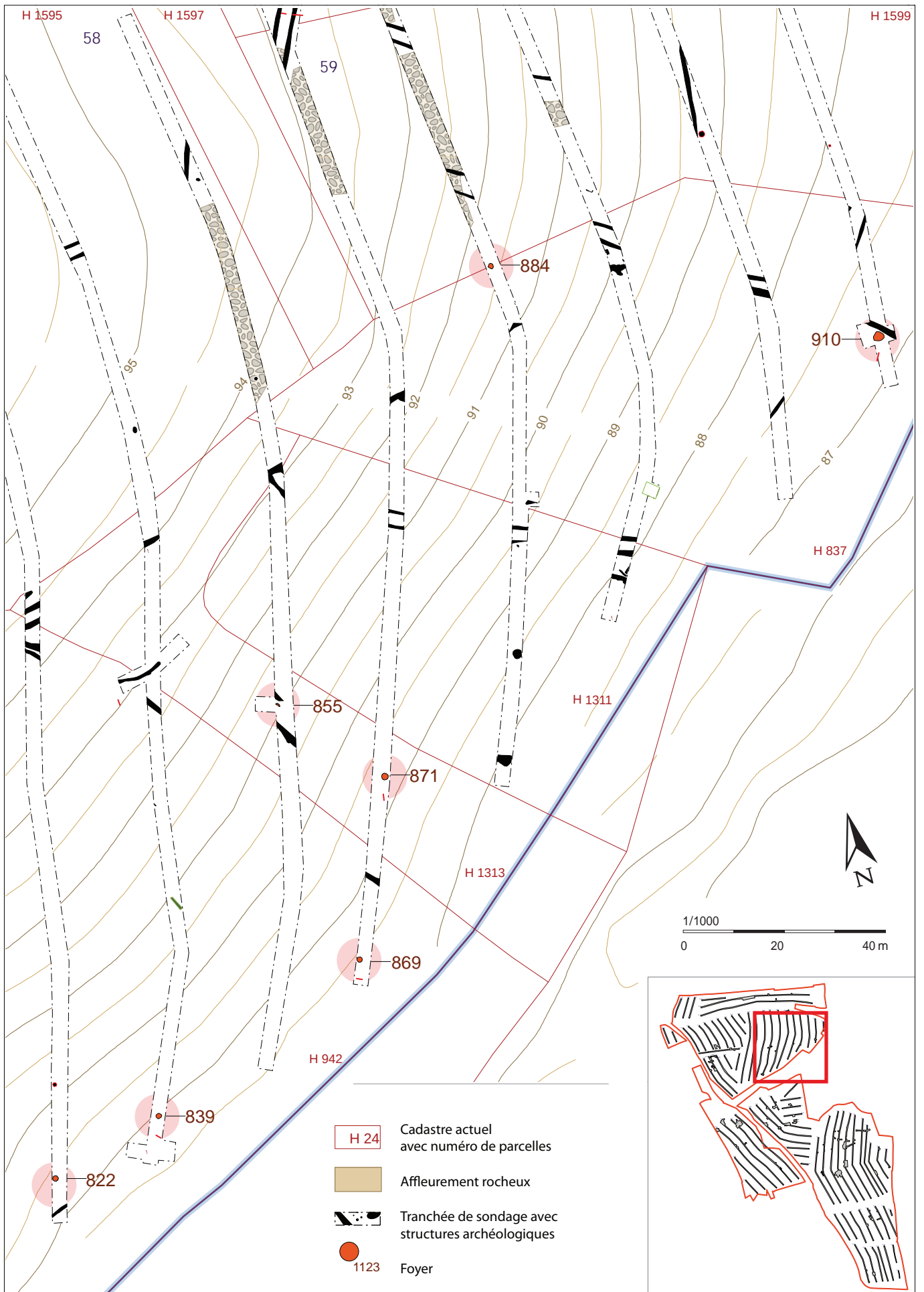


Fig. 40. Plan de répartition des foyers dans la partie nord-est de l'emprise

Fig. 41. Plan et coupe du foyer F839 en Tr 57.

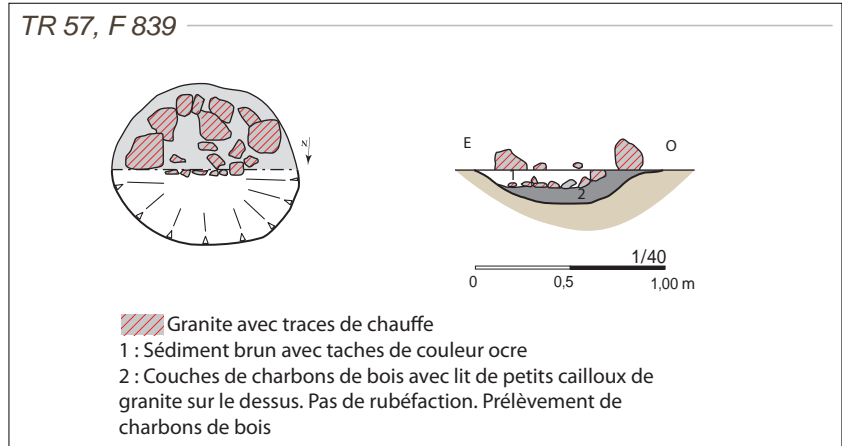


Fig. 42. Montage photo du foyer F839. 1. Vue verticale après nettoyage de surface ; 2. Vue verticale en cours de fouille ; 3. Vue verticale après fouille à 50%.





Fig. 43. Plan et coupe du foyer F855 en Tr 58.

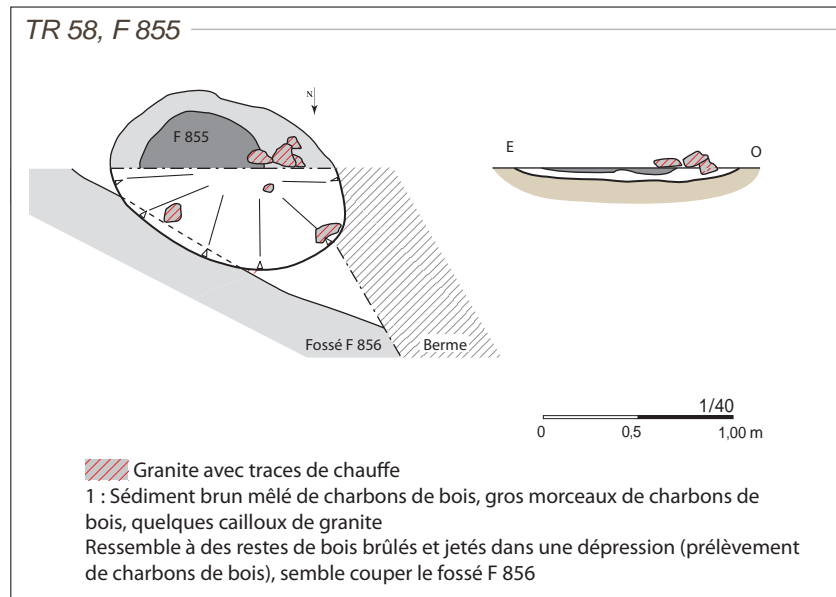


Fig. 44. Montage photos du foyer démantelé F855. 1. Vue verticale après nettoyage ; 2. Vue depuis le sud après coupe.

Fig. 45. Plan et coupe du foyer F869 en Tr 59.

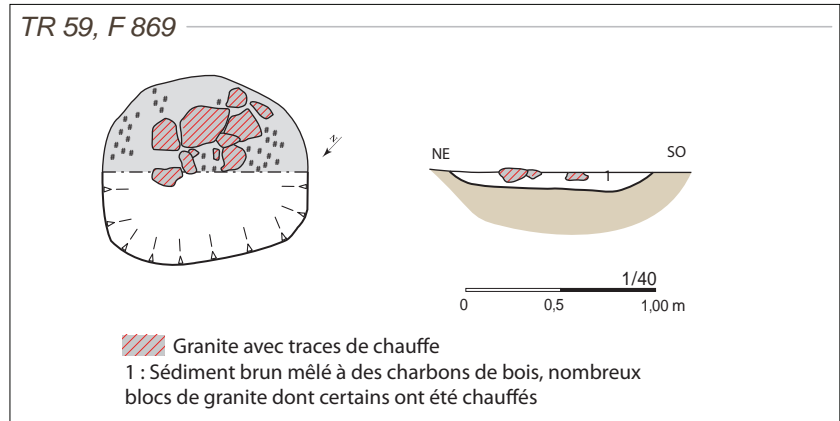


Fig. 46. Montage photos du foyer F869. 1. Vue verticale après nettoyage ; 2. Vue verticale après fouille à 50% ; 3. Vue coupe depuis le nord.



Fig. 47. Plan et coupe du foyer F871 en Tr 59.

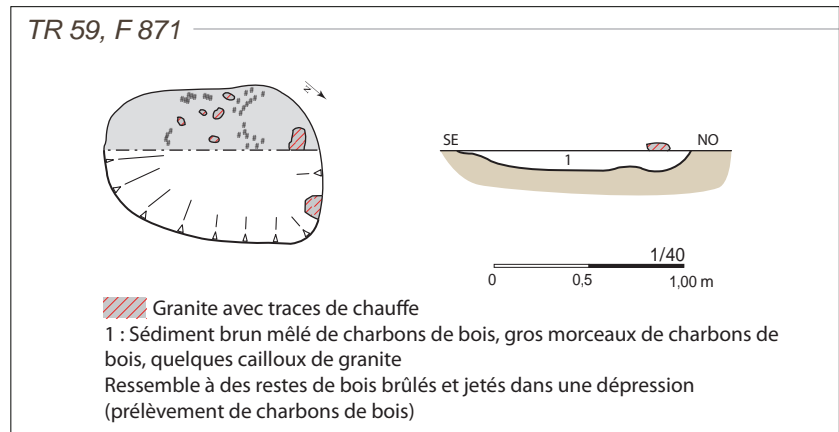


Fig. 48. Montage photos du foyer F871. 1. Vue verticale après nettoyage ; 2. Vue verticale après fouille à 50% ; 3. Vue de la coupe depuis le nord.





Fig. 49. Plan et coupe du foyer F884 en Tr 60.

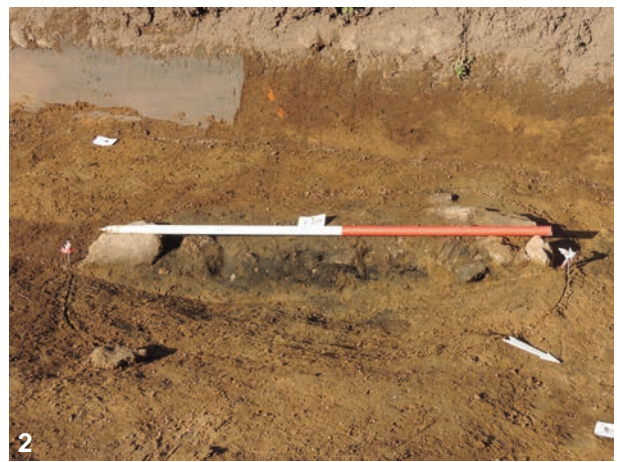
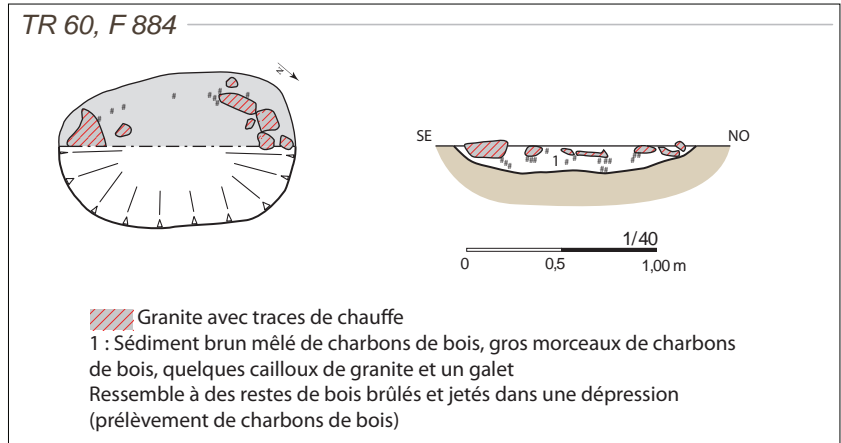


Fig. 50. Montage photos du foyer F884. 1. Vue verticale après nettoyage ; 2. Vue de la coupe depuis le nord-est.

Fig. 51. Plan et coupe du foyer F910 en Tr 63.

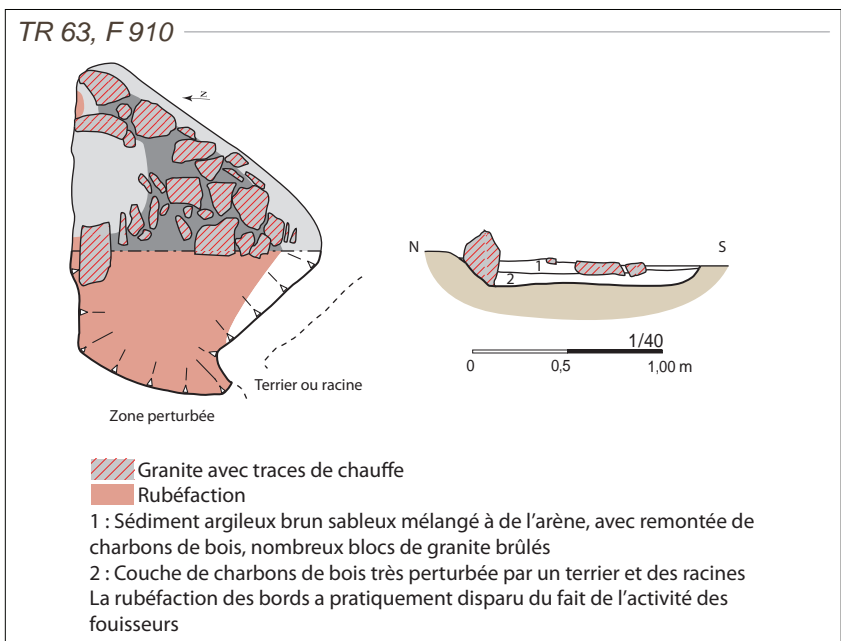




Fig. 52. Vues verticales du foyer F910. 1. Après nettoyage de surface ; 2. Après fouille à 50%.

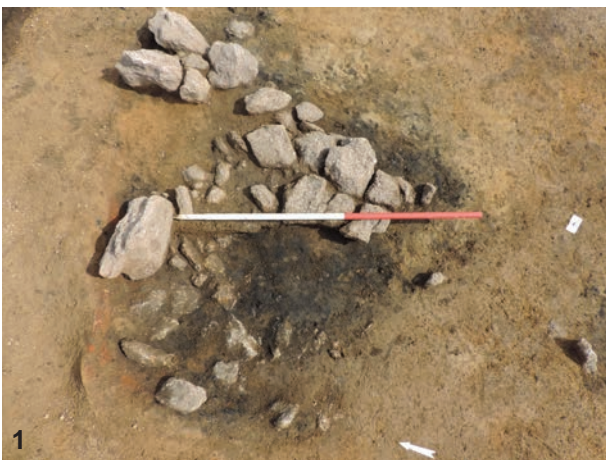


Fig. 53. Montage photos du foyer F910. 1. Vue verticale en cours de fouille ; 2. Vue oblique en cours de fouille depuis le sud-ouest ; 3. Vue de la coupe depuis le sud-ouest. Noter les traces de rubéfaction en partie nord.





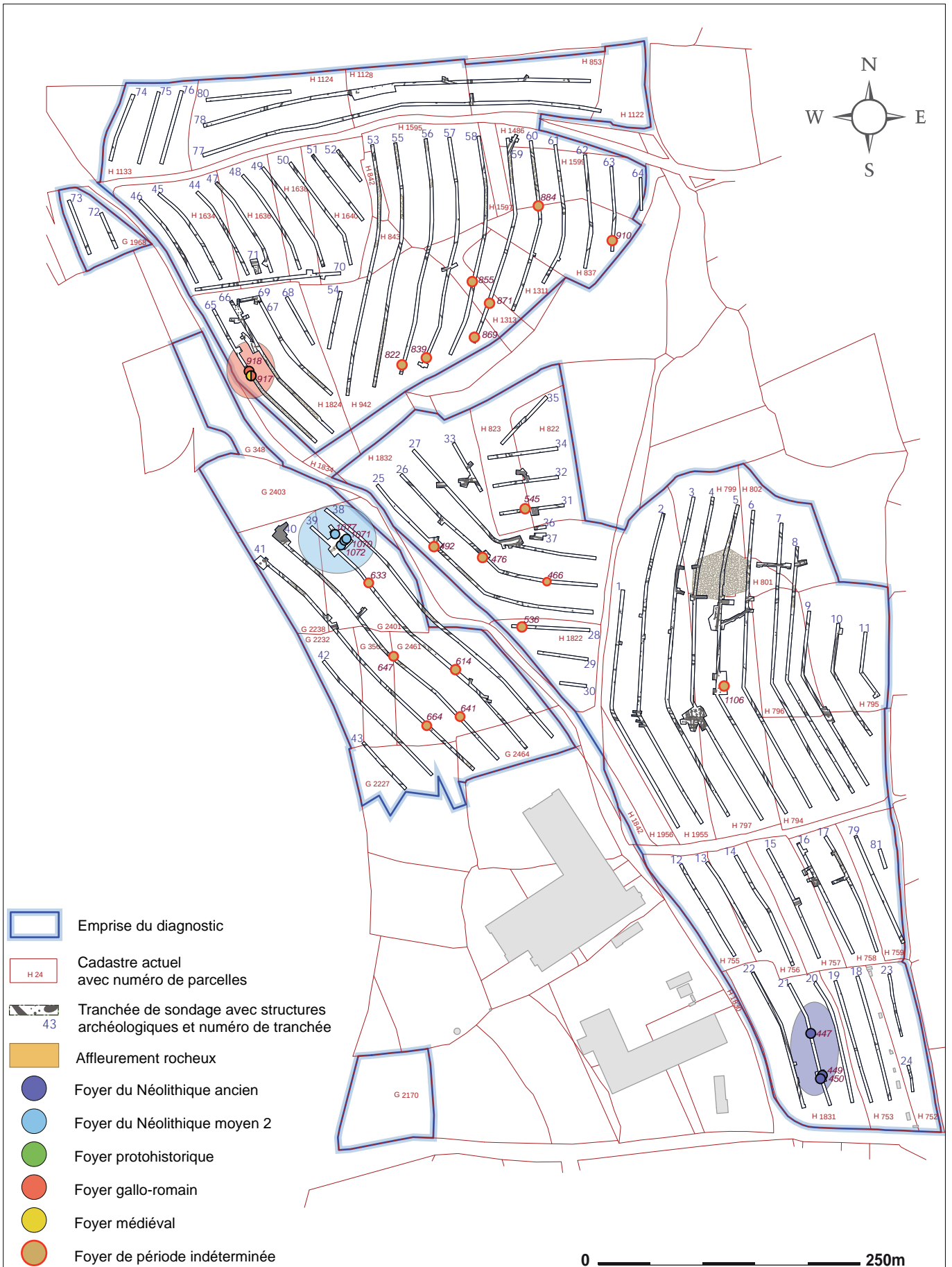


Fig. 54. Plan de répartition des foyers sur l'ensemble de l'emprise du diagnostic.



## 2.2.4. Conclusion

Au total, ce sont 27 foyers qui ont repérés dans l'emprise du diagnostic. Rares sont ceux qui ont livré au décapage ou à la fouille du mobilier permettant de les caler chronologiquement (fig. 54). Précisons que ceux qui ont été testés ont fait l'objet de prélèvements de charbons de bois qui permettront au besoin de réaliser des dates  $^{14}\text{C}$  ou de développer des études anthracologiques.

Les foyers F1071 en tranchée 39 et F917 en tranchée 65 font figure d'exception car ils ont livré quelques éléments céramiques diagnostiques. F. 1071 a été décrit plus haut ; rappelons seulement qu'il y a été découvert quelques tessons d'un fragment de coupe à socle du Néolithique moyen 2, attribution chronologique confirmée par une datation absolue. Dans le remplissage de F917, ce sont quelques éléments céramiques attribuables au Ier siècle de notre ère ainsi qu'un bord attribué au haut Moyen Age qui ont été recueillis. Ce dernier diffère toutefois des foyers à pierres chauffés décrits dans cette partie par des dimensions relativement grandes, son diamètre atteignant 1,63 m. Il est probable que le grand foyer ovalaire F918 ( $L > 2$  m) situé à proximité appartienne également à l'occupation gallo-romaine reconnue aux abords.

Deux foyers ont pu être datés au  $^{14}\text{C}$  dans le cadre de la post-fouille de ce diagnostic. Le plus ancien, F450, est daté du Néolithique ancien (4940-4790 cal. BC) alors que la date obtenue pour F1071 (4230-3995 cal. BC) est parfaitement en accord avec la découverte d'un fragment de coupe à socle.

Restent cinq foyers qui n'ont pas été évoqués pour encore. Vouloir attribuer à une période donnée des structures sans mobilier peut, nous en sommes pleinement conscient, relever de la gageure. Toutefois, il nous paraît important de faire entrer dans la discussion l'environnement de ces foyers qui, s'il ne donne pas la datation des structures, permet au moins de se faire une idée de l'ambiance dans laquelle ils sont implantés.

Le premier F1106 (Tr 5) est un foyer circulaire à pierres chauffées d'assez grandes dimensions d'1,4 m de diamètre. Il a été découvert lors de la réalisation d'une fenêtre à un endroit où nous avons recueilli un outil taillé et des fragments de vases dont les décors plastiques permettent de les rattacher au Campaniforme ou au Bronze ancien.

Les cinq derniers ont en commun de se trouver dans le même secteur qui correspond au toponyme Prat Mellec, soit sur ou aux abords immédiats d'une occupation campaniforme et médiévale. Bien entendu, il n'est pas question de trancher en faveur d'une ou de l'autre occupation mais on fera constater que trois des foyers (F492, 476 et 536) sont de grands gabarits.

Du point de vue morphologique, les formes circulaires ou sub-circulaires ( $N = 15$ ) dominant suivis par les foyers de forme ovalaire ( $N = 11$ ) (tabl. 2). Le diagramme des longueurs et des largeurs montre une sorte de continuum dans les tailles, à l'exception des deux foyers gallo-romains qui se détachent nettement par des dimensions plus grandes ( $L > 2$  m). A la rigueur on pourrait tout de même évoquer une césure autour de 1,5 m de longueur. Dans ce cas, on pourrait créer un petit groupe de cinq foyers dont la longueur serait comprise entre 1,5 et 1,8 m. Globalement, les petits foyers compris entre 0,7 m et 1,3 m de longueur dominant largement la série.

Tr.	Fait	Forme	L (en m)	l (en m)	profondeur (en m)	Attribution chronologique	Environnement immédiat	Datation <sup>14</sup> C (cal. BC)
5	1106	circulaire	1,4	1,4	non fouillé	Indéterminée	indice Bronze ancien	
21	449	circulaire	0,9	0,9	0,28	Néolithique ancien		4940-4790
21	450	circulaire	0,9	0,9	0,16	Néolithique ancien ?		
21	447	circulaire	1,34	1,34	0,28	Néolithique ancien ?		
25	492	ovale	1,6	1,3	non fouillé	Indéterminée	site médiéval et camp.	
26	466	circulaire	1	1	non fouillé	Indéterminée	site camp. et médiéval	
26	476	ovale	1,63	1,34	non fouillé	Indéterminée	site camp. et médiéval	
28	536	ovale	1,6	1,25	non fouillé	Indéterminée	site médiéval et camp.	
31	545	ovale	0,85	0,55	non fouillé	Indéterminée	site médiéval et camp.	
39	1071	circulaire	1,35	1,35	non fouillé	Néolithique moyen 2		4230-3995
39	1070	sub-circulaire	1,2	1,1	non fouillé	Néolithique moyen 2 ?		
39	1072	sub-circulaire	1	0,9	non fouillé	Néolithique moyen 2 ?		
39	1077	ovale	1,28	0,7	non fouillé	Néolithique moyen 2 ?		
39	614	circulaire	1,2	1,2	0,19	Indéterminée		
39	633	circulaire	0,7	0,7	non fouillé	Indéterminée		
40	641	ovale	1,6	1,1	non fouillé	Indéterminée		
40	647	circulaire	0,8	0,8	non fouillé	Indéterminée		
41	664	ovale	1,5	1,1	non fouillé	Indéterminée		
56	822	circulaire	1,07	1,07	non fouillé	Indéterminée		
57	839	circulaire	1	1	0,17	Indéterminée		
58	855	ovale	0,94	0,6	0,07	Indéterminée		
59	871	ovale	1,2	0,82	0,1	Indéterminée		
59	869	sub-circulaire	1,05	1,05	0,09	Indéterminée		
60	884	ovale	1,1	0,78	0,13	Indéterminée		
63	910	trapézoïdale	2,2	1,64	0,13	Indéterminée		
65	917	circulaire	1,63	1,63	non fouillé	Période gallo-romaine et haut Moyen-Age		
65	918	ovale	2,25	1,03	non fouillé	Période gallo-romaine ?		

Tabl. 1. Inventaire des foyers.

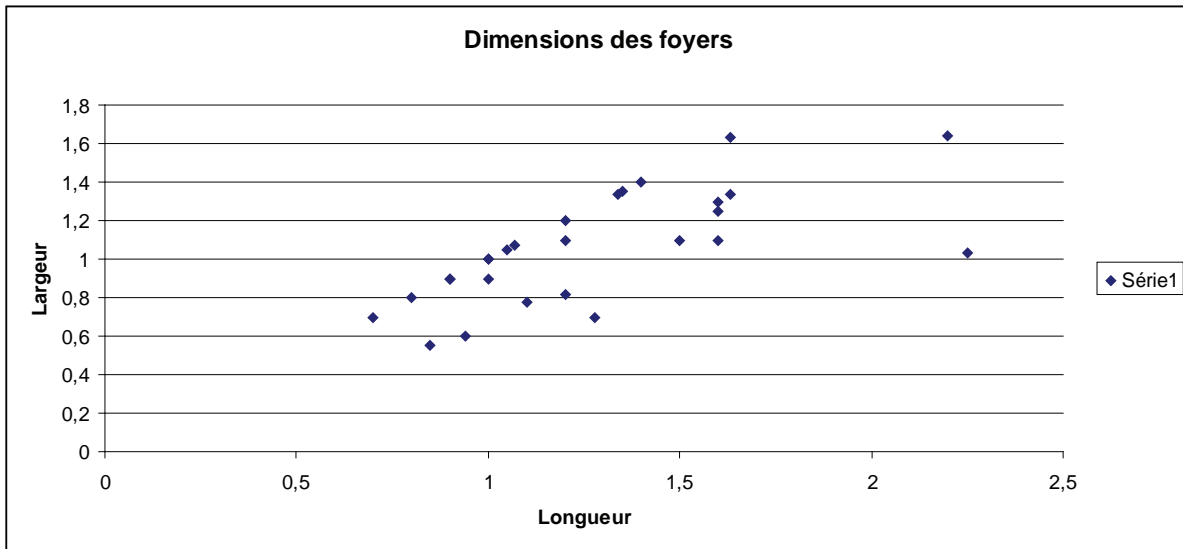


Fig. 55. Diagramme des longueurs et des largeurs des foyers.



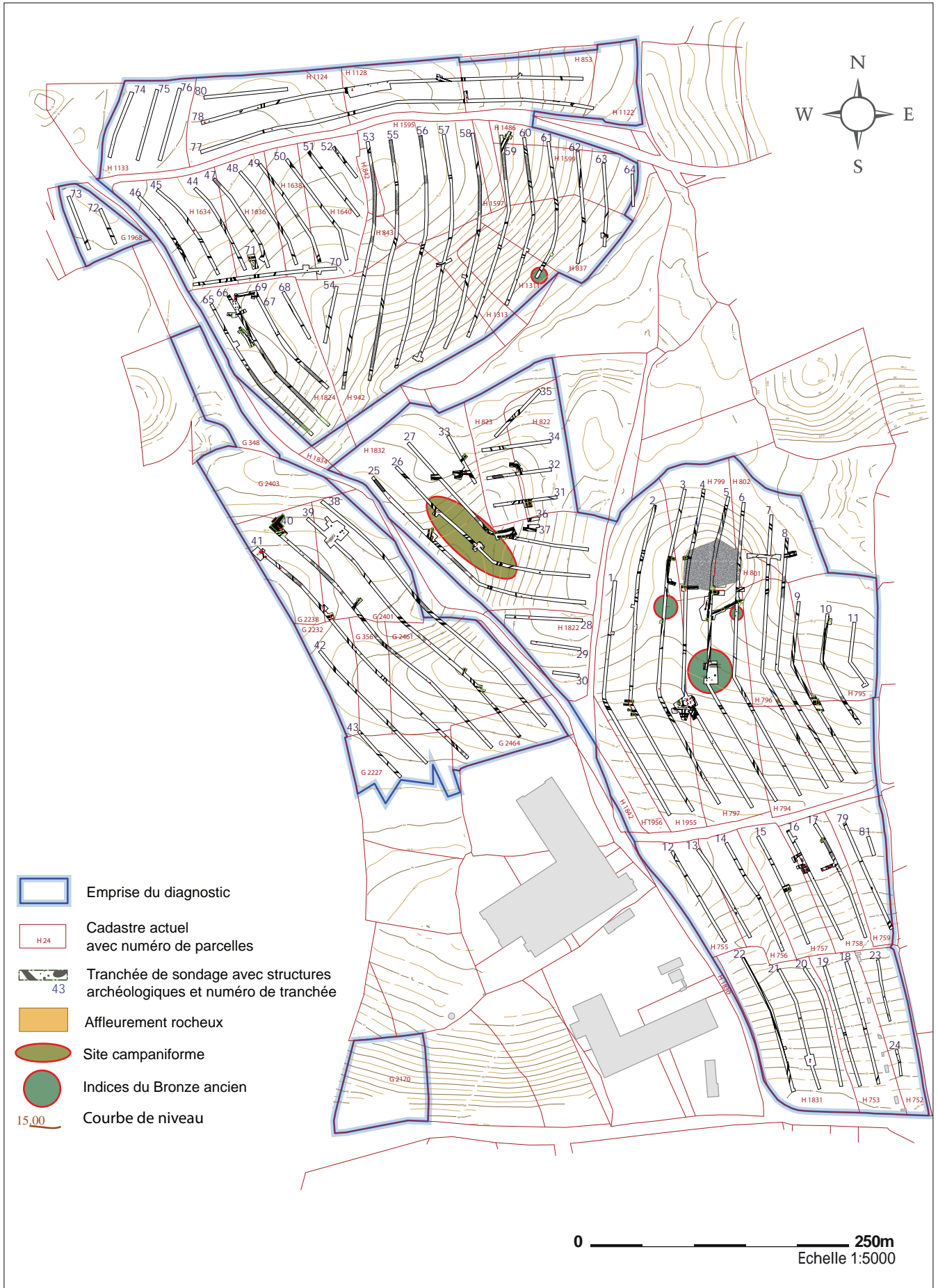


Fig. 56. Plan de répartition des vestiges campaniformes et des indices du Bronze ancien dans l'emprise du diagnostic.

## 2.3. Le Campaniforme / Age du Bronze ancien (Y. Paillet, T. Nicolas)

Une occupation appartenant à la culture campaniforme a été reconnue à travers quelques structures dont l'une a livré un superbe ensemble céramique. Le site campaniforme occupe une éminence au lieu-dit Prat Mellec. Quelques fosses ont livré du mobilier caractéristique, céramique ou mobilier lithique. Nous soupçonnons d'autres fosses (non testées) d'appartenir à cette occupation du fait de la couleur de leur remplissage assez claire qui diffère des structures médiévales alentour. Dans la mesure où le site médiéval et le site protohistorique se superposent au moins partiellement, nous n'avons pas souhaité multiplier les fenêtres afin de ne pas bouleverser les possibles structures campaniformes (**fig. 56**).

A environ 250 m au sud-ouest de l'occupation campaniforme, nous avons reconnu quelques éléments mobiliers se rapportant à l'âge du Bronze ancien. Quelques faits non testés aux abords de ses découvertes de matériel pourraient appartenir à cette période (**fig. 56**).

### 2.3.1. Le Campaniforme

Sur la colline de Prat Mellec, ce sont près d'une dizaine de faits qui peuvent être attribuées à cette culture qui ont été repérées (**fig. 57**).

#### 2.3.1.1. Le fait F523 en tranchée 26

##### Description

Le fait 523 est apparu à seulement 40 cm sous le sol actuel. Il a été repéré immédiatement au décapage du fait de la présence de tessons de céramique à engobe rouge. En revanche, aucun creusement n'a été observé à la fouille. Il se présente globalement comme une concentration de fragments de vases écrasés sur place sur une surface d'environ 1 m<sup>2</sup>, quelques tessons plus rares et deux macro-outils viennent des abords de cette concentration. Deux hypothèses sont plausibles : les céramiques étaient dans une fosse largement arasée dont il ne restait que le fond ou bien elles se trouvaient sur le sol de circulation de l'époque. Dans les deux cas, les labours avaient commencé à attaquer cette structure car nous avons trouvé des petits bouts de verre au même niveau que les tessons campaniformes les plus hauts.

##### La céramique

Le fait 523 a livré un bel ensemble céramique. Il se compose de 81 NR pour un NMI de 19 individus (**fig. 58**). Le mobilier est très bien conservé : absence d'altérations, peu fragmenté. De fait, les états de surfaces sont préservés ; des restes d'engobe rouge et des incrustations de « pâte blanche » sont encore visibles sur un certain nombre d'individus en céramique fine. Ces récipients ont tous les mêmes caractéristiques technologique et technique.

##### Fait 523, n° 1

Malgré un certain nombre de tessons qui ont permis de restituer en partie le registre décoratif, le diamètre ne peut être donné. Il s'agit d'un élément de panse d'un récipient de type gobelet, à registre de bandeaux de triangles hachurés et de lignes verticales. La surface externe de la panse est décorée d'un engobe rouge et tous les décors en creux, réalisés à la coquille, sont incrustés de « pâte blanche » (**fig. 59**).

##### Fait 523, n° 2

Malgré un certain nombre de tessons qui a permis de restituer pour parti le registre décoratif, nous ignorons la dimension du diamètre. Il s'agit d'un élément de panse

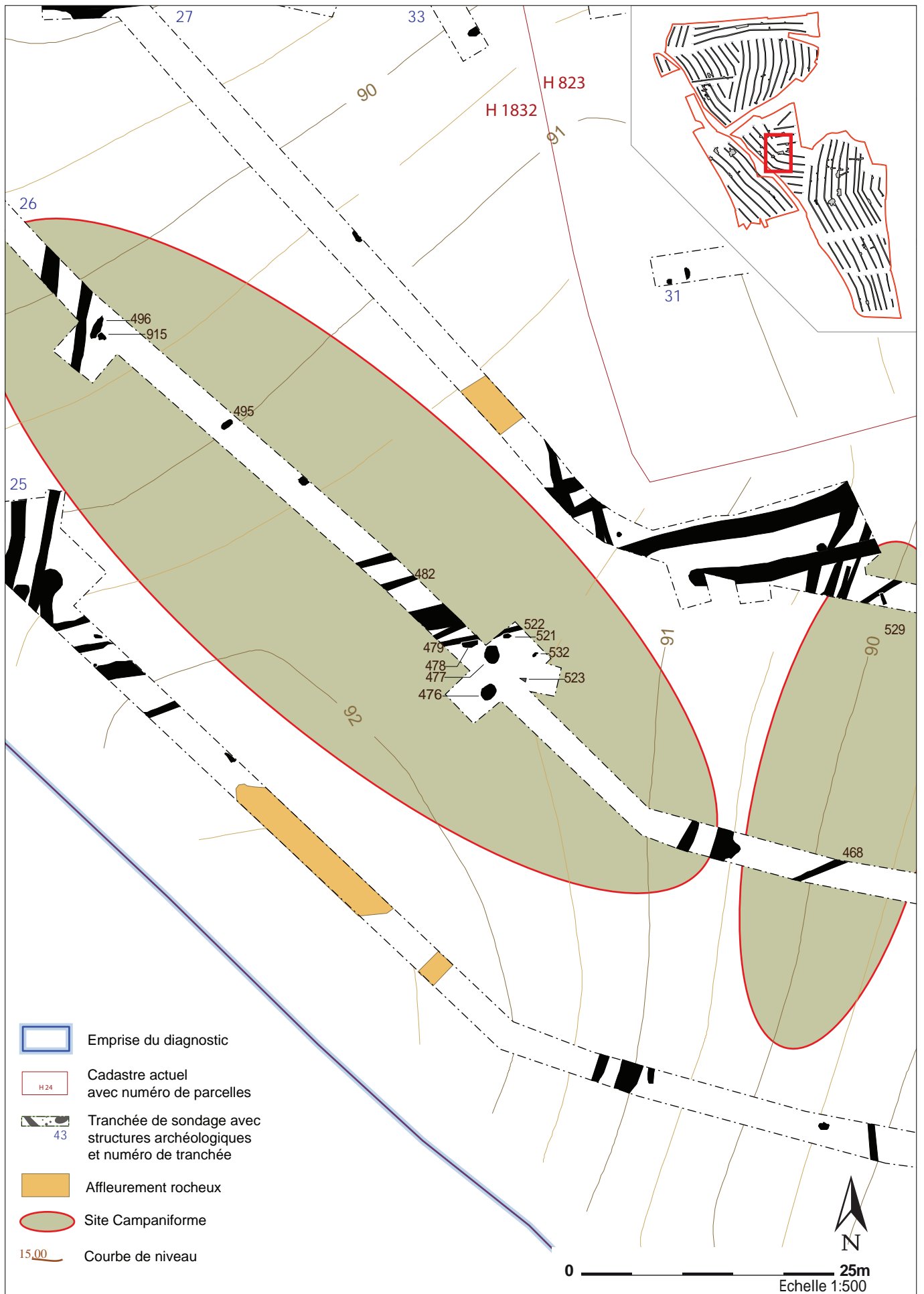


Fig. 57. Zoom sur la concentration de faits campaniformes attestés ou supposés



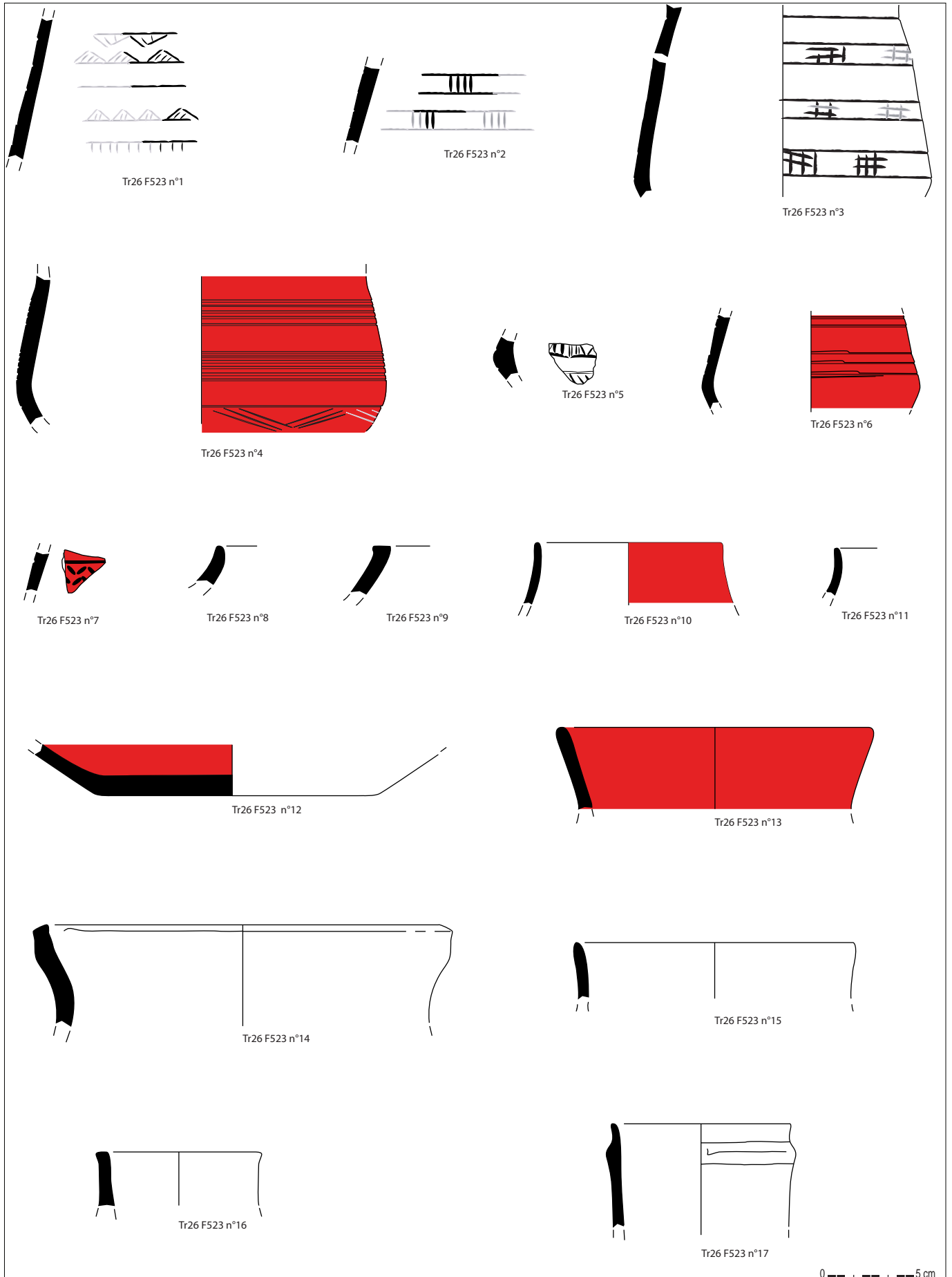


Fig. 58. Mobilier céramique campaniforme du Fait 523 de la tranchée 26 (DAO T. Nicolas).

d'un récipient de type gobelet, à registre de bandeaux de panneaux de lignes verticales placées en quinconce. La surface externe de la panse est décorée d'un engobe rouge et tous les décors en creux, réalisés à la coquille, sont incrustés de « pâte blanche » (fig. 60).

#### Fait 523, n° 3

Pour cet individu vase, le profil ainsi que le diamètre du récipient ont pu être restitués. Il s'agit d'un récipient de type gobelet, à registre en bandeaux de panneaux de lignes horizontales et verticales combinés placés en quinconce. La surface externe de la panse est décorée d'un engobe rouge. Tous les décors en creux ont été réalisés à la coquille et sont incrustés de « pâte blanche » (fig. 61).

#### Fait 523, n° 4

Pour cet individu vase, le profil et le diamètre du récipient ont pu être restitués. Il s'agit d'un récipient biconique à carène basse. Il est décoré de deux bandeaux de lignes incisés mousse (poinçon) sur la partie haute de la panse et de larges triangles inversés emboîtés sur la partie basse. La surface externe de la panse est décorée d'un engobe rouge. L'état de conservation des aspects de surface étant bon, il appert que les décors en creux n'ont pas fait l'objet d'une incrustation de pâte blanche (fig. 62).



Fig. 59. Photographie de détail du registre décoratif du gobelet n° 1, F523, Tr 26 (Photo T. Nicolas).



Fig. 60. Photographie de détail du registre décoratif du gobelet n° 2, F523, Tr 26 (Photo T. Nicolas).



Fig. 61. Photographie de détail du registre décoratif du gobelet n° 3, F523, Tr 26 (Photo T. Nicolas).



Fig. 62. Photographie de détail du registre décoratif du récipient biconique à carène basse n° 4, F. 523, Tr 26 (Photo T. Nicolas).

**Fait 523, n° 5**

Il s'agit d'un probable fragment de gobelet à registre de bandeaux de triangles hachurés.

**Fait 523, n° 6**

Pour cet individu vase, le profil ainsi que le diamètre du récipient ont pu être restitués. Il s'agit d'un récipient de type gobelet. La surface externe de la panse est décorée d'un engobe rouge associé à un registre de lignes incisées mousses sur la partie haute de la panse.

**Fait 523, n° 7**

Il s'agit d'un fragment de panse d'un récipient dont la surface externe de la panse est décorée d'un engobe rouge associé à un registre de bandeaux (?) de triangles impressionnés en « grains de riz ».

**Fait 523, n° 8 à 11**

Quatre bords en céramique fine de récipient de type « fermés ». Un exemplaire (n° 10) a la surface externe de la panse décorée d'un engobe rouge.

**Fait 523, n° 12**

Il s'agit du fond plat d'un récipient de type « ouvert » en céramique fine. La surface interne de la panse est décorée d'un engobe rouge.

**Fait 523, n° 13**

Il s'agit d'un col légèrement éversé de récipient en céramique fine. Les surfaces internes comme externe de la panse sont décorées d'un engobe rouge.

**Fait 523, n° 14 à 16**

Il s'agit de trois bords en céramique semi-grossière.

**Fait 523, n° 17**

Pour cet individu vase, le profil ainsi que le diamètre du récipient ont pu être reconstitués. Il s'agit d'un récipient en céramique semi-grossière de type tronconique à décor de cordon sub-oral.

Les caractères morphologiques et techniques de cet ensemble permet de l'attribuer sans ambiguïté au Campaniforme. Le lot a bénéficié de conditions de conservation exceptionnelle qui ont permis une bonne préservation des états de surface et tout particulièrement de l'engobe rouge et d'incrustations de « pâte blanche ».

Si d'un point de vue typologique, l'assemblage est original ; du point de vue des formes, un certain nombre de comparaisons régionales peuvent être établies pour le registre décoratif.

On trouve le registre de bandeaux de panneaux de lignes horizontales et verticales combinées, placées en quinconces, dans les assemblages de Kerivoelen en Plélauff (Le Roux, 1984) ou du Plateau du Collédic à Saint-Nicolas-du-Pelem (Ripoche, 2014). Plus largement, le registre de bandeaux de lignes verticales est présent à Kerandreze en Moëlan-sur-Mer (Salanova, 2000), à Mez-Notariou sur l'île d'Ouessant (Le Bihan, 1992), à Kermenhir en Poullan (Salanova, 2000), à Pen-ar-Menez en Tréffigat, à la ZAC de Kerizac en Plouisy (Mentele, 2013) et sur le Plateau du Collédic à Saint-Nicolas-du-Pelem (Ripoche, 2014). Le registre de décor de triangle hachuré est présent dans les assemblages de Kerandreze à Moëlan-sur-Mer (Salanova, 2000), à Penancreac'h en Quimper (Le Bihan, 1993) ou à la Lande du Moulin en Langon (Blanchet, 2009). De l'engobe rouge a été observée en contexte campaniforme sur le matériel de Prat-Palud en Plomeur, tandis que de la « pâte blanche » l'a été sur le site de Crugou en Plovan, en association avec des motifs de triangles (Convertini, Querré, 1998) ou encore à la ZAC de Kerizac en Plouizy (triangles et lignes verticales en bandeau) (Mentelé, 2013).

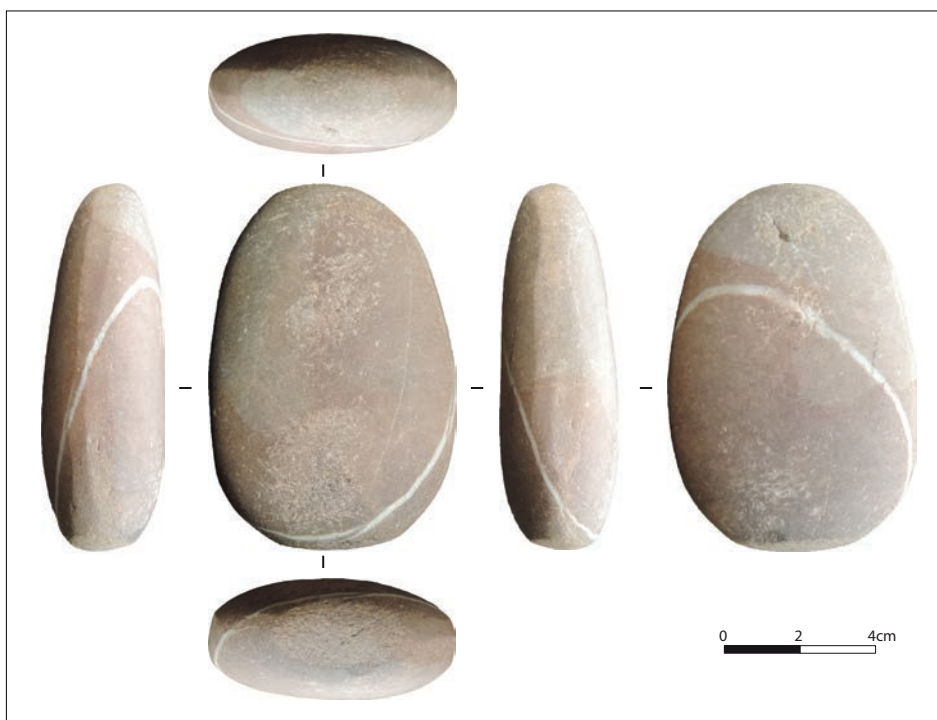


En plus de ce lot de céramiques, deux macro-outils ont été recueillis.

Le premier est un outil sur galet de grès armoricain (9,7 x 6,6 x 3,15 cm), ce qui implique des relations avec la rade de Brest. Cet objet combine trois fonctions. Il présente des traces de percussion bien circonscrites aux deux extrémités qui font penser à une action de bouchardage. De petites traces d'impacts rapprochées sur les faces signent une utilisation comme enclume, probablement pour le débitage du silex. Par ailleurs, les bords forment des méplats polis par usure. Par endroits, ces facettes ont pris un aspect vieux cuir, un peu luisant (fig. 63).

Le second outil, cassé au décapage, a lui aussi pour support un galet mais le matériau est un schiste gris assez terne. L'extrémité conservée est biseautée sur un bord et esquillée sur l'autre ; quelques stries fines sont visibles sur les surfaces usées.

**Fig. 63.** Macro-outil sur galet en grès armoricain, F523 en Tr 26 (DAO J. Conan d'après macro-photos Y. Pailler).



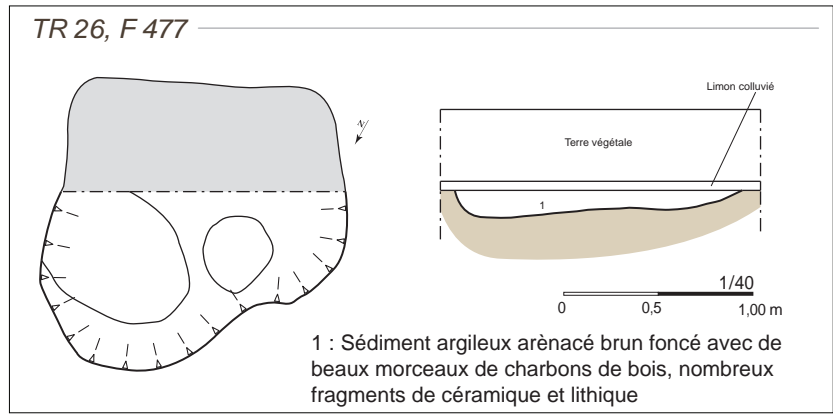
#### 2.3.1.2. La fosse F477, Tr. 26

A moins de 3 m au nord-ouest de l'accumulation de céramiques F523, le fait F477 est une fosse qui mesure 2,07 m de longueur sur 1,63 m de largeur et seulement 14 cm de profondeur. Ses bords sont plus ou moins évasés et le fond du creusement est plat (fig. 64). Un seul comblement a été observé, il s'agit d'un limon argileux brun moyen à foncé, peu hétérogène, meuble, avec quelques cailloux de granite (fig. 65). Elle contient également quelques charbons de bois. Cette fosse a livré des tessons de céramique et quelques objets en pierre.

Le petit ensemble céramique se compose de 53 NR pour un NMI de 7 (fig. 66), au sein duquel il a pu être identifié un bord à lèvres arrondi légèrement éversé et un fragment de récipient biconique avec une carène vive en céramique fine. D'un point de vue typologique, ces éléments pourraient être attribués au Campaniforme ou au Bronze ancien.

Le matériel lithique comprend 12 objets au sein desquels on note une certaine diversité pétrographique (fig. 67). Parmi les roches taillées, on recense du silex côtier, du silex blond à cortex frais (origine de Touraine ?), de l'ultramylonite locale (de mauvaise qualité), du quartz et du microquartzite de La Forêt-Landerneau. Deux fragments de macro-outils ont été façonnés sur des galets de micaschiste et de chlorito-schiste. La percussion sur enclume est la plus représentée mais quelques pièces ont été débitées par percussion unipolaire. Enfin, l'éclat d'avivage en microquartzite présente des anciens négatifs d'enlèvements lamellaires. L'outillage comprend un éclat retouché, un possible burin et un grattoir à double front aménagé sur une entame (fig. 68).

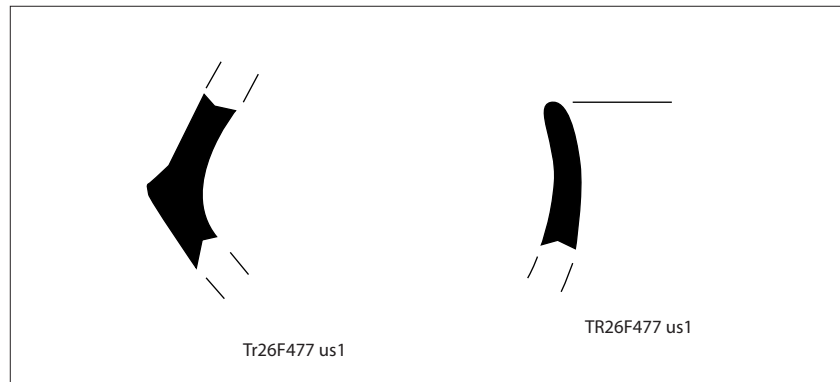
**Fig. 64.** Plan et coupe de la fosse F477, Tr26.



**Fig. 65.** Montage photos de la fosse F477.  
 1. Vue générale depuis le nord-ouest après nettoyage ;  
 2. Vue de la coupe depuis le nord ;  
 3. Vue générale après fouille à 50% depuis le nord.



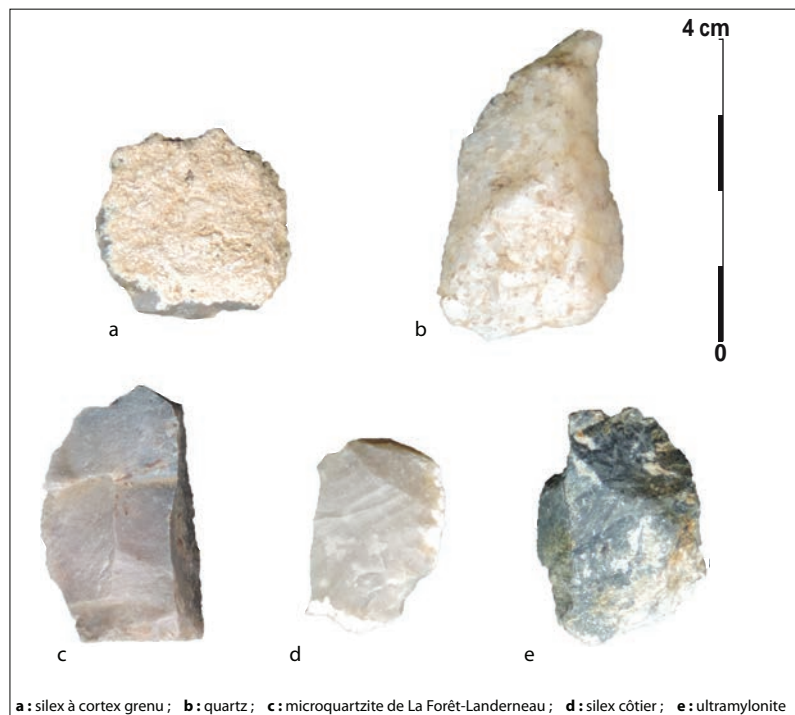
**Fig. 66.** H. Mobilier céramique Campaniforme / Bronze ancien du Fait 477, Tr 26 (DAO T. Nicolas).



**Fig. 67.** Grattoir sur entame en silex blond de F 477. (DAO J. Conan d'après macro-photos Y. Pailler).



**Fig. 68.** Les différentes roches taillées présentes dans F477 (DAO J. Conan d'après macro-photos Y. Pailler).





### 2.3.1.3. D'autres structures autour de F523 et 477

Aux abords immédiats de deux structures fouillées, trois autres fosses ont été mises en évidence ainsi qu'un foyer à pierres chauffées.

F478 est une fosse ovale qui mesure 1,75 m de longueur par 0,83 m de largeur. Elle est coupée par le fossé F479. Elle a livré au décapage une esquille en silex. Elle est comblée par un limon argileux brun moyen, peu hétérogène, meuble avec quelques cailloux de granite. La petite fosse F521 (1 x 0,66 m) est elle-aussi coupée par un fossé (F522), prolongement de F479. Elle a livré en surface un petit tesson d'allure protohistorique. Son remplissage est limono-argileux brun moyen, peu hétérogène, meuble. F532 est aussi une petite fosse ovale qui mesure 0,85 m de long sur 50 cm de large. Son comblement est similaire aux précédentes. Enfin, au sud-ouest, se trouve le foyer ovale F476 (1,63 x 1,34 m). Là encore, le comblement est constitué d'un limon argileux brun moyen peu hétérogène, meuble, avec des poches charbonneuses. Des blocs de granite chauffés sont disposés de chant sur le pourtour de la structure, ce qui rappelle les observations faites pour le foyer F449 (Tr 21).

On peut également mentionner la découverte de quelques tessons attribués à la Protohistoire sans plus de précisions à proximité de ce groupe de faits. Nous pensons qu'il s'agit de matériel piégé dans des structures plus récentes. Ainsi, en tranchée 26, le petit fossé F468 (60 cm de largeur), orienté ENE-OSO, a donné un unique tesson. Le fossé F482 (Tr 26) a livré également un tesson mais se superpose parfaitement à une limite parcellaire représentée sur le cadastre napoléonien et a également livré des bouchons de bouteille en faïence et des ardoises. Il est donc assuré dans ce cas que le tesson ancien est en position secondaire. Enfin, dans la fosse F529 (Tr 27) furent découverts trois tessons protohistoriques mais sa forme aux contours rectangulaires bien nets comme son comblement très hétérogène nous font dire que le creusement est contemporain et que les tessons sont là aussi en position secondaire. Quoiqu'il en soit, ces trouvailles sporadiques indiquent bien qu'un site protohistorique occupe le sommet et les abords de la petite colline de Prat Mellec.

### 2.3.1.4. Plus au nord, dans la pente

Toujours en tranchée 26 et un peu au nord des quelques structures précédemment décrites, nous avons rencontré trois fosses dont le comblement évoque celui des structures campaniformes.

F495 est de forme ovale et mesure 1,45 de longueur sur 80 cm de largeur. Son remplissage est composé d'un limon argileux brun moyen, assez homogène et peu compact.

Les structures F496 et F915 qui sont adjacentes ont fait l'objet d'une fouille intégrale (**fig. 69**). Elles apparaissent à un niveau assez bas sous le sol actuel, piégées sous un niveau de colluvions (-0,6 m). F 496 est une fosse de forme ovale allongée qui mesure 2,6 m de longueur pour 96 cm de largeur et seulement 13 cm de profondeur (**fig. 70**). Elle est perturbée dans sa partie méridionale par un chablis brûlé et coupée très légèrement côté est par la fosse F995. Ses bords sont évasés et son fond est plat. Le remplissage comprend des blocs et cailloux de granite rubéfiés, du charbon de bois emballés dans un limon brun moyen homogène et meuble. La fouille a livré une petite série lithique composée de 14 pièces. On doit également signaler la présence d'un unique tesson de céramique du bas Moyen Age, très probablement en position secondaire. Trois matières premières sont présentes : onze en silex côtier, deux en grès armoricain et un en meulière ou calcédoine. A noter que six des silex ont été brûlés. La percussion sur enclume domine mais quelques pièces ont été obtenues par débitage unipolaire. Les outils taillés sont représentés par un grattoir sur éclat semi-cortical (**fig. 3**) et une coche. Un petit galet en grès armoricain percute aux deux extrémités a dû servir de percuteur ou de retouchoir (**fig. 71**). Enfin, on peut mentionner un éclat allongé partiellement cortical en grès armoricain dont les bords présentent de fines retouches d'utilisation (**fig. 71**).

Quant à F915, il s'agit d'une petite fosse dont le bord ouest vient mordre la fosse F496. Elle mesure 1 m de longueur, 0,79 m de largeur et 16 cm de profondeur. Elle présente un profil en cuvette, des bords évasés et un fond légèrement concave (**fig. 69**). Son comblement correspond à un limon argilo-sableux brun moyen homogène, meuble, auquel sont mêlés de nombreux blocs de granite chauffés et quelques charbons de bois. Aucun mobilier archéologique n'y a été découvert.

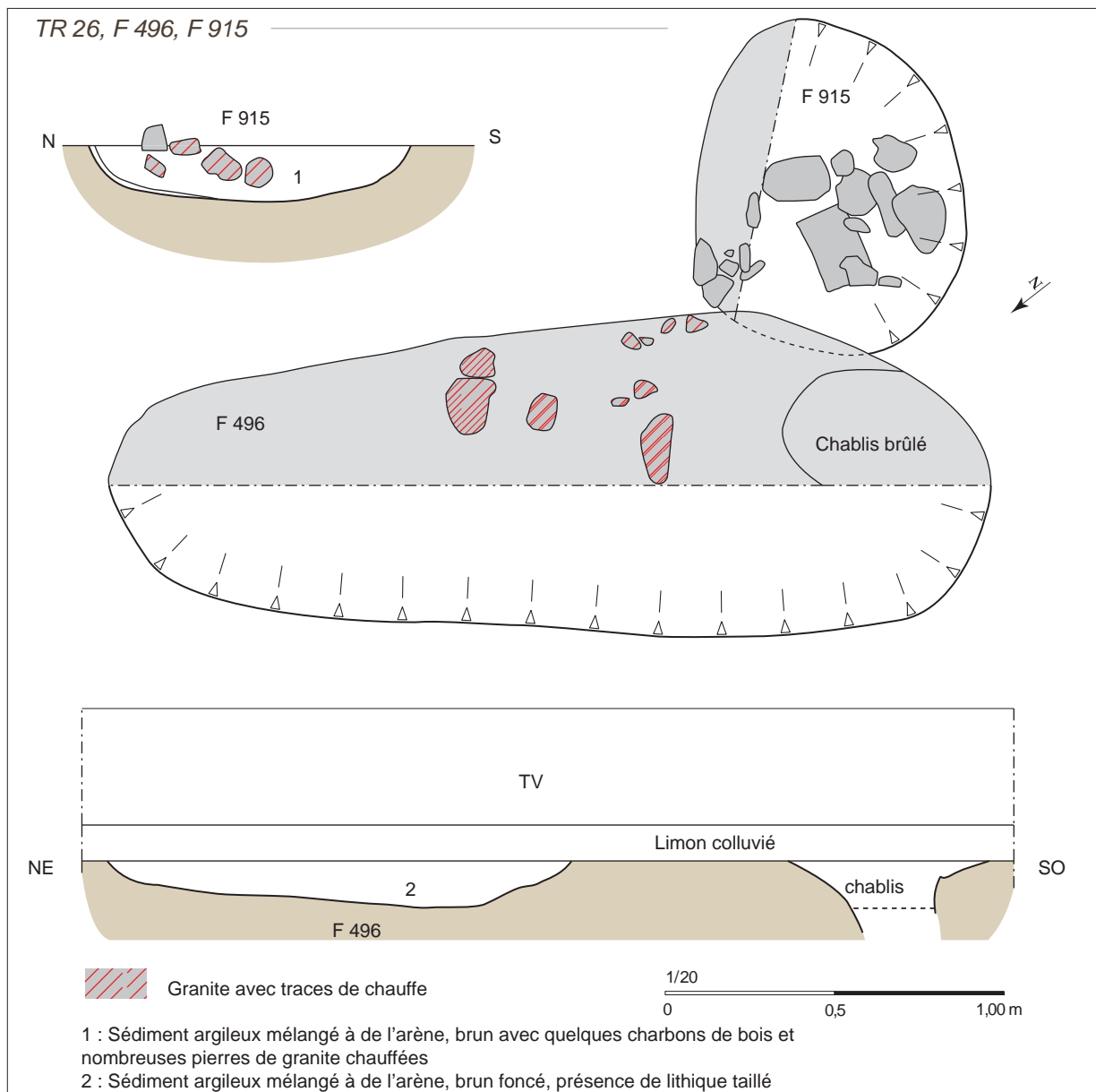


Fig. 69. Plan et coupes des fosses F496 et F915, Tr 26.



**Fig. 70.** Vues générales des fosses F496 et F995 après nettoyage. On distingue quelques objets lithiques dont le percuteur en position centrale de F496. 1. Depuis le nord-est ; 2. Depuis le nord-ouest.



**Fig. 71.** Outillage lithique. 1. Grattoir en silex côtier ; 2. Percuteur sur galet de grès armoricain ; 3. Eclat utilisé en grès armoricain (DAO J. Conan d'après macro-photos Y. Pailler).



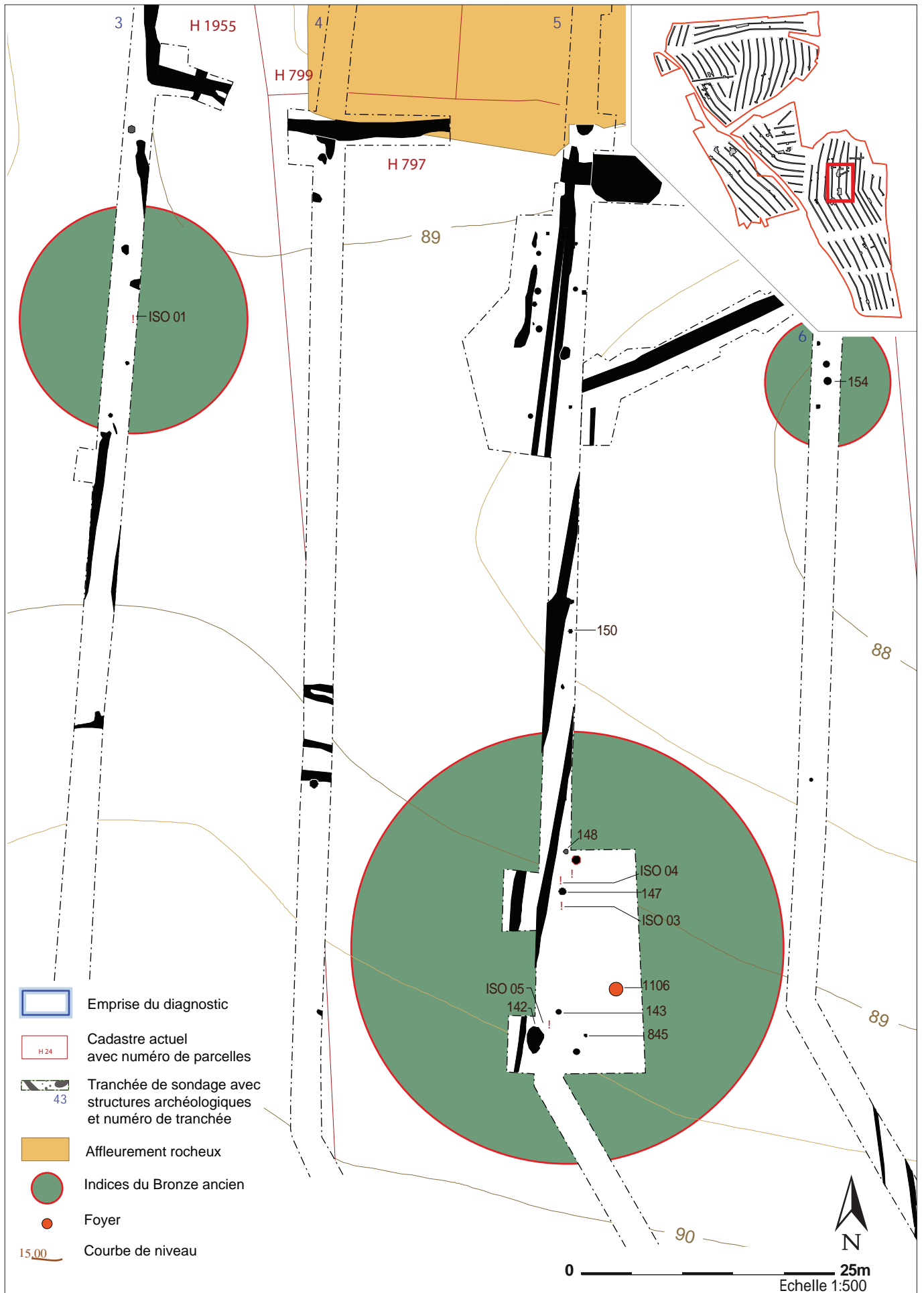


Fig. 72. Plan de répartition des indices Bronze ancien et protohistoriques en tranchée 3, 5 et 6.

### 2.3.2. Un indice du Bronze ancien

L'âge du Bronze ancien n'est représenté de manière certaine que par la découverte de mobilier hors structure (*cf. infra*). Toutefois, quelques structures alentours pourraient se rapporter à cette période (**fig. 72**) comme par exemple un foyer à pierres chauffées ou quelques fosses.

En tranchée 5, quatre éléments céramiques diagnostiques (iso 4 et 5) ont été mis au jour à quelques mètres les uns des autres (**Fig. 73**). Ils correspondent à :

- deux languettes horizontales en céramique grossière dont l'une se caractérise par une fixation en tenon (iso 4) ;
- d'un élément de décor plastique arciforme en céramique grossière (iso 4) ;
- d'un élément de forme, correspondant à la partie haute d'un récipient à profil en S à cordon sub-oral (iso 9).

D'un point de vue typologique, ces éléments pourraient être attribués au Campaniforme ou à l'âge du Bronze ancien. Il faut également ajouter la découverte (iso 3) dans le même secteur d'un large éclat retouché en grès lustré portant des retouches directes semi-abruptes à abruptes sur ses bords (**fig. 74**).

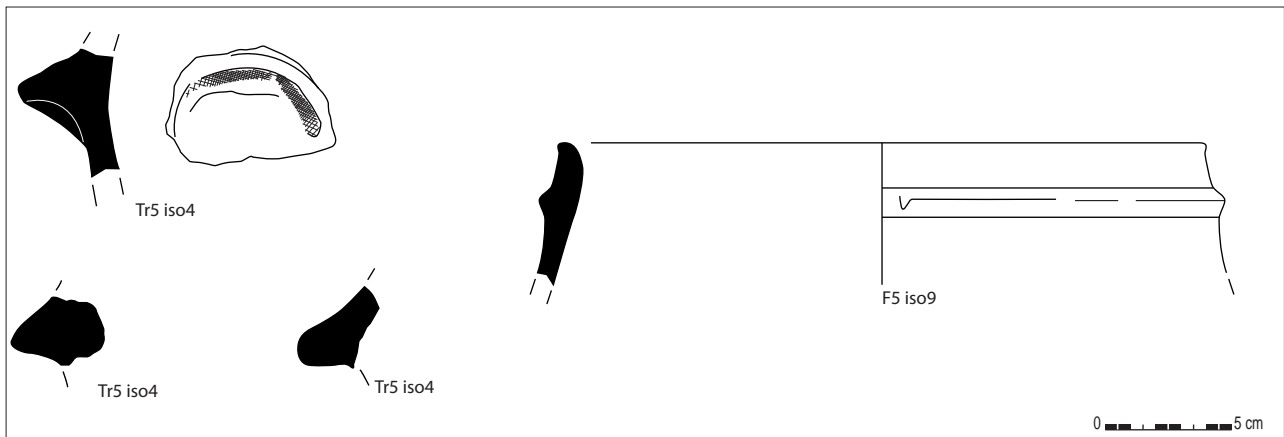
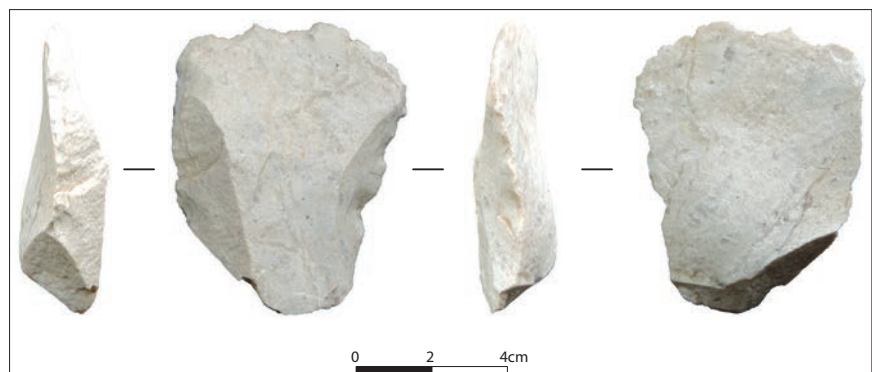


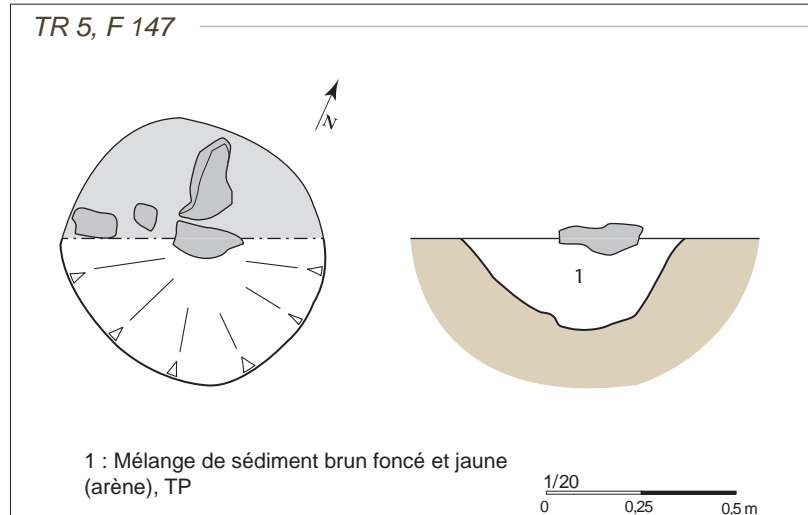
Fig. 73. Mobilier céramique du Bronze ancien, Iso 4 et 9, Tr 5 (DAO T. Nicolas).

Fig. 74. Eclat retouché en grès lustré (DAO J. Conan d'après macro-photos Y. Pailler) .



Seul le fait F147 (Tr 5) a fait l'objet d'un test manuel. Il s'agit d'un trou de poteau ou d'une petite fosse circulaire de 67 cm de diamètre pour 22 cm de profondeur à profil en U évasé (**fig. 75**). Le comblement est constitué d'un limon argileux brun foncé hétérogène, meuble avec des poches jaunes d'arène granitique. Quelques cailloux de granite sont présents en surface (**fig. 76**).

**Fig. 75.** Plan et coupe de la petite fosse ou trou de poteau F147 en tranchée 5.



**Fig. 76.** Vue verticale F147 après nettoyage.



A quelques mètres au sud, F1106 est un foyer circulaire à pierres chauffées de 1,4 m de diamètre. En surface, de nombreux blocs de granite brûlés sont mêlés à un limon argileux brun foncé peu hétérogène et meuble ainsi qu'à des poches charbonneuses. A noter également la présence d'autres structures (non datées) à proximité comme les trous de poteau F845, F143 et F148 ou la grande fosse F142.

Quatre trouvailles de céramiques protohistoriques ont été effectuées dans des faits repérés dans le même secteur, soit au sud du pointement granitique.

L'iso 1 en tranchée 3 correspond à un tesson isolé. A moins de 2 m au nord, la fosse F107 a également livré un tesson protohistorique. Quasi-circulaire, elle mesure 1,05 m sur 1,03 m. Son comblement est limono-sableux brun foncé, très hétérogène et meuble. Il comprend de nombreuses poches charbonneuses et quelques cailloux de granite.

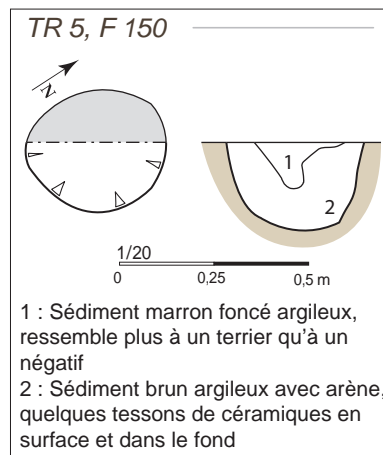
En tranchée 5, le trou de poteau F 150 mesure 67 cm de diamètre pour 22 cm de profondeur. Il présente un profil en cuvette à bords évasés (**fig. 77**). Son remplissage est composé de deux couches. La première correspond à un limon argileux brun foncé, hétérogène, meuble mélangé à des poches jaunes d'arène granitique et à des blocs de granite. La couche supérieure ressemble davantage à un terrier qu'à un négatif de trou de poteau (**fig. 78**).



L'us 1 a livré cinq fragments de panse d'un récipient en céramique fine non identifiable qui peut, au vu de ces caractères technologiques, être attribué à la Protohistoire. Y ont également été découverts deux fragments de taille centimétrique de jais de type Whitby<sup>7</sup> (noir brillant à cassure conchoïdale). Les caractéristiques morphologiques de ces deux fragments ne permettent pas de déterminer s'ils ont été façonnés. Ce matériau est à notre connaissance peu représenté durant la Protohistoire armoricaine ; tout au plus, pouvons nous mentionner la perle d'espacement en jais – transformée en brassard d'archer – découverte dans la tombe princière attribuée au Bronze ancien de Kerguevarec à Plouyé (Lukis, 1884 ; Nicolas, 2013). Des analyses complémentaires sur ces fragments de jais seraient nécessaires pour préciser leur origine (Baron *et al.*, 2007).

En tranchée 6, F154 est une petite fosse de 90 cm de diamètre qui a donné au décapage un seul tesson d'allure protohistorique. Le comblement correspond à un limon argileux brun moyen homogène, meuble. En surface, sont visible des cailloux de quartz et de micaschiste.

**Fig. 77.** Plan et coupe du trou de poteau F150 en tranchée 5.



**Fig. 78.** F. 150, Tr 5. Vue de la coupe depuis le sud.



7. Détermination macroscopique T. Nicolas.

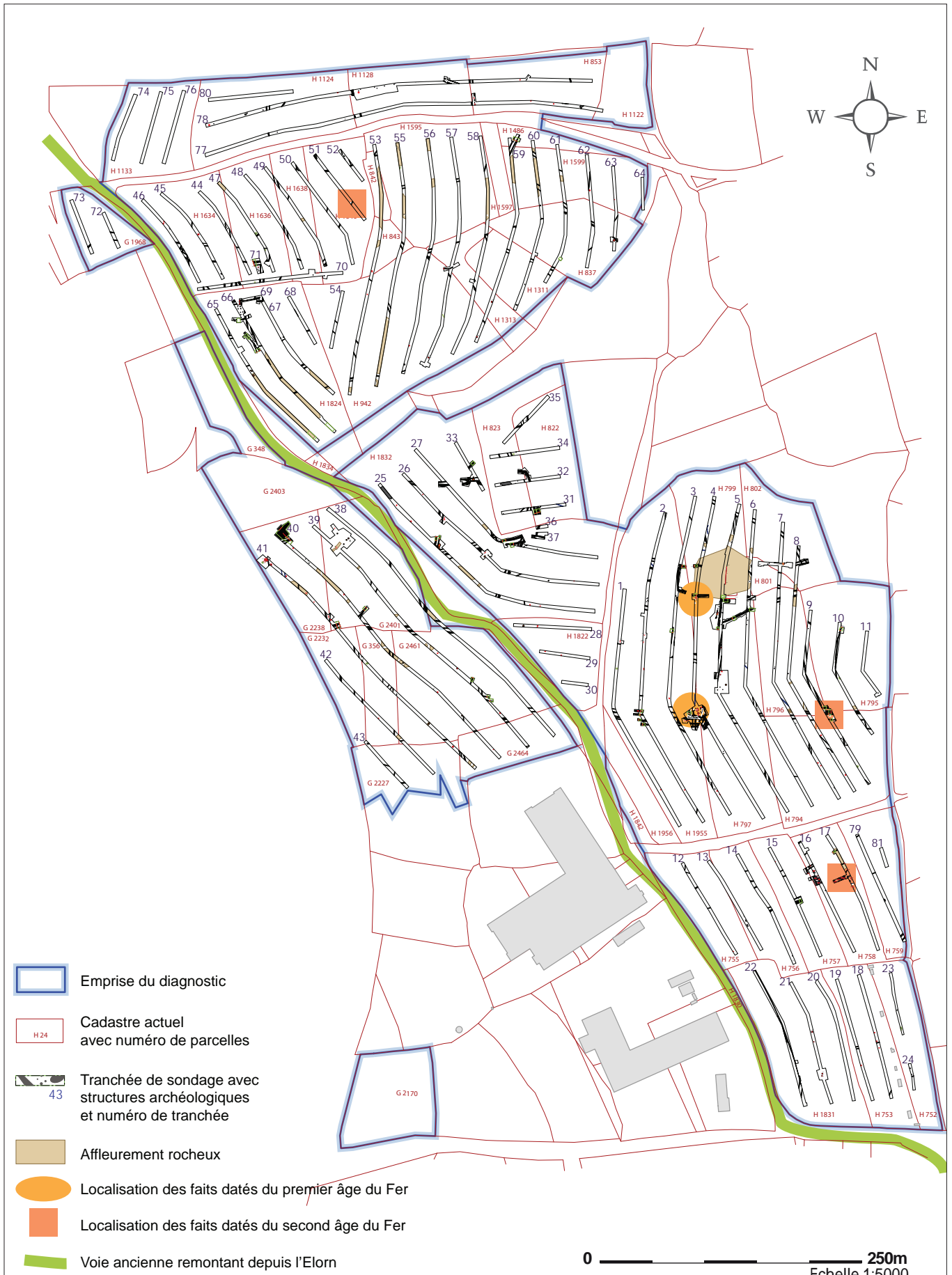


Fig. 79. Plan de répartition des faits attribués au premier et au second âge du Fer dans l'emprise du diagnostic.

## 2.4. Une présence discrète à l'âge du Fer (Y. Pailler, T. Nicolas, V. Brisotto)

L'âge du Fer est très peu représenté dans l'emprise du diagnostic (fig. 79). Le Hallstatt est seulement attestée à travers deux tessons mis au jour dans deux faits. La Tène n'est guère mieux représentée : seules trois structures ont livré du mobilier caractéristique.

### 2.4.1. Des indices d'une occupation du premier âge du Fer

En tranchée 4, deux faits ont livré des tessons de céramique attribués au premier âge du Fer (fig. 80).

La fosse F113 mesure encore 1,7 m de longueur sur 1 m de largeur pour une profondeur de 22 cm. Elle est tronquée au nord par le fossé gallo-romain F114 à profil en V. Au sud, c'est la petite fosse F112 qui vient la couper (fig. 81). Le fond du creusement est plat. Le remplissage est constitué d'un limon argilo-sableux brun foncé, hétérogène, meuble avec des poches jaunes d'arène ainsi que quelques petits blocs de granite (fig. 82).

F113 a livré un fragment de panse d'un récipient en céramique semi-grossière à profil en S que l'on peut attribuer au premier âge du Fer (fig. 83), mais d'autres tessons comme un fragment de terra nigra sont attribuables sans ambiguïté au Haut-Empire. La présence de ces tessons discordants chronologiquement pose question : -si l'on se base sur la stratigraphie et la présence du tesson Hallstatt, la fosse date bien du premier âge du Fer ;

-ou alors, la fosse est gallo-romaine (on a d'autres exemples sur le site de recoupements entre structures gallo-romaines) et elle a piégé un tesson du 1er âge du Fer.

Bien qu'il n'apporte pas d'éclairage sur la discussion chronologique, il faut mentionner la découverte dans l'us 1 de la fosse 113 d'un secteur angulaire de *catillus* (fig. 84). Façonné dans un granite clair à grains moyens à grossiers, son diamètre est estimé à 37 cm. D'une épaisseur maximale de 10,5 cm, il possède un flanc bombé dessinant une section tronconique. L'œil incomplet pourrait être complexe. De forme probablement ovulaire, deux légères gorges verticales sont visible dans l'épaisseur de la perforation, attestant sans doute la présence d'anilles. Le réceptacle peu profond est délimité par un bandeau peu marqué d'une largeur de plus ou moins 3 cm. Bien qu'incomplet, un emmanchement latéral aveugle est visible sur le flanc. Il semble être de section circulaire. Les caractéristiques morphologiques de cette meule se résumant par un faible diamètre associé à un réceptacle peu profond et peu large, et munie d'un emmanchement latéral aveugle correspondent à un moulin rotatif manuel que l'on trouve de la Tène moyenne à l'époque antique. A partir de l'Antiquité, les diamètres tendent à augmenter, de même que l'amplitude du réceptacle et le pendage de la surface active.

La fosse F289 mesure 2,6 m sur 1,1 m. En surface, le remplissage de ce fait est un limon argileux brun foncé hétérogène, peu compact avec quelques blocs de granite. Il est difficile d'interpréter la fosse F289 mais elle semble avoir été englobée par la grande fosse contemporaine F290. Le mobilier céramique découvert au décapage se limite à un élément de forme qui correspond à la partie haute d'un récipient tronconique (?) à décor d'impressions digitées sous le bord. Cet élément peut vraisemblablement être attribué au Hallstatt (fig. 83).



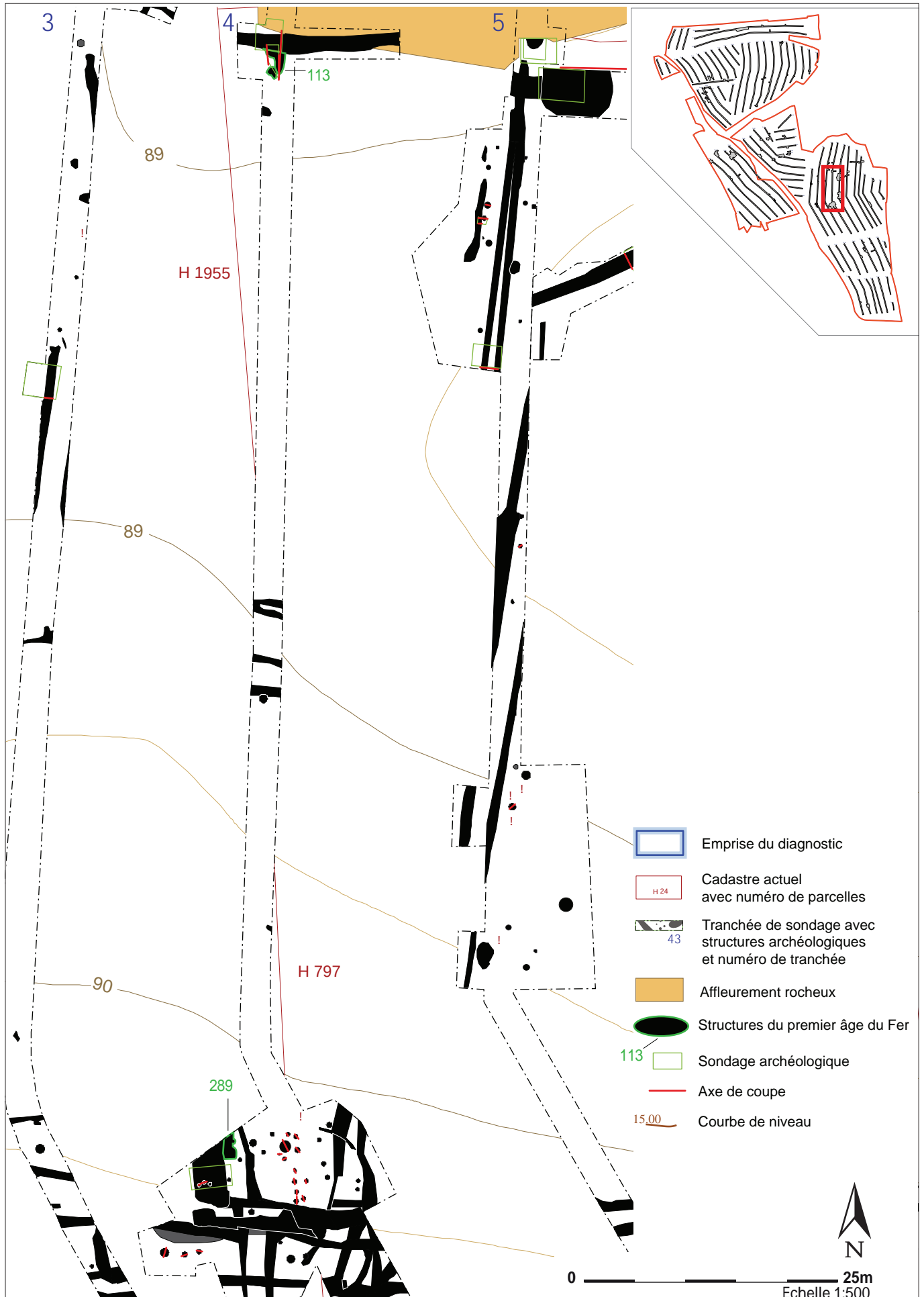


Fig. 79. Zoom sur les faits ayant livré du mobilier du premier âge du Fer en tranchée 4.

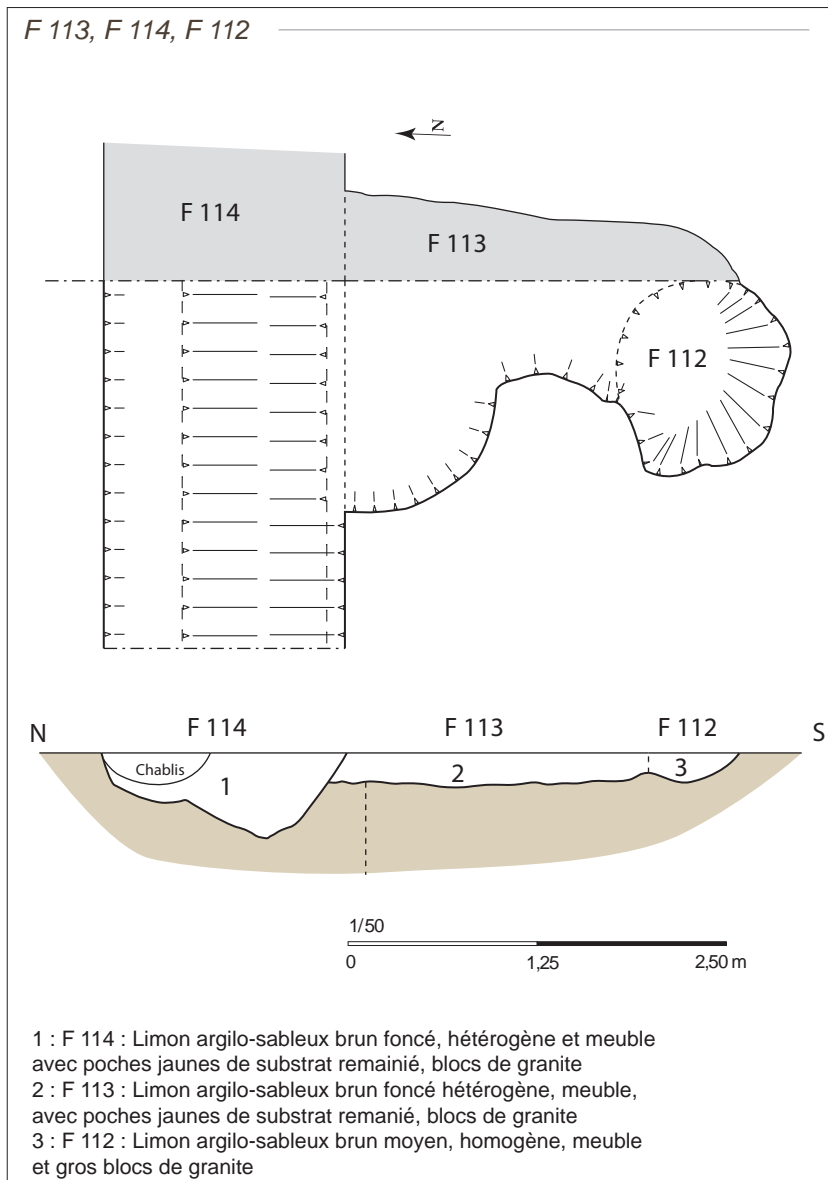


Fig. 81. Plan et coupe de la fosse F113, du fossé F114 et de la fosse F112.

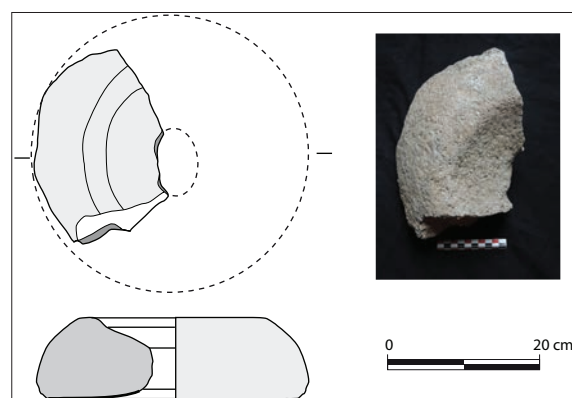


Fig. 82. Vue verticale des faits F113, 114 et 112 et vue générale de la coupe depuis l'est.



Fig. 83. Mobilier céramique du premier Age du Fer de la tranchée 4. A gauche, F289 ; 2. A droite, F113.

Fig. 84. F113, US 1. Fragment de *catillus* (DAO V. Brisotto).



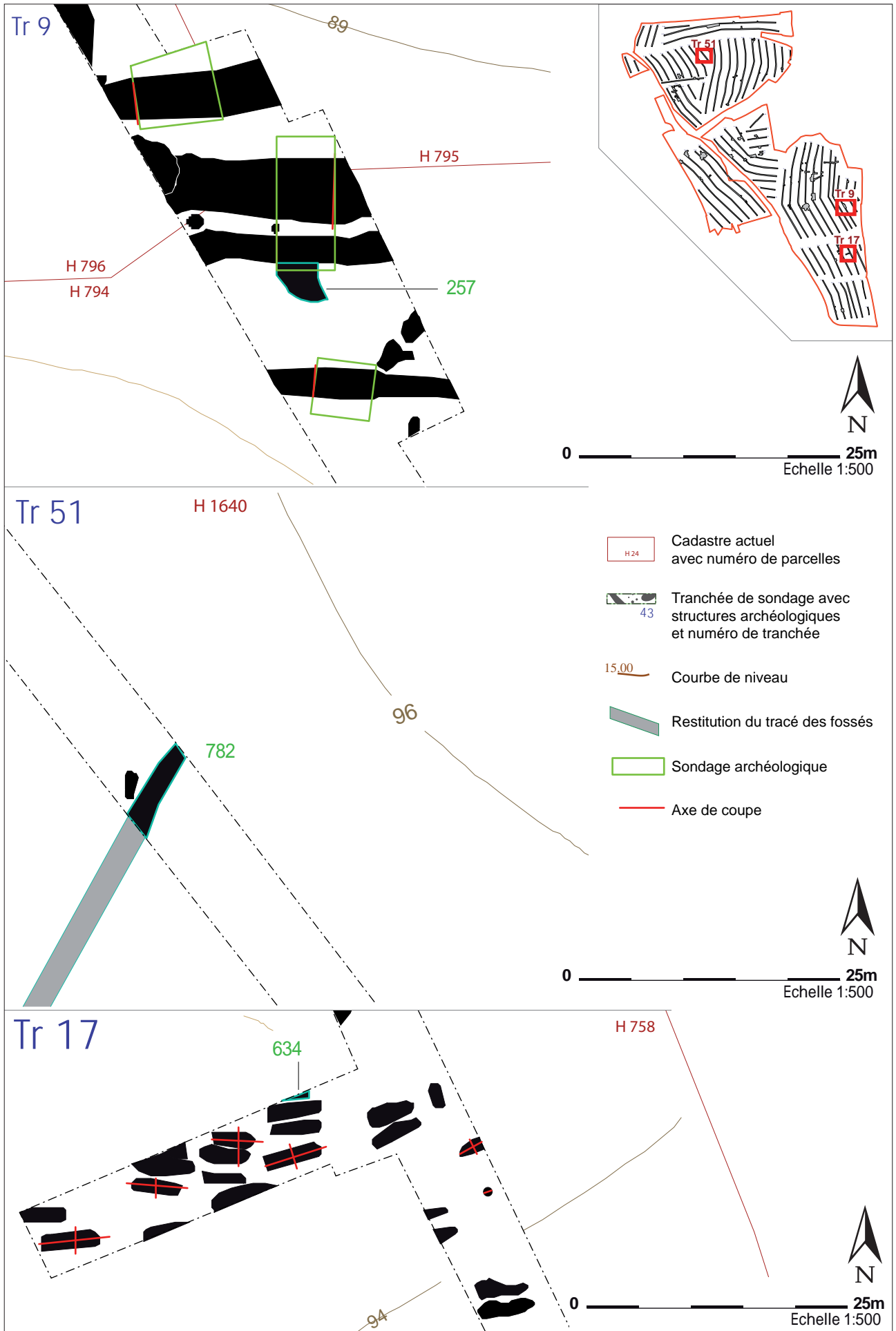


Fig. 85. Plan de répartition des faits ayant livré du mobilier du second âge du Fer dans l'emprise du diagnostic



### 2.4.2. Des indices d'une occupation de la Tène

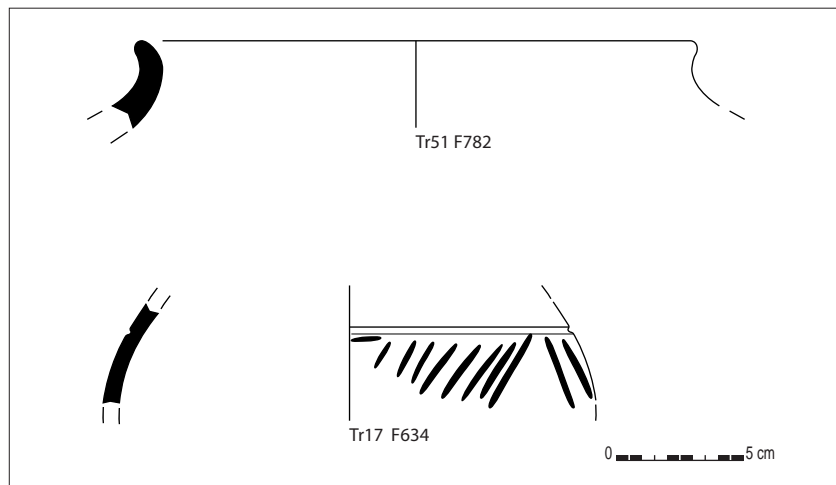
La Tène n'est représentée que par trois faits complètement déconnectés spatialement les uns des autres (fig. 85).

En tranchée 9, F257 est une fosse coupée par le fossé F258. Son comblement est composé d'un limon argileux brun moyen, très hétérogène et meuble auquel sont mélangés des cailloux de granite et de schiste. Cette fosse a donné un bord épaissi à lèvre arrondie en céramique grossière attribuable à la Tène.

Dans la partie nord de l'emprise, en tranchée 51, le tronçon de fossé F782 (équivalent à F784 en Tr 50) a livré un élément de forme qui correspond au col d'un récipient en céramique grossière. Le bord est de type éversé court et la lèvre arrondie (fig. 86). Le fossé mesure entre 0,8 et 0,96 m de largeur ; il est orienté NNO-SSE. Il est comblé par un limon argileux brun moyen homogène, meuble avec quelques blocs de granite.

Le fait 634 en tranchée 17 est une sépulture du haut Moyen Age creusée dans les phyllonites. Il a néanmoins livré un tesson décoré, attribuable à la Tène moyenne, clairement en position secondaire. Cet élément de forme ovoïde est en céramique fine de couleur noire. La surface externe est lustrée et porte un registre décoratif associant une cannelure horizontale et des cannelures obliques de triangles emboîtés (fig. 86).

**Fig. 86.** Mobilier céramique du Second âge du Fer. 1. En haut, F782, Tr 50 ; 2. En bas, F634, Tr 17 (DAO T. Nicolas).



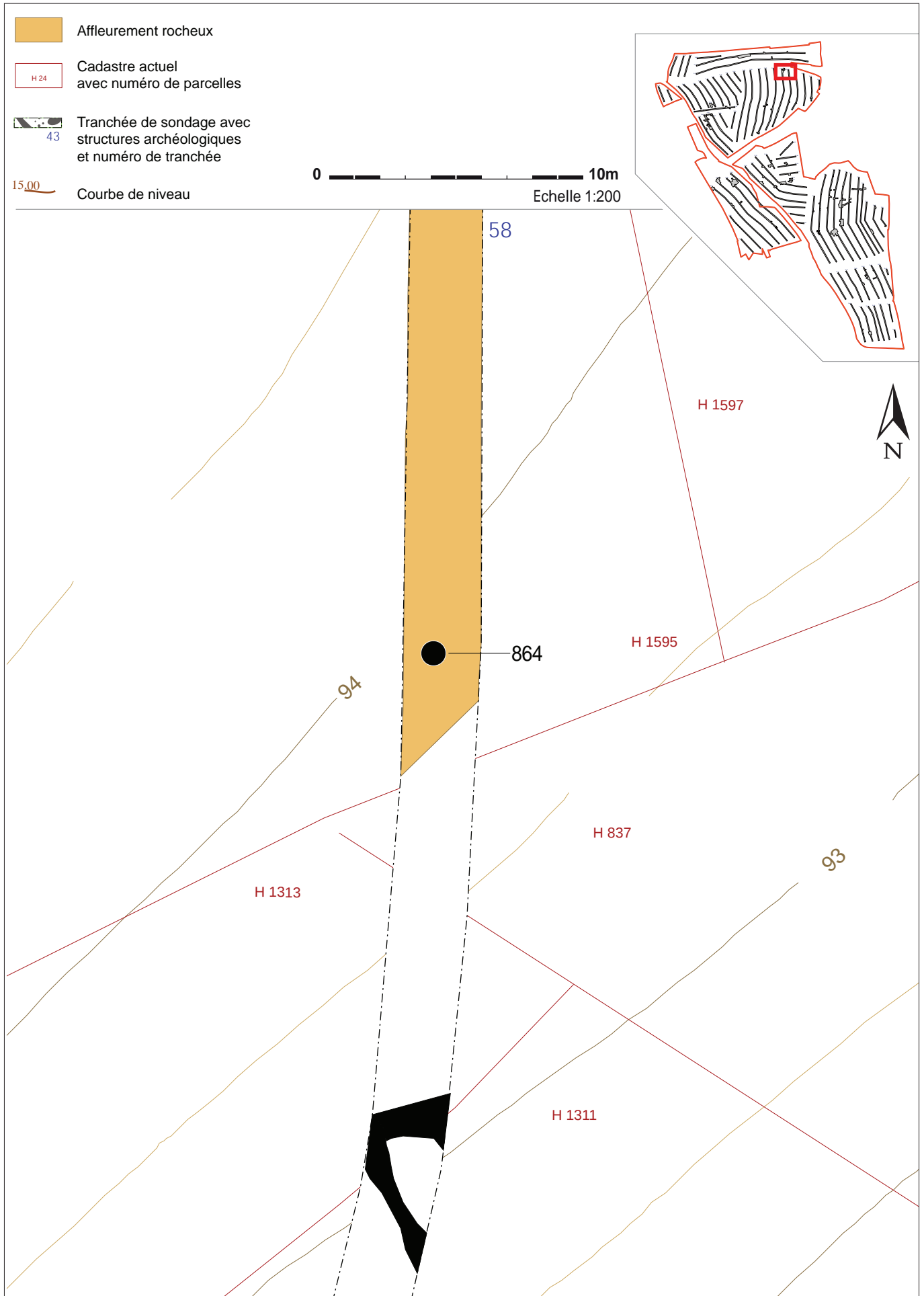


Fig. 87. Zoom autour de F864 en tranchée 58.

## 2.5. La Protohistoire au sens large

D'autres faits ont livré quelques rares tessons de céramique attribués à la Protohistoire sans plus de précision. Ces structures sont assez dispersées dans l'emprise.

### 2.5.1. Une fosse isolée

En tranchée 58, la fosse F864 paraît bien seule au nord-est de l'emprise (**fig. 87**); elle a livré un unique tesson protohistorique. De forme circulaire, cette fosse mesure 94 cm de diamètre. En surface, elle est comblée avec un limon argileux brun-gris foncé hétérogène, meuble. Très charbonneuse, elle contient aussi des poches charbonneuses, des graviers et des cailloux de granite.

### 2.5.2. Des fossés protohistoriques ?

En plein cœur d'une occupation gallo-romaine, trois tronçons de fossés correspondant vraisemblablement à du parcellaire ont livré chacun un tesson attribuable à la Protohistoire au sens large (**fig. 88**). Sur la base d'aussi peu d'éléments, nous resterons prudents sur leur attribution chronologique, d'autant qu'il n'est pas exclu que l'on ait affaire à des tessons appartenant à la transition La Tène finale/début de la période gallo-romaine (Ménez, 2014). Par ailleurs, leur orientation est tout à faire similaire à celle du parcellaire gallo-romain reconnu alentour.

En tranchée 66, F936 est un tronçon de fossé modeste orienté nord-sud qui se prolonge vers le nord avec les tronçons F937, 940, 942 et 953. Ce tronçon a fait l'objet d'une coupe ; le fossé présente un profil en U aux parois évasées et à fond plat (**fig. 89**). Il mesure 70 cm de largeur pour 28 cm de profondeur. Son comblement est limono-argileux brun moyen, peu hétérogène et meuble, assez riches en charbons de bois. Dans le tronçon F937 (qui est équivalent à F936), un fond plat a été découvert ; E. Coffineau l'attribue avec prudence à la période gallo-romaine. Il est donc possible que, les tessons protohistoriques aient été piégés ou qu'ils signent une occupation précoce du site gallo-romain.

En TR69, F975 est un tronçon de fossé orienté est-ouest équivalent à F974, 971, 948. F. 974 forme un angle droit et se poursuit vers le nord vers les tronçons F986 et 998. Il mesure 0,8 m de largeur et son comblement correspond à un limon argileux brun moyen, homogène et meuble. Le tronçon F971 qui lui est équivalent a fait l'objet d'une coupe et présente un profil en V légèrement asymétrique assez évasé (**fig. 90**).

Un peu au nord-est des précédents, F977 (Tr 70) est un tronçon de fossé orienté nord-sud. Sa largeur est similaire à ceux précédemment décrit : 77 cm à l'ouverture, tout comme son remplissage.

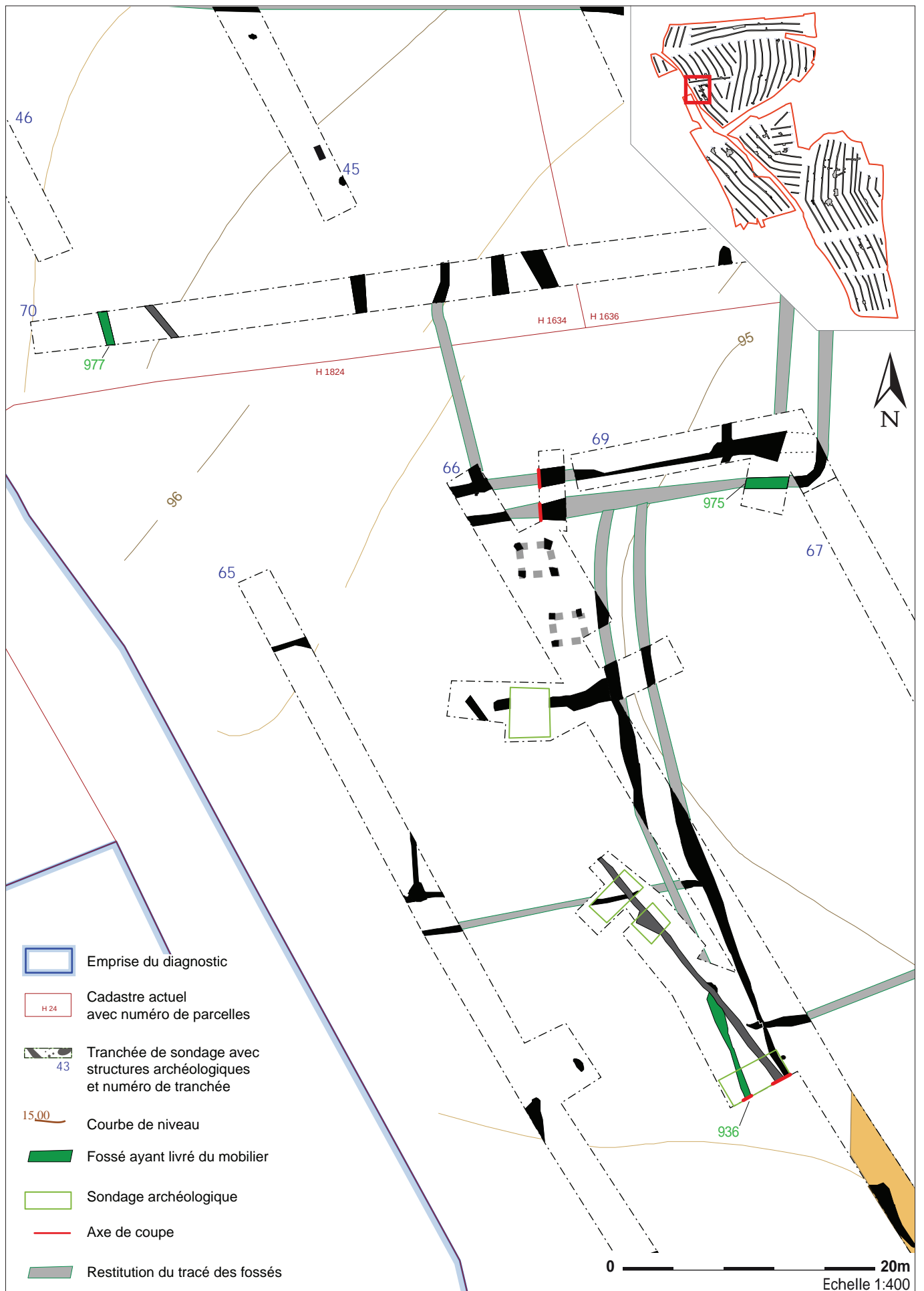
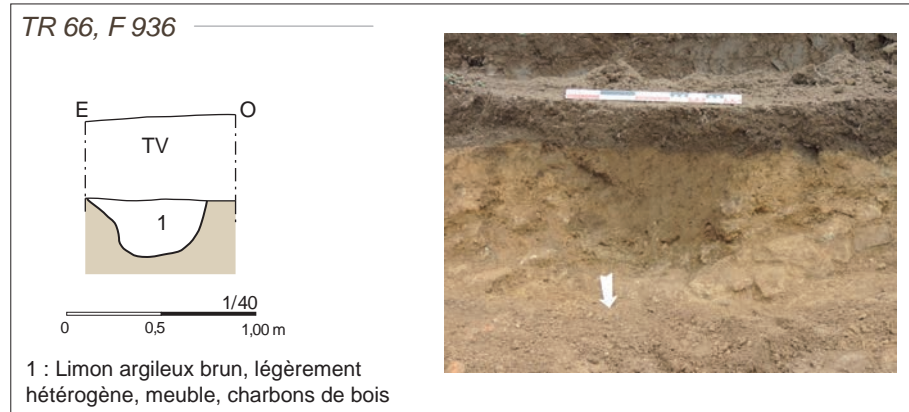


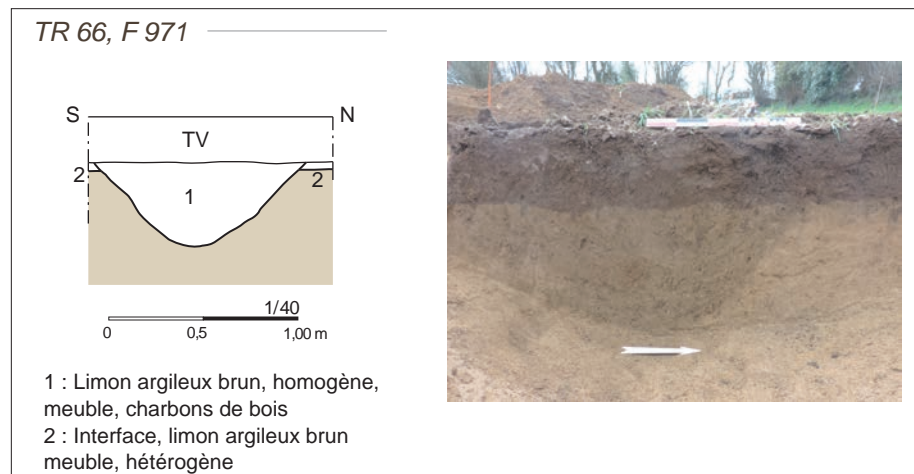
Fig. 88. Zoom sur les trois tronçons de fossés (F936, 975 et 977) ayant livré des tessons protohistoriques au cœur du site gallo-romain.



**Fig. 89.** Coupe du fossé F936 en tranchée 66 et vue de la coupe depuis le nord.



**Fig. 90.** Coupe du fossé F971 (équivalent à F975) et vue de la coupe depuis l'est;



### 2.5.3. Un foyer/four

En tranchée 40 et 41, deux faits rapprochés l'un de l'autre ont livré de rares éléments céramiques attribuables à la Protohistoire. Ils se situent en limite d'emprise : le four F716 est coincé à l'ouest par la N265, tandis que la grande fosse F685 est bordée au nord par une zone humide protégée (**fig. 91**).

F716 en TR 41 apparaît après nettoyage de surface comme une structure en pierres sèches (dont la forme s'apparente à celle d'un coffre) implantée dans une grande fosse patatoïde, bilobée à son extrémité nord-ouest (**fig. 92**). Elle mesure 2,83 m de longueur, 1,95 m de largeur et 45 cm de profondeur. Elle a fait l'objet d'une fouille complète ce qui a permis d'appréhender son architecture et son fonctionnement. Très tôt lors de la fouille, nous nous sommes aperçus que nous avons affaire à deux fosses se recoupant (**fig. 93**). Plusieurs prélèvements de charbons ont été réalisés en différents endroits (cf. sur plan, division de la structure en quatre zones) et dans plusieurs couches de comblement (**fig. 94**).

Dans un premier temps, une grande fosse (qui correspond aux zones 3 & 4), orientée est-ouest, a été creusée jusqu'à atteindre le granite en place. Ce dernier semble lui-même avoir été exploité au regard de l'aspect irrégulier du fond de la fosse (**fig. 94**, cf. coupe KL). Les coupes longitudinales montrent aussi un creusement nettement plus profond au centre de la partie orientale (zone 3) tandis que la partie occidentale (zone 4) forme une petite cuvette. Les coupes E-F et C-D indiquent nettement l'antériorité de ce creusement sur la mise en place du four en pierres sèches. La stratigraphie varie selon les endroits où ont été effectuées les coupes. En partie occidentale, la coupe C-D montre une succession de deux couches seulement : le premier correspond à un limon brun assez compact, peu charbonneux ; le second est un limon brun foncé, meuble et charbonneux. Cette dernière couche évoque assez bien une vidange de foyer. En partie centrale, la coupe E-F montre une succession de quatre couches.

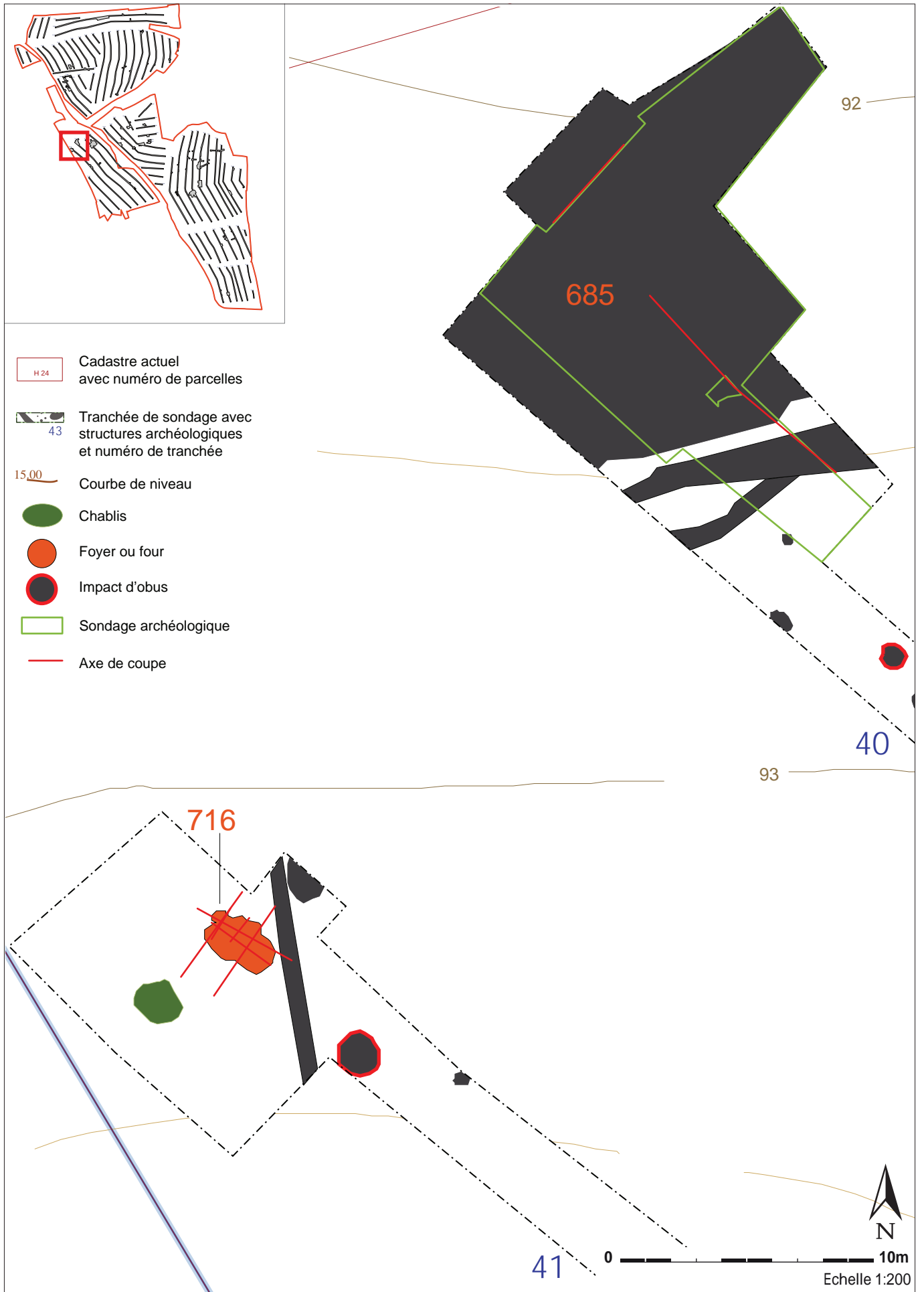


Fig. 91. Zoom autour des faits F716 en Tr 41 et F685 en Tr 40.

A noter que la fosse se resserre dans la partie basse en formant une sorte de U. La première couche est un mélange de limon et de très nombreux charbons qui repose directement sur le granite intensément rubéfié, preuve d'un feu violent. Sur la couche charbonneuse, on trouve un niveau de limon là-aussi complètement rubéfié, ce qui indique une nouvelle utilisation de la structure sans curage. De la même manière que précédemment, la couche qui surmonte ce niveau rubéfié est un limon très charbonneux dans lequel nous avons découvert un fragment de tuile. Enfin, le tout est surmonté d'une couche limoneuse brun clair avec quelques blocs de granite et quelques charbons de bois.



**Fig. 92.** Montage photos du four F716 après nettoyage de surface.  
1. Vue verticale ; 2. Vue générale depuis le sud-est ; 3. Vue générale depuis le sud-ouest.



**Fig. 93.** Vue verticale après démarrage de la fouille. Cette photo prise sous la pluie permet de mieux voir les différences de remplissage selon les zones;



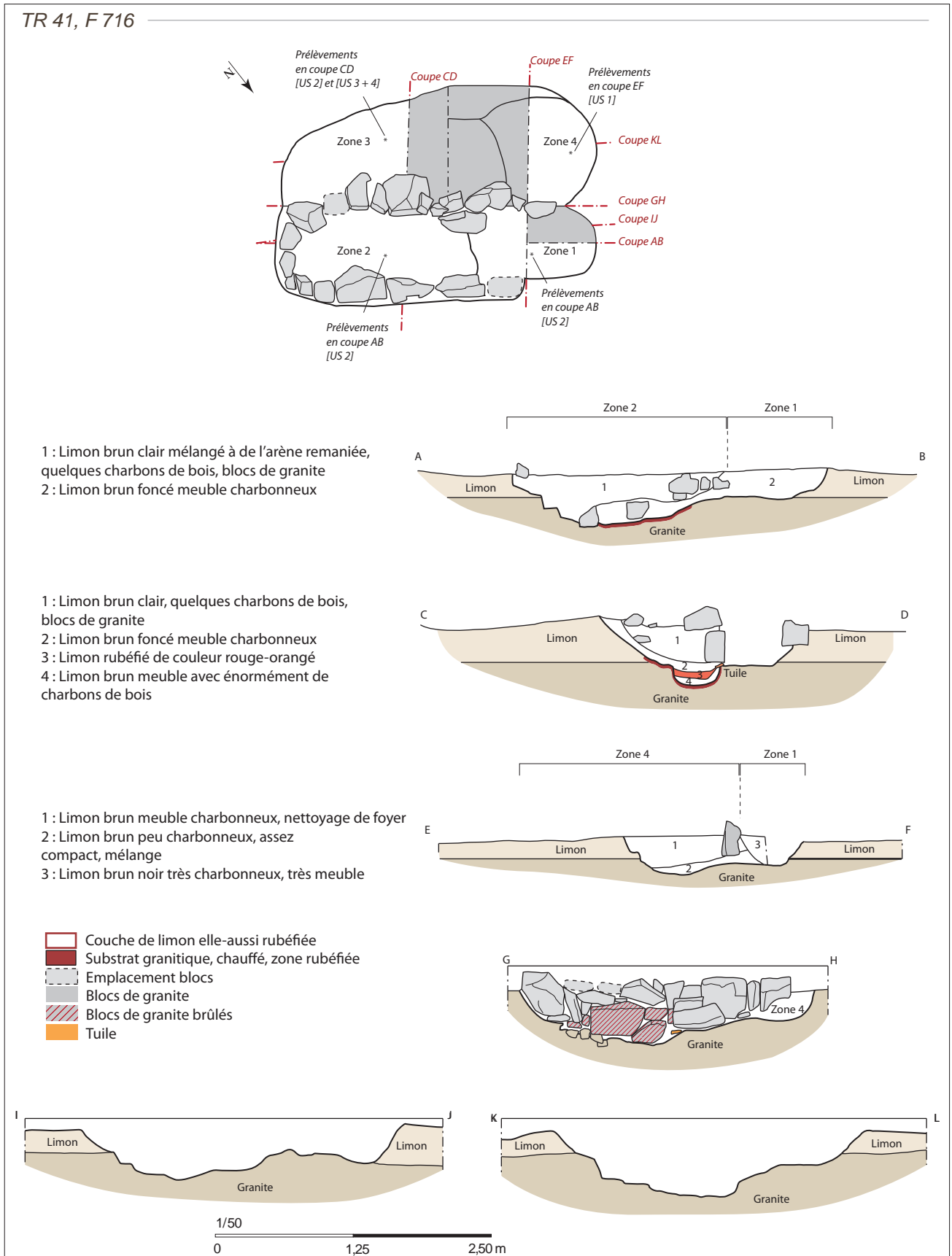
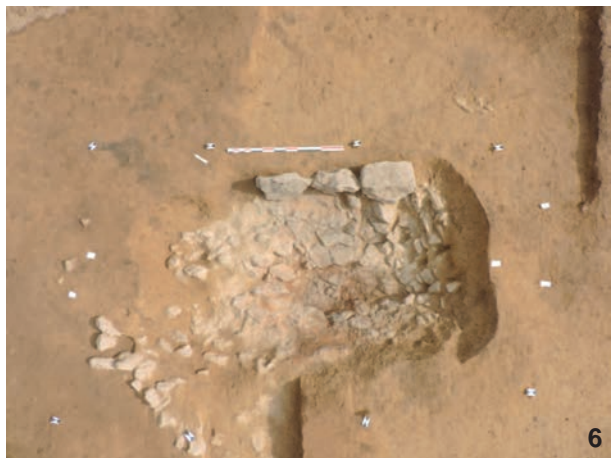


Fig. 94. Plan et coupes du four F716 en Tr 41.





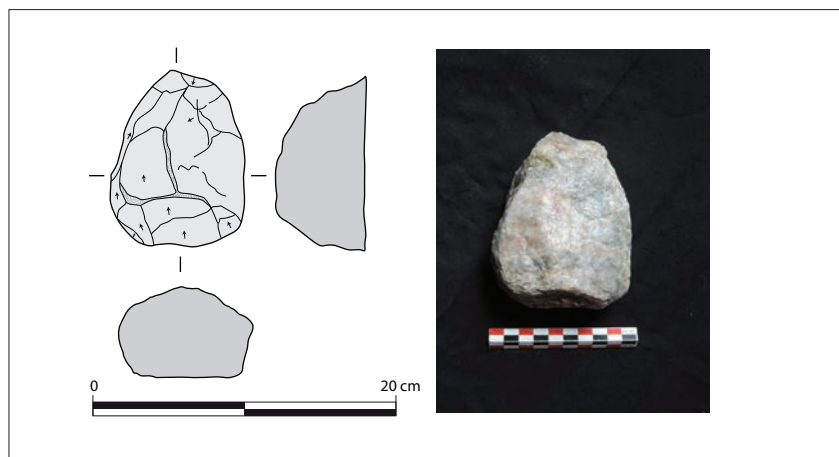
**Fig. 95.** Montage photos de F716 pendant la fouille. 1. Coupe longitudinale en cours (DSCN3409) ; 2. Vue générale depuis l'est après réalisation de la coupe longitudinale ; 3. Vue verticale après fouille. Seule les murets et les bernes sont encore en place ; 4. Vue générale d'un des parements internes depuis l'est ; 5. Vue générale du four depuis le nord, noter le rétrécissement en partie nord (zone 1) ; 6. Vue verticale après démontage en fin de fouille. Voir les traces de rubéfaction du granite.

Dans un deuxième temps, une seconde fosse a été creusée (constituée des zones 1 et 2). Légèrement désaxée par rapport à la première fosse, elle a davantage une orientation ENE-SSO et vient couper la précédente. Sa coupe longitudinale est comparable à la première, petite cuvette peu profonde en forme de marche (zone 1) et fosse plus profonde creusée au dépend du granite (zone 2). La principale différence consiste en la présence de murets en pierres sèches à parement interne (**fig. 94**, cf coupe C-D et G-H) qui bordent la fosse sur trois côtés. Il s'agit d'une construction mixte qui alterne moellons et pierres plantées de chant. Deux couches ont été vues au remplissage : au-dessus du fond rubéfié, se trouve un limon brun foncé meuble charbonneux. Il est surmonté d'un limon brun clair mélangé à de l'arène remaniée auxquels sont associés quelques charbons de bois et des blocs de granite (**fig. 95**).

Le mobilier recueilli à la fouille est des plus rares : un fragment de panse de céramique que T. Nicolas attribue à la Protohistoire et un fragment de tuile dans le comblement de la première fosse. Ce dernier élément étant en place dans la stratigraphie, il paraît probable que cette structure ait fonctionné durant la période gallo-romaine. On peut ajouter un petit bloc de quartz de forme trapézoïdale sur lequel on observe plusieurs négatifs d'enlèvements correspondant vraisemblablement à de la mise en forme (**fig. 96**). Quelques arêtes émoussées suggèrent par ailleurs une utilisation comme percuteur.

L'interprétation de ces deux fosses n'est pas des plus aisées. Même si à l'évidence elles ont servi de foyer/four, on ignore quel matériau a pu y être cuit.

**Fig. 96.** F716, Tr 40. Bloc de quartz taillé / percuteur ? (photos et DAO V. Brisotto).



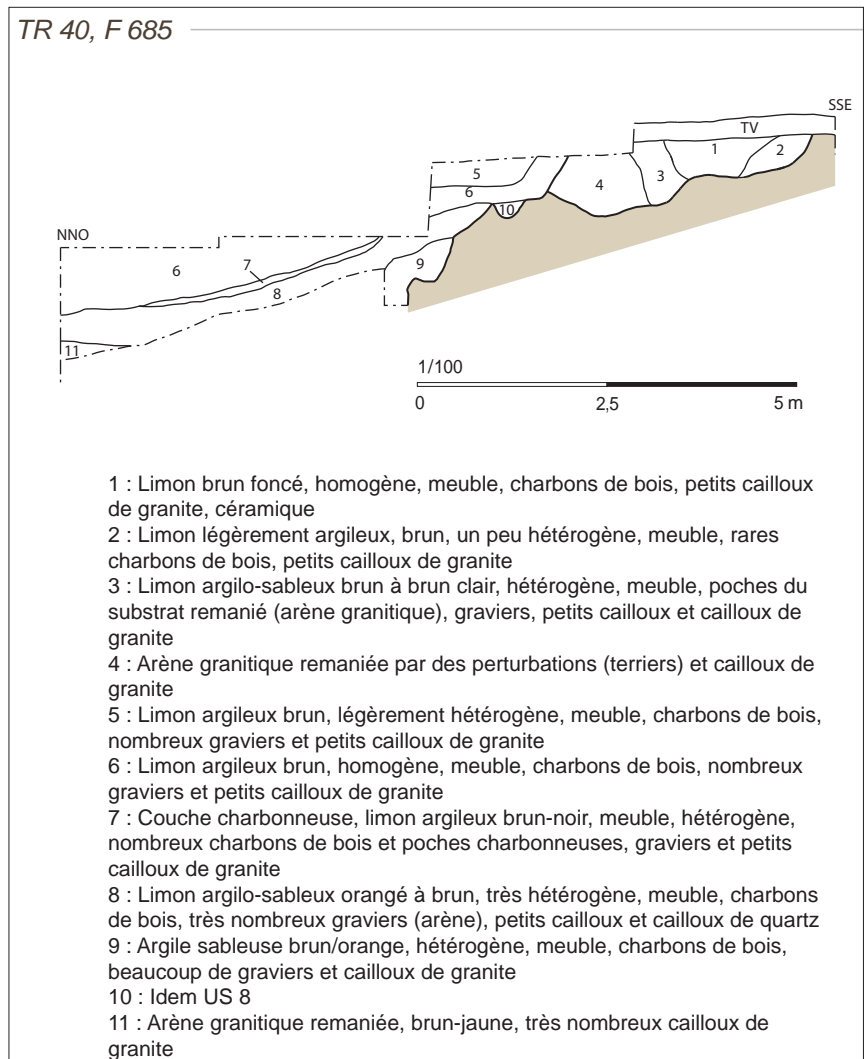
#### 2.5.4. Une fosse d'extraction, F685 en Tr 40

Au nord-est du foyer F716, une grande anomalie a été reconnue au décapage à l'extrémité nord de la tranchée 40. F685 est une très grande fosse creusée dans l'arène granitique, très probablement pour en extraire ce matériau. Etant donné les dimensions de la structure et sa proximité avec les limites de l'emprise, il n'a pas été possible d'effectuer une seule coupe complète. Par ailleurs, la profondeur du creusement aurait nécessité une véritable fouille avec mise en sécurité et de nombreux paliers, chose difficilement réalisable du fait notamment de l'instabilité des bords (**fig. 97**). D'ailleurs, le fond de la fosse n'a pas été atteint partout. Par conséquent, nous ne disposons pour illustrer ce creusement que de deux coupes partielles (**fig. 98 et 99**). La première est orientée NNO-SSE, la partie sud montre de nombreux creusements. Plutôt qu'une fosse unique, il est probable qu'il y ait plusieurs creusements successifs accolés aboutissant en plan à une sorte de grande structure polylobée. Si l'on fait abstraction de ces creusements mineurs sur le pourtour, la fosse principale présente un remplissage assez régulier fait d'une succession de couches limoneuses. Le fond est comblé avec de l'arène granitique mélangé à des cailloux et des blocs de granite. Par ses dimensions, cette fosse se rapproche de la fosse 60 (Tr 1) mise au jour sur le diagnostic de Kerintin-Kerdalaün en Guipavas / Saint-Divy (Pailler, 2014). Un seul tesson d'allure protohistorique a été découvert dans cette fosse mais ne suffit pas à dater le creusement ou le fonctionnement de cette grande fosse/carrière.

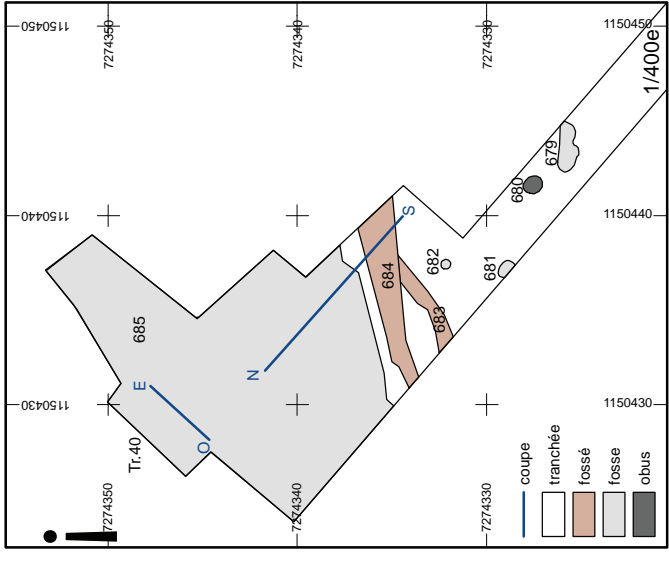
**Fig. 97.** Cette vue générale avec un collègue faisant office d'échelle permet de se faire une idée des dimensions de la fosse F685 en tranchée 40.



**Fig. 98.** Coupes NNO-SSE et SO-NE de la fosse d'extraction F685.









< **Fig. 99.** Géoréférencement des photos des coupes NNO-SSE et SO-NE de la fosse d'extraction F685 (DAO E. Le Goff)

En effet, s'il est tout à fait envisageable que dès la Protohistoire, il y ait eu des besoins en sable (torchis, sols en terre battue, dégraissants pour céramiques), on a du mal à imaginer que ces activités aient nécessité d'extraire de tels volumes de matériau. Il nous paraît plus plausible de faire le lien entre cette fosse d'extraction et la voie ancienne venant de Cornouailles qui passe à quelques dizaines de mètres à l'est selon un axe nord-sud (**fig. 17**). Rappelons ici que cet itinéraire provient de la partie sud du territoire osisme : il part de Quimper, en passant par le Faou et gagne le Passage à Plougastel. Côté léonard, cette voie prend pied au Passage (Le Relecq-Kerhuon) puis remonte vers le nord-ouest en direction de Keroumen (Le Relecq-Kerhuon), puis suit les lieux-dits suivants Lavallot (Guipavas), Cosquer / Bourg Neuf (Gouesnou), Kerargalet (Gouesnou), Kerdoyer (Gouesnou), puis passe entre Kerboyer et Kervalguen (Gouesnou) et atteint Kerviniou (Milizac). C'est à ce niveau que la voie antique Kerilien – pointe Saint-Mathieu reprend partiellement cet itinéraire, ce qui laisse à penser qu'elle aurait une origine pré-romaine (Eveillard, 1990). En revanche, nous ignorons quelle était la destination de cette voie.

Quoiqu'il en soit de l'origine de cette voie, sa construction comme son entretien ont dû nécessiter des besoins en matériaux. Durant la période gallo-romaine, le fait est établi qu'on extrayait le plus souvent à moindre coût les matériaux locaux disponibles sur place comme en attestent de nombreuses petites carrières ouvertes le long des itinéraires (Chevallier, 1997, p. 108).

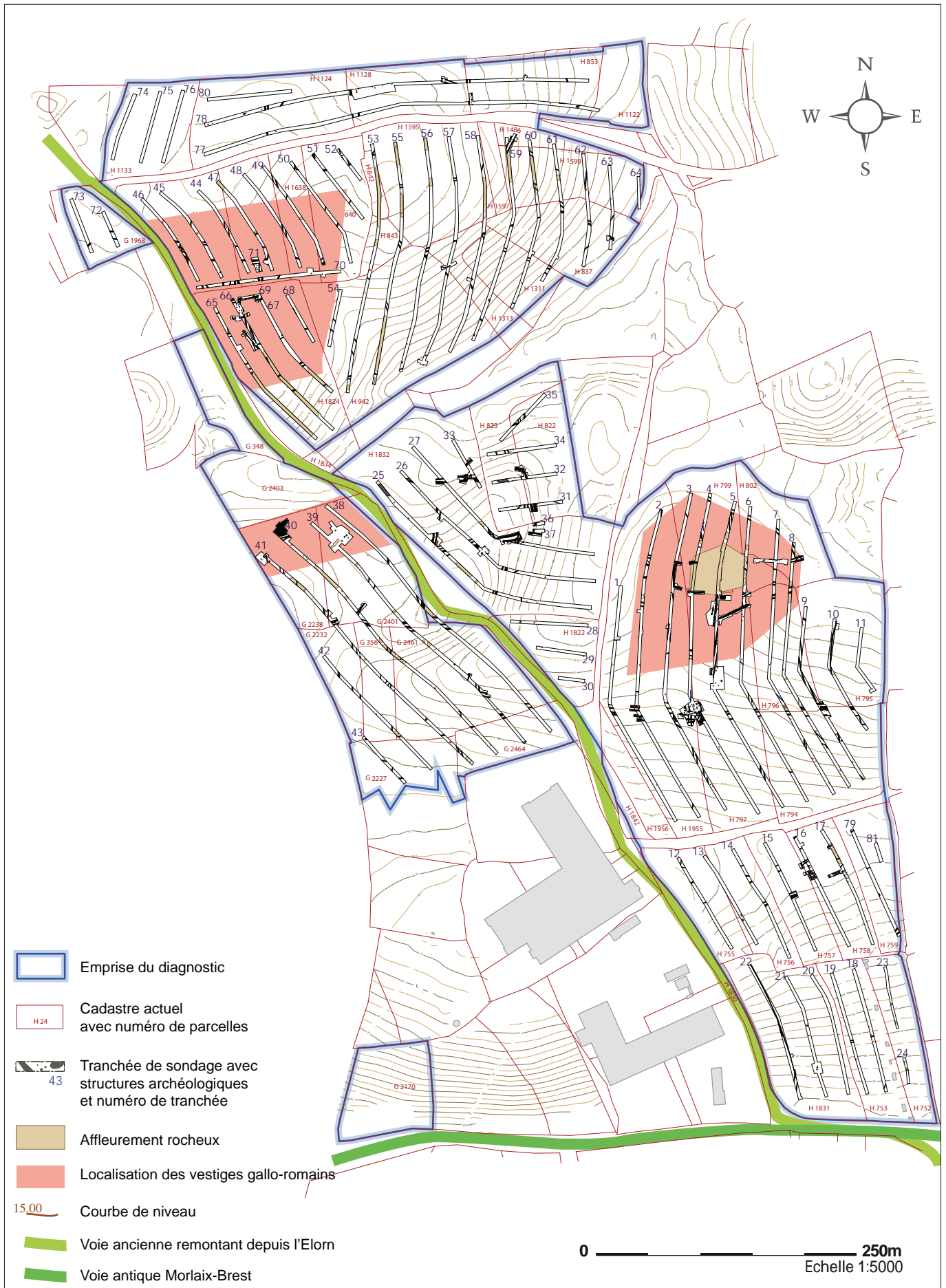


Fig. 100. Plan de répartition des sites et indices de sites gallo-romains dans l'emprise du diagnostic.

## 2.6. Le Haut-Empire

La période gallo-romaine est bien représentée dans l'emprise du diagnostic. La présence de voies supposées antiques la traversant ou la bordant n'y étant certainement pas étrangère (**fig.17 et 100**). Nous commencerons par décrire le petit ensemble funéraire situé à l'ouest de la voie venant de Cornouailles. Nous poursuivrons avec l'occupation domestique du Haut-Empire repérée plus au nord sur le bord est de la même voie antique (en direction de Morlen et du Fourneuf). Enfin, nous achèverons ce chapitre avec l'occupation qui s'étend de part et d'autre du pointement granitique représenté à la cote 95,2 sur le plan directeur de Brest.

### 2.6.1. Deux tombes à crémation secondaires antiques (M. Le Puil-TeXier)

A l'est, non loin de la fosse d'extraction (F685) et du four (F716) précédemment décrits, ont été mis au jour deux urnes funéraires situées à quelques mètres l'une de l'autre qui ont été prélevées dans le cadre du diagnostic et ont pu faire l'objet d'une étude anthropologique. Ces sépultures ont été implantées le long de la voie antique qui remonte vers le nord-ouest depuis le Passage au Relecq-Kerhuon (Eveillard, 1990) (**fig. 101**).

#### 2.6.1.1. Objectifs et méthode d'analyse des dépôts osseux

Les deux tombes découvertes lors de cette opération correspondent à des dépôts secondaires de crémation car les os des défunts ont été transférés du bûcher (dépôt primaire) vers une fosse sépulcrale, lieu définitif de mémoire.

Les méthodes de fouilles mises en œuvre visent à appréhender le rituel funéraire à travers l'aménagement des tombes, le mode de dépôt des ossements brûlés (en urne ou en pleine terre), la disposition du mobilier pouvant également accompagner le défunt (offrande, viatique, etc.).

Les fosses funéraires ont fait l'objet d'un dessin en plan et en coupe au dixième. Les axes de dessins matérialisés sur le terrain par des clous ont ensuite été relevés en topographie afin de pouvoir repositionner avec précision les tombes sur le plan général. Les artefacts présents dans les tombes ont été relevés en plan et en altitude à partir de l'axe des coupes.

Les urnes cinéraires sont prélevées pour être ensuite étudiées en laboratoire. Le protocole de fouille et d'analyse des vases ossuaires s'appuie sur les travaux d'H. Duda, G. Depierre et T. Janin (Duda *et al.*, 2000).

La seconde étape de l'étude des incinérations consiste à quantifier le « matériel osseux » à partir de la pesée des os en tenant compte du niveau de démontage. Cette opération permet d'étudier l'organisation interne du dépôt et indirectement le mode de collecte des os sur le bûcher. Nous distinguons quatre grands groupes anatomiques : le squelette céphalique, le tronc (rachis, côtes, sternum), les membres supérieurs, les membres inférieurs. Les fragments d'os longs non différenciés sont classés parmi les membres indéterminés. Enfin, les esquilles représentent « le degré extrême d'indétermination » (Duda *et al.*, 2000, p. 15).

Les objectifs de l'analyse des restes osseux consistent à estimer le nombre d'individus dans la sépulture, l'âge au décès, et éventuellement le genre<sup>8</sup>. Selon la méthode proposée par Duda *et al.*, 2000, les restes osseux font l'objet d'une analyse pondérale. Elle permet d'évaluer la représentation du squelette (part relative des différentes régions anatomiques) et d'établir des comparaisons avec des références théoriques obtenues dans des crématoriums actuels (McKinley, 1993). Cette analyse a pour objet la mise en évidence des gestes funéraires se rapportant aux modalités de prélèvements des os sur le bûcher.

8. La diagnose sexuelle est rarement possible sur les os incinérés en raison de la déformation induite par la combustion (Duda *et alii*, 2000, p. 8).

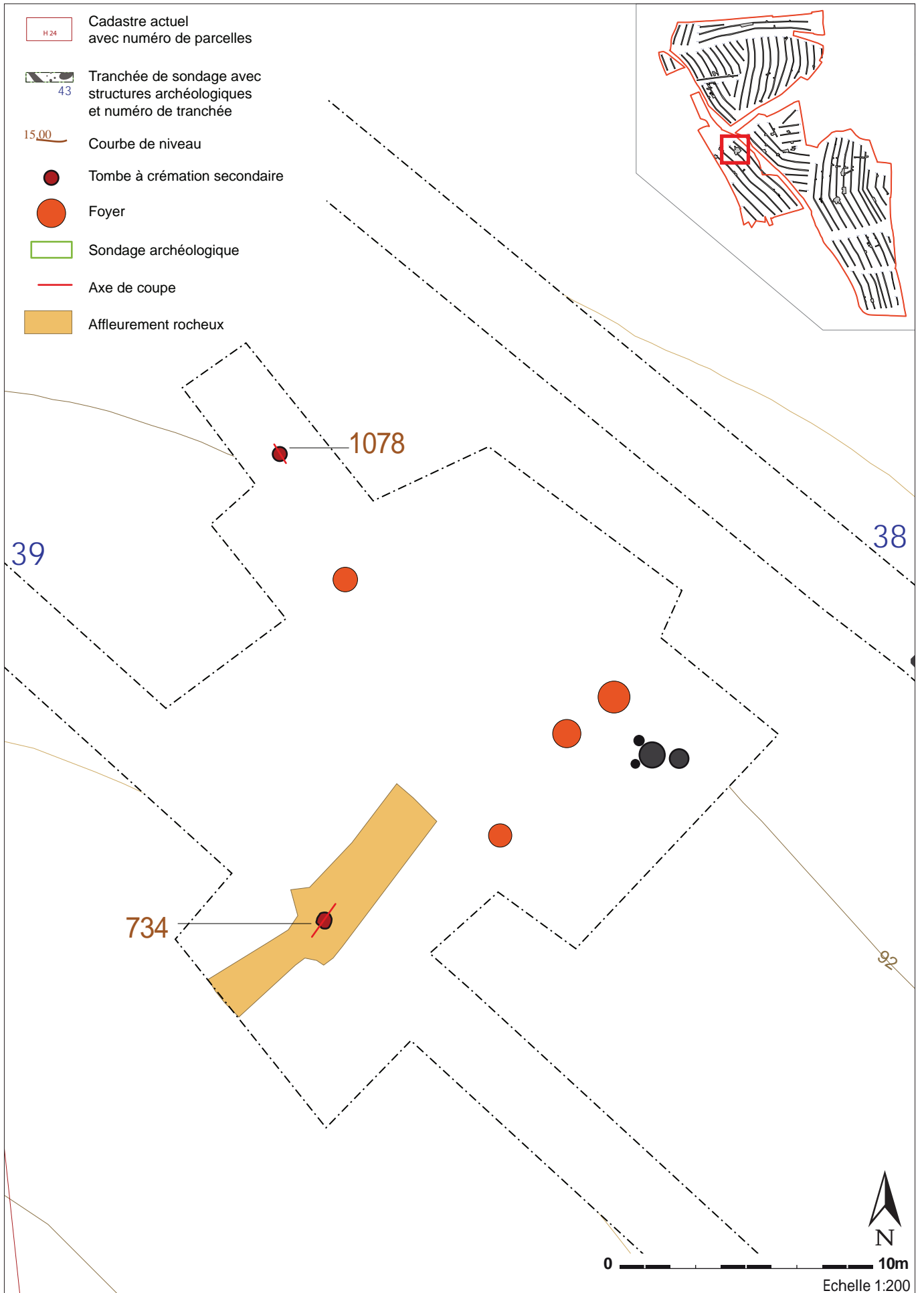


Fig. 101. Zoom sur les deux sépultures F734 et F1078 en tranchée 39.



### 2.6.1.2. La tombe F734 en tranchée 39

#### La fosse et le dépôt (fig. 102)

La fosse, de forme circulaire, présente de petites dimensions (diamètre 0,60 m, profondeur conservée 0,20 m). Le comblement, constitué de limon charbonneux, a livré quelques clous en fer fragmentaires. De petits blocs de granite étaient également inclus dans le comblement, dont un d'entre eux a pu contribuer au maintien de l'urne en position verticale. Cette dernière est positionnée au centre de la fosse (fig. 104). L'urne est une céramique à pâte sombre qui est ornée de bandes lissées verticales alternant avec des croix. Localement, ce genre de décor a déjà été observé sur des vases datant du Ier siècle découverts lors du diagnostic de la ZAC de Saint-Thudon à Guipavas (Simon, 2010) (fig. 103, CE28).

Fig. 102. Plan et coupe de la sépulture F734 en tranchée 39.

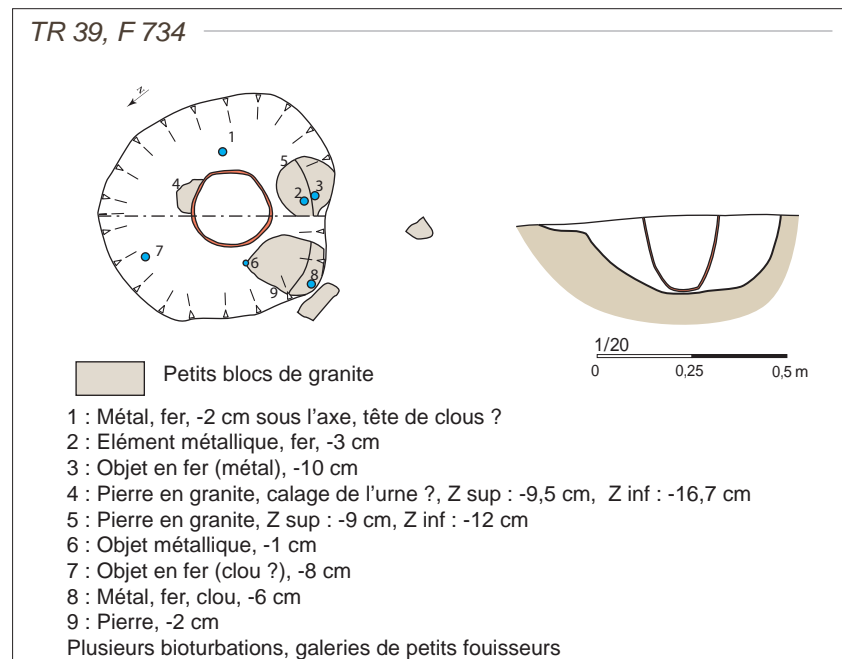
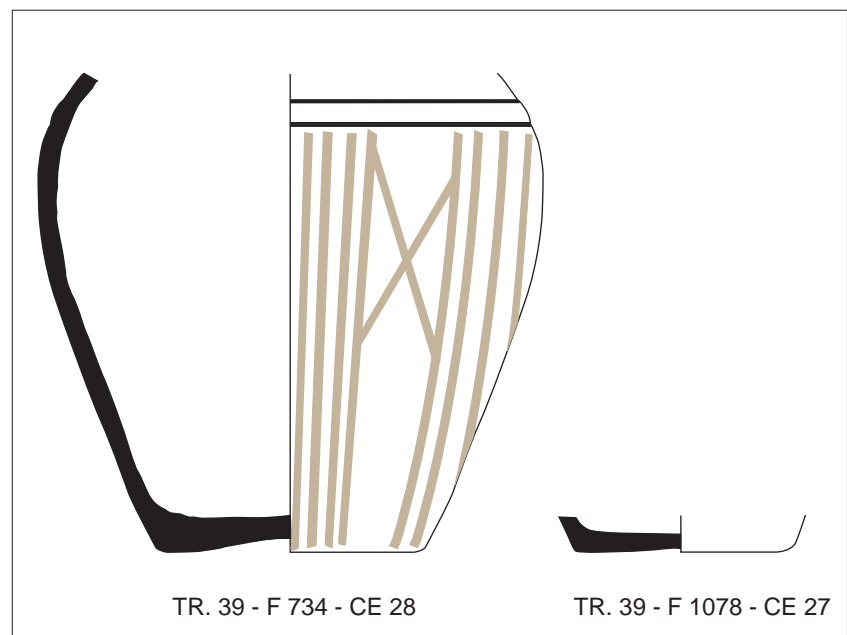


Fig. 103. Urnes funéraires gallo-romaine. F1078, CE27 et F734, CE28 (DAO E. Coffineau).





**Fig. 104.** Montage photos de la sépulture F734. 1. Vue générale depuis le nord ; 2. Vue rapprochée depuis le nord-ouest ; 3. Sépulture fouillée à 50%, vue depuis le SSE ; 4. Vue rapproché de l'urne depuis le SSE ; 5. Vue générale depuis l'est ; 6. Vue verticale après dégagement complet de l'urne ; 7. Vue de l'urne dégagée depuis le nord-ouest ; 8. Vue générale de la fosse en fin de fouille.

### Le contenu de l'urne

L'urne, en céramique, est écrêtée. Conservé sur 16 cm, le dépôt est constitué de limon charbonneux mêlé de restes osseux brûlés. Les ossements occupent tout le volume de l'urne, avec une plus grande concentration dans la moitié inférieure. Le comblement supérieur est plus hétérogène (limon brun et limon charbonneux) évoquant une infiltration de sédiment au cours du temps. Les vestiges osseux ne reposent pas directement contre les parois du contenant céramique. Quelques millimètres de sédiment situés entre les os et la céramique induisent la présence probable d'un contenant organique (tissus, cuir...) aujourd'hui disparu, dans lequel ont été déposés les restes du défunt avant d'être introduit dans l'urne.

### Données biologiques

Les ossements recueillis dans l'urne, d'un poids total de 338,84 g (**Tab. 3**), sont ceux d'un unique sujet. L'âge au décès a pu être estimé approximativement à partir des restes crâniens, des diaphyses des os longs, les extrémités osseuses étant assez rares. Il s'agit d'un individu adulte, de sexe indéterminé, faute d'éléments pertinents. Les os se composent d'une grande part d'esquilles de diaphyses d'os longs des membres. Le rachis est peu représenté ainsi que les os du bassin. Le crâne comprend de nombreux fragments de neurocrâne et on note la présence d'un os de la face (ethmoïde) démontrant une bonne conservation.

Le poids des os est loin d'être comparable aux références théoriques d'un squelette adulte qui peut atteindre 2000 g (Krogman 1978 ; Mc Kinley, 1993). Le fait que l'ossuaire soit incomplet explique en partie ce résultat. Cependant la variabilité de la masse osseuse dans les vases ossuaires est un fait notoire à l'époque antique (Blazot, 2009). Ces résultats sont en effet conformes à ce qui est observé dans les ensembles funéraires armoricains ou bas-normands et sont interprétés comme un mode de prélèvement aléatoire des ossements sur le bûcher.

**Tab. 3.** Analyse pondérale des os incinérés par région anatomique de la tombe F. 734.

Crâne	Tronc	Membres supérieurs	Membres inférieurs	Membres indéterminés	Indéterminés	Total
78,56	8,97	21,75	63,86	164,29	1,41	338,84 g

### Température de combustion

La couleur des os nous renseigne sur la température de la crémation : par exemple, le blanc signifie une intense exposition au flux thermique. Leur dureté constitue également un indicateur important (Duday *et al.*, 2000). La gamme chromatique des ossements est en effet tributaire de la température, du tirage du foyer, ou encore de la durée d'exposition (Grévin, 2004). Les ossements présentent une couleur dominante blanche et de plus rares fragments de couleur noire. Cette gamme chromatique traduit une chaleur qui n'a pas été constante et également répartie sur l'ensemble du squelette.



### 2.6.1.3. La tombe F1078 en tranchée 39

#### La fosse et le dépôt (fig. 105)

La fosse, comblée de limon charbonneux, est de forme circulaire (0,50 m de diamètre, 0,15 m de profondeur conservée). Conservée sur une dizaine de centimètres de profondeur, elle a livré une urne en céramique, en grande partie détruite dont il ne reste que le fond. Elle ne repose pas directement sur le fond de la fosse qui a été partiellement comblée avant le dépôt du vase cinéraire (fig. 106). La fosse a livré d'autre part des fragments de clous en fer.

#### Le contenu de l'urne

Le vase cinéraire, uniquement représenté, n'était conservé que dans sa partie inférieure (par un fond plat et un départ de panse), par conséquent, il n'a livré que les restes osseux très résiduels (fig. 103. CE27). Comblé de limon charbonneux, l'ensemble du sédiment de l'urne et de la fosse a été tamisé (maille de 1 mm et 5 microns). La quantité d'os est très faible (3,84 g) et les esquilles récoltées n'excèdent pas 15 mm de long. De couleur blanche à gris clair, elles se composent essentiellement de petits fragments de diaphyses d'os longs. L'indigence des éléments osseux ne permet pas de préciser le nombre d'individu, ni l'âge au décès.

Fig. 105. Plan et coupe de la sépulture F1078 en tranchée 39.

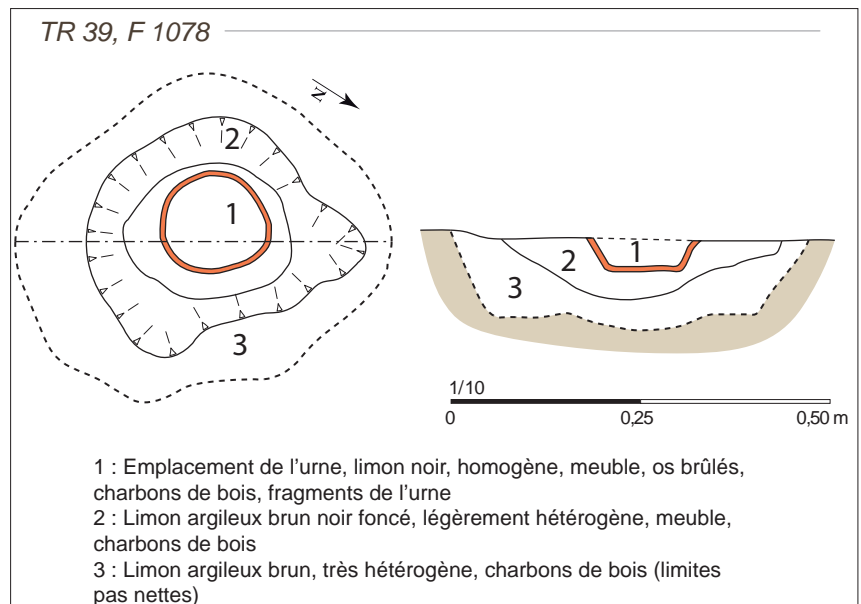


Fig.106. La sépulture F1078. 1 : Vue oblique depuis le nord-est après fouille à 50 % ; 2 : Vue verticale après nettoyage .



#### 2.6.1.4. Une modeste unité funéraire du Haut-Empire

Ces deux tombes documentent le rituel funéraire de la crémation, pratique dominante à l'époque du Haut-Empire. Cette découverte fait suite à celle de quelques urnes retrouvées lors d'un précédent diagnostic archéologique réalisé en marge d'un domaine rural gallo-romain à Kerintin/Kerdalaün en Saint-Divy (Pailler, 2014). L'examen des céramiques par E. Coffineau a confirmé leur attribution au premier siècle de notre ère.

Les deux sépultures se trouvaient éloignées l'une de l'autre de quelques mètres. L'érosion d'une des structures (F1078), laisse envisager la probable disparition de certaines tombes. Cependant cette faible densité de sépultures est à rapprocher des petites entités funéraires, dispersées dans le paysage agraire, connues pour cette période en Armorique (Galliou, 1989) et hors des frontières régionales.

De très inégale conservation, les dépôts osseux se rapportent aux vestiges lacunaires d'un unique sujet adulte (en l'absence de doublet) pour le fait 734, et d'au moins un sujet dont l'âge n'a pu être identifié dans le second cas (F1078) en raison de la forte dégradation de la tombe.

La présence de charbons de bois en abondance dans l'urne F734 montre que les os n'ont pas été totalement séparés des résidus de combustion lors de leur collecte sur le bûcher. On peut également suspecter le même procédé dans la tombe F1078, bien que très mal conservée. On notera la présence de charbons de bois dans la fosse et autour de ce qu'il reste du dépôt cinéraire.

Quelques clous en fer (quatre) de typologie variable (moyens et petits gabarits) retrouvés dans la fosse et dans l'urne 734 ont également été collectés avec les résidus de bûcher et transférés dans la tombe. Ces objets nécessiteraient une analyse, mais quelques études<sup>29</sup> ont montré qu'ils peuvent provenir de l'édification du bûcher ou d'un contenant permettant le transport du défunt, ou encore de possibles dépôts d'objets accompagnant le défunt d'offrandes (coffret...) sur le bûcher.

Ce type de tombes, constitué de fosses contenant l'ossuaire et les résidus de bûcher, dénommées « Branschüttungsgräber » par A. Van Doorselaer (2001), sont semblables à celles que l'on rencontre généralement en Bretagne, et de manière plus générale en Gaule dans des contextes ruraux. Si de nombreuses mentions existent pour le Finistère (Galliou, 1989), elles sont le fait d'un recensement provenant des découvertes des XIX<sup>e</sup>-XX<sup>e</sup> siècles et n'ont donc pas fait l'objet d'une étude anthropologique. Des comparaisons sont possibles avec des sites récemment fouillés, notamment en Haute-Bretagne, tels ceux de Chantepie (Blanchet, 2004), Montauban-de-Bretagne (Juhel, 2012), Chateaugiron (Catteddu, 2013).

---

9. Pour des exemples, se reporter à F. Blaizot (2009), à l'étude du mobilier métallique de l'ensemble funéraire d'Isneauville en Haute-Normandie (Adrian, 2011) ou encore à celle de Montauban-de-Bretagne (Juhel, 2012) en Ille-et-Vilaine.

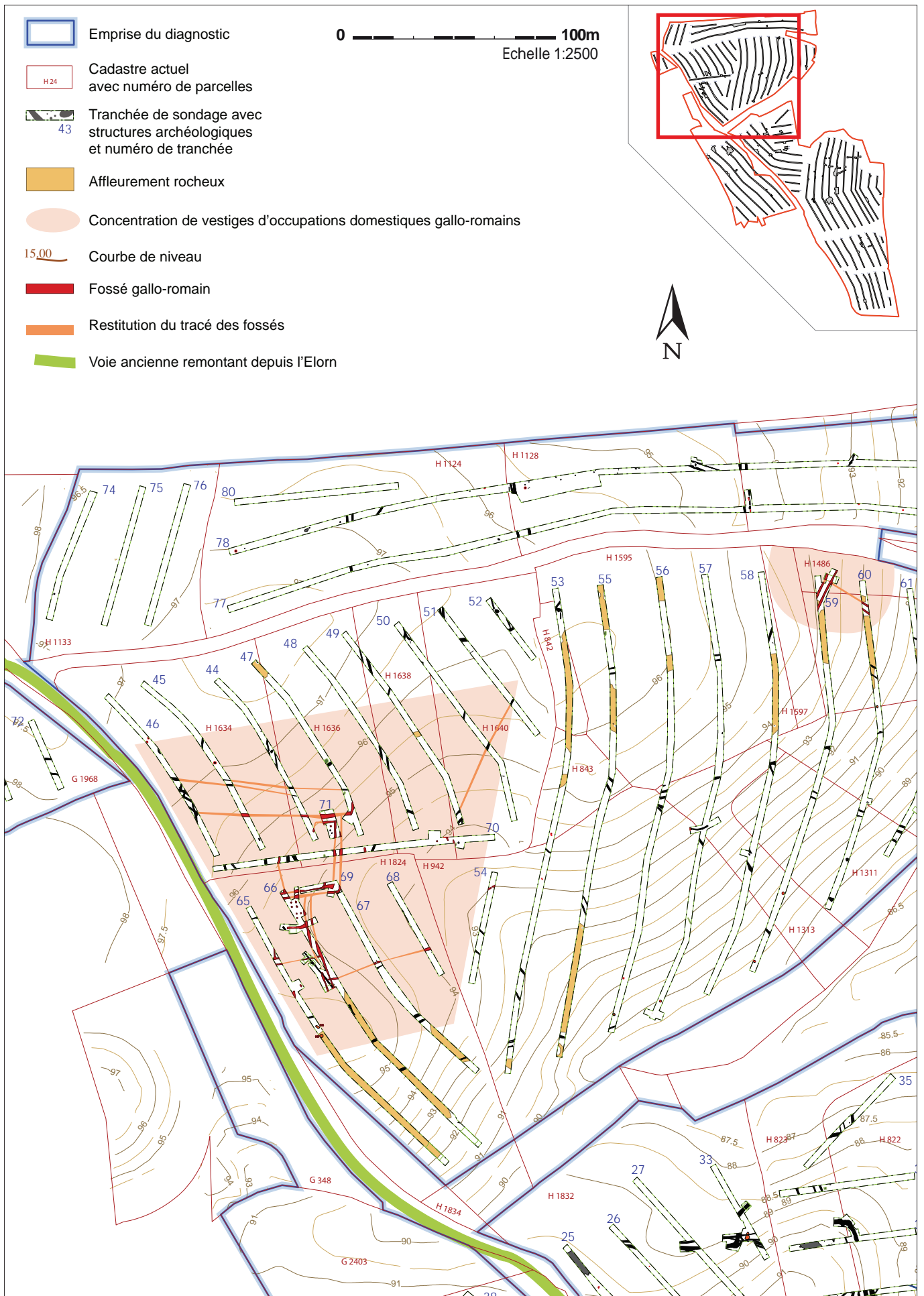


Fig. 107. Zoom sur l'occupation domestique gallo-romaine

## 2.6.2. Une occupation domestique associée à du parcellaire

L'occupation domestique repérée est installée sur la partie haute d'un plateau entre 95 et 97 m d'altitude. Les structures les plus nombreuses correspondent à des fossés de parcellaire orientés est-ouest et nord-sud qui s'organisent selon un plan orthonormé. Entre ces parcelles, quelques trous de poteau semblent dessiner au sol des plans de greniers tandis que d'autres pourraient correspondre à de l'habitat. Quelques foyers viennent compléter cette petite occupation rurale (fig. 107).

### 2.6.2.1. Des trous de poteau, des fosses et des foyers

Assez peu de trous de poteau ont été repérés sur cette occupation ; ils semblent assez concentrés en partie centrale du site, soit de part et d'autre du talus actuel (orienté est-ouest) formant limite entre les parcelles 1824 au sud et 1634, 1636 au nord.

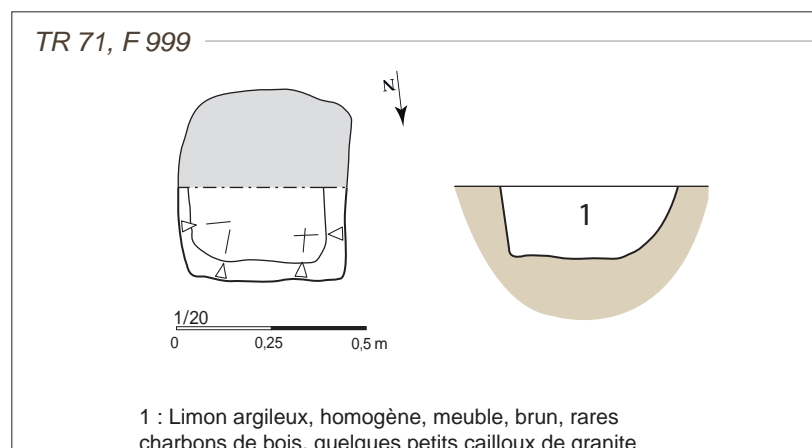
En partie nord de la tranchée 66, une série de poteaux dessine en plan deux petits bâtiments de plan carré, d'environ 2 m de côté (fig. 108). La structure la plus au nord est composée de quatre trous de poteau de dimensions proches : F946 (0,67 x 0,65 m), F947 (0,63 x 0,63 m), F954 (0,74 x 0,67 m) et F955 (0,84 x 0,63 m). Au sud, se dessine une structure similaire constituée de trois poteaux quadrangulaires F944 (0,63 x 0,52 m), F945 (0,59 x 0,56 m) et F952 (0,7 x 0,51 m), le quatrième poteau constituant l'angle sud-est devant se trouver sous la berme. Tous les trous de poteau présentent un remplissage similaire, soit un limon argileux brun moyen, assez homogène et meuble. Ces deux bâtiments correspondent très vraisemblablement à des greniers ; à l'exception de F947 où a été trouvé un fragment probablement antique, ils n'ont pas livré de mobilier au décapage, mais étant donné leur intégration dans le parcellaire gallo-romain (en suivant un même axe), il y a de fortes chances pour qu'ils datent de cette période.

Un peu au nord, d'autres trous de poteau ont été repérés dans la petite tranchée 71 et l'est de la tranchée 70. En tranchée 71 (fig. 109), le trou de poteau quadrangulaire aux angles arrondis F999 a fait l'objet d'un test manuel (fig. 108-bis). Il mesure 56 sur 55 cm pour 19 cm de profondeur. Ses bords sont verticaux et le fond est plat (fig. 108-ter). A environ 3 m au sud, se trouve un autre trou de poteau quadrangulaire.

Fig. 108-bis. Vue verticale de F999 à moitié fouillé et vue de la coupe depuis le nord.



Fig. 108-ter. Plan et coupe du trou de poteau F999 en tranchée 71.



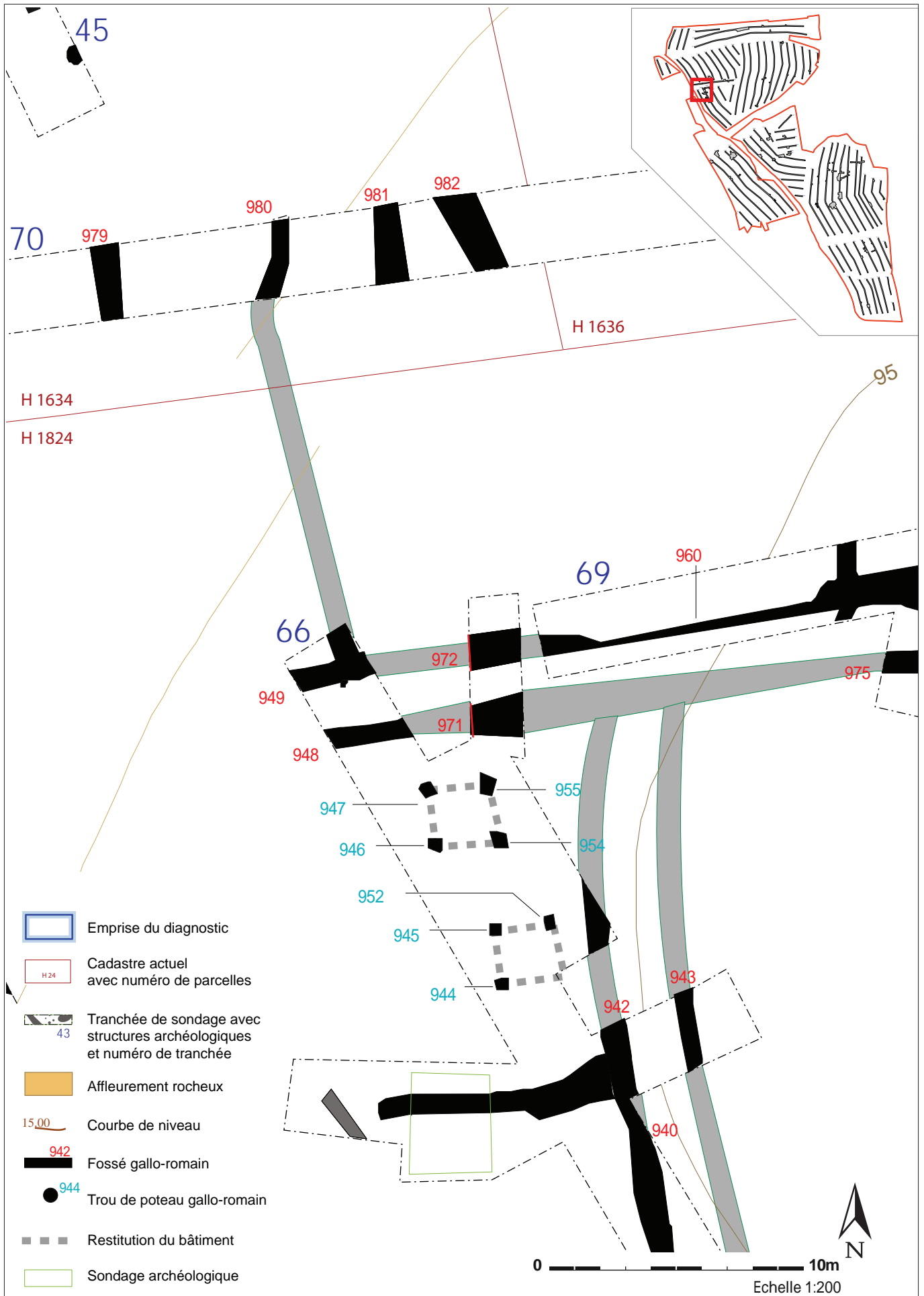


Fig. 108. Zoom sur les deux bâtiments de plan carré au nord de la tranchée 66 .



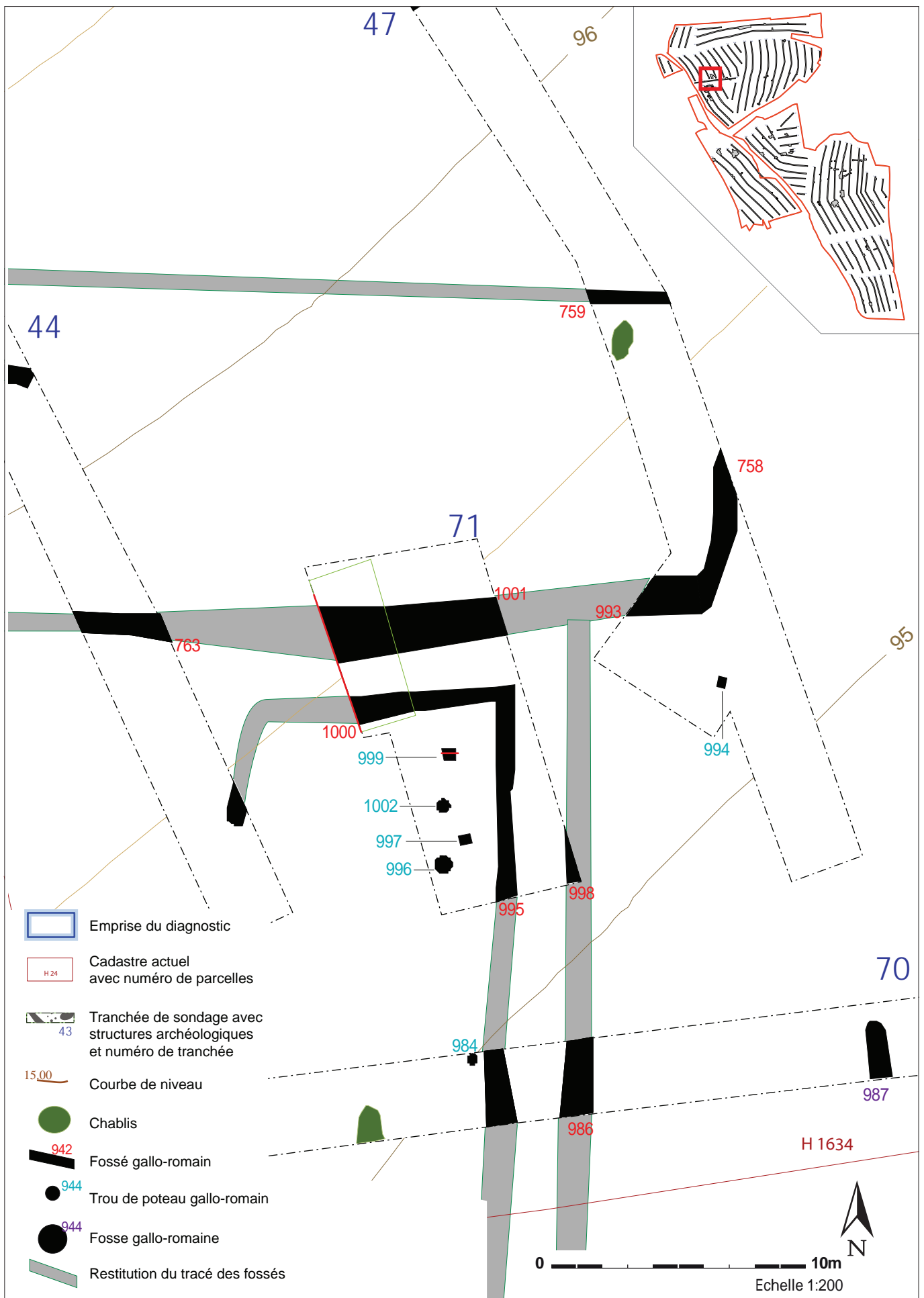


Fig. 109. Zoom sur la tranchée 71.

À l'est de la tranchée 70, ce sont deux trous de poteau avec leur calage qui ont été mis au jour (fig. 110). Le F989 est le seul à avoir fait l'objet d'un nettoyage de surface. Malgré la présence de pierres de calage (granite et quartz), la trace du creusement n'est pas visible dans le limon (fig. 111). Ce trou de poteau mesure environ 50 cm de diamètre.

Quelques fosses ont été également repérées au décapage mais aucune n'a fait l'objet d'un test manuel. Elles se répartissent assez uniformément sur le site. Certaines allongées (par exemple, F987, 990 et 991<sup>10</sup> en Tr 70), prises sous berme, pourraient correspondre à des interruptions de fossés comme c'est le cas avec F941 (Tr 66). La grande fosse F920 (Tr 65), partiellement prise elle-aussi sous la berme, a livré au décapage un bord rentrant d'une assiette ou d'une coupe à pâte siliceuse micacée brune à cœur noir qui est attribuable au 1er siècle (fig. 149, CE22). Le remplissage est identique à celui de presque toutes les structures gallo-romaines repérées sur le site, soit un limon argileux brun moyen, peu hétérogène et meuble. A noter également la présence d'une autre fosse allongée (F924), à moins de 3 m.

10. Elle a livré au décapage des fragments de céramique contemporaine.

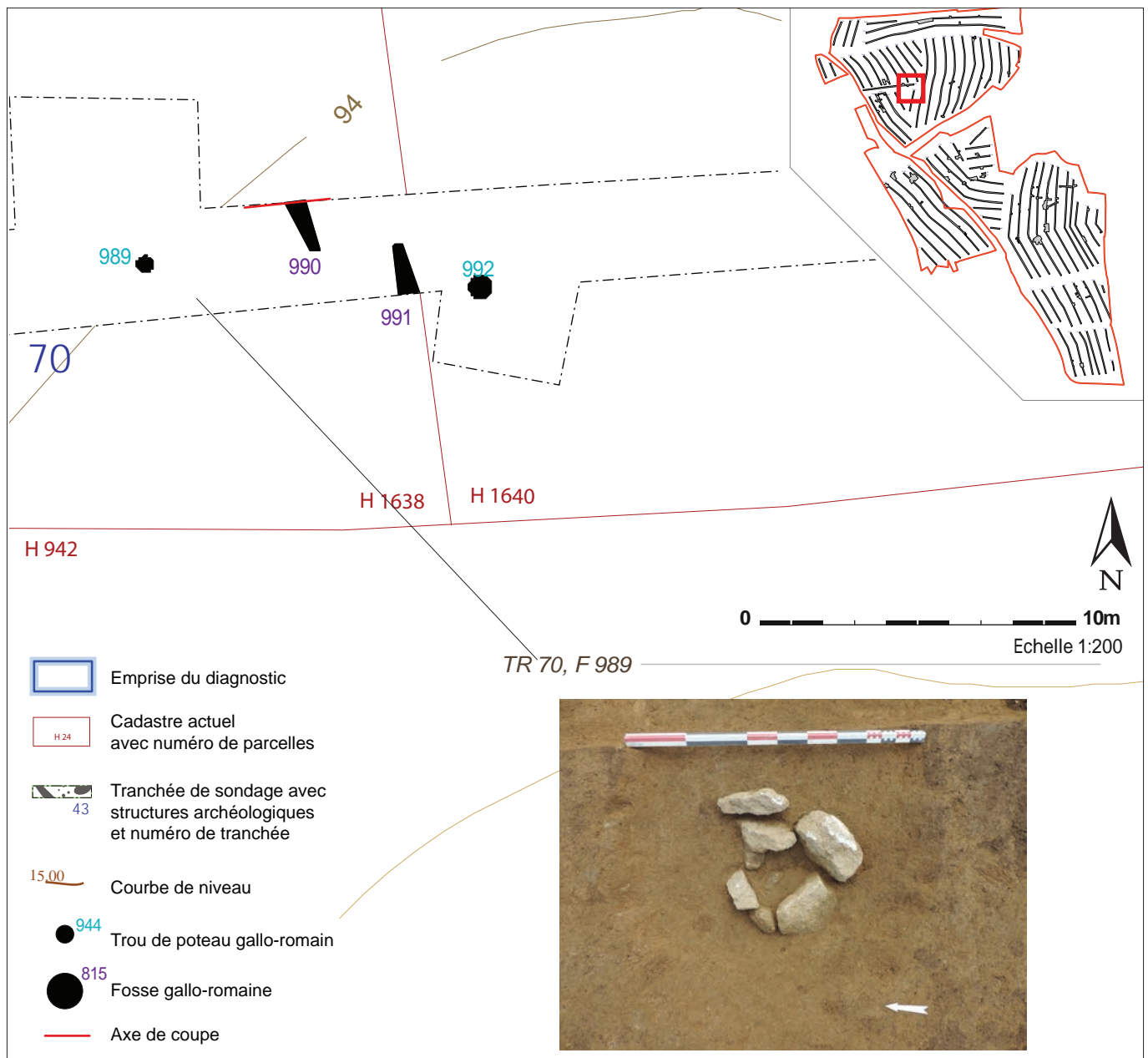


Fig. 110. Zoom sur les trous de poteau de la tranchée 70 et vue verticale du trou de poteau F989 en tranchée 70.

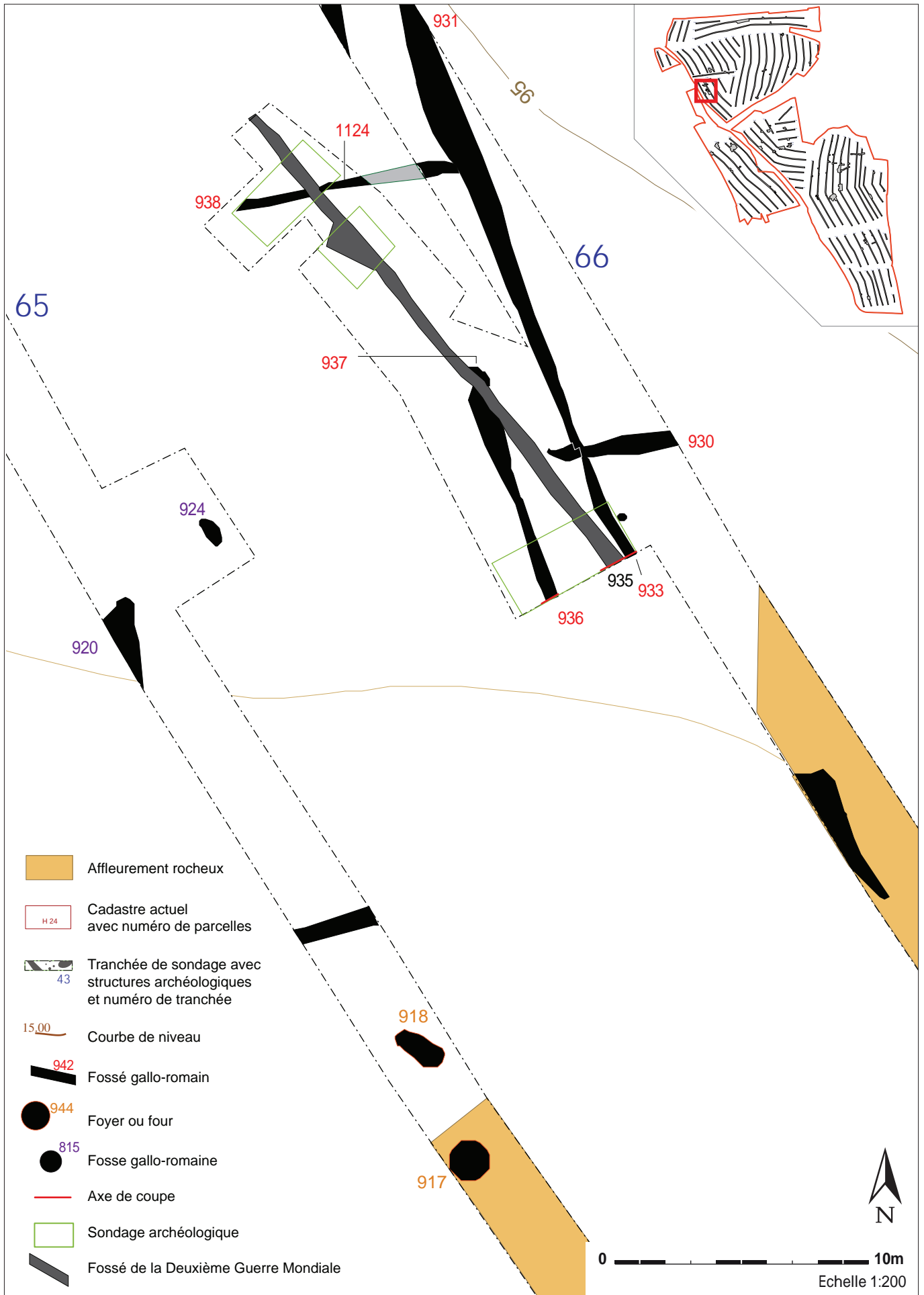


Fig. 111. Zoom sur la tranchée 65 en intégrant F920, 924, 917 et 918.

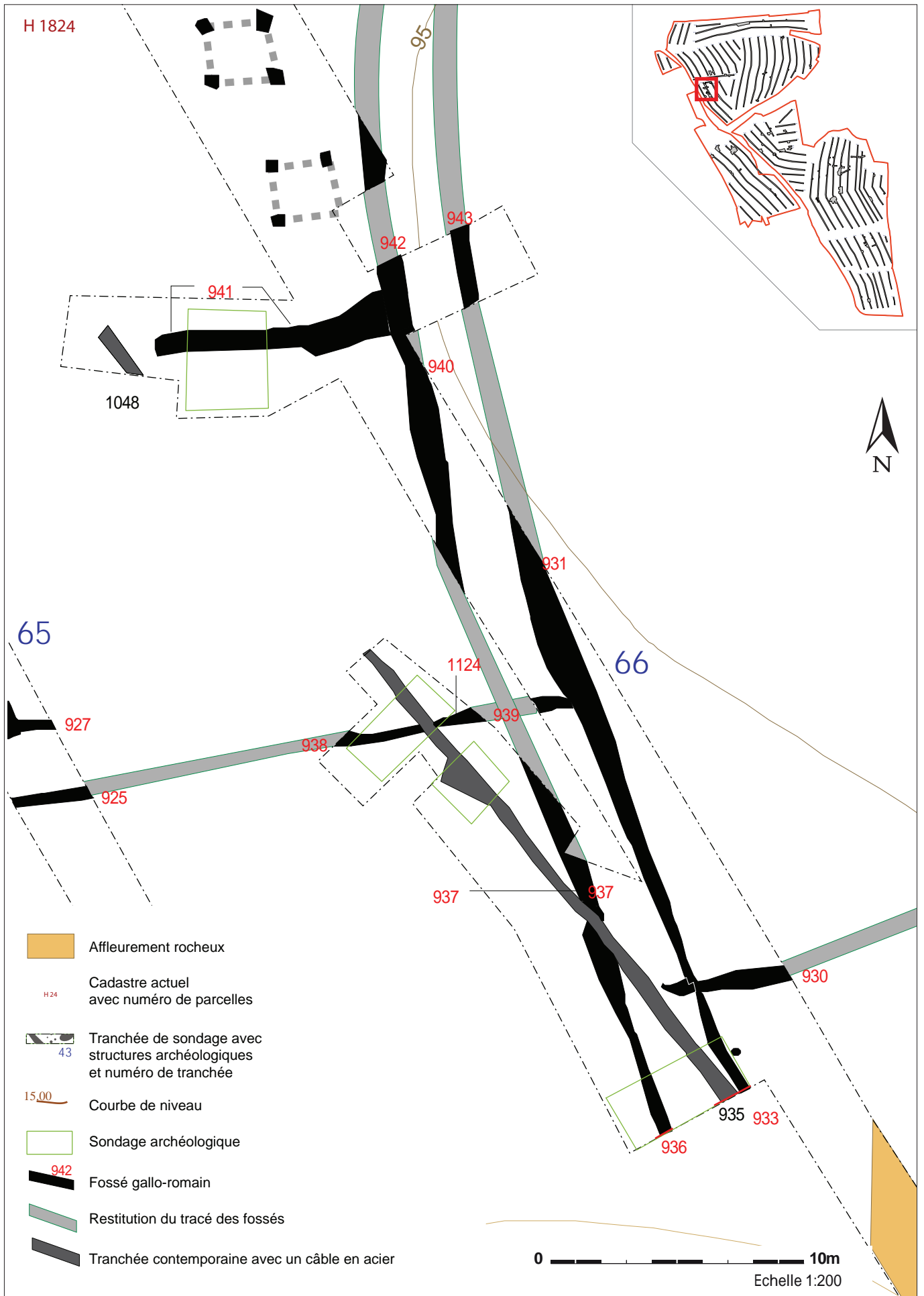


Fig. 112. Zoom sur les tronçons de fossé F936, 937, 940, 942 et 943 en Tr 66.



Au sud des fosses, F920 et 924 (Tr 65), deux foyers ont été mis en évidence. F917 est un grand foyer circulaire à pierres chauffées d'1,63 m de diamètre qui a donné un bord de pot modelé à pâte siliceuse brun-noir à lèvre allongée légèrement déversée (fig. 149, CE 17) et un autre bord à profil tronconique (fig. 149, CE 18). Ces formes sont présentes dès la période augustéenne. A noter également la présence d'un bord de pot qu'E. Coffineau attribue au haut Moyen Age. Un peu au nord, F918 est un grand foyer ou four allongé qui mesure 2,25 de longueur sur 1,03 m de largeur.

En tranchée 54, la fosse 815 est une fosse allongée prise sous berme à laquelle fait face une fosse similaire F816. Elles présentent toutes deux un remplissage identique composé d'un limon argileux brun moyen homogène, meuble. F815 a livré au décapage un bord de tegula. Il est possible que ces deux faits correspondent à une interruption de fossé.

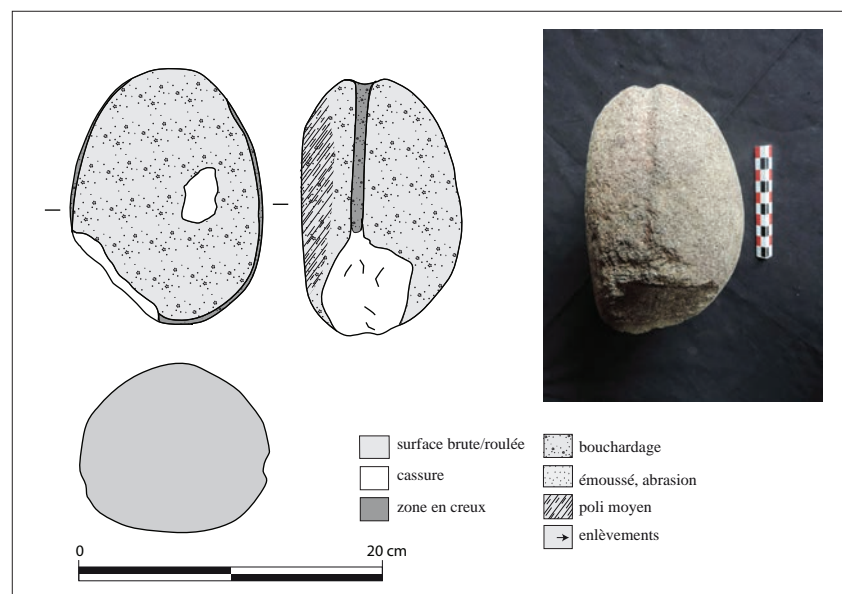
### 2.6.2.2. Des fossés de parcellaire

Nous l'avons dit plus haut, les fossés attribués à la période gallo-romaine sont implantés selon un axe orthonormé. Nombreux sont ceux à avoir livré du mobilier au décapage.

#### Un fossé nord-sud (F936, 937, 940, 942 et 943) en Tr 66 (fig. 112)

Nous avons déjà évoqué dans un chapitre précédent une partie de ces fossés car certains d'entre eux ont livré un tesson attribué à la Protohistoire au sens large. Pour autant, ces six tronçons correspondent à un fossé orienté nord-sud ayant des liens directs avec d'autres tronçons indubitablement gallo-romains comme F941 qui semble s'appuyer dessus (cf. *infra*). Rappelons aussi que le nettoyage de F937 a livré quelques éléments d'une céramique gallo-romaine. Même si cela ne permet pas d'affiner l'attribution chronologique du fossé, nous avons aussi recueilli dans le tronçon F940 un lest régularisé par bouchardage sur un galet ovoïde de granite à grains fins. Son poids est de 2,9 kg (fig. 113). Il présente une gorge périphérique façonnée par piquetage d'une largeur d'environ 1 cm pour une profondeur de 0,5 cm. Ce type d'objet n'est pas rare dans les sites côtiers à partir de l'âge du Fer. L'une des faces de l'objet semble avoir été aplanie par l'usure, et les plages polies qui s'y développent pourraient résulter d'un frottement. En partie fracturée, ce lest a pu servir en seconde utilisation comme molette de friction.

Fig. 113. Lest rainuré sur galet (photos et DAO V. Brisotto).



### Un fossé interrompu : F941 en Tr 66

F941 est un fossé interrompu globalement perpendiculaire à celui orienté nord-sud constitué par les tronçons F936, 937, 940, 942 et 943 (fig. 112). Une coupe faite en partie occidentale montre un profil en U peu profond à fond plat (fig. 114). Ce fossé mesure 1,22 m de largeur maximale pour 28 cm de profondeur. Il est comblé avec un limon argileux brun moyen, peu hétérogène et meuble. A la fouille, un petit dépôt coquillier d'environ 35 cm de diamètre a fait l'objet d'un prélèvement (fig. 114). Au contact de ces reliefs de repas se trouvait une coupe complète à pâte très micacée brune à cœur gris et aux surfaces grises (fig. 149, CE13) ainsi qu'un bord de coupe à pâte micacée orange dont la surface externe est polie. Ce sont des productions locales datant du Haut-Empire.

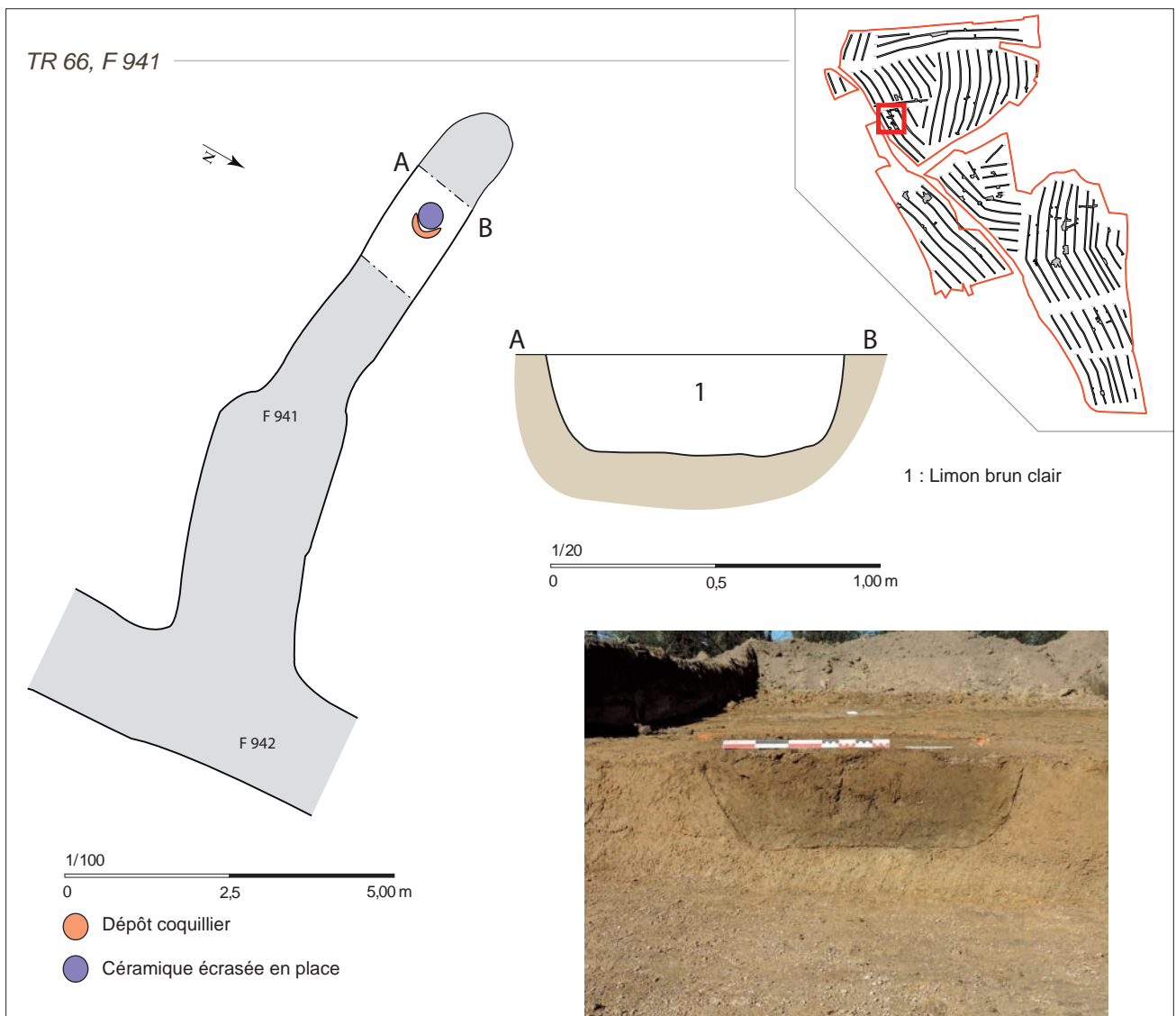


Fig. 114. Plan et coupe de F941 et vue de la coupe depuis l'est et plan schématique de F941 avec localisation du dépôt coquillier et de la céramique complète.

### Analyse malacofaunique du dépôt coquillier (L. Jouan)

L'étude de ce petit dépôt coquillier a mis à jour une certaine diversité malacofaunique, essentiellement composée de bivalves et de gastéropodes (fig. 115). Dans ce dépôt, ont été décomptés :

- 2 valves de pétoncle noir (*Mimachlamys varia*)<sup>11</sup> (fig. 116).
- 64 patelles (*Patella sp.*) : 32 de type T0, 33 de type T1, 1 de type T2 et quelques fragments (fig. 117 et 118).
- 13 valves de praires (*Venus verrucosa*) : 7 valves gauches et 6 valves droites. On peut ainsi estimer le nombre minimum d'individus (NMI) à 7 (fig. 119).
- 26 valves de coques (*Cerastoderma edula*) : 14 valves gauches et 12 valves droites. On peut donc conclure à un NMI estimé de 14 (fig. 120).
- 8 valves d'huîtres plates (*Ostrea edulis*), plus ou moins bien conservées (fig. 121).

Le petit dépôt coquillier présente un poids total de 505,783g. Voici la part de chacune des espèces présentes :

- Les pétoncles noirs représentent 1,5% (7,238 g) des mollusques trouvés dans ce dépôt ;
- Les patelles, environ 40% (200,602 g) ;
- Les praires, 22,5% (113,695 g),
- Les coques, 11% (57,365 g) ;
- et les huîtres plates, 25% (126,883 g.)

Les patelles, les huîtres plates ainsi que les praires sont donc les mollusques les mieux représentés dans ce dépôt coquillier.

L'ensemble des espèces présentes dans ce dépôt coquillier sont communes aux eaux Atlantique. On les retrouve fréquemment sur les côtes bretonnes. Ces mollusques, tous comestibles et très pêchés, sont accommodés à des milieux rocheux (patelles, huîtres plates) et/ou sablo-vaseux (pétoncles noirs, praires et coques). On peut donc les collecter sur un estran représentatif d'un estran vaseux. La rade de Brest en est un bon exemple.

Ce dépôt coquillier a été découvert à proximité d'un axe gallo-romain reliant Plougastel et le Relecq-Kerhuon à Lavallot et au-delà. Cet axe sud-nord permettait d'avoir un accès direct à la rade de Brest, ainsi qu'à ces ressources marines. Il paraît donc logique de retrouver un tel assemblage malacofaunique, plus à l'intérieur des terres.

11. Tous les noms scientifiques des espèces citées ont été vérifiés à l'aide de WoRMS (World Register of Marine Species), [www.marinespecies.org](http://www.marinespecies.org).



Fig. 115. Aperçu des différents mollusques rencontrés lors du tri du dépôt coquillier. De gauche à droite : 1. *Mimachlamys varia* (« Pétoncle noir ») ; 2. *Patella sp.* (« Patelle ») ; 3. *Venus verrucosa* (« Praire ») ; 4. *Cerastoderma edula* (« Coque ») ; 5. *Ostrea edulis* (« Huître plate »).

**Fig. 116.** Valves de Pétoncles noirs (*Mimachlamys varia*).



**Fig. 117.** Aperçu des patelles (*Patella* sp.) présentes dans le dépôt coquillier.



**Fig. 118.** Les différents états de conservation des patelles.





**Fig. 119.** Ensemble des valves de praires (*Venus verrucosa*) présentes dans le dépôt coquillier.



**Fig. 120.** Ensemble des valves et de quelques fragments de coques (*Cerastoderma edula*) présents dans le dépôt coquillier.



**Fig. 121.** Ensemble des valves d'huîtres plates (*Ostrea edulis*) présentes dans le dépôt coquillier.



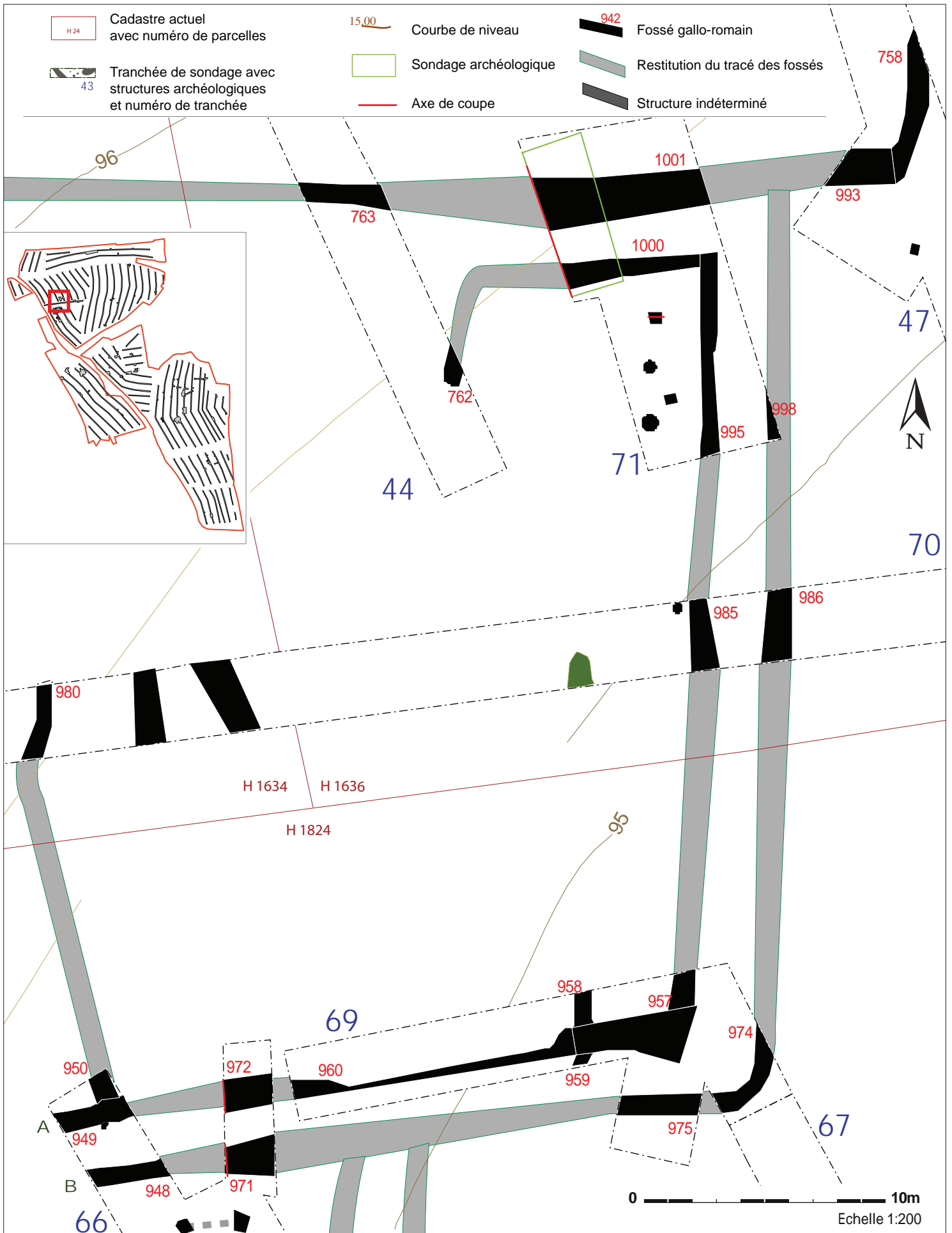


Fig. 122. Zoom autour des fossés emboîtés (A : fossé composé de F949, 972, 960 et 957 et B : celui constitué de F948, F971, F975, F974, F986 et F998).

### Les tronçons de fossé F949, 972 (Tr 66) et F960 et 957 (Tr 69) (fig. 122, A)

Le fossé composé des tronçons F949, 972, 960 et 957 est orienté est-ouest, il est donc parallèle au fossé interrompu F941. Il est coupé par le trou de poteau F951. On constate que la largeur du fossé est loin d'être régulière sur l'ensemble de son tracé. F949 se prolonge à l'est avec les tronçons F972, F960 et 957. Ce dernier forme un angle et repart en direction du nord vers F985 puis F995. Lors du décapage de F949, une céramique complète a été prélevée en partie supérieure de son comblement ; il s'agit d'une assiette à bord rentrant (**fig. 103**, CE 27 ; **fig. 123.**) à pâte brune dont la surface externe présente des traces de chauffe. Elle est attribuable au Ier siècle. Quant au fossé 957 (Tr 69), les céramiques récupérées en surface correspondent à un bord d'écuelle à lèvre arrondie et des fragments de panses à pâte micacée orange à la surface grise décorée de bandes lissées. Ce sont là-aussi des productions datant du Ier siècle de notre ère. Deux tronçons de fossés s'appuient sur ce fossé est-ouest et partent vers le nord : F950 et F958.

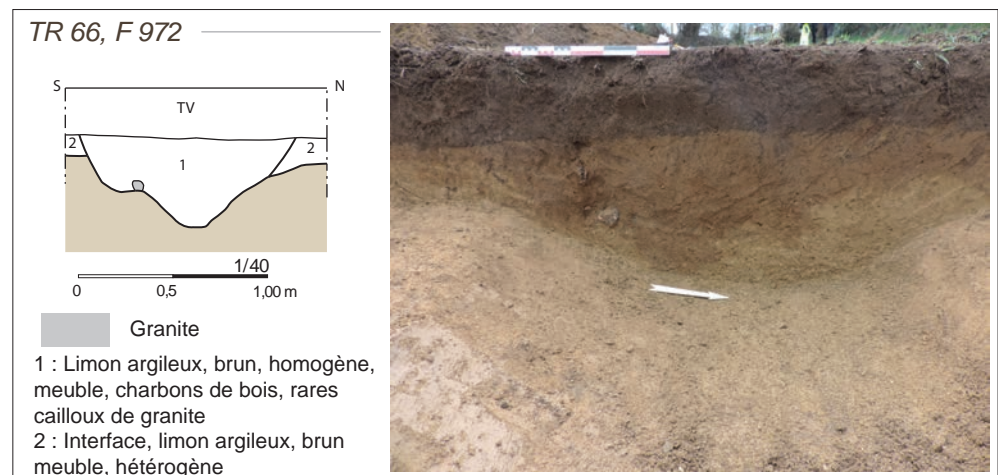
Le tronçon F972, qui prolonge à l'est F949, a fait l'objet d'une coupe et montre un profil en V à bords évasés. La paroi sud présente un décroché qui pourrait indiquer un curage. Pour autant le comblement ne montre qu'une seule couche de remplissage qui correspond à un limon argileux brun moyen peu hétérogène et meuble. Il mesure 1,1 m de largeur pour 47 cm de profondeur (**fig. 124**). Le tronçon F972 a livré des fragments d'un vase en sigillée. Il s'agit d'une assiette Drag. 19 produite dans les officines de Lezoux qui date de la première moitié du Ier siècle.

Nous avons déjà évoqué dans la partie consacrée à la Protohistoire le cas de certains fossés en émettant quelques doutes sur leur attribution chronologique même si quelques tessons d'allure protohistorique ont été retrouvés dans leur comblement. Cela concerne notamment les tronçons de fossé F948 (Tr 66), F971 (Tr 66), F975 (Tr 67), F974 (Tr 67), F986 (Tr 70) et F998 (Tr 71) qui mis bout à bout forment un angle droit (angle de parcelle ?) qui vient doubler le fossé précédent (**fig. 122, B**).

**Fig. 123.** Vue de l'assiette découverte dans F949 en cours de dégagement.



**Fig. 124.** Coupe du tronçon de fossé F972 (équivalent à F949) et vue de la coupe depuis l'est.



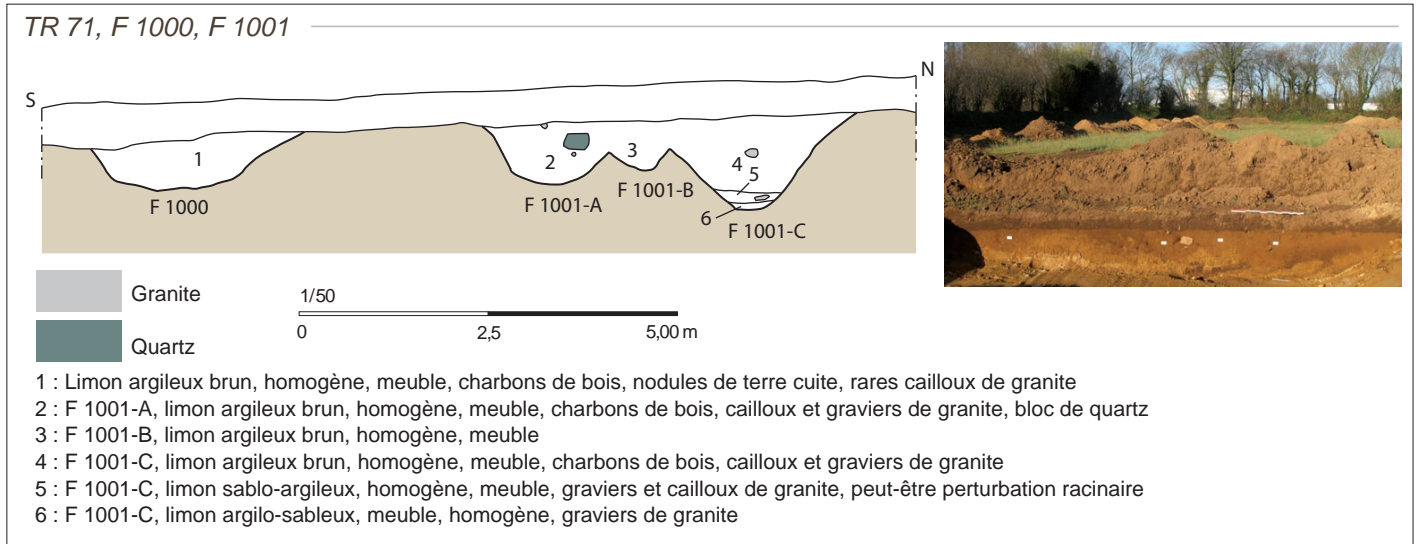


Fig. 125. Coupe des tronçons de fossé F 1000 et 1001 (A, B & C) et vue générale de la coupe depuis l'est.

Fig. 126. Vue générale des coupes de F1001A, B et C.





### Les tronçons de fossé F995, 1000, 1001 en tr 71

Le fossé F995, orienté nord-sud, se trouve dans le prolongement de F957 et F985. Il vient former un angle droit avec le tronçon de fossé F1000 qui semble quant à lui s'interrompre assez tôt à l'ouest car on ne le retrouve pas en tranchée 44 (**fig. 122**). Le lot céramique recueilli dans F995 comprend une panse ornée d'une collerette d'une coupelle Drag. 24/25 en sigillée Centre Gaule (Lezoux) datant de la première moitié du I<sup>er</sup> siècle ainsi qu'un bord d'assiette Ménez 55 en terra nigra à pâte fine grise. F1000 et 1001 ont fait l'objet d'une coupe (**fig. 125**). F. 1000 a un profil en cuvette dissymétrique aux bords évasés ; il mesure 90 cm de largeur pour 32 cm de profondeur. Son comblement mêle limon argileux brun clair homogène et meuble à des cailloux de granite. Au nord, F1001 présente en fait trois creusements distincts en coupe alors qu'un seul fossé d'1,8 m de largeur est visible en plan. C'est d'ailleurs en surface que nous avons prélevé une lèvre déversée arrondie à pâte fine micacée grise aux surfaces noires en terra nigra attribuable au I<sup>er</sup> siècle. Ces trois creusements se recoupant partiellement sont de largeur et de profondeur différentes ; ils pourraient indiquer un léger déplacement latéral du fossé faisant office de limite de parcelle. N'ayant pas pu observer clairement les limites des creusements sur le terrain, il n'est pas possible de proposer une chronologie relative des trois creusements. On se bornera à constater que F1001C est le plus profond et affecte un profil en V ; son comblement se compose de trois couches. A l'extrémité sud, F1000A a un profil en cuvette à fond arrondi. F 1001B est le plus modeste et le moins profond ; d'après les clichés, il semble être coupé par les deux autres (**fig. 126**).

### Les tronçons de fossé F1001 (Tr 71), 763 (Tr 44), 993 (Tr 47) et 758 (Tr 47)

Parallèle à F1000, le tronçon de fossé de F1001 (Tr 71) se poursuit à l'ouest avec F763 (Tr 44) et F993 et F758 côté est (Tr 47) (**fig. 122**). Les tronçons F993 et F758 forment un angle droit ; F758 filant en direction du nord. F1001 (Tr 71) a livré un petit lot céramique qui se compose d'une lèvre et d'un bord d'assiette (**fig. ? , CE 02**) en terra nigra à pâte fine grise, une lèvre déversée arrondie à pâte fine micacée grise aux surfaces noires ainsi qu'une panse.

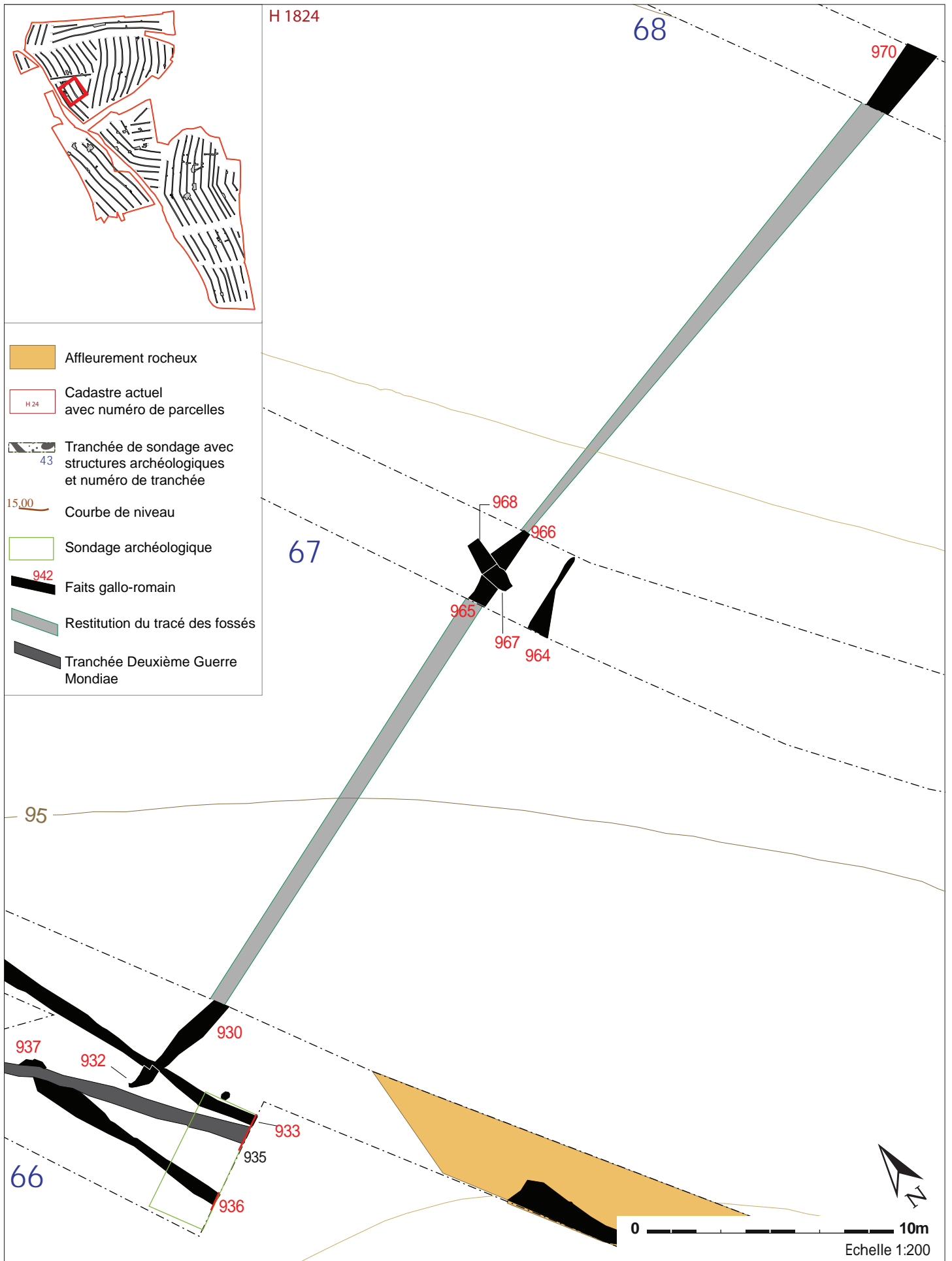


Fig. 127. Zoom sur F966 et 965 et leur prolongement, soit F970 à l'est et F930 à l'ouest.

### Les tronçons de fossé F966, 965 (Tr 67) et F933, 931 (Tr 66)

Le tronçon de fossé F966, orienté est-ouest, équivaut à F965. Ces deux tronçons appartiennent donc au même fossé et sont coupés par les fosses F967 et 968. Le fossé se prolonge à l'est avec F970 et à l'ouest avec F930 qui se raboute perpendiculairement sur F933 et F931 (**fig. 127**). Seule une panse à pâte grise a été trouvée dans F965 ; il est difficile d'en préciser la datation (Haut-Empire ?). Le fait F933 a fait l'objet d'une coupe (**fig. 128**) ; il présente un profil en cuvette (0,58 x 0,16 cm), tronqué côté ouest par une tranchée contemporaine (F935, probablement de la Seconde Guerre Mondiale) dans le fond de laquelle se trouve un câble métallique.

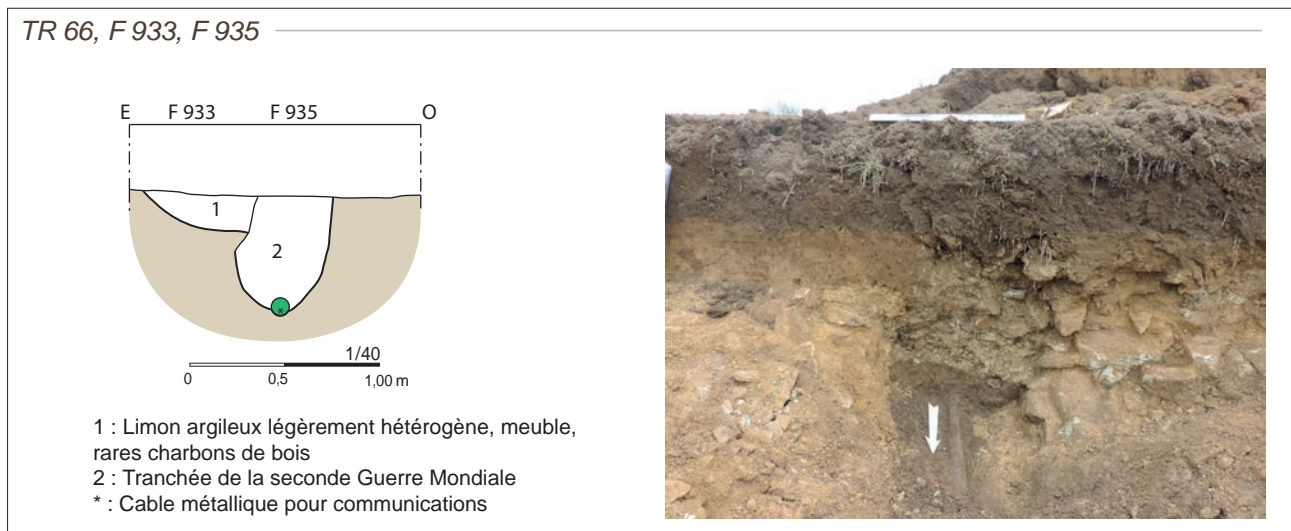


Fig. 128. Coupe de F933 et F935 en tranchée 66 et vue des coupes depuis le nord.

### L'angle formé par les tronçons de fossé F926, 927 et 928 (Tr 65)

Les deux tronçons F926 et F927 correspondent à un même fossé, d'environ 50 cm de largeur, orienté est-ouest sur lequel vient se raccorder le tronçon F 928, orienté nord-sud (**fig. 129**). Au niveau de leur jonction, F928 s'élargit. F 926 a livré au décapage une panse modelée à pâte granuleuse très micacée brune que l'on peut attribuer avec prudence à la période gallo-romaine. Précisons que l'orientation de ces fossés est cohérente avec ceux datés avec certitude de l'Antiquité.

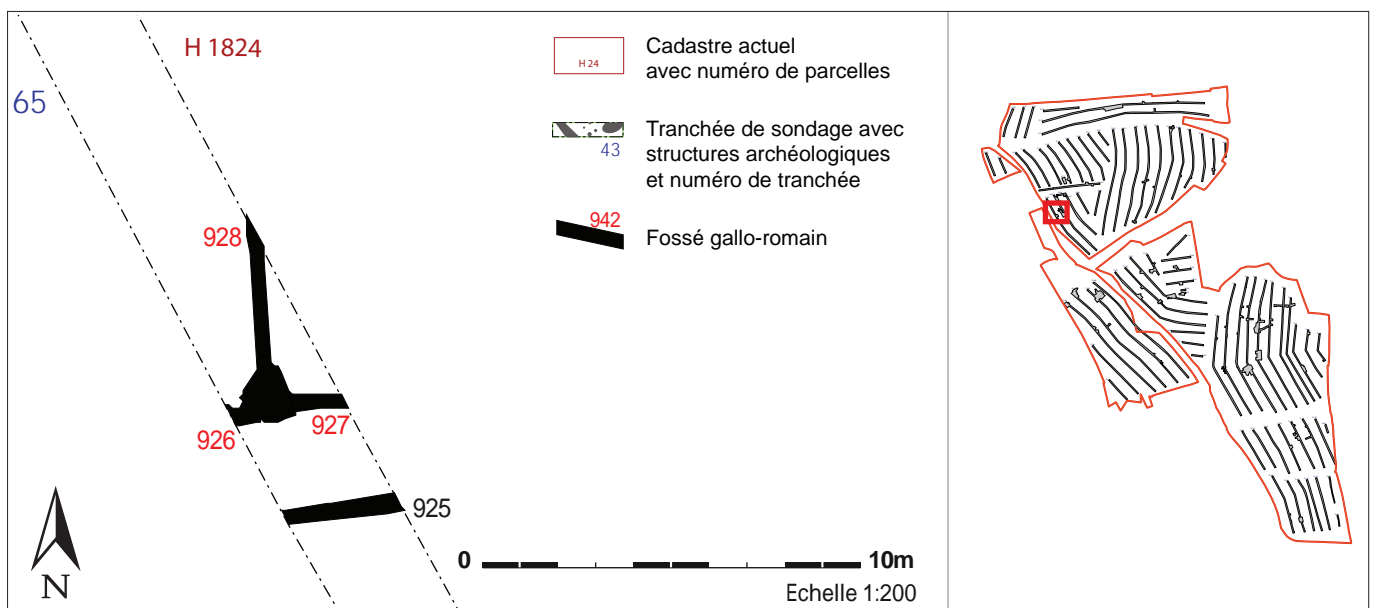


Fig. 129. Zoom sur F926, 927 et 928 (Tr 65).

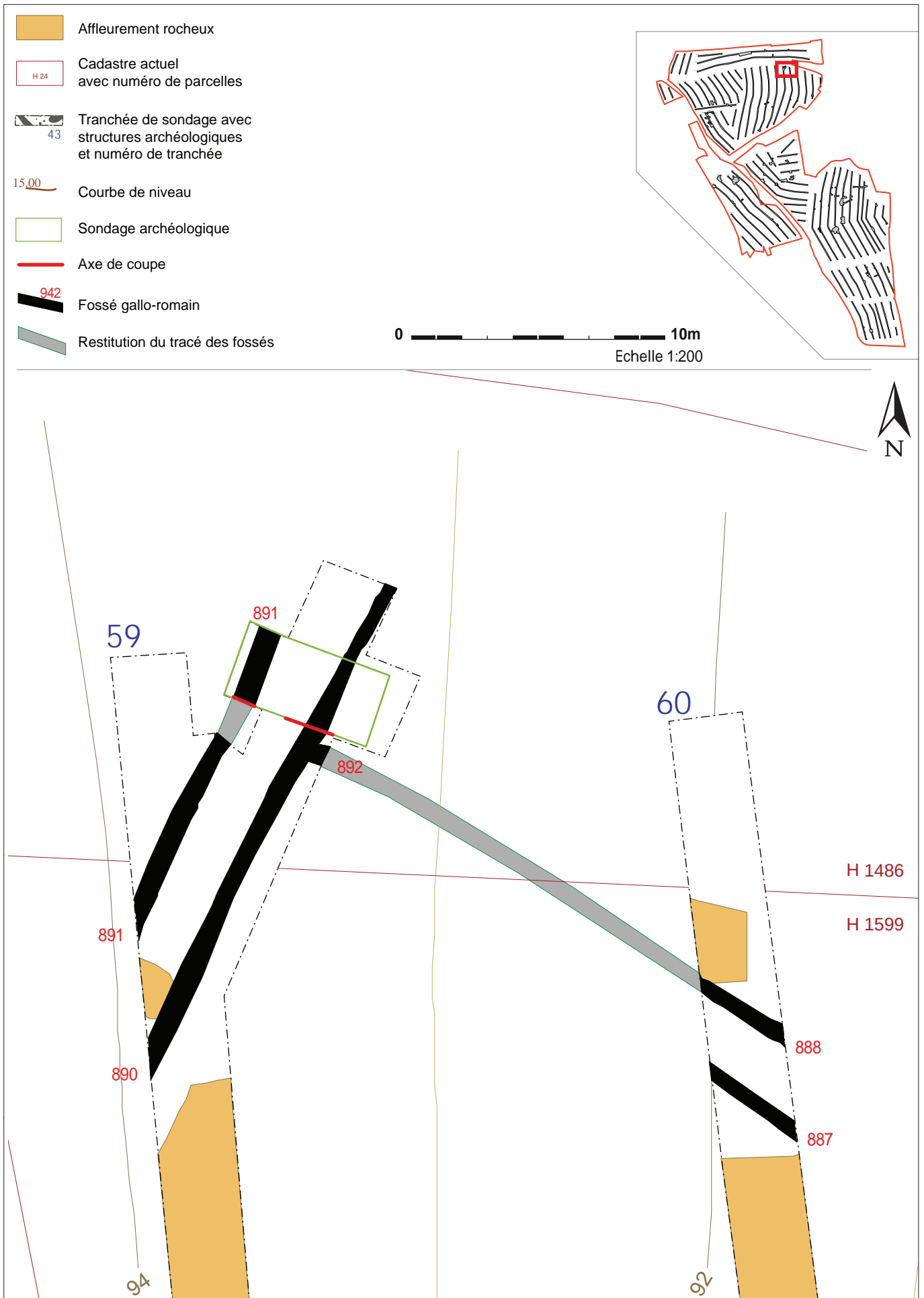


Fig. 130. Zoom sur F892 (Tr 59), 890 (Tr 59), 891 (Tr 59), 888 (Tr 60), 887 (Tr 60) avec les interpolations.



### Le tronçon de fossé 892 en Tr 59 (fig. 130)

Au nord-est de l'emprise, le petit tronçon de fossé F892 est perpendiculaire au tronçon de fossé F890 sur lequel il prend appui. Il est possible de le prolonger vers l'ESE avec F 888 (Tr 60). Précisons que F890 est parallèle au fossé F891 dont il est distant d'à peine 2 m. Une seule céramique a été retrouvée au décapage de F 892 ; il s'agit d'une panse à pâte très micacée brune à cœur noir aux surfaces soigneusement lissées dont il est difficile de préciser la datation (Haut-Empire ?). Les deux fossés parallèles F890 et 891, orientés NNE-SSO, ont fait l'objet d'une coupe, tous deux ont un comblement limono-argileux brun clair homogène et meuble. F890 mesure 95 cm de largeur sur 29 cm de profondeur, son profil est en cuvette à bords très évasés (fig. 131). On y voit deux niveaux de remplissage. F891 mesure 75 cm de largeur pour 32 cm de profondeur, il présente un profil en U à bords assez abrupts et à fond irrégulier (fig. 132). Bien qu'en marge de la concentration de vestiges gallo-romains, ces fossés pourraient indiquer la présence d'un parcellaire aux mailles plus lâches dans ce secteur de l'emprise.

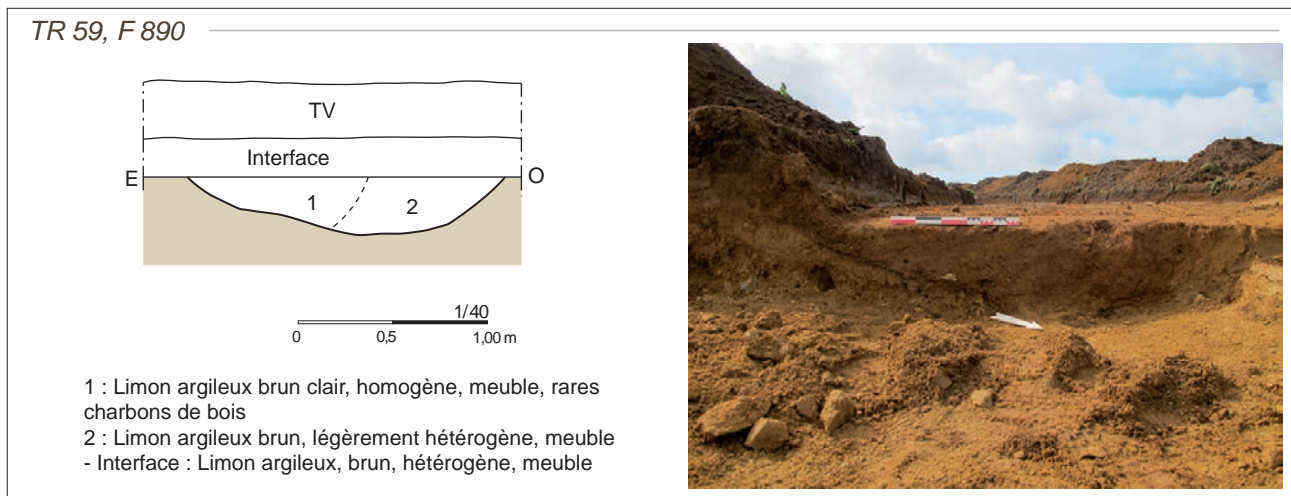
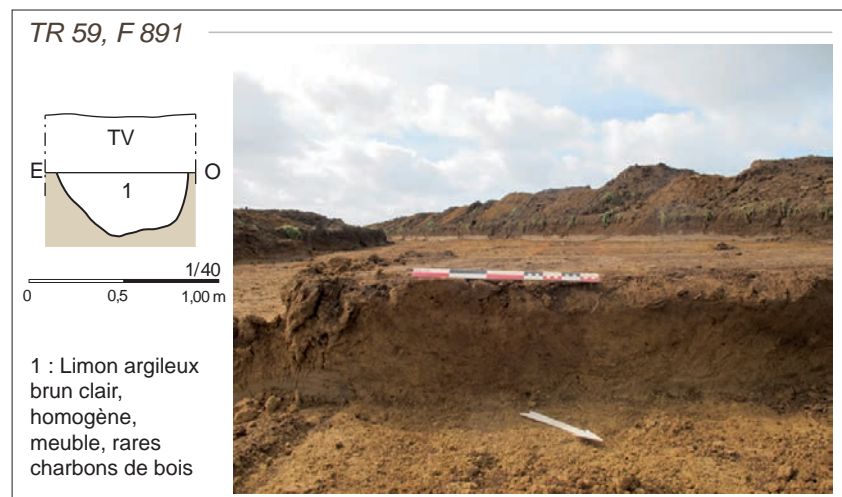


Fig. 131. Coupe du tronçon de fossé F890 en tranchée 59 et vue de la coupe depuis le nord-est.

Fig. 132. Coupe du tronçon de fossé F890 en tranchée 59 et vue de la coupe depuis le nord-est.



### Conclusion

L'ensemble gallo-romain mis au jour sur la hauteur du plateau peut être attribué majoritairement au Haut-Empire et plus précisément au 1er siècle. Il semble que l'on ait affaire à une petite occupation rurale (ferme) implantée en bordure de voie, sur laquelle vient se caler l'orientation du parcellaire.

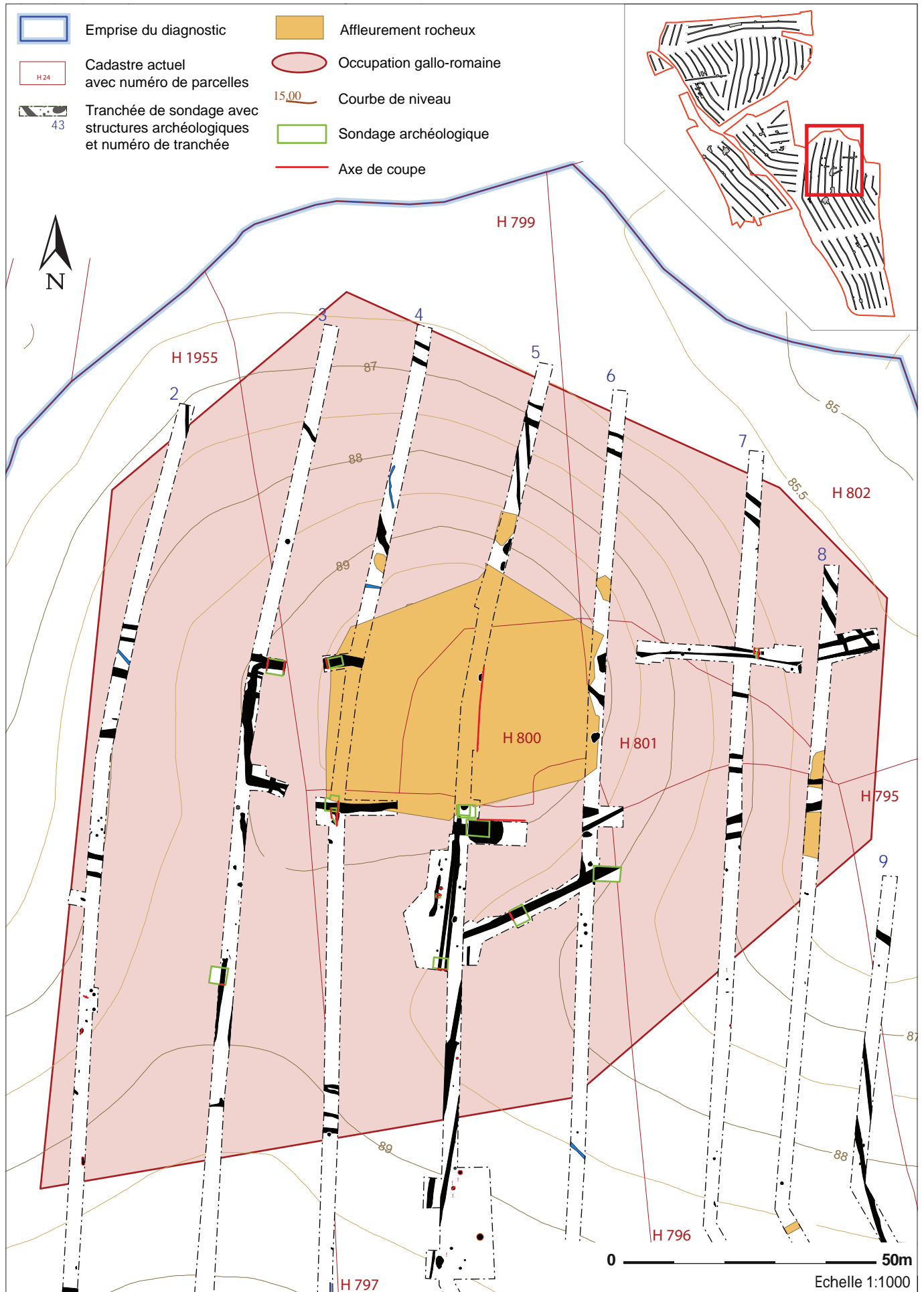


Fig. 133. Vue générale du site gallo-romain de part et d'autre du pointement granitique.

### 2.6.3. Une occupation gallo-romaine de part et d'autre d'une carrière

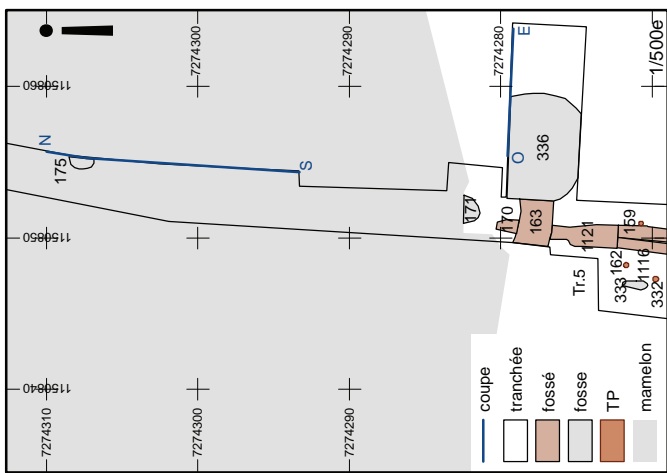
C'est à peu près au milieu de l'emprise que se trouve un vaste mamelon quasi-circulaire, culminant à 91 m d'altitude (**fig. 133**), qui se détache parfaitement de son environnement. De cette butte émergent en partie sud quelques blocs granitiques. De part et d'autre de cette éminence, nous avons repéré un réseau parcellaire gallo-romain assez dense ainsi que des fosses et des trous de poteau.

#### 2.6.3.1. La carrière

Afin de comprendre si la butte était naturelle ou anthropique, nous avons effectué deux coupes transversales (Tr 5), la première orientée nord-sud, la seconde est-ouest en partie sud (**fig. 134**). La coupe nord-sud montre une superposition de plusieurs couches, les dernières correspondent à des apports récents (présence de plastique, de métal, de céramique contemporaine ou de faïence dans les US1, 2, 3 et 7) afin de rendre cultivable cette zone où le rocher affleurerait (**fig. 135**). L'US 4 et 10 sont équivalentes et correspondent à une fine couche limoneuse très organique, presque noire, homogène, qui se distingue parfaitement sur les clichés (**fig. 134**). On peut se demander si cette accumulation très régulière sur la partie haute du pointement ne pourrait pas correspondre à un niveau de stabulation, une partie du mamelon étant occupé par un petit enclos rectangulaire. Juste en dessous, se trouve une couche que l'on retrouve sous la forme de minces lentilles de limon brun-noir très hétérogène et peu compact (US9), avec des poches d'argile sableuse beige-jaune, le tout mêlé à des charbons de bois. La couche immédiatement inférieure (US6) est un limon argileux gris, meuble, homogène, qui présente des traces d'oxydation. Dans son remplissage, se trouvent de nombreux cailloux et petits blocs de granite aux arêtes fraîches, certains présentant des stigmates de débitage. Hormis la présence d'un gros bloc à l'extrémité nord de la coupe, on remarque que le module des pierres varie nettement, avec des cailloux en partie nord et des blocs en partie sud. C'est également dans cette couche et dans le comblement de F175 qu'étaient piégés quelques tessons de céramiques dont un bord à lèvre déjetée arrondie grise à cœur brun. La lèvre et la surface interne de cette céramique sont noircies par un dépôt de carbone. On peut attribuer ces éléments au Haut Empire. Le fond de la coupe est très irrégulier ; il repose directement sur le granite. Plusieurs cuvettes peu profondes aux bords parfois abrupts semblent correspondre à des enlèvements de matière en suivant le jeu des diaclases, c'est probablement comme cela qu'il convient d'interpréter F175 (**fig. 135**). Il ne fait pas de doute que ce pointement granitique a été exploité durant la période gallo-romaine comme carrière. Nous avons également observé en tranchée 5, des enlèvements en escaliers ou des négatifs de matière entre deux lignes de diaclases, autant de traces qui doivent correspondre à une exploitation du granite afin d'extraire des matériaux de construction. Ce type d'exploitation devait produire pour l'essentiel des blocs de petites dimensions, taillés en forme de moellons pour le petit appareil, voire des cailloux pour le remplissage. L'extraction n'a pas dû faire intervenir des outils et des techniques complexes : des pinces de carriers (sorte de levier métallique), au mieux des coins métalliques, ont suffi à l'extraction de cette roche très fractionnée.

La coupe est-ouest est moins probante dans le sens où les apports de remblais y sont très importants et semblent avoir bouleversé de possibles couches plus anciennes (**fig. 134 et 136**). Par ailleurs, en partie occidentale, la fosse F336 dont le comblement contient des éléments contemporains (US 5 à 9) vient couper des couches antérieures (US12 & 11). Les couches a priori anciennes sont assez bien conservées dans les creux de la roche qui pourraient là-aussi correspondre à des négatifs d'extraction. Malheureusement, aucun mobilier permettant de dater les premiers niveaux de comblement n'a été recueilli. Par ailleurs, on observe dans les couches les plus basses des cailloux en forte proportion, preuve que ces creusements ont été partiellement rebouchés avec des rejets de carrière (**fig. 134**).

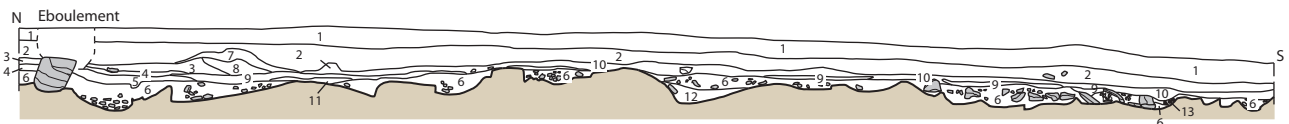
Les recherches conduites sur la diffusion des matériaux lapidaires en Narbonnaise ont montré que ce type de matériaux n'était jamais distribué sur une longue



< Fig. 134. Zoom sur la butte avec indication des points de coupe et coupes E-O et N-S du mamelon granitique (géoréférencement des photos et DAO E. Le Goff).



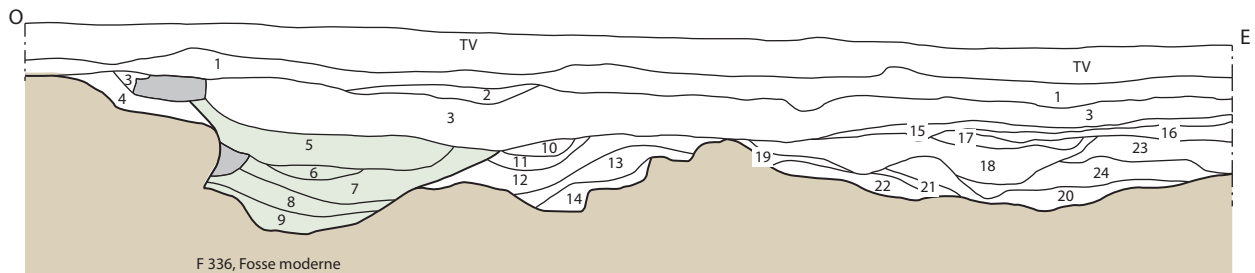
*Mamelon granitique, coupe N-S*



- 1 : Terre végétale
- 2 : Limon brun, graviers, compact, homogène, nombreux cailloux de granite & gros blocs de granite (extrémité nord de la coupe), plastique
- 3 : Limon brun foncé, poches argileuses beiges, hétérogène, peu compact, cailloux de granite, métal
- 4 : Limon brun-noir très organique, homogène, meuble, nodules de terre cuite
- 5 : Limon brun foncé, meuble, hétérogène, poches d'oxydation
- 6 : Limon argileux gris, traces d'oxydation, meuble, homogène, nombreux cailloux et blocs de granite, céramique
- 7 : Limon argileux hétérogène brun-gris à brun-jaune, compact, céramique moderne
- 8 : Limon légèrement argileux brun-gris, légèrement hétérogène, compact, rares charbons de bois, cailloux de granite, morceau de textile
- 9 : Limon brun-noir très hétérogène, poches d'argile sableuse beige-jaune, peu compacte, charbons de bois
- 10 : Limon homogène, brun-noir, meuble, très organique, équivalent à l'US 4
- 11 : Limon brun-noir légèrement hétérogène, assez compact, inclusions d'oxydation
- 12 : Limon sablo-argileux gris clair, homogène, meuble
- 13 : Idem US 6 avec de très nombreux cailloux de granite

Fig. 135. Coupe N-S du mamelon.

*Mamelon granitique, coupe O-E*



- 1 : Limon brun, homogène, peu compact, charbons de bois, nodules de terre cuite, plastique, petits cailloux et blocs de granite, petits cailloux de micaschiste et quartz et fragments de métal
- 2 : Limon brun foncé à brun clair (plus foncé au fond) hétérogène, compact, charbons de bois, nodules de terre cuite, petits cailloux de granite et quartz
- 3 : Limon brun foncé avec graviers (arène granitique), rares charbons de bois, cailloux et gros blocs de granite, nodules de terre cuite, plastique, beaucoup de racines, textile
- 4 : Limon brun, légèrement hétérogène, très meuble, avec du gravier, très nombreux cailloux de granite
- US5 à US 9 = couches de comblement de la fosse contemporaine F 336
- 5 : Limon légèrement argileux brun-noir foncé, petits graviers, racines, nombreux cailloux et petits blocs de granite, de quartz et de schiste, textile
- 6 : Limon sableux brun, graviers, petits cailloux et cailloux de granite, meuble homogène
- 7 : Limon sableux brun foncé, graviers, petits cailloux de granite, meuble homogène
- 8 : Limon sableux brun clair, graviers et nombreux cailloux de granite, meuble homogène
- 9 : Limon sableux brun clair à foncé, meuble, hétérogène
- 10 : Limon légèrement argileux, brun, un peu de graviers, homogène, meuble, racines, cailloux de granite
- 11 : Limon sableux, brun clair, très meuble, homogène, très nombreux cailloux de granite
- 12 : Limon légèrement sablo-argileux, brun foncé, graviers, homogène, meuble, nombreux cailloux de granite
- 13 : Limon légèrement argileux brun clair à brun, légèrement hétérogène, meuble, racines, graviers et cailloux de granite
- 14 : Limon légèrement argileux, brun-gris, gravier, homogène, meuble, nombreux cailloux de granite
- 15 : Limon brun-noir, légèrement hétérogène, meuble, charbons de bois, poches charbonneuses, nodules de terre cuite, petits cailloux de granite, racines
- 16 : Limon légèrement argileux, brun, cailloux de granite, meuble, homogène
- 17 : Limon légèrement argileux, brun-gris, meuble, hétérogène, graviers, rares petits cailloux de granite, rares charbons de bois (probablement égal à US 23, perturbé par un terrier ?)
- 18 : Limon brun clair à foncé, très nombreux cailloux de granite et de schiste, poches jaunes de substrat remanié, très hétérogène, meuble (probablement équivalent à US 24)
- 19 : Limon argilo-sableux, brun clair à foncé, graviers, petits cailloux de schiste et granite, meuble, légèrement hétérogène (probablement équivalent à US 21)
- 20 : Limon légèrement argileux brun-noir, meuble, très hétérogène, grosse racine, rares cailloux de quartz
- 21 : Idem que US 19
- 22 : Limon argileux gris-noir, meuble, légèrement hétérogène, graviers, racines et cailloux de quartz
- 23 : Idem que US 17, rares charbons de bois
- 24 : Idem US 18

Fig. 136. Coupe E-O de la partie sud du mamelon.

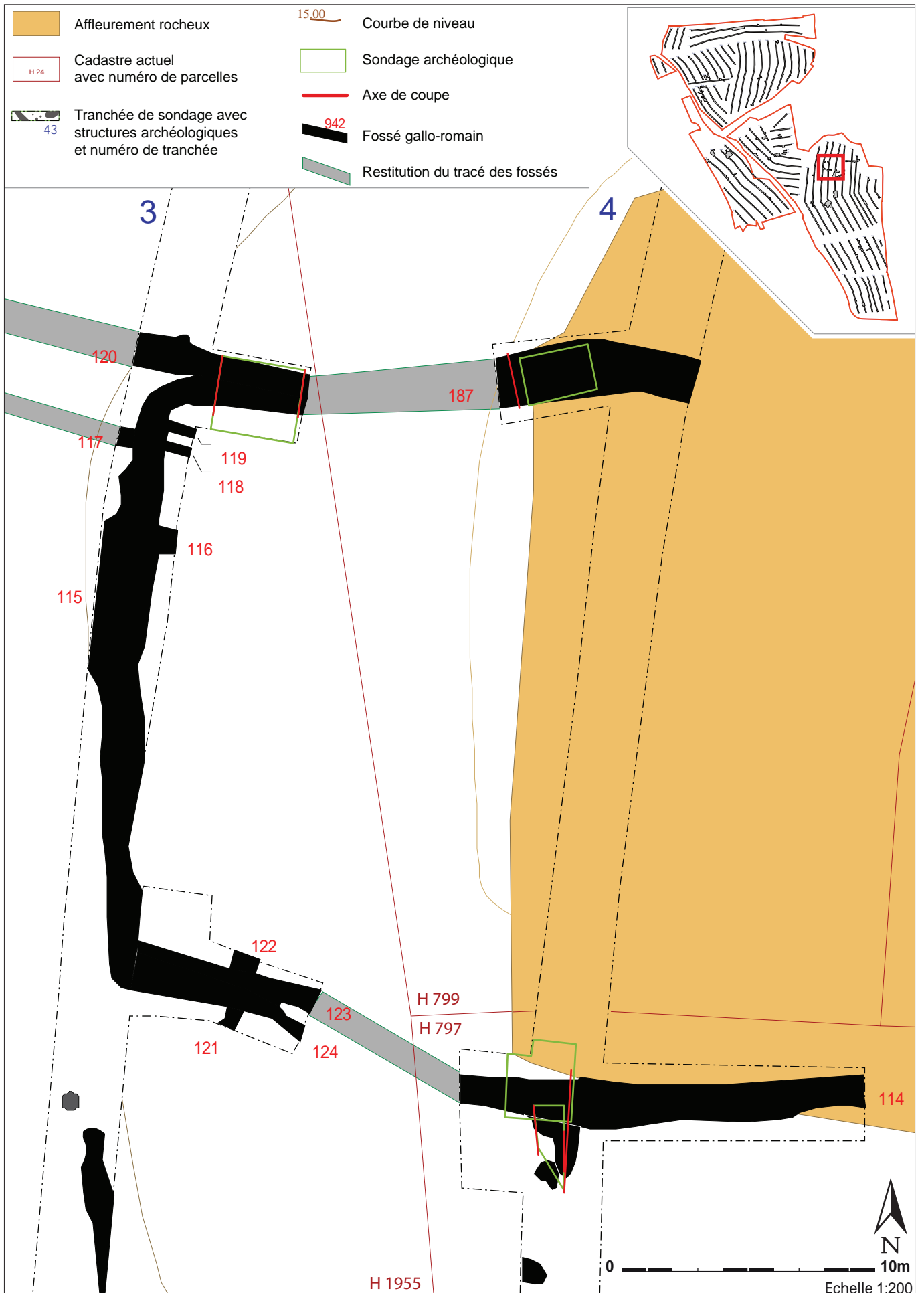


Fig. 137. Zoom sur l'enclos implanté en partie occidentale du mamelon .

distance car ils subissent très rapidement la concurrence de pierres issues d'autres affleurements. En conséquence, il est vraisemblable que le granite extrait de ces carrières a été mis en œuvre localement. Aucun bâtiment en pierre n'a été repéré dans le cadre de ce diagnostic mais on peut rappeler que le micro-toponyme « vilar » est recensé à deux reprises dans l'environnement proche (*cf. supra*), soit au sud-est de Kerdaniou et à l'ouest de Kerinvarch (**fig. 17**)

Régionalement, des carrières de ce type sont connues à l'île Lavret dans l'archipel de Bréhat (Giot, 1996), à Plouër-sur-Rance, dans les environs immédiats d'un établissement rural (Menez, 1996, p. 88 & 194) ; d'autres ont récemment été fouillées à Carhaix, près du passage de l'aqueduc (Casadebaig *et al.*, 2014) et à Rezé (Polinski, Pirault, 2012). Enfin, on rappellera celle mise en évidence à Kerintin-Kerdalaün en Saint-Divy installée non loin de bâtiments au sein d'un domaine du Haut Empire (Pailler, Maligorne, 2014).

### 2.6.3.2. Un enclos quadrangulaire

En partie occidentale du mamelon, a été repéré un enclos quadrangulaire délimité par un fossé (**fig. 137**). Il est constitué des tronçons de fossés F 115, 123, 124 en tranchée 3, F187 et 114 en tranchée 4. Nous ne l'avons pas trouvé en tranchée 5 mais, dans cette tranchée, le granite affleure directement sous la terre végétale et il est possible qu'en absence d'un nettoyage fin nous ne l'ayons pas reconnu. Il a fait l'objet de trois coupes. Sur la partie reconnue, sa largeur varie sensiblement, le côté occidental mesure autour de 25 m en partie externe pour 18,5 m en partie interne alors que plus à l'est (globalement la distance entre F187 et F114), la largeur de l'enclos en partie externe est de 31 m pour 27 m en interne.

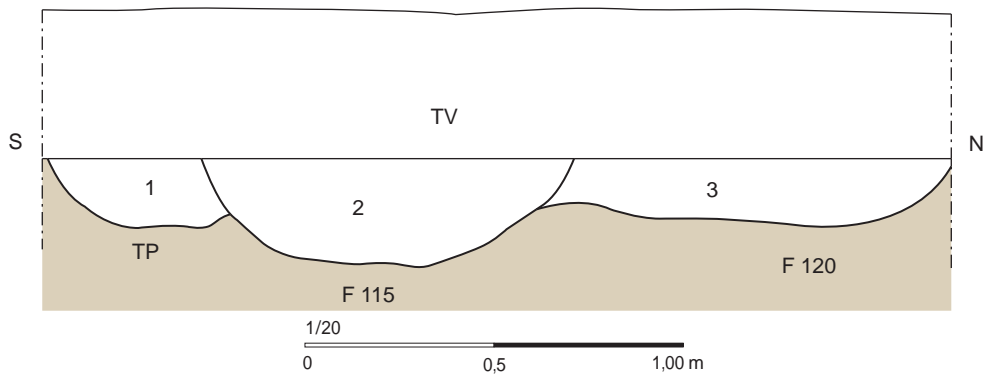
En partie occidentale, le tronçon F115 mesure 1,6 m de largeur pour seulement 28 cm de profondeur. Il forme le côté ouest de l'enclos puis repart en direction de l'est en formant un angle quasi-droit ; c'est dans cette partie qu'il est doublé par F120. Il a fait l'objet d'une coupe dans ce bout orienté est-ouest. Son profil forme une cuvette à bords évasés (**fig. 138**). Son comblement est constitué d'un limon sablo-argileux brun foncé meuble et homogène. En coupe, on observe également que F115 vient couper F120 au nord et un probable trou de poteau au sud. Une deuxième coupe faite dans la berme côté est ne montre plus qu'un seul fossé, F115 reprenant complètement le tracé de F120 ; il montre un profil en cuvette à bords évasés et fond plat (**fig. 138**). En surface de F115, nous avons recueilli deux panses de céramiques communes sombres à pâte granuleuse micacée brune et noire qui sont attribuables au Haut-Empire (entre le I<sup>er</sup> et le II<sup>e</sup> siècle de notre ère).

Plus à l'est, F187 affecte un profil en V asymétrique et mesure 1,8 m de largeur pour 66 cm de profondeur. Quatre niveaux de comblement y ont été reconnus. Il est possible que le fond plus clair (mélange d'arène et de limon) corresponde au fond de F120 (**fig. 139**).

Côté sud, F114 atteint jusqu'à 2,1 m de largeur pour 56 cm de profondeur ; il présente un profil en V avec une sorte de marche côté nord. D'ailleurs, ce même côté est recoupée par un chablis (**fig. 140**). Côté sud, ce tronçon de fossé recoupe la fosse F113 qui a livré du mobilier céramique du premier âge du Fer et du Haut-Empire.

La fonction de cet enclos reste pour le moment assez énigmatique. Toutefois, l'hypothèse d'un enclos pour le petit bétail pourrait être avancée.

TR 3, F 115, F 120

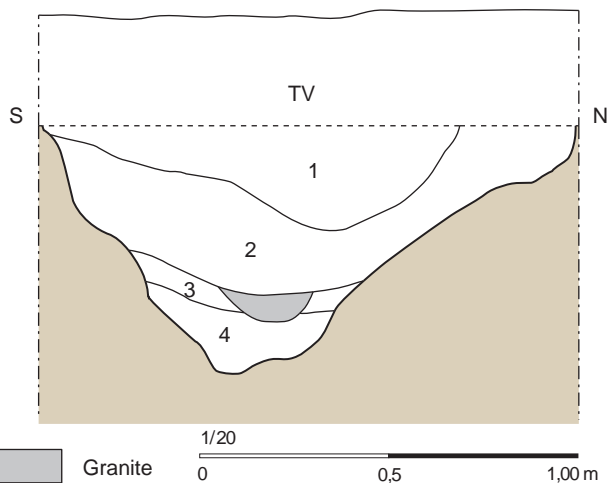


- 1 : Limon sableux légèrement argileux brun, meuble et homogène, blocs de granite, TP ?
- 2 : F 115 : Limon sablo-argileux brun foncé, meuble, homogène, petits cailloux de granite, coupe le Fait 120
- 3 : F 120 : Limon sablo-argileux brun, meuble et homogène, gros et petits cailloux (granite)



Fig. 138. Coupe du tronçon de fossé F115, TR 3 ; vue de la coupe depuis l'est (à gauche F115, à droite F120), et vue de la coupe depuis l'ouest.

TR 4, F 187



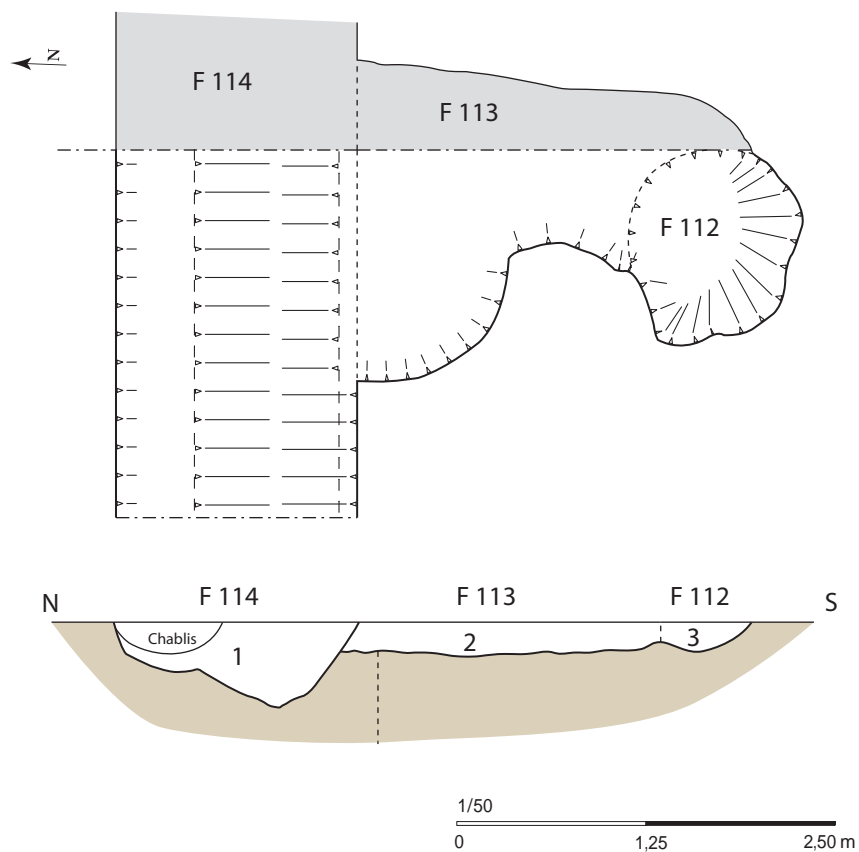
- 1 : Limon argilo-sableux brun-noir, meuble et homogène
- 2 : Limon sablo-argileux brun foncé, meuble, homogène, petits cailloux de granite
- 3 : Limon argilo-sableux brun clair, arène granitique remaniée
- 4 : F 120 ?



Fig. 139. Coupe du tronçon de fossé F187, Tr 4 et vue de la coupe depuis l'est.



TR 4, F 113, F 114, F 112



- 1 : F 114 : Limon argilo-sableux brun foncé, hétérogène et meuble avec poches jaunes de substrat remanié, blocs de granite  
 2 : F 113 : Limon argilo-sableux brun foncé hétérogène, meuble, avec poches jaunes de substrat remanié, blocs de granite  
 3 : F 112 : Limon argilo-sableux brun moyen, homogène, meuble et gros blocs de granite



Fig. 140. Coupe du tronçon de fossé F114 et de la fosse F113, Tr 4 ; 1 : vue générale de la coupe depuis l'ouest ; 2 : vue de détail de la coupe.

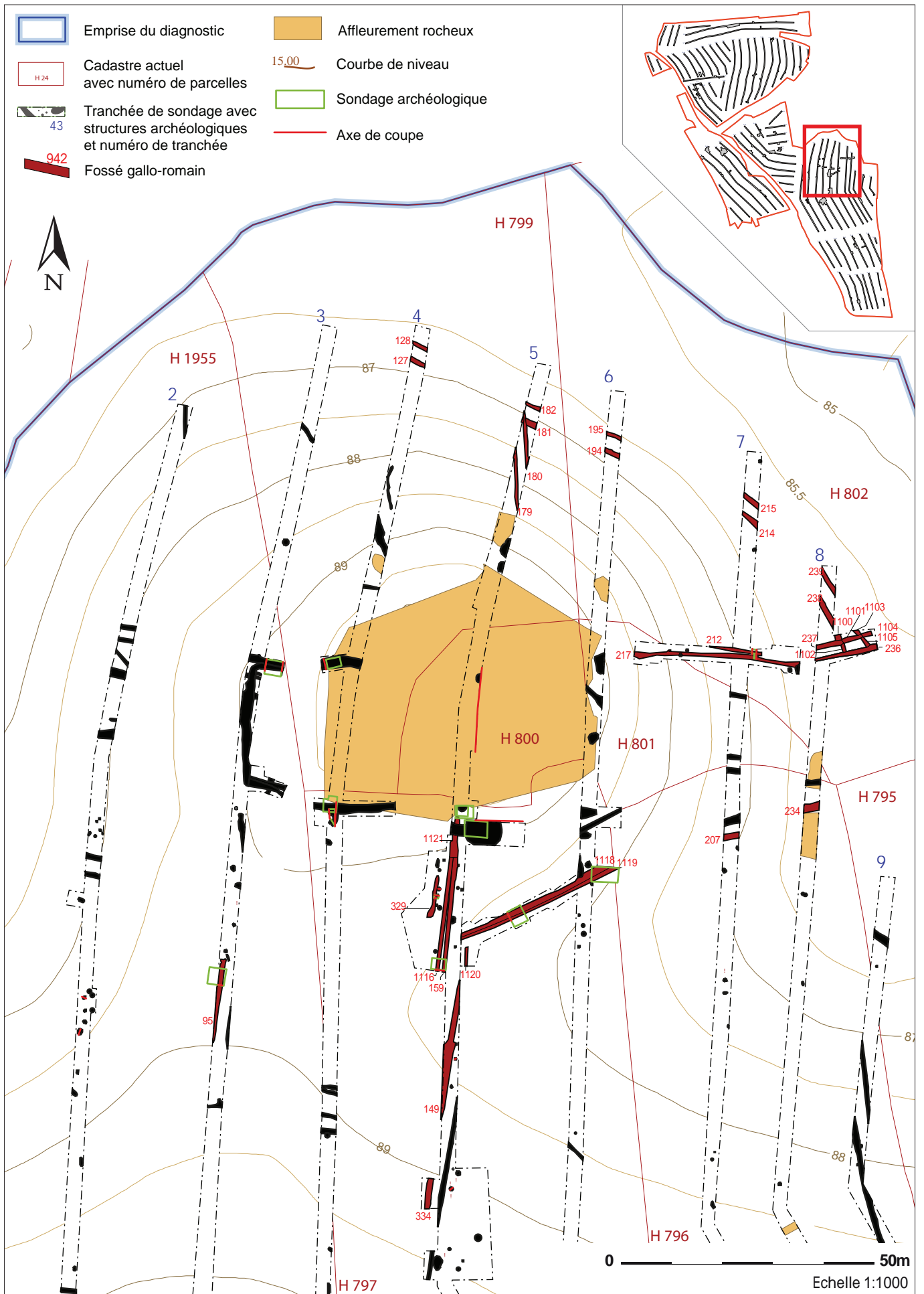


Fig. 141. Zoom sur les fossés attestés ou supposés de la période gallo-romaine situés de part et d'autre du mamelon .

### 2.6.3.3. Le parcellaire

Quelques fossés creusés autour de la carrière ont livré de la céramique gallo-romaine. Ils suivent généralement une orientation nord-sud ou est-ouest (**fig. 141**).

Le tronçon de fossé F95 en tranchée 3 est globalement orienté nord-sud ; il est parallèle à F93 (sous la berme) mesure 0,93 m de largeur pour 27 cm de profondeur. Sa coupe montre un profil en cuvette à bords évasés et fond assez irrégulier. Le comblement est un limon argileux brun moyen à foncé (**fig. 142**). En surface, il a livré un fond d'amphore vinaire Dressel 2/4 à pâte micacée orange-noir ; il s'agit d'une production locale datée du Haut-Empire.

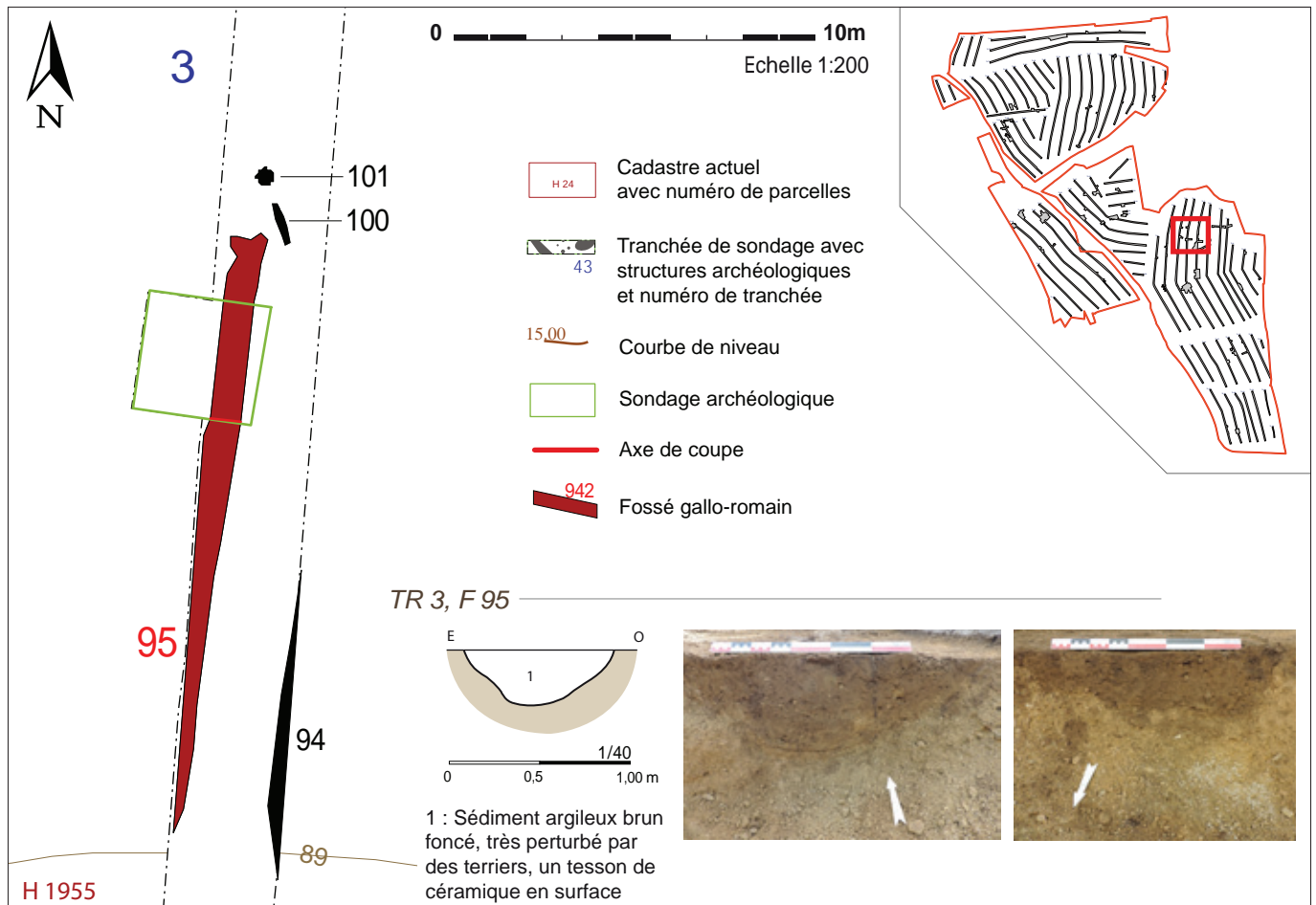


Fig. 142. Zoom autour de F95 ; coupe de F95 en tranchée 3 et vues des deux coupes, depuis le sud (DSCN2821) et depuis le nord (DSCN2823).

Orienté nord-sud, le fossé F159 en tranchée 5 est parallèle à F1116 ; ils semblent se fondre tous deux dans le tronçon F1121. Toutefois, au niveau de la coupe faite la berme, F1116 vient mordre légèrement sur F159 et lui est donc postérieur. F159 est coupé par la fosse F158. La largeur du fossé F159 varie de 0,75 m à 1,9 m et atteint 42 cm de profondeur (**fig. 143**). Le profil de F159 est en cuvette à bords évasés, F1116 a davantage une forme en U. En surface du fossé, nous avons récupéré une anse d'amphore 7/11 de Bétique et une panse à pâte orange à cœur noir. Ce sont des productions courantes au Haut-Empire, durant le Ier siècle.

Parallèle à F156 et 1116, le petit fossé F329 mesure moins d'une dizaine de mètres de longueur, pour 58 cm de largeur et seulement 14 cm de profondeur. Il présente un profil en U à bords droits. Son comblement est fait d'un limon argilo-sableux brun moyen, peu hétérogène, meuble. Il est légèrement coupé à l'est par le trou de poteau F330 (**fig. 144**).

Orienté nord-sud, le tronçon de fossé F149 se prolonge au sud avec F334 et possiblement vers le nord avec F1120 (**fig. 143**). Il est parallèle au fossé formé par F146 et F849. Ces deux fossés mesurent entre 1 m et 0,75 m de largeur. Un bord de tuile (*tegula*) a été recueilli dans le comblement de F149.

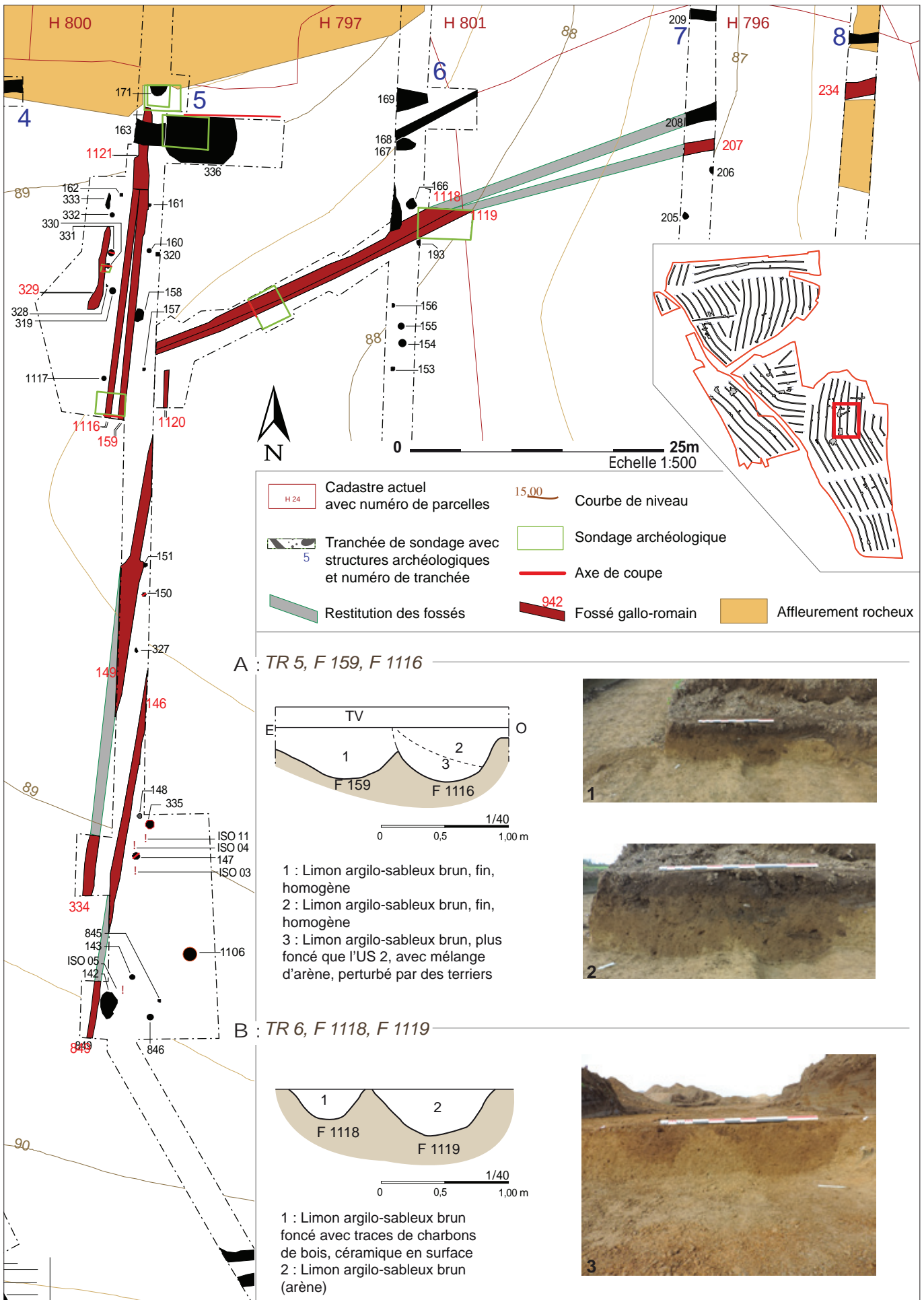


Fig. 143. Zoom autour de F159 en Tr 5 des fossés orientés nord-sud (F149-334-1120 et F146-849, Tr 5), et des tronçons de fossé F1118 et 1119 en tranchées 5 et 6 ; A : coupes de F159 et F1116, 1 : vue générale de la coupe depuis le nord et 2 : vue rapprochée B : coupes de F1118 et 1119 et 3 : vue des coupes depuis l'est.



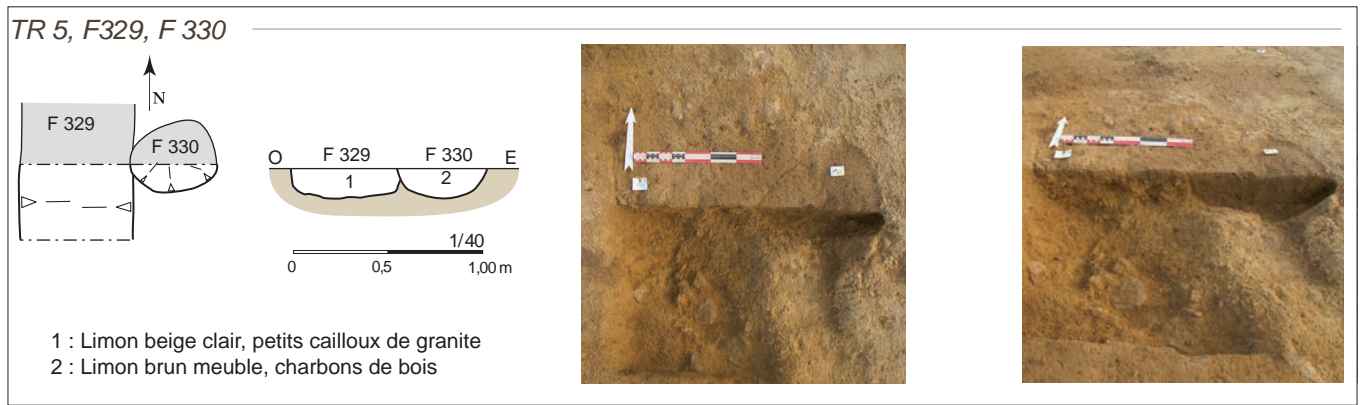


Fig. 144. Plan et coupe du fossé F329 et du trou de poteau F330, Tr 5 ; vue en plan et vue de la coupe depuis le sud .

Le tronçon de fossé F212 en tranchée 7 est orienté est-ouest et on le perd dans l'extension effectuée vers l'est. Pourtant, on semble le retrouver à l'est en tranchée 8, avec des tronçons de fossés comme F237, 1101 et 1104. Le tronçon F212 mesure 78 cm de largeur sur 22 de profondeur ; il a fait l'objet d'une première coupe qui montre un profil en cuvette (fig. 146). Une seconde coupe a été réalisée au niveau de la fosse F213 ; on voit bien que cette fosse est postérieure au fossé (fig. 146). Le mobilier qu'elle a livré se compose de 58 fragments de panses à pâte orange et cœur gris qui pourraient appartenir à la période moderne (fig. 145). Dans F212, nous avons recueilli au décapage une carène en terra nigra, une panse noire à cœur brun, une lèvre moulurée d'une cruche à pâte orange à cœur gris et deux fragments d'une panse à pâte orange mais aussi un fragment de bord attribuable au haut Moyen Age. Ce fossé est parallèle à celui constitué des tronçons F217 (Tr 7) et F236 (Tr 8) ; s'il n'a pas livré de mobilier, il est coupé par une petite fosse (F1079) qui a livré un fragment de panse à pâte micacée brune qui pourrait dater du haut Moyen Age. Il est donc probable qu'il ait fonctionné de manière synchrone avec F212-237-1101-1104. Aucun mobilier ne permet de caler chronologiquement les deux fossés parallèles qui effectuent le contour du mamelon sur ses côtés est et nord mais dans la mesure où ils viennent prendre appui sur de probables fossés gallo-romains, nous sommes tentés de les attribuer à cette occupation : il s'agit de F1100 (Tr 8)-1102-238-214 (Tr 7), F194 (Tr 6), F181 (Tr 5), F127 (Tr 4) et F1105 (Tr 8)-1103-239-215 (Tr 7), F195 (Tr 6), F182 (Tr 5), F128 (Tr 4) (fig. 141).



Fig. 145. Vue de détail sur la concentration de céramiques de la Période Moderne (?) se trouvant dans le remplissage de F213, Tr 7.

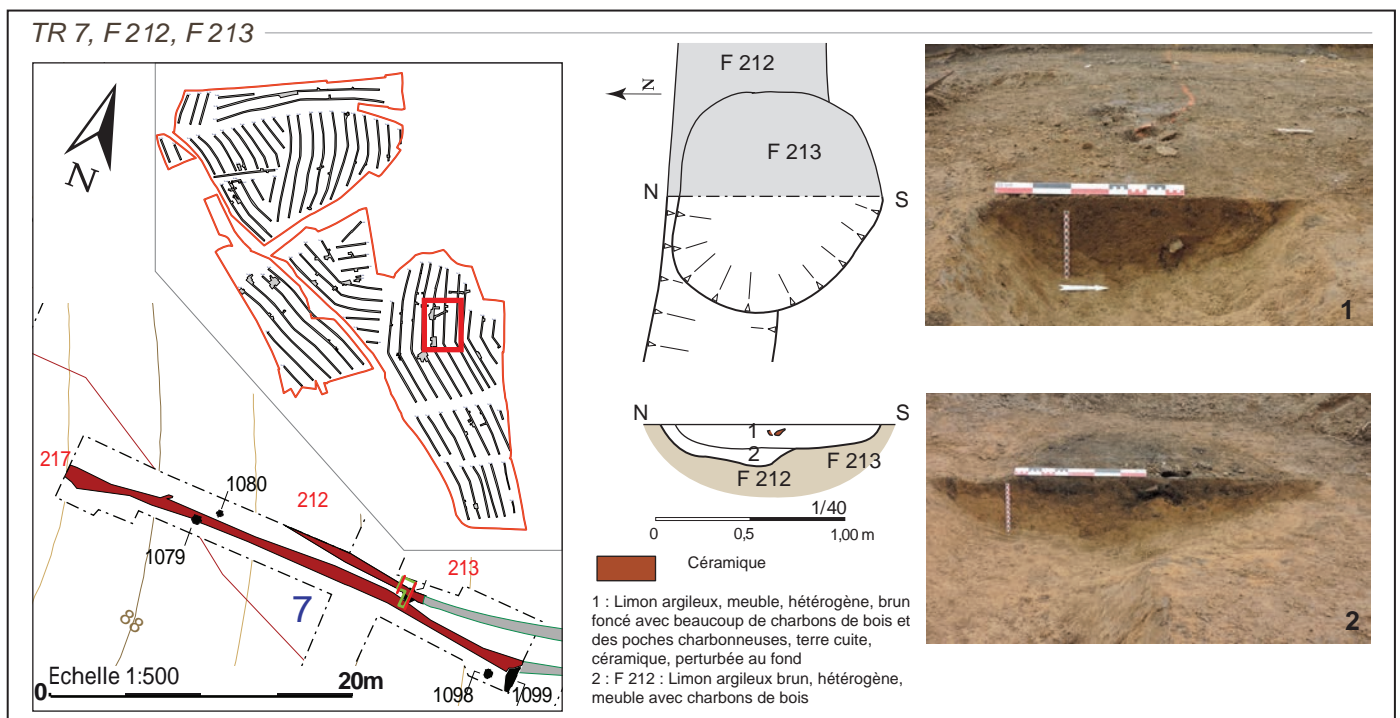


Fig. 146. Coupe de la fosse F213 et du tronçon de fossé F212 en tranchée 7 ; 1 : vue de la coupe depuis l'est ; 2 : vue de la coupe depuis l'ouest.



On suit le tronçon de fossé F1118 sur une trentaine de mètres entre les tranchées 5 et 6. Son orientation diffère des autres fossés gallo-romains, il suit un axe OSO-ENE. En plan, il est adjacent au fossé F1119 (**fig. 143**). F1118 et F1119 semblent se prolonger vers l'est avec F207 et 207 (Tr 7), puis vers F234 (Tr 8). F1118 mesure une quarantaine de centimètres de largeur pour 23 cm de profondeur. Son profil affecte la forme d'une cuvette à fond arrondi aux bords évasés. F1118 a un profil similaire mais des dimensions un peu plus importantes : 97 cm de largeur et 35 cm de profondeur. Le remplissage des deux tronçons est identique ; il est constitué d'un limon argileux brun moyen, homogène et meuble, avec des petits cailloux et des graviers de granite. Dans le fossé F1118, ce sont 10 panses d'amphore Pascual 1 à pâte claire, cinq fragments d'un petit fond modelé à pâte fine siliceuse brune à cœur noir et une panse orange à cœur gris qui ont été recueillis. Ce petit lot date de la première moitié du Ier siècle de notre ère.

Au nord du mamelon et orienté nord-sud, le tronçon de fossé F180 est parallèle à F179. Ils mesurent entre 0,4 et 0,55 cm de largeur. Le premier a livré au décapage un fragment d'amphore Pascual 1 (?) à pâte micacée et orange.

#### 2.6.3.4. Les fosses et les trous de poteau (**fig. 147**)

D'assez nombreuses fosses et trous de poteau ont été repérés au sud du mamelon mais rares sont ceux ayant livré des éléments mobiliers. Aucun plan de bâtiment ne se dégage, on peut juste faire constater que plusieurs trous de poteau se trouvent aux abords voire recoupent certains fossés.

Dans le trou de poteau F331 (Tr 5), le seul élément mobilier découvert est une amorce d'un fond modelé à pâte granuleuse brune qu'E. Coffineau attribue avec prudence à la période gallo-romaine. Ce trou de poteau mesure 30 cm de diamètre pour 14 cm de profondeur (**fig.148**).

**Fig. 148.** Plan et coupe du trou de poteau F331, Tr 5 ; vue verticale après fouille à 50% et vue de la coupe depuis le sud.



#### 2.6.3.5. Pour conclure

Le principal point d'ancrage de cette occupation gallo-romaine est une carrière de granite qui exploite un important pointement granitique. Il est probable que les produits de cette exploitation (moellons) ont dû servir dans la construction de bâtiments en pierre implantés dans un rayon assez proche. De part et d'autre, un réseau parcellaire, un enclos quadrangulaire et des trous de poteau font penser à une petite occupation rurale. Comme pour l'occupation précédente, les éléments de datation nous renvoient au Haut Empire.

## 2.6.4. Présentation générale de la céramique gallo-romaine (E. Coffineau)

La céramique gallo-romaine retrouvée lors du diagnostic se concentre dans les zones d'occupations n° 1 (autour de la carrière) et n° 3 (greniers). Elle a été essentiellement prélevée dans les fossés (*cf. tabl. 4*).

Tabl. 4. Répartition de la céramique gallo-romaine

Zone	Tranchée	Nature du Fait	N° Fait	NR
Occupation 1	03	fossé	95	7
Occupation 1	03	fossé	115	2
Occupation 1	04	fosse	113	9
Occupation 1	05	fossé	159	9
Occupation 1	05	fosse	175	3
Occupation 1	07	fossé	212	5
Occupation 1	07	fossé	1118	16
	59	fosse	892	1
Occupation 3	65	foyer-four	917	3
Occupation 3	65	fosse	920	1
Occupation 3	66	fossé	941	11
Occupation 3	66	fossé	949	4
Occupation 3	66	fossé	972	9
Occupation 3	67	fossé	966	1
Occupation 3	69	fossé	957	5
Occupation 3	71	Fossé	995	5
Occupation 3	71	fossé	1001	3

Les poteries sont très fragmentées et peu nombreuses (un total de 94 tessons) rendant difficile une datation précise. Cependant, l'ensemble des vases présents couvre chronologiquement la période augusto-tibérienne jusqu'au II<sup>e</sup> siècle de notre ère. Le répertoire des formes est celui habituellement retrouvé dans des contextes de consommation (*cf. tabl. 5*).

Tabl. 5. Présentation par catégorie de la céramique

Catégorie	Bords	Fonds	Anses	Panses
Commune sombre	3			4
Commune claire	4			13
modelée	2	1		
Terra nigra	2	1		2
sigillée	1			1
amphore		1	1	10
Total	12	3	1	30

### 2.6.4.1. La céramique commune

Dans cette catégorie, les vases appartenant au vaisselier domestique sont trop fragmentés pour permettre une vision détaillée de leur morphologie. Les vases identifiés sont des vases destinés à la cuisson (dépôt de carbone par endroit) avec la présence d'un bord de pot à lèvre déjetée arrondie (**fig. 149, CE 20**) et deux assiettes à bord rentrant (**fig. 149, CE 22 et CE 27**) proches des productions trouvées sur le site de Kerdalaün-Kerintin à Saint-Divy - Guipavas et qui datent de la première moitié du I<sup>er</sup> siècle (Ménez, 2014). Les trois autres vases recensés sont des écuelles ornées d'une incision sur la panse (**fig. 149, CE 13 et CE 14**) ou ornées de bandes lissées réalisées au brunissoir semblable à la céramique trouvée sur le site de la ZAC de Saint-Thudon à Guipavas (Simon, 2010). Enfin, une lèvre moulurée d'une cruche de type Sellès 3406 (Sellès, 2001, p. 201) datant de la seconde moitié du I<sup>er</sup> siècle, vient clore le corpus des céramiques culinaires.

### 2.6.4.2. La céramique modelée

La céramique commune englobe des poteries dont la technique de façonnage, par modelage ou par montage (plaque ou colombin). Ces vases se retrouvent associés aux céramiques gallo-romaines datant du Haut-Empire dans l'Ouest de la Gaule



et de manière récurrente dans les Pays-de-la-Loire (Joly et Seguiet, 2015). Les vases retrouvés sur le site de la ZAC nord Lavallot sont deux bords de pots à usage culinaire qui se différencient du répertoire laténien avec un bord à lèvre allongée droite légèrement déversée (fig. 149, CE 17) et par un pot à profil tronconique (fig. 149, CE 18). Ces céramiques sont à pâte siliceuse aux surfaces soigneusement lissées.

#### 2.6.4.3. La céramique fine

Les productions fines présentes sont une assiette en terra nigra (Ménez 1985) à panse oblique dont la lèvre est marquée par une gorge externe de type Ménez 53/55 (fig. 149, CE 02) datant de la première moitié du Ier siècle comme sur le site de Kerdalaün-Kerintin (Ménez, 2014, fig. 167, p. 222) associée à une panse à collerette d'une coupe Drag. 24/25 et une assiette Drag. 19 en sigillée de Centre Gaule produite dans les officines de Lezoux durant la première moitié du Ier siècle (Bet et Delor, 2000).

#### 2.6.4.4. Les amphores

Ce sont des amphores d'importation venant de la péninsule ibérique (Siraudeau, 1988) avec des fragments de Dressel 7/11 (dont 1 anse), des fragments de panses d'amphores Pascual 1 à pâte beige qui sont souvent trouvées dans des contextes datant du Ier siècle de notre ère ainsi qu'un fond d'une amphore vinicole Dressel 2/4 qui est une production locale.

#### 2.6.4.5. Les urnes funéraires

Les urnes sont des céramiques à pâte sombre dont l'une est ornée de bandes lissées verticales alternant avec des croix (fig. 103, CE28). Ce genre de décor se retrouve sur les vases datant du Ier siècle du diagnostic de la ZAC de Saint-Thudon à Guipavas (Simon, 2010).

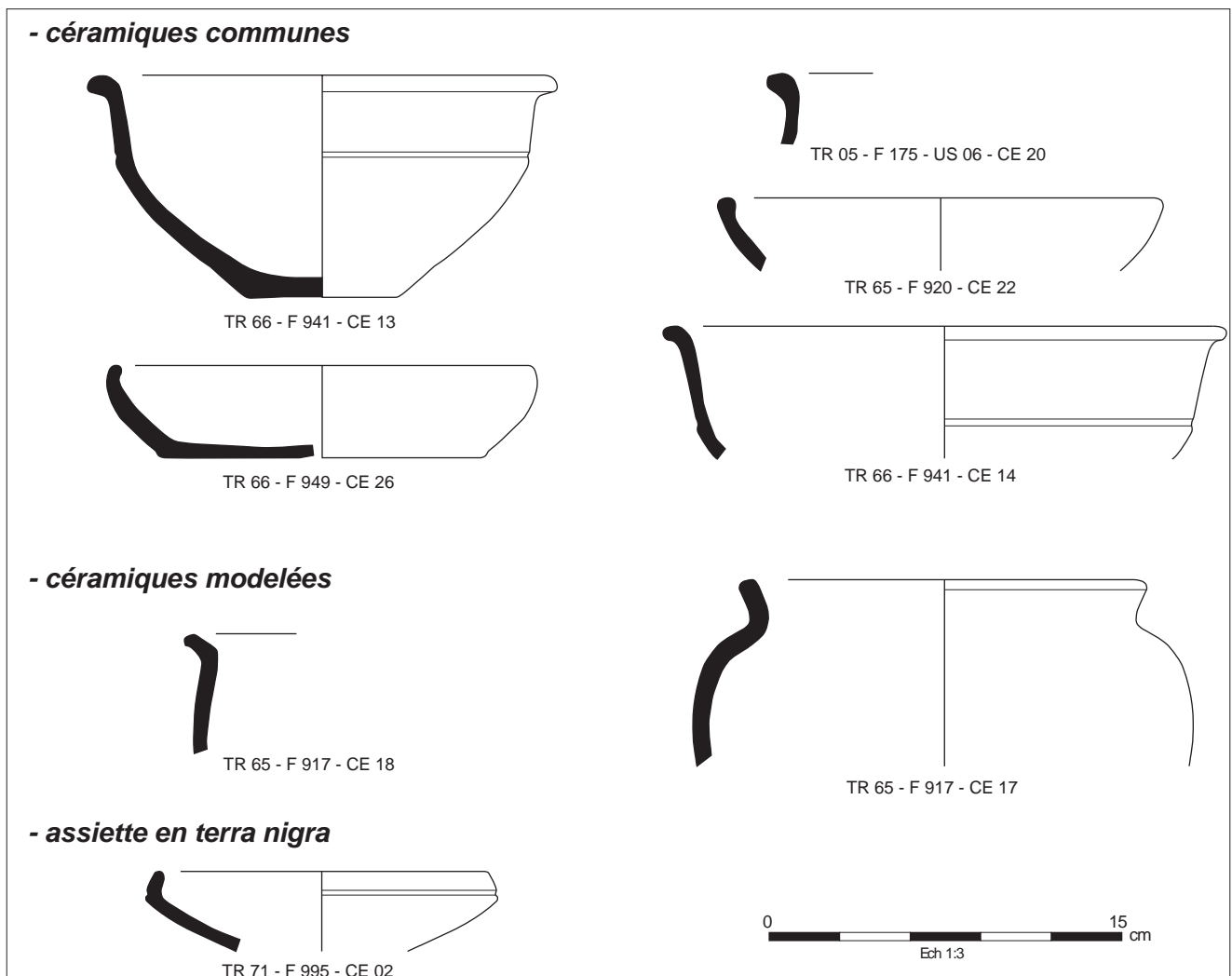


Fig. 149. Céramiques du Haut-Empire (DAO E. Coffineau).

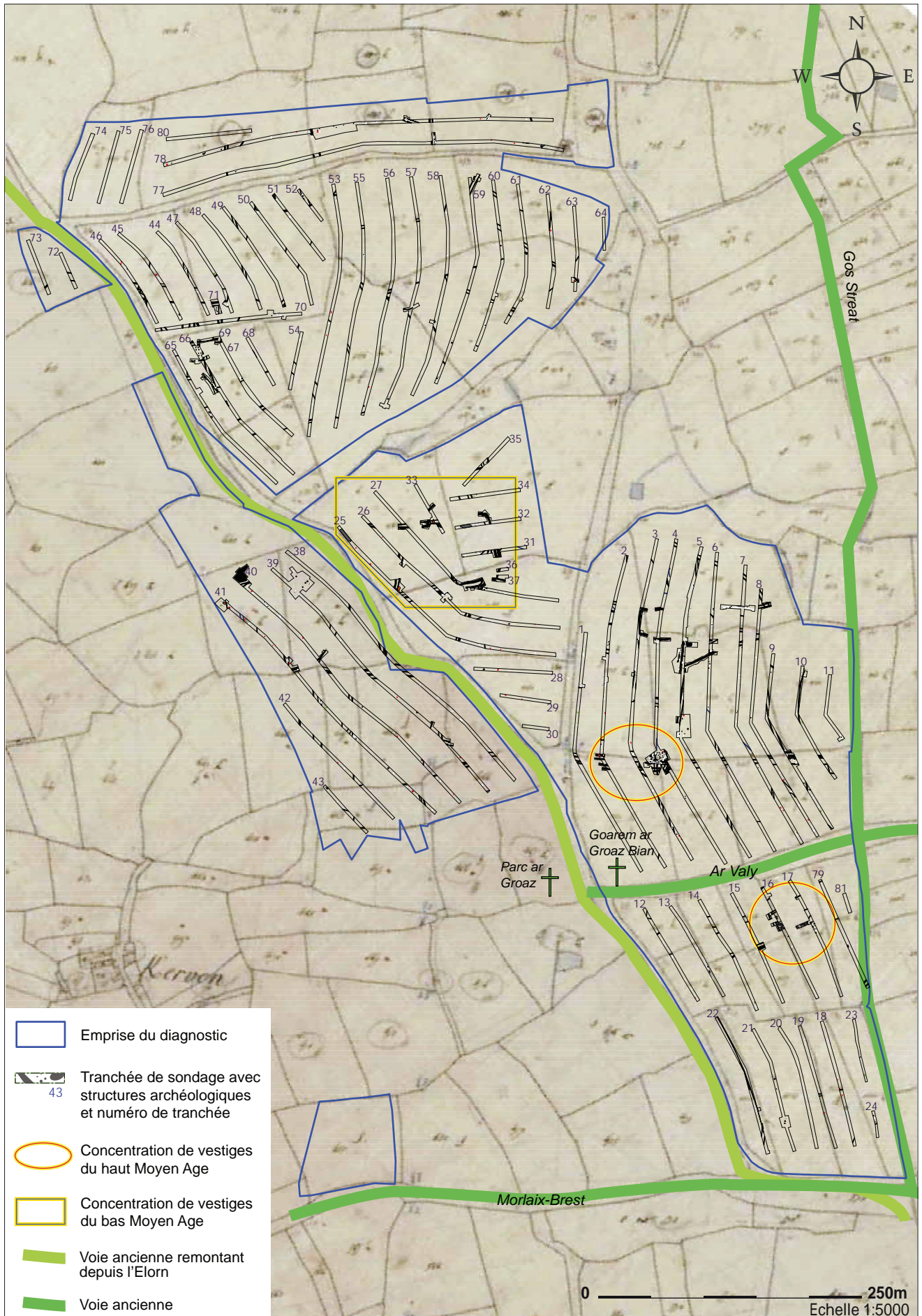


Fig. 150. Plan de répartition des vestiges médiévaux dans l'emprise du diagnostic sur fond de cadastre napoléonien.

## 2.7. Le Moyen Age

Le Moyen Age est bien représenté dans l'emprise du diagnostic (**fig. 150**). Un cimetière a été repéré dans la moitié sud sur un point haut, il est contraint au nord par le chemin Ar Valy, à l'ouest par la voie antique montant depuis l'Elorn et à l'est par Gos Streat. Les quelques éléments de chronologie relative tout comme la disposition des tombes vont vers une attribution au haut Moyen Age. Un peu au nord, quelques fosses et trous de poteau pourraient correspondre à une occupation domestique : elles ont aussi livré un peu de matériel du haut Moyen Age. On retrouve également de manière éparse quelques indices se rapportant à cette période. Enfin, plus au nord encore, sur une petite éminence, se trouve l'habitat ceinturé de fossés de Prat Mellec qui est daté pour l'essentiel entre le XIII<sup>e</sup> et le XIV<sup>e</sup> siècle.

Les céramiques médiévales retrouvées dans les faits sondés (459 fragments dont 30 bords et 5 fonds, *cf.* en annexe, tableau d'inventaire général de la céramique médiévale et moderne). Elles sont présentes sur l'ensemble du site, mais les tessons sont pour l'essentiel isolés. Les formes identifiées et les productions indiquent une occupation du site au cours du VII<sup>e</sup> siècle jusqu'au XIV<sup>e</sup> siècle.

### 2.7.1. Le haut Moyen Age

#### 2.7.1.1. Découverte d'un cimetière médiéval (M. Le Puil-TeXier<sup>12</sup>) (**fig. 151**)

Les tranchées de sondage 16 et 17 ont fait apparaître un ensemble funéraire, dont au moins 45 tombes ont été mises au jour (**fig. 152**). Elles se développent sur une large bande d'une trentaine de mètres de largeur et d'une longueur d'au moins 45 mètres.

Bien que nous n'ayons pas les limites précises de l'ensemble, on sait qu'il ne se développe pas au-delà des tranchées 15 à l'ouest et 79 à l'est. Compte-tenu de la densité des tombes découvertes, on peut estimer que ce cimetière comptait une communauté d'au moins une centaine d'individus, constituant sans doute la population d'un habitat dont l'emplacement probable a pu être identifié à 200 m au nord du cimetière dans la tranchée 4 (**fig. 15t3**).

Neuf sépultures (**tab. 6**) ont été fouillées afin de pouvoir préciser le contexte chronologique de cette zone funéraire. Malheureusement aucune d'entre elles ne contenait de mobilier associé, ni de squelette conservé, permettant de proposer une datation. Seuls quelques tessons de céramique attribués à la période alto-médiévale retrouvés dans le fond du comblement de deux tombes (F. 350 et 356) fournissent un terminus post quem. Dans F350, un fragment de panse modelée à pâte fine noire a été mis au jour et, dans la tombe F356, c'est un fragment de panse à pâte granuleuse brun-gris qui a été découvert (détermination E. Coffineau).

Les sondages ont permis de déceler un mode d'organisation des sépultures en rangées disposées parallèlement, selon un axe cardinal E-O (**fig. 152**). Certaines d'entre elles sont accolées (F593-371, Tr. 17), voire se recoupent (F644-350-395, Tr. 16).

Les fosses, creusées dans la roche (phyllonites) sous-jacente, présentent généralement un plan rectangulaire, leurs dimensions (**tab. 6**) variant entre 1 et 2 m de longueur et entre 0,30 et 0,50 m de largeur. Les plus petites d'entre elles peuvent être raisonnablement attribuées aux sujets les plus jeunes (enfants, adolescents). Dans l'ensemble, elles sont conservées sur une faible profondeur (entre 15 et 26 cm). Hormis deux fosses (F400 et F398, Tr 16), elles ne comportent pas d'aménagement particulier.

Quelques blocs de phyllonites évoquent la possibilité d'un calage de contenant en bois (F400). Mais ce sont les seuls indices permettant d'étayer cette hypothèse.

12. Nous tenons à remercier Ronan Perennec du Centre départemental d'Archéologie du Finistère et J.- F. Villard, archéologue à l'INRAP de nous avoir transmis plusieurs références bibliographiques







Fig. 152. Plan général du cimetière médiéval en tranchées 16 et 17 à partir d'orthophotos géoréférencées.

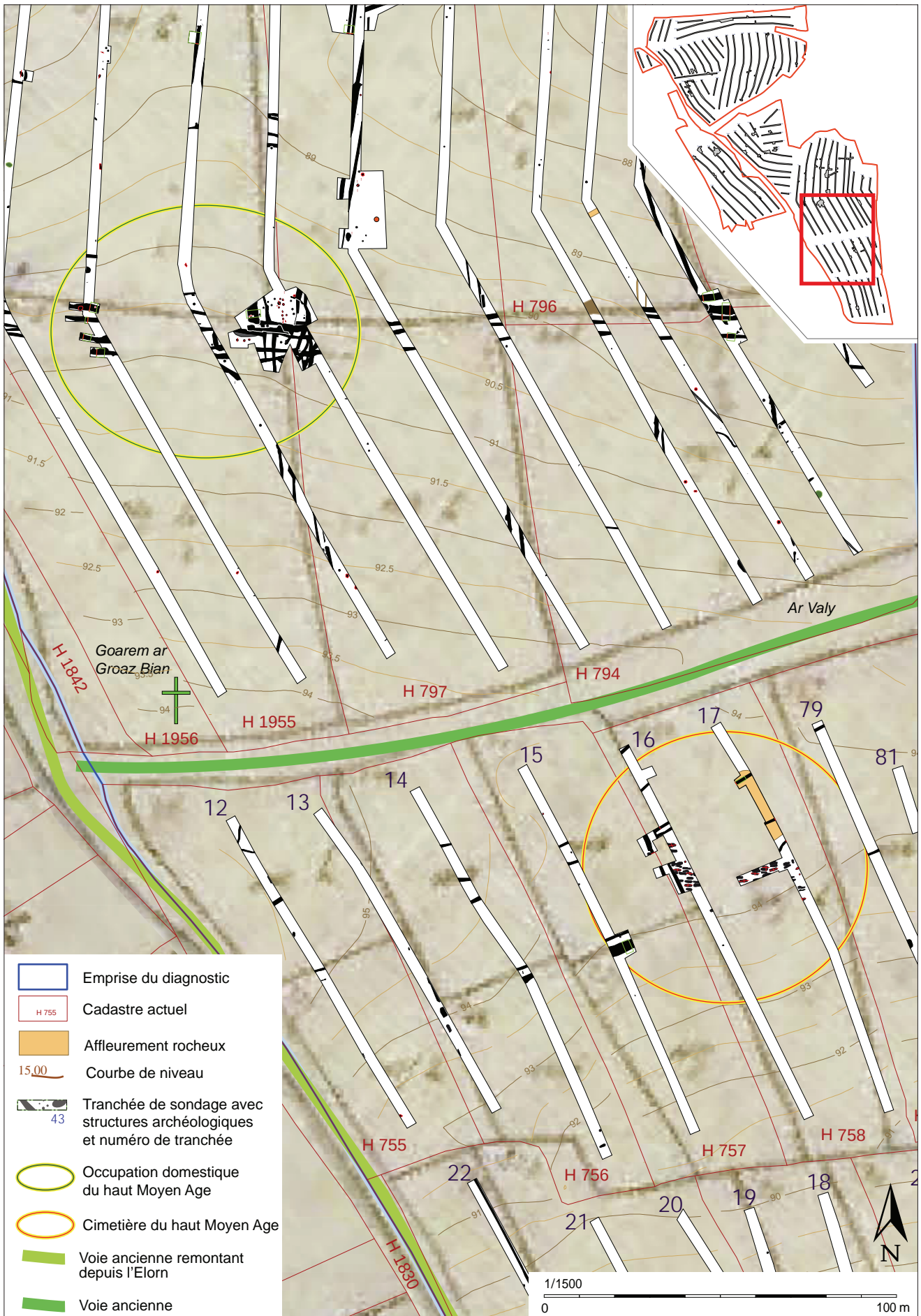


Fig. 153. Plan général du cimetière et de l'occupation domestique se trouvant à environ 200 m au nord .

Dans la tombe F398 (Tr 16), les éléments lithiques sont disposés à plat au fond et à l'extrémité est de la fosse. Leur fonction est moins évidente : support d'un contenant en bois, ou surélévation de la tête ou des pieds du défunt ? Les autres tombes renvoient au modèle courant des tombes dites en « pleine terre », soit sans réceptacle.

La coexistence de plusieurs modes de sépultures au sein du même ensemble funéraire est un fait connu dans les cimetières armoricains du haut Moyen Âge (Galliou, 1989, p. 88), mais dans des contextes très favorables de conservation et par conséquent assez rares. On trouve peu d'exemples dans le département du Finistère en dehors des sites de l'abbaye de Landévennec, de la nécropole de Saint-Urnel en Plomeur (Giot, Monnier, 1977) et des sépultures plus tardives (bas Moyen Âge) de la place Laënnec à Quimper (Le Bihan, Villard, 2005). Les sépultures recensées sont généralement isolées ou connues à travers quelques fouilles partielles d'un lieu de culte auxquelles elles sont souvent associées (Guigon, 1994 ; Guigon, Bardel, 1989). La grande part de la documentation actuelle est issue des découvertes fortuites relatées au XIX<sup>e</sup> et XX<sup>e</sup> siècles. Par ailleurs, la majorité des données archéologiques concernent surtout la Haute-Bretagne (Guigon, 1994) et plus particulièrement l'Ille-et-Vilaine. A titre d'exemples, on peut mentionner les fouilles récentes du cimetière de la Zac des Lignes de la Gonzée à La Mézière (Escat, 2011), ou encore celle de Bréal-sous-Vitré à Vitré (Colleter et al., 2012).

Ainsi le mode d'organisation des sépultures en rangées, la présence de regroupement de tombes qu'il soit familial ou social, la coexistence de plusieurs modes d'inhumations (en pleine terre et dans de probables contenants en bois) et, enfin, l'absence de mobilier accompagnant les défunts, sont des caractéristiques identifiées dans les cimetières de Bréal-sous-Vitré ou de Bais.

Les principales problématiques posées par cette découverte sont la période d'utilisation de la zone funéraire mise au jour et son statut. Dans l'hypothèse d'une fouille à venir, une étude historique serait nécessaire et permettrait peut-être de nous éclairer sur la relation éventuelle à un habitat et/ou à un lieu de culte. Les premiers indices (organisation des tombes, orientations, mobilier céramique inclus dans le comblement des fosses), certes insuffisants, nous orientent vers un espace funéraire médiéval. Son étude ouvre des perspectives de recherche très intéressantes au niveau régional en raison des carences documentaires évoquées plus haut.

**Tabl. 6.** Dimensions des sépultures du cimetière médiéval.

N° Tr	N° fait	Niveau d'app. (m)	L (m)	l (m)	Prof. (m)	Figure
TR 16	F346	0,4	1,8	0,74	0,22	<b>fig. 154</b>
TR 16	F347	0,4	1,67	0,63		
TR 16	F349	0,4	1,2	0,45		
TR 16	F350	0,4	2,9	0,8		
TR 16	F351	0,4	1,7	0,5		
TR 16	F352	0,4	2,3	0,6		
TR 16	F353	0,4	1,86	0,6		
TR 16	F354	0,4	1,67	0,5		
TR 16	F355	0,4	1,85	0,8		
TR 16	F356	0,4	2,2	0,8	0,26	<b>fig. 155</b>
TR 16	F357	0,5	0,77	0,76		
TR 17	F362	0,4	2,1	0,67		
TR 17	F363	0,5	2,24	0,63		
TR 17	F364	0,4	2,05	0,46		
TR 17	F365	0,4	0,9	0,7		
TR 17	F367	0,4	1,1	0,54	0,2	<b>fig. 156</b>
TR 17	F369	0,4	0,9	0,44		
TR 17	F370	0,4	0,9	0,56		
TR 17	F373	0,4	0,95	0,62	0,14	<b>fig. 157</b>
TR 17	F383	0,5	2,1	0,56		
TR 17	F384	0,5	2,3	0,72	0,22	<b>fig. 158</b>
TR 17	F385	0,5	1,7	0,68	0,24	<b>fig. 159</b>
TR 17	F386	0,5	2,1	0,58		
TR 17	F387	0,5	1,7	0,55		
TR 17	F388	0,5	0,6	0,5		
TR 17	F389	0,5	2,3	0,8		
TR 17	F390	0,4	2,1	0,6	0,12	<b>fig. 160</b>
TR 17	F391	0,4	1,82	0,55		
TR 17	F392	0,4	2,27	0,76		
TR 17	F393	0,4	1,7	0,56		
TR 16	F394	0,4	1,7	0,53		
TR 16	F395	0,4	2	0,87		
TR 16	F396	0,4	2,8	0,6		
TR 16	F398	0,4	1,95	0,6	0,2	<b>fig. 161</b>
TR 16	F399	0,4	0,97	0,62		
TR 16	F400	0,4	1,76	0,5	0,16	<b>fig. 162</b>
TR 16	F401	0,4	1,2	0,46		
TR 16	F402	0,4	1,2	0,54		
TR 16	F403	0,4	1,7	0,8		
TR 16	F405	0,4	2,25	0,65		
TR 16	F431	0,5	1,37	0,55		
TR 17	F593	0,4	2	0,7		
TR 17	F595	0,4	1,4	0,3		
TR 17	F634	0,5	1	0,28		
TR 16	F644	0,4	1,1	0,45		



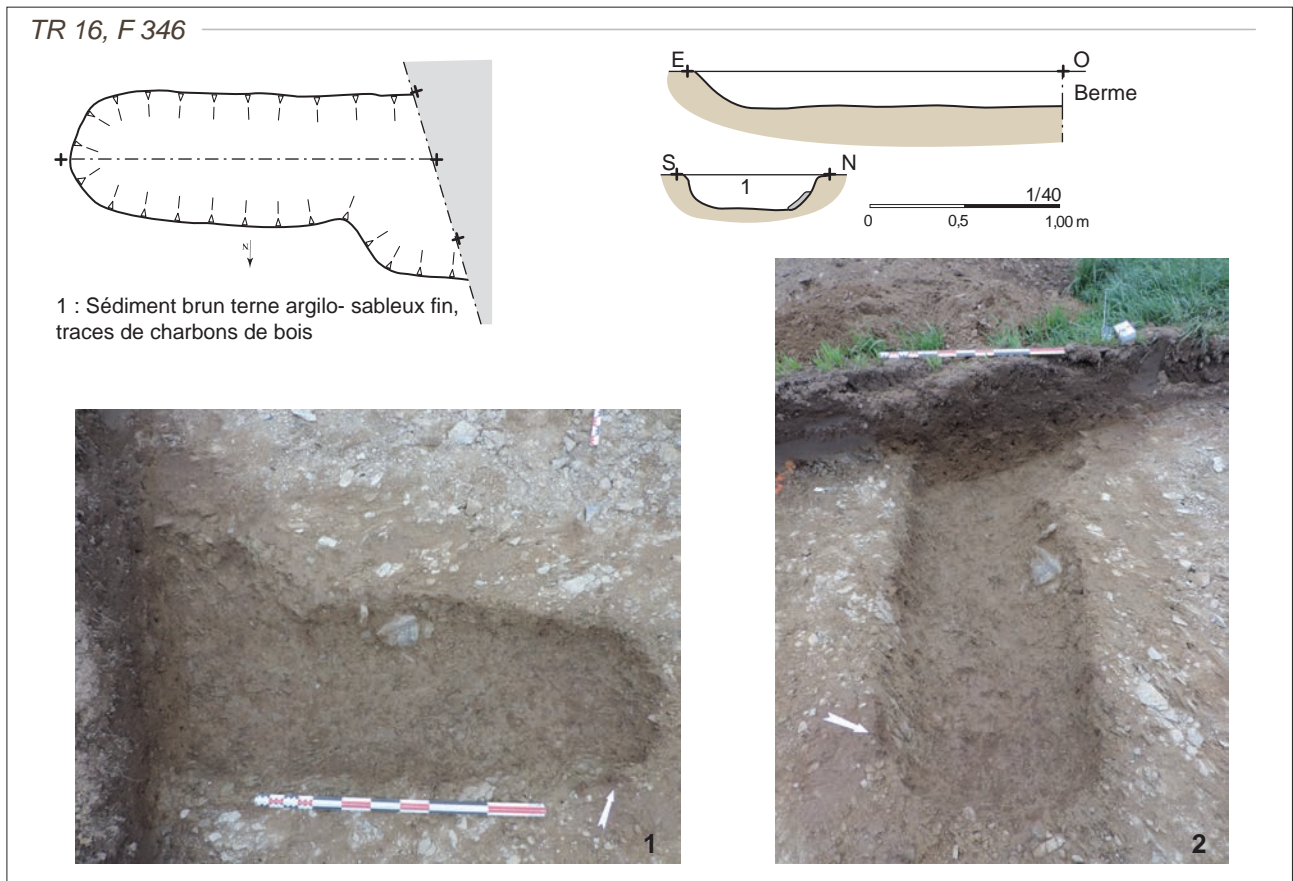


Fig. 154. Plan et coupe de la sépulture F346, Tr 16 ; vue verticale et vue oblique depuis le nord-est en fin de fouille.

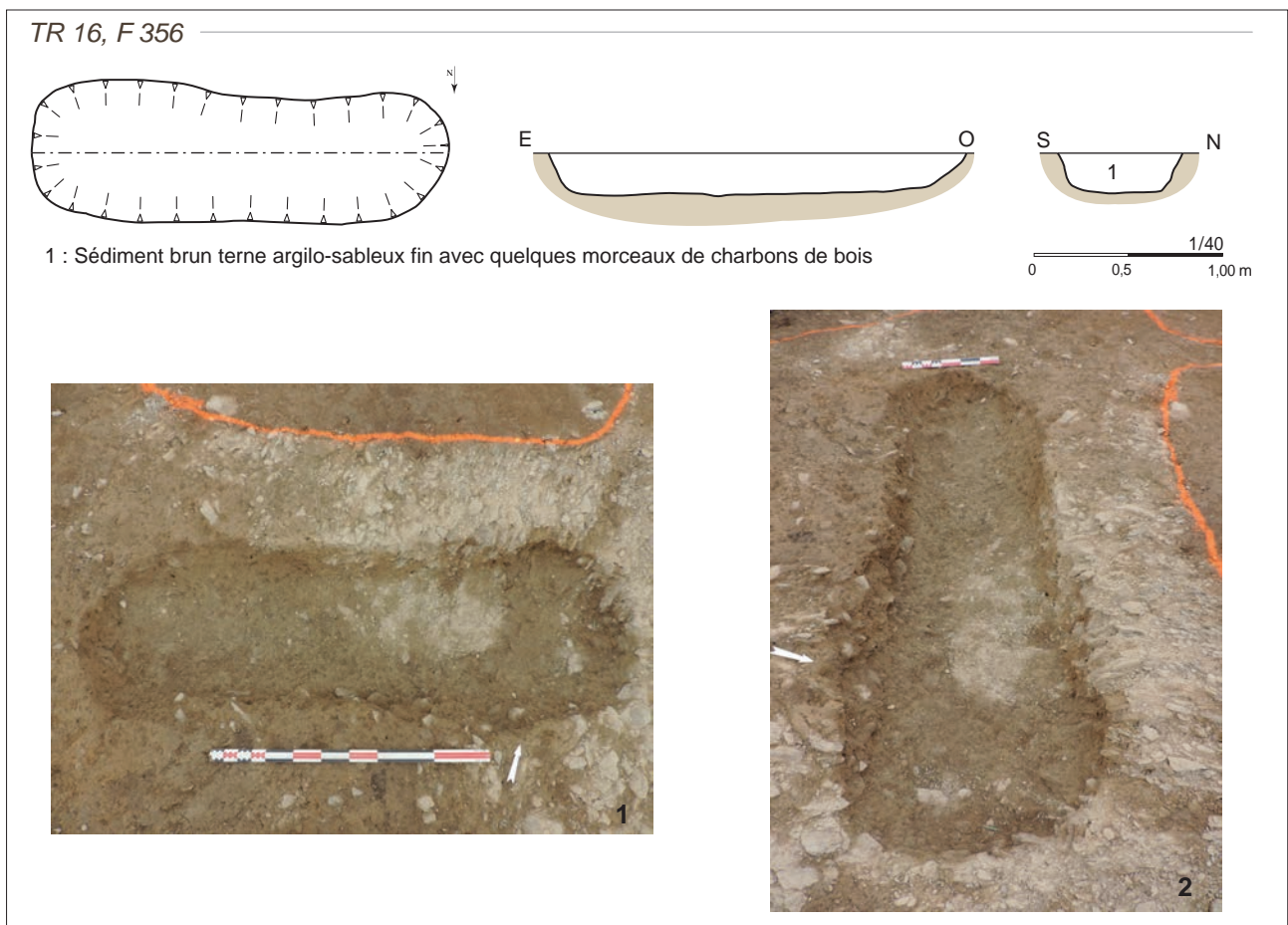
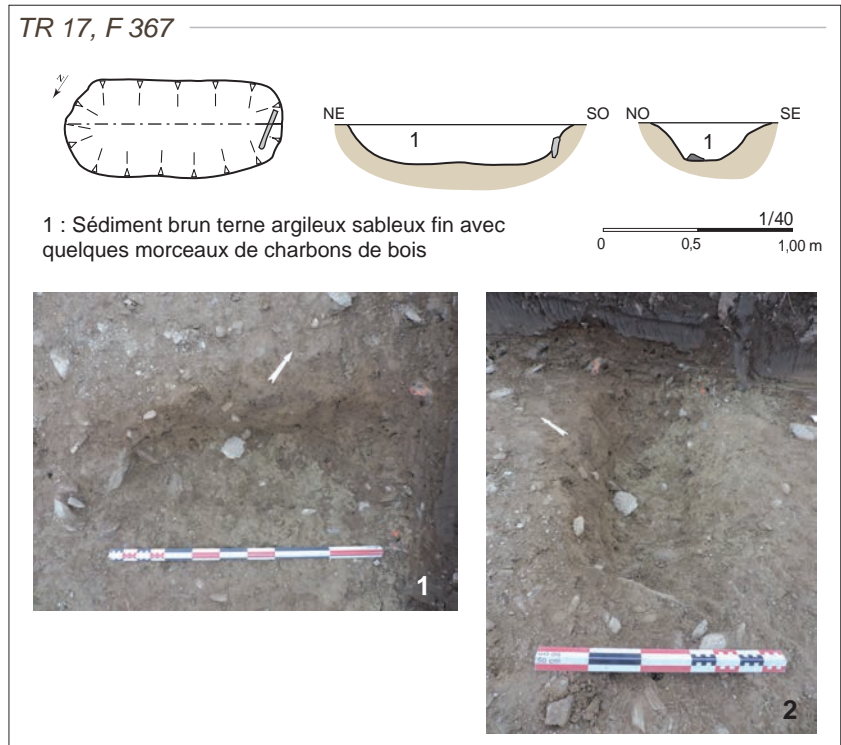
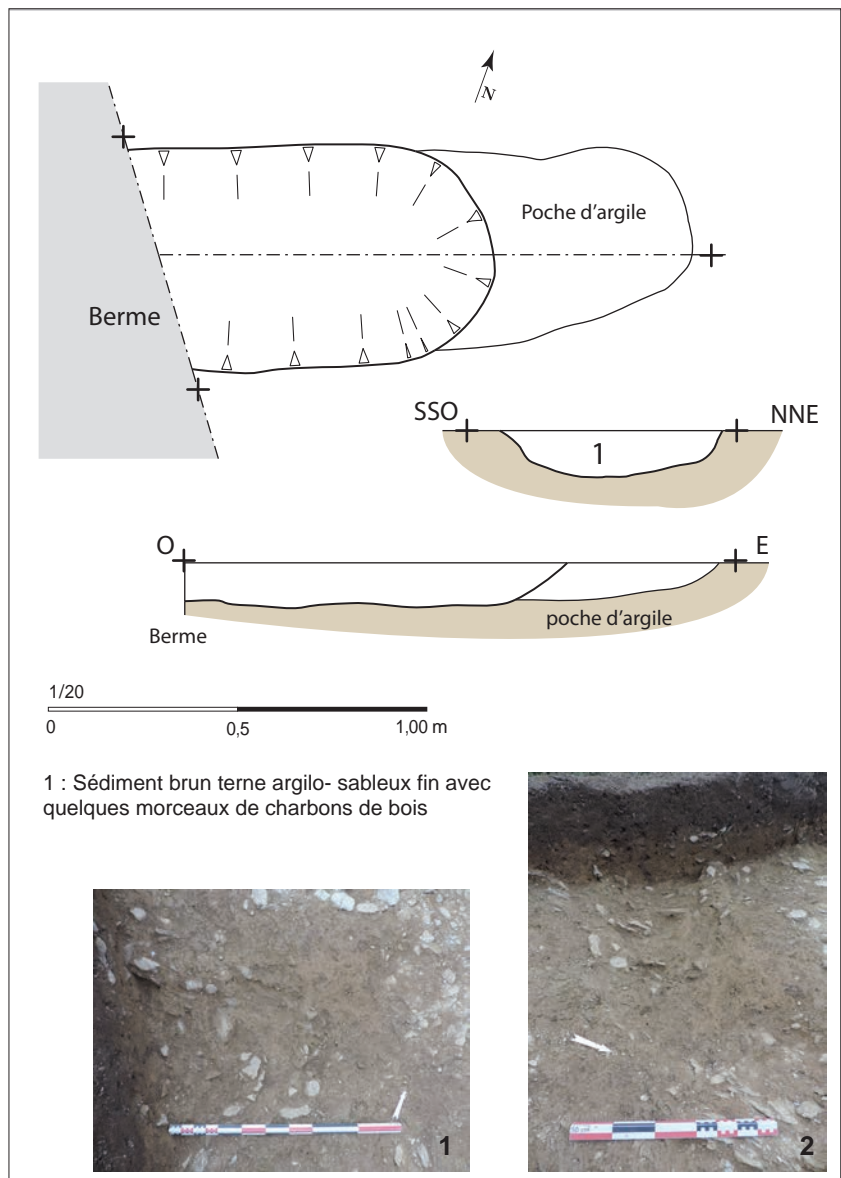


Fig. 155. Plan et coupe de la sépulture F356, Tr 16 ; vue verticale et vue oblique depuis le nord-est en fin de fouille.

**Fig. 156.** Plan et coupe de la sépulture F367, Tr 17 ; vue verticale et vue oblique depuis l'O-SO en fin de fouille.



**Fig. 157.** Plan et coupe de la sépulture F373, Tr 17 ; vue verticale et vue oblique depuis l'ENE en fin de fouille.





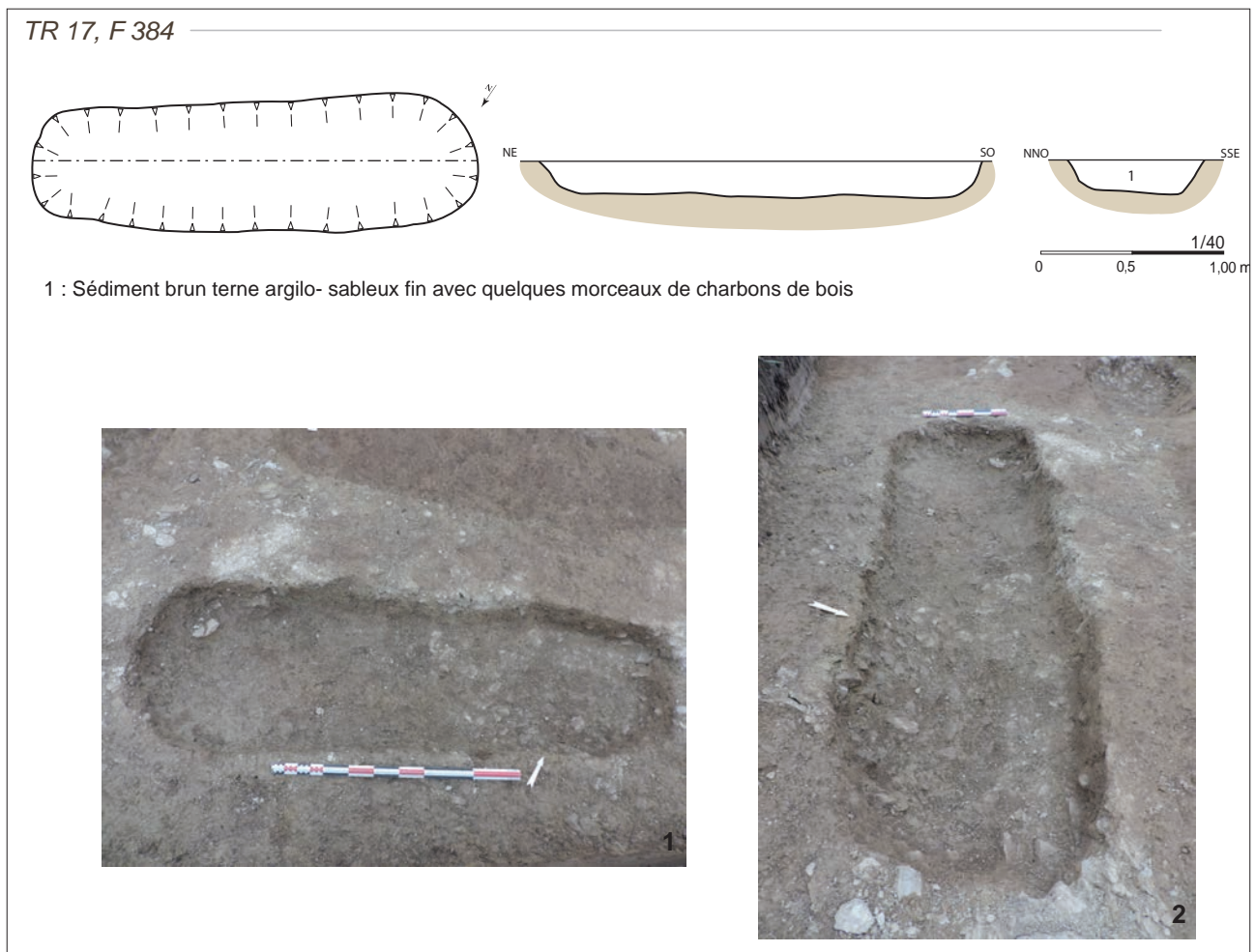


Fig. 158. Plan et coupe de la sépulture F384, Tr 17 ; vue verticale et vue oblique depuis le nord-est en fin de fouille.

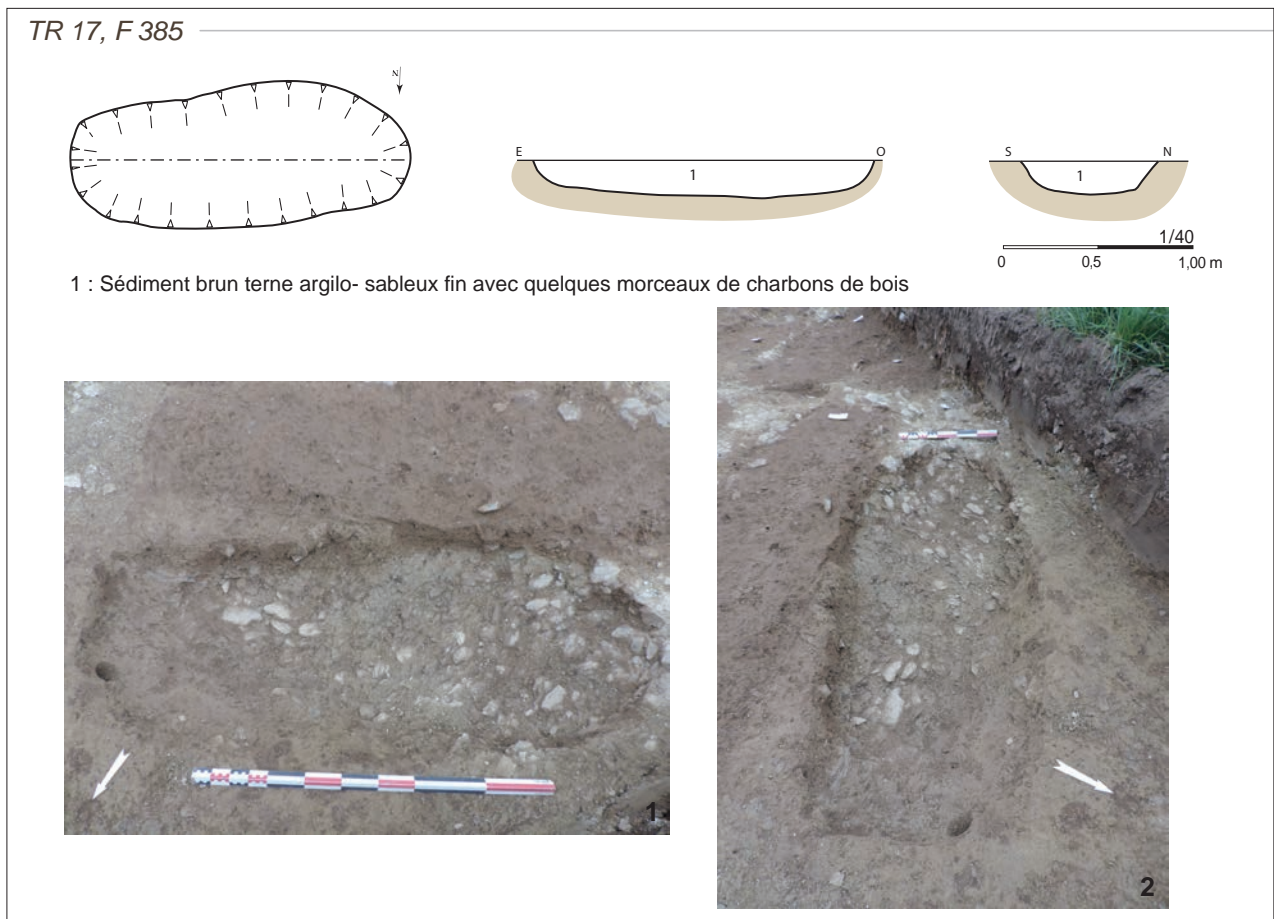


Fig. 159. Plan et coupe de la sépulture F385, Tr 17 ; vue verticale et vue oblique depuis l'ENE en fin de fouille.

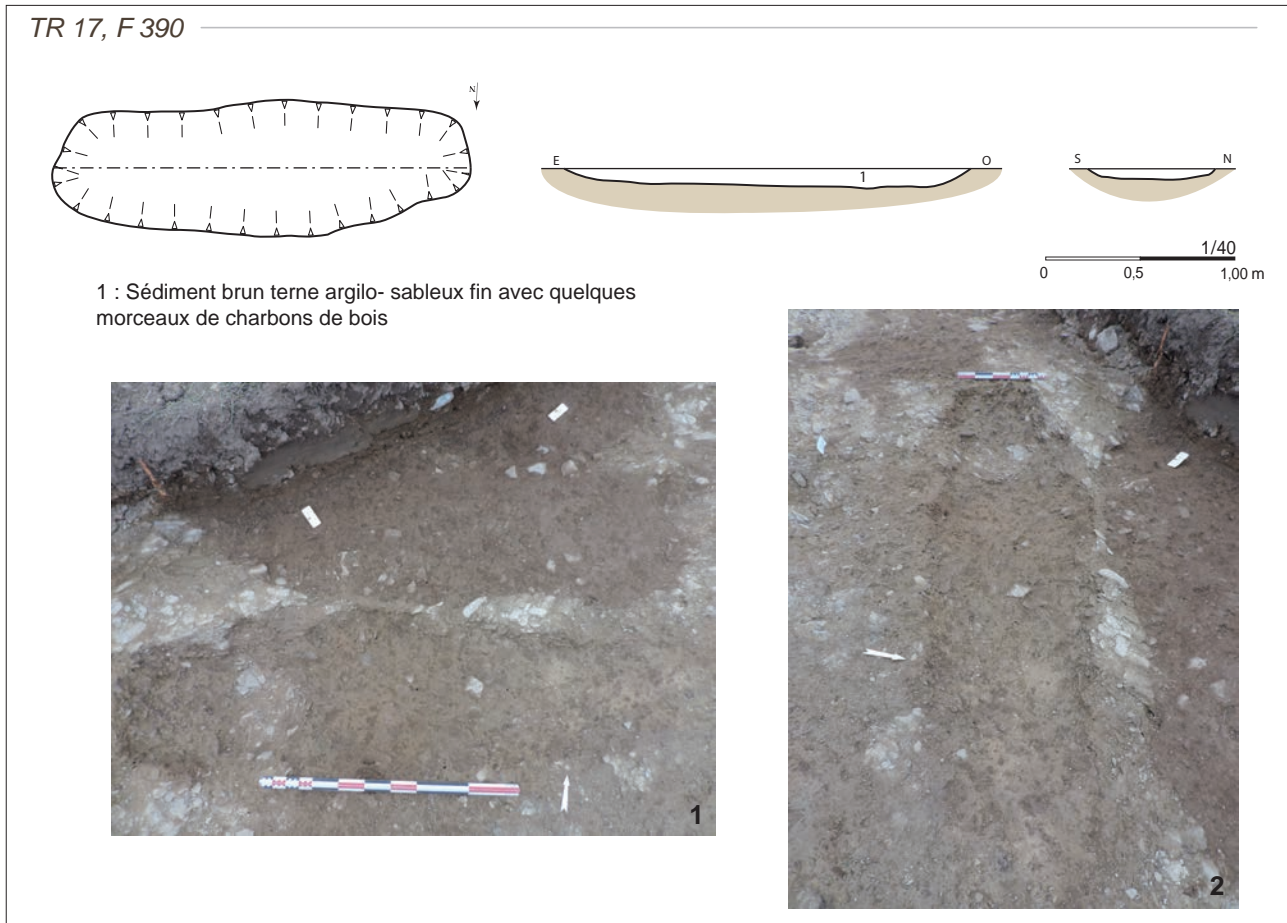


Fig. 160. Plan et coupe de la sépulture F390, Tr17 ; vue verticale et vue oblique depuis l'ENE en fin de fouille.

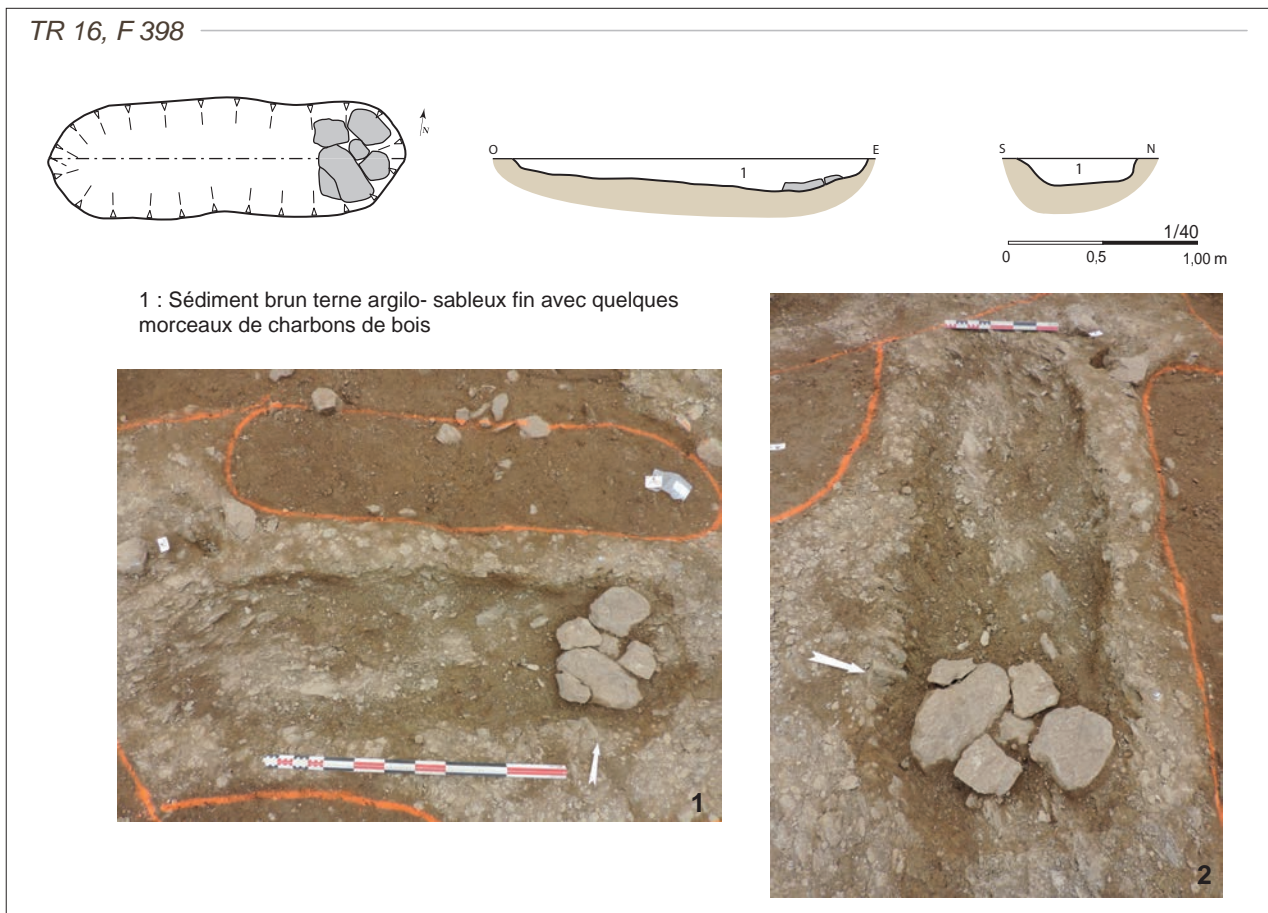
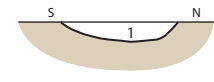
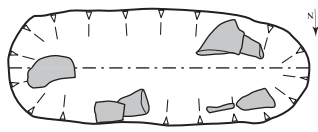


Fig. 161. Plan et coupe de la sépulture F398, Tr 16 ; vue verticale et vue oblique depuis l'est en fin de fouille.



TR 16, F 400



1/40  
0 0.5 1,00 m

1 : Sédiment brun terre argilo- sableux fin avec quelques morceaux de charbons de bois

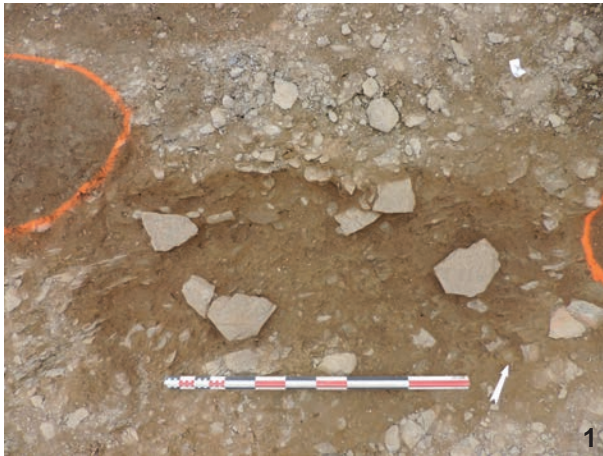


Fig. 162. Plan et coupe de la sépulture F400, Tr 16 ; vue verticale et vue oblique depuis l'ENE en fin de fouille.

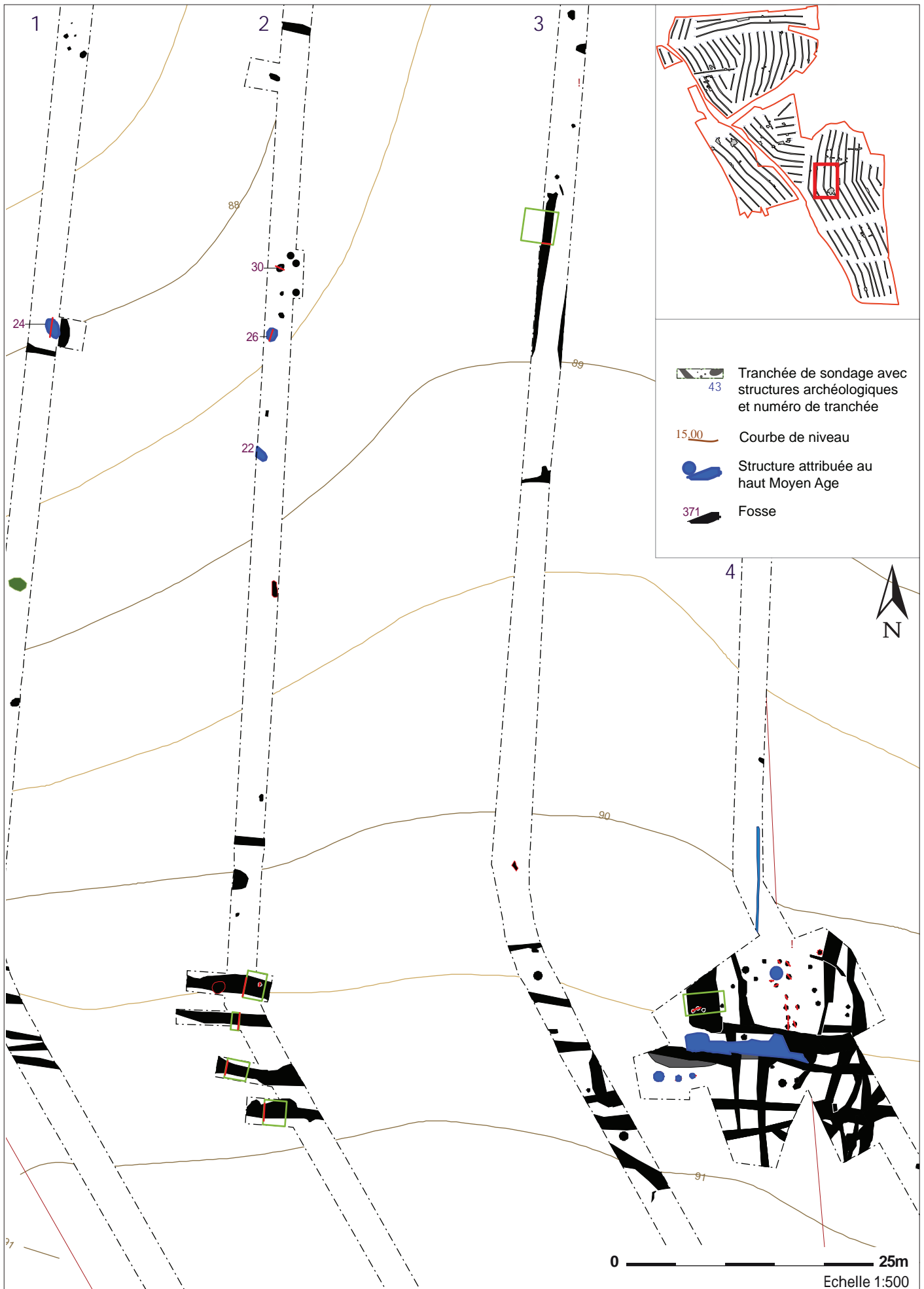


Fig. 163. Plan général des faits attribués ou supposés appartenir au haut Moyen Age dans le secteur compris entre le cimetière et le mamelon.

### 2.7.1.2. Une occupation domestique du haut Moyen Age

A environ 200 m au nord du cimetière et donc du chemin ar Valy, plusieurs structures ont livré du mobilier céramique alto médiéval (**fig. 163**). Il s'agit pour l'essentiel de trous de poteau et de fosses qui laissent supposer la présence d'une occupation domestique, peut-être en lien avec le cimetière.

#### Les fosses et trous de poteau

En tranchée 2, l'extrémité de fosse F59, prise sous la berme, a donné au décapage un fragment de panse à pâte micacée brun-noir. Plus au sud, lors du décapage de la fosse F22, c'est un fragment de panse à pâte micacée orange que nous avons recueilli. Entre ces deux fosses, existent deux petites concentrations de faits (trous de poteau et fosses) (**fig. 165**). Deux ont l'objet d'un test manuel.

F30 est une petite fosse à profil en cuvette mesurant 65 sur 50 cm pour seulement 18 cm de profondeur (**fig. 164**). A quelques mètres au sud, F26 est une petite fosse ovale qui mesure 1,3 m de longueur sur 55 de largeur et 26 cm de profondeur (**fig. 166**). Elle présente elle-aussi un profil en cuvette à fond concave. Un seul fragment de panse modelée brune y a été récolté, E. Coffineau hésite à le classer dans le haut Moyen Age.

Rappelons également qu'au même niveau en tranchée 1, un ensemble de fosses a été mis au jour. Une seule a été testée mais n'a malheureusement livré aucun mobilier, il s'agit de la structure F24. Cette fosse empierrée a une forme irrégulière en plan ; elle mesure 1,5 m de diamètre pour 26 cm de profondeur (**fig. 167**). Elle n'est pas sans rappeler la fosse F317 en tranchée 4.

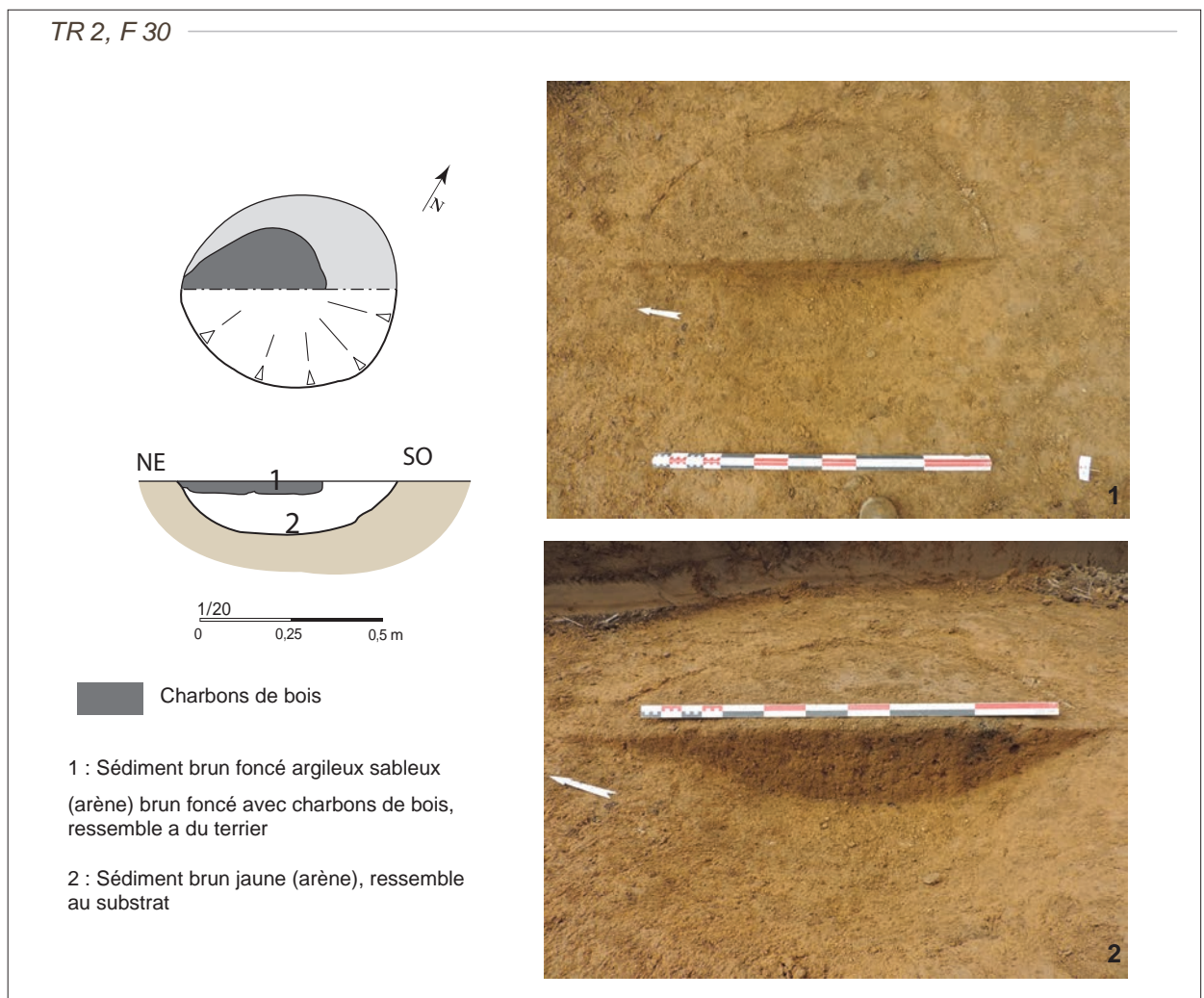


Fig. 164. Plan et coupe de la fosse F30, Tr 2 ; vue verticale après fouille à 50% et vue de la coupe depuis le sud-ouest.

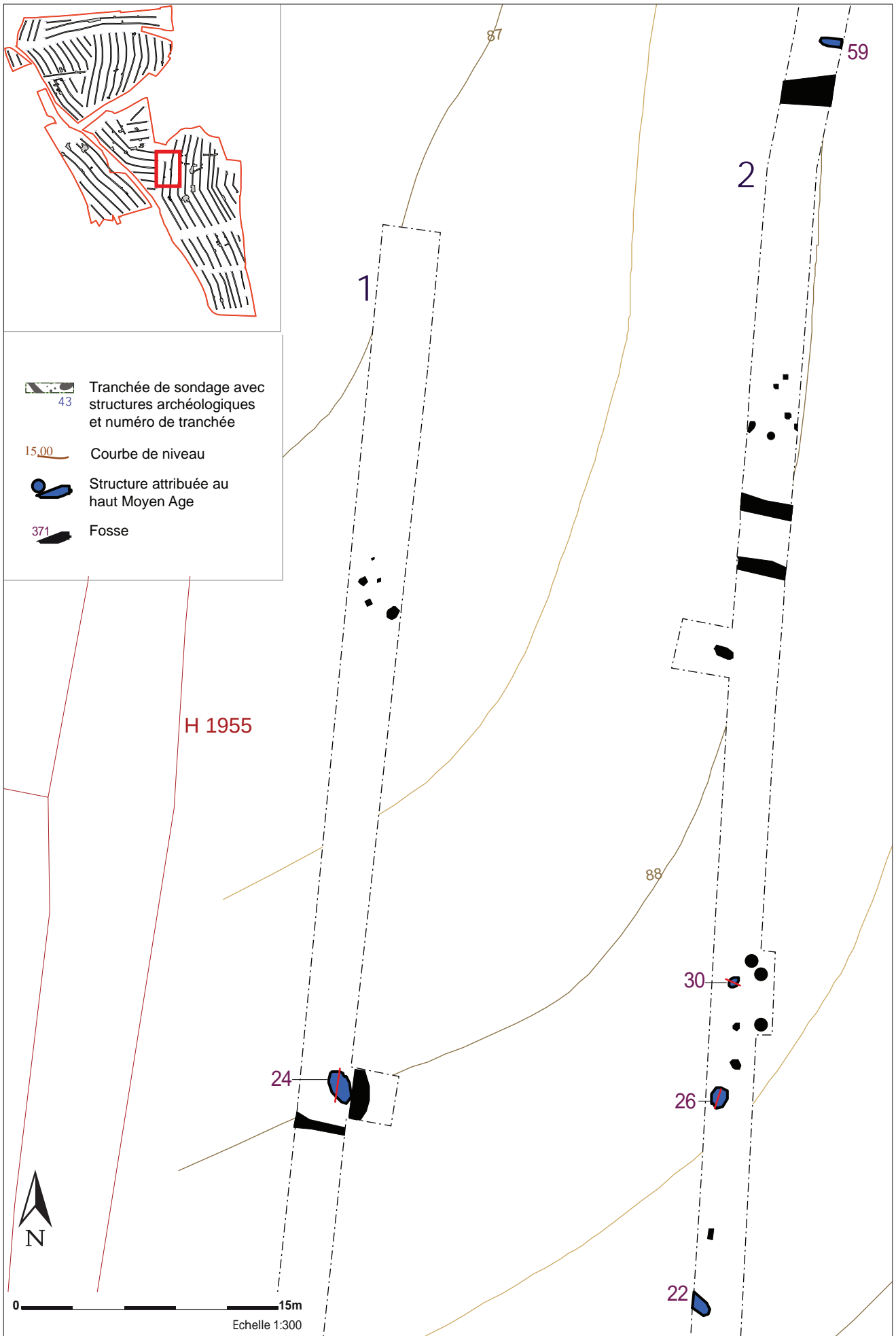


Fig. 165. Zoom sur la tranchée 2 entre F59 au nord et F26 au sud.



Fig. 166. Plan et coupe de la fosse F26, Tr 2.

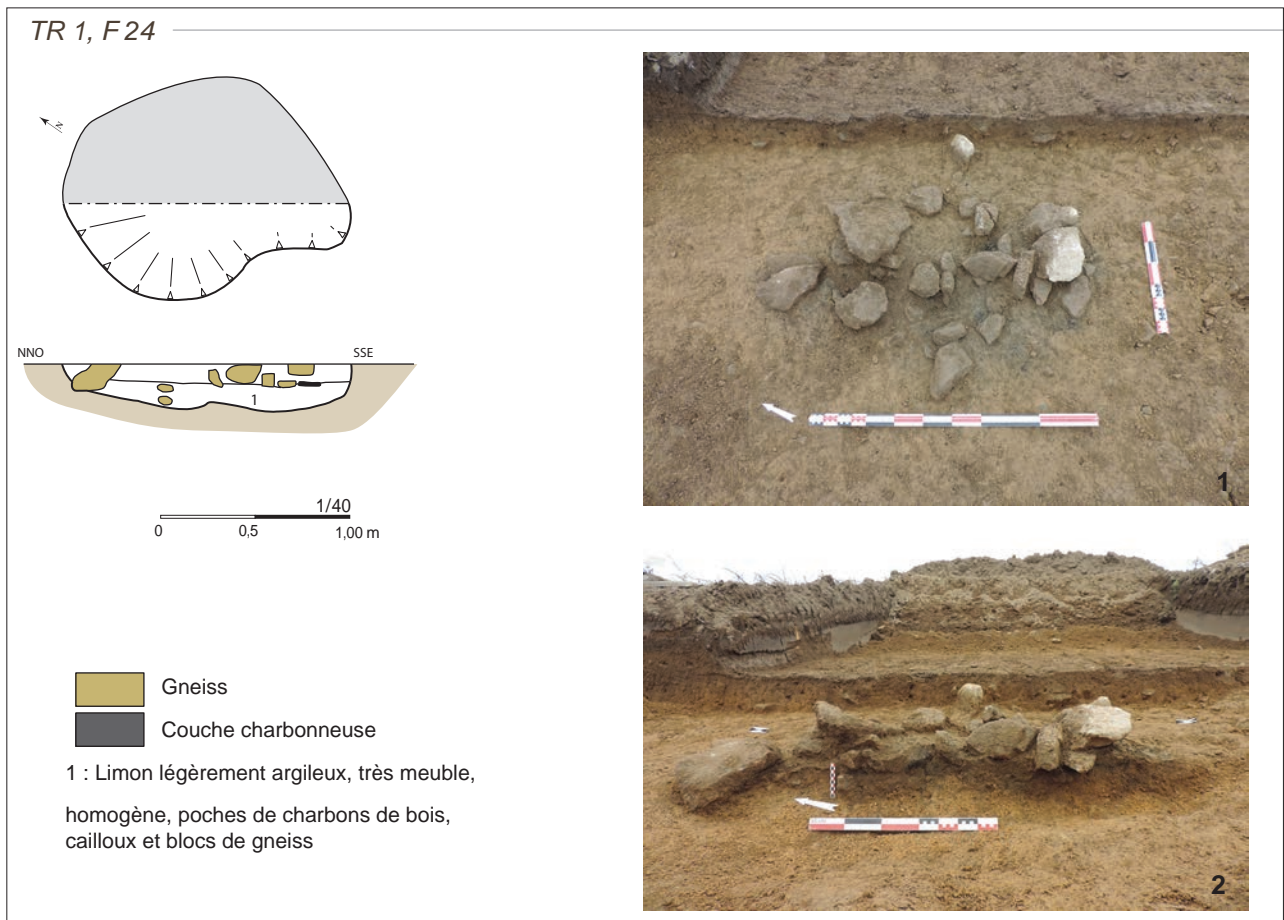
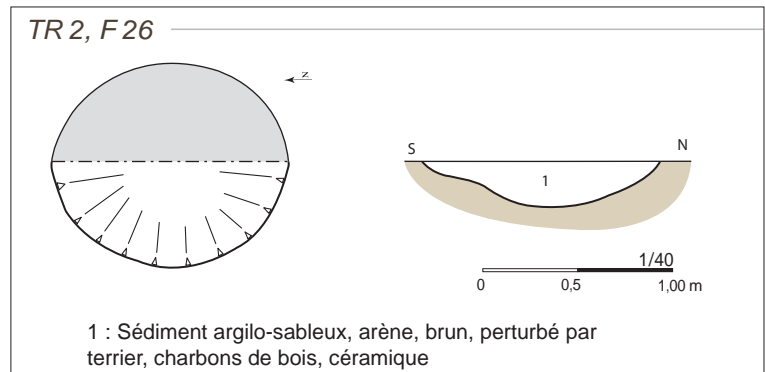


Fig. 167. Plan et coupe de la fosse empierré F24, Tr 1 ; vue depuis le sud-ouest après nettoyage et vue de la coupe depuis le sud-ouest.

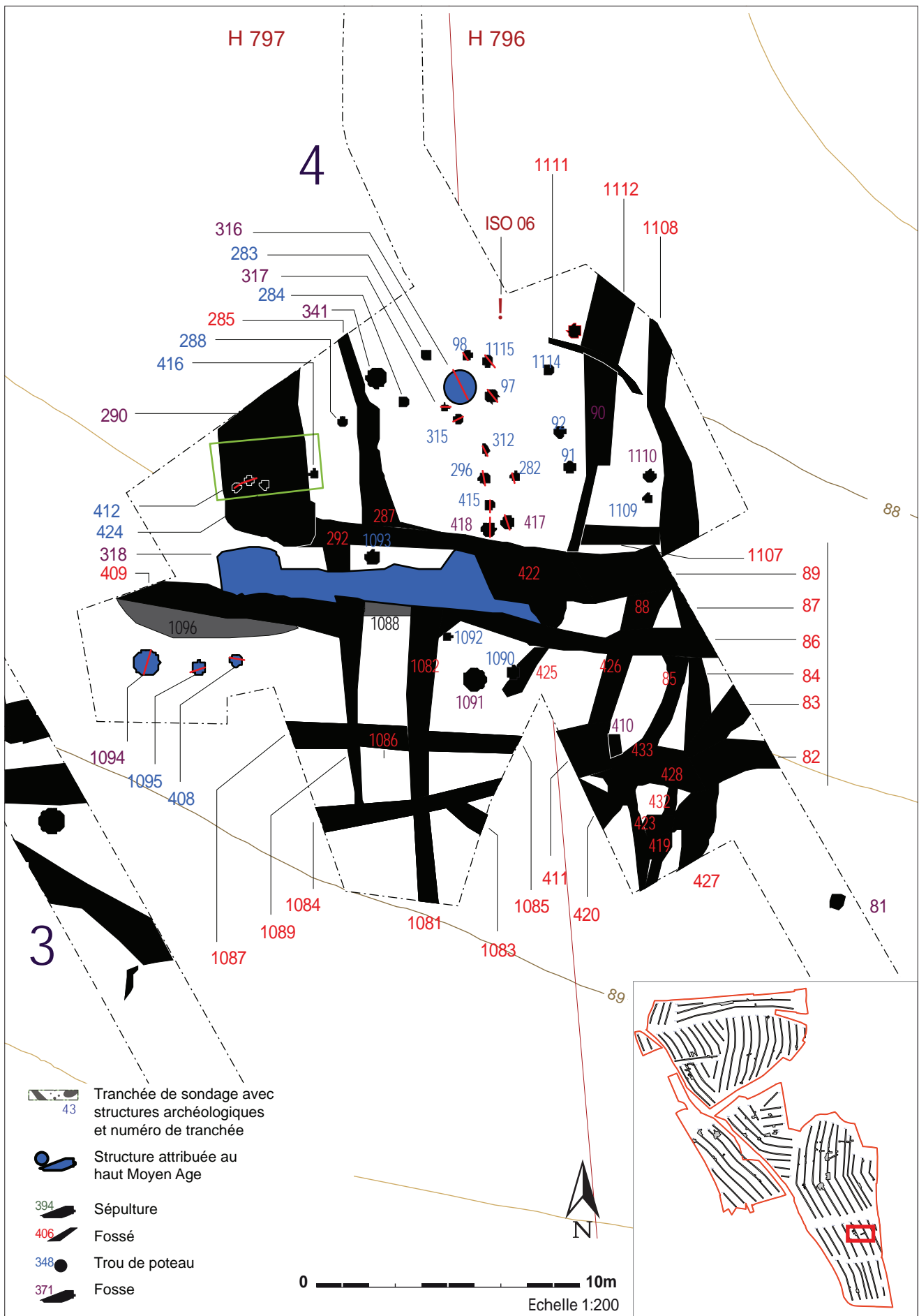


Fig. 168. Zoom sur la concentration de faits et de fossés en tranchée 4 .

En tranchée 4, une concentration de trous de poteau et de fosses a été reconnue ; ces structures sont partiellement masquées par un nœud de fossés dont certains sont contemporains (**fig. 168 et tabl. 7**). Plusieurs structures ont été testées mais seules les fosses 317 et 318 ont livré un petit lot de tessons attribuables au haut Moyen Age. A quelques mètres au nord-est, l'isolat 2 en tranchée 5 correspond à un fragment de panse ornée de cordons à pâte micacée orange (**fig. ? , CE 10**). En l'état des ouvertures, les trous de poteau ne dessinent rien d'autre en plan que quelques alignements difficilement interprétables.

F317 est une fosse qui mesure 1,4 m de longueur pour 1,2 m de largeur et 18 cm de profondeur. Son comblement est constitué d'un limon argileux brun moyen hétérogène et meuble mélangé à des poches d'arène jaunâtre. En partie centrale, on observe une concentration de cailloux de granite qui pourraient correspondre au reliquat d'un calage (**fig. 169**). C'est de cette partie que provient un fragment de panse à pâte très micacée beige et à surface externe noircie. A l'ouest de la fenêtre, une autre petite fosse a été testée, il s'agit du fait F1094 qui mesure 1 m de longueur sur 0,78 m de largeur pour 31 cm de profondeur. Le creusement est irrégulier, les bords évasés et le fond plat. Le comblement est composé d'un limon argileux brun moyen, homogène et meuble, auquel sont mêlés des cailloux de quartz et de granite (**fig. 171**). F1094 forme un alignement avec les trous de poteau F1095 et 408 qui diffèrent des autres testés par une profondeur supérieure et un profil en U à fond plat. Le trou de poteau F1095 a donné à la fouille un fragment de panse à pâte granuleuse crème et à surface externe noircie, attribuée sans plus de précision au haut Moyen Age. Les autres trous de poteau testés se trouvent davantage dans la partie est de la fenêtre et ont tous plus ou moins des profils en cuvette aux bords évasés. Ils sont comblés avec un limon brun pouvant parfois tirer sur le gris. Dans quelques cas, des cailloux de granite sont présents dans le remplissage.

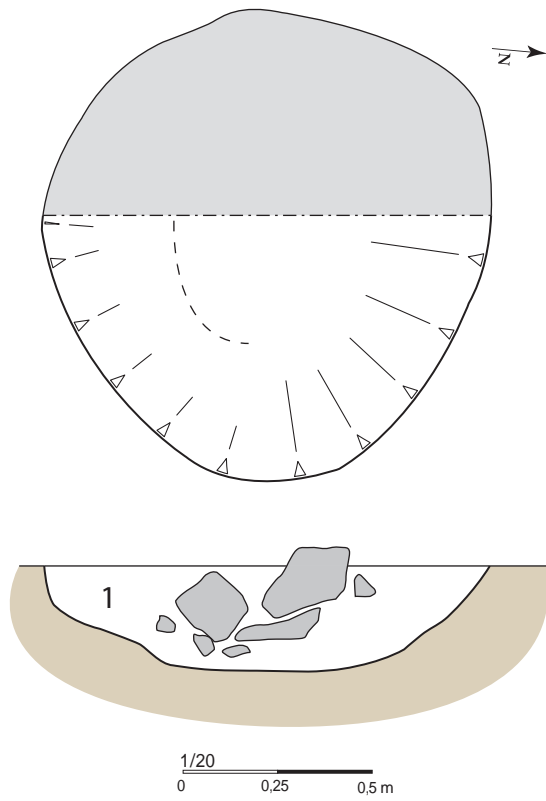
Quant à la structure F318 (Tr 4), il est difficile dans l'enchevêtrement de fossés et de fosses et, en l'absence de fouille, de dire à quoi elle correspond. Nous y avons recueilli un fond modelé à pâte micacée beige-noire datant du haut Moyen Age.

Enfin, à l'est de cette concentration et au sud de la tranchée 11, nous avons repéré un fragment de vase a priori en dehors de toute structure. Il correspond à un bord de pot modelé à pâte siliceuse brun-noir (**fig. 192, CE 12**) datant des VII<sup>e</sup>-VIII<sup>e</sup> siècles.

**Tabl. 7.** Dimensions des trous de poteau testés en Tr. 4.

N° fait	Diamètre (m)	Profondeur (m)	Figure
97	0,43	0,25	<b>fig. 172</b>
98	0,36	0,1	<b>fig. 173</b>
282	0,35	0,17	<b>fig. 170</b>
296	0,45	0,12	<b>fig. 174</b>
312	0,4	0,11	<b>fig. 175</b>
315	0,43	0,19	<b>fig. 176</b>
317	0,43	0,29	<b>fig. 177</b>
408	0,5	0,32	<b>fig. 178</b>
412	0,3	0,05	<b>fig. 179</b>
415	0,38	0,11	<b>fig. 180</b>
417	0,57	0,15	<b>fig. 181</b>
418	0,76	0,17	<b>fig. 182</b>
421	0,4	0,13	<b>fig. 183</b>
1095	0,46	0,5	<b>fig. 184</b>
1115	0,42	0,21	<b>fig. 185</b>

TR 4, F 316



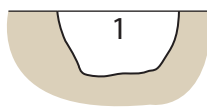
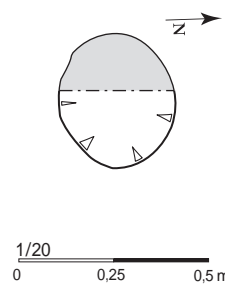
1 : Limon brun, blocs de granite, céramique médiévale



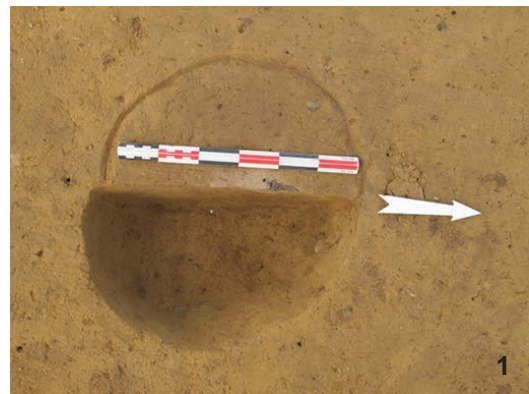
Fig. 169. Plan et coupe de la fosse F317, Tr 4 ; vue verticale après nettoyage et après fouille à 50%.

Fig. 170. Plan et coupe du trou de poteau F282, Tr 4 ; vue verticale après fouille à 50% et vue de la coupe depuis l'est.

TR 4, F 282

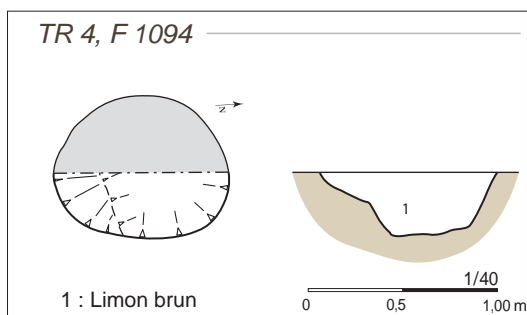


1 : Limon brun

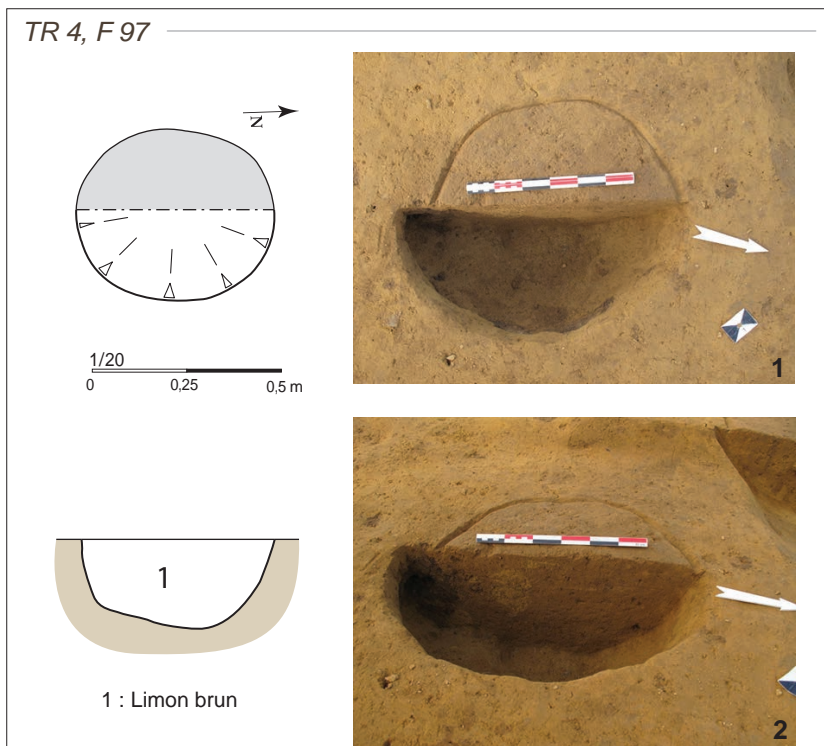




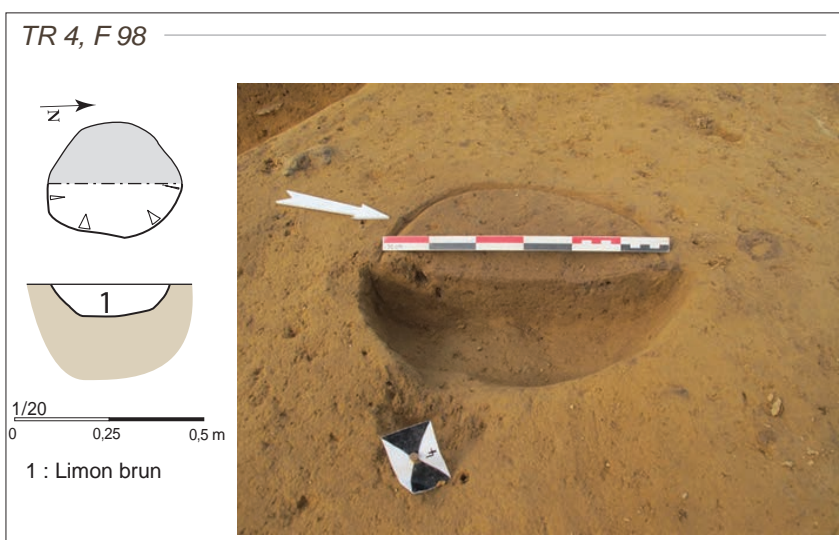
**Fig. 171.** Plan et coupe de la fosse F1094, Tr 4.



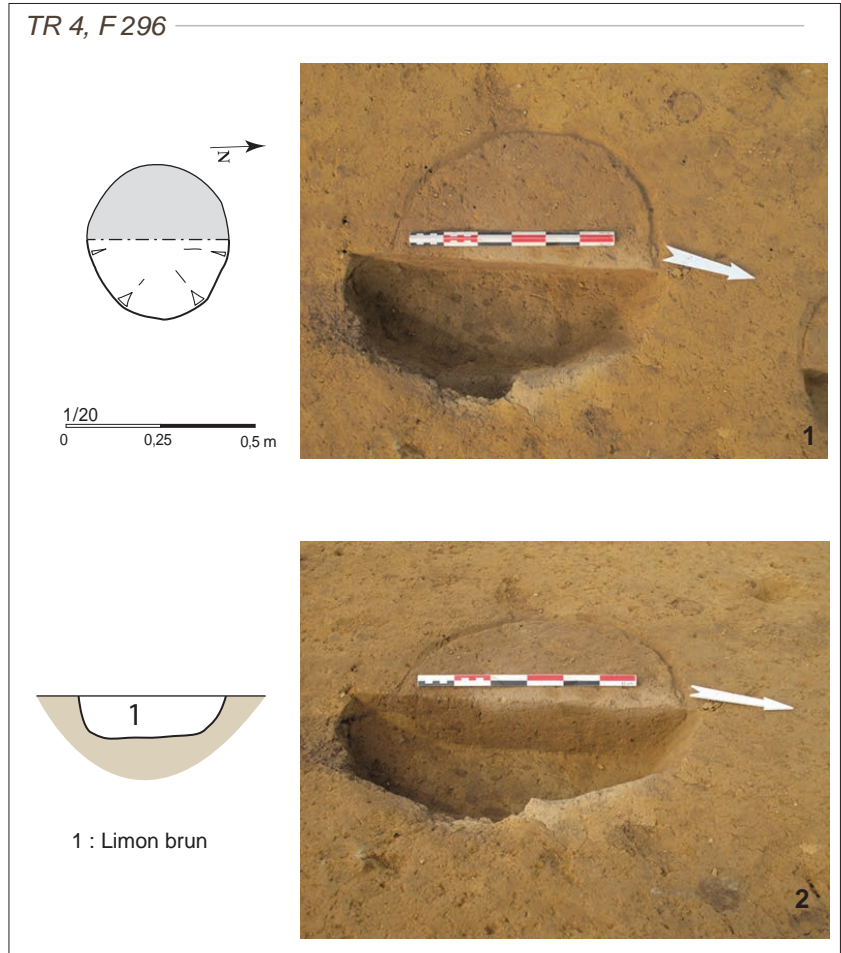
**Fig. 172.** Plan et coupe du trou de poteau F97, Tr 4 ; vue verticale après fouille à 50% et vue de la coupe depuis l'est.



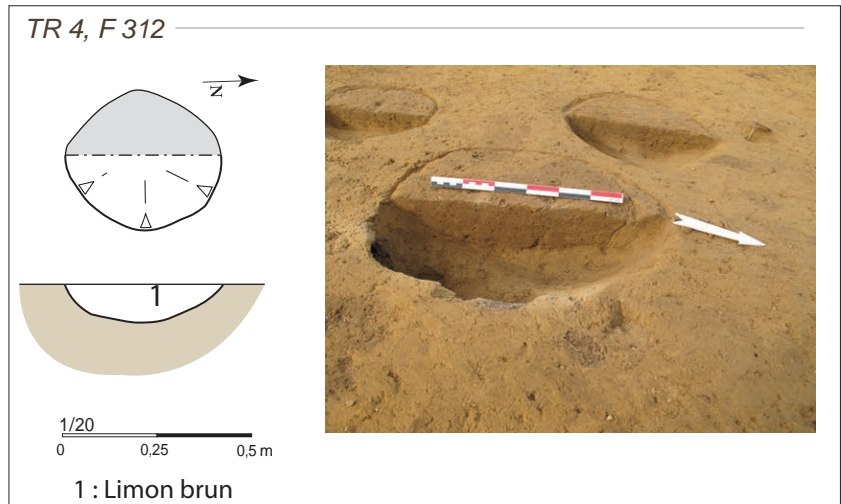
**Fig. 173.** Plan et coupe du trou de poteau F98, Tr 4 ; vue de la coupe depuis l'est.



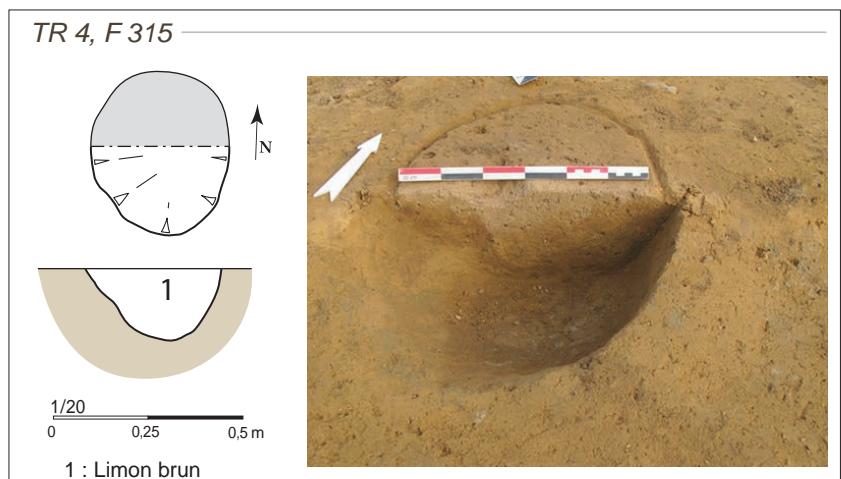
**Fig. 174.** Plan et coupe du trou de poteau F296, Tr 4 ; vue verticale après fouille à 50% et vue de la coupe depuis l'est.



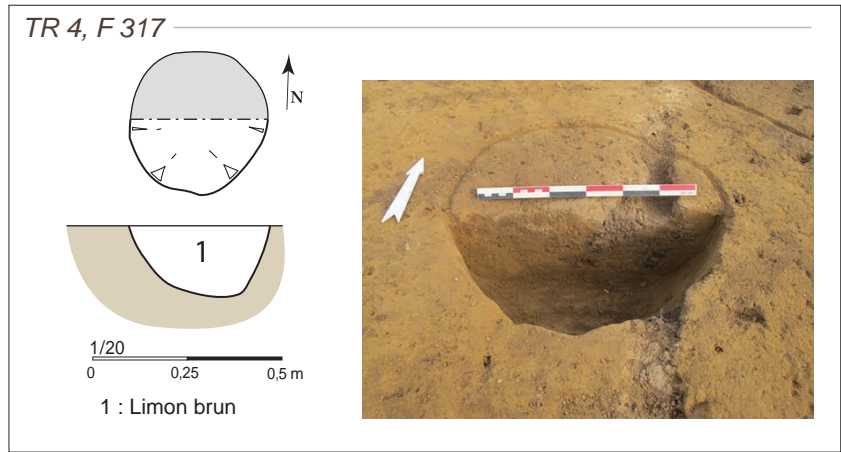
**Fig. 175.** Plan et coupe du trou de poteau F312, Tr 4 et vue de la coupe depuis l'est.



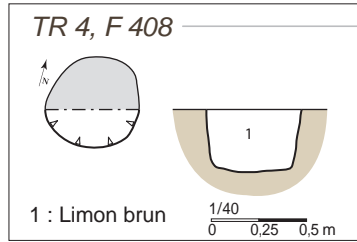
**Fig. 176.** Plan et coupe du trou de poteau F315, Tr 4 et vue de la coupe depuis le sud.



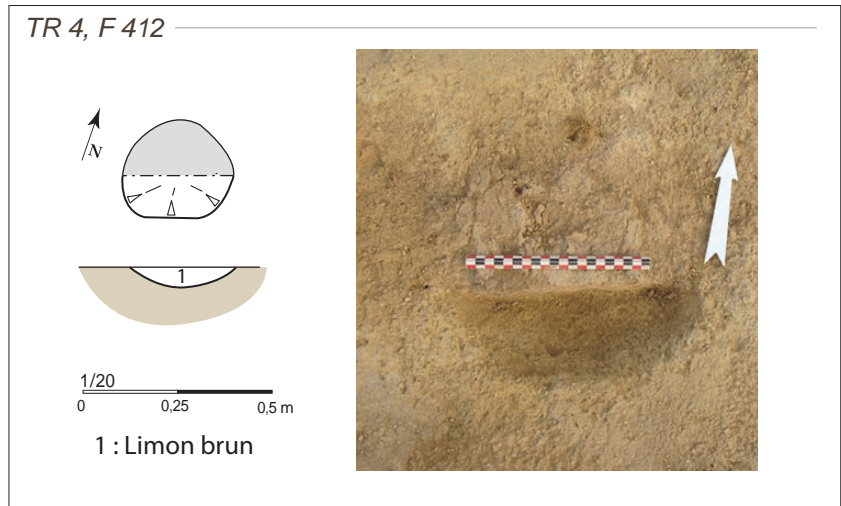
**Fig. 177.** Plan et coupe du trou de poteau F317, Tr 4 et vue de la coupe depuis le sud.



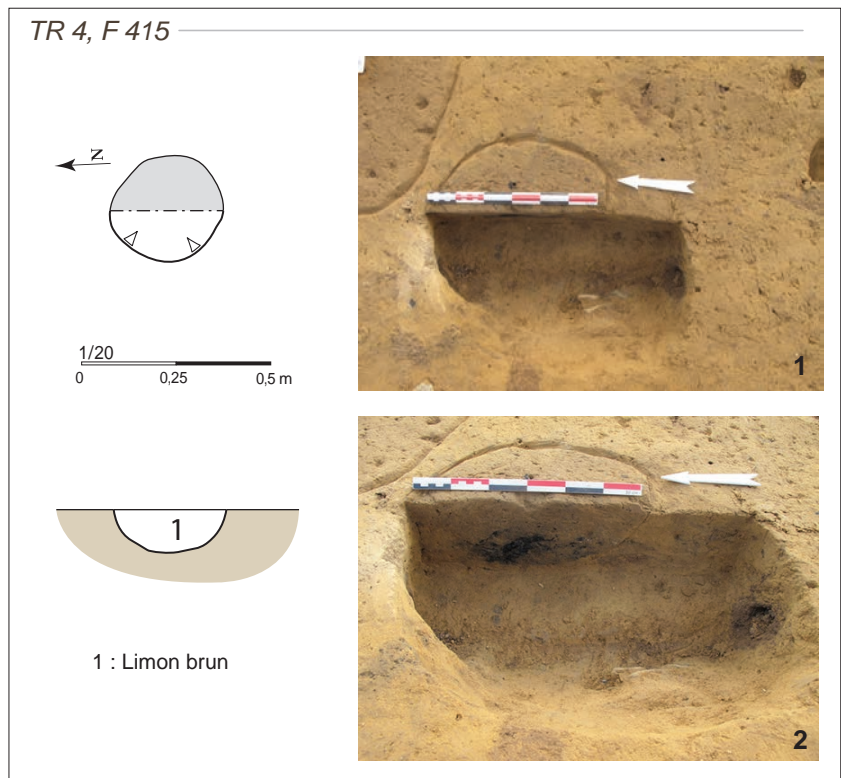
**Fig. 178.** Plan et coupe du trou de poteau F408, Tr 4.



**Fig. 179.** Plan et coupe du trou de poteau F412, Tr 4 ; vue verticale après fouille à 50% et vue de la coupe depuis le sud.

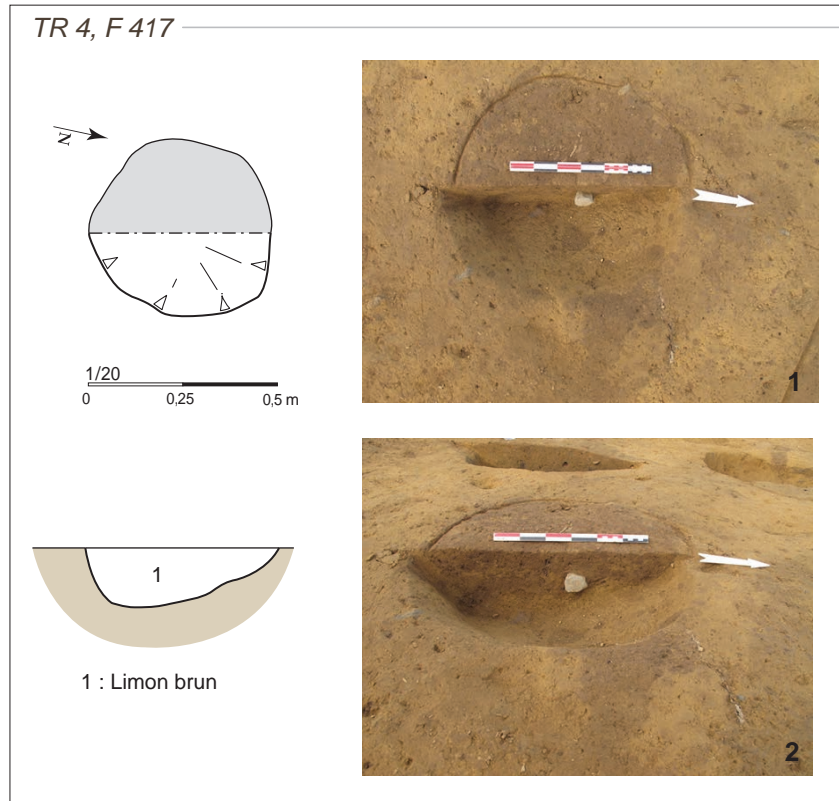


**Fig. 180.** Plan et coupe du trou de poteau F415, Tr 4 ; vue verticale après fouille à 50% et vue de la coupe depuis le sud.

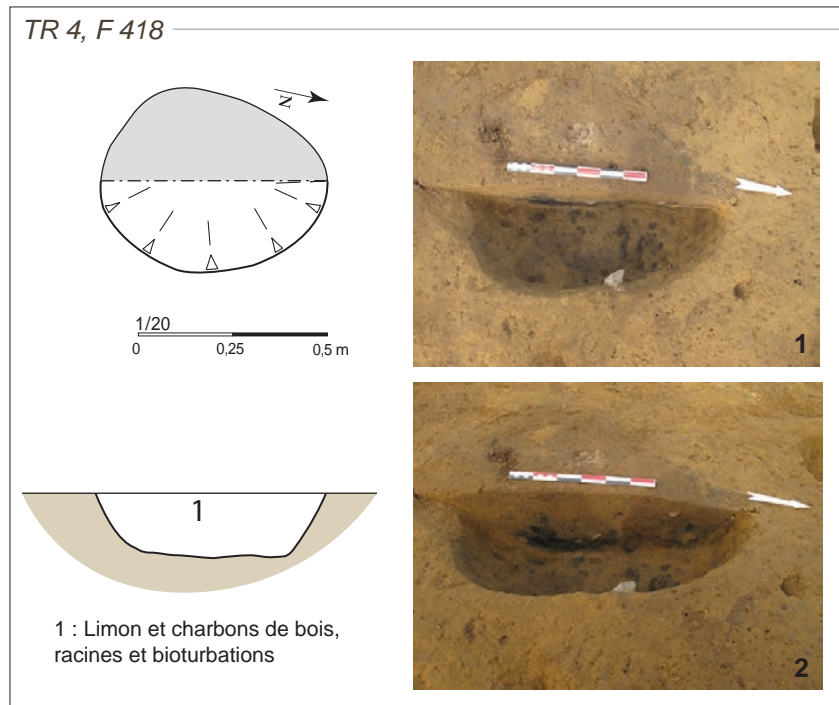




**Fig. 181.** Plan et coupe du trou de poteau F417, Tr 4 ; vue verticale après fouille à 50% et vue de la coupe depuis l'est.

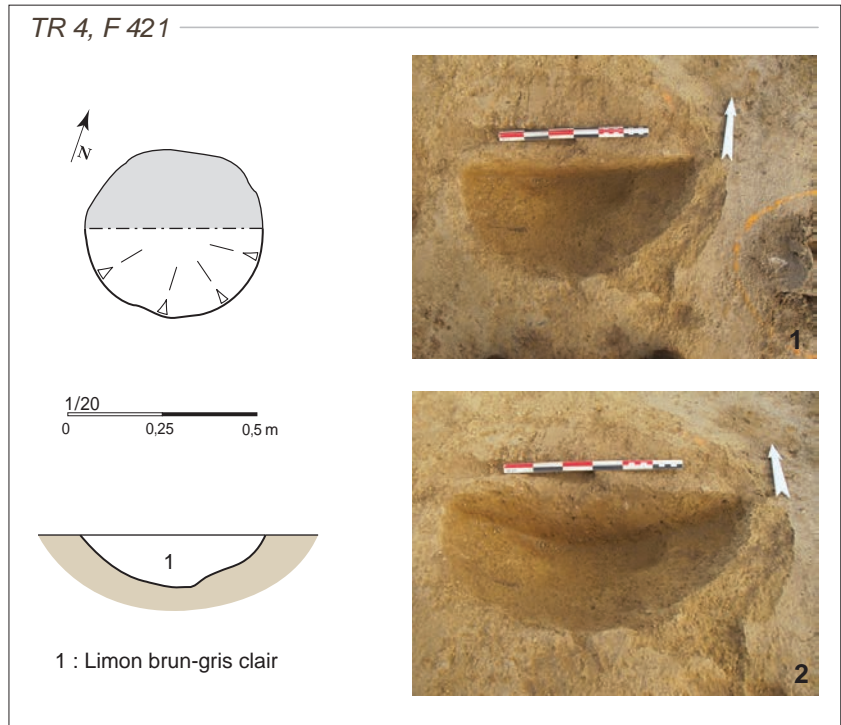


**Fig. 182.** Plan et coupe du trou de poteau F418, Tr 4 ; vue verticale après fouille à 50% et vue de la coupe depuis l'est.

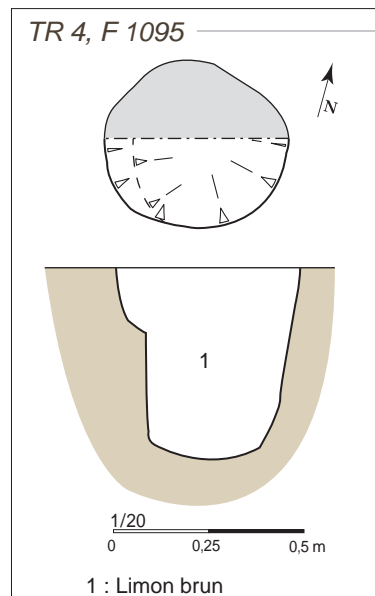




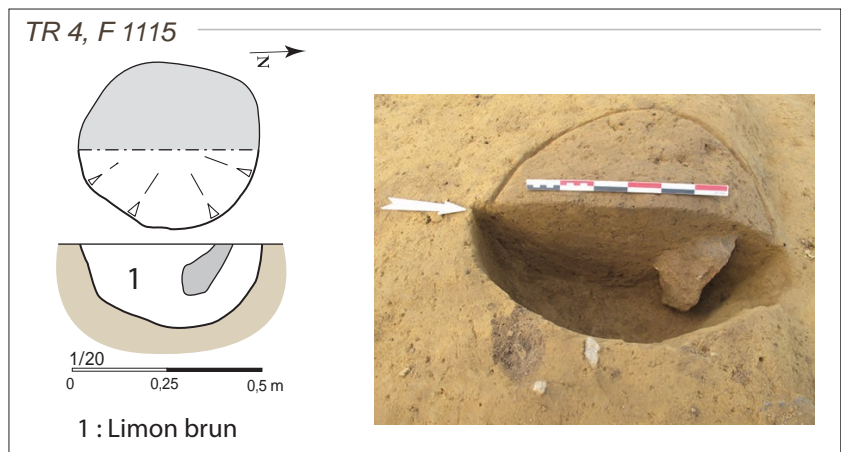
**Fig. 183.** Plan et coupe du trou de poteau F421, Tr 4 ; vue verticale après fouille à 50% et vue de la coupe depuis le sud.



**Fig. 184.** Plan et coupe du trou de poteau F1095, Tr 4.



**Fig. 185.** Plan et coupe du trou de poteau F1115, Tr 4 et vue de la coupe depuis l'est.

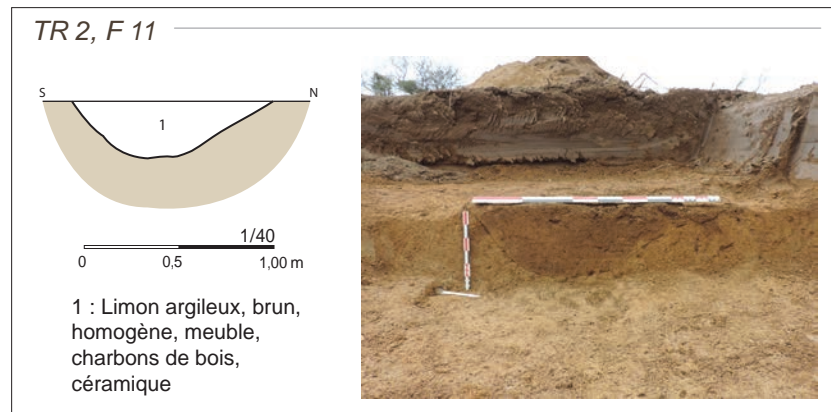


### Les fossés

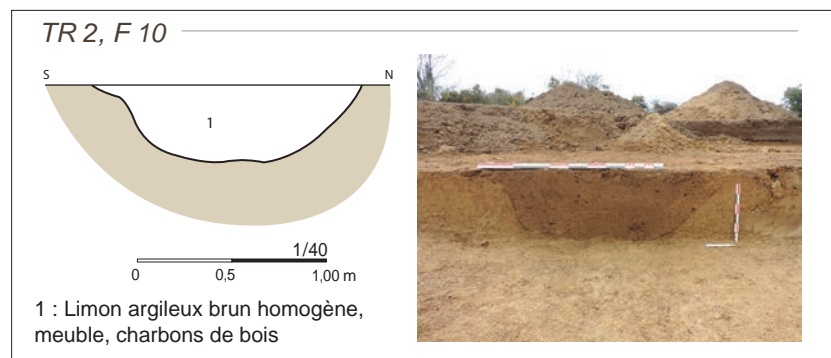
Le tronçon de fossé F11 en tranchée 2, orienté est-ouest, a livré un fragment de panse modelée à pâte micacée orange-grise qui pourrait appartenir au haut Moyen Age. Ce fossé mesure 1,6 m de largeur pour 30 cm de profondeur. Sa coupe montre un profil en cuvette à bords évasés (**fig. 186**). Il semble se poursuivre à l'ouest avec les tronçons F8-F9 (Tr 1) et aller se jeter dans le nœud de fossés repéré à l'est en tranchée 4. F11 est parallèle au tronçon F10 qui lui-aussi a fait l'objet d'une coupe. Ses dimensions sont plus importantes que celles de F10 : sa largeur pouvant atteindre 2 m et sa profondeur 44 cm. Son profil montre des bords évasés et un fond plat (**fig. 187**). Sur la base d'un seul tesson, nous restons tout de fois prudent sur l'attribution de ces deux fossés parallèles au haut Moyen Age d'autant qu'un peu au nord passe une limite de parcelle indiquée sur le cadastre napoléonien.

En tranchée 7, en plus d'un lot de céramiques attribuée au Haut-Empire, le tronçon de fossé F212 (*cf. supra*) a livré un bord à collerette d'une coupe à pâte micacée beige à cœur orange dont la surface externe est soigneusement lissée. Elle est attribuée au VI<sup>e</sup>-VII<sup>e</sup> siècle. Un peu au sud, dans la même tranchée, l'isolat 5 correspond à un fragment de panse à pâte granuleuse micacée brune qui se rapporte à la même fourchette chronologique.

**Fig. 186.** Coupe du tronçon de fossé F11, Tr 2 et vue de la coupe depuis l'est



**Fig. 187.** Coupe du tronçon de fossé F10, Tr 2 et vue de la coupe depuis l'est



### Pour conclure

Au vue des structures mises au jour, il semble que nous soyons face à un peuplement rural ouvert. Rares sont les faits à avoir livré de la céramique alto-médiévale ce qui semble assez courant pour les sites de cette période. Il existe pourtant un secteur assez dense en structures (Tr 4) qui offre de notre point de vue un beau potentiel archéologique d'autant que le niveau d'apparition de ces faits est en règle générale assez bas. Les quelques éléments de chronologie obtenus à partir de l'étude des céramiques nous orientent vers les VII<sup>e</sup>-VIII<sup>e</sup> siècles, période encore très mal connue en Basse-Bretagne. Par ailleurs, il est loisible de penser que le cimetière mis au jour est en partie contemporain de cette probable occupation domestique, ce qui en ferait un ensemble assez unique dans l'ouest de la péninsule.

### 2.7.1.3. Quelques indices du haut Moyen Age

Au nord de l'emprise, en tranchée 57, deux structures ont livré du mobilier céramique attribuable au haut Moyen Age (fig. 189).

Le fossé F853 affecte une forme arquée, on le suit sur quelques mètres avant qu'il ne s'interrompe en partie orientale. Ce fossé mesure 50 cm de largeur pour 35 cm de profondeur. Le profil affecte une forme en cuvette aux parois évasées avec deux couches de comblement (fig. 188). Il a livré en partie supérieure un fragment de panse à pâte très micacée beige dont la surface externe est noircie.

F838 (modifié en isolat 10) se situe au sud de la tranchée 57, au bord du talweg ; cette anomalie se présentait au décapage comme une grande tâche brun sombre. Un test manuel a permis de constater qu'il s'agissait d'une simple tâche d'hydromorphie dans laquelle nous avons récupéré un fond plat, deux fragments de panses à pâte grossière très micacée brune et un bord à lèvres déjetée arrondie d'un pot modelé à pâte grossière orange. La lèvre et la surface interne sont noircies par un dépôt de carbone.

Un peu au sud de ces deux indices, dans la zone correspondant à une occupation domestique gallo-romaine, nous avons repéré au décapage un imposant foyer/four circulaire (F917, Tr 65). En plus d'un lot de céramiques gallo-romaines (cf. supra), il a livré en surface un bord arrondi d'un pot (fig. 192, CE 25). Sa pâte est granuleuse micacée brune. Les surfaces externes sont noircies. Il date du haut Moyen Age.

Pour achever ce tour d'horizon des structures ayant livré du matériel alto-médiéval, il faut encore mentionner quelques faits. A l'est de la voie antique remontant de l'Elorn, le tronçon de fossé F619 (Tr 39), orienté est-ouest, a livré une panse à pâte granuleuse orange datant du haut Moyen Age. Ce tronçon de 58 cm de largeur peut-être prolongé vers l'est avec F624 et peut-être F668 à l'ouest (fig. 190). Sur la foi d'un unique tesson, nous restons prudent sur cette attribution dans la mesure où le tracé du fossé correspond également à une limite de parcelle représentée sur le cadastre napoléonien.

Non loin de là, en tranchée 40, le tronçon de fossé F672 a une orientation NE-SO ; il coupe le tronçon de fossé F671. Il paraît se prolonger au NE avec le tronçon F632 (Tr 39) puis avec F649 (Tr 38). Il mesure 1,25 m de largeur pour 66 cm de profondeur. La coupe effectuée montre un profil en V au fond un peu irrégulier. Il est comblé par un limon argileux brun moyen homogène et meuble (fig. 191). Dans la partie sondée du fossé, nous avons prélevé un fragment de panse à pâte grossière beige à cœur orange datant du haut Moyen Age.

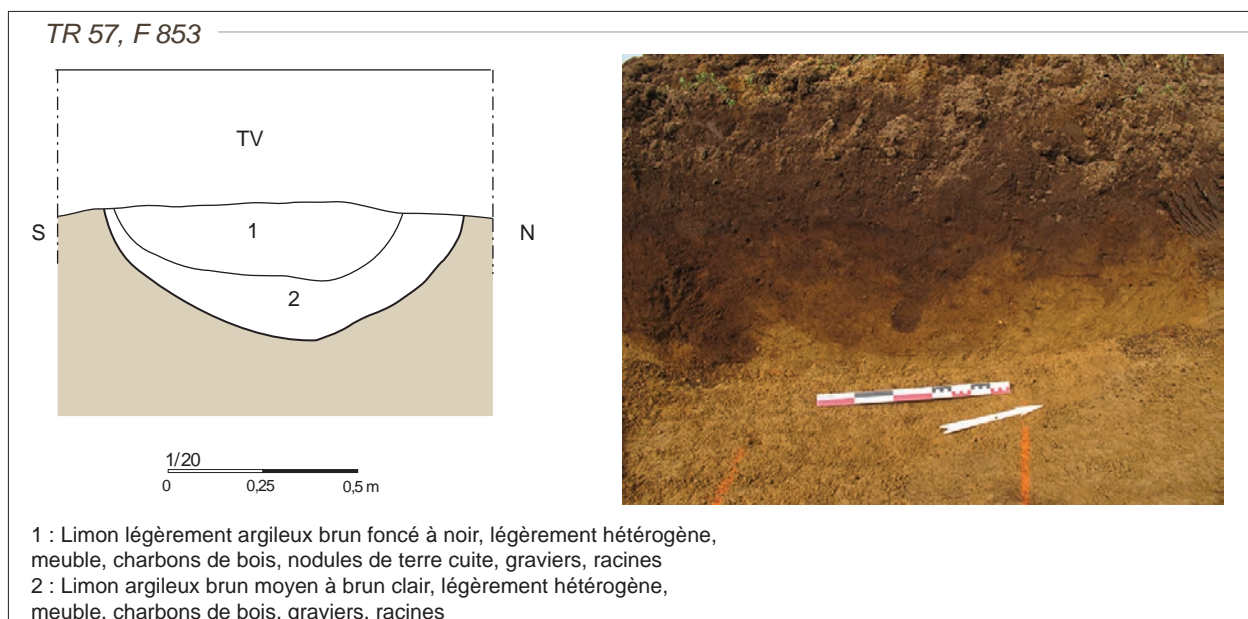


Fig. 188. Coupe du fossé F853, Tr 57 et vue de la coupe depuis l'est

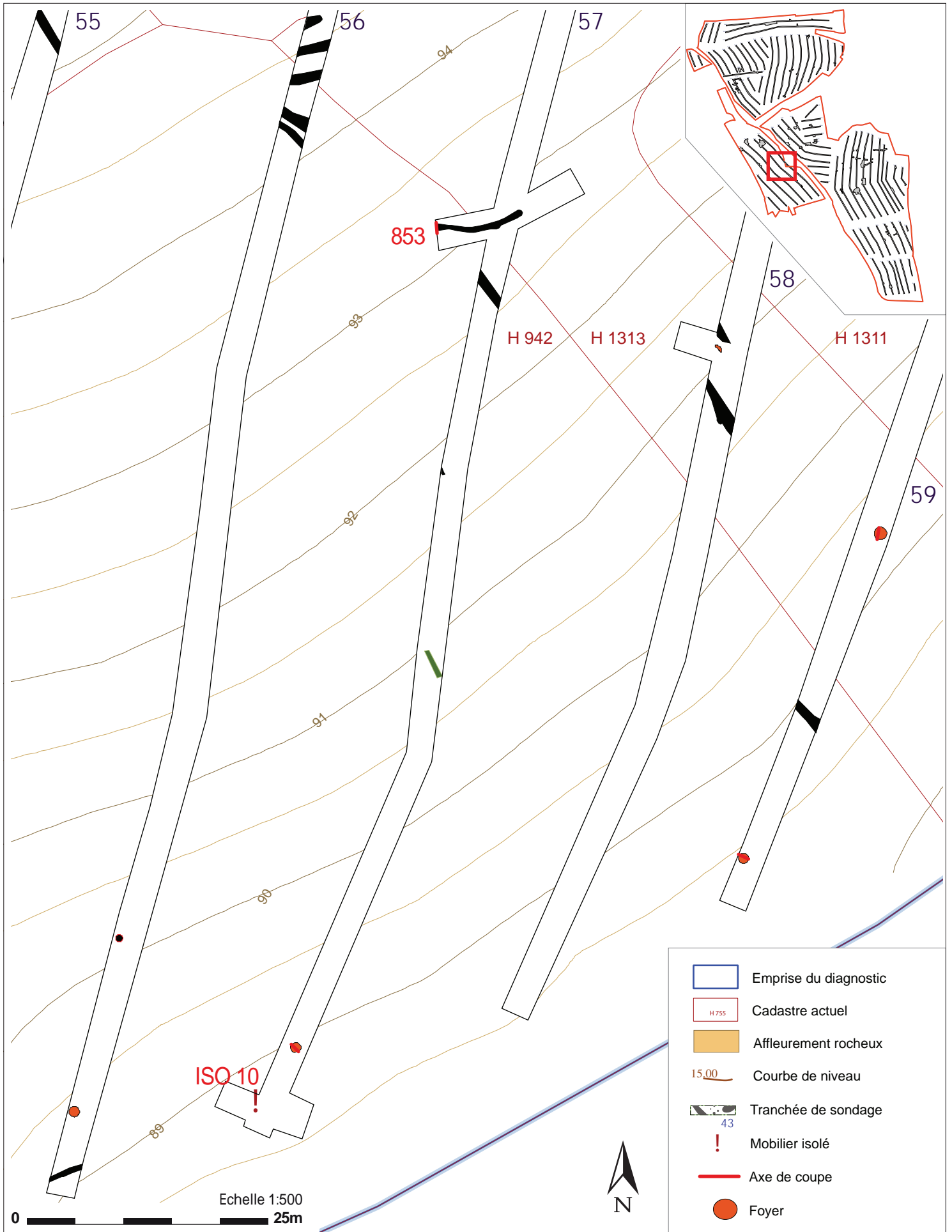


Fig. 189. Zoom sur le fossé F853 et l'iso 10 en tranchée 57.



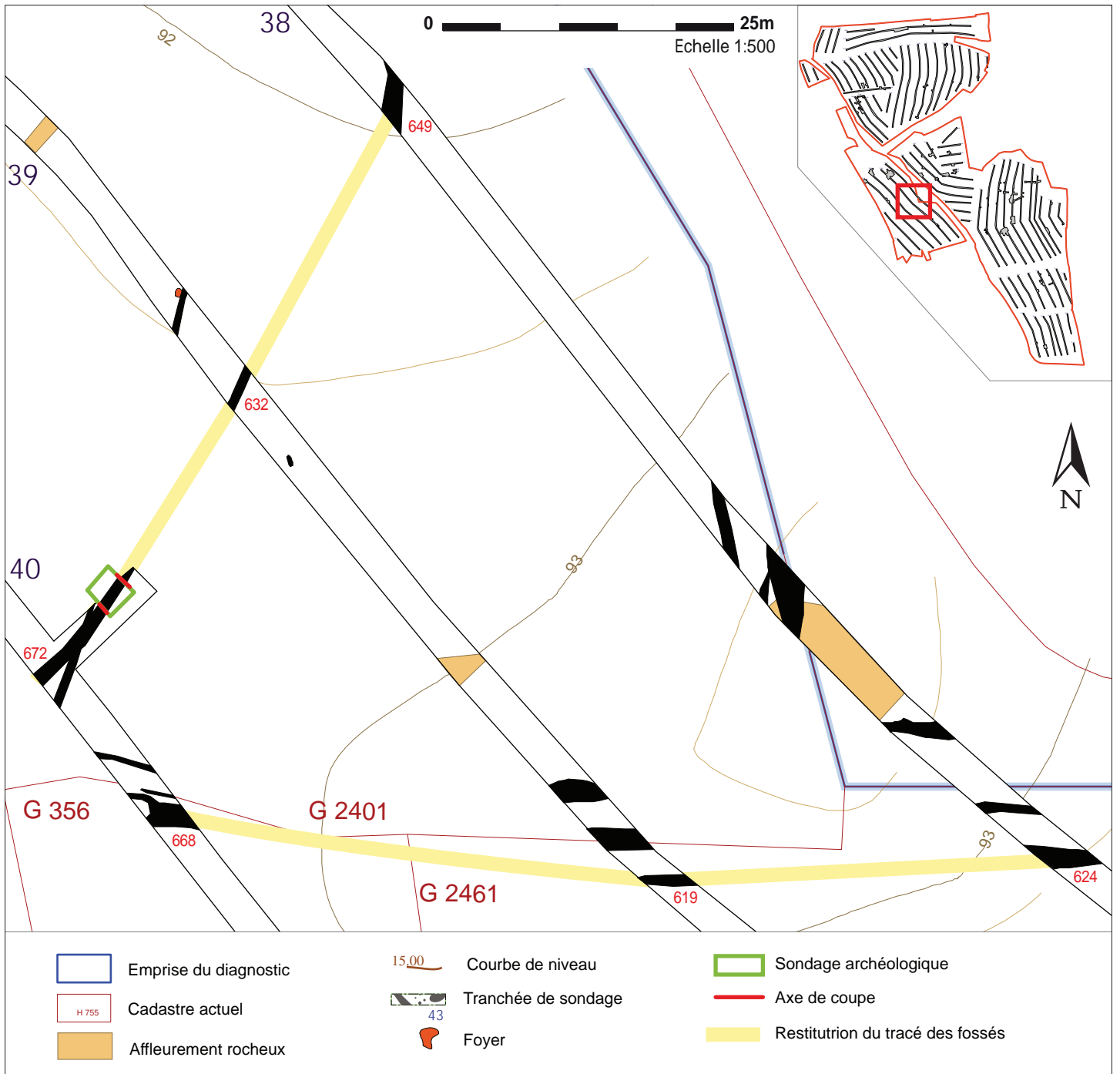
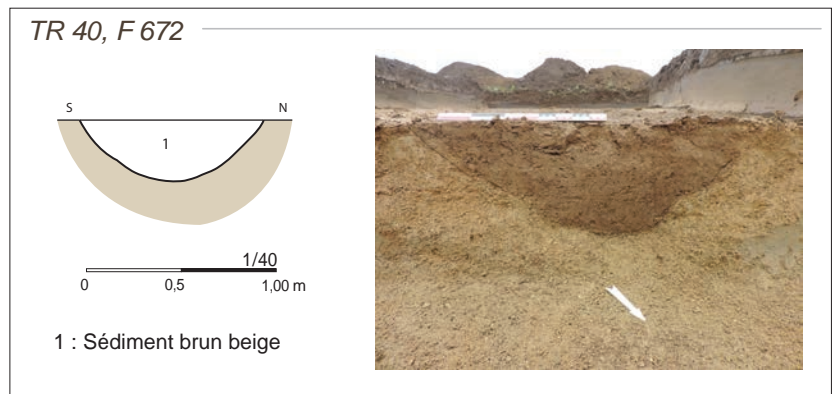


Fig. 190. Zoom sur les tronçons de fossés F619 (Tr 39), F624 (Tr 38), F668 (Tr 40) et F612 (Tr 40), F632 (Tr 39), F649 (Tr 38).

Fig. 191. Coupe du tronçon de fossé F672, Tr 40 ; vue de la coupe depuis le nord et vue de la coupe complète depuis le sud.



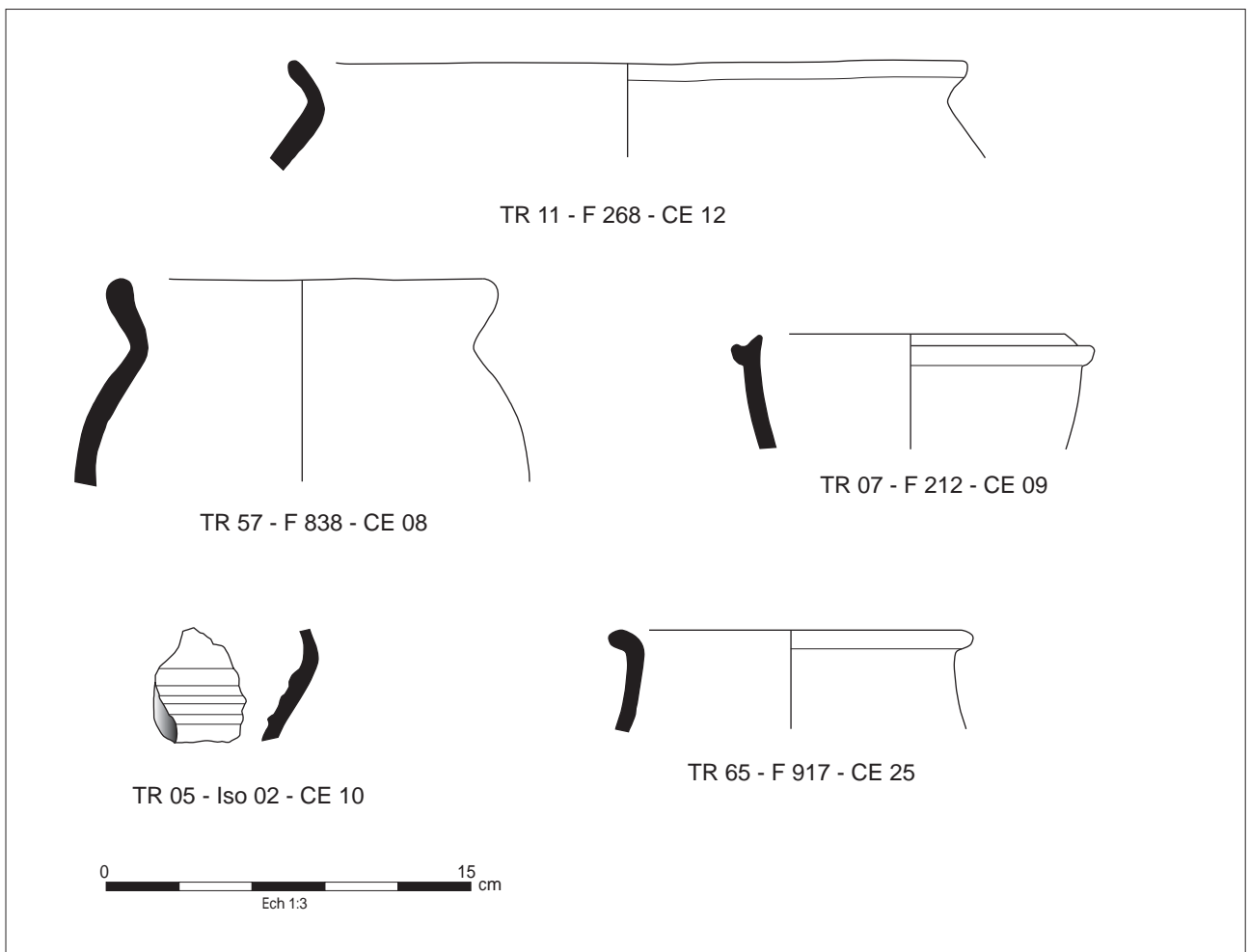


Fig. 192. Céramiques du haut Moyen Age (DAO E. Coffineau).

#### 2.7.1.4. La céramique du haut Moyen Age (E. Coffineau)

Une faible quantité de vases datant du haut Moyen Age a été trouvée (90 fragments dont cinq bords et un fond). Les vases se répartissent, de manière inégale, dans douze sondages (**tabl. 8**).

**Tabl. 8.** Répartition de la céramique du haut Moyen Age

Tranchée	Nature du Fait	N° Fait	NR
7	isolat	Iso 5	2
2	trou de poteau	59	1
5	isolat	Iso 2	1
7	fosse	183	1
7	fossé	212	15
11	rejet (pas de creusement visible)	268	53
16	sépulture	350	1
16	sépulture	356	1
40	fosse	672	2
57	fossé	838	11
65	foyer/four	917	1

Le nombre peu élevé de céramiques est un phénomène fréquemment observé sur les sites bretons de cette période qui tend à démontrer l'utilisation importante d'ustensiles en matériaux périssables (Labaune-Jean, 2013, p. 267-268) et la fonction spécifique des poteries essentiellement à usage culinaire.

Ce sont certainement des productions locales mais la méconnaissance actuelle des ateliers de production de céramiques au haut Moyen Age interdit d'en indiquer plus précisément la provenance. Ces vases ont une pâte souvent d'aspect granuleux, parfois grossier, pouvant contenir une quantité importante de quartz et de micas. Les teintes varient de l'orange au brun, pour celles cuites en atmosphère oxydante, et du gris au noir pour celles cuites en atmosphère réductrice. Les quelques formes identifiables sont un bord d'une coupe à collerette à pâte micacée brune (**fig. 192, CE 09**) qui est présente dès les VI<sup>e</sup>-VII<sup>e</sup> siècles (Husi, 2013) et deux bords de pots à lèvre allongée déjetée dépourvu de col (**fig. 192, CE 12**) ou à lèvre arrondie (**fig. 1, CE 25**) dont la pâte est semblable aux céramiques trouvées sur le site finistérien de Leslouc'h à Plouédern (Labaune-Jean, 2013, p. 271) datées entre la seconde moitié du VII<sup>e</sup> et le VIII<sup>e</sup> siècle. L'autre bord de pot a une lèvre haute allongée dotée d'une légère dépression interne (**fig. 192, CE 08**) à pâte très micacée brun-orange. Enfin, une panse ornée de stries ou cannelures vient clore ce petit corpus (**fig. 192, CE 10**).

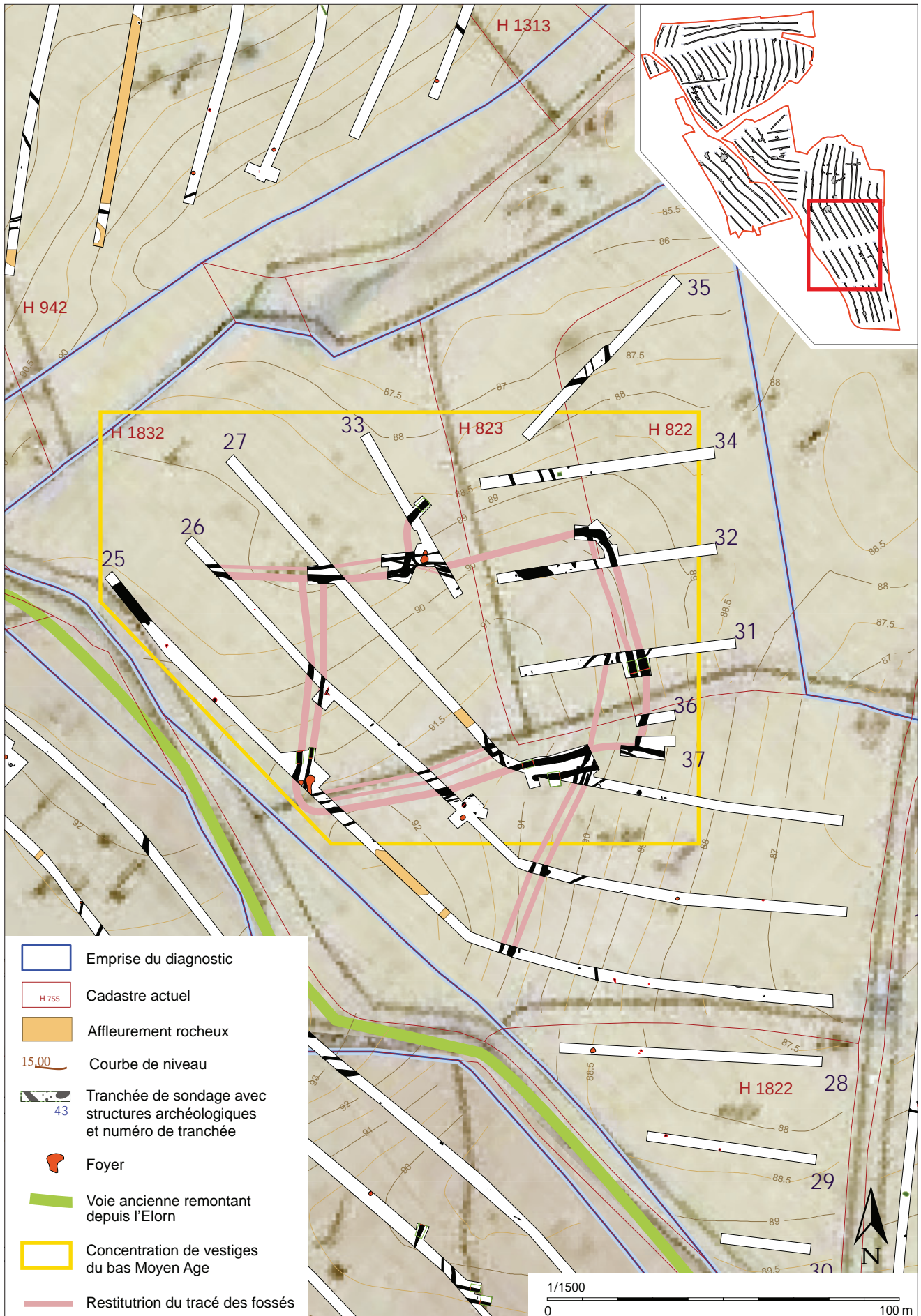


Fig. 193. Vue générale du site médiéval de Prat Mellec et de ses abords.



## 2.7.2. Un habitat du bas Moyen Age

Dans les parcelles correspondant au toponyme Prat Mellec (*cf. supra* partie micro-toponymie de D. Léal), nous avons mis au jour une occupation domestique du bas Moyen Age ceinturée par un, voire deux fossés, sur certains côtés (**fig. 193**). Le site est installé sur le point haut d'une petite colline qui culmine à 91 m d'altitude. Il est bordé au nord par une zone humide alors qu'à l'ouest il est tangent avec la voie antique remontant depuis l'Elorn. Cette enceinte est de forme trapézoïdale aux angles arrondis (**fig. 195**). Les fossés bordiers suivent globalement un axe nord-sud et est-ouest. Aux angles nord-ouest et sud-est, comme du fossé nord, partent plusieurs tronçons de fossés qui pourraient correspondre à un réseau parcellaire venant s'appuyer sur les contours de l'habitat. Le matériel mis au jour, pour l'essentiel dans le comblement des fossés, est homogène et s'inscrit dans la fourchette des XIII<sup>e</sup> et XIV<sup>e</sup> siècles. Il existe toutefois des recoupements entre certaines structures, preuve que l'occupation a fait l'objet de remaniements.

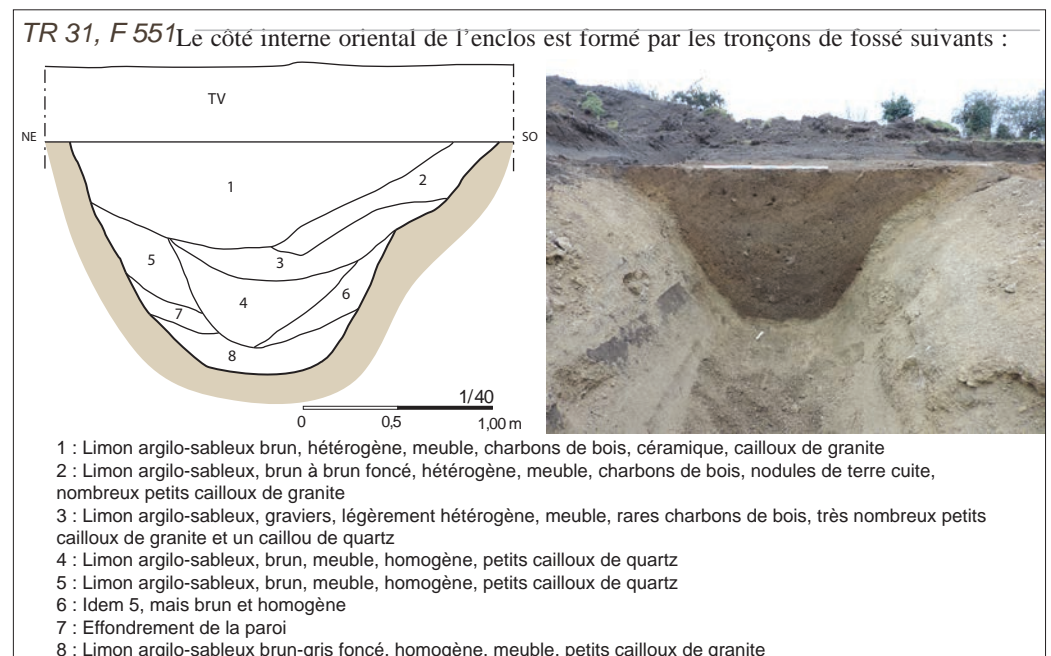
### 2.7.2.1. Les fossés

A l'exception de l'angle sud-ouest de l'enceinte qui se trouve, soit aux abords immédiats de la route nord-sud (qui reprend le tracé de la voie antique remontant depuis l'Elorn), soit légèrement coupé par cette même route, nous avons mis au jour les trois angles de l'enceinte. On peut donc donner une estimation assez précise de ses dimensions ; le trapèze formé par les fossés mesure :

- Petite base interne = 81 m ;
  - Petite base externe = 87 m ;
  - Grande base externe = 101 m ;
  - Grande base interne = 95 m ;
  - Hauteur interne = 61 m.
- = Sa surface interne est donc d'environ 5840 m<sup>2</sup>.

Du sud au nord, le côté externe oriental (hauteur) est formé par les tronçons de fossé F564 (ce dernier formant l'angle nord-est de l'enclos), 551, 596 et 597. Le tronçon F551 a fait l'objet d'un sondage mécanique qui montre un creusement assez massif ; le profil est en auge à parois quasi-verticales et à fond plat. Contrairement aux autres tronçons testés dans l'enceinte, celui-ci a fait l'objet d'un curage. Il est également le plus imposant par ses dimensions : il mesure 2,2 m de largeur à l'ouverture pour 1,28 m de profondeur (**fig. 194 et 195**). Les 39 fragments de vases récoltés correspondent à un bord déjeté à lèvres allongées à pâte granuleuse très micacée beige (**fig. 206, CE 07**) et 36 fragments de panses à pâte granuleuse micacée beige à orangé. L'ensemble est attribuable au bas Moyen Age. Le tronçon de fossé F564 a également livré au décapage un bord de pot à pâte granuleuse orange à cœur gris dont la surface externe est noircie ainsi que deux fragments de panses modelées à pâte très micacée beige. Ces trouvailles s'inscrivent parfaitement dans les productions céramiques du XIII<sup>e</sup>-XIV<sup>e</sup> siècles.

**Fig. 194.** Coupe du tronçon de fossé F551, Tr 31 ; vue depuis le nord de la coupe.



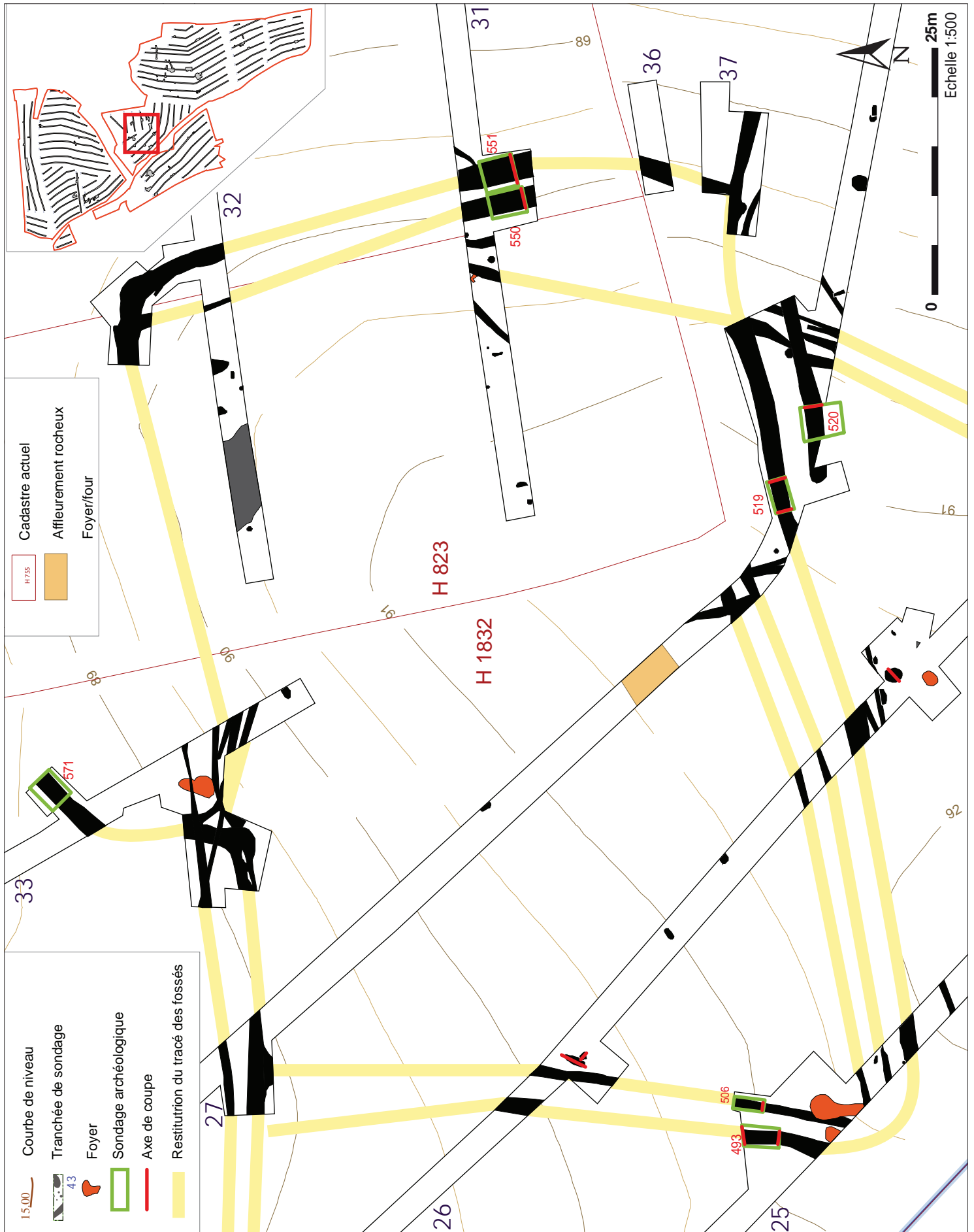
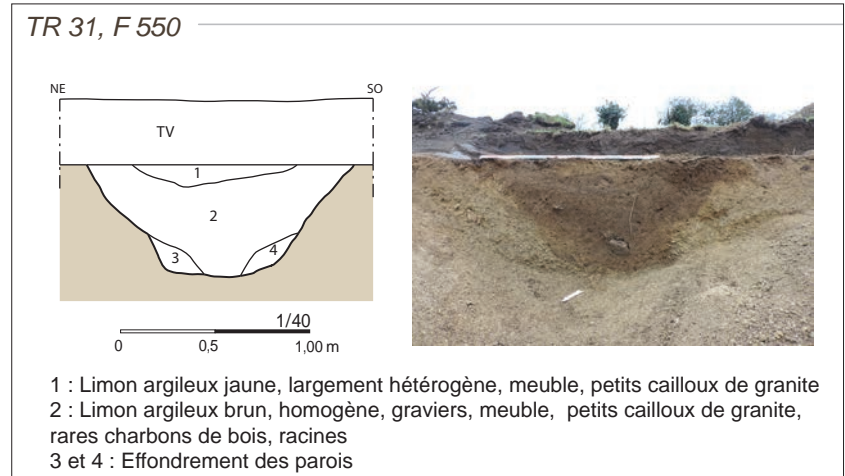


Fig. 195. Vue resserrée sur l'enclos médiéval de Prat Mellec .

F550, 563 et 592, ce dernier s'appuyant sur F564. F550 double à l'ouest F551 et en est en quelque sorte sa version miniature. Il affecte également un profil en auge et mesure 1,4 sur 0,6 m de largeur (**fig. 195 et 196**).

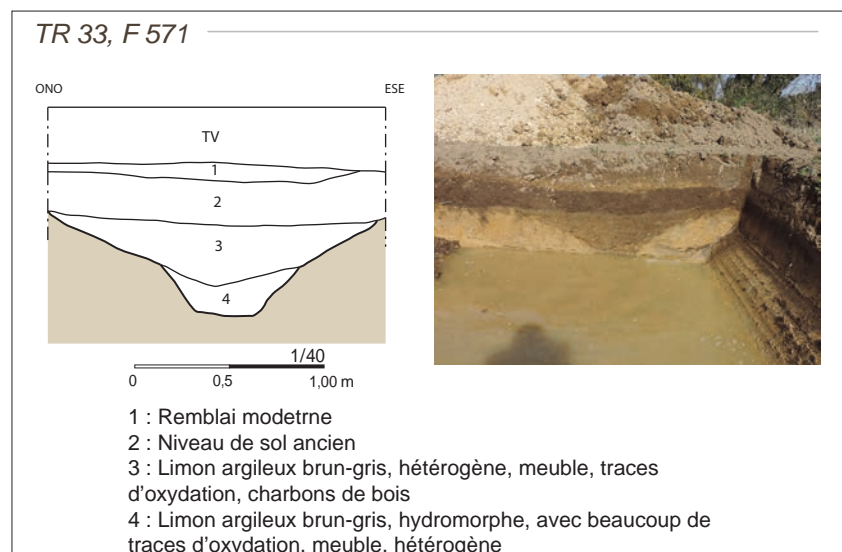
Il est intéressant de constater que le côté oriental de l'enclos est celui qui disposait des fossés les plus imposants, celui situé côté interne ayant presque les mêmes dimensions que les trois autres fossés extérieurs.

**Fig. 196.** Coupe du tronçon de fossé F550, Tr 31 et vue de la coupe depuis le NNO.



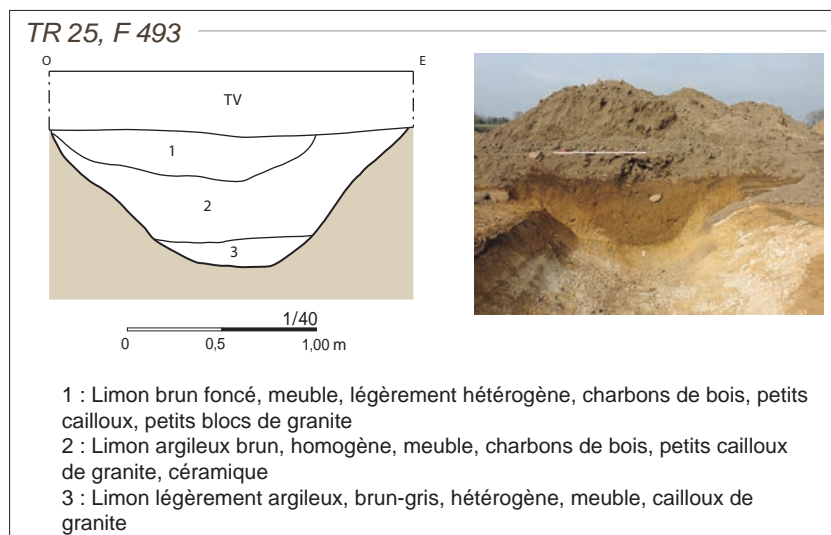
D'est en ouest, le petit côté externe (petite base) septentrional paraît formé par les tronçons de fossé F564, 570, 507 et se prolonge vers l'est avec F505 (**fig. 195**). Toutefois, s'il s'agit bien du fossé externe, il semble étonnant qu'il soit moins large que le fossé interne. Par ailleurs, ce fossé externe coupe les tronçons F587-590-591 qui paraissent avoir bien fonctionné avec l'enceinte. Enfin, mentionnons qu'au décapage a été prélevé dans F570 un fragment de panse modelée à pâte granuleuse micacée orange datée du bas Moyen Age. Il y a donc là un point de chronologie relative qu'il faudra lever au moment de la fouille. Le petit côté interne (petite base) septentrional est formé par les tronçons de fossé F564, 569, 588, 589, 508 puis se poursuit vers l'ouest en dehors de l'enclos avec F533. De ce bord interne, semble partir les tronçons F587 et 590 qui se fondent dans F591 qui partent vers le nord en direction de F571 (Tr 33). Ce dernier fait l'objet d'une coupe : il mesure 1,8 m de largeur pour 0,82 m de profondeur (**fig. 197**). Le fond forme un U à fond plat tandis que rapidement les parois obliquent fortement et forment un angle très fermé avec la surface du sol. Bien qu'il n'ait pas livré de mobilier, son profil rappelle ceux de l'enceinte mais sa forme très évasée fait que sa fonction devait être différente.

**Fig. 197.** Coupe du tronçon de fossé F571 et vue de la coupe depuis le sud.



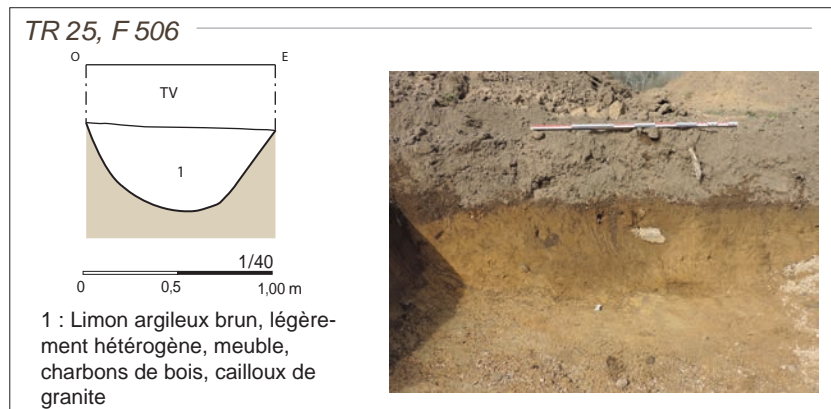
Du sud au nord, le côté externe occidental (hauteur) est formé par les tronçons de fossé F493, 498 et 534, ce dernier se raboutant sur F508 en formant l'angle nord-ouest de l'enclos. F493 est un tronçon de fossé à profil en auge aux parois obliques mais assez irrégulières et à fond plat (**fig. 195 et 198**). Il mesure 1,6 m de largeur pour 0,72 m de profondeur. Sa coupe montre un comblement en deux phases puis un curage très partiel. Dans son remplissage ont été prélevés les fragments de vases suivants : deux lèvres, un fond plat d'un plat ou d'une galettière et 12 panses modelées à pâte beige et orange datant des XIII<sup>e</sup>-XIV<sup>e</sup> siècles.

**Fig. 198.** Coupe du tronçon de fossé F493, Tr 25 ; vue de la coupe depuis le sud.



Quant au côté interne occidental (hauteur), il est formé par les tronçons de fossé F506 et 497. Parallèle à F493, F506 a également été testé. Plus modeste, il mesure 0,97 m de largeur pour 46 cm de profondeur. Il affecte un profil en cuvette à fond concave et bords évasés (**fig. 195 et 199**). Il a livré deux fragments de panses à pâte grossière orange, non attribuées chronologiquement.

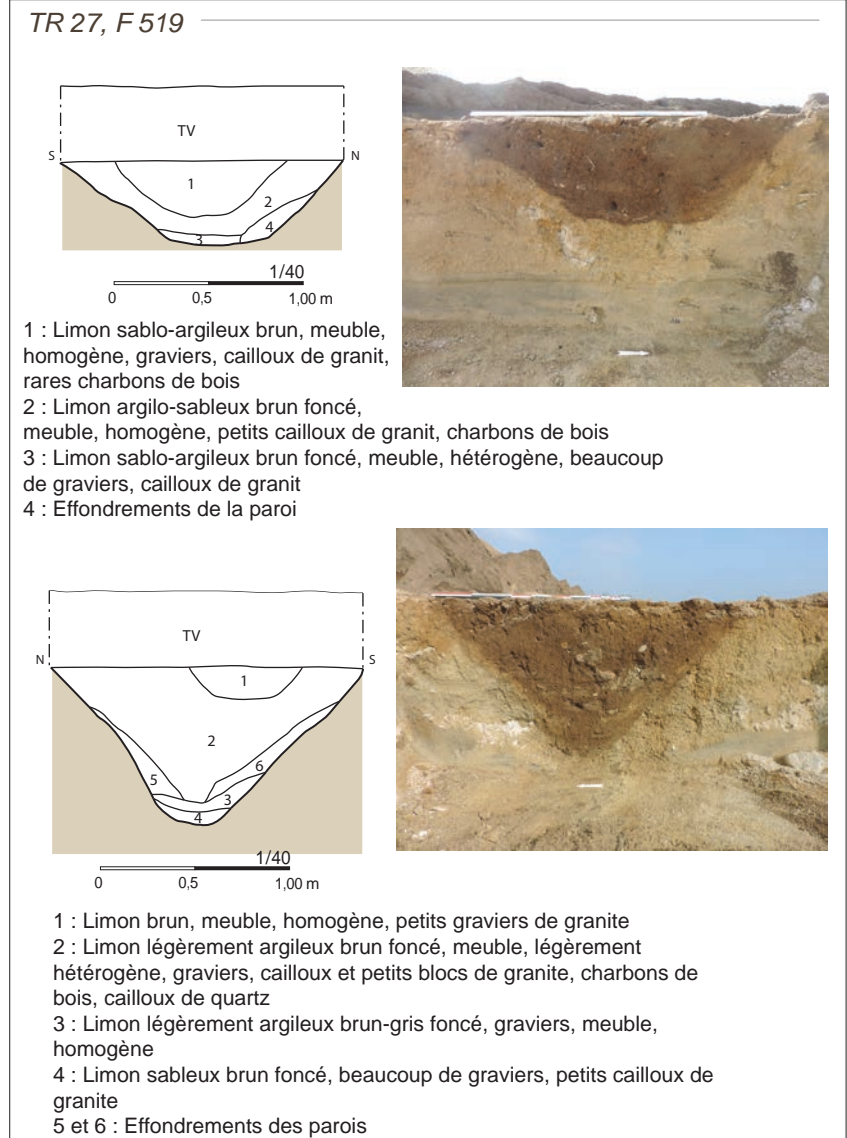
**Fig. 199.** Coupe du tronçon de fossé F506, Tr 25 et vue de la coupe depuis le sud.



D'ouest en est, le grand côté interne méridional (grande base) est formé par les tronçons de fossé F486, 481, 519 et 598. F598 se prolonge au delà de l'enclos en direction de l'est. C'est également le raccord entre F508 et 597 qui forme l'angle sud-est de l'enclos. Le tronçon F519 a fait l'objet de deux coupes dans le même sondage ; il mesure 1,65 de largeur et 0,78 m de profondeur maximale. La coupe occidentale montre un profil en auge assez peu profond (bords très obliques et fond plat) alors que la coupe orientale affecte la forme d'un V plus profondément ancré (**fig. 195 et 200**). Au niveau du sondage mécanique, la profondeur comme la morphologie du fossé change sensiblement et forme comme une marche. Cette modification du profil se fait au même niveau que l'interruption du fossé F520 et on peut se demander si elle ne correspond pas à une entrée dans l'enceinte. Le fossé semble avoir fonctionné de manière ouverte et avoir été colmaté rapidement. En partie supérieure, il a fait l'objet d'un recreusement plus modeste à une période indéterminée. Les poteries mises au jour sont une lèvre épaisse avec amorce d'une anse ronde d'un plat à pâte grossière orange, cinq lèvres droites à pâte micacée orange, 18 fragments de fonds et 46 fragments de panses à pâte micacée orange. L'ensemble date des XIII<sup>e</sup>-XIV<sup>e</sup> siècles. Au décapage, un fragment de panse modelée à pâte grossière beige-gris a été récupéré en surface de F486 ; il est également attribuable au bas Moyen Age.

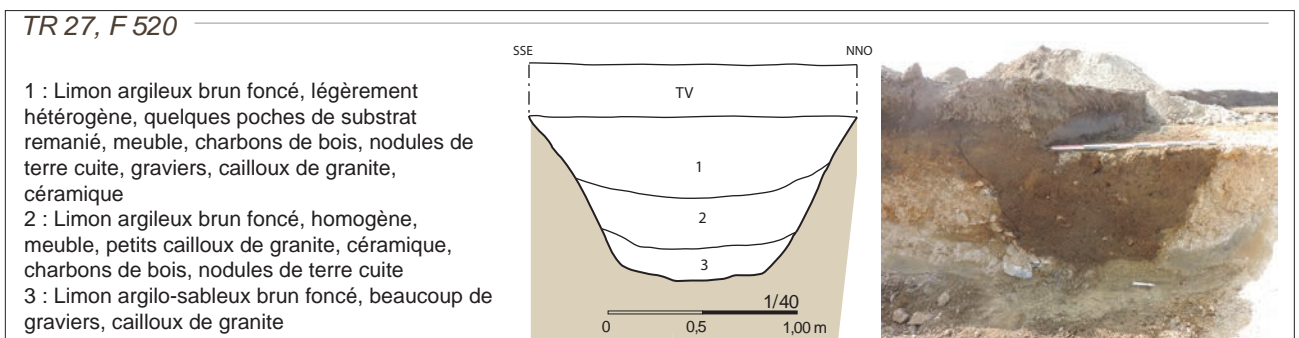


**Fig. 200.** Coupes réalisées dans le tronçon de fossé F519, Tr 27. 1. Coupe occidentale en auge et vue de la coupe depuis l'est ; 2. Coupe orientale en V et vue de la coupe depuis l'ouest.



Enfin, le bord méridional est doublé extérieurement par le fossé interrompu F520. F520 est globalement orienté est-ouest, il mesure 1,64 m de largeur pour 0,86 m de profondeur. Il présente un profil en auge : bords rectilignes obliques et fond plat (**fig. 195 et 201**). Trois couches régulières ont été observées dans son remplissage (colmatage en plusieurs phases), les deux dernières ont livré du mobilier céramique. Les céramiques récupérées sont un pot modelé à lèvre déjetée allongée à pâte très micacée beige (**fig. 206, CE 01**), un bord à lèvre haute légèrement déjetée d'un pot à pâte micacée beige à cœur orangé (**fig. 206, CE 11**), un bord épais modelé pâte siliceuse micacée orangée, un bord avec arrache d'anse à pâte grossière orangée, quatre lèvres droites de plats ou galettières et trois panses à pâte grossière orangée. L'ensemble chronologiquement homogène date des XIII<sup>e</sup>-XIV<sup>e</sup> siècles.

En tranchée 27, le tronçon du petit fossé F528 (0,5 m de largeur), positionné parallèlement et devant le fossé F520, a livré en surface deux fonds plats à pâte granuleuse brune qui pourraient dater du bas Moyen Age.



**Fig. 201.** Coupe du fossé F520 et vue de la coupe depuis l'est.

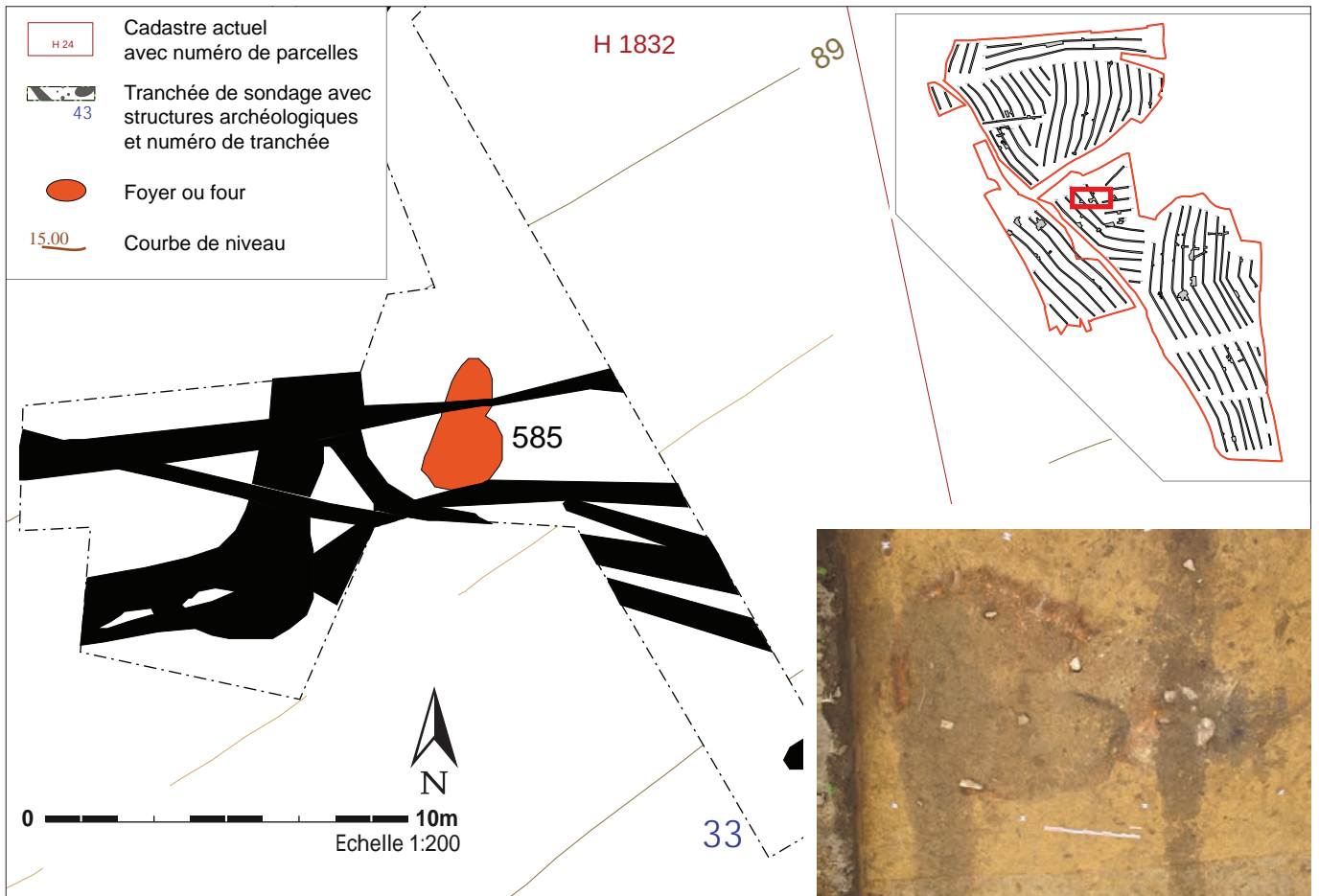


Fig. 202. Zoom autour de F585, Tr 33 et vue verticale du four F585.

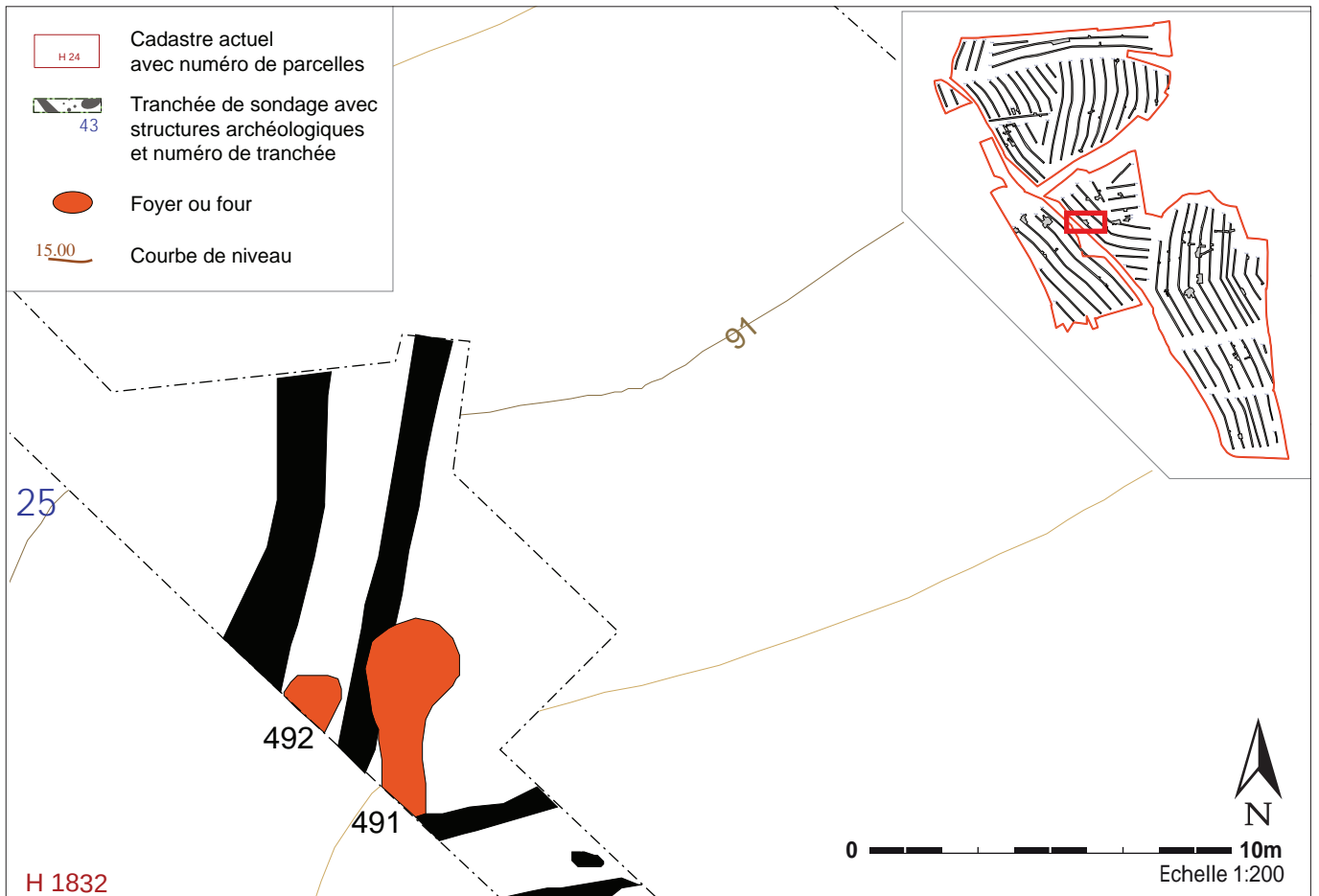


Fig. 203. Zoom autour de F491 et 492, Tr 25.

### 2.7.2.2. Les structures de combustion

Trois structures de combustion ont été repérées sur le site médiéval. Elles présentent la particularité de se trouver aux marges de l'enceinte. Le site médiéval étant bien délimité et calé chronologiquement, nous avons fait le choix de ne pas fouiller ces fours dans le cadre du diagnostic et nous nous sommes limités à un simple nettoyage de surface.

Sur le côté nord de l'enceinte, le four F585 est coupé par le tronçon de fossé F570 et le fossé F569 le mord légèrement à son extrémité sud (**fig. 202**). En forme de poire, il est globalement orienté nord-sud, son extrémité la plus fine étant au nord. Le four mesure 3,73 m de longueur sur 2,25 m de largeur. La partie sud qui est la plus vaste est délimitée par des bords rubéfiés bien visibles sur la photo verticale ; elle doit correspondre à la chambre de chauffe. A noter sur le bord est la présence d'un bloc planté de chant. Au nord, une tâche ovalaire de couleur noire très charbonneuse (coupée par F570) dans laquelle se trouvent quelques blocs de granite peut être interprétée comme l'alandier. Deux fragments de deux panses ont été recueillis en surface ; il s'agit de productions à pâte grossière orange avec surface noircie datant des XIII<sup>e</sup>-XIV<sup>e</sup> siècles.

A proximité de l'angle sud-ouest de l'enceinte, le four F491, orienté nord-sud, semble avoir été installé aux dépens du fossé F506 (**fig. 203 et 204**). La partie méridionale semble être installée dans un fossé de couleur gris-brun qui se poursuit au sud sous la berme et qui se raboutait peut-être à l'origine avec F506. La partie nord a l'aspect d'une grande tâche limoneuse, de couleur brun foncé, très riche en charbons de bois. Des pierres en granite rubéfié font le lien entre ces deux parties ; elles pourraient marquer les limites du four (alandier et chambre de cuisson). La structure mesure 5,46 m de longueur (jusqu'à la berme) pour 2,4 m de largeur. Les fragments de céramique récoltés sont hétérogènes avec la présence de deux lèvres à pâte granuleuse beige datant des XIII<sup>e</sup>-XIV<sup>e</sup> siècles et une panse modelée à pâte micacée brune datant plutôt du haut Moyen Age. Cette structure de combustion rappelle des fours de type culinaire mis au jour sur des habitats du bas Moyen Age à Kerdalaun-Kerintin (Guipavas) et sur l'île de Kemenez (Le Conquet) (Pailler, 2014 & sondage d'urgence Perennec, Pailler).

A 1 m au nord-ouest de F491 et partiellement pris sous la berme, le foyer à pierres chauffées F492 est coincé entre les fossés d'enceinte F493 et 506, apparemment sans recoupement. Il n'a livré aucun mobilier au nettoyage. En l'absence de données complémentaires, il pourrait tout aussi avoir fonctionné avec l'occupation campaniforme (*cf. supra*) qu'avec le site médiéval.



**Fig. 204.** 1. Vue verticale du four F491 (à droite) et du foyer à pierres chauffées F492 (à gauche) ; 2. Vue oblique depuis l'est, au premier plan F491 coupant le fossé F506 et à l'arrière-plan, dans la berme, le foyer à pierres chauffées F492.

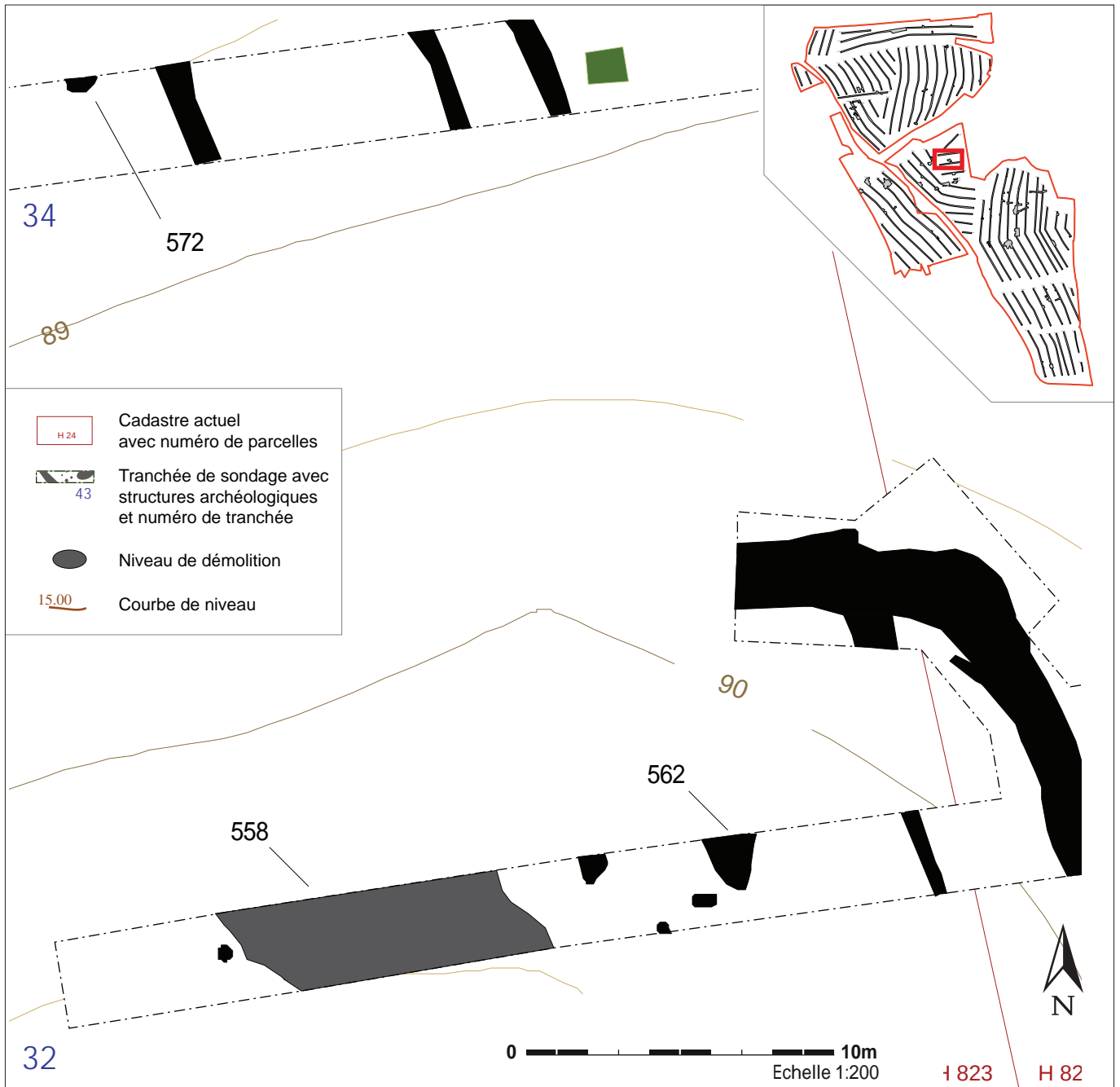


Fig. 205. Zoom autour du probable niveau de démolition F558, Tr 32.



### 2.7.2.3. Un niveau de démolition ?

A l'exception d'une possible aire de démolition, nous n'avons mis au jour aucun bâtiment en pierre ou de concentrations de trous de poteau pouvant indiquer une construction pérenne.

Situé non loin de l'angle nord-est de l'enceinte, ce niveau probable de démolition se présente sous la forme d'une couche irrégulière de limon brun-noir, homogène et meuble dans laquelle on trouve de nombreux cailloux et blocs de granite ainsi qu'une forte densité de tessons de céramique (**fig. 205**). Quelques trous de poteau ont été repérés aux abords de cette couche. L'ensemble des vases récoltés comporte un bord droit modelé d'un plat ou d'une jatte à pâte grossière micacée brune aux surfaces noircies (**fig. 206, CE 05**), d'un bord en bourrelet modelé d'un plat ou terrine à pâte granuleuse micacée brune (**fig. 206, CE 26**). On note aussi la présence de deux bords en bourrelet modelé d'un plat ou terrine à pâte granuleuse micacée orange ; leur surface externe est noircie. Enfin, on ajoutera à cette liste deux lèvres, un fond, un pied (ou préhension) et 72 panses à pâte granuleuse orange à brun datant des XIII<sup>e</sup>-XIV<sup>e</sup> siècles.

### 2.7.2.4. Des fosses

C'est également dans la partie orientale de l'enclos que l'on retrouve la plus forte densité de fosses (**fig. 195**).

En tranchée 27, la fosse F542 mesure 1,3 m de longueur sur 0,5 m de largeur. En surface, elle présente un comblement limoneux brun-noir, peu hétérogène et meuble avec de nombreux graviers, des cailloux et des blocs de granite. Seule une panse épaisse à pâte grossière beige est recensée rendant difficile une datation précise dans le bas Moyen Age.

La fosse 496 (Tr 25) a livré trois fragments de panses à pâte granuleuse très micacée orangée ayant la surface externe noircie datant des XIII<sup>e</sup>-XIV<sup>e</sup> siècles. Ces tessons se trouvent certainement en position secondaire car nous les avons trouvés au moment du décapage et que le matériel recueilli dans le remplissage stricto sensu du fait correspond à du matériel lithique campaniforme.

La petite fosse ovale F572 (Tr 34) se trouve en dehors de l'enceinte médiévale, à quelques mètres au nord-est (**fig. 205**). Elle mesure 1,05 m de longueur sur 37 cm de largeur visible. Son remplissage est composé d'un limon argileux brun foncé, hétérogène et meuble. L'unique céramique présente est une panse à pâte granuleuse orange à la surface externe noircie datant des XIII<sup>e</sup>-XIV<sup>e</sup> siècles.

Dans l'angle nord-est de l'enclos de Prat Mellec, la fosse F562 (Tr 32) est partiellement prise sous la berme (**fig. 205**), y ont été découverts au décapage une lèvre de plat à pâte très micacée brune dotée d'une glaçure interne couvrante verte et trois panses datant des XV<sup>e</sup>-XVII<sup>e</sup> siècles. Ce témoignage tardif montre que le site de Prat Mellec a dû connaître une occupation sporadique entre la fin du Moyen Age et la Période Moderne.

### 2.7.2.5. La céramique du bas Moyen Age (E. Coffineau)

Un lot intéressant de céramiques a été mis au jour lors du diagnostic (372 fragments dont 28 bords et trois fonds). Ces vases se répartissent dans sept sondages (**tabl. 4**) concentrés dans la partie ouest de l'emprise, dans la zone d'un habitat (**fig. 150**). Le mobilier date essentiellement des XIII<sup>e</sup>-XIV<sup>e</sup> siècles.

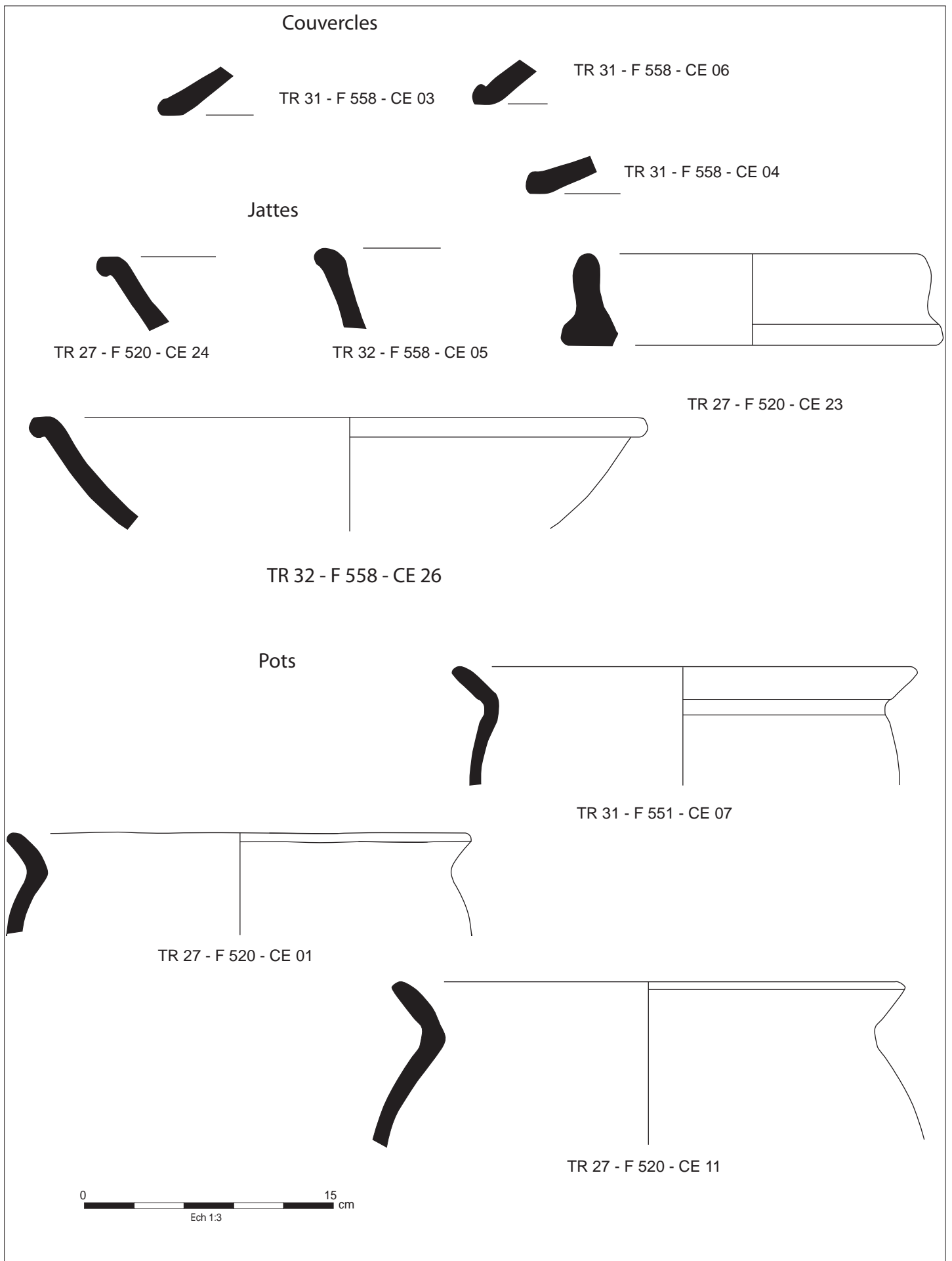


Fig. 206. ZAC nord Lavallot en Guipavas, céramiques des XIII<sup>e</sup>-XIV<sup>e</sup> siècles (DAO E. Coffineau).

**Tabl. 9.** Répartition de la céramique du bas Moyen Age

Tranchée	Nature du Fait	N° Fait	NR
25	Foyer/four	491	11
25	fossé	493	15
25	fosse	496	3
25	fossé	519	65
26	fossé	486	1
26	fossé	528	6
27	fossé	520	100
27	fosse	542	1
31	fossé	551	39
32	démolition	558	101
32	fossé	564	25
32	fossé	570	2
33	fosse	572	1
34	foyer/four	585	2

Les vases collectés sont souvent très fragmentés et n'ont pu être systématiquement identifiés. Cependant, ils sont majoritairement destinés à la préparation et la cuisson des aliments.

Ce sont des productions qui peuvent être parfois tournassées et dont les surfaces n'ont pas toujours fait l'objet d'un travail de finition soigné. Comme pour les périodes antérieures, les officines de potiers qui approvisionnent localement les marchés finistériens entre les XI<sup>e</sup> et XIV<sup>e</sup> siècles sont encore méconnues. Cependant, il est à noter le caractère homogène des productions trouvées lors du diagnostic, pouvant laisser supposer qu'elles sont issues d'un même atelier.

Les poteries sont à pâte granuleuse qui comporte une très grande quantité de paillettes de micas et sont cuites en atmosphère oxydante avec une prédominance des teintes variant du beige clair à l'orangé (en fonction de la teneur en oxydes de fer) avec la surface externe et la lèvre parfois noircies.

Le répertoire typologique se compose de vases destinés à la cuisson et au stockage avec la présence de pots à lèvre simple allongée et déversée (16 bords dont, **fig. 206, CE 01, CE 07 et CE 11**), de quelques plats (**fig. 206, CE 05, CE 24 et CE 26**), de deux grands plats ou galettières dotés d'une petite anse (dont **CE 23, fig. 206**) et par des couvercles coniques à bord simple (dont **fig. 206, CE 03, CE 04 et CE 06**). Ces caractères typologiques sont à rapprocher des productions finistériennes recensées par F. Labaune-Jean sur le site de Leslouch à Plouédern (Labaune-Jean, 2013, p. 284-285) qui ont été datées entre les XI<sup>e</sup>-XIV<sup>e</sup> siècles.

Ce lot de vaisselle est intéressant par l'homogénéité des productions et par leurs caractéristiques techniques qui peuvent être comparables à aux céramiques qui ont été trouvés sur le site voisin de Kerdalaün-Kerintin à Saint-Divy - Guipavas (Ménez, 2014). Il permet d' étoffer le corpus des céramiques datant des XIII<sup>e</sup>-XIV<sup>e</sup> siècles à la pointe armoricaine.

#### 2.7.2.6. Pour conclure

Le site médiéval de Prat Mellec se trouve dans un enclos trapézoïdal délimitée par un ou deux fossés d'enceinte ; l'ensemble couvrant une surface de 5840 m . Bien qu'aucune habitation n'ait été mise au jour, gageons que le niveau de démolition, les trous de poteau et les fosses observés en partie orientale soient les indices d'une activité domestique. Les deux fours repérés vont également dans ce sens, au moins pour l'un d'entre eux qui fait penser à un four culinaire. Le matériel céramique est très homogène et typique des productions locales des XIII<sup>e</sup>-XIV<sup>e</sup> siècle.





## 2.8. La période moderne

Quelques rares faits peuvent être attribuables à la Période Moderne sur la base de quelques tessons (**fig. 207**). D'autres en revanche pourraient être en position secondaire dans des structures plus anciennes (cas du cimetière médiéval).

### 2.8.1. Description des faits

Dans l'emprise du cimetière alto-médiéval, deux sépultures ont livré des tessons attribuables à la Période Moderne. On peut penser qu'il s'agit d'intrusions dans la mesure où plusieurs tombes ont livré des tessons du haut Moyen Age. C'est le cas notamment de la sépulture F367 (Tr 17) dans laquelle a été découvert un petit lot de céramiques chronologiquement hétérogènes dont une anse arrondie à pâte fine très micacée beige dotée d'une couverte noire datant de l'époque moderne et trois panses modelées à pâte micacée brune datant du haut Moyen Age. La sépulture F346 (Tr 16) a livré deux fragments de panse, l'une à pâte fine blanche ayant chauffée et l'autre à pâte brune dotée d'une glaçure couvrante interne brune. On peut les attribuer chronologiquement aux XV<sup>e</sup>-XVII<sup>e</sup> siècles.

Au nord de la carrière antique, en tranchée 5, les fossés F179 (l = 40 cm) et F180 (l = 55 cm) sont parallèles entre eux et orientés nord-sud. Ils correspondent probablement à des limites de parcelles. En surface de F179 a été recueilli un fragment de panse dotée de perforations à pâte fine beige et aux surfaces à glaçure couvrante verte. On peut l'attribuer aux XV<sup>e</sup>-XVII<sup>e</sup> siècles.

La petite fosse F631 (1,1 x 0,5 m) en tranchée 39 a livré un seul fragment de panse à pâte fine brune s'apparentant aux productions modernes.

En tranchée 58, dans la fosse 883, partiellement prise sous la berme, il a été prélevé au décapage une panse avec anse d'un pichet. Elle a une pâte granuleuse beige dotée d'une glaçure externe couvrante verdâtre datant des XV<sup>e</sup>-XVII<sup>e</sup> siècles.

### 2.8.2. La céramique moderne (E. Coffineau)

Les traces de l'occupation moderne (entre le XV<sup>e</sup>-XVII<sup>e</sup> s.) sont ténues. Les fragments de céramiques sont peu nombreux (16 fragments dont un lèvre d'un plat) et peuvent avoir été redéposés dans des structures plus anciennes (**tabl. 10**).

**Tabl. n° 10.** Répartition de la céramique moderne

Tranchée	Nature du Fait	N° Fait	NR
5	fossé	179	1
5	sépulture	346	2
7	isolat	Iso 7	1
16	sépulture	367	4
32	fosse	562	4
39	fosse	631	1
58	fosse	883	3

#### Tranchée 5, fossé 179 et sépulture 346

Le lot se compose d'une panse dotée de perforations à pâte fine beige et aux surfaces dotées d'une glaçure couvrante verte, d'une panse à pâte fine blanche ayant chauffée et une panse à pâte brune dotée d'une glaçure couvrante interne brune. L'absence de formes identifiées ne permet pas de préciser la datation qui couvre les XV<sup>e</sup>-XVII<sup>e</sup> siècles.

#### Tranchée 7, iso 7

La seule céramique retrouvée est une panse granuleuse très micacée crème dont la surface externe noircie. C'est une production connue dans des contextes datant des XV<sup>e</sup>-XVI<sup>e</sup> siècles.

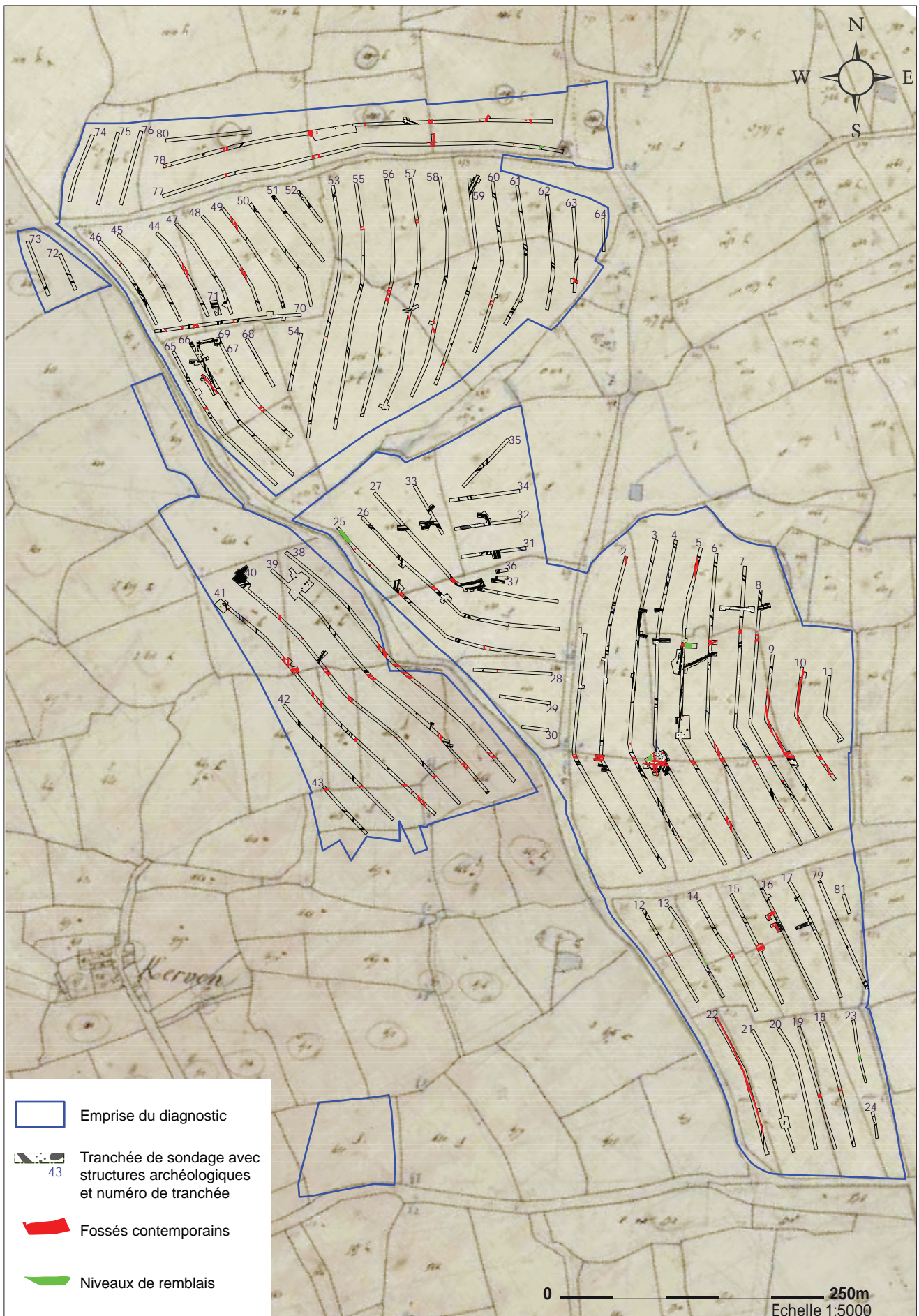


Fig. 208. Superposition des fossés contemporains sur le cadastre napoléonien .

**Tranchée 16, sépulture 367**

Les vases présents sont chronologiquement hétérogènes avec une anse arrondie à pâte fine très micacée beige dotée d'une couverte noire datant de l'époque moderne et trois panses modelées à pâte micacée brune datant du haut Moyen Age.

**Tranchée 32, fosse 562**

Les vases présents sont une lèvre de plat à pâte très micacée brune dotée d'une glaçure interne couvrante verte et trois panses datant des XV<sup>e</sup>-XVII<sup>e</sup> siècles.

**Tranchée 39, fosse 631**

Seule une panse à pâte fine brune a été trouvée s'apparentant aux productions modernes.

**Tranchée 58, fosse 883**

Une panse avec anse d'un pichet a été prélevée. Elle a une pâte granuleuse beige dotée d'une glaçure externe couvrante verdâtre datant des XV<sup>e</sup>-XVII<sup>e</sup> siècles.

## 2.9. La période contemporaine

Les structures appartenant à la Période Contemporaine sont logiquement assez nombreuses. Globalement elles correspondent soit à du réseau parcellaire, soit à des vestiges de la Deuxième Guerre Mondiale ou encore à des dépotoirs à ciel ouvert que l'on peut dater des années 1950-1970 (**fig. 208**). Ces accumulations de déchets ont généralement été enfouies dans les bas-fonds, aux abords des zones humides, et ont servi de remblai pour les combler.

### 2.9.1. Un réseau de parcelles (**fig. 208**)

Grâce à la superposition du cadastre napoléonien (1828) et des structures mises au jour dans le cadre du diagnostic, il a été possible d'attribuer une grande partie des fossés découverts à la Période Contemporaine. En règle générale, les fossés contemporains se superposent parfaitement ou avec un léger décalage avec les limites de parcelles représentées sur le plan cadastral ancien. Chaque fossé a son homologue qui lui est parallèle ; ils correspondent aux fossés bordiers d'un talus aujourd'hui arasé qui se trouvait au centre. L'observation de photos aériennes prises dans les années 1950 montre assez peu de modifications avec le parcellaire ancien, preuve que le bocage est resté stable sur plus d'un siècle (**fig. 209**). Quelques uns de ces fossés contemporains ont été coupés mécaniquement.

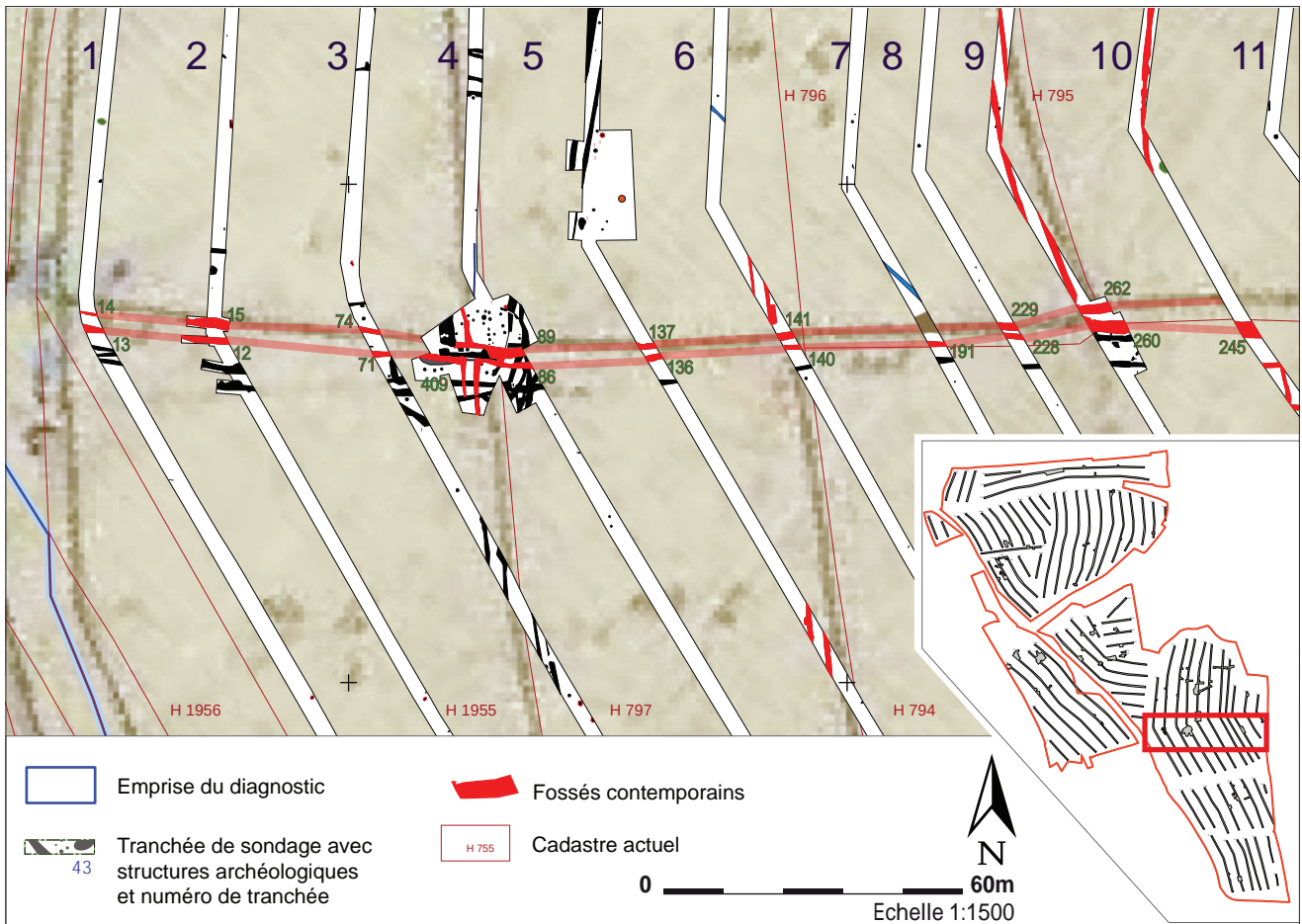
Le tronçon F262 (Tr 9) se poursuit à l'est avec les tronçons F229 (Tr 8), F192 (Tr 7), F141 (Tr 6) et F137 (Tr 5), F1107 (TR 4), F74 (Tr 3), F15 (TR 2) et F14 (Tr 1). Il forme un fossé qui coupe l'emprise d'est en ouest (**fig. 210**). F262 mesure 1,74 m de largeur sur 33 cm de profondeur. Il présente un profil en auge à parois relativement abruptes et fond plat. Le bord sud s'évase en partie haute (**fig. 211**). Beaucoup plus à l'est, le tronçon F15 a également été testé ; son profil est en cuvette à bords évasés et fond irrégulier. Il mesure 1,3 m de largeur et 34 cm de profondeur (**fig. 212**). Sous le tronçon F15 a été mis au jour un trou de poteau (F407). Ce fossé est doublé au sud par un autre fossé composé d'une série de tronçons. D'est en ouest, il s'agit de F245 (Tr 10), F260 (Tr 9), F228 (Tr 8), F191 (Tr 7), F140 (Tr 6), F136 (Tr 5), F86 et 409 (Tr 4), F71 (Tr 3), F12 (Tr 2), F13 (Tr 1). A l'ouest, F12 montre un profil irrégulier en cuvette, à bords évasés et fond plat ; il mesure 1,1 m de largeur et 0,46 m de profondeur (**fig. 213**). A l'extrémité opposée, c'est F260 qui a été coupé ; ce tronçon mesure 2,53 m de large et 35 cm de profondeur. Son creusement est très irrégulier et les bords sont évasés (**fig. 214**). A noter que les quatre tronçons testés ont fait l'objet d'un curage.





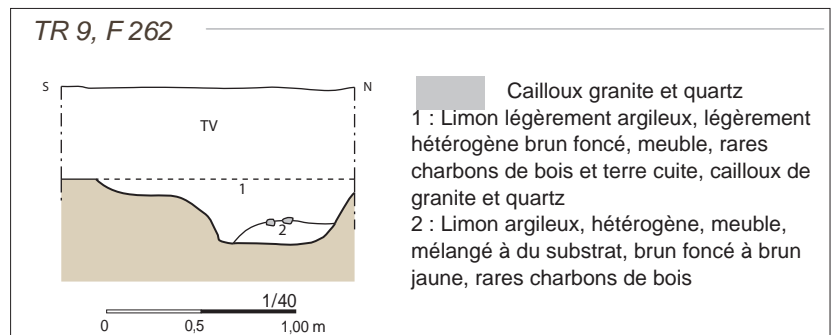
Fig. 209. Superposition des fossés contemporains sur une photo aérienne des années 1950.



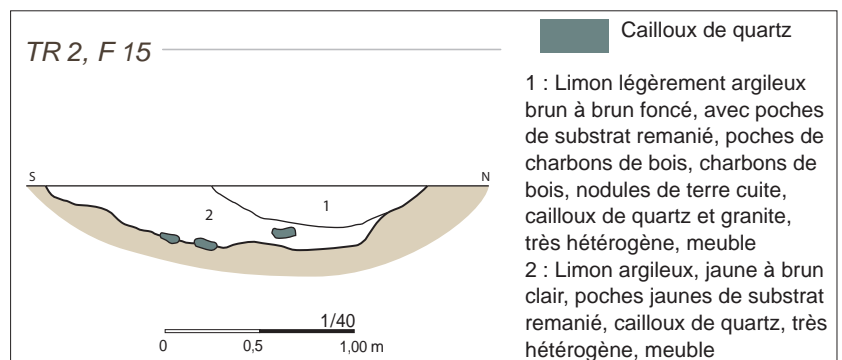


**Fig. 210.** Zoom autour des deux fossés parallèles composés des tronçons F262 (Tr 9), F229 (Tr 8), F192 (Tr 7), F141 (Tr 6) et F137 (Tr 5), F1107 (Tr 4), F74 (Tr 3), F15 (Tr 2) et F14 (Tr 1) et des tronçons F245 (Tr 10), F260 (Tr 9), F228 (Tr 8), F191 (Tr 7), F140 (Tr 6), F136 (Tr 5), F86 et 409 (Tr 4), F71 (Tr 3), F12 (Tr 2), F13 (Tr 1) sur fond de cadastre napoléonien.

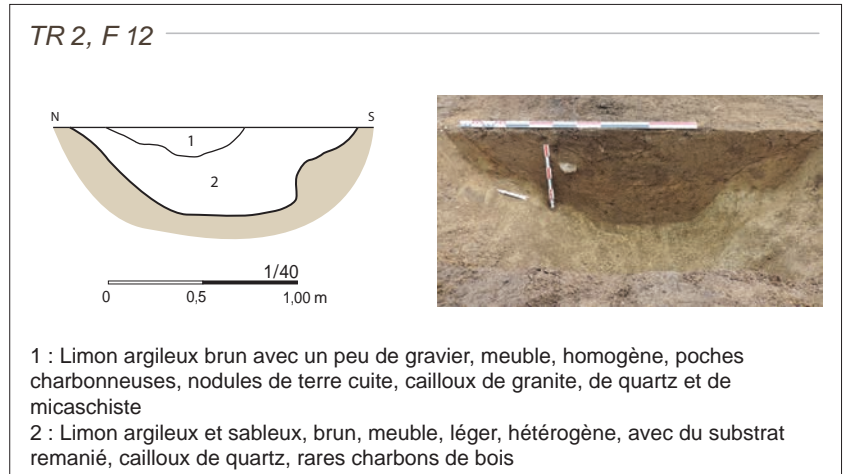
**Fig. 211.** Coupe du tronçon de fossé F262, Tr 9.



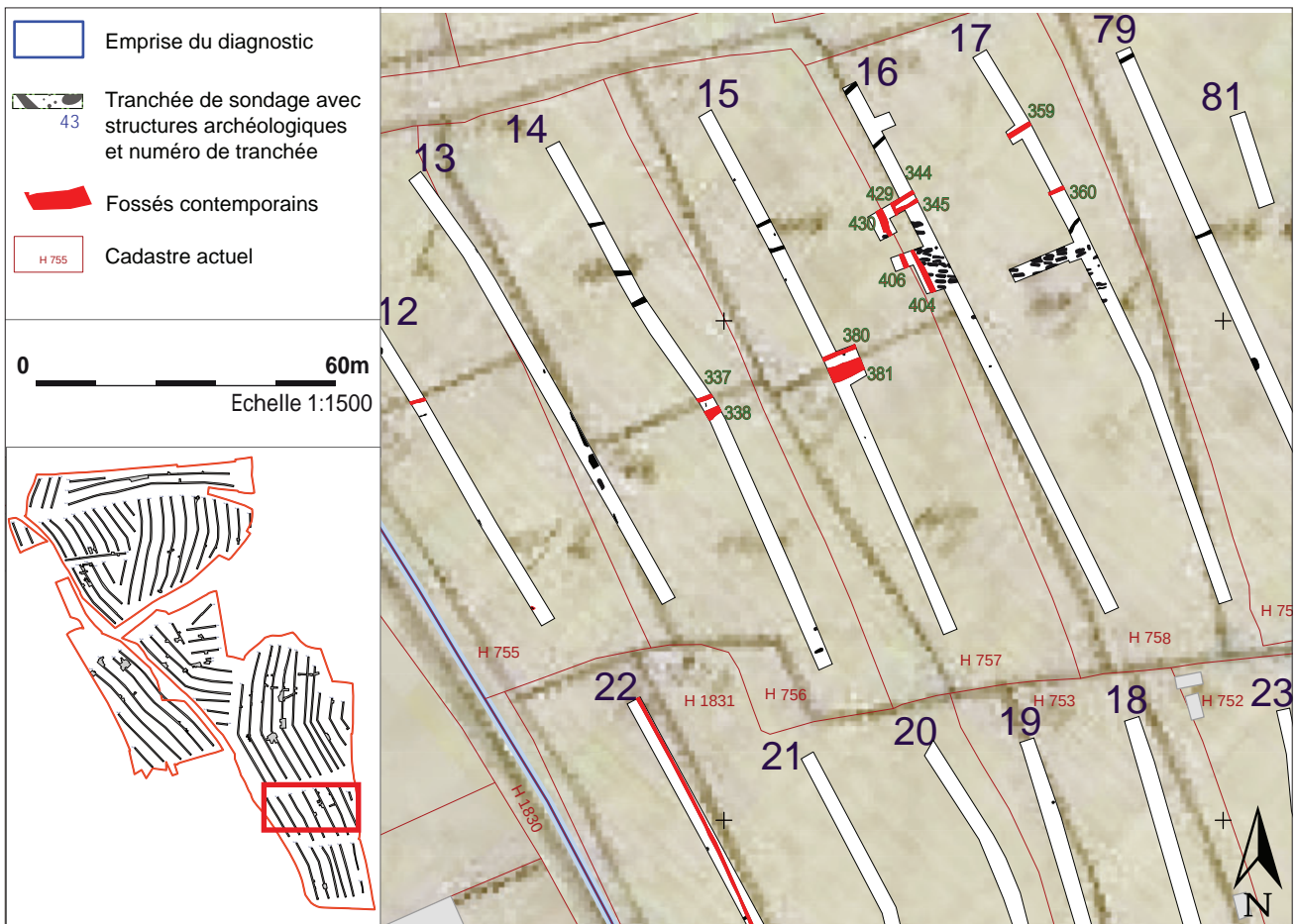
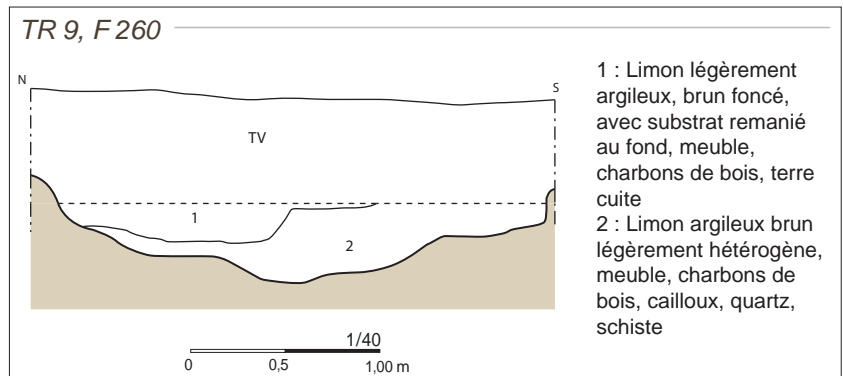
**Fig. 212.** Coupe du tronçon de fossé F15, Tr 2.



**Fig. 213.** Coupe du tronçon de fossé F12, Tr 2 et vue de la coupe depuis l'ouest



**Fig. 214.** Coupe du tronçon de fossé F260, Tr 9.

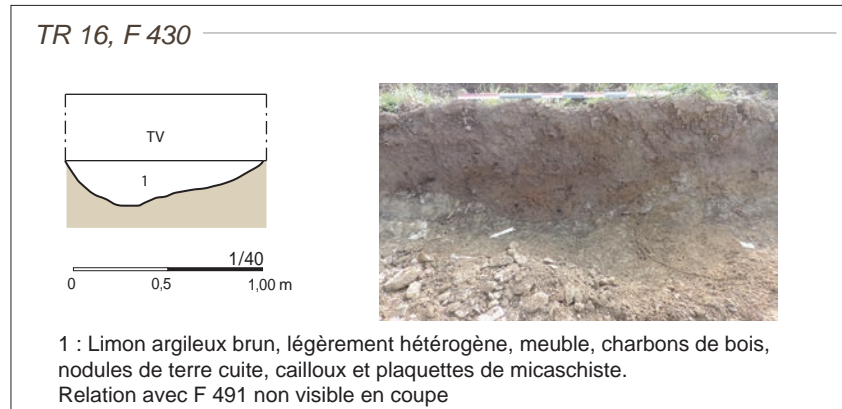


**Fig. 215.** Zoom autour du cimetière alto-médiéval (Tr 15, 16, et 17)

Dans le secteur du cimetière alto-médiéval, plusieurs tronçons de fossés ont fait l'objet de coupe (fig. 215).

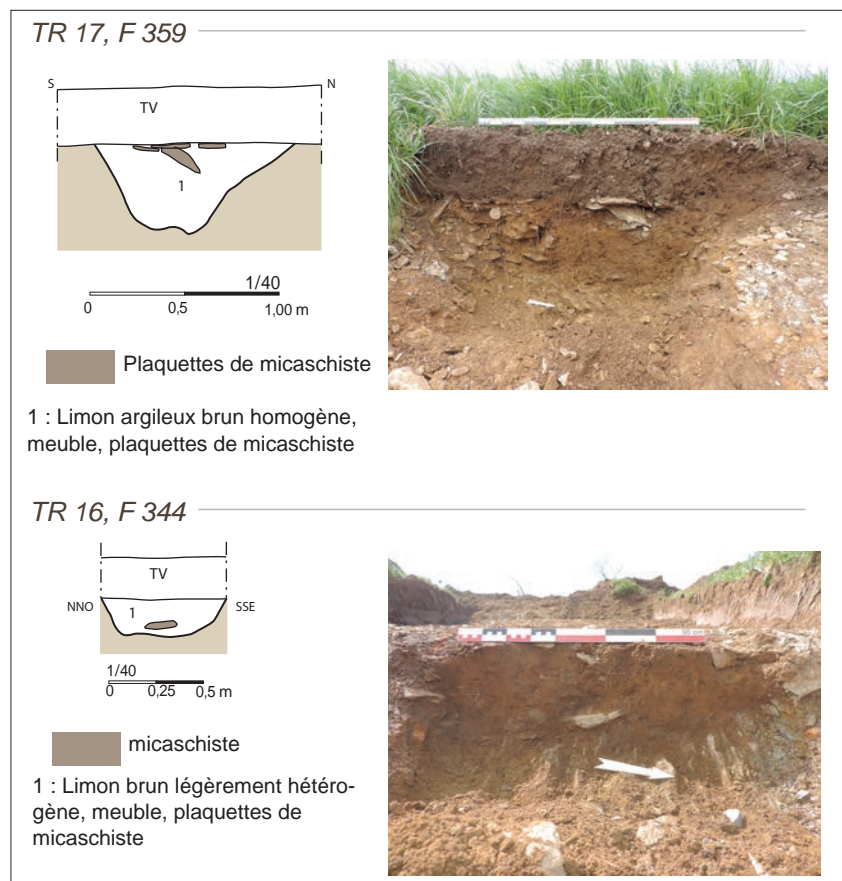
Malgré un léger décalage dans la superposition, le tronçon de fossé F430 (Tr 16) doit correspondre à une limite de parcelle représentée sur le cadastre napoléonien. Ce tronçon se prolonge vers le sud avec F406. Ces deux tronçons forment un fossé orienté NNO-SSE qui est parallèle et doit fonctionner avec celui composé de F429 et F404. F429 et F404 sont intéressants d'un point de vue de la chronologie relative car ils viennent couper des tombes médiévales. F430 mesure 1,4 m de largeur pour 26 cm de profondeur ; son profil est irrégulier et ses bords évasés (fig. 216).

Fig. 216. Vue de la coupe du tronçon de fossé F430 (Tr 16) depuis le nord-ouest

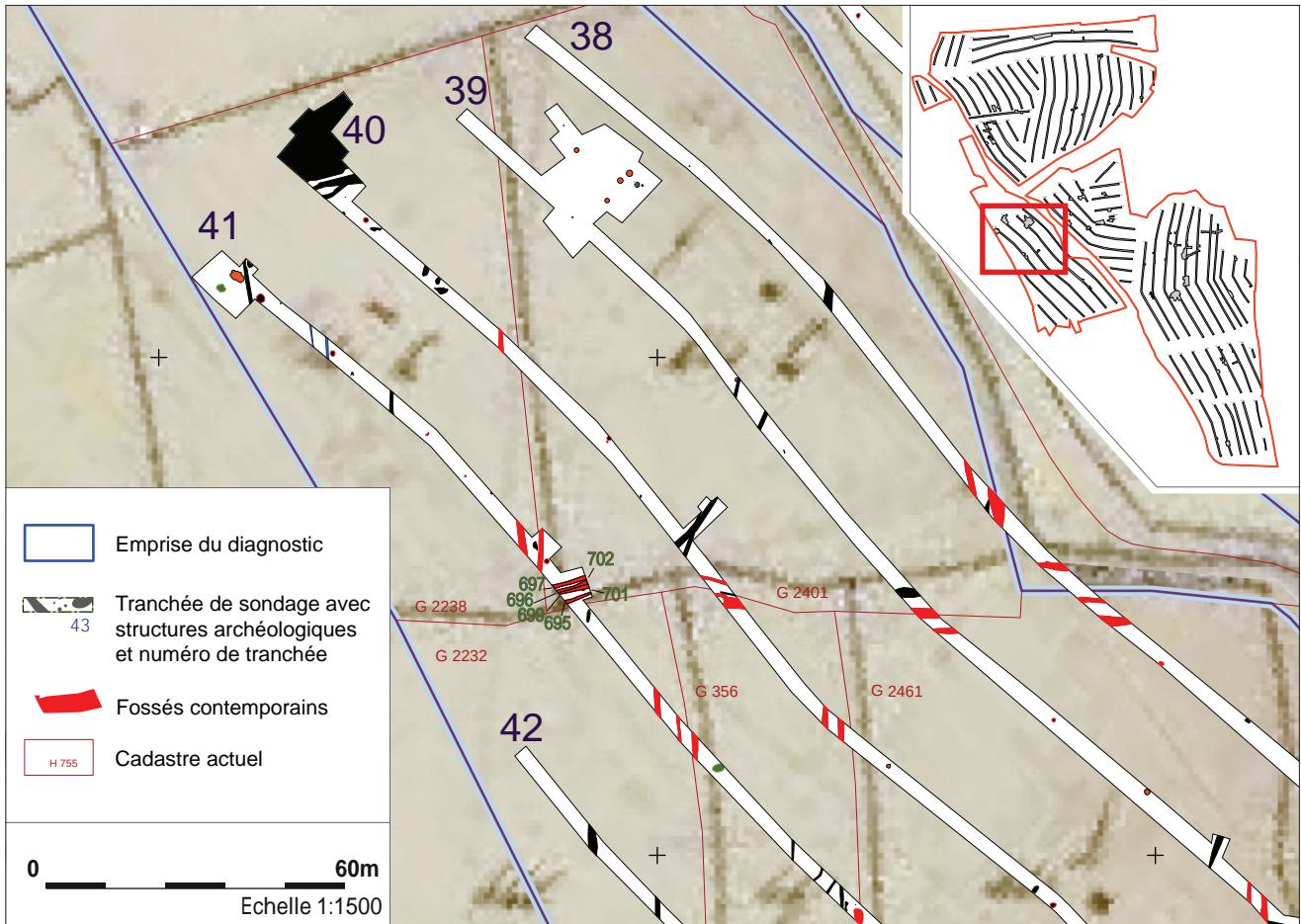


Les tronçons F359 (Tr 17) et F344 (Tr 16) sont perpendiculaires au cadastre napoléonien et viennent s'appuyer dessus. Il est donc probable qu'ils correspondent à un sous-découpage de ce parcellaire (fig. 217). Ils ont été creusés dans les mylonites schistosées. F359 a des bords assez abrupts qui vont en s'évasant vers l'ouverture ; le fond est irrégulier. F344 a davantage un profil en cuvette. Le premier mesure 1 m pour 42 cm de profondeur et le second 67 cm pour 22 cm de profondeur. On peut penser qu'il en est de même pour le tronçon F360 (Tr 17) qui est orienté est-ouest et parallèle à F359. Ce dernier présente un profil en U et mesure 50 cm de large et 28 cm de profondeur (fig. 218)

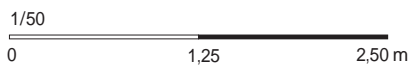
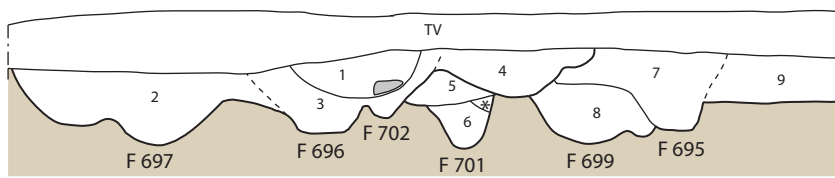
Fig. 217. Coupe des tronçons de fossé F359 (Tr 17), vue de la coupe depuis l'est et F 344 (Tr 16), vue de la coupe de F344 depuis l'est.







TR 41, F 695, F 697, F 696, F 699, F 701, F 702



Granite

- 1 : Recreusement dans F 696 et F 702, limon brun foncé, homogène, assez compact, charbons de bois, nodules de terre cuite, bloc de granite
- 2 : F 697, limon argileux brun, meuble, hétérogène, rares graviers
- 3 : F 696, F 702, limon légèrement argileux brun/gris, assez compact, hétérogène, charbons de bois, rares nodules de terre cuite
- 4 : Recreusement ?, limon argileux, légèrement compact, brun, légèrement hétérogène, charbons de bois, traces d'oxydation
- 5 : F 701, limon argileux brun-gris clair, hétérogène, légèrement compact, rares charbons de bois
- 6 : F 701, limon argileux brun-gris, légèrement hétérogène, meuble, charbons de bois, probablement équivalent à F 700, fond de fossé ou fosse dans le fossé, visible en plan dans le sondage
- 7 : F 695, limon argileux brun foncé, légèrement compact, hétérogène, charbons de bois, nodules de terre cuite, poches charbonneuses
- 8 : F 699, limon argileux brun, légèrement hétérogène, assez compact, charbons de bois, rares graviers de granite
- 9 : Limon brun foncé, homogène, meuble, galet

\* : Bioturbation ou effondrement de paroi



Fig. 220. Zoom en plan sur les tronçons de fossés F695 à F702, Tr 41 ; coupe générale avec F697, 696, 702, 701, 699, 695 et vue de la coupe depuis le sud

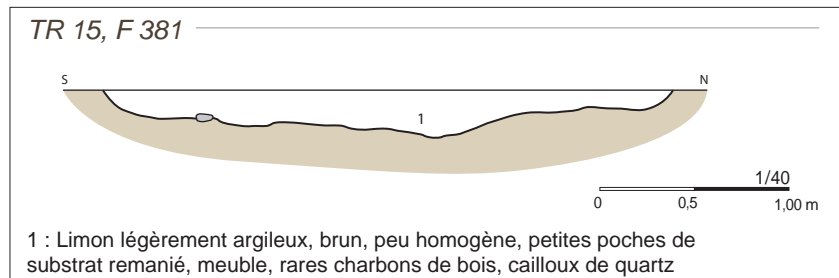


**Fig. 218.** Coupe du tronçon de fossé F360 (Tr 17) et vue de la coupe depuis le sud-ouest



En tranchée 15, le tronçon de fossé F381 se superpose quasi parfaitement au cadastre napoléonien et devait former avec F380 les deux fossés bordiers d'un talus. Sa coupe monte un profil très large (2,9 m), peu marqué (26 cm) et irrégulier (**fig. 219**).

**Fig. 219.** Coupe du tronçon de fossé F381 (Tr 15).



En tranchée 41, ce ne sont pas moins de sept faits qui ont été coupés de manière simultanée (**fig. 220**). On observe plusieurs tronçons de fossés parallèles ainsi que des surcreusements de ces fossés. Ils se superposent très bien avec les limites parcellaires du cadastre napoléonien.

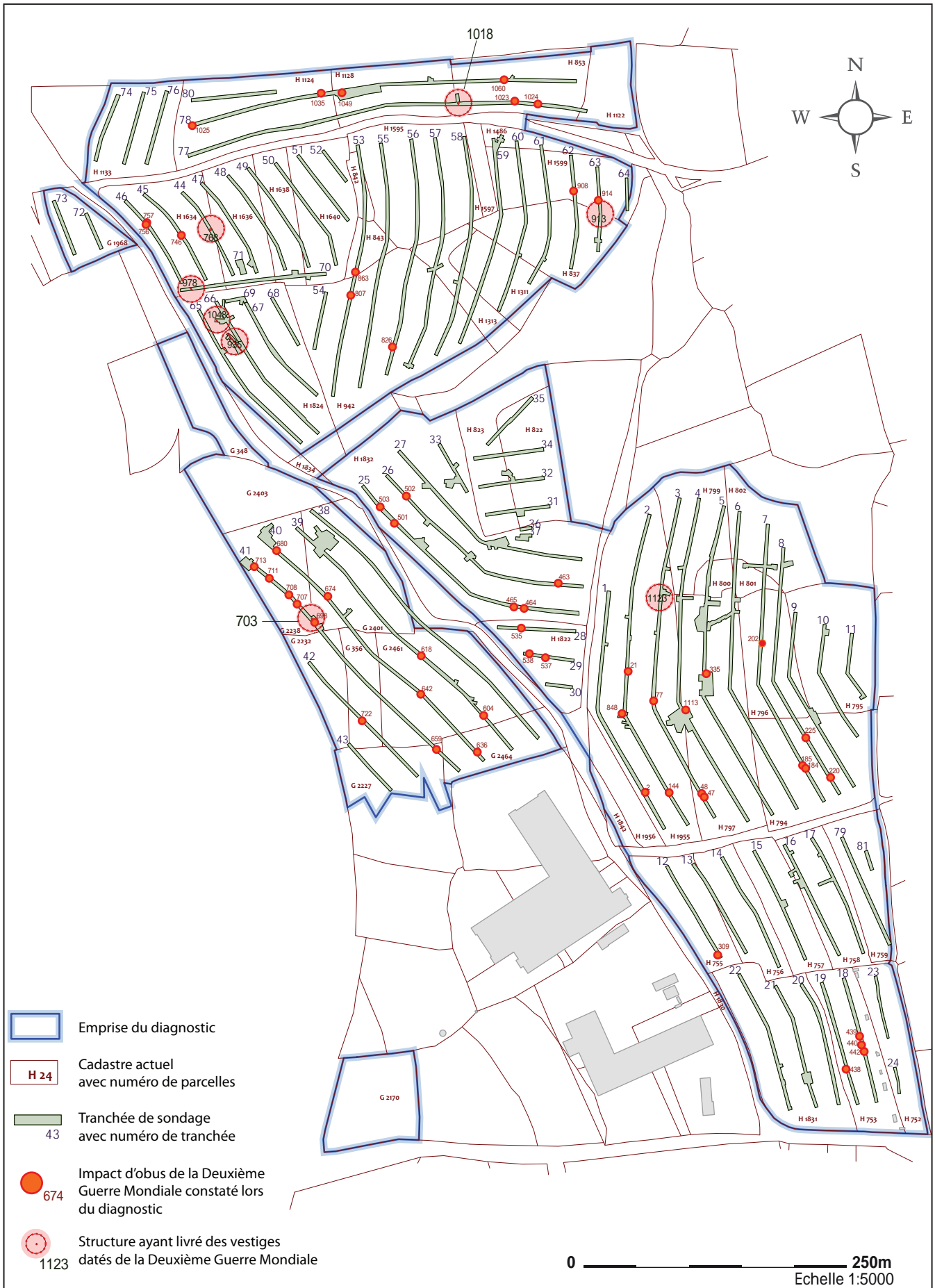


Fig. 221. Plan de répartition général des vestiges de la deuxième Guerre Mondiale. = ZWW1

## 2.9.2. Des vestiges de la deuxième Guerre Mondiale (K. Bideau)

L'opération de diagnostic de Guipavas-ZAC de Lavallot a mis au jour plusieurs structures contenant du mobilier de la deuxième Guerre Mondiale. Nous l'avons rappelé au début de ce rapport (**fig. 221**), la majorité concerne des impacts d'obus qui se répartissent sur l'ensemble de l'emprise voire des dépôts d'engins explosifs. La découverte de ces derniers a été immédiatement relayée auprès du service de déminage qui a pris en charge leur destruction. Deux fosses ont livré plusieurs objets ou lots de mobilier correspondant à des vestiges de la bataille de Brest (juillet-août 1944).

### 2.9.2.1. La fosse dépotoir F703 (Tr 41)

#### Description générale

F703 est une structure excavée oblongue (1,90 m x 0,90 m), orientée NNO-SSE, d'une profondeur maximale de 25 cm (**fig. 222**). Elle est installée entre les deux tronçons de fossés parallèles F704 et F705 –elle mord d'ailleurs sur ce dernier-, formant une limite de parcelle déjà représentée sur le cadastre napoléonien. Il s'agit d'une fosse dépotoir datant de la fin de la seconde guerre mondiale ou de l'immédiate après-guerre. En effet, F703 a livré un lot de casques allemands disposé sur tout le long de la structure dans sa partie occidentale (**fig. 223**). Ceux-ci étaient accompagnés de divers éléments, majoritairement métalliques, et de munitions. La présence d'un élément métallique oblong de section triangulaire et d'éléments métalliques circulaires est à noter.

#### Le mobilier

Les cinq casques issus de la fouille de F703 sont des casques allemands de type Stahlhelm. Le Stahlhelm est un élément de protection de la zone crânienne du combattant dont l'origine remonte à 1916 lorsque le commandement allemand décida de remplacer le casque à pointe par un casque plus fonctionnel, couvrant largement la nuque et les tempes. Ainsi naît la gamme des Stahlhelm avec le Stahlhelm M16 (Tubbs, Clayson, 2000). Les casques trouvés à Lavallot sont des versions plus récentes du modèle décrit ci-dessus. Deux versions de Stahlhelm ont été identifiées. Le casque 1 est un modèle M35 (*ibid.*) en acier, identifiable à ces œillets rivetés (**fig. 224**), sa bordure retournée (**fig. 226**) et son attache de jugulaire rectangulaire (**fig. 225**). Ce type de casque présente normalement des marquages peints sur les côtés, mais l'état de corrosion du casque l'a probablement fortement endommagé. Un nettoyage délicat du casque permettrait peut-être de retrouver les restes de ces marquages. Les casques 2, 3, 4 et 5 sont tous de la même version. Il s'agit de Stahlhelm M40 en acier, identifiables à leurs œillets moulés (**fig. 227**), leurs bordures retournées et leurs attaches de jugulaires quadrangulaires aux angles arrondis (**fig. 228**). Bien qu'une directive de 1940 prévoit la disparition des insignes peints, ce type de casque peut également présenter des marquages peints mais leur mauvais état de conservation n'en permet pas la lecture (*ibid.*).

Lors de l'examen du casque n° 3, sous un rabat de la coiffe interne, une munition de calibre 7,92 dont l'amorce n'est pas percutée a été trouvée (**fig. 229**). Elle provient donc d'un stock inutilisé. La disposition des marquages du culot indique une munition américaine de Browning Calibre 30 (Haskew, 2013). Les marquages sont malheureusement illisibles.

Le mobilier isolé n° 8 (**fig. 230**) a été trouvé à proximité des casques dans la partie orientale de F703. Il s'agit d'une pièce métallique en acier de section triangulaire s'évasant de la pointe vers la partie sommitale. D'une longueur de 22 cm, cet élément fait penser à un poignard mais la densité et la forme semblent infirmer cette hypothèse. Il est plus probable que cet élément soit un pieu d'acier destiné à l'implantation des ouvrages militaires de type artillerie légère ou génie militaire.

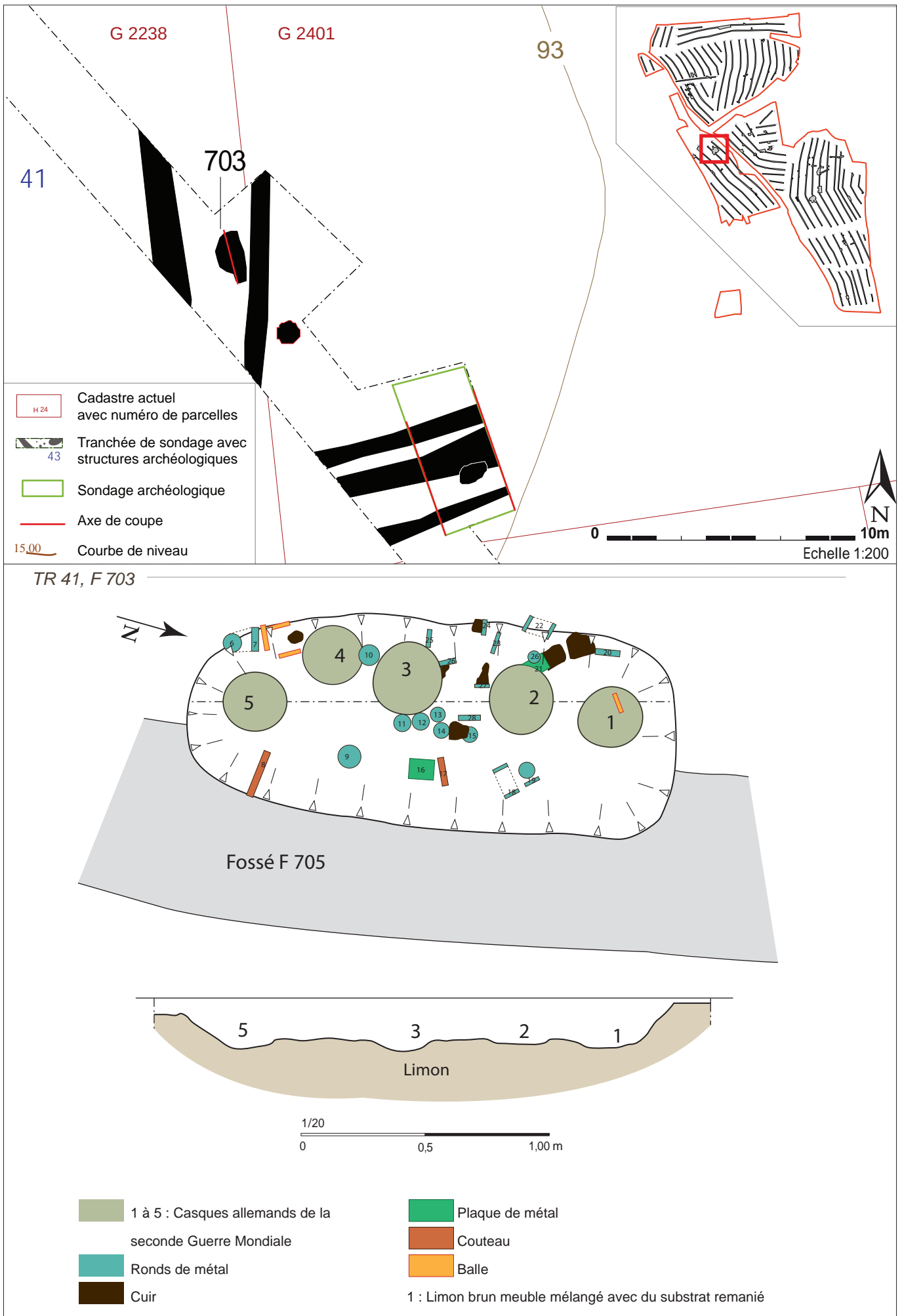


Fig. 222. Zoom autour de F703. Plan et coupe de F703 en tranchée 41.





**Fig. 223.** Montage photos de F703. 1. Vue verticale en début de fouille ; 2. Vue générale avec mobilier in situ depuis l'ouest ; 3. Vue générale avec mobilier in situ depuis l'est ; 4. Vue générale avec mobilier in situ depuis le sud ; 5. Vue générale avec mobilier in situ depuis le nord ; 6. Vue verticale avec mobilier in situ.

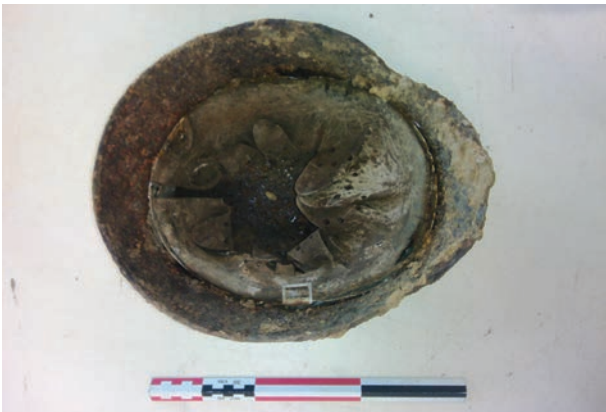




**Fig. 224.** F.703, casque 1, vue générale. A noter la présence d'un œillet riveté à l'avant du casque.



**Fig. 225.** F.703, casque 1, vue de détail de la boucle de jugulaire rectangulaire.



**Fig. 226.** F.703, casque 1, vue intérieure et des bordures retournées.



**Fig. 227.** F.703, casque 2, vue générale. A noter la présence d'un œillet moulé à l'avant du casque.



**Fig. 228.** F.703, casque 2, vue de détail de la boucle de jugulaire aux angles arrondis.



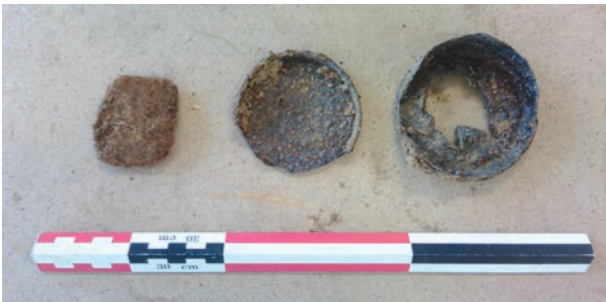
**Fig. 229.** F.703, culot non percuté et marqué de munition américaine type Browning Cal. 30.



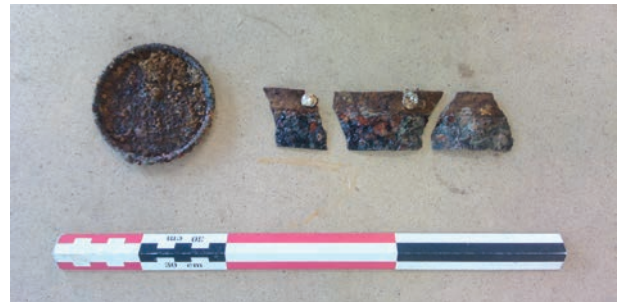
**Fig. 230.** F.703, pieu métallique de section triangulaire.

Les deux fosses contenaient une grande quantité de pièces métalliques circulaires de tailles identiques (Diam. = 7,2 cm) et des fragments de métal de section courbe pouvant présenter des rivets (**fig. 231 et 232**). Nous sommes en présence de deux éléments distincts. Les pièces circulaires semblent provenir de boîtes alimentaires étant donné qu'elles présentent des marques de sertissage sur les bordures (Truffaut, De Fromont, 2002). Les éléments rivetés sont plus difficile à interpréter. La présence de ces rivets laisse penser qu'il s'agirait plutôt de boîtes de charges d'appoint pour mortier de 8 cm, probablement allemand (Haskew, 2013).

F703 et F1018 ont également livré plusieurs éléments textiles. Tout d'abord, une pièce de feutrine orangée a été découverte dans F1018 (**fig. 233**). Composé de laine bouillie et d'éléments végétaux agglomérés, cet élément est de taille trop réduite pour une identification claire mais pourrait provenir de la protection interne des sangles du paquetage d'un soldat US. En effet, la Wehrmacht n'utilise pas ce type de protection (Truffaut, De Fromont, 2002). Par ailleurs, F703 a livré deux pièces de cuir de forme quadrangulaire et percées aux angles de trous présentant des marques d'oxydation d'un alliage cuivreux (**fig. 234**). Elles sont constituées de cuir en lamelles tissées et compressées de manière industrielle. Les traces d'oxydations sur les bords trahissent le système de fixation de ces fragments quadrangulaires (**fig. 235**). F703 pouvant être largement postérieur à la guerre, il n'est pas exclu que ces fragments d'objet n'aient aucun rapport avec le conflit. Néanmoins, le contexte de la structure amène à privilégier une origine militaire, il pourrait s'agir d'une attache de paquetage.



**Fig. 231.** F.1018, pièces métallique circulaire (à droite) et élément textile indéterminé (à gauche).



**Fig. 232.** F.703, pièce métallique circulaire et éléments rivetés.



**Fig. 234.** F.703, pièce textile indéterminée.



**Fig. 235.** F.703, vue de détail des traces d'oxydation couvrant un des œillets de la pièce textile.

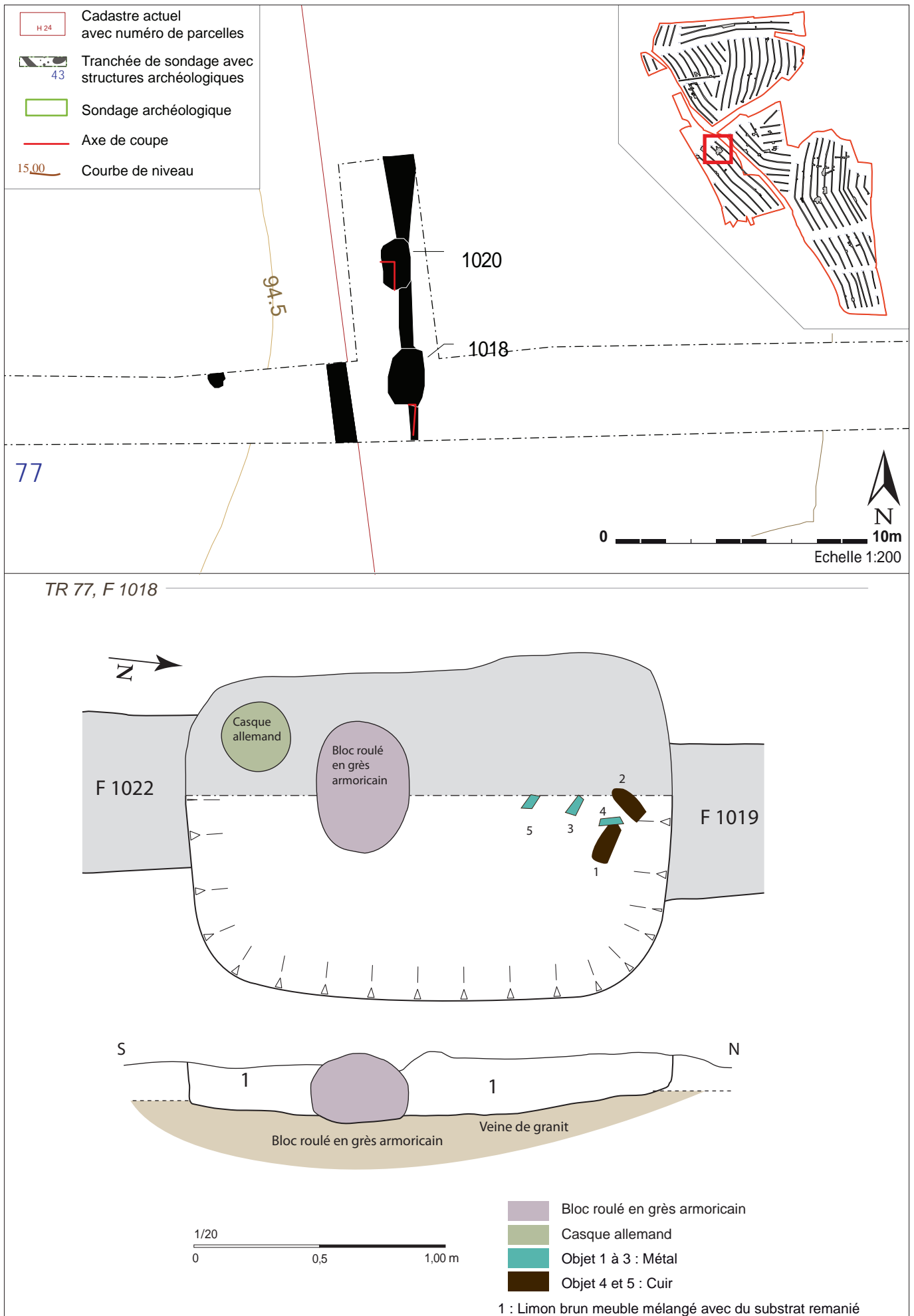


Fig. 236. Zoom autour de F1018 et F 1020. Plan et coupe de F1018 en tranchée 77.



### 2.9.2.2. La fosse F1018 (Tr 77)

F1018 est une structure excavée grossièrement quadrangulaire (1,9 x 1,1 m), orientée NNO-SSE (fig. 236). Cette fosse a été creusée dans le fossé contemporain F1022-1019, orienté nord-sud. Un peu au nord, la fosse F1020 (2,12 x 1,2 m) présente les mêmes caractéristiques et coupe elle-aussi les tronçons de fossé F1019-1021 (représenté sur le cadastre napoléonien) mais le test partiel effectué n'a livré aucun matériel (fig. 237). Pour autant, son remplissage est similaire à celui de F1018 et il est probable que ces deux fosses aient été creusées au même moment. Le profil de F1018 est irrégulier et sa profondeur de 0,25 m. C'est une fosse dépotoir présentant du mobilier métallique et textile similaire à F703 (cf. *infra*). D'une variété et d'une densité moindre, F1018 a néanmoins livré un casque d'infanterie allemand ainsi qu'un lot de pièces métalliques circulaires sertissables déjà observées dans F703 (fig. 238). Les pièces de cuir sont malheureusement trop fragmentées pour être identifiables. Bien qu'il n'ait a priori rien à voir avec ces vestiges de la dernière guerre, il faut mentionner la présence dans cette fosse d'un bloc roulé en grès armoricain en forme d'œuf dont l'origine est à rechercher du côté de la presqu'île de Crozon.

Fig. 237. Plan et coupe F1020 en tranchée 77 et vue générale depuis le sud-ouest.

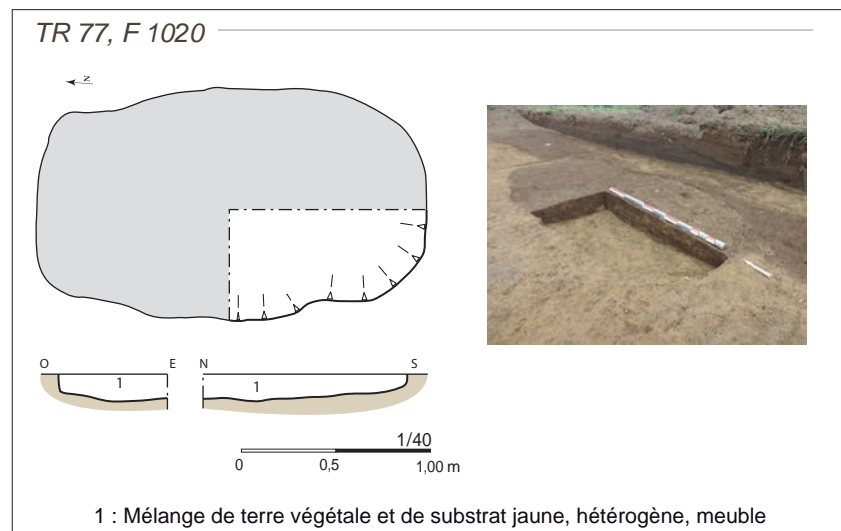


Fig. 238. Montage photos de la fosse F1018. 1. Vue verticale après fouille à 50% ; 2. Vue de la coupe depuis l'est ; 3. Vue de détail du casque allemand et du bloc roulé en grès armoricain ; 4. Vue de détail des pièces de cuir et des objets circulaires en métal.

### 2.9.2.3. Conclusion

Les deux fosses dépotoirs contemporaines découvertes lors du diagnostic sont des vestiges indirects de la bataille de Brest qui se déroula du 27 juillet au 19 août 1944. La présence d'une munition américaine sous la coiffe interne d'un casque allemand et les déchets métalliques d'origines variées démontrent qu'il s'agit d'un dépôt généraliste et non spécialisé. Ces dépôts sont des marqueurs chronologiques et spatiaux importants. Ils indiquent que le sous-sol est notablement impacté par les vestiges de la seconde guerre mondiale et que ces vestiges peuvent prendre des formes très diverses : fosses dépotoirs, lignes de poteaux, blockhaus, tranchées, impacts d'explosifs, etc. (Bideau, 2014).

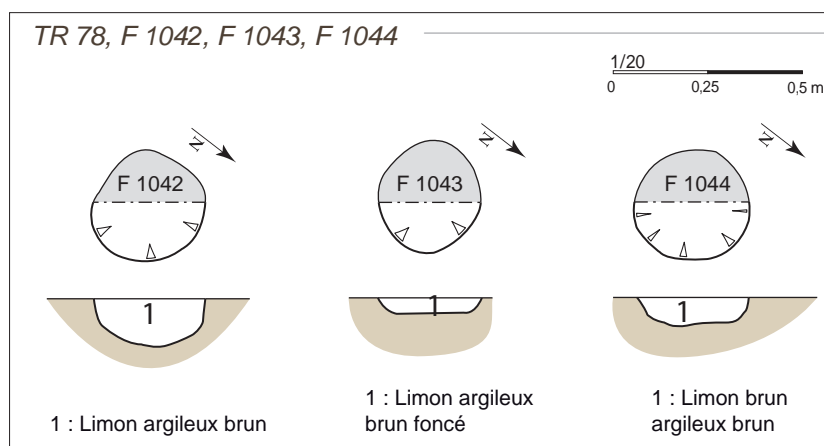
L'origine des dépotoirs observés est difficile à déterminer. Au terme de cette étude, nous pouvons émettre deux hypothèses sur le statut de ces fosses.

La première prend en compte deux informations indiquant une possible origine militaire de F703 et F1018. L'orientation similaire et les dimensions comparables des deux fosses pourraient étayer cette hypothèse. De plus, la présence de nombreux couvercles de conserves mêlés à du matériel militaire pourrait indiquer le stationnement d'une unité à proximité du site. Cette unité aurait pu être à l'origine du dépôt.

La seconde considère qu'il s'agit de dépotoirs « sauvages » résultant de collectes effectuées au gré des activités agricoles dans l'immédiate après-guerre. En effet, il s'agissait de démilitariser la zone qui avait subi de violents combats à la libération afin de pouvoir reprendre l'activité agricole au plus vite, ce que viennent corroborer les témoignages de quelques personnes âgées originaires du secteur que nous avons rencontrés. Cela explique également que la plupart des dépôts découverts lors de ce diagnostic, y compris ceux de munitions, se trouvaient enfouis aux abords immédiats des limites de parcelles ou dans des zones incultes (affleurement granitique), là où ils ne risquaient pas de gêner les cultures. L'aspect non-sélectif du dépôt et l'aspect irrégulier du profil du creusement constituent des éléments allant dans ce sens.

Les fosses de la ZAC de Lavalot constituent un témoignage assez modeste de l'impact de la Seconde Guerre Mondiale sur le sous-sol des abords de Brest. Néanmoins, les données historiques indiquent que plus de 40000 hommes ont participé à l'occupation ou à la libération de Brest (Gawne, 2002). Ces armées ont probablement disséminé de nombreux vestiges sur le territoire de la métropole brestoise que les méthodes de l'archéologie préventive permettent d'appréhender sous un jour nouveau.

Fig. 239. Plans et coupes des trous de poteau F1042, 1043 et 1044.



## 2.10. Les structures non attribuées chronologiquement

Au nord de l'emprise, le long de la N12, plusieurs trous de poteau ont été repérés en tranchée 78 (fig. 240). Trois d'entre eux ont fait l'objet d'un test manuel : F1042, 1043, 1044 (fig. 239). Les creusements sont peu profonds, entre 5 et 13 cm. Les diamètres mesurent tous autour de 30 cm. Ces petits creusements n'ont livré aucun mobilier. Un des habitants des environs qui a connu l'Occupation nous a expliqué que les Allemands avaient planté à certains endroits de Guipavas des arbres coupés pour faire croire aux Alliés que ces secteur étaient boisés et donc non accessibles pour faire atterrir des planeurs. Notre informateur n'est pas capable de se souvenir si c'était le cas en ce lieu précis.

Quelques fossés coupés n'ont pu être attribués chronologiquement. Ils ne coïncident pas avec le cadastre napoléonien et pourraient être relativement anciens. C'est le cas du tronçon de fossé F263 (Tr 10) ; il mesure 1,3 m de largeur pour 28 cm de profondeur (fig. 241). Orienté nord-sud, on le suit sur plusieurs dizaines de mètres. En partie nord, il est masqué par un important niveau de remblai apporté dans la zone humide dans les années 1970.

Masqué sous le tronçon de fossé contemporain F15 (Tr 2), nous avons repéré le trou de poteau F407 qui a fait l'objet d'un test (fig. 243). Les bords du creusement sont droits et le fond plat ; le trou de poteau mesure 30 cm de diamètre pour 17 cm de profondeur. Il n'a livré aucun mobilier.

Dans le secteur du cimetière médiéval, le tronçon de fossé F361 (Tr 17), orienté NE-SO, ne coïncide pas du tout avec les limites de parcelles du cadastre napoléonien. Ce petit fossé a un profil en cuvette aux bords évasés et mesure 50 cm de large pour 25 cm de profondeur (fig. 242). Entre les tombes, deux trous de poteau ont été repérés. Ils n'ont livré aucun matériel, on ne peut donc pas être certain qu'ils aient fonctionné avec le cimetière. F348 (Tr 16) mesure 36 cm de diamètre pour 11 cm de profondeur (fig. 244). En tranchée 17, le trou de poteau F594 mesure 20 cm de diamètre pour 22 cm de profondeur. Il a un profil en U à bords verticaux (fig. 245).

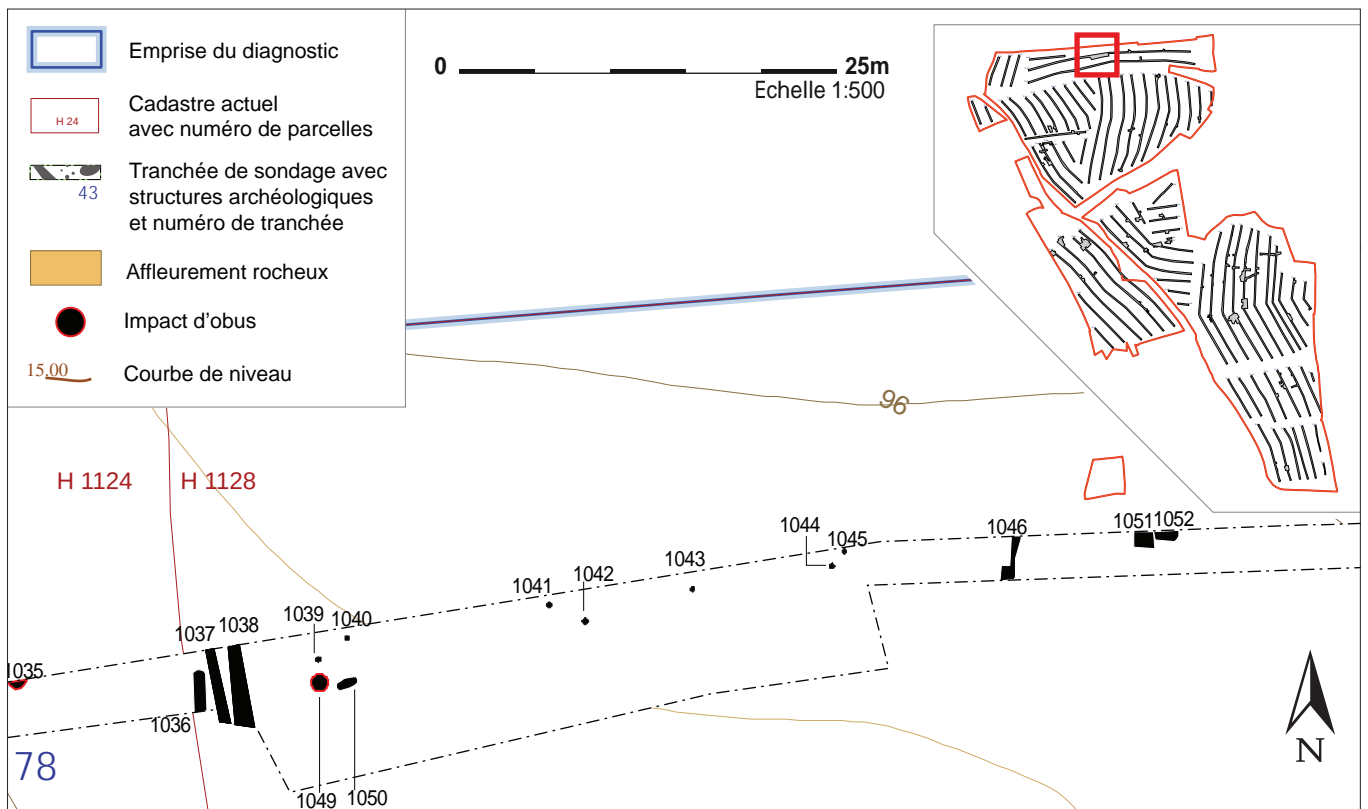


Fig. 240. Zoom sur la concentration de trous de poteau dans la fenêtre de la tranchée 78.

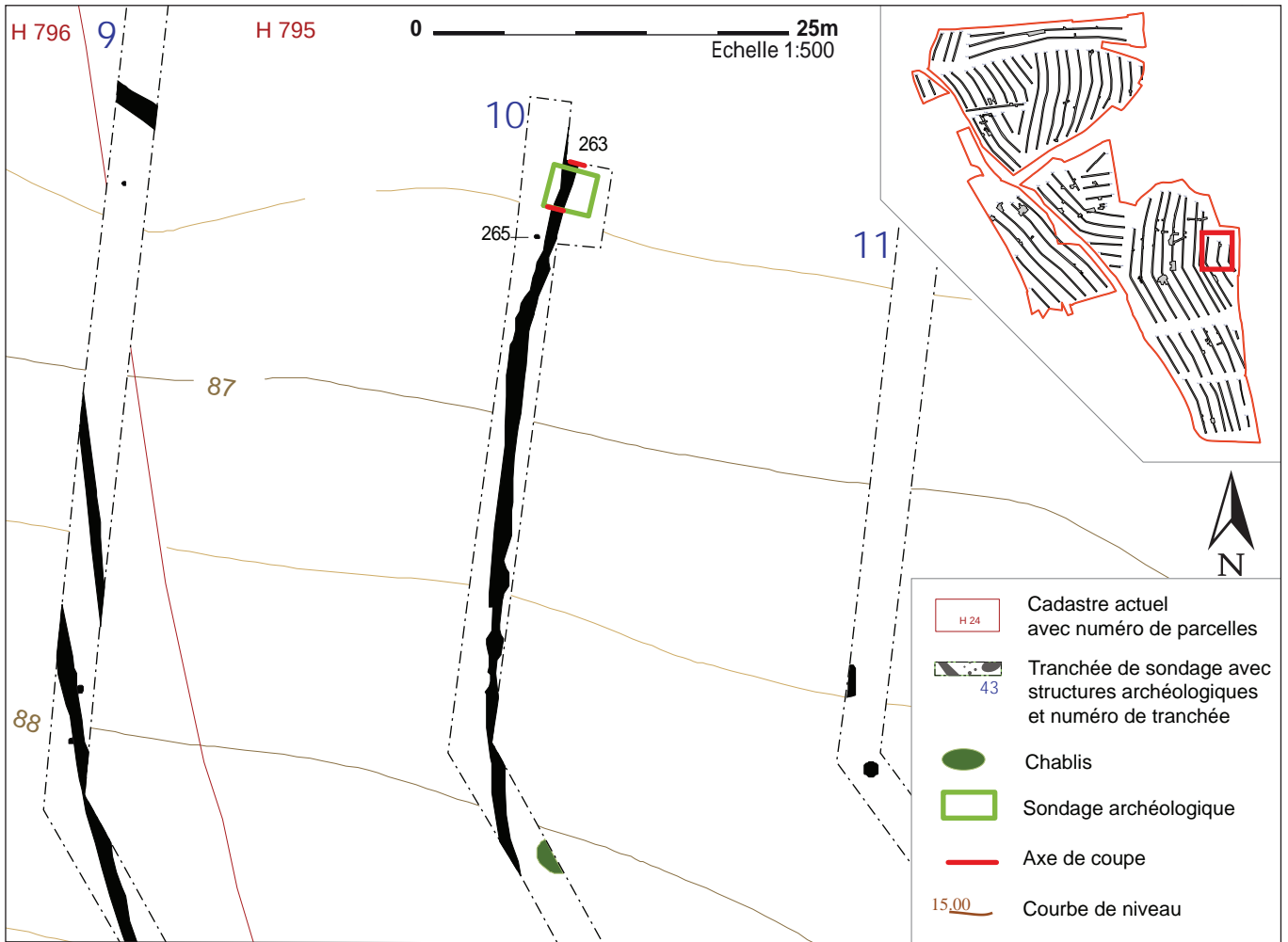
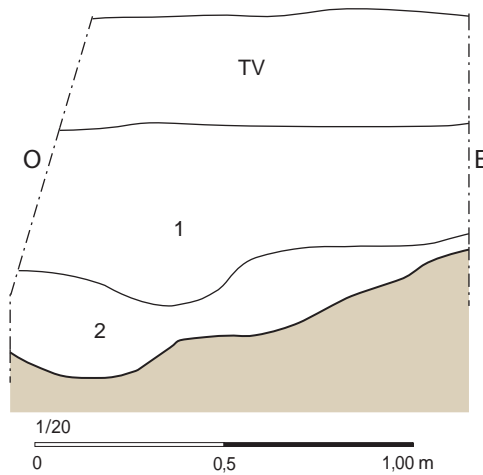


Fig. 241. Zoom autour du tronçon de fossé F263, Tr 10 et coupes de F263 depuis le sud et le nord.

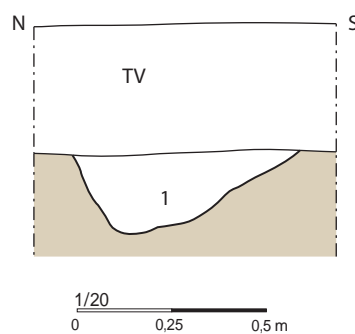
TR 10, F 263



1 : Sable avec du gravier, jaune, assez meuble, homogène, avec cailloux de granite, couches plus noires au fond du «creusement»  
 2 : Limon argilo-sableux, brun, légèrement hétérogène, assez compact, avec des cailloux de quartz et charbons de bois

Fig. 242. Coupe du tronçon de fossé F361, Tr 17 et vue de la coupe depuis l'ouest.

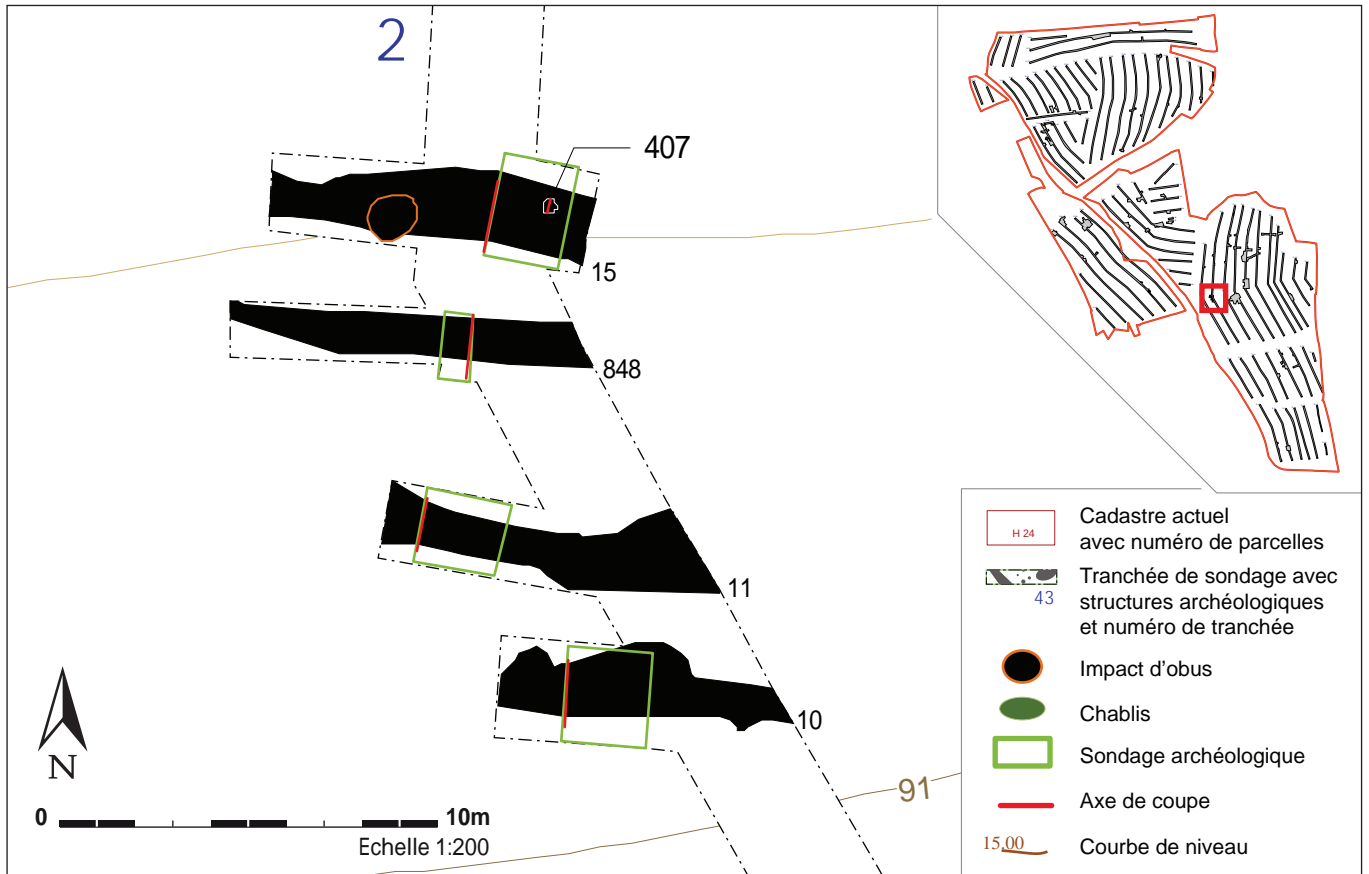
TR 17, F 361



1 : Limon argileux brun, homogène, meuble, plaquettes de micaschiste

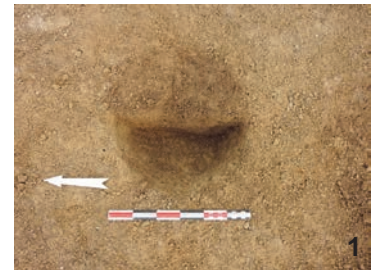
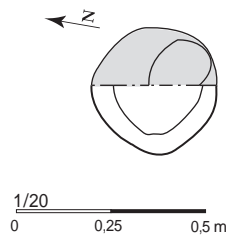






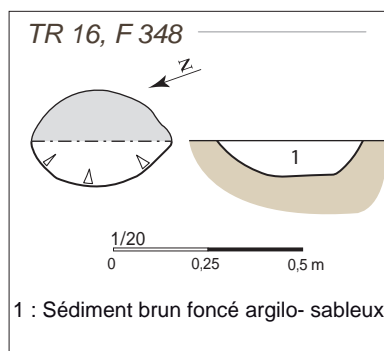
**Fig. 243.** Zoom autour de F407, Tr 2 ; Plan et coupe du trou de poteau F407 ; vue verticale après fouille à 50% et vue de la coupe depuis l'ouest.

TR 2, F 407

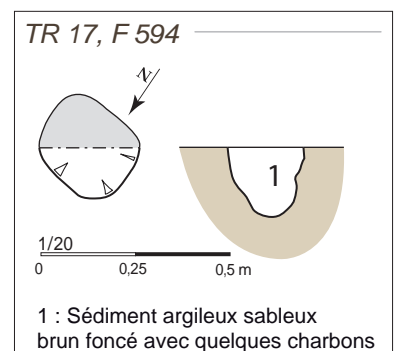


1 : Négatif de poteau ? Limon sablo-argileux brun foncé avec beaucoup d'arène granitique, homogène, meuble, rares charbons de bois  
 2 : Comblement, limon sablo-argileux brun, meuble, homogène, avec arène granitique, profil en U, bords quasi droits et fond plat

**Fig. 244.** Plan et coupe du trou de poteau F348, Tr. 16.



**Fig. 245.** Plan et coupe du trou de poteau F594, Tr 17.





### 3. CONCLUSION

Le diagnostic réalisé à l'emplacement de la ZAC nord de Lavallot sur la commune de Guipavas a permis de mettre en évidence plusieurs sites et indices de sites archéologiques (fig. 19). Cette occupation humaine débute dès le Néolithique avec les premiers agriculteurs mais ne s'est pas fait de façon continue et il existe de longues phases de déprise où la zone a été délaissée ou du moins ne se trouvait plus au cœur des activités humaines. Certaines des traces mises en évidence sont bien imprimées dans le paysage tandis que d'autres sont plus fugaces. Ces installations humaines prennent place le plus souvent sur des points hauts du paysage.

Le Néolithique est représenté à travers plusieurs structures de combustion, petits foyers à pierres chauffées de forme circulaire ou ovale. Deux foyers implantés dans deux petites concentrations ont fait l'objet de datations <sup>14</sup>C. Au sud de l'emprise, un foyer a été daté du Néolithique ancien. Dans la partie ouest du diagnostic, un foyer a livré un fragment de coupe à socle du Néolithique moyen 2, attribution confirmée par une datation <sup>14</sup>C. Les autres foyers à pierres chauffées n'ont livré aucun mobilier et c'est seulement par analogie formelle qu'on peut émettre l'hypothèse qu'ils datent également du Néolithique. L'interprétation de ces foyers n'est pas aisée, d'autant qu'il est possible que d'autres structures domestiques n'aient pas été repérées alentours au cours du diagnostic.

Il faudra attendre près de 2000 ans pour voir un site campaniforme prendre place sur la colline de Prat Mellec. Cette occupation a été reconnue à travers une petite dizaine de structures, essentiellement des fosses. L'une d'elles a livré un bel ensemble céramique (NMI = 19), composé de formes et de décors en creux originaux (avec incrustation de pâte pour rehausser les décors) et qui, dans le cas de certains vases, présentent un traitement de surface avec un engobe rouge. D'autres fosses ont livré quelques éléments lithiques (taillés ou macro-outils sur galets) qui indiquent des relations avec les côtes livrant des galets de silex et de grès armoricain (l'archipel de Molène étant le secteur le plus proche) et la Forêt-Landerneau où affleurent les gisements de microquartzite. Le matériel mis au jour est caractéristique de dépotoirs domestiques. A environ 250 m au sud-ouest de l'occupation campaniforme, quelques éléments mobiliers céramiques se rapportent sans ambiguïté à l'âge du Bronze ancien.

L'âge du Fer est très peu représenté dans l'emprise, comme la Protohistoire au sens large. La culture de Hallstatt est seulement attestée à travers deux tessons mis au jour dans deux faits. La Tène n'est guère mieux représentée : seules trois structures ont livré du mobilier caractéristique. Un four en pierres sèches et une importante carrière d'extraction de sable arénitique, tous deux sis dans l'ouest de l'emprise pourraient, sous réserve, dater de la Protohistoire. L'ouverture de cette carrière pourrait être en lien avec l'entretien de la voie pré-antique remontant depuis l'Elorn qui passe à proximité immédiate.

Après une présence très faible enregistrée durant la Protohistoire, la période gallo-romaine est bien représentée dans l'emprise du diagnostic. La présence de voies supposées antiques la traversant ou la bordant n'y est certainement pas étrangère.

A l'ouest de la voie venant de Cornouaille, un petit ensemble funéraire a été repéré : il est composé de deux urnes funéraires. Ces deux tombes documentent le rituel funéraire de la crémation, pratique dominante à l'époque du Haut-Empire.

L'ensemble gallo-romain mis au jour sur la hauteur du plateau, en partie nord de l'emprise, peut être attribué majoritairement au Haut-Empire et plus précisément au

1<sup>er</sup> siècle. Il semble qu'on ait affaire à une ferme implantée en bordure de voie, sur laquelle vient se caler l'orientation du parcellaire.

Une troisième occupation gallo-romaine se développe de part et d'autre d'une carrière de granite qui exploite un important pointement granitique. Il est probable que les produits de cette exploitation (moellons) ont dû servir dans la construction de bâtiments en pierre implantés dans un rayon assez proche. De part et d'autre, un réseau parcellaire, un enclos quadrangulaire et des trous de poteau font penser là aussi à une installation rurale. Comme pour le site précédent, les éléments de datation renvoient au Haut Empire.

Après une interruption de quelques siècles, un cimetière, vient s'installer, sur une hauteur au sud du chemin nommé ar Valy. 45 tombes y ont été mises au jour mais, d'après la densité des tombes découvertes, on peut estimer que ce cimetière en comptait au moins une centaine. Les premiers indices obtenus (organisation des tombes, orientations, mobilier céramique dans le comblement), nous orientent vers un espace funéraire médiéval. Il fonctionne sans doute avec un habitat dont l'emplacement probable a pu être identifié à 200 m au nord, légèrement en contrebas. Ce dernier est constitué pour l'essentiel de trous de poteau et de fosses, certains ayant livré du mobilier céramique des VII<sup>e</sup>-VIII<sup>e</sup> siècles.

Près de cinq siècles plus tard, c'est au lieu-dit Prat Mellec que s'est installée une occupation domestique (ferme ou hameau ?) du bas Moyen Age (XIII<sup>e</sup> et XIV<sup>e</sup> siècles) ceinturée par un, voire deux fossés, sur certains côtés. Le site est installé sur le point haut d'une petite colline qui culmine à 91 m d'altitude. Il est bordé au nord par une zone humide alors qu'à l'ouest il est tangent avec la voie antique remontant depuis l'Elorn. Cette enceinte est de forme trapézoïdale aux angles arrondis. Les fossés bordiers suivent globalement un axe nord-sud et est-ouest. Aux angles nord-ouest et sud-est, comme du fossé nord, partent plusieurs tronçons de fossés qui pourraient correspondre à un réseau parcellaire venant s'appuyer sur les contours de l'habitat.

Par la suite, aux Périodes Moderne et Contemporaine, le secteur fera l'objet d'une exploitation agricole sans grande modification du parcellaire jusque dans les années 1950. Enfin, la Seconde Guerre Mondiale a laissé ses stigmates sur l'emprise avec notamment de nombreux impacts d'obus, des dépôts d'engins explosifs et la découverte de fosses-dépotoirs contenant du matériel militaire.



## Annexes



BETA ANALYTIC INC.

DR. M.A. TAMERS and MR. D.G. HOOD

4985 S.W. 74 COURT  
 MIAMI, FLORIDA, USA 33155  
 PH: 305-667-5167 FAX:305-663-0964  
 beta@radiocarbon.com

### REPORT OF RADIOCARBON DATING ANALYSES

Dr. Yvan Pailler

Report Date: 7/13/2015

Institut Universitaire Européen de la Mer

Material Received: 7/7/2015

Sample Data	Measured Radiocarbon Age	δ13C	Conventional Radiocarbon Age(*)
Beta - 414515 SAMPLE : GuiPALAVAT21F458 ANALYSIS : AMS-Standard delivery MATERIAL/PRETREATMENT : (charred material): acid/alkali/acid 2 SIGMA CALIBRATION : Cal BC 4940 to 4790 (Cal BP 6890 to 6740)	5960 +/- 30 BP	-24.0 o/oo	5980 +/- 30 BP
Beta - 414516 SAMPLE : GuiPALAVAT39F1071 ANALYSIS : AMS-Standard delivery MATERIAL/PRETREATMENT : (charred material): acid/alkali/acid 2 SIGMA CALIBRATION : Cal BC 4230 to 4190 (Cal BP 6180 to 6140) and Cal BC 4180 to 4035 (Cal BP 6130 to 5985) and Cal BC 4020 to 3995 (Cal BP 5970 to 5945)	5290 +/- 30 BP	-25.6 o/oo	5280 +/- 30 BP

Dates are reported as RCYBP (radiocarbon years before present, "present" = AD 1950). By international convention, the modern reference standard was 95% the <sup>14</sup>C activity of the National Institute of Standards and Technology (NIST) Oxalic Acid (SRM 4990C) and calculated using the Libby <sup>14</sup>C half-life (5568 years). Quoted errors represent 1 relative standard deviation statistics (68% probability) counting errors based on the combined measurements of the sample, background, and modern reference standards. Measured <sup>13</sup>C/<sup>12</sup>C ratios (delta 13C) were calculated relative to the PDB-1 standard.

The Conventional Radiocarbon Age represents the Measured Radiocarbon Age corrected for isotopic fractionation, calculated using the delta 13C. On rare occasion where the Conventional Radiocarbon Age was calculated using an assumed delta 13C, the ratio and the Conventional Radiocarbon Age will be followed by "\*\*". The Conventional Radiocarbon Age is not calendar calibrated. When available, the Calendar Calibrated result is calculated from the Conventional Radiocarbon Age and is listed as the "Two Sigma Calibrated Result" for each sample.

# CALIBRATION OF RADIOCARBON AGE TO CALENDAR YEARS

(Variables: C13/C12 = -24 ‰ : lab. mult = 1)

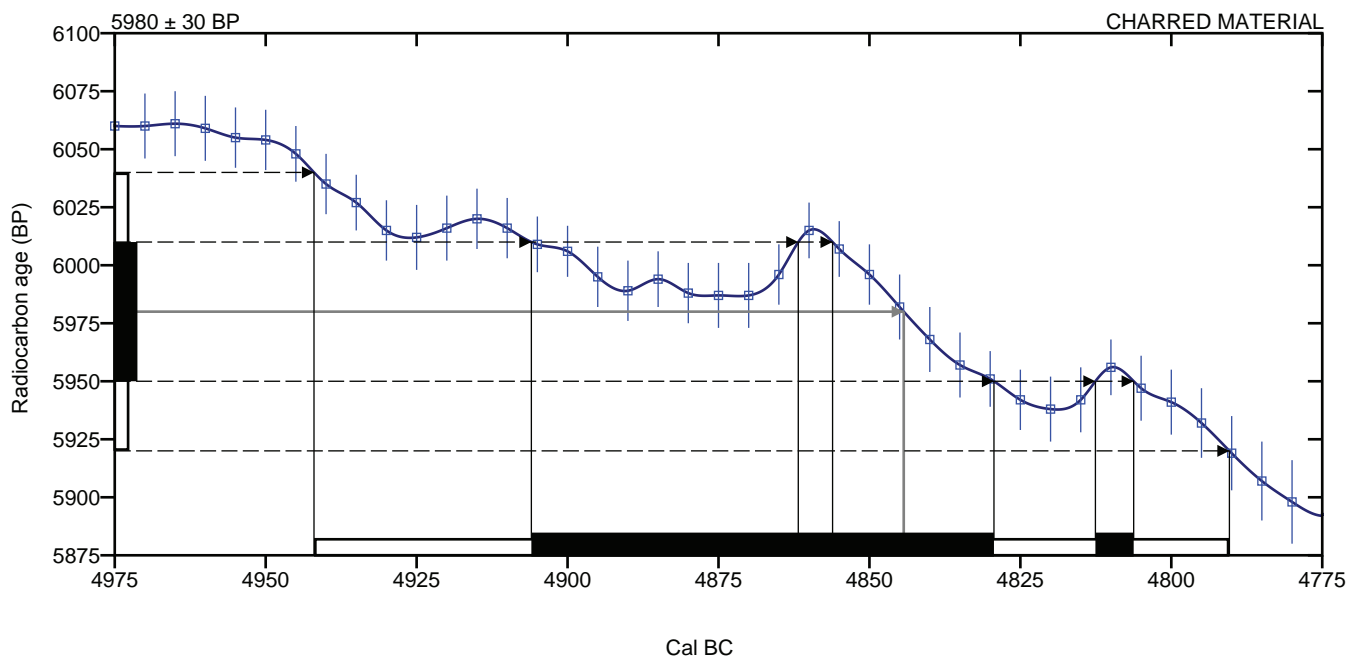
**Laboratory number**      **Beta-414515**

**Conventional radiocarbon age**      **5980 ± 30 BP**

**Calibrated Result (95% Probability)**      **Cal BC 4940 to 4790 (Cal BP 6890 to 6740)**

Intercept of radiocarbon age with calibration curve      Cal BC 4845 (Cal BP 6795)

Calibrated Result (68% Probability)      Cal BC 4905 to 4830 (Cal BP 6855 to 6780)  
Cal BC 4815 to 4805 (Cal BP 6765 to 6755)



**Database used**  
INTCAL13

## References

### Mathematics used for calibration scenario

A Simplified Approach to Calibrating C14 Dates, Talma, A. S., Vogel, J. C., 1993, Radiocarbon 35(2):317-322

### References to INTCAL13 database

Reimer PJ et al. IntCal13 and Marine13 radiocarbon age calibration curves 0–50,000 years cal BP. Radiocarbon 55(4):1869–1887., 2013.

## Beta Analytic Radiocarbon Dating Laboratory

4985 S.W. 74th Court, Miami, Florida 33155 • Tel: (305)667-5167 • Fax: (305)663-0964 • Email: beta@radiocarbon.com

# CALIBRATION OF RADIOCARBON AGE TO CALENDAR YEARS

(Variables: C13/C12 = -25.6 o/oo : lab. mult = 1)

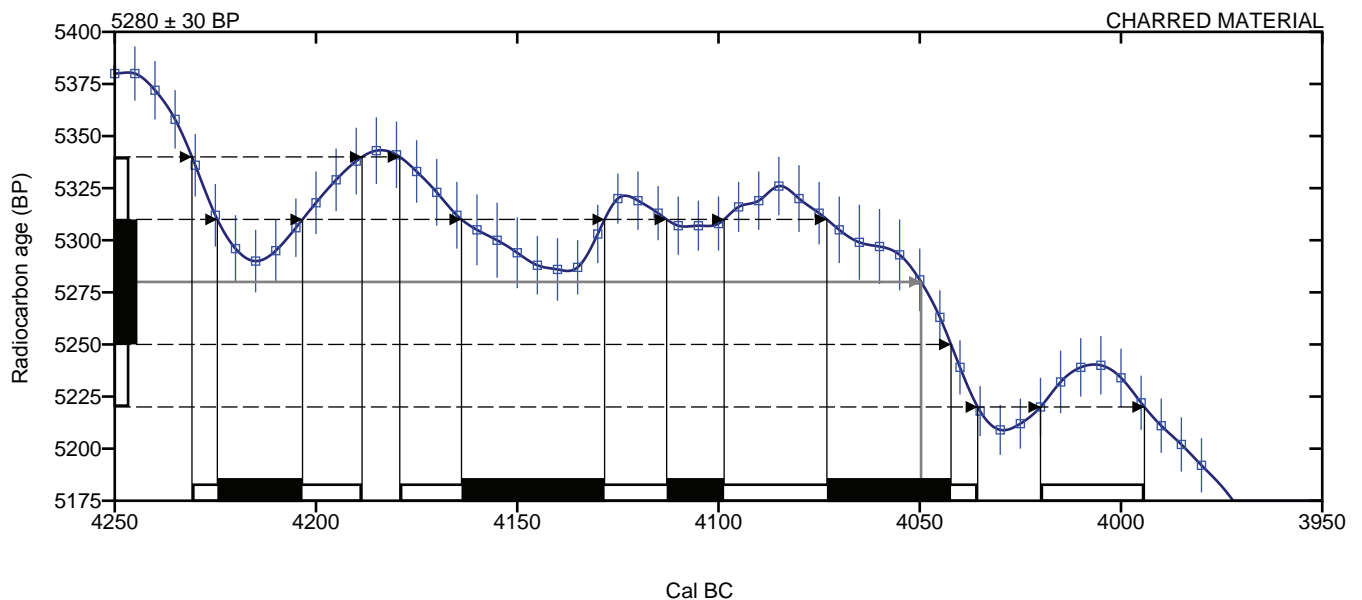
**Laboratory number**      **Beta-414516**

**Conventional radiocarbon age**      **5280 ± 30 BP**

**Calibrated Result (95% Probability)**      **Cal BC 4230 to 4190 (Cal BP 6180 to 6140)**  
**Cal BC 4180 to 4035 (Cal BP 6130 to 5985)**  
**Cal BC 4020 to 3995 (Cal BP 5970 to 5945)**

Intercept of radiocarbon age with calibration curve      Cal BC 4050 (Cal BP 6000)

**Calibrated Result (68% Probability)**      **Cal BC 4225 to 4205 (Cal BP 6175 to 6155)**  
**Cal BC 4165 to 4130 (Cal BP 6115 to 6080)**  
**Cal BC 4115 to 4100 (Cal BP 6065 to 6050)**  
**Cal BC 4075 to 4040 (Cal BP 6025 to 5990)**



**Database used**  
**INTCAL13**

## References

### Mathematics used for calibration scenario

A Simplified Approach to Calibrating C14 Dates, Talma, A. S., Vogel, J. C., 1993, Radiocarbon 35(2):317-322

### References to INTCAL13 database

Reimer PJ et al. IntCal13 and Marine13 radiocarbon age calibration curves 0–50,000 years cal BP. Radiocarbon 55(4):1869–1887., 2013.

## Beta Analytic Radiocarbon Dating Laboratory

4985 S.W. 74th Court, Miami, Florida 33155 • Tel: (305)667-5167 • Fax: (305)663-0964 • Email: beta@radiocarbon.com

## Bibliographie

Adrian Y.-M. dir. (2011) - *Isneauville-Saint-Martin-du-Vivier (76) « Zac de la plaine de la Ronce »*. Une ferme gauloise puis gallo-romaine et une nécropole antique, Rapport final d'opération, Inrap GO, SRA Haute-Normandie, vol. 2, 254 p.

Ballèvre M., Bosse V., Dabard M.-P., Ducassou C., Paquette J.-L., Peucat J.-J., Pitra P. (2011) – Histoire géologique du Massif armoricain : actualité de la recherche, *Bulletin de la Société Géologique et Minéralogique de Bretagne*, Rennes, (D) 10-11, p. 5-96.

Baron A., Gratuze B. et Querré G. (2007) - Les objets de parure en black shales à l'Âge du Fer en Europe celtique : recherche de provenance par l'analyse élémentaire (LA-ICP/MS), *Revue d'archéométrie*, 31, p. 87-96.

Bet P., Delor A. (2000) - La typologie de la sigillée lisse de Lezoux et de la Gaule centrale du Haut-Empire, révision décennale, *Société Française d'Etude de la Céramique Antique en Gaule, Actes du Congrès de Libourne*, p. 461-484.

Bideau K. (2014) - La position radiogonométrique de la Luftwaffe à Kerintin en Guipavas, in Y. Pailler dir., *Saint-Divy – Guipavas (Finistère). Kerdalaün-Kerintin*, rapport final d'opération de diagnostic archéologique, Inrap GO, SRA Bretagne, p. 262-275.

Blaizot F. dir. (2009) - Pratiques et espaces funéraires de la Gaule durant l'Antiquité. Archéologie de la France Antique, Gallia, t. 66-1, Ed. CNRS., Paris, 385 p.

Blanchet S. (2005) - *La lande du Moulin, la rue des Demoiselles, Langon*, rapport de fouilles, Inrap GO, SRA Bretagne, Rennes, 135 p.

Blanchet S. dir. (2004) - *Chantepie « Les rives du Blossne » (35)*, Document final de synthèse, Inrap GO, SRA Bretagne, Rennes, 111 p.

Bonucci E., Graziani G. (1975) - Comparative thermogravimetric, X-ray diffraction and electron microscope, investigations of burnt bones from recent, ancient and prehistoric age, *Acta Della Academia Nazionale dei Lincei*, série 8, 59, 5, p. 518-533.

BRGM (1972) – *Carte géologique France (1/80 000), feuille Brest (57)*, 3<sup>e</sup> éd., Orléans.

BRGM (1980) – *Carte géologique France (1/50 000), feuille Brest (274)*, Orléans.

BRGM (1989) – *Carte géologique France (1/50 000), feuille Le Conquet (273)*, Orléans.

BRGM (2000) – *Carte géologique France (1/50 000), feuille Plabennec (238)*, Orléans.

BRGM (2010) – *Carte géologique France (1/50 000), feuille Landerneau (239)*, Orléans.

Casadebaig S., Perennec R., Fily M. (2014) - Contribution à l'étude des aqueducs, carrières et nécropoles gallo-romaines de Carhaix : la ZAC de Kergorvo, *Aremorica*, t. 6, p. 39-52.



Castel Y.-P. (1997) – *En Bretagne croix et calvaires*, Minihi Levenez, Saint-Thonan, 206 p.

Catteddu I. (2013) - Archéologie et environnement d'un terroir sur la longue durée et histoire de l'aménagement d'un territoire, La Perdriotaie, Châteaugiron, (Ille-et-Vilaine), rapport de fouilles, Inrap GO, Rennes, 3. vol.

Chevallier R. (1997) – *Les voies romaines*, Ed. Picard, Paris, 343 p.

Colleter R., Le Boulanger F., Pichot D. (2012) - *Église, cimetière et paroissiens Bréal-sous-Vitré (Ille-et-Vilaine), étude historique, archéologique et anthropologique (VII-XVIIIe siècle)*, Ed. Errance, Paris, 280 p.

Faure M., Sommers C., Melleton J., Cocherie A., Lautout O. (2010) – The Léon Domain (French Massif armoricain) a westward extension of the Mid-German Crystalline Rise? Structural and geochronological insights, *International Journal of Earth Sciences*, 99(1), p. 65-81.

Chauris L. (1969) – Sur un important accident structural dans le nord-ouest de l'Armorique, *Comptes Rendus de l'Académie des Sciences*, Paris, t. 268, p. 2859-2861.

Chauris L., Hallégouët B. (1973) – Les relations du Paléozoïque inférieur avec le socle précambrien du pays de Léon, le long de la vallée de l'Elorn (Finistère), *Comptes Rendus de l'Académie des Sciences*, Paris, t. 277, p. 277-280.

Chauris L., Hallégouët B. (1974) – Les « quartzites » des gneiss de Brest (Finistère), *Bulletin de la Société Géologique et Minéralogique de Bretagne*, Rennes, V, 2, p. 93-99.

Convertini F., Querré G. (1998) - Apports des études céramologiques en laboratoire à la connaissance du Campaniforme : résultats, bilan et perspectives, *Bulletin de la Société Préhistorique Française*, t. 95, n° 3, p. 333-341.

Duday H., Depierre G., Janin T. (2000) - Validation des paramètres de quantification, protocoles et stratégies dans l'étude anthropologique des sépultures secondaires à incinération. L'exemple des nécropoles protohistoriques du Midi de la France. *In Archéologie de la Mort, archéologie de la tombe au premier Âge du Fer*, Actes du XXI<sup>e</sup> Colloque International de l'Association Française pour l'étude de l'Âge du Fer, Conques-Montrozier, 8-11 mai 1997, Monographies d'Archéologie Méditerranéennes 5, p. 7-30.

Escats Y. (2011) - *La Mézière « Zac des lignes de la Gonzée »*, rapport final d'opération, INRAP Grand Ouest, SRA Bretagne, Rennes, 105 p.

Eveillard J.-Y. (1990) – Un itinéraire antique à l'embouchure de l'Elorn, *Bulletin de la société archéologique du Finistère*, t. CXIX, p. 125-133.

Faure M., Sommers C., Melleton J., Cocherie A., Lautout O. (2010) – The Léon Domain (French Massif armoricain) a westward extension of the Mid-German Crystalline Rise? Structural and geochronological insights, *International Journal of Earth Sciences*, 99(1), p. 65-81.

Ferrette R. (2007) - *Canchy (14), RN 13-RD 204*, Rapport final d'opération, Inrap GO, SRA de Basse-Normandie, Caen, 214 p.

Galliou P. (1989) - *Les tombes romaines d'Armorique. Essai de sociologie et d'économie de la mort*, DAF, Paris, 203 p.

Gawne J. (2002) - *1944, la libération de la Bretagne : la bataille de Brest*, Histoire et collections, Paris, 160 p.

- Giot P.-R. (1996) – L'Île Lavret à l'époque romaine, *Dossiers du CeRAA*, 24, p. 17-37.
- Grévin G. (2004) - L'étude des crémations sur les bûchers, *Archeologia*, février 2004, p. 44-51.
- Grouber P. (2000) - Les coupes-à-socle d'Er Lannic (Arzon, Morbihan), in S. Cassen dir., *Éléments d'architecture (Exploration d'un tertre funéraire à Lannec er Gadouer, Erdeven, Morbihan. Constructions et reconstructions dans le Néolithique morbihannais. Propositions pour une lecture symbolique)*, Ed. chauvinoises, Chauvigny, Mémoire 19, p. 483-527.
- Guigon P., Bardel J.-P. (1989) - Les nécropoles mérovingiennes de Bais et de Visseiche (Ille-et-Vilaine), *Mémoire de la Société d'Histoire et d'Archéologie de Bretagne*, LXVI, p. 299-353.
- Guigon P. (1994) - *Les sépultures du haut Moyen Age en Bretagne*, Coll. Patrimoine archéologique de Bretagne, Institut culturel de Bretagne, Rennes, 113 p.
- Hallégouët B. (1971) – *Le Bas Léon (Finistère). Etude géomorphologique*, Thèse de 3<sup>e</sup> cycle géographie, UBO, 260 p., 17 cartes h.t.
- Haskew M. (2013) - *Les armes de la seconde guerre mondiale*, Ed Acropole Delfont, Paris, 224 p.
- Hersart de la Villemarqué T. (1850) - *Dictionnaire breton-français de Le Gonidec, précédé de sa Grammaire bretonne, et enrichi d'un avant-propos, d'additions et des mots gallois et gaëls correspondant au breton*, L. Prud'homme imprimeur-libraire, éditeur
- Husi P. dir. (2013) - *La céramique du haut Moyen Age dans le Centre-Ouest de la France : de la chrono-typologie aux aires culturelles*, 49<sup>e</sup> supplément à la Revue Archéologique du Centre de la France, FERAC, Tours, 283 p. et un cd-rom.
- Joly M. et Seguié J.-M. dir. (2015) - *Les céramiques non tournées en Gaule romaine dans leur contexte social, économique et culturel : entre tradition et innovation*, actes coll. INHA Paris, 55<sup>e</sup> supplément de la Revue Archéologique du Centre de la France, 271 p.
- Juhel L. (2012) - *L'ensemble funéraire antique de Montauban-de-Bretagne, La Brohinière (35)*, Rapport final d'opération, SRA Bretagne, Inrap GO, 120 p.
- Krogman W.K. (1978) - *The human skeleton in forensic medicine*, 3<sup>e</sup> éd., Charles Thomas, Springfield, USA, 337 p.
- Labane-Jean F. (2013) - Etude de la céramique du Moyen Age in S. Blanchet dir., *Plouédern (Finistère), Leslouc'h : une longue occupation de la Protohistoire au Moyen Age*, Rapport final d'opération de fouille archéologique, Inrap GO, Service Régional de l'Archéologie de Bretagne, Rennes, p. 213-260.
- Le Bihan J.-P. (1993) - *Un habitat de transition Néolithique-Age du Bronze, Quimper «Penancreac'h »*, D.F.S de sauvetage urgent, Service régional de l'archéologie, Rennes, 63 p.
- Le Bihan J.-P. (1992) - *Diagnostic archéologique sur le site de Penancreac'h à Quimper*, rapport final d'opération : diagnostic, Service régional de l'archéologie, Rennes, 38 p.
- Le Bihan J.-P. Villard J.-F. (2005) - *Archéologie de Quimper, matériaux pour servir l'histoire : de la chute de l'Empire romain à la fin du Moyen Âge, t. 1. Quimper*, Centre de recherche archéologique du Finistère, Editions Cloître, Saint-Thonan, 459 p.

- Le Boulanger F., Chollet S., Colleter R., Jean S. (2005) - *Bréal-sur-Vitré « Le bourg » (35), Approche d'un cimetière du Haut Moyen Age au début de l'époque Moderne*, DFS de fouille archéologique, Inrap GO, 182 p.
- Le Goffic M. (2006) – Guipavas, Kerlaurent, in *Notices d'archéologie finistérienne (2006), Bulletin de la société archéologique du Finistère*, t. CXXXV, p. 13.
- Le Pennec S. (2000) – *Le réseau routier antique du Nord-Ouest du territoire osisme : les tracés et leur environnement humain*, thèse de doctorat, université de Rennes 2, 304 p.
- Le Roux C.-T. (1984) - L'implantation néolithique en Bretagne centrale, *Revue archéologique de l'ouest*, t. 1, p. 33-54.
- Levot P. (1865) - *Histoire de la ville et du port de Brest, vol. 2 : Le port depuis 1681*, Brest, [Paris, impr. E. Anner, Rampe, 55, 387 p.
- Lukis M. (1884) – Exploration d'un tumulus de l'époque du Bronze dans la commune de Plouyé (Finistère), *Bulletin de la société d'études scientifiques du Finistère*, extrait du 2<sup>e</sup> fasc. de 1884, A. Chevallier, imprim.-libraire Morlaix, p. 1-4.
- MacKinley J. (1993) - Bone fragment size and weights of bone from modern British cremations and the implications for the pyre technology and ritual, *Journal of Archaeological Science*, 21, p. 339-342.
- Ménez N. (2014) - Description du mobilier céramique, in Y. Pailler dir., *Saint-Divy - Guipavas (Finistère). Kerdalaün-Kerintin*, Rapport final d'opération de diagnostic archéologique, Inrap GO, Service Régional de l'Archéologie de Bretagne, Rennes, p. 268-301.
- Menez Y. (1996) – *Une ferme de l'Armorique. Le Boisanne à Plouër-sur-Rance (Côtes-d'Armor)*, dAf 58, Paris, 266 p., 173 fig.
- Ménez Y. (1985) - *Les céramiques fumigées de l'Ouest de la Gaule*, Cahiers de Quimper Antique, n° 2, 124 p.
- Mentelé S. (2013) - *Plouisy (Côtes-d'Armor) « Z.A.C de Kérisac »*, rapport de fouille archéologique, Inrap GO, 67 p.
- Mougin B., Thomas E. (2003) – *Transfert des polluants par ruissellement et écoulement souterrain sur le bassin versant de la rade de Brest (Finistère). Rapport final*, BRGM/RP, 52655-FR, 45 p.
- Mougin B., Thomas E., Wyns R., Blanchin R., Mathieu F. (2003) – *Comportement hydrodynamique des roches altérées de la surface sur le bassin versant de la rade de Brest (Finistère) – Rapport final*, BRGM/RP-52656-FR, 54 p. 7 tabl.
- Nicolas C. (2013) - *Symboles de pouvoir au temps de Stonehenge : les productions d'armatures de prestige de la Bretagne au Danemark (2500-1700 av. J.-C.)*, thèse de doctorat, Université de Paris 1.
- Pailler Y. dir. (2014) – *Saint-Divy – Guipavas (Finistère). Kerdalaün-Kerintin*, rapport final d'opération de diagnostic archéologique, Inrap GO, SRA Bretagne, 387 p.
- Pailler Y., Léal D. et Boucher M. (2014) – Carte archéologique, in Y. Pailler dir., *Saint-Divy – Guipavas (Finistère). Kerdalaün-Kerintin*, rapport final d'opération de diagnostic archéologique, Inrap GO, SRA Bretagne, p. 32-70.
- Pailler Y., Maligorne Y. (2014) – Des fosses et une carrière, in Y. Pailler dir., *Saint-Divy – Guipavas (Finistère). Kerdalaün-Kerintin*, rapport final d'opération de diagnostic archéologique, Inrap GO, SRA Bretagne, p. 159-166.

Pailler Y., Marchand G., Blanchet S., Guyodo J.-N., Hamon G. (2008) - La place du Villeneuve-Saint-Germain dans la néolithisation de la péninsule armoricaine : les débuts d'une enquête, in L. Burnez-Lanotte, M. Ilett et P. Allard dir., *Fin des traditions danubiennes dans le Néolithique du Bassin parisien et de la Belgique (5100-4700 BC), autour des recherches de Claude Constantin*, Mémoire XLIV de la Société Préhistorique Française, Co-édition SPF et Presses Universitaire de Namur, p. 91-111.

Pailler Y. (2007) - *Des dernières industries à trapèzes à l'affirmation du Néolithique en Bretagne occidentale (5500 – 3500 av. J.-C.)*, British Archaeological Reports, International Series 1648, 340 p.

Peyron P. et Abgrall J.-M. (1912) - Notices sur les paroisses du diocèse de Quimper et du Léon - Guipavas (suite), *Bulletin diocésain d'histoire et d'archéologie*, p. 183-192.

Polinski A., Pirault L. (2012) – Les carrières gallo-romaines de Rezé (Loire-Atlantique), *Revue Archéologique de l'Ouest*, 29, p. 201-222.

Ripoche J. (2013) - *La répartition spatiale et chronologique du mobilier issu des prospections menées sur le plateau du Collédic de la transition du Néolithique à l'âge du Bronze*, Mémoire de Master 1 sous la direction de P. Brun, Université de Paris 1, 110 p.

Roy E. dir. avec la collaboration de Miler P. (2010) – *Guipavas, Finistère, lieu-dit « Saint Thudon ». Diagnostic archéologique avant la construction d'une zone d'aménagement concerté à Guipavas (Finistère)*, rapport de diagnostic archéologique, Inrap GO, SRA Bretagne, 60 p.

Salanova L. (2000) - *La question du Campaniforme en France et dans les Iles anglonormandes : productions, chronologie et rôles d'un standard céramique*, Coédition Société Préhistorique Française et Comité des Travaux Historiques et Scientifiques, 392 p.

Schroetter J.-M. (2010) – *Cartographie de l'aléa retrait-gonflement des argiles dans le département du Finistère*, BRGM/RP-58916-FR, 118 p.

Selles H. (2001) - *Céramiques gallo-romaines à Chartres et en Pays Carnute : catalogue typologique*, 16<sup>e</sup> supplément de la Revue Archéologique du Centre de la France, FERAC/ARCHEA/ADAUC, Tours, 254 p.

Simon L. (2010) - Catalogue de la céramique gallo-romaine, in E. Roy dir., *Guipavas, Finistère, Lieu-dit « Saint Hudon », diagnostic archéologique avant la construction d'une Zone d'Aménagement Concerté*, Rapport de diagnostic archéologique, Inrap GO, Service Régional de l'Archéologie de Bretagne, Rennes, p. 48-49.

Siraudeau J. (1988) - *Corpus des amphores découvertes dans l'ouest de la Gaule*, vol. 2, Angers, 238 p.

Tanguy B. (1984) – La troménie de Gouesnou : contribution à l'étude des Minihys en Bretagne, *Annales de Bretagne et des Pays de l'Ouest*, t. 91, n° 1, p. 9-25.

Texier M. dir. (2010) - *L'ensemble funéraire antique de Bais, « Le hameau du Fresne » (35)*, Inrap GO, SRA Bretagne, Rennes, 302 p.

Tinévez J.-Y., Hamon G., Querré G., Marchand G., Pailler Y., Darboux J.-R., Donnart K., Marcoux N., Pustoc'h F., Quesnel L., Oberlin C., avec la coll. de Roy E., Villard J.-F. et Nicolas É. (2015) - Les vestiges d'habitat du Néolithique ancien de Quimper, Kervouyec (Finistère), *Bulletin de la Société Préhistorique Française*, t. 112, n° 2, p. 269-316.



Truffaut D., de Fromont M. (2002) - *La seconde guerre mondiale, 1939-1945. Objets et uniformes*, Ed. Little Big Man, Paris, 359 p.

Tubbs F. R., Clawson R. W. (2000) - *Stahlhelm: evolution of the german steel helmet*, Ed Kent University Press, Canterbury, 136 p.

Van Doorselaer A. (2001) - *Les tombes à incinération à l'époque gallo-romaine en Gaule septentrionale*, in J.-F. Geoffroy, H. Barbé éd., *Les nécropoles à incinérations en Gaule Belgique. Synthèses régionales et méthodologie*, Actes du XIX<sup>e</sup> Colloque International du Centre de Recherche Archéologiques de l'Université Charles-de-Gaulle - Lille 3, Revue du Nord, n° 8 hors série, coll. Art et Archéologie, p. 9-14.

### Sources

Dial des baillées et livrées duciales de 1486 dans la sénéchaussée de Brest et Saint-Renan, Archives départementales de la Loire-Atlantique, cote B.676.

Terriers de Bretagne, Série P, Archives nationales, P 1530, Domaine de Brest (Brest-Guipavas-Milizac-Plouzané-St Renan) (1685-1686).

### Site internet

[http://mnesys-viewer.archives-finistere.fr/accounts/mnesys\\_cg29/datas/medias/collections/bibliotheque/presse/4MI020/FRAD029\\_4MI\\_020\\_1902\\_01\\_04\\_001\\_1902\\_01\\_25\\_004.pdf](http://mnesys-viewer.archives-finistere.fr/accounts/mnesys_cg29/datas/medias/collections/bibliotheque/presse/4MI020/FRAD029_4MI_020_1902_01_04_001_1902_01_25_004.pdf)

<http://www.geneanet.org/archives/registres/view/24058>

<http://mnesys-portail.archives-finistere.fr/>

[www.marinespecies.org](http://www.marinespecies.org).

<http://gallica.bnf.fr/ark:/12148/bpt6k109991x/f191.image.r=Bulletin%20diocésain%20d%27histoire%20et%20d%27archéologie.langFR>



# **III. Inventaires techniques**

# Inventaire des faits

Tranchée	Fait	Sondage	Niv. d'app <sup>en</sup> (en m)	I (en m)	L (en m)	Diamètre (en m)	Profondeur	Encaissant	Remplissage	Interprétation
TR 02	F 0001	-	0,44		0,7			limon argileux brun/jaune /orangé	limon argileux brun moyen peu hétérogène, meuble + gros blocs de quartz	Fossé
TR 01	F 0002	X	0,2			0,75		limon argileux brun/orangé	limon brun/noire foncé hétérogène, meuble	Impact d'obus
TR 01	F 0003	-	0,25			0,7		limon argileux brun/orangé	limon argileux brun moyen homogène, meuble	Fosse
TR 02	F 0004	-	0,43	0,7	0,6			limon argileux brun/jaune /orangé	limon argileux brun moyen homogène, meuble	Extrémité de fosse
TR 01	F 0005	-	0,5	1,2	0,52			limon argileux brun/orangé	Sable jaune moyen + substrat remanié	Fosse
TR 01	F 0007	-	0,43		0,8			limon argileux brun/orangé	limon argileux brun moyen homogène, meuble	Fossé
TR 01	F 0008	-	0,45		0,7			limon argileux brun/orangé	limon argileux brun moyen homogène, meuble	Fossé
TR 01	F 0009	-	0,52		0,52			limon argileux brun/orangé	limon argileux brun moyen homogène, meuble + cailloux de schiste	Fossé
TR 02	F 0010	X	0,4		2	0,44		limon argilo-sableux, brun/jaune avec des pierre de schiste	limon argileux brun moyen homogène, meuble + petit cailloux de quartz	Fossé
TR 02	F 0011	X	0,6		1,6	0,3		limon argilo-sableux, brun/jaune avec des pierre de schiste	limon argileux brun moyen homogène, meuble + cailloux de quartz	Fossé
TR 02	F 0012	X	0,5		1,1	0,46		limon argilo-sableux, brun/jaune avec des pierre de schiste	limon argilo-sableux brun foncé homogène, meuble + petits cailloux de schiste et de granite	Fossé
TR 01	F 0013	-	0,43		0,95			limon argilo-sableux brun/jaune	limon argileux brun foncé homogène, meuble + taches d'oxidation	Fossé
TR 01	F 0014	-	0,47		0,58			limon argilo-sableux brun/jaune	limon argileux brun moyen homogène, meuble + cailloux de schiste	Fossé
TR 02	F 0015	X	0,4		1,3	0,34		limon argilo-sableux, brun/jaune avec des pierre de schiste	limon argilo-sableux brun moyen homogène, meuble + cailloux de quartz et de schiste	Fossé
TR 02	F 0016	-	0,5			0,55		limon argilo-sableux brun/jaune	limon sableux brun moyen homogène, meuble + poches jaunes de substrat remanié, cailloux de granite	Fosse
TR 02	F 0017	-	0,4	1,6	2,15			limon argilo-sableux brun/jaune	limon sablo-argileux brun moyen homogène, meuble + cailloux de schiste et de granite	Fosse
TR 02	F 0018	-	0,35		0,85			limon argilo-sableux brun/jaune	limon argilo-sableux brun moyen homogène, meuble + poches du substrat remanié, petits cailloux de schiste et de quartz	Fossé
TR 02	F 0019	-	0,43			0,8		limon argilo-sableux brun/jaune	limon sablo-argileux brun/jaune moyen homogène, meuble + petits cailloux de schiste	Fosse
TR 01	F 0020	-	0,37	0,9	0,98			limon argilo-sableux brun/jaune + cailloux schiste + blocs de quartz	limon argileux brun moyen homogène, meuble + cailloux de schiste, et graviers	Fosse
TR 02	F 0021	-	45	1,6	0,55			limon argilo-sableux brun/jaune	limon sablo-argileux brun foncé homogène, meuble + cailloux de schiste, blocs de granite	Impact d'obus
TR 02	F 0022	-	0,55	1,2	0,7			limon argilo-sableux, brun/jaune, blocs de granite, petits cailloux	limon sablo-argileux brun moyen homogène, meuble + cailloux de schiste et de granite	Extrémité de fosse
TR 01	F 0023	-	0,47		0,55			limon argilo-sableux brun/jaune + cailloux schiste + blocs de quartz	limon argilo-sableux brun moyen homogène, meuble + cailloux de schiste	Fossé
TR 01	F 0024	X	0,37			1,5	0,26	limon argilo-sableux brun/orangé + nombreux cailloux de schiste	limon argileux brun moyen peu hétérogène, meuble + zones rubéfié et des gros blocs de gneiss	Fosse
TR 02	F 0025	-	0,6	0,8	0,45			limon argilo-sableux, brun/jaune, blocs de granite, petits cailloux	limon argilo-sableux brun/noire foncé hétérogène, meuble + petits cailloux de granite, poches du substrat remanié	Fosse
TR 02	F 0026	X	0,55	1,3	0,55	0,26		limon argilo-sableux brun/jaune	limon argilo-sableux brun clair à foncé hétérogène, meuble + cailloux de quartz et poches charbonneuses	Fosse



Description	Attribution générale	Mobilier	Céramique	TCA	Lithique	Métal	Verre	Autre	Détail mobilier	Coupe	Coupe par	Egal à
Indéterminé		-	-	-	-	-	-	-				
Période contemporaine, Ile Guerre Mondiale		X	-	-	-	X	-	-	cerclage d'obus			
Période contemporaine		X	X	-	-	-	-	X	céramique Période Contemporaine, ardoise			
Indéterminé		-	-	-	-	-	-	-				
Période contemporaine		X	X	-	-	-	-	X	céramique moderne, ardoise			
Indéterminé		-	-	-	-	-	-	-				
Indéterminé		-	-	-	-	-	-	-				
Indéterminé		-	-	-	-	-	-	-				
Indéterminé		-	-	-	-	-	-	-				
haut Moyen Age ?		X	X	-	-	-	-	-				
Période contemporaine, cadastre napoléonien		X	-	X	-	-	-	-				
Période contemporaine, cadastre napoléonien		-	-	-	-	-	-	-				
Période contemporaine, cadastre napoléonien		-	-	-	-	-	-	-				
Période contemporaine, cadastre napoléonien		-	-	-	-	-	-	-				
Période contemporaine		-	-	-	-	-	-	-				
Indéterminé		-	-	-	-	-	-	-				
Indéterminé		-	-	-	-	-	-	-				
Indéterminé		-	-	-	-	-	-	-				
Indéterminé		-	-	-	-	-	-	-				
Période contemporaine, Ile Guerre Mondiale		X	-	-	-	X	-	-	Fragment d'obus			
Moyen Age		X	X	-	-	-	-	-				
Indéterminé		-	-	-	-	-	-	-				
Indéterminé		-	-	-	-	-	-	-				
Période contemporaine		-	-	-	-	-	-	-				
Indéterminé		X	X	-	-	-	-	-				

Tranchée	Fait	Sondage	Niv. d'app <sup>en</sup> (en m)	I (en m)	L (en m)	Diamètre (en m)	Profondeur	Encaissant	Remplissage	Interprétation
TR 02	F 0027	-	0,6	0,85	0,7			Limon argilo-sableux brun/jaune	Limon argilo-sableux brun clair homogène, meuble + petits cailloux de granite	Fosse
TR 10	F 0028	-	0,49		3			limon argilo-sableux brun/orangé avec des nombreux cailloux de schiste	Limon argileux brun moyen homogène, meuble + cailloux de schiste, graviers	Fosse
TR 02	F 0029	-	0,65	0,65	0,5			Limon argilo-sableux brun/jaune	Limon argilo-sableux brun clair homogène, meuble + petits cailloux de granite	Fosse
TR 02	F 0030	X	0,6	0,65	0,5	0,18		Limon argilo-sableux brun/jaune	Limon argilo-sableux brun clair homogène, meuble + petits cailloux de granite	Fosse
TR 01	F 0031	-	0,54	0,85	0,68			Limon argilo-sableux brun/jaune	Limon argilo-sableux brun moyen homogène, meuble	Fosse
TR 01	F 0032	-	0,63	0,65	0,52			Limon argilo-sableux brun/jaune	Limon argilo-sableux brun moyen homogène, meuble	Fosse
TR 01	F 0033	-	0,59	0,8	0,62			Limon argilo-sableux brun/jaune	Limon argilo-sableux brun moyen homogène, meuble	Fosse
TR 01	F 0034	-	0,59			0,4		Limon argilo-sableux brun/jaune	Limon argilo-sableux brun moyen homogène, meuble	Fosse
TR 01	F 0035	-	0,64			0,35		Limon argilo-sableux brun/jaune		Fosse
TR 02	F 0036	-	0,35	1,3	0,8			limon argilo-sableux, brun/orangé avec des poches de arène granitique	Limon sablo-argileux brun moyen homogène, meuble + blocs de granite, poches charbonneuses	Fosse
TR 02	F 0037	-	0,5		0,65			limon argilo-sableux, brun/orangé avec des poches de arène granitique	Limon argilo-sableux brun moyen homogène, meuble + rares cailloux de granite	Fossé
TR 02	F 0038	-	0,45		0,8			limon argilo-sableux, brun/orangé avec des poches de arène granitique	Limon argilo-sableux brun moyen homogène, meuble	Fossé
TR 01	F 0039	-						Limon argilo-sableux brun/jaune		Fosse
TR 02	F 0040	-	0,45			0,4		limon argilo-sableux, brun/jaune avec des poches de arène granitique	Limon argilo-sableux brun moyen homogène, meuble	TP
TR 02	F 0041	-	0,45			0,35		limon argilo-sableux, brun/jaune avec des poches de arène granitique	Limon argilo-sableux brun moyen homogène, meuble	TP
TR 02	F 0042	-	0,45			0,35		limon argilo-sableux, brun/jaune avec des poches de arène granitique	Limon argilo-sableux brun moyen homogène, meuble	TP
TR 02	F 0043	-	0,45	0,85	0,4			limon argilo-sableux, brun/jaune avec des poches de arène granitique	Limon argilo-sableux brun clair homogène, meuble	Fosse
TR 02	F 0044	-	0,45			0,25		limon argilo-sableux, brun/jaune avec des poches de arène granitique	Limon argilo-sableux brun moyen homogène, meuble	TP
TR 02	F 0045	-	0,45			0,35		limon argilo-sableux, brun/jaune avec des poches de arène granitique	Limon argilo-sableux brun moyen homogène, meuble	TP
TR 03	F 0046	-	0,23	0,94	0,57			Limon argileux brun/jaune + cailloux et blocs de quartz et de granite	Limon argileux brun clair à foncé très hétérogène, meuble + poches de substrat remanié, cailloux de schiste	Extrémité de fosse
TR 03	F 0047	-	0,3	0,7	0,8			Limon argileux brun/jaune + cailloux et blocs de quartz et de granite	Limon argileux brun clair à foncé hétérogène, meuble + cailloux de quartz	Impact d'obus
TR 03	F 0048	-	0,26	1	0,8			Limon argileux brun/jaune + cailloux et blocs de quartz et de granite	Limon argileux brun moyen homogène, meuble	Impact d'obus
TR 03	F 0049	-	0,4			0,4		Limon argileux brun/jaune + cailloux et blocs de quartz et de granite	Limon argileux brun clair à foncé hétérogène, meuble	TP
TR 03	F 0050	-	0,36		0,8			Limon argileux brun/jaune + cailloux et blocs de quartz et de granite	Limon argileux brun clair à foncé hétérogène, compact + cailloux granite et quartz	Fossé
TR 03	F 0051	-	0,33		0,6			Limon argileux brun/jaune + quelques blocs de quartz	Limon argileux brun moyen homogène, compact + cailloux de quartz	Extrémité de fosse
TR 03	F 0052	-	0,44			0,25		Limon argileux brun/jaune + cailloux et blocs de quartz et de granite	Limon argileux brun moyen homogène, meuble + cailloux de schiste	TP
TR 03	F 0053	-	0,4	1,1	0,7			Limon argileux brun/jaune + cailloux et blocs de quartz et de granite	Limon argileux brun moyen homogène, compact + cailloux de schiste	Fosse
TR 03	F 0054	-	0,45		0,6			Limon argileux brun/jaune + quelques blocs de quartz	Limon argileux brun foncé homogène, compact + cailloux de quartz	Fossé



Tranchée	Fait	Sondage	Niv. d'app <sup>em</sup> (en m)	I (en m)	L (en m)	Diamètre (en m)	Profondeur	Encaissant	Remplissage	Interprétation
TR 03	F 0055	-	0,5		0,8			Limon argileux brun/jaune + quelques blocs de quartz	Limon argileux brun clair à foncé hétérogène, meuble + blocs de granite et du schiste	Fossé
TR 03	F 0056	-	0,35		0,7			Limon argileux brun/jaune + quelques blocs de quartz	Limon argileux brun/jaune moyen homogène, meuble	Fossé
TR 03	F 0057	-	0,4			1,1		Limon argileux brun/jaune + quelques blocs de quartz	Limon argileux brun clair homogène, meuble + blocs de granite	Fosse
TR 02	F 0058	-	0,35		1,5			arène granitique + granite altéré	Limon sablo-argileux brun foncé homogène, meuble + cailloux et blocs de granite	Fossé
TR 02	F 0059	-	0,35	1,25	0,42			limon sableux brun/jaune avec arène granitique altéré et granite altéré	Limon argilo-sableux brun moyen homogène, meuble + poches du substrat remanié	Extrémité de fosse
TR 02	F 0060	-	0,4		1,6			limon argilo-sableux jaune brun	Limon argilo-sableux brun moyen homogène, meuble + cailloux de granite	Fossé
TR 02	F 0061	-	0,4		0,6			limon argilo-sableux jaune brun	Limon argilo-sableux brun moyen homogène, meuble + pches du substrat remanié et cailloux de quartz et de schiste	Fossé
TR 02	F 0062	-	0,3		0,7			limon argilo-sableux jaune brun	Limon sablo-argileux brun moyen homogène, meuble + cailloux de granite	Fossé
TR 02	F 0063	-	0,4		0,45			arène granitique + granite (roche)	Limon argilo-sableux brun/noire foncé homogène, meuble + blocs de granite	Fossé
TR 03	F 0064	-	0,6	1,14	0,5			Limon argileux brun/jaune + quelques blocs de quartz	Limon argileux brun moyen hétérogène, meuble + poches du substrat remanié, cailloux du schiste	Fosse
TR 03	F 0065	-	0,43		1,15			Limon argileux brun/jaune + quelques blocs de quartz	Limon argileux brun moyen hétérogène, meuble + cailloux du granite et du schiste, poches du substrat remanié	Fossé
TR 03	F 0066	-	0,5			0,95		Limon argileux brun/jaune + quelques blocs de quartz	Limon argileux brun moyen homogène, meuble + poches charbonneuses, blocs de granite altéré	Fosse
TR 03	F 0067	-	0,54		1,2			Limon argileux brun/jaune + quelques blocs de quartz	Limon argileux brun moyen homogène, meuble + cailloux de quartz	Fossé
TR 03	F 0068	-	0,6		1,53			Limon argileux brun/jaune + blocs de cailloux de quartz	Limon argileux brun/orange moyen hétérogène, meuble + cailloux de granite et quartz	Fossé
TR 03	F 0069	-	0,67		0,63			Limon argileux brun/jaune + blocs de cailloux de quartz	Limon argileux brun/gris moyen hétérogène, meuble	Fossé
TR 03	F 0070	-	0,56		1,35			Limon argileux brun/jaune + blocs de cailloux de quartz	Limon argileux brun moyen homogène, meuble + blocs de granite	Fossé
TR 03	F 0071	-	0,6		1,07			Limon argileux brun/jaune + blocs de cailloux de quartz	Limon argileux brun moyen homogène, meuble + petits cailloux de quartz	Fossé
TR 03	F 0072	-	0,65			0,4		Limon argileux brun/jaune + blocs de cailloux de quartz	Limon argileux brun moyen hétérogène, meuble + poches de substrat remanié	TP
TR 03	F 0073	-	0,5	0,9	0,47			Limon argileux brun/jaune	Limon argileux brun moyen hétérogène, meuble + poches de substrat remanié, cailloux de schiste	Extrémité de fosse
TR 03	F 0074	-	0,55		0,6			Limon argileux brun/jaune	Limon argileux brun moyen hétérogène, meuble + poches de substrat remanié, quelques cailloux de quartz	Fossé
TR 03	F 0075	-	0,45	1,05	0,8			Limon argileux brun/jaune	Limon argileux brun moyen hétérogène, meuble + poches de substrat remanié	Fosse
TR 03	F 0076	-	0,45		0,8			Limon sablo-argileux brun/jaune, blocs de granite	Limon argilo-sableux brun moyen homogène, meuble + rares blocs de granite	Fossé
TR 03	F 0077	-	0,4	0,87	0,7			arène granitique + limon argilo-sableux brun/jaune	Limon argilo-sableux brun foncé	Impact d'obus
TR 04	F 0078	-	0,52			0,35		Limon-argileux, brun claire, blocs de granite	Limon argileux brun clair homogène, meuble + cailloux de schiste	TP
TR 04	F 0079	-	0,45			0,37		Limon-argileux, brun claire, blocs de granite	Limon argileux brun clair homogène, meuble + cailloux de schiste	TP
TR 04	F 0080	-	0,3	0,5	0,93			limon-argileux, brun/jaune, blocs de granite	Limon argileux brun foncé hétérogène, meuble + poches jaunes de substrat remanié	Fosse



Description	Attribution générale	Mobilier	Céramique	TCA	Lithique	Métal	Verre	Autre	Détail mobilier	Coupe	Coupe par	Egal à
	Période contemporaine, cadastre napoléonien	-	-	-	-	-	-	-				
	Indéterminé	-	-	-	-	-	-	-				
	Indéterminé	-	-	-	-	-	-	-				
	Indéterminé	-	-	-	-	-	-	-				
	haut Moyen Age	-	X	-	-	-	-	-	céramique			
	Indéterminé	-	-	-	-	-	-	-				
	Période gallo-romaine	-	-	-	-	-	-	-				
	Période gallo-romaine	-	-	-	-	-	-	-				
Fossé ou ornière	Période contemporaine, parcellaire des années 1950	-	-	-	-	-	-	-				
	Indéterminé	-	-	-	-	-	-	-				
	Indéterminé	-	-	-	-	-	-	-				
	Indéterminé	-	-	-	-	-	-	-				
	Indéterminé	-	-	-	-	-	-	-				
	Indéterminé	-	-	-	-	-	-	-				
	Indéterminé	-	-	-	-	-	-	-				
	Indéterminé	-	-	-	-	-	-	-				
	Indéterminé	-	-	-	-	-	-	-				
	Période contemporaine, cadastre napoléonien	-	-	-	-	-	-	-				
	Indéterminé	-	-	-	-	-	-	-				
	Indéterminé	-	-	-	-	-	-	-				
	Période contemporaine, cadastre napoléonien	-	-	-	-	-	-	-				
	Indéterminé	-	-	-	-	-	-	-				
Fossé avec excroissance côté sud	Indéterminé	-	-	-	-	-	-	-				
	Période contemporaine, Ile Guerre Mondiale	X	-	-	-	X	-	-	cerclage d'obus			
	Indéterminé	-	-	-	-	-	-	-				
	Indéterminé	-	-	-	-	-	-	-				
	Période contemporaine	X	-	-	-	-	X	-	verre recent		F0086	

Tranchée	Fait	Sondage	Niv. d'app <sup>ent</sup> (en m)	I (en m)	L (en m)	Diamètre (en m)	Profondeur	Encaissant	Remplissage	Interprétation
TR 04	F 0081	-	0,65	0,8	0,67			limon argileux, brun/jaune , qqs blocs de granite	Limon argileux brun clair homogène, très meuble + cailloux de schiste	Fossé
TR 04	F 0082	-	0,75		1,05			Limon-argileux, brun/jaune , blocs de quartz	Limon argileux brun moyen homogène, meuble + cailloux de schiste, blocs de granite	Fossé
TR 04	F 0083	-	0,6		1,15			Limon-argileux, brun/jaune , blocs de quartz	Limon argileux brun moyen homogène, meuble + cailloux de schiste, blocs de granite	Fossé
TR 04	F 0084	-	0,6		0,8			Limon-argileux, brun/jaune , blocs de quartz	Limon argileux brun moyen homogène, meuble + cailloux de schiste et de granite	Fossé
TR 04	F 0085	-	0,6		0,54			Limon-argileux, brun/jaune , blocs de quartz	Limon argileux brun moyen homogène, meuble + cailloux de schiste et de granite	Fossé
TR 04	F 0086	-	0,46		1,04			Limon-argileux, brun/jaune , blocs de quartz	Limon argileux brun moyen hétérogène, compact + poches jaunes de substrat remanié, cailloux de quartz,	Fossé
TR 04	F 0087	-	0,55		0,74			Limon-argileux, brun/jaune , blocs de quartz	Limon argileux brun clair homogène, meuble + petit cailloux de quartz	Fossé
TR 04	F 0088	-	0,6		1,23			Limon-argileux, brun/jaune , blocs de quartz	Limon argileux brun moyen homogène, meuble + cailloux de schiste	Fossé
TR 04	F 0089	-	0,6		1,76			Limon-argileux, brun/jaune , blocs de quartz	Limon argileux brun foncé homogène, meuble + cailloux de quartz, schiste, blocs de granite	Fossé
TR 04	F 0090	-	0,5		0,44			Limon-argileux, brun/jaune , blocs de quartz	Limon argileux brun clair hétérogène, meuble + cailloux de quartz et du schiste	Fosse
TR 04	F 0091	-	0,5			0,43		limon argileux brun/jaune , rares cailloux et blocs de schiste et de quartz	Limon argileux brun/jaune moyen hétérogène, meuble + cailloux de schiste	TP
TR 04	F 0092	-	0,5			0,43		limon argileux brun/jaune , rares cailloux et blocs de schiste et de quartz	Limon argileux brun/jaune moyen très hétérogène, meuble + nombreuses poches du substrat remanié et cailloux de schiste	TP
TR 03	F 0093	-			1,6			arène granitique + limon argilo-sableux brun/jaune	Limon argilo-sableux brun moyen homogène, meuble + poches charbonneuses, blocs et cailloux de granite	Fossé
TR 03	F 0094	-	0,48					arène granitique + limon argileux brun/jaune	Limon argilo-sableux brun moyen hétérogène, meuble + poches jaunes de substrat remanié, cailloux de granite	Fossé
TR 03	F 0095	X	0,4		0,93	0,27		arène granitique	Limon argileux brun foncé très hétérogène + arène granitique	Fossé
TR 04	F 0096	-	0,47			0,4		limon argileux brun/jaune , rares cailloux et blocs de schiste et de quartz	Limon argileux brun/jaune moyen hétérogène, meuble + cailloux de schiste	
TR 04	F 0097	X	0,46			0,43	0,25	limon argileux brun/jaune , rares cailloux et blocs de schiste et de quartz	Limon argileux brun/jaune moyen hétérogène, meuble + cailloux de schiste	TP
TR 04	F 0098	-	0,45			0,36		limon argileux brun/jaune , rares cailloux et blocs de schiste et de quartz	Limon argileux brun moyen homogène, meuble + cailloux de quartz	TP
TR 04	F 0099	-	0,43	0,72	0,54			limon argileux brun/jaune , rares cailloux quartz	Limon argileux brun moyen homogène, meuble + rares poches du substrat remanié, petits cailloux de schiste	Extrémité de fosse
TR 03	F 0100	-	0,4	1,2	0,33			arène granitique	Limon argilo-sableux brun moyen peu hétérogène, meuble	Fosse
TR 03	F 0101	-	0,48			0,52		arène granitique	Limon sablo-argileux brun moyen homogène, meuble + cailloux de granite	Fosse
TR 04	F 0102	-	0,5			0,9		limon argileux brun/jaune , rares cailloux quartz	Limon argileux brun moyen homogène, meuble +	Fosse

Description	Attribution générale	Mobilier	Céramique	TCA	Lithique	Métal	Verre	Autre	Détail mobilier	Coupe	Coupe par	Egal à
	Indéterminé	-	-	-	-	-	-	-				
	Indéterminé	-	-	-	-	-	-	-				
	Indéterminé	-	-	-	-	-	-	-				
	Indéterminé	-	-	-	-	-	-	-		F0086		F0087
	Indéterminé	-	-	-	-	-	-	-		F0086		
	Période contemporaine, cadastre napoléonien	X	-	-	-	-	-	X	TC	<i>F0080,</i> <i>F0084,</i> <i>F0085,</i> <i>F0087,</i> <i>F0425,</i> <i>F0426</i>		F0409
	Indéterminé	-	-	-	-	-	-	-		F0086		F0084
	Indéterminé	-	-	-	-	-	-	-				F0426
	Période contemporaine, cadastre napoléonien	-	-	-	-	-	-	-		<i>F0090</i>		F1107
	Indéterminé	-	-	-	-	-	-	-		F0089, F1111		F1112
	Moyen Age ?	-	-	-	-	-	-	-				
	Moyen Age ?	-	-	-	-	-	-	-				
Fossé avec excroissance côté Nord	Indéterminé	-	-	-	-	-	-	-				
	Indéterminé	-	-	-	-	-	-	-				
	Période gallo-romaine	X	X	-	-	-	-	-	amphore			
annulé	Indéterminé	-	-	-	-	-	-	-		F0422		
	Moyen Age ?	-	-	-	-	-	-	-				
	Moyen Age ?	-	-	-	-	-	-	-				
	Indéterminé	-	-	-	-	-	-	-				
	Indéterminé	-	-	-	-	-	-	-				
	Indéterminé	-	-	-	-	-	-	-				
Fosse charboneuse	Indéterminé	-	-	-	-	-	-	-		<i>F0110</i>		

Tranchée	Fait	Sondage	Niv. d'app <sup>m</sup> (en m)	I (en m)	L (en m)	Diamètre (en m)	Profondeur	Encaissant	Remplissage	Interprétation
TR 04	F 0103	-	0,4		1,03			limon argileux brun/jaune , rares cailloux quartz	Limon argileux brun moyen homogène, meuble + cailloux de quartz et plaquettes de schiste	Fossé
TR 04	F 0104	-	0,5		0,7			limon argilo-sableux brun/jaune , cailloux et blocs de quartz et de granite	Limon argileux brun/jaune moyen hétérogène, meuble + cailloux schiste et granite	Fossé
TR 04	F 0105	-	0,45		0,5			limon argileux brun/jaune , rares cailloux quartz	Limon argilo-sableux brun moyen hétérogène, meuble + blocs de granite	Fossé
TR 04	F 0106	-	0,55		0,67			limon argileux brun/jaune , rares cailloux quartz	Limon argilo-sableux brun moyen hétérogène, meuble + blocs de granite	Fossé
TR 03	F 0107	-	0,3	1,03	1,05			arène granitique + granite (roche)	Limon sableux brun foncé très hétérogène, meuble + nombreuses poches charbonneuses, cailloux de granite	Fosse
TR 03	F 0108	-	0,45	1,1	0,88			arène granitique + granite (roche)	Limon sableux brun foncé homogène, meuble + cailloux de granite	Fosse
TR 03	F 0109	-	0,38	0,64	0,45			Roche (granite)	Limon argilo-sableux brun foncé homogène, meuble	Fosse
TR 03	F 0110	-	0,37		0,9			arène granitique + granite (roche)	Limon sablo-argileux brun foncé hétérogène, meuble	Fossé
TR 04	F 0111	-	0,4	1,17	0,92			arène granitique + granite altéré	Limon argilo-sableux brun moyen hétérogène, meuble + cailloux de granite altéré	Extrémité de fosse
TR 04	F 0112	X	0,4	1,4	0,96	0,19		arène granitique + granite altéré	Limon argilo-sableux brun moyen homogène, meuble + gros blocs de granite	Fosse
TR 04	F 0113	X	0,4	1,7	1	0,22		arène granitique + granite altéré	Limon argilo-sableux brun foncé hétérogène, meuble + poches jaunes du substrat remanié, blocs de granite	Extrémité de fosse
TR 04	F 0114	X	34		2,1	0,56		arène granitique + granite altéré	Limon argilo-sableux brun foncé hétérogène, meuble + poches jaunes de substrat remanié, blocs de granite	Fossé
TR 03	F 0115	X	0,5		1,6	0,28		limon argilo-sableux brun/jaune + altérite	Limon sablo-argileux brun foncé homogène, meuble + blocs de granite, poches charbonneuses	Fossé
TR 03	F 0116	-	0,4		0,93			limon argilo-sableux brun/jaune + altérite	Limon sablo-argileux brun moyen homogène, meuble	Fossé
TR 03	F 0117	-	0,47		0,7			limon argilo-sableux brun/jaune + altérite	Limon sablo-argileux brun moyen homogène, meuble	Fossé
TR 03	F 0118	-	0,3		0,28			Limon argilo-sableux brun/jaune + altérite	Limon argilo-sableux brun moyen homogène, meuble + cailloux de granite	Fossé
TR 03	F 0119	-	0,3		0,44			limon argilo-sableux brun/jaune + altérite	Limon sablo-argileux brun moyen homogène, meuble + poches jaunes de substrat remanié	Fossé
TR 03	F 0120	X	0,42		1,35	0,18		limon argilo-sableux brun/jaune + altérite	Limon argilo-sableux brun moyen homogène, meuble	Fossé
TR 03	F 0121	-	0,6		0,45			arène granitique + granite (roche)	Limon sablo-argileux brun foncé homogène, meuble + poches charbonneuses, cailloux de granite	Fossé
TR 03	F 0122	-	0,37		0,95			arène granitique + granite (roche)	Limon sablo-argileux brun foncé homogène, meuble + poches charbonneuses	Fossé
TR 03	F 0123	-	0,44		0,85			arène granitique + granite (roche)	Limon sablo-argileux brun foncé homogène, meuble + poches charbonneuses, blocs de granite	Fossé
TR 03	F 0124	-	0,55		0,5			arène granitique + granite (roche)	Limon argilo-sableux brun foncé homogène, meuble	Fossé
TR 03	F 0125	-	0,3		1			Limon sablo-argileux, brun/jaune, rares petits blocs et cailloux de granite	Limon argilo-sableux brun/jaune moyen hétérogène, meuble + rares cailloux de granite, poches charbonneuses	Fosse



Description	Attribution générale	Mobilier	Céramique	TCA	Lithique	Métal	Verre	Autre	Détail mobilier	Coupe	Coupe par	Egal à
	Indéterminé	-	-	-	-	-	-	-				
	Indéterminé	-	-	-	-	-	-	-				
	Indéterminé	-	-	-	-	-	-	-				
	Indéterminé	-	-	-	-	-	-	-				
	Protohistoire	X	X	-	-	-	-	X	Céramique, TC			
	Indéterminé	-	-	-	-	-	-	-				
	Indéterminé	-	-	-	-	-	-	-				
	Période gallo-romaine ?	-	-	-	-	-	-	-			F0102	
	Indéterminé	X	-	-	-	-	-	-				
	Indéterminé	-	-	-	-	-	-	-				
	Premier âge du Fer	X	X	-	X	-	-	X	bloc taillé de granite, meule			
	Période gallo-romaine ?	-	-	-	-	-	-	-				F0124
Tourne vers l'Est côté Nord et côté Sud	Période gallo-romaine	X	X	-	-	-	-	X	TC			F0123, F0124, F0187
	Période gallo-romaine ?	-	-	-	-	-	-	-				
	Période gallo-romaine ?	-	-	-	-	-	-	-				
	Période gallo-romaine ?	-	-	-	-	-	-	-				
	Période gallo-romaine ?	-	-	-	-	-	-	-				
	Période gallo-romaine	X	-	X	-	-	-	-	Imbrex			
	Période gallo-romaine ?	-	-	-	-	-	-	-			F0124	
	Période gallo-romaine ?	-	-	-	-	-	-	-			F0123	
	Période gallo-romaine ?	-	-	-	-	-	-	-				F0122
	Période gallo-romaine ?	-	-	-	-	-	-	-				F0115
	Période gallo-romaine ?	-	-	-	-	-	-	-				F0121
	Indéterminé	-	-	-	-	-	-	-				F0114, F0115

Tranchée	Fait	Sondage	Niv. d'app <sup>m</sup> (en m)	I (en m)	L (en m)	Diamètre (en m)	Profondeur	Encaissant	Remplissage	Interprétation
TR 04	F 0126	-	0,4		1,9			arène granitique + granite altéré	Limons argilo-sableux brun foncé hétérogène, meuble + poches du substrat remanié, blocs de quartz et de granite	Fossé
TR 04	F 0127	-	0,46		0,8			limon argilo-sableux brun/jaune	Limons argilo-sableux brun moyen homogène, meuble + petit cailloux de granite	Fossé
TR 04	F 0128	-	0,38		0,78			limon argilo-sableux brun/jaune + granite altéré	Limons argilo-sableux brun/gris moyen homogène, meuble + cailloux de granite altéré	Fossé
TR 03	F 0129	-	0,3		0,5			Limons sablo-argileux, brun/jaune, rares petits blocs et cailloux de granite	Limons sablo-argileux brun moyen homogène, meuble + poches de substrat remanié	Fossé
TR 05	F 0130	-	0,3	0,7	0,76			limon argilo brun/jaune, nombreuses cailloux de schiste	Limons argileux + micaschiste altéré	Fosse
TR 05	F 0131	-	0,3		0,8			limon argileux brun/jaune, + qqs cailloux de schiste	Limons argileux brun foncé homogène, peu compact + blocs de quartz	Fossé
TR 05	F 0132	-	0,3		1,4			limon argileux brun/jaune + qqs cailloux de schiste	Limons argileux brun foncé homogène, meuble + cailloux de schiste et de granite	Fossé
TR 06	F 0133	-	0,55		0,56			limon argileux brun/jaune + blocs et cailloux de quartz et de schiste	Limons argileux brun clair homogène, meuble + cailloux de quartz	Fossé
TR 06	F 0134	-	0,5	0,93	0,5			limon argileux brun/jaune + blocs et cailloux de quartz et de schiste	Limons argilo-sableux brun/jaune clair à foncé très hétérogène, meuble + cailloux de schiste	Fosse
TR 05	F 0135	-	0,56		0,7			limon argileux brun/jaune + qqs cailloux de schiste	Limons argileux brun foncé homogène, meuble + petits cailloux de quartz	Fossé
TR 05	F 0136	-	0,57		1,05			limon argileux brun/jaune + qqs cailloux de schiste	Limons argileux brun moyen peu hétérogène, meuble + rares poches du substrat remanié, petits cailloux de schiste	Fossé
TR 05	F 0137	-	0,6		1			limon argileux brun/jaune + qqs cailloux de schiste	Limons argileux brun moyen homogène, meuble + petits cailloux de schiste et de quartz	Fossé
TR 06	F 0138	-	0,6			0,54		limon argileux brun/jaune + blocs et cailloux de quartz et de schiste	Limons argileux brun clair hétérogène, meuble + poches jaunes de substrat remanié, petits cailloux de quartz	TP
TR 06	F 0139	-	0,55		0,7			limon argileux brun/jaune + blocs et cailloux de quartz et de schiste	Limons argileux brun clair homogène, meuble + cailloux de quartz	Fossé
TR 06	F 0140	-	0,4		0,7			limon argileux brun/jaune + blocs et cailloux de quartz et de schiste	Limons argileux brun clair homogène, meuble + Petits cailloux de quartz et granite altéré	Fossé
TR 06	F 0141	-	0,57		1,32			limon argileux brun/jaune + blocs et cailloux de quartz et de schiste	Limons argileux brun clair homogène, meuble + cailloux de schiste	Fossé
TR 05	F 0142	-	0,43		2,76			limon argilo-sableux brun/jaune + qqs cailloux de schiste	Limons argileux brun foncé homogène, meuble + petits cailloux de schiste et de quartz	Fosse
TR 05	F 0143	-	0,43			0,55		limon argilo-sableux brun/jaune + qqs cailloux de schiste	Limons argileux brun moyen homogène, meuble + petits cailloux de granite	TP
TR 02	F 0144	-	0,35					limon argileux brun/jaune, avec rares pierres de schiste	Limons argileux brun foncé	Impact d'obus
TR 02	F 0145	-	0,35	0,6	0,6			limon argileux brun/jaune, avec rares pierres de schiste	Limons argileux brun moyen homogène, meuble	Fosse
TR 05	F 0146	-	0,47		0,74			limon argileux brun/jaune + cailloux de quartz	Limons argileux brun moyen hétérogène, meuble + poches de substrat remanié, et petits cailloux de schiste et de quartz	Fossé
TR 05	F 0147	X	0,34			0,67	0,22	limon argileux brun/jaune + cailloux de quartz	Limons argileux brun foncé hétérogène, meuble + poches jaunes d'arène granitique, blocs de granite	TP
TR 05	F 0148	-	0,44	0,5	0,4			limon argileux brun/jaune + cailloux de quartz	Limons argileux brun foncé foncé hétérogène, meuble	TP ?
TR 05	F 0149	-	0,55		1			limon argileux brun/jaune + cailloux de quartz	Limons argilo-sableux brun foncé homogène, meuble + cailloux de schiste et de quartz	Fossé
TR 05	F 0150	X	0,46			0,37	0,23	limon argileux brun/jaune + cailloux de quartz + poches de l'arène granitique	Limons argileux brun moyen hétérogène, meuble + poches de substrat remanié aréné granitique	TP

Description	Attribution générale	Mobilier	Céramique	TCA	Lithique	Métal	Verre	Autre	Détail mobilier	Coupe	Coupe par	Egal à
	Indéterminé	-	-	-	-	-	-	-				
	Période gallo-romaine ?	-	-	-	-	-	-	-				
	Période gallo-romaine ?	-	-	-	-	-	-	-				
	Indéterminé	-	-	-	-	-	-	-				
affleurement de schiste	Indéterminé	-	-	-	-	-	-	-				
parcellaire	Période contemporaine, cadastre napoléonien	X	X	-	-	-	-	X	Plastique, TC			
	Période contemporaine, cadastre napoléonien	X	-	-	-	-	-	X	TC			
	Indéterminé	-	-	-	-	-	-	-				
	Période contemporaine	X	X	-	-	-	-	-	Céramique Période Contemporaine?			
	Indéterminé	-	-	-	-	-	-	-				
	Période contemporaine, cadastre napoléonien	-	-	-	-	-	-	-				
	Période contemporaine, cadastre napoléonien	-	-	-	-	-	-	-				
	Indéterminé	-	-	-	-	-	-	-				
	Indéterminé	-	-	-	-	-	-	-				
	Période contemporaine, cadastre napoléonien	-	-	-	-	-	-	-				
	Période contemporaine, cadastre napoléonien	-	-	-	-	-	-	-				
	Indéterminé	-	-	-	-	-	-	-				
	Indéterminé	-	-	-	-	-	-	-				
	Période contemporaine, Ile Guerre Mondiale	X	-	-	-	X	-	-	Fragment d'obus			
	Période contemporaine	X	-	-	-	X	-	-				
	Indéterminé	-	-	-	-	-	-	-				
	Indéterminé	-	-	-	-	-	-	-				
	Indéterminé	-	-	-	-	-	-	-				
	Période gallo-romaine	X	-	-	-	-	-	X	Tuile			F1120
	Protohistoire	X	X	-	-	-	-	-				

Tranchée	Fait	Sondage	Niv. d'app <sup>en</sup> (en m)	I (en m)	L (en m)	Diamètre (en m)	Profondeur	Encaissant	Remplissage	Interprétation
TR 05	F 0151	-	0,55	0,5	0,42			limon argileux brun/jaune + cailloux de quartz	Limons argilo-sableux brun moyen hétérogène, meuble + petits cailloux de quartz	TP
TR 06	F 0152	-	0,55			0,36		limon argileux brun/jaune + blocs et cailloux de quartz	Limons argileux brun moyen peu hétérogène, meuble + poches de substrat remanié	TP
TR 06	F 0153	-	0,6			0,43		limon argilo-sableux brun/jaune	Limons argileux brun moyen homogène, meuble + cailloux de quartz	TP
TR 06	F 0154	-	0,6			0,9		limon argilo-sableux brun/jaune	Limons argileux brun moyen homogène, meuble + cailloux de quartz et de schiste	Fosse
TR 06	F 0155	-	0,5			0,58		limon argilo-sableux brun/jaune	Limons argileux brun moyen homogène, meuble + blocs de granite et de quartz	TP
TR 06	F 0156	-	0,6			0,33		limon argilo-sableux brun/jaune	Limons argileux brun moyen homogène, meuble	TP
TR 05	F 0157	-	0,6			0,32		arène granitique + granite altéré	Limons argilo-sableux brun moyen homogène, meuble + nombreux petits cailloux de schiste et de granite	TP
TR 05	F 0158	-	0,4	1,2	1			arène granitique + granite altéré	Limons sablo-argileux brun moyen homogène, meuble + cailloux et blocs de granite altéré	Fosse
TR 05	F 0159	X	0,4		1,9	0,42		arène granitique + granite altéré	Limons argilo-sableux brun foncé hétérogène, meuble + poches de substrat remanié (arène granitique), galets, granit altéré, placettes de schiste	Fossé
TR 05	F 0160	-	0,37			0,5		arène granitique + granite altéré	Limons argilo-sableux brun clair homogène, meuble + petits cailloux de quartz	TP
TR 05	F 0161	-	0,4			0,33		arène granitique + granite altéré	Limons argilo-sableux brun moyen homogène, meuble + petits cailloux de granite	TP
TR 05	F 0162	-	0,5			0,38		arène granitique	Limons sablo-argileux brun moyen homogène, meuble	TP
TR 05	F 0163	-	0,3		2,1			arène granitique + granite (roche)	Limons sableux brun/noire foncé hétérogène, peu compact + gros blocs et cailloux de granite et plaquettes de schiste	Fossé
TR 06	F 0164	-	0,4		2,17			limon argilo-sableux brun/jaune	Limons argilo-sableux brun moyen homogène, meuble + cailloux de granite	Fossé
TR 06	F 0165	-	35		0,96			limon argilo-sableux brun/jaune	Limons argilo-sableux brun foncé homogène, compact + blocs de granite	Fossé
TR 06	F 0166	-	0,4	1,4	1,27			limon argilo-sableux brun/jaune	Limons argilo-sableux brun moyen peu hétérogène, meuble + cailloux de granite	Fosse
TR 06	F 0167	-	0,34	2,05	1,3			limon argilo-sableux brun/jaune	Limons argilo-sableux brun foncé homogène, meuble + plaquettes de schiste et cailloux de granite	Fosse
TR 06	F 0168	-	0,3		0,66			limon argilo-sableux brun/jaune	Limons argilo-sableux brun foncé homogène, peu compact + cailloux de granite	Fossé
TR 06	F 0169	-	0,3		0,66			limon argilo-sableux brun/jaune	Limons argilo-sableux brun foncé homogène, peu compact + cailloux de granite	Fossé
TR 05	F 0170	-	0,56		0,84			roche (granite)	Limons argilo-sableux brun moyen hétérogène, peu compact + cailloux de granite, de schiste	Fossé
TR 05	F 0171	-	0,9			1,6		roche (granite)	Limons brun/noire foncé peu hétérogène, peu compact + petits poches jaunes de substrat remanié, graviers, beaucoup de racines, blocs et cailloux de granite	Fosse
TR 06	F 0172	-	0,55	2,54	1,78			roche (granite)	Limons argilo-sableux brun/noire foncé hétérogène, meuble + blocs et cailloux de granite	Fosse
TR 06	F 0173	-	0,4		0,8			roche granite + granite altéré	Limons sableux brun/noire foncé homogène, meuble + cailloux et blocs de granite	Fossé
TR 06	F 0174	-	0,5	4	1,55			roche (granite)	Limons sableux brun/noire moyen homogène, meuble + blocs et cailloux de granite altéré	Fosse



Description	Attribution générale									Détail mobilier	Coupe	Coupe par	Egal à
		Mobilier	Céramique	TCA	Lithique	Métal	Verre	Autre					
Excroissance fossé F149	Indéterminé	X	-	-	-	-	-	-	X				
	Indéterminé	-	-	-	-	-	-	-	-				
	Indéterminé	-	-	-	-	-	-	-	-				
	Protohistoire	-	-	-	-	-	-	-	-				
calage ?	Indéterminé	-	-	-	-	-	-	-	-				
	Indéterminé	-	-	-	-	-	-	-	-				
	Période gallo-romaine ?	-	-	-	-	-	-	-	-				
rapé	Indéterminé	-	-	-	-	-	-	-	-				
largeur très irrégulière avec nombreuses excroissances	Période gallo-romaine	X	X	X	-	-	-	-	-			F0170	
	Période gallo-romaine ?	-	-	-	-	-	-	-	-				
	Période gallo-romaine ?	-	-	-	-	-	-	-	-				
	Période gallo-romaine ?	-	-	-	-	-	-	-	-				
remblais	Période contemporaine	X	X	-	-	-	-	-	X	Ardoise, TC, faïence	<b>F0170,</b> <b>F1121</b>		
	Période gallo-romaine	-	-	-	-	-	-	-	-			F1119	
	Indéterminé	-	-	-	-	-	-	-	-				
	Indéterminé	-	-	-	-	-	-	-	-				
	Indéterminé	-	-	-	-	-	-	-	-			F0168	
	Période contemporaine	-	-	-	-	-	-	-	-		<b>F0167</b>		
	Période contemporaine	-	-	-	-	-	-	-	-				
	Période gallo-romaine ?	X	-	-	-	-	-	-	X	prisme de quartz	F0163	F0159	
fosse d'extraction	Indéterminé	-	-	-	-	-	-	-	-				
fosse d'extraction	Indéterminé	-	-	-	-	-	-	-	-				
	Indéterminé	-	-	-	-	-	-	-	-				
fosse d'extraction	Indéterminé	-	-	-	-	-	-	-	-				

Tranchée	Fait	Sondage	Niv. d'app <sup>(en)</sup> (en m)	I (en m)	L (en m)	Diamètre (en m)	Profondeur	Encaissant	Remplissage	Interprétation
TR 05	F 0175	X	0,73			1,8	1,08	roche (granite)	Limon argileux gris moyen homogène, meuble + traces d'oxidation, nombreux cailloux et blocs de granite	Fosse
TR 03	F 0176	-	0,26					Limon argileux brun/jaune + cailloux et blocs de quartz et de granite	Limon argileux brun moyen homogène, meuble	Impact d'obus
TR 05	F 0177	-	0,2			1,9		arène granitique + granite (roche)	Limon sableux brun foncé homogène, meuble	Fosse
TR 05	F 0178	-	0,25	3,64				arène granitique + granite altéré	Limon sablo-argileux brun clair; foncéfoncé hétérogène, meuble + blocs de granite altéré	Fosse
TR 05	F 0179	-	0,4		0,4			limon argilo-sableux, brun/orangé + rares cailloux de schiste	Limon argilo-sableux brun foncé homogène, meuble + cailloux de granite	Fossé
TR 05	F 0180	-	0,4		0,55			limon argilo-sableux brun/orangé + rares cailloux de schiste	Limon argilo-sableux brun foncé homogène, meuble + rares petits plaquettes de schiste et cailloux de granite	Fossé
TR 05	F 0181	-	0,36		1,1			limon argilo-sableux brun/orangé + rares cailloux de schiste	Limon argilo-sableux brun moyen homogène, meuble + petits cailloux de quartz	Fossé
TR 05	F 0182	-	0,35		0,6			limon argilo-sableux brun/orangé + rares cailloux de schiste	Limon argileux brun moyen homogène, meuble + petits cailloux de granite	Fossé
TR 07	F 0183	-	0,47	5,1	1,2			limon argileux brun/jaune + rares cailloux de quartz et de schiste	Limon argileux brun/jaune clair hétérogène, meuble + cailloux et blocs de quartz	Fosse
TR 07	F 0184	-	0,33	0,84	0,6			limon argileux brun/jaune + rares cailloux de quartz et de schiste	Limon argileux brun foncé	Impact d'obus
TR 07	F 0185	-	0,33			0,7		limon argileux brun/jaune + rares cailloux de quartz et de schiste	Limon argileux brun foncé	Impact d'obus
TR 07	F 0186	-	0,34		0,53			limon argileux brun/jaune + rares cailloux de quartz et de schiste	Limon argileux brun clair hétérogène, meuble	Fossé
TR 04	F 0187	X	0,4		1,8		0,66	roche (granite)	Limon argilo-sableux brun foncé hétérogène, meuble + cailloux et blocs de granite	Fossé
TR 07	F 0188	-	0,47		0,5			limon argileux brun/jaune + rares cailloux de quartz et de schiste	Limon argileux brun clair hétérogène, meuble	Fossé
TR 07	F 0189	-	0,4			0,4		limon argileux brun/jaune + rares cailloux de quartz et de schiste	Limon argileux brun moyen homogène, meuble + petits cailloux de schiste et de quartz	TP
TR 07	F 0190	-	0,6		1,02			limon argileux brun/jaune + rares cailloux de quartz et de schiste	Limon argileux brun moyen homogène, meuble	Fossé
TR 07	F 0191	-	40		0,7			limon argileux brun/jaune + rares cailloux de quartz et de schiste	Limon argileux brun foncé homogène, meuble + beaucoup de racines	Fossé
TR 07	F 0192	-	0,35		3,95			limon argileux brun/jaune + rares cailloux de quartz et de schiste	Limon argileux brun moyen peu hétérogène, peu compact	Fossé
TR 06	F 0193	-	0,4			0,4		limon argilo-sableux brun/jaune	Limon argilo-sableux brun moyen peu hétérogène, meuble + poches de substrat remanié	TP
TR 06	F 0194	-	0,26		0,7			limon argilo-sableux brun/orangé + qqs cailloux et blocs de granite	Limon argilo-sableux brun moyen homogène, meuble + petits cailloux granite	Fossé
TR 06	F 0195	-	0,25		0,65			limon argilo-sableux brun/orangé + qqs cailloux de schiste, granite	Limon argileux brun moyen homogène, meuble + qqs cailloux et blocs de granite	Fossé
TR 06	F 0196	-	0,5	3,9	1,14			limon argileux brun/jaune + blocs et cailloux de quartz et de schiste	Limon sablo-argileux brun moyen très hétérogène, meuble + poches jaunes de substrat remanié, schiste altéré et quartz	Fosse
TR 06	F 0197	-	0,4		0,47			limon argileux brun/jaune + blocs et cailloux de quartz et de schiste	Limon argileux brun/jaune clair; foncéfoncé hétérogène, meuble + petits cailloux de quartz	Fossé
TR 06	F 0198	-	0,5		0,3			limon argileux brun/jaune + blocs et cailloux de quartz et de schiste	Limon argileux brun/jaune clair hétérogène, meuble	Fossé
TR 07	F 0199	-	0,45	1,4	0,52			limon argileux brun/jaune + cailloux de quartz et de schiste	Limon argileux brun moyen homogène, meuble + gros charbons, petits cailloux de schiste	Fosse

Description	Attribution générale	Mobilier	Céramique	TCA	Lithique	Métal	Verre	Autre	Détail mobilier	Coupe	Coupe par	Egal à
fosse d'extraction (coupe N/S du mamelon)	Période gallo-romaine	X	X	-	-	-	-	-				
	Période contemporaine, Ile Guerre Mondiale	X	-	-	-	X	-	-	cerclage d'obus, aluminium altété			
fosse d'extraction	Indéterminé	X	-	-	-	-	X	-	verre recent en partie sup.			
fosse d'extraction	Indéterminé	-	-	-	-	-	-	-				
	Moyen Age / Période moderne	-	X	-	-	-	-	-				
	Période gallo-romaine	-	-	-	-	-	-	-	amphore	<b>F0181</b>		
	Période gallo-romaine ?	-	-	-	-	-	-	-			F0180	
	Période gallo-romaine ?	-	-	-	-	-	-	-				
	haut Moyen Age	-	X	-	-	-	-	-	céramique			
	Période contemporaine, Ile Guerre Mondiale	X	-	-	-	X	-	-	Fragment d'obus,cerclage			
	Période contemporaine, Ile Guerre Mondiale	X	-	-	-	X	-	-	Fragment d'obus,cerclage			
	Indéterminé	-	-	-	-	-	-	-				
	Période gallo-romaine ?	-	-	-	-	-	-	-				F0115
	Indéterminé	-	-	-	-	-	-	-				
	Indéterminé	-	-	-	-	-	-	-				
	Indéterminé	-	-	-	-	-	-	-				
	Période contemporaine, cadastre napoléonien	-	-	-	-	-	-	-				
fossé dépotoir	Période contemporaine, cadastre napoléonien	-	-	-	-	-	-	-				
	Indéterminé	-	-	-	-	-	-	-				
	Période gallo-romaine ?	-	-	-	-	-	-	-				
	Période gallo-romaine ?	-	-	-	-	-	-	-				
	Période contemporaine	-	-	-	-	-	-	-				F0197
	Période contemporaine	-	-	-	-	-	-	-				<b>F0196</b>
	Période contemporaine	-	-	-	-	-	-	-				
	Période contemporaine	-	-	-	-	-	-	-				

Tranchée	Fait	Sondage	Niv. d'app <sup>sm</sup> (en m)	I (en m)	L (en m)	Diamètre (en m)	Profondeur	Encaissant	Remplissage	Interprétation
TR 07	F 0200	-	0,5			0,4		limon argileux brun/jaune + cailloux de quartz et de schiste	Limon argileux brun moyen peu hétérogène, meuble	TP
TR 07	F 0201	-	0,45			0,35		limon argileux brun/jaune + cailloux de quartz et de schiste	Limon argileux brun moyen peu hétérogène, meuble	TP
TR 07	F 0202	-	0,33	0,6	0,48			limon argileux brun/jaune + cailloux de quartz et de schiste	Limon brun/noire moyen peu hétérogène, meuble + nombreux graviers	Impact d'obus
TR 07	F 0203	-	0,45	0,88	0,6			limon argileux brun/jaune + cailloux de quartz et de schiste	Limon brun foncé peu hétérogène, meuble + graviers	Fosse
TR 07	F 0204	-	0,4	0,8	0,7			limon argileux brun/jaune + cailloux de quartz et de schiste	Limon brun foncé peu hétérogène, meuble + graviers	Fosse
TR 07	F 0205	-	0,64	0,84	0,54			limon argileux brun/jaune + cailloux de quartz et de schiste	Limon argileux brun moyen peu hétérogène, meuble + cailloux de schiste et de granite	Fosse
TR 07	F 0206	-	0,4			0,49		limon argileux brun/jaune + cailloux de quartz et de schiste	Limon argileux brun moyen peu hétérogène, meuble	TP
TR 07	F 0207	-	0,52		1,06			limon argileux brun/jaune + arène granitique	Limon argileux brun moyen hétérogène, meuble + cailloux de schiste et de granite	Fossé
TR 07	F 0208	-	0,5		1,2			limon argileux brun/jaune + arène granitique	Limon argileux brun moyen peu hétérogène, meuble + poches d'arène granitique, cailloux de quartz et de granit	Fossé
TR 07	F 0209	-	0,4		0,75			limon argileux brun/jaune + arène granitique	Limon brun foncé hétérogène, meuble + poches d'arène granitique, racines	Fossé
TR 07	F 0210	-	0,3		0,55			limon argileux brun/jaune + arène granitique	Limon brun clair à foncé très hétérogène, meuble + graviers et cailloux de granite	Fossé
TR 07	F 0211	-	0,35		0,72			limon argileux brun/jaune + arène granitique	Limon argileux brun moyen homogène, meuble + cailloux de granite et de schiste	Fossé
TR 07	F 0212	X	0,4		0,78	0,22		limon argileux brun/jaune + arène granitique	Limon argileux brun moyen homogène, meuble + cailloux de quartz, granite, poches d'arène granitique	Fossé
TR 07	F 0213	X	0,4		1,1	0,14		limon argileux brun/jaune + aréné granitique	Limon argileux brun foncé peu hétérogène, peu compact	Fosse
TR 07	F 0214	-	0,38		0,85			limon argileux brun/jaune + arène granitique	Limon argileux brun moyen peu hétérogène, meuble + poches de substrat remanié (arène granitique)	Fossé
TR 07	F 0215	-	0,26		0,7			limon argileux brun/jaune + arène granitique	Limon argileux brun moyen peu hétérogène, meuble + poches de substrat remanié (arène granitique)	Fossé
TR 07	F 0216	-	0,23		0,55			limon argileux brun/jaune + arène granitique	Limon brun foncé homogène, meuble	Fosse
TR 08	F 0217	-	0,56		0,68			Limon-argileux brun/jaune, orangé, avec cailloux et blocs de quartz	Limon argileux brun moyen homogène, meuble	Fosse
TR 08	F 0218	-	0,5		0,72			Limon-argileux brun/jaune, orangé, avec cailloux et blocs de quartz	Limon argileux brun moyen homogène, meuble + cailloux de quartz	Extrémité de fosse
TR 08	F 0219	-	0,37		0,94			Limon-argileux brun/jaune, orangé, avec cailloux et blocs de quartz	Limon argileux brun moyen homogène, meuble + cailloux de quartz et de schiste	Extrémité de fosse
TR 08	F 0220	-	0,37					Limon-argileux brun/jaune, orangé, avec cailloux et blocs de quartz	brun moyen	Impact d'obus
TR 08	F 0221	-	0,45	0,6	0,4			Limon-argileux brun/jaune, orangé, avec cailloux et blocs de quartz	Limon argileux brun foncé homogène, très meuble	Fosse
TR 08	F 0222	-	0,35		0,26			Limon-argileux brun/jaune, orangé, avec cailloux et blocs de quartz	Limon argileux brun clair à foncé très hétérogène, très meuble	Fossé
TR 08	F 0223	-	0,45	0,7	0,35			Limon-argileux brun/jaune, orangé, avec cailloux et blocs de quartz	Limon argileux brun moyen homogène, meuble + petits cailloux de schiste	Fosse
TR 08	F 0224	-	0,45		0,36			Limon-argileux brun/jaune, orangé, avec cailloux et blocs de quartz		Autre
TR 08	F 0225	-	0,4		0,75			Limon-argileux brun/jaune, orangé, avec cailloux et blocs de quartz	Limon argileux brun foncé peu hétérogène, meuble + cailloux de schiste	Impact d'obus



Description	Attribution générale	Mobilier	Céramique	TCA	Lithique	Métal	Verre	Autre	Détail mobilier	Coupe	Coupe par	Egal à
	Indéterminé	-	-	-	-	-	-	-				
	Indéterminé	-	-	-	-	-	-	-				
	Période contemporaine, Ile Guerre Mondiale	X	-	-	-	-	-	X	aluminum décomposée			
	Période contemporaine	-	-	-	-	-	-	-				
	Période contemporaine	-	-	-	-	-	-	-				
	Indéterminé	-	-	-	-	-	-	-				
	Indéterminé	-	-	-	-	-	-	-				
	Période gallo-romaine ?	-	-	-	-	-	-	-				
	Période gallo-romaine ?	-	-	-	-	-	-	-				
	Période contemporaine, cadastre napoléonien	X	-	-	-	-	-	X	Plastique			
	Période contemporaine, cadastre napoléonien	-	-	-	-	-	-	-				
	Indéterminé	-	-	-	-	-	-	-				
	Période gallo-romaine (Haut Empire)	X	X	X	-	-	-	-		F0213, F1079	F1097	
	Période gallo-romaine	X	X	-	-	-	-	-		<b>F0212</b>		
	Période gallo-romaine ?	-	-	-	-	-	-	-				
	Période gallo-romaine ?	-	-	-	-	-	-	-				
	Période contemporaine	-	-	-	-	-	-	-				
	Période gallo-romaine ?	-	-	-	-	-	-	-				
"entrée"?	Indéterminé	-	-	-	-	-	-	-				
"entrée"?	Indéterminé	-	-	-	-	-	-	-				
	Période contemporaine, Ile Guerre Mondiale	X	-	-	-	X	-	-	Fragment d'obus			
	Période contemporaine	-	-	-	-	-	-	-				
terrier	Indéterminé	-	-	-	-	-	-	-				
	Indéterminé	-	-	-	-	-	-	-				
canalisation	Période contemporaine	-	-	-	-	-	-	-				
	Période contemporaine, Ile Guerre Mondiale	X	-	-	-	X	-	-	Fragment d'obus, cerclage			

Tranchée	Fait	Sondage	Niv. d'app <sup>m</sup> (en m)	I (en m)	L (en m)	Diamètre (en m)	Profondeur	Encaissant	Remplissage	Interprétation
TR 08	F 0226	-	0,5			0,55		Limon-argileux brun/jaune, orangé, avec cailloux et blocs de quartz	Limon argileux brun moyen homogène, meuble + cailloux de schiste	Fosse
TR 08	F 0227	-	0,45		0,9			Limon-argileux brun/jaune, orangé, avec cailloux et blocs de quartz	Limon argileux brun moyen peu hétérogène, meuble + petits cailloux de schiste et micaschiste	Fossé
TR 08	F 0228	-	0,5		0,86			Limon-argileux brun/jaune, orangé, avec cailloux et blocs de quartz	Limon argileux brun moyen hétérogène, meuble + cailloux de quartz	Fossé
TR 08	F 0229	-	0,4		1,35			Limon-argileux brun/jaune, orangé, avec cailloux et blocs de quartz	Limon argileux brun foncé hétérogène, peu compact + cailloux de schiste et de quartz	Fossé
TR 08	F 0230	-	0,5	0,74	0,6			limon-argileux brun/jaune + cailloux et blocs de quartz et de micaschiste	Limon argileux brun moyen peu hétérogène, meuble + cailloux de quartz et de schiste	Fosse
TR 08	F 0231	-	0,5			0,65		limon-argileux brun/jaune + cailloux et blocs de quartz et de micaschiste	Limon argileux brun moyen homogène, meuble + cailloux de quartz	Fosse
TR 08	F 0232	-	0,43			0,5		limon-argileux brun/jaune + cailloux et blocs de quartz et de micaschiste	Limon argileux brun moyen homogène, meuble	TP
TR 08	F 0233	-	0,45	1,3	0,67			limon argilo-sableux brun/orangé + cailloux et blocs de quartz	Limon argilo-sableux brun foncé homogène, peu compact + cailloux de quartz	Fosse
TR 08	F 0234	-	0,6		1,36			Limon argileux brun/jaune + cailloux de granite + granite (roche)	Limon argilo-sableux brun foncé homogène, meuble + cailloux de granite	Fossé
TR 08	F 0235	-	0,3		1			roche (granite)	Limon argilo-sableux brun foncé homogène, meuble + cailloux de quartz et de granite	Fossé
TR 08	F 0236	-	0,37		0,5			limon argileux brun/jaune + cailloux de granite	Limon argilo-sableux brun moyen hétérogène, meuble + cailloux de quartz	Fossé
TR 08	F 0237	-	0,34		0,68			limon argileux brun/jaune + cailloux de granite	Limon argilo-sableux brun clair hétérogène, meuble + cailloux de granite	Fossé
TR 08	F 0238	-	0,45		1			limon argileux brun/jaune + cailloux de granite	Limon argilo-sableux brun moyen peu hétérogène, meuble	Fossé
TR 08	F 0239	-	0,47		0,82			limon argileux brun/jaune + cailloux de granite	Limon argilo-sableux brun moyen peu hétérogène, meuble	Fossé
TR 08	F 0240	-	0,45	0,8	0,42			limon-argileux brun/jaune + cailloux et blocs de quartz et de micaschiste	Limon argilo-sableux brun moyen peu hétérogène, meuble + cailloux de quartz	Fosse
TR 09	F 0241	-						limon argileux brun/jaune + cailloux et blocs de quartz		Autre
TR 10	F 0242	-	0,4		0,9			Limon argileux brun/jaune + cailloux et blocs de quartz	Limon argileux brun foncé hétérogène, meuble + poches jaune de substrat remanié et cailloux de schiste	Fossé
TR 10	F 0243	-	0,35		0,6			Limon argileux brun/jaune + cailloux et blocs de quartz	Limon argileux brun moyen foncé hétérogène, meuble + poches charbonneuses et cailloux de quartz	Fossé
TR 10	F 0244	-	0,4		0,78			Limon argileux brun/jaune + cailloux et blocs de quartz	Limon argileux brun clair peu hétérogène, meuble + cailloux de schiste	Fossé
TR 10	F 0245	-	0,5		2,98			Limon argileux brun/jaune + cailloux et blocs de quartz	Limon argileux brun foncé hétérogène, meuble + poches charbonneuses cailloux de schiste et de quartz	Fossé
TR 09	F 0246	-	0,6	0,73	0,6			limon argileux brun/jaune + cailloux et blocs de quartz	Limon argileux brun moyen homogène, meuble + cailloux de schiste	Fosse
TR 09	F 0247	-	0,55	0,87	0,47			limon argileux brun/jaune + cailloux et blocs de quartz	Limon argileux brun moyen peu hétérogène, meuble	Fosse
TR 09	F 0248	-	0,6	1,2	0,65			limon argileux brun/jaune + cailloux et blocs de quartz + poches de micaschiste	Limon argileux brun moyen homogène, meuble + cailloux de schiste	Fosse
TR 09	F 0249	-	0,5	0,95	0,73			limon argileux brun/jaune + cailloux et blocs de quartz + poches de micaschiste	Limon argileux brun moyen peu hétérogène, meuble + cailloux de schiste	Fosse

Description	Attribution générale	Mobilier	Céramique	TCA	Lithique	Métal	Verre	Autre	Détail mobilier	Coupe	Coupe par	Egal à
	Indéterminé	X	X	-	-	-	-	-				
	Indéterminé	-	-	-	-	-	-	-				
	Période contemporaine, cadastre napoléonien	-	-	-	-	-	-	-				
	Période contemporaine, cadastre napoléonien	X	-	-	-	-	-	X	TC			
	Indéterminé	-	-	-	-	-	-	-				
	Indéterminé	-	-	-	-	-	-	-				
	Indéterminé	-	-	-	-	-	-	-				
	Indéterminé	-	-	-	-	-	-	-				
	Période contemporaine	X	-	-	-	-	X	-	bouteille, verre à pied, faune			
	Période contemporaine	-	-	-	-	-	-	-				
	Période gallo-romaine ?	-	-	-	-	-	-	-				
	Période gallo-romaine ?	-	-	-	-	-	-	-				F1101
	Période gallo-romaine ?	-	-	-	-	-	-	-				F1100
	Période gallo-romaine ?	-	-	-	-	-	-	-				F1103
	Indéterminé	-	-	-	-	-	-	-				
canalisation	Période contemporaine	-	-	-	-	-	-	-				
	Période contemporaine	-	-	-	-	-	-	-				
	Période contemporaine	-	-	-	-	-	-	-				
	Indéterminé	-	-	-	-	-	-	-				
haie	Période contemporaine, cadastre napoléonien	X	-	-	-	-	-	X	TC			
	Indéterminé	-	-	-	-	-	-	-				
	Indéterminé	-	-	-	-	-	-	-				
	Indéterminé	-	-	-	-	-	-	-				
	Indéterminé	-	-	-	-	-	-	-				

Tranchée	Fait	Sondage	Niv. d'app <sup>sup</sup> (en m)	I (en m)	L (en m)	Diamètre (en m)	Profondeur	Encaissant	Remplissage	Interprétation
TR 09	F 0250	-	0,5	1,2	0,95			limon argileux brun/jaune + cailloux et blocs de quartz + poches de micaschiste	Limon argileux brun moyen peu hétérogène, meuble + cailloux de quartz et de schiste	Fosse
TR 09	F 0251	-	0,4		0,66			limon argileux brun/jaune + cailloux et blocs de quartz + poches de micaschiste	Limon argileux brun moyen peu hétérogène, meuble + cailloux de quartz	Fossé
TR 09	F 0252	-	0,4		1,04			limon argileux brun/jaune + cailloux et blocs de quartz + poches de micaschiste	Limon argileux brun moyen homogène, meuble + cailloux de quartz et de schiste	Fossé
TR 09	F 0253	-	0,43			0,52		limon argileux brun/jaune + cailloux et blocs de quartz + poches de micaschiste	Limon argileux brun moyen hétérogène, meuble + blocs de granite	TP
TR 09	F 0254	-	0,45	0,64	0,4			limon argileux brun/jaune + cailloux et blocs de quartz + poches de micaschiste	Limon argileux brun moyen homogène, meuble + cailloux de quartz et de schiste altéré	Fosse
TR 10	F 0255	-	0,6	1,1	0,54			limon argileux brun/jaune + cailloux et blocs de quartz	Limon argilo-sableux brun foncé très hétérogène, meuble + poches de substrat remanié et des nombreux cailloux de micaschiste	Fosse
TR 09	F 0256	X	0,5		0,88	0,6		limon argileux brun/jaune + cailloux et blocs de quartz + poches de micaschiste	Limon argileux brun moyen peu hétérogène, meuble + cailloux de schiste	Fossé
TR 09	F 0257	-	0,65					limon argileux brun/jaune + cailloux et blocs de quartz + poches de micaschiste	Limon argileux brun moyen très hétérogène, meuble + cailloux de granite et de schiste	Fosse
TR 09	F 0258	X	0,55			0,26		limon argileux brun/jaune + cailloux et blocs de quartz + poches de micaschiste	Limon argileux brun moyen peu hétérogène, meuble + cailloux de quartz et de schiste	Fossé
TR 09	F 0259	-								
TR 09	F 0260	X	0,45		2,53	0,35		limon argileux brun/jaune + quartz + poches de micaschiste	Limon argileux brun foncé homogène, meuble + poches charbonneuses et cailloux de schiste et de quartz	Fossé
TR 09	F 0261	-	0,35	1,07	2,6			limon argileux brun/jaune + cailloux et blocs de quartz + poches de micaschiste	Limon argileux brun foncé homogène, meuble + cailloux de quartz	Fosse
TR 09	F 0262	X	0,5		1,74	0,33		limon argileux brun/jaune + quartz + poches de micaschiste	Limon argileux brun foncé homogène, compact + cailloux de micaschiste, schiste et quartz	Fossé
TR 10	F 0263	X	0,45		1,3	0,28		limon argileux brun/jaune + arène granitique	Limon argilo-sableux brun moyen hétérogène, meuble + très compacte dans la partie nord sous le remblais, cailloux de quartz et granite	Fossé
TR 10	F 0264	-	0,3			0,85		limon argileux brun/jaune + arène granitique	Limon argileux brun foncé homogène, meuble	Impact d'obus
TR 10	F 0265	-	0,45			0,45		limon argileux brun/jaune + arène granitique	Limon argilo-sableux brun moyen peu hétérogène, compact	TP
TR 09	F 0266	-	0,4	1,9	0,95			limon argileux brun/jaune + cailloux et blocs de quartz	Limon sableux grisverdâtre moyen homogène, meuble + très nombreux cailloux de micaschiste	Fosse
TR 11	F 0267	-	0,6	0,96	0,5			limon argileux brun/jaune + cailloux et blocs de quartz	Limon argileux brun moyen homogène, peu compact + cailloux de quartz de schiste et de micaschiste	Fosse
TR 11	F 0268	X	0,45			0,37		limon argileux brun/jaune + cailloux et blocs de quartz	limon argileux brun moyen + cailloux de micaschiste	Autre
TR 11	F 0269	-	0,46			0,6		limon argileux brun/jaune + cailloux et blocs de quartz	limon argileux brun moyen très hétérogène, très compact	Fosse
TR 09	F 0270	X	0,6			0,26	0,2	limon argileux brun/jaune + quartz + poches de micaschiste	limon argileux brun moyen homogène, très meuble	TP



Description	Attribution générale	Mobilier	Céramique	TCA	Lithique	Métal	Verre	Autre	Détail mobilier	Coupe	Coupe par	Egal à
	Indéterminé	-	-	-	-	-	-	-		F0251		
	Indéterminé	-	-	-	-	-	-	-			F0250, F0252	
	Indéterminé	X	-	-	X	-	-	-	fragment de silex	F0251		
	Indéterminé	-	-	-	-	-	-	-				
	Indéterminé	-	-	-	-	-	-	-				
	Période contemporaine	-	-	-	-	-	-	-				
	Indéterminé	-	-	-	-	-	-	-				
forme très irrégulière	Deuxième âge du Fer (La Tène)	X	-	-	-	-	-	-	?			
	Indéterminé	-	-	-	-	-	-	-				
annulé	Indéterminé	-	-	-	-	-	-	-				
	Période contemporaine, cadastre napoléonien	X	-	-	-	-	-	X	TC		F0261	
	Période contemporaine	X	-	-	-	-	-	X			F0260	
	Période contemporaine, cadastre napoléonien	X	-	-	-	-	-	X	TC			
tracé irrégulier, sous le remblais recent	Indéterminé	-	-	-	-	-	-	-				
	Période contemporaine, Ile Guerre Mondiale	X	-	-	-	X	-	-	Fragment d'obus			
	Indéterminé	-	-	-	-	-	-	-				
	Période contemporaine	-	-	-	-	-	-	-				
	Indéterminé	-	-	-	-	-	-	-				
rejet de céramiques sans creusement	haut Moyen Age	X	X	-	-	-	X	-	verre moderne			
	Indéterminé	-	-	-	-	-	-	-				
	Indéterminé	-	-	-	-	-	-	-				

Tranchée	Fait	Sondage	Niv. d'app <sup>m</sup> (en m)	I (en m)	L (en m)	Diamètre (en m)	Profondeur	Encaissant	Remplissage	Interprétation
TR 11	F 0271	-	0,45			1,2		Limon argileux brun/jaune + arène granitique	Limon argileux brun moyen très hétérogène, meuble + poches charbonneuses, nombreux cailloux de quartz	Fosse
TR 11	F 0272	-	0,5	2,4	0,7			Limon argileux brun/jaune + cailloux et blocs de schiste et de quartz	Limon argilo-sableux brun foncé peu hétérogène, meuble + galets de quartz	Fosse
TR 09	F 0273	-	0,35		0,85			Limon argileux brun/jaune + cailloux de quartz + poches d'arène granitique	Limon argileux brun foncé hétérogène, meuble + poches charbonneuse, cailloux de schiste et de quartz	Fossé
TR 09	F 0274	-	0,45			0,4		Limon argileux brun/jaune + cailloux de quartz + poches d'arène granitique	Limon argilo-sableux brun moyen très hétérogène, meuble + nombreuses poches de substrat remanié et cailloux de schiste	TP
TR 09	F 0275	-	0,4			0,52		Limon argileux brun/jaune + cailloux de quartz + poches d'arène granitique	Limon argilo-sableux brun moyen homogène, meuble + blocs de granite	TP
TR 09	F 0276	-	0,5		0,64			Limon argileux brun/jaune + cailloux de quartz + poches d'arène granitique	Limon argilo-sableux brun clair à foncé très hétérogène, meuble	Fossé
TR 09	F 0277	-	0,5	1,15	0,75			Limon argileux brun/jaune + cailloux de quartz + poches d'arène granitique	Limon sableux grisjaune moyen homogène, meuble + cailloux de schiste et de quartz	Fosse
TR 09	F 0278	-	0,45	0,34	0,67			Limon argileux brun/jaune + cailloux de quartz + poches d'arène granitique	Limon sablo-argileux brun moyen homogène, meuble + cailloux de quartz	Fosse
TR 09	F 0279	-	0,55	0,58	0,96			Limon argileux brun/jaune + cailloux de quartz + poches d'arène granitique	Limon sablo-argileux grisjaune moyen hétérogène, meuble + cailloux de schiste et de quartz	Fosse
TR 09	F 0280	-	0,64			0,34		Limon argileux brun/jaune + arène granitique + cailloux de granite	Limon argilo-sableux brun foncé homogène, meuble	TP
TR 09	F 0281	-	0,6		1,3			Limon argileux brun/jaune + cailloux de quartz + poches d'arène granitique	Limon sablo-argileux grisjaune moyen très hétérogène, peu compact + cailloux de quartz	Fossé
TR 04	F 0282	X	0,5			0,35	0,17	Limon argileux brun/jaune	Limon argileux brun moyen peu hétérogène, meuble + poches jaunes de substrat remanié	TP
TR 04	F 0283	-	0,5			0,4		Limon argileux brun/jaune	Limon argileux brun moyen peu hétérogène, meuble + poches jaunes de substrat remanié, petits cailloux de schiste	TP
TR 04	F 0284	-	0,5			0,4		limon argileux brun/jaune	Limon argileux brun moyen homogène, meuble + cailloux de schiste	TP
TR 04	F 0285	-	0,42					limon argileux brun/jaune + poches de l'arène granitique, cailloux de quartz et de granite	Limon argileux brun foncé peu hétérogène, meuble + arène granitique remanié, cailloux de schiste et de quartz + cailloux et blocs de granit	Fossé
TR 04	F 0286	-	0,5					limon argileux brun/jaune + poches de l'arène granitique, cailloux de quartz et de granite	Limon argileux brun moyen homogène, meuble	Fossé
TR 04	F 0287	-	0,5		0,9			limon argileux brun/jaune + poches de l'arène granitique, cailloux de quartz et de granite	Limon argileux brun moyen hétérogène, meuble + poches charbonneuses, poches jaunes de substrat remanié, cailloux de schiste et de granite	Fossé
TR 04	F 0288	-	0,5			0,3		limon argileux brun/jaune + poches de l'arène granitique, cailloux de quartz et de granite	Limon argileux brun moyen homogène, meuble	TP
TR 04	F 0289	-	0,5	2,6	1,1			limon argileux brun/jaune + poches de l'arène granitique, cailloux de quartz et de granite	Limon argileux brun foncé hétérogène, peu compact + blocs de granite	Fosse

Description	Attribution générale	Mobilier	Céramique	TCA	Lithique	Métal	Verre	Autre	Détail mobilier	Coupe	Coupe par	Egal à
	Indéterminé	X	-	-	-	-	-	X	TC			
	Période contemporaine	X	-	-	-	-	-	-	Ardoise, charbons de bois			
	Période moderne ?	X	X	-	-	-	-	X	TC	<b>F0274,</b> <b>F1097</b>		
	Indéterminé	-	-	-	-	-	-	-		F0273		
	Indéterminé	-	-	-	-	-	-	-				
	Période contemporaine, cadastre napoléonien	X	X	-	-	X	-	-	céramique récente, clous, fragment d'outil agricole			F1122
peut-être un affleurement de micaschiste altéré	Indéterminé	-	-	-	-	-	-	-				
	Indéterminé	X	-	-	-	-	-	X	TC			
	Indéterminé	-	-	-	-	-	-	-				
	Indéterminé	-	-	-	-	-	-	-				
sous un niveau de remblais moderne	Indéterminé	-	-	-	-	-	-	-				
	Moyen Age ?	-	-	-	-	-	-	-				
	Moyen Age ?	-	-	-	-	-	-	-				
	Moyen Age ?	-	-	-	-	-	-	-				
	Période contemporaine, cadastre napoléonien	-	-	-	-	-	-	-		<b>F0286,</b> <b>F0287</b>		
	Indéterminé	-	-	-	-	-	-	-		F0285	F0287	
	Période contemporaine, cadastre napoléonien	X	-	-	-	-	-	X	TC brûlée	<b>F0291,</b> <b>F0292</b>	F0285, F0290	F0286, F1107
	Moyen Age ?	-	-	-	-	-	-	-				
Excoissance de F290 ?	Premier âge du Fer	X	-	-	-	-	-	X	TC brûlée, plastique	<b>F0412,</b> <b>F0421,</b> <b>F0424</b>		

Tranchée	Fait	Sondage	Niv. d'app <sup>en</sup> (en m)	I (en m)	L (en m)	Diamètre (en m)	Profondeur	Encaissant	Remplissage	Interprétation
TR 04	F 0290	-	0,5	8	4			limon argileux brun/jaune + poches de l'arène granitique, cailloux de quartz et de granite	Limon argileux brun/noire foncé homogène, meuble + blocs de granite et de quartz	Fosse
TR 04	F 0291	-	0,45		1			limon argileux brun/jaune + poches de l'arène granitique, cailloux de quartz et de granite	Limon argilo-sableux brun clair hétérogène, meuble + cailloux de granite	Extrémité de fosse
TR 04	F 0292	-	0,5		1			limon argileux brun/jaune + poches de l'arène granitique, cailloux de quartz et de granite	Limon argilo-sableux brun clair hétérogène, meuble + cailloux de granite	Fossé
TR 09	F 0293	-	0,45	0,7	0,5			Limon argileux brun/jaune + cailloux de quartz + poches de micaschiste	Limon argileux brun moyen homogène, meuble + cailloux de schiste et de quartz	Fosse
TR 09	F 0294	-	0,6	1,38	1,3			Limon argileux brun/jaune + cailloux de quartz + poches d'arène granitique	Limon argileux brun clair très hétérogène, meuble + cailloux de schiste et de quartz	Fosse
TR 09	F 0295	-	0,6	1	0,94			Limon argileux brun/jaune + cailloux de quartz + poches d'arène granitique	Limon argileux brun moyen homogène, meuble + cailloux de quartz	Fosse
TR 04	F 0296	X	0,5			0,45	0,12	Limon argileux brun/jaune	Limon argileux brun moyen peu hétérogène, meuble + poches jaunes de substrat remanié	TP
TR 02	F 0297	-	0,55			0,95		Limon argileux brun/jaune	Limon argileux brun clair à foncé hétérogène, meuble + poches jaunes de substrat remanié et cailloux de granite	Fosse
TR 02	F 0298	-	0,5			1		Limon argileux brun/jaune	Limon argileux brun clair à foncé hétérogène, meuble + poches jaune de substrat remanié, cailloux et nombreux blocs de granite	Fosse
TR 02	F 0299	-	0,5			0,8		Limon argileux brun/jaune	Limon argileux brun clair à foncé hétérogène, meuble + poches jaunes de substrat remanié et cailloux de granite	Fosse
TR 02	F 0300	-	0,4	0,4	0,2			Limon argileux brun/jaune	Limon argileux brun clair à foncé hétérogène, meuble + poches jaunes de substrat remanié et cailloux de granite	Fosse
TR 12	F 0301	-	0,4		0,4			limon argileux brun/jaune + cailloux et blocs de quartz	Limon argileux brun moyen hétérogène, meuble + poches jaunes de substrat remanié, blocs et cailloux de quartz et cailloux de schiste	Fossé
TR 12	F 0302	-	0,48	0,95	0,22			limon argileux brun/jaune + cailloux et blocs de quartz + les poches de micaschiste altéré	Limon argilo-sableux brun moyen peu hétérogène, meuble + mélangé à du substrat remanié (micaschiste altéré)	Fosse
TR 12	F 0303	-	0,4	2,75	0,5			limon argileux brun/jaune + cailloux et blocs de quartz + les poches de micaschiste altéré	Limon argilo-sableux brun moyen hétérogène, meuble + nombreuses inclusion de substrat remanié (micaschiste altéré)	Fosse
TR 12	F 0304	-	0,4		1,04			limon argileux brun/jaune + cailloux et blocs de quartz + les poches de micaschiste altéré	Limon argilo-sableux brun moyen homogène, meuble + cailloux de micaschiste et blocs de quartz	Fossé
TR 12	F 0305	-	0,4	1,5	1,12			limon argileux brun/jaune + cailloux et blocs de quartz	Limon argileux brun moyen homogène, meuble + cailloux de quartz et petits cailloux de micaschiste	Fosse
TR 12	F 0306	-	0,43		0,57			limon argileux brun/jaune + cailloux et blocs de quartz	Limon argileux brun foncé peu hétérogène, meuble + petits cailloux de micaschiste et cailloux et blocs de quartz	Fossé
TR 12	F 0307	-	0,45	1,83	0,5			limon argileux brun/jaune + cailloux et blocs de quartz	Limon argileux brun clair peu hétérogène, meuble + petits cailloux de micaschiste	Extrémité de fosse
TR 12	F 0308	-	0,38	1,75	0,5			limon argileux brun/jaune + cailloux et blocs de quartz	Limon argileux brun clair très hétérogène, meuble + petits cailloux de micaschiste et cailloux de quartz	Fosse
TR 12	F 0309	-	0,34	0,8	0,52			limon argileux brun/jaune + cailloux et blocs de quartz	Limon argileux brun foncé hétérogène, meuble et blocs de quartz	Impact d'obus



Description	Attribution générale	Mobilier	Céramique	TCA	Lithique	Métal	Verre	Autre	Détail mobilier	Coupe	Couplé par	Egal à
remblais contemporain ou gros fossé	Période contemporaine, cadastre napoléonien	X	X	-	-	-	-	-	céramique Période Contemporaine, faïence	<b>F0287</b>		
	Indéterminé	-	-	-	-	-	-	-		F0287	F0292	
	Indéterminé	-	-	-	-	-	-	-		F0287	F0291	
	Indéterminé	-	-	-	-	-	-	-				
	Indéterminé	-	-	-	-	-	-	-				
	Indéterminé	-	-	-	-	-	-	-				
	Moyen Age ?	-	-	-	-	-	-	-				
	Indéterminé	-	-	-	-	-	-	-				
	Indéterminé	-	-	-	-	-	-	-				
	Indéterminé	-	-	-	-	-	-	-				
	Indéterminé	-	-	-	-	-	-	-				
	Indéterminé	-	-	-	-	-	-	-				
	Indéterminé	-	-	-	-	-	-	-				
	Indéterminé	-	-	-	-	-	-	-				
	Indéterminé	-	-	-	-	-	-	-				
	Indéterminé	-	-	-	-	-	-	-				
	Indéterminé	-	-	-	-	-	-	-				
	Période contemporaine, cadastre napoléonien	-	-	-	-	-	-	-				
	Période contemporaine, cadastre napoléonien	-	-	-	-	-	-	-				
	Période contemporaine	-	-	-	-	-	-	-				
	Période contemporaine, Ile Guerre Mondiale	X	-	-	-	X	-	-	Fragment d'obus, cerclage			

Tranchée	Fait	Sondage	Niv. d'app <sup>sm</sup> (en m)	I (en m)	L (en m)	Diamètre (en m)	Profondeur	Encaissant	Remplissage	Interprétation
TR 12	F 0310	-	0,35		0,43			limon argileux brun/jaune + cailloux et blocs de quartz	Limon argileux brun clair homogène, meuble + cailloux et blocs de quartz et cailloux de micaschiste	Fossé
TR 04	F 0311	-	0,5			0,3		Limon argileux brun/jaune	Limon argileux brun moyen peu hétérogène, meuble + poches jaunes de substrat remanié, petits cailloux de quartz	TP
TR 04	F 0312	X	0,5			0,4	0,11	Limon argileux brun/jaune	Limon argileux brun moyen peu hétérogène, meuble + poches jaunes de substrat remanié	TP
TR 04	F 0313	-	0,5			0,35		Limon argileux brun/jaune	Limon argileux brun moyen peu hétérogène, meuble + poches jaunes de substrat remanié, petits cailloux de schiste	TP
TR 04	F 0314	-	0,5			0,45		Limon argileux brun/jaune	Limon argileux brun moyen peu hétérogène, meuble + poches jaunes de substrat remanié, petits cailloux de schiste	
TR 04	F 0315	X	0,5			0,43	0,19	Limon argileux brun/jaune	Limon argileux brun moyen peu hétérogène, meuble + poches jaunes de substrat remanié, petits cailloux de schiste	TP
TR 04	F 0316	X	0,4	1,4	1,2		0,18	Limon argileux brun/jaune	Limon argileux brun moyen peu hétérogène, meuble + poches de substrat remanié, petits cailloux de quartz	Fosse
TR 04	F 0317	X	0,5			0,43	0,29	Limon argileux brun/jaune	Limon argileux brun moyen hétérogène, meuble + poches jaunes de substrat remanié, nombreux blocs de granite	Fosse
TR 04	F 0318	-	0,55	2,45	1,5		0,29	limon argileux brun/jaune + poches de l'arène granitique, cailloux de quartz et de granite	Limon argileux brun moyen peu hétérogène, meuble + blocs et cailloux de granite	Fosse
TR 05	F 0319	-	0,35	0,9	0,8			arène granitique + granite altéré	Limon sablo-argileux brun moyen très hétérogène, meuble + blocs de granite	Fosse
TR 05	F 0320	-	0,35			0,46		arène granitique + granite altéré	Limon argilo-sableux brun moyen très hétérogène, meuble	TP
TR 13	F 0321	-	0,4	1,4	0,4			limon argileux brun/jaune + cailloux et blocs de quartz	Limon argileux brun foncé peu hétérogène, peu compact + poches charbonneuses, traces de rubefaction	Fosse
TR 13	F 0322	-	0,43	2,23	0,2			limon argileux brun/jaune + cailloux et blocs de quartz	Limon argileux brun foncé hétérogène, très meuble	Fosse
TR 13	F 0323	-	0,48	1,26	0,64			limon argileux brun/jaune + cailloux et blocs de quartz + poches de micaschiste altéré	Limon brun foncé très hétérogène, très meuble + nombreuses inclusion de substrat remanié (cailloux de micaschiste altéré)	Fosse
TR 13	F 0324	-	0,34	8,2	1,03			limon argileux brun/jaune + cailloux et blocs de quartz + poches de micaschiste altéré	Limon brun foncé homogène, meuble + cailloux de quartz et de micaschiste	Fosse
TR 13	F 0325	-	0,33	3,2	1,66			limon argileux brun/jaune + cailloux et blocs de quartz	Limon argileux brun foncé peu hétérogène, meuble + cailloux et blocs de quartz et cailloux de micaschiste	Fosse
TR 13	F 0326	-	0,5	2,2	0,7			limon argileux brun/jaune + cailloux et blocs de quartz	Limon argileux brun foncé hétérogène, meuble + inclusion d'oxidation et cailloux de micaschiste	Fosse
TR 05	F 0327	-	0,5	0,73	0,46			Limon argileux brun/jaune + cailloux de quartz + poches d'arène granitique	Limon argileux brun moyen homogène, meuble + blocs de granite	Fosse
TR 05	F 0328	-	0,35	0,54	0,33			arène granitique + granite altéré	Limon sablo-argileux brun moyen hétérogène, meuble + cailloux de granite	Fosse
TR 05	F 0329	X	0,35		0,58		0,17	arène granitique + granite altéré	Limon argilo-sableux brun moyen peu hétérogène, meuble + cailloux de granite	Fossé

Description	Attribution générale	Mobilier	Céramique	TCA	Lithique	Métal	Verre	Autre	Détail mobilier	Coupe	Couplé par	Egal à
	Indéterminé	-	-	-	-	-	-	-				
annulé	Indéterminé	-	-	-	-	-	-	-				
	Indéterminé	-	-	-	-	-	-	-				
annulé	Indéterminé	-	-	-	-	-	-	-				
annulé	Indéterminé	-	-	-	-	-	-	-				
	Moyen Age ?	-	-	-	-	-	-	-				
	Moyen Age ?	X	X	-	-	-	-	-				
	Moyen Age ?	X	-	-	X	-	-	-				
	Moyen Age ?	X	X	-	-	-	-	-				
	Période gallo-romaine ?	-	-	-	-	-	-	-				
	Période gallo-romaine ?	-	-	-	-	-	-	-				
	Indéterminé	-	-	-	-	-	-	-				
sous la berme	Période contemporaine	-	-	-	-	-	-	-				
	Période contemporaine	X	-	-	-	X	-	-	rétroviseur de voiture, Fragment d'obus			
	Période contemporaine, cadastre napoléonien	-	-	-	-	-	-	-				
	Période contemporaine	-	X	-	-	-	-	-				
	Indéterminé	-	-	-	-	-	-	-				
	Indéterminé	-	-	-	-	-	-	-				
	Période gallo-romaine ?	X	-	-	-	-	-	X	TC			
	Période gallo-romaine ?	-	-	-	-	-	-	-				F0333

Tranchée	Fait	Sondage	Niv. d'app <sup>en</sup> (en m)	I (en m)	L (en m)	Diamètre (en m)	Profondeur	Encaissant	Remplissage	Interprétation
TR 05	F 0330	X	0,35			0,57	0,14	arène granitique + granite altéré	Limon argileux brun moyen peu hétérogène, meuble + cailloux de granite	TP
TR 05	F 0331	X	0,35			0,3	0,14	arène granitique + granite altéré	Limon argilo-sableux brun moyen peu hétérogène, meuble	TP
TR 05	F 0332	-	0,35			0,43		arène granitique + granite altéré	Limon sablo-argileux brun moyen peu hétérogène, meuble + cailloux de granite	TP
TR 05	F 0333	-	0,35	1,75	0,5			arène granitique + granite altéré	Limon argileux brun foncé homogène, meuble	Extrémité de fosse
TR 05	F 0334	-	0,45		1			Limon argileux brun/jaune + rares blocs de quartz	Limon argileux brun moyen homogène, meuble + cailloux de quartz et de granite	Fossé
TR 05	F 0335	-	0,37			0,8		Limon argileux brun/jaune + rares blocs de quartz	Limon argileux brun foncé peu hétérogène, meuble	Impact d'obus
TR 05	F 0336	X	0,9				0,66	granite (roche)	Limon argileux brun/noire moyenfoncé homogène, meuble + petits graviers racines, nombreux cailloux et petits blocs de granite, quartz et schiste	Fosse
TR 14	F 0337	-	0,4		0,6			limon argileux brun/jaune + cailloux et blocs de quartz	Limon argileux brun foncé peu hétérogène, meuble + poches jaunes de substrat remanié, cailloux de micaschiste de granite et de quartz	Fossé
TR 14	F 0338	-	0,3		1,7			limon argileux brun/jaune + cailloux et blocs de quartz	Limon argileux brun moyenfoncé hétérogène, meuble + poches jaunes de substrat remanié, cailloux de quartz et de micaschiste altéré	Fossé
TR 14	F 0339	-	0,4	1,15	0,6			limon argileux brun/jaune + cailloux et blocs de quartz	Limon argileux brun moyenfoncé très hétérogène, meuble + cailloux de micaschiste et de quartz	Fosse
TR 14	F 0340	-	0,5	2,16	1,1			limon argileux brun/jaune + cailloux et blocs de quartz	Limon argileux brun moyen peu hétérogène, meuble + cailloux et blocs de quartz	Fosse
TR 04	F 0341	-	0,5	1	0,75			limon argileux brun/jaune + poches de l'arène granitique, cailloux de quartz et de granite	Limon argileux brun moyen homogène, meuble + arène granitique remanié, cailloux de schiste	Fosse
TR 16	F 0342	-	0,6		0,8			limon argileux brun/orangé + cailloux et blocs de quartz et de schiste + poches de micaschiste altéré	Limon argileux brun clair homogène, meuble + cailloux et blocs de quartz	Fossé
TR 16	F 0343	-	0,45		0,47			limon argileux brun/orangé + cailloux et blocs de quartz et de schiste + poches de micaschiste altéré	Limon argileux brun moyen homogène, meuble + cailloux de quartz et de micaschiste	Fossé
TR 16	F 0344	X	0,3		0,67		0,22	micaschiste altéré	Limon brun foncé peu hétérogène, meuble + nombreux cailloux et plaquettes de micaschiste altéré	Fossé
TR 16	F 0345	-	0,3		0,57			micaschiste altéré	Limon argileux brun foncé peu hétérogène, meuble + nombreux cailloux et plaquettes de micaschiste altéré	Fossé
TR 16	F 0346	X	0,4	1,8	0,74		0,22	micaschiste altéré	Limon argileux brun moyen peu hétérogène, meuble + cailloux de micaschiste	Sépulture
TR 16	F 0347	-	0,4	1,67	0,63			micaschiste altéré	Limon argileux brun moyen peu hétérogène, meuble + cailloux de micaschiste	Sépulture
TR 16	F 0348	X	0,4			0,36	0,11	micaschiste altéré	Limon argileux brun moyen peu hétérogène, meuble + cailloux de micaschiste	TP
TR 16	F 0349	-	0,4	1,2	0,45			micaschiste altéré	Limon argileux brun moyen peu hétérogène, meuble + cailloux de micaschiste	Sépulture
TR 16	F 0350	-	0,4	2,9	0,8			micaschiste altéré	Limon argileux brun moyen peu hétérogène, meuble + cailloux de micaschiste	Sépulture



Description	Attribution générale	Mobilier	Céramique	TCA	Lithique	Métal	Verre	Autre	Détail mobilier	Coupe	Coupe par	Egal à
excroissance de F329	Période gallo-romaine ?	-	-	-	-	-	-	-				
	Période gallo-romaine ?	-	X	-	-	-	-	-				
	Période gallo-romaine ?	-	-	-	-	-	-	-				
	Période gallo-romaine ?	-	-	-	-	-	-	-				F0329, F0411
	Indéterminé	-	-	-	-	-	-	-				
	Période contemporaine, Ile Guerre Mondiale	X	-	-	-	X	-	-	Fragment d'obus, nombreux fragment à proximité			
	Période contemporaine	X	-	-	-	-	-	X	textile			
	Période contemporaine, cadastre napoléonien	-	-	-	-	-	-	-				
	Période contemporaine, cadastre napoléonien	-	-	-	-	-	-	-				
	Indéterminé	-	-	-	-	-	-	-				
	Indéterminé	-	-	-	-	-	-	-				
	Moyen Age ?	-	-	-	-	-	-	-				
	Indéterminé	-	-	-	-	-	-	-				
	Période Contemporaine	X	X	-	-	-	-	-	céramique recente, faïence			
	Période contemporaine ?	-	-	-	-	-	-	-				
	Période contemporaine	X	-	-	-	-	X	-	verre moderne			
	haut Moyen Age	X	X	-	-	-	-	-				
	haut Moyen Age	-	-	-	-	-	-	-				
	haut Moyen Age ?	-	-	-	-	-	-	-				
piégeage?	haut Moyen Age	-	-	-	-	-	-	-				
	haut Moyen Age	X	X	-	-	-	-	-				

Tranchée	Fait	Sondage	Niv. d'app <sup>ent</sup> (en m)	I (en m)	L (en m)	Diamètre (en m)	Profondeur	Encaissant	Remplissage	Interprétation
TR 16	F 0351	-	0,4	1,7	0,5			micaschiste altéré	Limon argileux brun moyen peu hétérogène, meuble + cailloux de micaschiste	Sépulture
TR 16	F 0352	-	0,4	2,3	0,6			micaschiste altéré	Limon argileux brun foncé peu hétérogène, meuble + cailloux de micaschiste	Sépulture
TR 16	F 0353	-	0,4	1,86	0,6			micaschiste altéré	Limon argileux brun moyen peu hétérogène, meuble + cailloux de micaschiste	Sépulture
TR 16	F 0354	-	0,4	1,67	0,5			micaschiste altéré	Limon argileux brun moyen peu hétérogène, meuble + cailloux de micaschiste	Sépulture
TR 16	F 0355	-	0,4	1,85	0,8			micaschiste altéré	Limon argileux brun moyen peu hétérogène, meuble + cailloux de micaschiste	Sépulture
TR 16	F 0356	X	0,4	2,2	0,8		0,26	micaschiste altéré	Limon argileux brun moyen peu hétérogène, meuble + cailloux de micaschiste	Sépulture
TR 16	F 0357	-	0,5	0,77	0,76			micaschiste altéré	Limon argileux brun moyen homogène, meuble + cailloux de micaschiste	Sépulture
TR 16	F 0358	-	0,5	0,96	0,66			limon argileux brun/jaune + cailloux et blocs de quartz	Limon argileux brun moyen très hétérogène, meuble + poches charbonneuses	Fosse
TR 17	F 0359	X	0,3		1		0,42	micaschiste altéré	Limon brun foncé homogène, meuble + racines, nombreux cailloux et blocs de micaschiste	Fossé
TR 17	F 0360	X	0,24		0,5		0,28	micaschiste altéré	Limon brun foncé homogène, meuble + nombreux cailloux et blocs de micaschiste	Fossé
TR 17	F 0361	X	0,35		0,5		0,25	micaschiste altéré	Limon argileux brun moyen peu hétérogène, meuble + nombreux cailloux de micaschiste	Fossé
TR 17	F 0362	-	0,4	2,1	0,67			micaschiste altéré	Limon argileux brun moyen peu hétérogène, meuble + cailloux de micaschiste	Sépulture
TR 17	F 0363	-	0,5	2,24	0,63			micaschiste altéré	Limon argileux brun moyen homogène, meuble + cailloux de micaschiste	Sépulture
TR 17	F 0364	-	0,4	2,05	0,46			micaschiste altéré	Limon argileux brun moyen peu hétérogène, meuble + cailloux de micaschiste	Sépulture
TR 17	F 0365	-	0,4	0,9	0,7			micaschiste altéré	Limon argileux brun moyen homogène, meuble + cailloux de micaschiste	Sépulture
TR 17	F 0366	-								
TR 17	F 0367	X	0,4	1,1	0,54		0,2	micaschiste altéré	Limon argileux brun moyen homogène, meuble + cailloux de micaschiste	Sépulture
TR 17	F 0368	-								
TR 17	F 0369	-	0,4	0,9	0,44			micaschiste altéré	Limon argileux brun moyen homogène, meuble + cailloux de micaschiste	Sépulture
TR 17	F 0370	-	0,4	0,9	0,56			micaschiste altéré	Limon argileux brun moyen homogène, meuble + cailloux de micaschiste	Sépulture
TR 17	F 0371	-	0,4	2,25	1,55			micaschiste altéré	Limon argileux brun moyen peu hétérogène, meuble + cailloux de micaschiste	Fosse
TR 17	F 0372	-								
TR 17	F 0373	X	0,4	0,95	0,62		0,14	micaschiste altéré	Limon argileux brun moyen homogène, meuble + cailloux de micaschiste	Sépulture
TR 15	F 0375	X	0,4			0,3	0,1	limon argileux brun/orangé + cailloux et blocs de quartz et de schiste + poches de micaschiste altéré	Limon argileux brun moyen homogène, meuble + cailloux de micaschiste altéré	TP
TR 15	F 0376	-	0,4		0,59			limon argileux brun/orangé + cailloux et blocs de quartz et de schiste + poches de micaschiste altéré	Limon argileux brun moyen homogène, meuble + cailloux de micaschiste	Fossé
TR 15	F 0377	-	0,35	0,94	0,7			limon argileux brun/orangé + cailloux et blocs de quartz et de schiste + poches de micaschiste altéré	Limon argilo-sableux brun foncé homogène, meuble + nombreux cailloux de micaschiste et cailloux de quartz	Fosse
TR 15	F 0378	-	0,35		0,7			limon argileux brun/orangé + cailloux et blocs de quartz et de schiste + poches de micaschiste altéré	Limon argileux brun moyen peu hétérogène, peu compact + cailloux de micaschiste et de quartz	Fossé

Description	Attribution générale	Mobilier	Céramique	TCA	Lithique	Métal	Verre	Autre	Détail mobilier	Coupe	Coupe par	Egal à
	haut Moyen Age	-	-	-	-	-	-	-				
	haut Moyen Age	-	-	-	-	-	-	-				
	haut Moyen Age	-	-	-	-	-	-	-				
	haut Moyen Age	-	-	-	-	-	-	-				
	haut Moyen Age	-	-	-	-	-	-	-				
	haut Moyen Age	X	X	-	-	-	-	-				
	haut Moyen Age	-	-	-	-	-	-	-				
fosse charbonneuse	Indéterminé	-	-	-	-	-	-	-				
	Indéterminé	-	-	-	-	-	-	-				F1126
	Indéterminé	-	-	-	-	-	-	-				
	Indéterminé	-	-	-	-	-	-	-				
	haut Moyen Age	-	-	-	-	-	-	-				
	haut Moyen Age	-	-	-	-	-	-	-				
	haut Moyen Age	-	-	-	-	-	-	-				
	haut Moyen Age	-	-	-	-	-	-	-				
annulée	Indéterminé	-	-	-	-	-	-	-				
	haut Moyen Age	X	X	-	-	-	-	-				
annulée	Indéterminé	-	-	-	-	-	-	-				
	haut Moyen Age	-	-	-	-	-	-	-				
	haut Moyen Age	-	-	-	-	-	-	-				
	Moyen Age ?	-	-	-	-	-	-	-				
annulée	Indéterminé	-	-	-	-	-	-	-				
	haut Moyen Age	-	-	-	-	-	-	-				
	Indéterminé	-	-	-	-	-	-	-				
	Indéterminé	-	-	-	-	-	-	-				
	Indéterminé	X	-	-	-	X	-	-	clous			
	Indéterminé	-	-	-	-	-	-	-				

Tranchée	Fait	Sondage	Niv. d'app <sup>on</sup> (en m)	I (en m)	L (en m)	Diamètre (en m)	Profondeur	Encaissant	Remplissage	Interprétation
TR 15	F 0379	-	0,45	0,85	0,55			limon argileux brun/orangé + cailloux et blocs de quartz et de schiste	Limon argilo-sableux brun foncé très hétérogène, meuble + poches charbonneuses, poches de substrat remanié, cailloux de quartz et petits cailloux de micaschiste	Fosse
TR 15	F 0380	-	0,24		0,7			limon argileux brun/orangé + cailloux et blocs de quartz et de schiste	Limon argileux brun foncé hétérogène, meuble + cailloux de micaschiste	Fossé
TR 15	F 0381	X	0,2		2,9		0,26	limon argileux brun/orangé + cailloux et blocs de quartz et de schiste	Limon argileux brun clair à foncé hétérogène, meuble + cailloux de micaschiste de quartz et de gneiss altéré	Fossé
TR 15	F 0382	X	0,35	0,72	0,45		0,3	limon argileux brun/jaune + cailloux et blocs de quartz et de schiste + poches de micaschiste altéré	Limon argileux brun foncé hétérogène, meuble + traces d'oxydation, nombreuses inclusion de substrat remanié, micaschiste	Fosse
TR 17	F 0383	-	0,5	2,1	0,56			micaschiste altéré	Limon argileux brun moyen peu hétérogène, meuble + cailloux de micaschiste	Sépulture
TR 17	F 0384	X	0,5	2,3	0,72		0,22	micaschiste altéré	Limon argileux brun moyen peu hétérogène, meuble + cailloux de micaschiste	Sépulture
TR 17	F 0385	X	0,5	1,7	0,68		0,24	micaschiste altéré	Limon argileux brun moyen homogène, meuble + cailloux de micaschiste	Sépulture
TR 17	F 0386	-	0,5	2,1	0,58			micaschiste altéré	Limon argileux brun moyen homogène, meuble + cailloux de micaschiste	Sépulture
TR 17	F 0387	-	0,5	1,7	0,55			micaschiste altéré	Limon argileux brun moyen homogène, meuble + cailloux de micaschiste	Sépulture
TR 17	F 0388	-	0,5	0,6	0,5			micaschiste altéré	Limon argileux brun moyen homogène, meuble + cailloux de micaschiste	Sépulture
TR 17	F 0389	-	0,5	2,3	0,8			micaschiste altéré	Limon argileux brun moyen peu hétérogène, meuble + cailloux de micaschiste	Sépulture
TR 17	F 0390	X	0,4	2,1	0,6		0,12	micaschiste altéré	Limon argileux brun moyen homogène, meuble + cailloux de micaschiste	Sépulture
TR 17	F 0391	-	0,4	1,82	0,55			micaschiste altéré	Limon argileux brun moyen peu hétérogène, meuble + cailloux de micaschiste	Sépulture
TR 17	F 0392	X	0,4	2,27	0,76			micaschiste altéré	Limon argileux brun moyen peu hétérogène, meuble + cailloux de micaschiste	Sépulture
TR 17	F 0393	-	0,4	1,7	0,56			micaschiste altéré	Limon argileux brun moyen peu hétérogène, meuble + cailloux de micaschiste	Sépulture
TR 16	F 0394	-	0,4	1,7	0,53			micaschiste altéré	Limon argileux brun moyen peu hétérogène, meuble + cailloux de micaschiste	Sépulture
TR 16	F 0395	-	0,4	2	0,87			micaschiste altéré	Limon argileux brun moyen peu hétérogène, meuble + cailloux de micaschiste	Sépulture
TR 16	F 0396	-	0,4	2,8	0,6			micaschiste altéré	Limon argileux brun moyen peu hétérogène, meuble + cailloux de micaschiste	Sépulture
TR 16	F 0397	-								
TR 16	F 0398	X	0,4	1,95	0,6		0,2	micaschiste altéré	Limon argileux brun moyen peu hétérogène, meuble + cailloux de micaschiste	Sépulture
TR 16	F 0399	-	0,4	0,97	0,62			micaschiste altéré	Limon argileux brun moyen peu hétérogène, meuble + cailloux de micaschiste	Sépulture
TR 16	F 0400	X	0,4	1,76	0,5		0,16	micaschiste altéré	Limon argileux brun moyen peu hétérogène, meuble + cailloux de micaschiste	Sépulture
TR 16	F 0401	-	0,4	1,2	0,46			micaschiste atéré	Limon argileux brun moyen peu hétérogène, meuble + cailloux de micaschiste	Sépulture
TR 16	F 0402	-	0,4	1,2	0,54			micaschiste altéré	Limon argileux brun moyen peu hétérogène, meuble + cailloux de micaschiste	Sépulture
TR 16	F 0403	-	0,4	1,7	0,8			micaschiste altéré	Limon argileux brun moyen peu hétérogène, meuble + cailloux de micaschiste	Sépulture





Tranchée	Fait	Sondage	Niv. d'app <sup>m</sup> (en m)	l (en m)	L (en m)	Diamètre (en m)	Profondeur	Encaissant	Remplissage	Interprétation
TR 16	F 0404	-	0,4		0,86			micaschiste altéré	Limon brun foncé homogène, meuble + cailloux de micaschiste et de quartz	Fossé
TR 16	F 0405	-	0,4	2,25	0,65			micaschiste altéré	Limon argileux brun moyen peu hétérogène, meuble + cailloux de micaschiste	Sépulture
TR 16	F 0406	-	0,4		0,9			micaschiste altéré	Limon argileux brun foncé homogène, meuble + racines, cailloux de schiste et de quartz	Fossé
TR 02	F 0407	X	0,92			0,3	0,17	arène granitique	Limon sablo-argileux brun moyen homogène, meuble	TP
TR 04	F 0408	X	0,54			0,5	0,32	limon argileux brun/jaune + poches de l'arène granitique, cailloux de quartz et de granite	Limon argileux brun moyen peu hétérogène, meuble	TP
TR 04	F 0409	-	0,45		1,05			Limon argileux brun/jaune + poches d'arène granitique + cailloux de quartz et de granite	Limon argileux brun foncé homogène, meuble + cailloux de quartz	Fossé
TR 04	F 0410	-	0,55	0,85	0,37			Limon argileux brun/jaune + rares blocs de quartz	Limon brun foncé très hétérogène, meuble + poches charbonneuses et cailloux de quartz	Extrémité de fosse
TR 04	F 0411	-	0,6		1,7			Limon argileux brun/jaune + rares blocs de quartz	Limon argileux brun moyen homogène, meuble + cailloux de quartz	Fossé
TR 04	F 0412	X	0,65			0,3	0,05	arène granitique	Limon argileux brun moyen homogène, meuble	TP
TR 04	F 0413	-	0,62	0,7	0,62			Limon argileux brun/jaune + cailloux de quartz + cailloux de granite + poches d'arène granitique	Limon argileux brun foncé peu hétérogène, meuble	Fosse
TR 04	F 0414	-	0,45	2,4	0,32			limon argileux brun/jaune	Limon argileux brun moyen homogène, meuble	Fosse
TR 04	F 0415	X	0,45			0,38	0,11	Limon argileux brun/jaune	Limon argileux brun moyen peu hétérogène, meuble	TP
TR 04	F 0416	-	0,5			0,43		limon argileux brun/jaune + poches de l'arène granitique, cailloux de quartz et de granite	Limon argileux brun foncé homogène, meuble	TP
TR 04	F 0417	X	0,45			0,57	0,15	Limon argileux brun/jaune	Limon argileux brun moyen hétérogène, meuble	Fosse
TR 04	F 0418	X	0,45			0,76	0,17	Limon argileux brun/jaune	Limon argileux brun moyen homogène, meuble	Fosse
TR 04	F 0419	-	0,6		0,5			limon argileux brun/jaune + rares blocs de quartz	Limon argileux brun moyen homogène, meuble + cailloux de schiste	Fossé
TR 04	F 0420	-	0,6		2,15			Limon argileux brun/jaune + rares blocs de quartz	Limon argileux brun moyen homogène, meuble	Fossé
TR 04	F 0421	X	0,65			0,4	0,13	arène granitique	Limon argileux brun moyen homogène, meuble	TP
TR 04	F 0422	-	0,55		0,42			Limon argileux brun/jaune + rares blocs de quartz	Limon argileux brun moyen peu hétérogène, meuble	Fossé
TR 04	F 0423	-	0,6		0,37			Limon argileux brun/jaune + rares blocs de quartz	Limon argileux brun moyen peu hétérogène, meuble	Fossé
TR 04	F 0424	-	0,65			0,38		arène granitique	Limon brun foncé homogène, meuble + blocs de granite	TP
TR 04	F 0425	-	0,55					Limon argileux brun/jaune + rares blocs de quartz	Limon argileux brun moyen peu hétérogène, meuble	Fossé
TR 04	F 0426	-	0,55		0,68			Limon argileux brun/jaune + rares blocs de quartz	Limon argileux brun moyen homogène, meuble	Fossé
TR 04	F 0427	-	0,6		1,18			Limon argileux brun/jaune + rares blocs de quartz	Limon argileux brun moyen homogène, meuble	Fossé
TR 04	F 0428	-	0,6		0,37			Limon argileux brun/jaune + rares blocs de quartz	Limon argileux brun moyen homogène, meuble + petits cailloux de schiste	Fossé
TR 16	F 0429	-	0,35		0,5			micaschiste altéré	Limon brun foncé peu hétérogène, meuble + nombreux cailloux et plaquettes de micaschiste altéré	Fossé

Description	Attribution générale	Mobilier	Céramique	TCA	Lithique	Métal	Verre	Autre	Détail mobilier	Coupe	Coupe par	Egal à
	Période contemporaine, cadastre napoléonien	-	-	-	-	-	-	-		<b>F0394,</b> <b>F0399,</b> <b>F0402</b>		
	haut Moyen Age	-	-	-	-	-	-	-				
	Période contemporaine, cadastre napoléonien	-	-	-	-	-	-	-				
sous le fossé F15	Indéterminé	-	-	-	-	-	-	-				
	Moyen Age ?	-	-	-	-	-	-	-				
	Période contemporaine, cadastre napoléonien	-	-	-	-	-	-	-				F0086
	Indéterminé	-	-	-	-	-	-	-				
	Indéterminé	-	-	-	-	-	-	-				F0433
	Moyen Age ?	-	-	-	-	-	-	-			F0290	
	Indéterminé	-	-	-	-	-	-	-				
	Indéterminé	-	-	-	-	-	-	-				
	Moyen Age ?	-	-	-	-	-	-	-				
	Moyen Age ?	-	-	-	-	-	-	-				
	Moyen Age ?	-	-	-	-	-	-	-				
	Indéterminé	-	-	-	-	-	-	-		<b>F0432</b>		F0428
	Indéterminé	-	-	-	-	-	-	-				
	Moyen Age ?	-	-	-	-	-	-	-			F0290	
	Période contemporaine, cadastre napoléonien	-	-	-	-	-	-	-			F0096	F0425
	Indéterminé	-	-	-	-	-	-	-		<b>F0432</b>		
	Moyen Age ?	-	-	-	-	-	-	-			F0290	
	Indéterminé	-	-	-	-	-	-	-			F0086	F0422
	Indéterminé	-	-	-	-	-	-	-			F0086	F0088
	Indéterminé	-	-	-	-	-	-	-				
	Indéterminé	-	-	-	-	-	-	-		<b>F0432,</b> <b>F0433</b>		F0419
	Période contemporaine, cadastre napoléonien	-	-	-	-	-	-	-				

Tranchée	Fait	Sondage	Niv. d'app <sup>en</sup> (en m)	I (en m)	L (en m)	Diamètre (en m)	Profondeur	Encaissant	Remplissage	Interprétation
TR 16	F 0430	X	0,3	1,4		0,26		limon argileux brun/jaune + micaschiste altéré	Limon argileux brun foncé homogène, meuble + cailloux de micaschiste	Fossé
TR 16	F 0431	-	0,5	1,37	0,55			micaschiste altéré	Limon argileux brun/jaune clair homogène, meuble + cailloux de schiste et micaschiste	Sépulture
TR 04	F 0432	-	0,6		0,82			Limon argileux brun/jaune + rares blocs de quartz	Limon argilo-sableux brun moyen peu hétérogène, meuble	Fossé
TR 04	F 0433	-	0,6		1,75			Limon argileux brun/jaune + rares blocs de quartz	Limon argilo-sableux brun moyen peu hétérogène, meuble + cailloux de quartz	Fossé
TR 15	F 0434	-	0,42			0,4		limon argileux brun/orangé + cailloux et blocs de quartz et de schiste	Limon argileux brun foncé peu hétérogène, meuble	TP
TR 19	F 0435	-				1				Fosse
TR 19	F 0436	-			0,74					Fossé
TR 19	F 0437	-			0,74					Fossé
TR 19	F 0438	-				0,82				Impact d'obus
TR 18	F 0439	-		0,72	0,54					Impact d'obus
TR 18	F 0440	-				0,87				Impact d'obus
TR 18	F 0441	-			0,74					Fossé
TR 18	F 0442	-				0,65				Impact d'obus
TR 18	F 0444	-			0,75					Fossé
TR 18	F 0445	-		0,78	0,52					Extrémité de fosse
TR 21	F 0446	-	0,47	3,6	1,3			limon sablo-argileux gris orangé, décomposition de micaschiste, cailloux et blocs de quartz	Limon sablo-argileux brun/gris foncé peu hétérogène, meuble + gros charbons, inclusion d'oxydation	Fosse
TR 21	F 0447	X	0,45			1,34	0,28	limon argilo-sableux brun/jaune + cailloux et blocs de quartz	Limon argilo-sableux brun foncé homogène, meuble + cailloux de quartz, zones de rubefaction dans le de la fosse	Foyer/four
TR 21	F 0448	X	0,5	0,6	0,4		0,18	limon argileux brun/jaune + cailloux et blocs de quartz	Limon argilo-sableux brun/gris clair homogène, meuble	TP
TR 21	F 0449	X	0,5			0,9	0,28	limon argileux brun/jaune + cailloux et blocs de quartz	Limon argilo-sableux brun moyen homogène, meuble + nombreux blocs de granite brûlé et de quartz éclaté	Foyer/four
TR 21	F 0450	X	0,5			0,9	0,16	limon argileux brun/jaune + cailloux et blocs de quartz	Limon argilo-sableux brun moyen homogène, meuble + graviers, blocs de granite brûlé, et quartz éclaté	Foyer/four
TR 22	F 0451	-	0,4		0,7			limon argilo-sableux brun gris + cailloux et blocs de quartz + poches de micaschiste	Limon brun foncé homogène, meuble + cailloux de micaschiste et de quartz	Fossé
TR 22	F 0452	-	0,3	1,32	0,62			limon argilo-sableux brun gris + cailloux et blocs de quartz + poches de micaschiste	Limon brun foncé peu hétérogène, meuble + cailloux de micaschiste, traces d'oxydation	Fosse
TR 22	F 0453	-	0,3		0,5			limon argilo-sableux gris rose + cailloux et blocs de quartz	Limon brun foncé peu hétérogène, meuble	Fossé
TR 24	F 0454	-	0,5	1,97	0,76			limon argileux brun/jaune + cailloux et blocs de quartz	Limon argileux brun clair hétérogène, meuble	Extrémité de fosse
TR 24	F 0455	-	0,57			0,4		limon argileux brun/jaune + cailloux et blocs de quartz	Limon argilo-sableux brun/jaune clair peu hétérogène, meuble	TP
TR 24	F 0456	-	0,55	1,9	0,6			limon argileux brun/jaune + cailloux et blocs de quartz	Limon argileux brun clair homogène, meuble + racines et cailloux de quartz	Fosse



Description	Attribution générale	Mobilier	Céramique	TCA	Lithique	Métal	Verre	Autre	Détail mobilier	Coupe	Coupe par	Egal à
	Période contemporaine, cadastre napoléonien	-	-	-	-	-	-	-		F0431		
relation avec F 0430 est visible en plan mais pas en coupe	haut Moyen Age ?	-	-	-	-	-	-	-			F0430	
	Indéterminé	-	-	-	-	-	-	-			F0419, F0423, F0428	
	Indéterminé	-	-	-	-	-	-	-			F0428	
	Indéterminé	-	-	-	-	-	-	-				
rebouchée	Indéterminé	-	-	-	-	-	-	-				
rebouché	Période contemporaine	-	-	-	-	-	-	-				
rebouché	Période contemporaine	-	-	-	-	-	-	-				
rebouchée	Période contemporaine, Ile Guerre Mondiale	-	-	-	-	-	-	-				
rebouché	Période contemporaine, Ile Guerre Mondiale	-	-	-	-	-	-	-				
rebouchée	Période contemporaine, Ile Guerre Mondiale	-	-	-	-	-	-	-				
rebouché	Période contemporaine	-	-	-	-	-	-	-				
rebouché	Période contemporaine, Ile Guerre Mondiale	-	-	-	-	-	-	-				
rebouché	Indéterminé	-	-	-	-	-	-	-				
rebouchée	Indéterminé	-	-	-	-	-	-	-				
mare	Période contemporaine	X	-	-	-	X	-	-	element metalique indeterminé			
	Néolithique ancien ?	-	-	-	-	-	-	-				
	Néolithique ancien ?	-	-	-	-	-	-	-				
	Néolithique ancien ?	-	-	-	-	-	-	-				
	Néolithique ancien	-	-	-	-	-	-	-				
	Période moderne	X	X	-	-	-	-	-				
	Période contemporaine	X	X	-	-	-	-	-	céramique recente			
	Indéterminé	-	-	-	-	-	-	-				
	Indéterminé	-	-	-	-	-	-	-				
	Indéterminé	-	-	-	-	-	-	-				
	Indéterminé	-	-	-	-	-	-	-				

Tranchée	Fait	Sondage	Niv. d'appui <sup>m</sup> (en m)	I (en m)	L (en m)	Diamètre (en m)	Profondeur	Encaissant	Remplissage	Interprétation
TR 24	F 0457	-	0,55			0,38		limon argileux brun/jaune + cailloux et blocs de quartz	Limon argileux brun clair homogène, meuble	TP
TR 23	F 0458	-	0,45	2,22	1,3			limon argileux brun/jaune + cailloux et blocs de quartz	Limon brun foncé très hétérogène, meuble + nombreuses racines, cailloux de quartz	Fosse
TR 23	F 0459	-	0,6	0,9	0,65			limon argileux brun/jaune + cailloux et blocs de quartz	Limon argileux brun clair homogène, meuble + cailloux de quartz	Fosse
TR 25	F 0460	-	0,35	0,52	0,63			imon argilo-sableux brun/jaune + cailloux de quartz	Limon brun/noire moyen hétérogène, meuble + cailloux de quartz	Fosse
TR 25	F 0461	-	0,35	1,15	0,7			imon argilo-sableux brun/jaune + cailloux de quartz	Limon brun/noire moyen peu hétérogène, meuble + cailloux de quartz	Fosse
TR 25	F 0462	-	0,3	2	0,19			limon argilo-sableux brun/jaune + cailloux de quartz	Limon brun/noire moyen hétérogène, meuble + cailloux de granite	Fosse
TR 26	F 0463	-	0,4			0,4		limon argileux brun/jaune + poches de l'arène granitique	Limon argileux brun moyen	Impact d'obus
TR 25	F 0464	-	0,55			0,65		limon argileux brun/jaune orangé	aluminium décomposée	Impact d'obus
TR 25	F 0465	-						limon argileux brun/jaune orangé	Limon argileux brun moyen hétérogène, meuble	Impact d'obus
TR 26	F 0466	-	0,5			1		limon argileux brun/jaune + poches de l'arène granitique	Limon argileux brun/noire foncé hétérogène, très meuble + poches charbonneuses, blocs de granite brûlé	Foyer/four
TR 26	F 0467	-	0,5	1,38	0,5			limon argileux brun/jaune + poches de l'arène granitique	Limon argileux brun clair à foncé très hétérogène, meuble + poches de substrat remanié	Fosse
TR 26	F 0468	-	0,35		0,6			limon argileux brun/jaune + poches de l'arène granitique	Limon brun foncé homogène, meuble + cailloux de granite	Fossé
TR 25	F 0469	-	0,4		0,7			arène granitique + cailloux et blocs de granite	Limon brun/noire moyen homogène, meuble + cailloux et blocs de granite	Fossé
TR 25	F 0470	-	0,47	1,2	0,97			arène granitique + limon argileux brun/orangé	Limon argilo-sableux brun moyen hétérogène, meuble + poches jaunes de l'arène granitique et cailloux de granite	Fosse
TR 25	F 0471	-	0,45		0,7			arène granitique	Limon argilo-sableux brun clair homogène, meuble + racines et cailloux de granite	Fosse
TR 25	F 0472	-	0,35		2,1			arène granitique	Limon brun/noire moyen hétérogène, meuble + poches charbonneuses et poches jaunes de substrat remanié (arène granitique)	Fossé
TR 25	F 0473	-	0,33		1,05			arène granitique	Limon argilo-sableux brun moyen peu hétérogène, meuble + racines et cailloux de granite	Fossé
TR 26	F 0474	-	0,5		1,5			limon argileux brun/jaune + poches de l'arène granitique	Limon argileux brun moyen homogène, meuble + rares cailloux de granite	Fossé
TR 26	F 0475	-	0,45		1,25			limon argileux brun/jaune + poches de l'arène granitique	Limon argileux brun moyen homogène, meuble + rares cailloux de granite	Fossé
TR 26	F 0476	-	0,35	1,63	1,34			Limon argileux brun/jaune	Limon argileux brun moyen peu hétérogène, meuble + poches charbonneuses, blocs de granite disposés de champs chauffées sur le pourtour de la structure	Foyer/four
TR 26	F 0477	X	0,4	2,07	1,63	0,14		Limon argileux brun/jaune	Limon argileux brun moyen peu hétérogène, meuble + cailloux de granite	Fosse
TR 26	F 0478	-	0,4	1,75	0,83			Limon argileux brun/jaune + arène granitique	Limon argileux brun moyen peu hétérogène, meuble + cailloux de granite	Fosse
TR 26	F 0479	-	0,4		0,46			Limon argileux brun/jaune + arène granitique	Limon brun/noire foncé hétérogène, meuble + poches charbonneuses et cailloux de granite	Fossé

Description	Attribution générale	Mobilier	Céramique	TCA	Lithique	Métal	Verre	Autre	Détail mobilier	Coupe	Coups par	Egal à
	Indéterminé	-	-	-	-	-	-	-				
	Période contemporaine	-	-	-	-	-	-	-				
	Période contemporaine	-	-	-	-	-	-	-				
	Période contemporaine	X	-	-	-	-	X	X	verre recent, ardoise			
	Période contemporaine	X	X	-	-	-	X	X	recents, ardoise			
	Période contemporaine	X	-	-	-	-	X	X	verre moderne, ardoise			
	Période contemporaine, Ile Guerre Mondiale	X	-	-	-	X	-	-	Fragment d'obus, aluminium décomposé			
fragment d'explosif	Période contemporaine, Ile Guerre Mondiale	-	-	-	-	-	-	-				
	Période contemporaine, Ile Guerre Mondiale	X	-	-	-	X	-	-	Fragment d'obus, aluminium décomposée			
	Indéterminé	-	-	-	-	-	-	-				
	Période contemporaine	X	-	-	-	-	X	-				
	Indéterminé	X	X	-	-	-	-	-				
	Période contemporaine, parcellaire des années 1950	X	X	-	-	-	-	X	pipe en terre, ardoise, TC			
	Indéterminé	-	-	-	-	-	-	-				
	Période contemporaine	-	-	-	-	-	-	-				
	Indéterminé	-	-	-	-	-	-	-				
	Indéterminé	-	-	-	-	-	-	-				
excroissance à l'est	Indéterminé	-	-	-	-	-	-	-				
	Indéterminé	-	-	-	-	-	-	-				
	Campaniforme ?	-	-	-	-	-	-	-				
	Campaniforme/Age du Bronze ancien	X	X	-	-	-	-	-	silex taillé			
	Campaniforme	X	-	-	X	-	-	-	silex taillé		F0479	
	Indéterminé	X	-	-	-	-	-	X	TC	F0478		F0522

Tranchée	Fait	Sondage	Niv. d'app <sup>int</sup> (en m)	I (en m)	L (en m)	Diamètre (en m)	Profondeur	Encaissant	Remplissage	Interprétation
TR 26	F 0480	-	0,35		0,58			Limon argileux brun/jaune + arène granitique	Limon argilo-sableux brun/noire foncé peu hétérogène, meuble + nombreux cailloux de granite et plaquettes de schiste	Fossé
TR 26	F 0481	-	0,45		2,26			Limon argileux brun/jaune + arène granitique	Limon argilo-sableux brun/noire moyen peu hétérogène, peu compact + poches charbonneuses et cailloux de granite	Fossé
TR 26	F 0482	-	0,58		0,47			Limon argileux brun/jaune + arène granitique	Limon brun foncé peu hétérogène, compact	Fossé
TR 26	F 0483	-	0,6		0,63			Limon argileux brun/jaune + arène granitique	Limon argileux brun foncé hétérogène, meuble + poches de substrat remanié, racines et cailloux de granite	Fossé
TR 25	F 0484	-	0,4	1,4	0,5			arène granitique + limon argileux brun/orangé	Limon sablo-argileux brun clair à foncé très hétérogène, peu compact	Fosse
TR 25	F 0485	-	0,45		0,54			limon argilo-sableux brun/jaune	Limon brun/noire moyenfoncé peu hétérogène, peu compact + cailloux de granite	Fossé
TR 25	F 0486	-	0,55		1,58			Limon argileux brun/jaune + arène granitique	Limon argileux brun moyen hétérogène, meuble + nombreux petits cailloux de granite	Fossé
TR 25	F 0487	-	0,55			0,5		Limon argileux brun/jaune + arène granitique	Limon argileux brun moyen hétérogène, peu compact + petits cailloux de granite	Fosse
TR 25	F 0488	-	0,55		0,6			Limon argileux brun/jaune + arène granitique	Limon brun/noire moyen peu hétérogène, meuble + racines	Fossé
TR 25	F 0489	-	0,6		0,7			Limon argileux brun/jaune + arène granitique	Limon brun/noire foncé peu hétérogène, meuble + racines et cailloux de granite	Fossé
TR 25	F 0490	-	0,6	1,05	0,6			Limon argileux brun/jaune + arène granitique	Limon argileux brun moyen peu hétérogène, meuble + racines et petits cailloux de granite	Fosse
TR 25	F 0491	-	0,54	5,46	2,4			Limon argileux brun/jaune	Limon argileux brun moyen homogène, meuble + blocs de granite (disposés de champs) chauffées	Foyer/four
TR 25	F 0492	-	0,5	1,3	1,6			Limon argileux brun/jaune	Limon argileux brun moyen hétérogène, meuble + poches charbonneuses et blocs de granite chauffée	Foyer/four
TR 25	F 0493	X	0,6		1,6	0,72		Limon argileux brun/jaune	Limon argileux brun/noire foncé peu hétérogène, meuble + blocs de granite	Fossé
TR 26	F 0494	-	0,4	0,84	1,16			Limon argileux brun/jaune + arène granitique	Limon sablo-argileux brun clair à foncé très hétérogène, peu compact + poches d'arène remanié, poches charbonneuses + petits cailloux de granite	Fosse
TR 26	F 0495	-	0,4	1,45	0,8			Limon argileux brun/jaune	Limon argileux brun moyen peu hétérogène, peu compact	Fosse
TR 26	F 0496	X	0,6	2,6	0,96	0,13		Limon argileux brun/jaune	Limon brun moyen homogène, meuble + blocs et cailloux de granite chauffées	Fosse
TR 26	F 0497	-	0,6		1			Limon argileux brun/jaune	Limon argileux brun moyen homogène, meuble + cailloux de quartz	Fossé
TR 26	F 0498	-	0,55		1,6			Limon argileux brun/jaune	Limon argileux brun moyen peu hétérogène, meuble + cailloux de quartz	Fossé
TR 22	F 0499	-	0,6		0,5			limon argileux brun/jaune + cailloux et blocs de quartz	Limon argileux brun moyen homogène, meuble + cailloux de quartz	Fossé
TR 22	F 0500	-	0,6		0,4			Limon argileux brun/jaune + cailloux et blocs de quartz	Limon argileux brun moyen homogène, meuble + cailloux de quartz	Fossé
TR 25	F 0501	-	0,45			1,2		Limon argileux brun/jaune	Limon brun; noirenoire foncé homogène, meuble	Impact d'obus
TR 26	F 0502	-	0,4					Limon argileux brun/jaune		Impact d'obus



Description	Attribution générale	Mobilier	Céramique	TCA	Lithique	Métal	Verre	Autre	Détail mobilier	Coupe	Coupe par	Egal à
	Indéterminé	-	-	-	-	-	-	-				
	Moyen Age ?	-	-	-	-	-	-	-				
	Période contemporaine, cadastre napoléonien	X	X	-	-	-	-	X	bouchon de bouteille en porcelaine, ardoise			
	Période contemporaine, cadastre napoléonien	-	-	-	-	-	-	-				
	Période contemporaine	X	-	-	-	-	-	X	Ardoise			
	Indéterminé	-	-	-	-	-	-	-				
	bas Moyen Age	X	X	-	-	-	-	X	TC?			
	Indéterminé	-	-	-	-	-	-	-				
	Période contemporaine, cadastre napoléonien	-	-	-	-	-	-	-				
	Période contemporaine, cadastre napoléonien	-	-	-	-	-	-	-		<b>F0491</b>		
	Indéterminé	-	-	-	-	-	-	-				
	bas Moyen Age	-	X	-	-	-	-	-		<b>F0506</b>	F0499	
four	Indéterminé	-	-	-	-	-	-	-				
	bas Moyen Age	X	X	-	-	-	-	-				F0498
	Indéterminé	-	-	-	-	-	-	-				
	Campaniforme ?	-	-	-	-	-	-	-				
	Campaniforme ?	X	X	-	X	-	-	-				
	Moyen Age ?	-	-	-	-	-	-	-				F0506
	Moyen Age ?	-	-	-	-	-	-	-				F0493
	Indéterminé	-	-	-	-	-	-	-				
	Indéterminé	-	-	-	-	-	-	-				
	Période contemporaine, Ile Guerre Mondiale	X	-	-	-	X	X	-	verre moderne + Fragment d'obus, cerclage			
aluminium décomposée	Période contemporaine, Ile Guerre Mondiale	X	-	-	-	X	-	X	Fragment d'obus			

Tranchée	Fait	Sondage	Niv. d'app <sup>m</sup> (en m)	I (en m)	L (en m)	Diamètre (en m)	Profondeur	Encaissant	Remplissage	Interprétation
TR 25	F 0503	-	0,6	1,1	0,75			Limon argileux brun/jaune	Limon brun/noire foncé homogène, meuble	Impact d'obus
TR 25	F 0504	-	0,6					Limon argileux brun/jaune	Limon argileux brun/noire foncé hétérogène, compact	Autre
TR 26	F 0505	-	1,05		1,12			Limon argileux brun/gris	Limon argileux brun/noire moyen hétérogène, meuble	Fossé
TR 25	F 0506	X	0,55		0,97		0,46	Limon argileux brun/jaune	Limon argileux brun moyen peu hétérogène, peu compact + petits cailloux de quartz et de granite	Fossé
TR 27	F 0507	-	0,5		0,8			Limon argileux brun/jaune	Limon argileux brun foncé peu hétérogène, meuble + cailloux de granite	Fossé
TR 27	F 0508	-	0,55		1,4			Limon argileux brun/jaune	Limon argileux brun moyen peu hétérogène, meuble + traces d'oxydation, poches charbonneuses + rares cailloux de granite	Fossé
TR 27	F 0509	-	0,4			1		arène granitique + limon argileux brun/jaune	Limon brun foncé hétérogène, meuble + cailloux de granite	Fosse
TR 27	F 0510	-	0,5		0,9			arène granitique + limon argileux brun/jaune + poches de granite altéré	Limon brun/noire foncé peu hétérogène, meuble + graviers et cailloux de granite	Fossé
TR 27	F 0511	-	0,45		1,3			arène granitique + limon argileux brun/jaune + poches de granite altéré	Limon brun foncé homogène, meuble + très organique, graviers, cailloux de granite, racines	Fossé
TR 27	F 0512	-	0,5		0,93			arène granitique + limon argileux brun/jaune + poches de granite altéré	Limon brun foncé hétérogène, meuble + graviers et cailloux de granite	Fossé
TR 27	F 0513	-	0,5		1,17			arène granitique + limon argileux brun/jaune + poches de granite altéré	Limon brun/noire foncé peu hétérogène, meuble + graviers, cailloux de granite	Fossé
TR 27	F 0514	-	0,55		0,87			arène granitique + limon argileux brun/jaune	Limon brun/noire foncé peu hétérogène, meuble + graviers, cailloux et blocs de granite + beaucoup de racines	Fossé
TR 27	F 0515	-	0,5		0,94			arène granitique + limon argileux brun/jaune	Limon brun/noire foncé peu hétérogène, compact + graviers, cailloux de granite, poches charbonneuses et rubefiée	Fossé
TR 27	F 0516	-	0,5		0,73			arène granitique + limon argileux brun/jaune	Limon brun/noire foncé peu hétérogène, compact + graviers poches charbonneuses et rubefié et cailloux de granite	Fossé
TR 27	F 0517	-	0,5		0,56			limon argileux brun/jaune + poches de l'arène granitique	Limon brun foncé homogène, peu compact + graviers et cailloux de granite	Fossé
TR 27	F 0518	-	0,5			0,43		arène granitique + limon argileux brun/jaune	Limon brun/noire foncé hétérogène, meuble + poches charbonneuses et cailloux de granite	TP
TR 27	F 0519	X	0,4		1,65		0,78	arène granitique	Limon argileux brun foncé hétérogène, meuble + blocs et cailloux de granite, cailloux de quartz	Fossé
TR 27	F 0520	X	0,35		1,64		0,86	limon argileux brun/jaune + poches de granite altéré	Limon sablo-argileux brun moyen hétérogène, meuble + cailloux et blocs de granite	Fossé
TR 26	F 0521	-	0,43	1	0,66			Limon argileux brun/jaune	Limon argileux brun moyen peu hétérogène, meuble	Fosse
TR 26	F 0522	-	0,43		0,48			Limon argileux brun/jaune	Limon brun/noire moyenfoncé hétérogène, meuble + poches charbonneuses et cailloux de granite	Fossé
TR 26	F 0523	-	0,4					Limon argileux brun/jaune		Autre
TR 27	F 0524	-	0,45		1,13			limon argileux brun/jaune + poches de granite altéré	Limon argileux brun moyen homogène, meuble + cailloux de granite	Fossé
TR 27	F 0525	-	0,4		0,85			limon argileux brun/jaune + poches de granite altéré	Limon argileux brun moyen homogène, meuble + blocs et cailloux de granite	Fossé

Description	Attribution générale	Mobilier	Céramique	TCA	Lithique	Métal	Verre	Autre	Détail mobilier	Coupe	Coupe par	Egal à
	Période contemporaine, Ile Guerre Mondiale	X	-	-	-	X	-	-	Fragment d'obus			
remblais Période Contemporaine	Période contemporaine	X	X	-	-	-	X	X	Ardoise; Céramique; Verre années '50			
zone humide	Indéterminé	-	-	-	-	-	-	-				
	bas Moyen Age	-	X	-	-	-	-	-		F0491	F0497	
	Indéterminé	-	-	-	-	-	-	-				
	Moyen Age ?	-	-	-	-	-	-	-				
	Indéterminé	-	-	-	-	-	-	-				
	Indéterminé	-	-	-	-	-	-	-				F0513
	Période contemporaine, cadastre napoléonien	X	-	-	-	-	-	X	Ardoise			F0512
	Période contemporaine, cadastre napoléonien	-	-	-	-	-	-	-				F0511
	Indéterminé	-	-	-	-	-	-	-				F0510
	Période contemporaine, cadastre napoléonien	-	-	-	-	-	-	-		<b>F0515</b>		
	Indéterminé	-	-	-	-	-	-	-		F0514	F0516	
	Indéterminé	-	-	-	-	-	-	-				F0515
	Indéterminé	-	-	-	-	-	-	-				
	Indéterminé	-	-	-	-	-	-	-				
	bas Moyen Age	X	X	-	-	-	-	-				
	bas Moyen Age	X	X	-	-	-	-	-				
	Campaniforme ?	X	X	-	-	-	-	-			F0522	
	Indéterminé	X	-	-	-	-	-	X	TC	<b>F0521</b>		F0479
concentration de céramiques campaniformes	Campaniforme	X	X	-	X	-	-	-	céramique campaniforme, galet polis, pierre taillé (?)			
	Indéterminé	-	-	-	-	-	-	-				F0554
	Indéterminé	-	-	-	-	-	-	-				

Tranchée	Fait	Sondage	Niv. d'app <sup>en</sup> (en m)	I (en m)	L (en m)	Diamètre (en m)	Profondeur	Encaissant	Remplissage	Interprétation
TR 27	F 0526	-	0,48		0,4			limon argileux brun/jaune + poches de granite altéré	Limon argilo-sableux brun moyen hétérogène, meuble + cailloux de granite	Fossé
TR 27	F 0527	-	0,5		0,4			limon argileux brun/jaune + poches de granite altéré	Limon argileux brun moyen peu hétérogène, meuble + cailloux de quartz	Fossé
TR 27	F 0528	-	0,4		0,5			limon argileux brun/jaune + poches de granite altéré	Limon argileux brun moyen homogène, meuble	Fossé
TR 27	F 0529	-	0,5	1,3	0,48			limon argileux brun/jaune + poches de granite altéré	Limon argileux brun clair à foncé très hétérogène, très meuble + poches de substrat remanié	Fosse
TR 27	F 0530	-	0,47			1,7		Limon argileux brun/jaune + poches de granite altéré	Limon argileux brun moyen peu hétérogène, meuble + cailloux et blocs de granite	Fosse
TR 27	F 0531	-	0,4	1,26	0,52			Limon argileux brun/jaune	Limon argileux brun clair à foncé très hétérogène, meuble + poches de substrat remanié	Fosse
TR 26	F 0532	-	0,4	0,85	0,5			Limon argileux brun/jaune	Limon argileux brun moyen peu hétérogène, meuble	Fosse
TR 26	F 0533	-	0,95		1,5			Limon argilo-sableux brun/jaune orangé	Limon brun; grisgris moyen peu hétérogène, meuble + cailloux de granite	Fossé
TR 27	F 0534	-	0,55		2,8			Limon argileux brun/jaune	Limon brun clair peu hétérogène, meuble + traces d'oxydation, cailloux de granite	Fossé
TR 28	F 0535	-	0,4			0,7		limon argileux brun/orangé + cailloux de quartz	Limon brun/noire foncé hétérogène, meuble + traces d'aluminium décomposé à proximité	Impact d'obus
TR 28	F 0536	-	0,5	1,6	1,25			limon argileux brun/orangé + cailloux de quartz	Limon argileux brun moyen hétérogène, meuble + poches charbonneuses, gros blocs de granite chauffée	Foyer/four
TR 29	F 0537	-	0,4			0,67		limon argileux brun/orangé + cailloux de quartz	Limon argileux brun/noire moyenfoncé hétérogène, meuble	Impact d'obus
TR 29	F 0538	-	0,45			0,74		limon argileux brun/orangé + cailloux de quartz	Limon brun/noire moyenfoncé hétérogène, meuble	Impact d'obus
TR 31	F 0539	-	0,35			0,5		arène granitique + granite altéré	Limon sableux brun/noire foncé homogène, meuble + cailloux et blocs de granite	TP
TR 31	F 0540	-	0,35	1,14	0,68			arène granitique + granite altéré	Limon sableux brun/noire foncé hétérogène, meuble + poches de substrat remanié, cailloux et blocs de granite	Fosse
TR 31	F 0541	-	0,3			0,35		arène granitique + granite altéré	Limon brun/noire moyenfoncé hétérogène, meuble + très organique, cailloux de granite	TP
TR 31	F 0542	-	0,34	1,3	0,5			arène granitique + granite altéré	Limon brun/noire foncé peu hétérogène, meuble + nombreux graviers, cailloux et blocs de granite	Fosse
TR 31	F 0543	-	0,35			0,28		arène granitique + granite altéré	Limon argileux brun moyen homogène, meuble + graviers	TP
TR 31	F 0544	-	0,35			0,77		arène granitique + granite altéré	Limon argileux brun moyen peu hétérogène, peu compact + cailloux et blocs de granite	Fossé
TR 31	F 0545	-	0,35	0,85	0,55			granite altéré + limon argileux brun/orangé	Limon argileux brun/noire foncé hétérogène, meuble + poches charbonneuses et zones rubéfié	Foyer/four
TR 31	F 0546	-	0,4		1,02			granite altéré + limon argileux brun/orangé	Limon argileux brun moyen peu hétérogène, meuble + petits cailloux de granite	Fossé
TR 31	F 0547	-	0,4			0,85		granite altéré + limon argileux brun/orangé	Limon argileux brun moyen homogène, meuble + blocs de granite	Fosse
TR 31	F 0548	-	0,4		0,9			granite altéré + limon argileux brun/orangé	Limon argileux brun moyen homogène, meuble + graviers, rares cailloux de granite	Fossé
TR 31	F 0549	-	0,38			0,45		granite altéré + limon argileux brun/orangé	Limon argileux brun moyen homogène, meuble	TP



Description	Attribution générale	Mobilier	Céramique	TCA	Lithique	Métal	Verre	Autre	Détail mobilier	Coupe	Coupe par	Egal à
	Indéterminé	-	-	-	-	-	-	-			F0527	
	Indéterminé	-	-	-	-	-	-	-		<b>F0526</b>		F0553
	bas Moyen Age ?	X	X	-	-	-	-	X	TC		F0529	
	Période Contemporaine	-	-	-	-	-	-	-		<b>F0528</b>		
	Indéterminé	-	-	-	-	-	-	-				
	Période contemporaine	X	-	-	-	-	X	-	Verre	<b>F0552</b>		
	Campaniforme ?	-	-	-	-	-	-	-				
	Moyen Age ?	-	-	-	-	-	-	-				
	Moyen Age ?	-	-	-	-	-	-	-				
	Période contemporaine, Ile Guerre Mondiale	X	-	-	-	X	-	-	Fragment d'obus, cerclage, TC			
	Indéterminé	-	-	-	-	-	-	-				
	Période contemporaine, Ile Guerre Mondiale	-	-	-	-	-	-	-				
	Période contemporaine, Ile Guerre Mondiale	X	-	-	-	X	-	-	Fragment d'obus, cerclage			
	Indéterminé	-	-	-	-	-	-	-				
	Indéterminé	-	-	-	-	-	-	-				
	Indéterminé	-	-	-	-	-	-	-				
	bas Moyen Age	-	X	-	-	-	-	-				
	Indéterminé	-	-	-	-	-	-	-				
	Indéterminé	-	-	-	-	-	-	-				
charbonneuses	Indéterminé	-	-	-	-	-	-	-				
	Indéterminé	-	-	-	-	-	-	-				
	Indéterminé	-	-	-	-	-	-	-				
	Indéterminé	-	-	-	-	-	-	-				
	Indéterminé	-	-	-	-	-	-	-				

Tranchée	Fait	Sondage	Niv. d'app <sup>en</sup> (en m)	I (en m)	L (en m)	Diamètre (en m)	Profondeur	Encaissant	Remplissage	Interprétation
TR 31	F 0550	X	0,48		1,4		0,6	granite altéré + limon argileux brun/orangé	Limon argileux brun moyen homogène, meuble + graviers, cailloux et blocs de granite	Fossé
TR 31	F 0551	X	0,5		2,2		1,28	granite altéré + limon argileux brun/orangé	Limon argileux brun moyen homogène, meuble + graviers, cailloux et blocs de granite	Fossé
TR 27	F 0552	-	0,4			0,96		Limon argileux brun/jaune	Limon argileux brun moyen hétérogène, meuble	Fosse
TR 27	F 0553	-	0,4		0,3			limon argileux brun/jaune + poches de granite altéré	Limon argileux brun moyen peu hétérogène, meuble + cailloux de quartz	Fossé
TR 27	F 0554	-	0,4		1			limon argileux brun/jaune + poches de granite altéré	Limon argileux brun moyen homogène, meuble + cailloux de granite	Fossé
TR 27	F 0555	-	0,5			0,3		limon argileux brun/jaune + poches de granite altéré	Limon argilo-sableux brun moyen hétérogène, meuble + poches d'arène granitique	TP
TR 31	F 0556	-	0,45		0,5			granite altéré + limon argileux brun/orangé	Limon argileux brun moyen peu hétérogène, meuble + cailloux de granite	Fossé
TR 32	F 0557	-	0,4			0,44		Limon argileux brun/orangé + arène granitique + granite altéré	Limon brun foncé peu hétérogène, meuble + cailloux de granite	TP
TR 32	F 0558	-	0,3		0,9			Limon argileux brun/orangé + arène granitique + granite altéré	Limon brun/noire foncé homogène, meuble + graviers, cailloux et blocs de granite	Autre
TR 32	F 0559	-	0,3	1,1	1			Limon argileux brun/orangé + arène granitique + granite altéré	Limon brun foncé homogène, meuble + graviers, cailloux de granite	Fosse
TR 32	F 0560	-	0,3			0,45		Limon argileux brun/orangé + arène granitique + granite altéré	Limon brun foncé peu hétérogène, meuble + petits cailloux de granite	TP
TR 32	F 0561	-	0,3	1,02	0,7			Limon argileux brun/orangé + arène granitique + granite altéré	Limon argileux brun foncé peu hétérogène, meuble + poches charbonneuses, cailloux de granite	Fosse
TR 32	F 0562	-	0,3	1,8	1,8			Limon argileux brun/orangé + arène granitique + granite altéré	Limon brun foncé peu hétérogène, peu compact + cailloux de granite	Fosse
TR 32	F 0563	-	0,3		0,6			Limon argileux brun/orangé + arène granitique + granite altéré	Limon brun foncé homogène, meuble + graviers, cailloux de granite	Fossé
TR 32	F 0564	-	0,4		1,74			Limon argileux brun/orangé + granite altéré	Limon argileux brun moyen homogène, meuble + cailloux de granite	Fossé
TR 33	F 0565	-	0,4	1	0,47			arène granitique	Limon sablo-argileux brun moyen peu hétérogène, meuble + graviers et cailloux de granite	Extrémité de fosse
TR 33	F 0566	-	0,4		0,36			arène granitique	Limon sablo-argileux brun moyen très hétérogène, meuble + graviers	Fossé
TR 33	F 0567	-	0,38		1,08			arène granitique	Limon argilo-sableux brun moyen homogène, meuble + graviers cailloux de granite	Fossé
TR 33	F 0568	-	0,5		0,38			arène granitique	Limon argilo-sableux brun moyen peu hétérogène, meuble + graviers cailloux de granite	Fossé
TR 33	F 0569	-	0,25		0,6			arène granitique + limon argileux brun/jaune	Limon argileux brun/gris moyen foncé homogène, meuble + graviers cailloux de granite	Fossé
TR 33	F 0570	-	0,3		0,44			limon argileux brun/jaune	Limon argileux brun foncé très hétérogène, peu compact + poches jaunes de substrat remanié	Fossé
TR 33	F 0571	X	0,57		1,8		0,82	limon argileux brun/jaune	Limon argileux brun moyen peu hétérogène, meuble + cailloux et blocs de granite	Fossé
TR 34	F 0572	-	0,45	1,05	0,37			Limon argileux brun/orangé	Limon argileux brun foncé hétérogène, meuble	Fosse
TR 34	F 0573	-	0,4		0,75			Limon argileux brun/orangé	Limon argileux brun foncé homogène, meuble + alignement de cailloux de granite	Fossé
TR 34	F 0574	-	0,3		0,6			Limon argileux brun/orangé	Limon brun foncé hétérogène, meuble + racines, rares cailloux de granite	Fossé

Description	Attribution générale	Mobilier	Céramique	TCA	Lithique	Métal	Verre	Autre	Détail mobilier	Coupe	Coupe part	Egal à
	Moyen Age ?	-	-	-	-	-	-	-				
	bas Moyen Age	X	X	-	-	-	-	-				
	Indéterminé	-	-	-	-	-	-	-			F0531	
	Indéterminé	-	-	-	-	-	-	-				F0527
	Indéterminé	-	-	-	-	-	-	-				F0524
excroissance de F 520	Indéterminé	-	-	-	-	-	-	-				
	Moyen Age ?	-	-	-	-	-	-	-				
	Indéterminé	-	-	-	-	-	-	-				
niveau de démolition probable	bas Moyen Age	X	X	-	-	-	-	X	TC			
	Indéterminé	X	X	-	-	-	-	X	TC			
	Moyen Age	X	X	-	-	-	-	-				
	Indéterminé	-	-	-	-	-	-	-				
	bas Moyen Age / Période moderne	X	X	-	-	-	-	-				
	Moyen Age ?	-	-	-	-	-	-	-				F0592
angle N/E de l'enclos médiéval	bas Moyen Age ?	-	X	-	-	-	-	-				
	Indéterminé	-	-	-	-	-	-	-				
drain	Période contemporaine	-	-	-	-	-	-	-				F0586
	Indéterminé	-	-	-	-	-	-	-				F0587
	Indéterminé	-	-	-	-	-	-	-				F0569
	Moyen Age ?	-	-	-	-	-	-	-				<b>F0568</b>
	bas Moyen Age	X	X	-	-	-	-	-				<b>F0585,</b> <b>F0587,</b> F0586 <b>F0590,</b> <b>F0591</b>
	Moyen Age ?	-	-	-	-	-	-	-				
	bas Moyen Age	-	X	-	-	-	-	-				
	Moyen Age	X	X	-	-	-	-	-				
	Période contemporaine ?	-	-	-	-	-	-	-				

Tranchée	Fait	Sondage	Niv. d'app <sup>m</sup> (en m)	I (en m)	L (en m)	Diamètre (en m)	Profondeur	Encaissant	Remplissage	Interprétation
TR 34	F 0575	-	0,35		0,92			Limon argileux brun/orangé	Limon brun moyen peu hétérogène, meuble + racines , rares cailloux de quartz	Fossé
TR 34	F 0576	-	0,3	1,2	1,3			Limon argileux brun/orangé	Limon brun/noire foncé hétérogène, très meuble + nombreuses racines , poches jaunes de substrat remanié	Chablis
TR 34	F 0577	-	0,4	0,6	0,45			Limon argileux brun/orangé + arène granitique	Limon argileux brun moyen homogène, meuble + graviers	TP
TR 34	F 0578	-	0,4	0,9	0,6			Limon argileux brun/orangé + arène granitique + granite altéré	Limon argileux brun moyen homogène, meuble + graviers	Fosse
TR 34	F 0579	-	0,3	0,83	0,4			Limon argileux brun/orangé + arène granitique	Limon brun foncé très hétérogène, meuble	Fosse
TR 35	F 0580	-	0,4		1,45			Limon argileux brun/orangé	Limon argileux brun/gris foncé hétérogène, meuble + rares cailloux de granite	Fossé
TR 35	F 0581	-	0,5		0,24			Limon argileux brun/orangé	Limon argileux brun moyen hétérogène, meuble + poches de substrat remanié	Fossé
TR 35	F 0582	-	0,4		0,3			Limon argileux brun/orangé + granite altéré	Limon argileux brun moyen peu hétérogène, meuble	Fossé
TR 35	F 0583	-	0,4		1,26			Limon argileux brun/orangé	Limon argileux brun/noire foncé homogène, meuble + cailloux de granite	Fossé
TR 35	F 0584	-	0,4			0,4		Limon argileux brun/orangé + granite altéré	Limon argileux brun/noire foncé homogène, peu compact	TP
TR 33	F 0585	-	0,45	3,73	2,25			Limon argileux brun/jaune	Limon argilo-sableux brun moyen hétérogène, peu compact + poches de substrat remanié (aréné), poches charbonneuses, rubefaction sur le pourtour de la structure blocs de granite chauffés	Foyer/four
TR 33	F 0586	-	0,45		0,4			Limon argileux brun/jaune	Limon sablo-argileux brun moyen très hétérogène, meuble + graviers	Fossé
TR 33	F 0587	-	0,45		0,6			Limon argileux brun/jaune	Limon argileux brun moyen peu hétérogène, peu compact + graviers	Fossé
TR 33	F 0588	-	0,36		1,75			limon argileux brun/jaune + aréné granitique	Limon argilo-sableux brun moyen peu hétérogène, meuble + poche d'aréné remanié , petits cailloux de granite	Fossé
TR 33	F 0589	-	0,5		3,1			limon argileux brun/jaune + aréné granitique	Limon argileux brun foncé homogène, peu compact + graviers , cailloux de granite	Fossé
TR 33	F 0590	-	0,4		1,7			limon argileux brun/jaune + aréné granitique	Limon argileux brun foncé homogène, peu compact + graviers , cailloux de granite	Fossé
TR 33	F 0591	-	0,4		2,5			limon argileux brun/jaune + aréné granitique	Limon argileux brun foncé homogène, peu compact + graviers , cailloux de granite	Fossé
TR 32	F 0592	-	0,4		1,5			arène granitique + granite altéré	Limon argileux brun moyen foncé peu hétérogène, meuble + cailloux de granite	Fossé
TR 17	F 0593	-	0,4	2	0,7			micaschiste altéré	Limon argileux brun moyen homogène, meuble + cailloux de micaschiste	Sépulture
TR 17	F 0594	X	0,4			0,2	0,22	micaschiste altéré	Limon argileux brun moyen homogène, meuble + cailloux de micaschiste	TP
TR 17	F 0595	-	0,4	1,4	0,3			micaschiste altéré	Limon argileux brun moyen homogène, meuble + cailloux de micaschiste	Sépulture
TR 36	F 0596	-	0,45		1,85			Limon argileux brun/orangé + arène granitique	Limon argileux brun moyen homogène, meuble + rares cailloux de granite	Fossé
TR 37	F 0597	-	0,35		1,2			Limon argileux brun/orangé	Limon argileux brun moyen homogène, meuble + rares cailloux de granite	Fossé



Description	Attribution générale	Mobilier	Céramique	TCA	Lithique	Métal	Verre	Autre	Détail mobilier	Coupe	Coupe par	Egal à
	Période contemporaine ?	-	-	-	-	-	-	-				
	Période contemporaine	-	-	-	-	-	-	-				
	Indéterminé	-	-	-	-	-	-	-				
	Indéterminé	-	-	-	-	-	-	-				
	Indéterminé	-	-	-	-	-	-	-				
	Indéterminé	-	-	-	-	-	-	-		<b>F0581</b>		
	Indéterminé	-	-	-	-	-	-	-			F0580	
	Indéterminé	-	-	-	-	-	-	-				
	Indéterminé	-	-	-	-	-	-	-				
	Indéterminé	-	-	-	-	-	-	-				
	bas Moyen Age	-	X	-	-	-	-	-			F0570	
										<b>F0570,</b>		
										<b>F0587,</b>		
drain	Période Contemporaine	-	-	-	-	-	-	-		<b>F0588,</b>		F0566
										<b>F0589,</b>		
										<b>F0590</b>		
	Indéterminé	-	-	-	-	-	-	-			F0570,	
											F0586	
	Moyen Age ?	-	-	-	-	-	-	-			F0586	
angle	Moyen Age ?	X	X	-	-	-	-	-			F0586	F0590
	Moyen Age ?	-	-	-	-	-	-	-			F0570,	F0589,
											F0586	F0591
	Moyen Age ?	-	-	-	-	-	-	-			F0570	F0590
	Moyen Age ?	-	-	-	-	-	-	-				F0563
	haut Moyen Age	-	-	-	-	-	-	-				
	Moyen Age ?	-	-	-	-	-	-	-				
	Moyen Age	-	-	-	-	-	-	-				
	Moyen Age ?	-	-	-	-	-	-	-				
	Moyen Age ?	-	-	-	-	-	-	-				

Tranchée	Fait	Sondage	Niv. d'app <sup>sm</sup> (en m)	I (en m)	L (en m)	Diamètre (en m)	Profondeur	Encaissant	Remplissage	Interprétation
TR 37	F 0598	-	0,3		1,1			Limon argileux brun/orangé	Limon argileux brun moyen homogène, meuble + rares cailloux de granite	Fossé
TR 37	F 0599	-	0,35		0,65			Limon argileux brun/orangé	Limon argileux brun moyen homogène, meuble + rares cailloux de granite	Fossé
TR 39	F 0600	-	0,25		0,4			Limon argileux brun/jaune	Limon argileux brun foncé homogène, compact + rares blocs de granite	Fossé
TR 39	F 0601	-	0,4	1,7	0,88			Limon argileux brun/jaune	Limon brun moyen très hétérogène, meuble + melangé avec l'arène granitique	Fosse
TR 39	F 0602	-	0,3		1,3			Limon argileux brun/jaune	Limon brun moyen homogène, meuble	Fossé
TR 39	F 0603	-	0,25		2,3			Limon argileux brun/jaune	Limon brun moyen homogène, peu compact + petits cailloux de granite	Fossé
TR 39	F 0604	-	0,35			0,8		Limon argileux brun/jaune	Limon brun foncé peu hétérogène, meuble	Impact d'obus
TR 39	F 0605	X	0,4		1	0,28		Limon argileux brun/jaune	Limon argileux brun moyen homogène, meuble	Fossé
TR 39	F 0606	-	0	1,1	0,5			Limon argileux brun/jaune	Limon argilo-sableux brun moyen très hétérogène, meuble + poches de l'arène granitique	Fosse
TR 39	F 0607	X	0,4		0,7	0,31		Limon argileux brun/jaune	Limon argileux brun clair homogène, meuble + rares blocs de granite	Fossé
TR 39	F 0608	-	0,4		1,16			Limon argileux brun/jaune	Limon argileux brun foncé homogène, meuble + cailloux de granite et de quartz	Fossé
TR 39	F 0609	-	0,4		0,6			Limon argileux brun/jaune	Limon argileux brun moyen homogène, meuble	Fossé
TR 38	F 0610	-	0,35		0,6			Limon argileux brun/jaune + cailloux de quartz	Limon argileux brun moyen homogène, meuble + poches de substrat remanié	Fossé
TR 38	F 0611	-	0,45		0,3			Limon argileux brun/jaune + cailloux de quartz	Limon argileux brun moyen homogène, meuble + poches du substrat remanié, rares graviers	Fossé
TR 38	F 0612	-	0,45	1,8	0,95			Limon argileux brun/jaune + cailloux de quartz	Limon argileux brun moyen homogène, meuble + blocs de granite	Fosse
TR 39	F 0613	X	0,6		0,9	0,48		Limon argileux brun/jaune + arène granitique	Limon argileux brun clair homogène, compact + graviers de granite	Fossé
TR 39	F 0614	X	0,9			1,2	0,19	Limon argileux brun/jaune	Limon argileux brun moyen homogène, meuble + blocs de granites chauffés	Foyer/four
TR 38	F 0615	-	0,4	2,2	0,7			Limon argileux brun/jaune + cailloux de quartz	Limon argileux brun moyen homogène, meuble + petits cailloux de granite	Fosse
TR 38	F 0616	-	0,9	0,55	0,26			arène granitique	Limon argileux brun moyen homogène, meuble + petits graviers de granite	Fosse
TR 38	F 0617	-	0,9	0,5	0,2			arène granitique	Limon argileux brun moyen homogène, meuble + petits graviers de granite	Fosse
TR 39	F 0618	-	0,35			0,9		Limon argileux brun/jaune + arène granitique	Limon brun foncé peu hétérogène, meuble	Impact d'obus
TR 39	F 0619	-	0,45		0,58			Limon argileux brun/jaune + arène granitique	Limon brun foncé hétérogène, peu compact + blocs de granite	Fossé
TR 39	F 0620	-	0,35		1,9			Limon argileux brun/jaune + arène granitique	Limon brun foncé homogène, meuble + blocs de granite	Fossé
TR 39	F 0621	-	0,45		0,55			Limon argileux brun/jaune	Limon argileux brun moyen homogène, meuble	Fossé
TR 38	F 0622	-	0,5	1,2	1			arène granitique + granite (roche)	Limon argileux brun foncé hétérogène, très meuble + blocs de granite, racines	Fosse
TR 38	F 0623	-	0,5	0,88	0,6			Limon argileux brun/jaune + arène granitique	Limon argileux brun moyen homogène, meuble +	Fosse
TR 38	F 0624	-	0,5		1,4			Limon argileux brun/jaune + arène granitique	Limon brun foncé hétérogène, très meuble + poches de substrat remanié, blocs de granite + poches charbonneuses + terre rubefié	Fossé

Description	Attribution générale	Mobilier	Céramique	TCA	Lithique	Métal	Verre	Autre	Détail mobilier	Coupe	Coupe par	Egal à
Moyen Age ?		-	-	-	-	-	-	-				
Indéterminé		-	-	-	-	-	-	-				
Indéterminé		-	-	-	-	-	-	-				
Période contemporaine		-	-	-	-	-	-	-				
Période contemporaine, parcellaire des années 1950		X	-	-	-	X	-	X	petits elements metaliques, ardoise			
Période contemporaine, parcellaire des années 1950		X	X	-	-	-	-	-	céramique moderne			
Période contemporaine, Ile Guerre Mondiale		X	-	-	-	X	-	-	Fragment d'obus, cerclage			
Indéterminé		-	-	-	-	-	-	-				
Période contemporaine		-	-	-	-	-	-	-				
Indéterminé		-	-	-	-	-	-	-				
Période contemporaine, cadastre napoléonien		-	-	-	-	-	-	-				
Période contemporaine, cadastre napoléonien		-	-	-	-	-	-	-				
Période contemporaine, parcellaire des années 1950		-	-	-	-	-	-	-				
Période contemporaine, parcellaire des années 1950		-	-	-	-	-	-	-				
Indéterminé		-	-	-	-	-	-	-				
Indéterminé		-	-	-	-	-	-	-				
Indéterminé		-	-	-	-	-	-	-				
Indéterminé		-	-	-	-	-	-	-				
Indéterminé		-	-	-	-	-	-	-				
Indéterminé		-	-	-	-	-	-	-				
Période gallo-romaine ?		-	X	-	-	-	-	-				
Période contemporaine, Ile Guerre Mondiale		-	-	-	-	-	-	-				
haut Moyen Age		X	X	-	-	-	-	-				
Période contemporaine, cadastre napoléonien		-	-	-	-	-	-	-				
Indéterminé		-	-	-	-	-	-	-				
Période contemporaine		-	-	-	-	-	-	-				
Indéterminé		-	-	-	-	-	-	-				
Indéterminé		-	-	-	-	-	-	-				

Tranchée	Fait	Sondage	Niv. d'app <sup>en</sup> (en m)	I (en m)		L (en m)	Diamètre (en m)	Profondeur	Encaissant	Remplissage	Interprétation
TR 38	F 0625	-	0,45		0,96				Limon argileux brun/jaune + arène granitique	Limon brun foncé hétérogène, meuble + blocs de graviers, nombreux graviers de granite	Fossé
TR 38	F 0626	-	0,4		1,3				Limon argileux brun/jaune + arène granitique	Limon brun foncé hétérogène, meuble	Fossé
TR 38	F 0627	-	0,48		1,9				arène granitique + granite (roche)	Limon brun foncé hétérogène, meuble + blocs et cailloux de granite, arène granitique + poches charbonneuses	Fossé
TR 38	F 0628	-	0,4		0,7				arène granitique + granite (roche)	Limon brun moyen hétérogène, meuble + graviers et cailloux de granite, racines	Fossé
TR 38	F 0629	-	0,4		1,1				arène granitique + granite (roche)	Limon brun/noire foncé peu hétérogène, meuble + arène granitique, cailloux de granite + racines	Fossé
TR 39	F 0630	-	0,6		2				Limon argileux brun/jaune + arène granitique	Limon brun foncé homogène, meuble + rares blocs de granite	Fossé
TR 39	F 0631	-	0,5	1,1	0,5				Limon argileux brun/jaune	Limon brun moyen très hétérogène, meuble + poches de l'arène granitique	Fosse
TR 39	F 0632	-	0,4		0,7				Limon argileux brun/jaune	Limon argileux brun moyen homogène, meuble + rares blocs de granite	Fossé
TR 39	F 0633	-	0,4		0,7				Limon argileux brun/jaune	Limon argileux brun moyen homogène, meuble + poches charbonneuses, blocs de granite chauffés	Foyer/four
TR 17	F 0634	-	0,5	1	0,28				micaschiste altéré		Sépulture
TR 40	F 0636	-	0,4		0,3				Limon argileux jaune + arène granitique		Impact d'obus
TR 40	F 0637	-	0,4	1,15	0,5				Limon argileux jaune + arène granitique	Limon argilo-sableux brun moyen très hétérogène, meuble + arène granitique	Fosse
TR 40	F 0638	-	0,4	1,4	0,7				Limon argileux jaune + arène granitique	Limon argileux brun moyen peu hétérogène, meuble	Extrémité de fosse
TR 40	F 0639	-	0,45		1,4				Limon argileux jaune + arène granitique	Limon brun foncé homogène, meuble + rares cailloux de quartz et granite	Fossé
TR 40	F 0640	-	0,5		0,8				Limon argileux jaune + arène granitique	Limon argileux brun moyen homogène, meuble	Fossé
TR 40	F 0641	-	0,45	1,6	1,1				Limon argileux jaune + arène granitique	Limon brun foncé homogène, très meuble	Foyer/four
TR 40	F 0642	-	0,4	1,2	1,1				Limon argileux jaune + arène granitique	Limon brun foncé homogène, meuble	Impact d'obus
TR 40	F 0643	-	0,5	1,9	1,2				Limon argileux jaune + arène granitique	Limon argileux brun moyen homogène, meuble + rares cailloux de granite et de quartz	Extrémité de fosse
TR 16	F 0644	-	0,4	1,1	0,45				micaschiste altéré	Limon argileux brun moyen peu hétérogène, meuble + cailloux de micaschiste altéré	Sépulture
TR 40	F 0645	-	0,5		0,9				arène granitique + granite (roche)	Limon brun/noire foncé homogène, meuble + nombreux blocs de granite	Fossé
TR 40	F 0646	-	0,45		0,95				arène granitique + granite (roche)	Limon brun/noire foncé homogène, meuble + nombreux cailloux de granite	Fossé
TR 40	F 0647	-	0,8		0,8				arène granitique + granite (roche)	Limon brun/noire foncé peu hétérogène, très meuble + arène granitique, blocs de granite chauffés + poches charbonneuses	Foyer/four
TR 38	F 0649	-	0,3		1,7				Limon argileux brun/jaune + arène granitique	Limon argileux brun moyen homogène, peu compact + cailloux de granite	Fossé
TR 38	F 0650	-	0,6	1,7	0,6				Limon argileux brun/jaune	Limon brun moyen homogène, meuble	Fosse
TR 38	F 0651	-	0,5		0,56				Limon argileux brun/jaune	Limon brun moyen homogène, meuble	TP
TR 41	F 0652	-	0,3	1,1	0,5				Limon argileux brun/jaune + poches d'arène granitique + granite	Limon brun foncé très hétérogène, meuble + poches de l'arène granitique	Fosse



Description	Attribution générale	Mobilier	Céramique	TCA	Lithique	Métal	Verre	Autre	Détail mobilier	Coupe	Coupé par	Egal à
	Période contemporaine, cadastre napoléonien	-	-	-	-	-	-	-				
	Période contemporaine, cadastre napoléonien	-	-	-	-	-	-	-				
	Période contemporaine, cadastre napoléonien	-	-	-	-	-	-	-				
	Indéterminé	-	-	-	-	-	-	-				
	Période contemporaine, cadastre napoléonien	-	-	-	-	-	-	-				
	Période contemporaine, cadastre napoléonien	X	X	-	-	-	-	-				
	Période moderne	X	X	-	-	-	-	-				
	Indéterminé	-	-	-	-	-	-	-				
	Indéterminé	-	-	-	-	-	-	-				
sous la berme	haut Moyen Age	-	-	-	-	-	-	-				
element d'obus	Période contemporaine, Ile Guerre Mondiale	X	-	-	-	X	-	-	aluminium décomposée			
	Période contemporaine	-	-	-	-	-	-	-				
	Période contemporaine, parcellaire des années 1950	-	-	-	-	-	-	-				
	Période contemporaine, parcellaire des années 1950	-	-	-	-	-	-	-				
	Indéterminé	-	-	-	-	-	-	-				
	Indéterminé	-	-	-	-	-	-	-				
	Période contemporaine, Ile Guerre Mondiale	X	-	-	-	X	-	-	Fragment d'obus, cerclage			
	Indéterminé	-	-	-	-	-	-	-				
	haut Moyen Age ?	-	-	-	-	-	-	-				
	Période contemporaine, cadastre napoléonien	X	-	-	-	X	-	-	balles et cartouches			
	Période contemporaine, cadastre napoléonien	-	-	-	-	-	-	-				
	Indéterminé	-	-	-	-	-	-	-				
	Indéterminé	-	-	-	-	-	-	-				
	Indéterminé	-	-	-	-	-	-	-				
	Indéterminé	-	-	-	-	-	-	-				
	Période contemporaine	-	-	-	-	-	-	-				

Tranchée	Fait	Sondage	Niv. d'app <sup>sm</sup> (en m)	l (en m)	L (en m)	Diamètre (en m)	Profondeur	Encaissant	Remplissage	Interprétation
TR 41	F 0653	-	0,45		1			Limon argileux brun/jaune + poches d'arène granitique + granite	Limon argileux brun moyen homogène, meuble + raes blocs de granite	Fossé
TR 41	F 0654	-	0,5		0,5			Limon argileux brun/jaune + poches d'arène granitique + granite	Limon argileux brun moyen homogène, meuble	Fossé
TR 41	F 0655	-	0,45		1			Limon argileux brun/jaune + poches d'arène granitique + granite	Limon argileux brun foncé hétérogène, meuble + poches du substrat remanié , poches charbonneuses	Fossé
TR 41	F 0656	-	0,5	0,6	0,8			Limon argileux brun/jaune + poches d'arène granitique + granite	Limon argileux brun/noire foncé homogène, meuble + zones rubefié	Extrémité de fosse
TR 41	F 0657	-	0,5	1,6	0,7			Limon argileux brun/jaune + poches d'arène granitique + granite	Limon brun foncé hétérogène, meuble + poches du substrat remanié , racines	Fosse
TR 41	F 0658	-	0,35	0,85	0,5			Limon argileux brun/jaune + poches d'arène granitique + granite	Limon argileux brun foncé hétérogène, peu compact + poches du substrat remanié , petits blocs de quartz + racines	Extrémité de fosse
TR 41	F 0659	-	0,3			1,3		Limon argileux brun/jaune + poches d'arène granitique + granite	Limon brun foncé homogène, meuble	Impact d'obus
TR 41	F 0660	-	0,45	1,7	0,7			Limon argileux brun/jaune + poches d'arène granitique + granite	Limon brun foncé meuble + poches du substrat remanié	Extrémité de fosse
TR 41	F 0661	-	0,55	0,65	0,65			Limon argileux brun/jaune + poches d'arène granitique + granite	Limon brun foncé hétérogène, meuble + cailloux de quartz , racines	Extrémité de fosse
TR 41	F 0662	-	0,3		1,2			Limon argileux brun/jaune + poches d'arène granitique + granite	Limon brun foncé homogène, peu compact + blocs de granite	Fossé
TR 41	F 0663	-	0,35	1,1	0,5			Limon argileux brun/jaune + poches d'arène granitique + granite	Limon brun foncé très hétérogène, meuble + poches de substrat remanié	Fosse
TR 41	F 0664	-	0,3	1,5	1,1			Limon argileux brun/jaune + poches d'arène granitique + granite	Limon argileux brun moyen hétérogène, meuble + blocs de granite chauffé , poches charbonneuses autour de la structure	Foyer/four
TR 41	F 0665	-	0,85	0,6	0,6			Limon argileux brun/jaune + poches d'arène granitique + granite	Limon brun foncé hétérogène, meuble	Fosse
TR 41	F 0666	-	0,9	2,4	1			Limon argileux brun/jaune + poches d'arène granitique + granite	Limon brun foncé très hétérogène, meuble + racines	Fosse
TR 41	F 0667	-	0,65		0,6			Limon argileux brun/jaune + poches d'arène granitique + granite	Limon brun foncé homogène, meuble + rares cailloux de grnit et de quartz	Fossé
TR 40	F 0668	-	0,5		1,8			Limon argileux brun/jaune	Limon argileux brun moyen homogène, meuble + rares petits cailloux de granite	Fossé
TR 40	F 0669	-	0,5		0,24			Limon argileux brun/jaune	Limon argileux brun moyen homogène, meuble	Fossé
TR 40	F 0670	-	0,45		0,5			Limon argileux brun/jaune	Limon argileux brun moyen peu hétérogène, meuble + racines	Fossé
TR 40	F 0671	-	0,4		0,6			Limon argileux brun/jaune	Limon argileux brun moyen hétérogène, meuble	Fossé
TR 40	F 0672	X	0,4		1,25	0,66		Limon argileux brun/jaune	Limon argileux brun moyen homogène, meuble	Fossé
TR 40	F 0673	-	0,5	1,1	0,5			Limon argileux brun/jaune	Limon argilo-sableux brun moyen très hétérogène, meuble + poches de l'arène granitique	Fosse
TR 40	F 0674	-	0,3			0,6		Limon argileux brun/jaune	Limon brun foncé homogène, meuble	Impact d'obus
TR 40	F 0675	-	0,3		0,9			Limon argileux brun/jaune + roche granitique	Limon brun foncé hétérogène, meuble + blocs de granite , poches de substrat remanié	Fossé
TR 40	F 0676	-	0,4	3,2	1,6			Limon argileux brun/jaune + arène granitique	Limon argileux brun moyen homogène, meuble	Fosse
TR 40	F 0677	-	0,4	1,6	1,1			Limon argileux brun/jaune + poches d'arène granitique	Limon argileux brun moyen très hétérogène, meuble + poches charbonneuses , zones rubefiés + rares cailloux de granite	Fosse

Description	Attribution générale	Mobilier	Céramique	TCA	Lithique	Métal	Verre	Autre	Détail mobilier	Coupe	Coupe par	Egal à
tracé irrégulier, une fosse au bout nord de fossé	Période contemporaine, parcellaire des années 1950	-	-	-	-	-	-	-				
	Période contemporaine, cadastre napoléonien	-	-	-	-	-	-	-				
	Période contemporaine, cadastre napoléonien	X	-	-	-	X	-	-				
	Indéterminé	-	-	-	-	-	-	-				
	Période contemporaine	X	-	-	-	X	-	X	éléments métalliques indéterminés			
	Indéterminé	-	-	-	-	-	-	-				
	Période contemporaine, Ite Guerre Mondiale	X	-	-	-	X	-	-	Fragment d'obus, cerclage			
	Période contemporaine	X	X	-	-	-	-	-	faïence			
	Période contemporaine	X	X	-	-	X	-	X	céramique moderne + plastique			
	Période contemporaine, cadastre napoléonien	X	-	-	-	-	X	-	de bouteille			
	Période contemporaine	X	-	-	-	-	-	X	ardoise			
	Indéterminé	-	-	-	-	-	-	-				
	Indéterminé	-	-	-	-	-	-	-				
	Indéterminé	-	-	-	-	-	-	-				
	Indéterminé	-	-	-	-	-	-	-				
	Indéterminé	-	-	-	-	-	-	-				
	Période contemporaine, cadastre napoléonien	X	X	-	-	-	-	-				
double ornière?	Période contemporaine, cadastre napoléonien	-	-	-	-	-	-	-				
	Indéterminé	-	-	-	-	-	-	-				
	haut Moyen Age	-	X	-	-	-	-	-				
	Période contemporaine	-	-	-	-	-	-	-				
	Période contemporaine, Ite Guerre Mondiale	X	-	-	-	X	-	-	Fragment d'obus, cerclage			
	Indéterminé	-	-	-	-	-	-	-				
	Indéterminé	-	-	-	-	-	-	-				
	Indéterminé	-	-	-	-	-	-	-				

Tranchée	Fait	Sondage	Niv. d'app <sup>m</sup> (en m)			Diamètre (en m)	Profondeur	Encaissant	Remplissage	Interprétation
			I (en m)	L (en m)						
TR 40	F 0678	-	0,5	2,26	1,5			Limon argileux brun/jaune + poches d'arène granitique	Limon argileux brun clair homogène, meuble	Extrémité de fosse
TR 40	F 0679	-	0,35	2,6	1			Limon argileux brun/jaune + poches d'arène granitique	Limon argileux brun clair homogène, meuble	Fosse
TR 40	F 0680	-	0,4			1		Limon argileux brun/jaune + poches d'arène granitique	Limon brun foncé peu hétérogène, meuble	Impact d'obus
TR 40	F 0681	-	0,4	1	0,5			Limon argileux brun/jaune + poches d'arène granitique	Limon argileux brun moyen homogène, meuble	Extrémité de fosse
TR 40	F 0682	-	0,4	0,55	0,5			Limon argileux brun/jaune + poches d'arène granitique	Limon argileux brun moyen hétérogène, meuble + poches du substrat remanié	Extrémité de fosse
TR 40	F 0683	X	0,3		0,7		0,34	Limon argileux brun/jaune + poches d'arène granitique	Limon argileux brun moyen homogène, meuble + rares cailloux de granite	Fossé
TR 40	F 0684	-						arène granitique		
TR 40	F 0685	X	0,22	18,34	14,42		3,2	arène granitique	Limon argileux brun moyen homogène, meuble + nombreux graviers et petits cailloux de granite	Fosse
TR 41	F 0686	-	0,85	3,2	1,6			Limon argileux brun/jaune + poches d'arène granitique + granite	Limon brun foncé très hétérogène, peu compact + pches de substrat remanié, taches d'oxidation, rares cailloux de granite	Extrémité de fosse
TR 41	F 0687	-	0,7		0,4			Limon argileux brun/jaune + poches d'arène granitique + granite	Limon brun moyen homogène, meuble	Fossé
TR 41	F 0688	-	0,7		0,3			Limon argileux brun/jaune + poches d'arène granitique + granite	Limon brun moyen homogène, meuble	Fossé
TR 41	F 0689	-	0,65		0,25			Limon argileux brun/jaune + poches d'arène granitique	Limon brun moyen homogène, meuble	Fossé
TR 41	F 0690	-	0,35		0,9			Limon argileux brun/jaune + poches d'arène granitique + granite	Limon brun/noire foncé homogène, meuble	Fossé
TR 41	F 0691	-	0,45	2	0,8			limon argileux brun/jaune + poches de l'arène granitique	Limon brun foncé très hétérogène, meuble + poches du substrat remanié	Fosse
TR 41	F 0692	-	0,45		0,4			Limon argileux brun/jaune + poches d'arène granitique	Limon argileux brun moyen hétérogène, meuble	Fossé
TR 41	F 0693	-	0,6		0,9			Limon argileux brun/jaune + poches d'arène granitique	Limon argileux brun foncé homogène, meuble + rares cailloux de quartz	Fossé
TR 41	F 0694	-	0,6	3	1,3			Limon argileux brun/jaune + poches d'arène granitique	Limon argileux brun moyen homogène, meuble	Fosse
TR 41	F 0695	X	0,3		0,8		0,56	arène granitique	Limon argileux brun moyen hétérogène, peu compact + poches charbonneuses	Fossé
TR 41	F 0696	X	0,47		0,5		0,27	arène granitique	Limon argileux brun/gris moyen hétérogène, peu compact	Fossé
TR 41	F 0697	X	0,4		1,25		0,47	arène granitique	Limon argileux brun moyen hétérogène, meuble + rares graviers	Fossé
TR 41	F 0698	-	0,5			0,8		Limon argileux brun/jaune + arène granitique	Limon argileux brun foncé hétérogène, peu compact	Impact d'obus
TR 41	F 0699	X	0,51		0,7		0,42	arène granitique	Limon argileux brun foncé peu hétérogène, peu compact + rares graviers de granite	Fossé
TR 41	F 0700	-	1	1,4	0,55			arène granitique	Limon argileux brun foncé homogène, meuble + poches charbonneuses, zones rubéfié + petits cailloux de granite	Fosse
TR 41	F 0701	X	0,7		0,3		0,46	arène granitique		Fossé
TR 41	F 0702	X	0,6		0,3		0,15	arène granitique	Limon argileux brun/gris moyen hétérogène, peu compact + blocs de granite	Fossé



Description	Attribution générale	Mobilier	Céramique	TCA	Lithique	Métal	Verre	Autre	Détail mobilier	Coupe	Coupe par	Egal à
	Indéterminé	-	-	-	-	-	-	-				
	Indéterminé	-	-	-	-	-	-	-				
	Période contemporaine, Ile Guerre Mondiale	X	-	-	-	X	-	-	Fragment d'obus, cerclage			
	Protohistoire récente	X	X	-	-	-	-	-				
	Indéterminé	-	-	-	-	-	-	-				
	Indéterminé	-	-	-	-	-	-	-				
	Indéterminé	-	-	-	-	-	-	-				
fosse d'extraction	Protohistoire	X	-	-	-	-	-	-	céramique dans US1			
	Période contemporaine	-	-	-	-	-	-	-				
	Indéterminé	-	-	-	-	-	-	-				
	Indéterminé	-	-	-	-	-	-	-				
orniere?	Indéterminé	-	-	-	-	-	-	-				
	Période contemporaine, cadastre napoléonien	-	-	-	-	-	-	-			F0691	
	Période contemporaine	-	-	-	-	-	-	-			<b>F0690</b>	
	Période contemporaine, cadastre napoléonien	-	-	-	-	-	-	-				
	Période contemporaine, cadastre napoléonien	-	-	-	-	-	-	-				
	Indéterminé	-	-	-	-	-	-	-				
	Période contemporaine, cadastre napoléonien	-	-	-	-	-	-	-			<b>F0699</b>	
	Période contemporaine, cadastre napoléonien	-	-	-	-	-	-	-			F0702	
	Période contemporaine, cadastre napoléonien	-	-	-	-	-	-	-				
	Période contemporaine, Ile Guerre Mondiale	X	-	-	-	X	-	-	Fragment d'obus, cerclage			
	Période contemporaine, cadastre napoléonien	-	-	-	-	-	-	-			F0695	
de fossé	Indéterminé	-	-	-	-	-	-	-				
- visible en plan seulement en coupe; peut être recusement de F699	Indéterminé	-	-	-	-	-	-	-			F0702	
- visible en plan, recusement de F	Indéterminé	-	-	-	-	-	-	-			<b>F0696,</b> <b>F0701</b>	

Tranchée	Fait	Sondage	Niv. d'app <sup>m</sup> (en m)	I (en m)	L (en m)	Diamètre (en m)	Profondeur	Encaissant	Remplissage	Interprétation
TR 41	F 0703	X	0,4	2	1,35		0,21	limon argileux brun/jaune + poches de l'arène granitique	limon argileux brun moyen homogène, meuble	Fossé
TR 41	F 0704	-	0,45		1,16			limon argileux brun/jaune + poches de l'arène granitique	limon brun foncé peu hétérogène, peu compact + petits cailloux de granite	Fossé
TR 41	F 0705	-	0,6		0,86			limon argileux brun/jaune + arène granitique	limon argileux brun/jaune moyen hétérogène, peu compact	Fossé
TR 41	F 0706	-	0,4			0,8		limon argileux brun/jaune + arène granitique	limon argileux brun moyen hétérogène, meuble + gros blocs de granite	
TR 41	F 0707	-	0,4			0,75		limon argileux brun/jaune + arène granitique	limon argilo-sableux brun foncé hétérogène, meuble	Impact d'obus
TR 41	F 0708	-	0,3	0,83	0,73			limon argileux brun/jaune + poches de granite altéré	limon argileux brun foncé hétérogène, meuble	Impact d'obus
TR 41	F 0709	-	0,4		0,48			limon argileux brun/jaune	limon argileux brun foncé hétérogène, meuble + cailloux de granite	Fossé
TR 41	F 0710	-	0,35			0,9		limon argileux brun/jaune	limon argileux brun moyen hétérogène, meuble + cailloux et blocs de granite	Fosse
TR 41	F 0711	-	0,35			1		limon argileux brun/jaune + poches de granite altéré	limon argileux brun moyen hétérogène, meuble + cailloux et blocs de granite	Impact d'obus
TR 41	F 0712	-	0,4	0,7	0,5			limon argileux brun/jaune	limon argileux brun moyen homogène, meuble + bloc de granite chauffé	Fosse
TR 41	F 0713	-	0,3			1,1		limon argileux brun/jaune	limon argileux brun moyen hétérogène, meuble + cailloux et blocs de granite	Impact d'obus
TR 41	F 0714	-	0,35		0,6			limon argileux brun/jaune + poches de granite altéré	limon argileux brun moyen homogène, meuble	Fossé
TR 41	F 0715	-	0,35	1,6	1,1			limon argileux brun/jaune + poches de granite altéré	limon argileux brun moyen peu hétérogène, peu compact + bloc de quartz	Fosse
TR 41	F 0716	X	0,35	2,83	1,95		0,45	limon argileux brun/jaune + poches de granite altéré + granite (roche)	limon brun moyen homogène, meuble + blocs de granite chauffés, traces de rubéfaction	Foyer/four
TR 41	F 0717	-								
TR 42	F 0718	-	0,3	2	0,67			limon argileux brun/jaune + cailloux de quartz	limon argilo-sableux brun/jaune moyen très hétérogène, meuble + nombreuses poches d'arène remaniée, cailloux de quartz	Fosse
TR 42	F 0719	-	0,5		1,04			limon argileux brun/jaune + cailloux de quartz	limon brun foncé peu hétérogène, peu compact + cailloux de quartz	Fossé
TR 42	F 0720	-	0,45		0,9			limon argileux brun/jaune + cailloux de quartz	limon brun foncé homogène, compact + petits cailloux de granite et de quartz	Fossé
TR 42	F 0721	-	0,55	1,4	0,5			limon argileux brun/jaune + cailloux de quartz + poches de l'arène granitique	limon argilo-sableux brun moyen très hétérogène, meuble + graviers et cailloux de granite	Fosse
TR 42	F 0722	-	0,6			0,7		limon argileux brun/jaune + cailloux de quartz	limon brun moyen très hétérogène, meuble	Impact d'obus
TR 42	F 0723	-	0,5		0,6			limon argilo-sableux brun/orangé	limon argileux brun foncé homogène, meuble + cailloux de granite	Fossé
TR 42	F 0724	-	0,75		0,9			limon argileux brun/orangé	limon argileux brun moyen homogène, meuble + rares cailloux de granite	Fossé
TR 42	F 0725	-	0,5		1,53			limon argileux brun/orangé	limon brun foncé peu hétérogène, meuble + cailloux de quartz, poches charbonneuses	Fossé
TR 43	F 0726	-	0,4		0,98			limon argileux brun/jaune + cailloux de quartz	limon argileux brun foncé peu hétérogène, meuble + cailloux de quartz et de micaschiste	Fossé
TR 43	F 0727	-	0,5			0,94		limon argileux brun/jaune + cailloux de quartz	limon argileux brun foncé homogène, meuble + cailloux de quartz	Fosse
TR 43	F 0728	-	0,55		0,77			limon argileux brun/jaune + cailloux de quartz	limon argileux brun moyen peu hétérogène, meuble + cailloux de quartz	Fossé

Description	Attribution générale	Mobilier	Céramique	TCA	Lithique	Métal	Verre	Autre	Détail mobilier	Coupe	Coupe par	Egal à
	Période contemporaine, Ile Guerre Mondiale	X	-	-	-	X	-	X	casques allemandes + objets métalliques + cuir	F0705		
	Période contemporaine, cadastre napoléonien	X	-	-	-	-	-	X	ardoise			
	Période contemporaine, cadastre napoléonien	-	-	-	-	-	-	-			F0703	
	Indéterminé	-	-	-	-	-	-	-				
	Période contemporaine, Ile Guerre Mondiale	X	-	-	-	X	-	-	Fragment d'obus, cerclage			
	Période contemporaine, Ile Guerre Mondiale	X	-	-	-	X	-	-	Fragment d'obus			
	Indéterminé	-	-	-	-	-	-	-				
	Indéterminé	-	-	-	-	-	-	-				
	Période contemporaine, Ile Guerre Mondiale	X	-	-	-	X	-	-	Fragment d'obus, cerclage			
	Indéterminé	-	-	-	-	-	-	-				
	Période contemporaine, Ile Guerre Mondiale	-	-	-	-	-	-	-				
	Indéterminé	-	-	-	-	-	-	-				
sous la berme	Indéterminé	-	-	-	-	-	-	-				
	Période gallo-romaine ?	X	X	X	-	-	-	-	TCA			
annulé	Indéterminé	-	-	-	-	-	-	-				
	Période contemporaine, cadastre napoléonien	-	-	-	-	-	-	-				
	Période contemporaine, cadastre napoléonien	-	-	-	-	-	-	-				
	Indéterminé	-	-	-	-	-	-	-				
	Période contemporaine	-	-	-	-	-	-	-				
	Période contemporaine, Ile Guerre Mondiale	X	-	-	-	X	-	-	Fragment d'obus, cerclage			
	Indéterminé	-	-	-	-	-	-	-				
	Indéterminé	-	-	-	-	-	-	-				
	Indéterminé	-	-	-	-	-	-	-				
	Indéterminé	X	-	-	-	X	-	-				
	Indéterminé	-	-	-	-	-	-	-				
	Indéterminé	-	-	-	-	-	-	-				

Tranchée	Fait	Sondage	Niv. d'app <sup>m</sup> (en m)	I (en m)	L (en m)	Diamètre (en m)	Profondeur	Encaissant	Remplissage	Interprétation
TR 43	F 0729	-	0,55		0,7			Limon argileux brun/jaune + cailloux de quartz	Limon argileux brun moyen peu hétérogène, meuble + cailloux de quartz	Fossé
TR 43	F 0730	-	0,55			0,8		Limon argileux brun/jaune + cailloux de quartz	Limon brun foncé peu hétérogène, meuble + cailloux de quartz	Fosse
TR 43	F 0731	-	0,6		0,4			Limon argileux brun/jaune + cailloux de quartz	Limon argileux brun moyen hétérogène, meuble + cailloux de quartz	Fossé
TR 43	F 0732	-	0,65		0,55			Limon argileux brun/jaune + cailloux de quartz	Limon argileux brun moyen hétérogène, meuble + cailloux de granite et de quartz	Fossé
TR 43	F 0733	-	0,6	2,3	0,87			Limon argileux brun/jaune + cailloux de quartz	Limon argileux brun moyen peu hétérogène, meuble + cailloux de quartz	Fosse
TR 39	F 0734	X	0,3			0,63	0,23	Limon argileux brun/jaune + granite (roche)	Limon argileux brun/gris moyen hétérogène, meuble + poches de substrat remanié, cailloux de granite	Sépulture
TR 45	F 0735	-	0,3			0,73		Limon argileux brun/jaune + arène granitique	Limon argileux brun moyen hétérogène, meuble + graviers et petits cailloux de granite	Fosse
TR 45	F 0736	-	0,45	1,16	0,63			Limon argileux brun/jaune + arène granitique	Limon sablo-argileux brun clair à foncé très hétérogène, meuble + poches d'arène remanié	Fosse
TR 45	F 0737	-	0,45	0,8	0,5			Limon argileux brun/jaune + arène granitique	Limon argilo-sableux brun clair homogène, meuble	Fosse
TR 45	F 0738	-	0,35		1,45			Limon argileux brun/jaune + arène granitique	Limon argileux brun clair homogène, meuble + cailloux de granite et rares graviers	Fossé
TR 46	F 0739	-	0,3		1,1			Limon argileux brun/jaune	Limon argileux brun moyen homogène, meuble + cailloux de quartz	Fossé
TR 46	F 0740	-	0,4		0,7			Limon argileux brun/jaune	Limon argileux brun moyen homogène, meuble + cailloux de quartz, nombreuses racines	Fossé
TR 46	F 0741	-	0,4		0,64			Limon argileux brun/jaune	Limon argileux brun moyen homogène, meuble + cailloux de granite	Fossé
TR 46	F 0742	-	0,5		0,56			Limon argileux brun/jaune	Limon argileux brun moyen homogène, meuble + cailloux de granite	Fossé
TR 46	F 0743	-	0,45	0,85	0,45			Limon argileux brun/jaune + arène granitique	Limon argileux brun moyen homogène, meuble	Fosse
TR 46	F 0744	-	0,45		0,72			Limon argileux brun/jaune	Limon argileux brun moyen homogène, meuble	Fossé
TR 46	F 0745	-	0,4		0,24			Limon argileux brun/jaune	Limon argileux brun moyen hétérogène, meuble + cailloux de granite	Fossé
TR 46	F 0746	-	0,3			1,47		Limon argileux brun/jaune	Limon argilo-sableux brun foncé hétérogène, meuble	Impact d'obus
TR 46	F 0747	-	0,4		0,78			Limon argileux brun/jaune + poches d'arène granitique	Limon argileux brun moyen peu hétérogène, meuble + rares graviers, cailloux de granite	Fossé
TR 46	F 0748	-	0,48		0,75			Limon argileux brun/jaune	Limon argileux brun moyen peu hétérogène, peu compact + petits poches de sable remanié, cailloux de granite	Fossé
TR 46	F 0749	-	0,48		0,48			Limon argileux brun/jaune	Limon argileux brun moyen peu hétérogène, meuble	Fossé
TR 46	F 0750	-	0,3		0,33			Limon argileux brun/jaune	Limon argileux brun moyen peu hétérogène, meuble	Fossé
TR 46	F 0751	-	0,45		0,8			Limon argileux brun/jaune	Limon argileux brun moyen peu hétérogène, meuble	Fossé
TR 46	F 0752	-	0,45		1			Limon argileux brun/jaune	Limon argileux brun moyen peu hétérogène, meuble	Fossé
TR 46	F 0753	-	0,4		0,76			Limon argileux brun/jaune	Limon argilo-sableux brun moyen peu hétérogène, meuble	Fossé
TR 46	F 0754	-	0,35		1,23			Limon argileux brun/jaune	Limon argileux brun moyen homogène, meuble + cailloux de granite	Fossé



Description	Attribution générale	Mobilier	Céramique	TCA	Lithique	Métal	Verre	Autre	Détail mobilier	Coupe	Coupe par	Egal à
	Indéterminé	-	-	-	-	-	-	-				
	Indéterminé	-	-	-	-	-	-	-				
	Période contemporaine, cadastre napoléonien	-	-	-	-	-	-	-		F0733		
	Période contemporaine, cadastre napoléonien	-	-	-	-	-	-	-		F0733		
	Indéterminé	-	-	-	-	-	-	-		<b>F0731,</b> <b>F0732</b>		
Incinération	Période gallo-romaine	X	X	-	-	X	-	-	Urne funéraire + clous			
	Période contemporaine	-	-	-	-	-	-	-				
	Période contemporaine	-	-	-	-	-	-	-				
	Indéterminé	-	-	-	-	-	-	-				
	Période gallo-romaine ?	-	-	-	-	-	-	-			F0763	
	Période gallo-romaine	X	-	X	-	-	-	-	tegulae		F0742, F0763	
	Période gallo-romaine ?	-	-	-	-	-	-	-			F0741	
	Période gallo-romaine ?	-	-	-	-	-	-	-			F0740	
	Période gallo-romaine ?	-	-	-	-	-	-	-			F0739	
	Indéterminé	-	-	-	-	-	-	-				
	Période gallo-romaine ?	-	-	-	-	-	-	-			F0765	
	Période gallo-romaine ?	-	-	-	-	-	-	-				
	Période contemporaine, Ile Guerre Mondiale	X	-	-	-	X	-	-	Fragment d'obus, cerclage			
	Indéterminé	-	-	-	-	-	-	-				
	Indéterminé	-	-	-	-	-	-	-				
	Indéterminé	-	-	-	-	-	-	-				
	Indéterminé	-	-	-	-	-	-	-				
	Indéterminé	-	-	-	-	-	-	-			F0752	
	Indéterminé	-	-	-	-	-	-	-			F0751	
	Indéterminé	-	-	-	-	-	-	-				
	Période gallo-romaine ?	-	-	-	-	-	-	-				

Tranchée	Fait	Sondage	Niv. d'app <sup>sm</sup> (en m)	I (en m)	L (en m)	Diamètre (en m)	Profondeur	Encaissant	Remplissage	Interprétation
TR 46	F 0755	-	0,3	3,9	1,16			Limon argileux brun/jaune	Limon sableux brun clair à foncé très hétérogène, meuble + poches d'arène remaniée	Fosse
TR 46	F 0756	-	0,45			0,85		Limon argileux brun/jaune	Limon argileux brun foncé hétérogène, meuble	Impact d'obus
TR 46	F 0757	-	0,37			0,75		Limon argileux brun/jaune	Limon argileux brun foncé hétérogène, meuble	Impact d'obus
TR 47	F 0758	-	0,4		0,99			Limon argileux brun/jaune + cailloux de quartz + poches d'arène granitique	Limon argileux brun moyen peu hétérogène, meuble + blocs de granite et cailloux de quartz	Fossé
TR 47	F 0759	-	0,45		0,47			Limon argileux brun/jaune + cailloux de quartz + poches d'arène granitique	Limon argileux brun moyen homogène, meuble + cailloux de granite	Fossé
TR 47	F 0760	-	0,4		1,35			Limon argileux brun/jaune + cailloux de quartz + poches d'arène granitique	Limon argileux brun moyen homogène, meuble + petits cailloux de granite	Fossé
TR 47	F 0761	-	0,4	1,6	0,74			Limon argileux brun/jaune + poches d'arène granitique	Limon brun foncé homogène, meuble + cailloux de granite	Fosse
TR 46	F 0762	-	0,3	1,4	0,76			Limon argileux brun/jaune + cailloux de quartz et de granite	Limon argileux brun moyen homogène, meuble + cailloux de quartz	Fosse
TR 46	F 0763	-	0,3		0,9			Limon argileux brun/jaune + cailloux de quartz et de granite	Limon argileux brun moyen homogène, meuble + cailloux de granite	Fossé
TR 46	F 0764	-	0,4		0,67			Limon argileux brun/jaune + cailloux de quartz et de granite	Limon argileux brun moyen peu hétérogène, meuble	Extrémité de fosse
TR 46	F 0765	-	0,3		0,78			Limon argileux brun/jaune + cailloux de quartz et de granite	Limon argileux brun moyen peu hétérogène, meuble + cailloux de quartz	Fossé
TR 46	F 0766	-	0,4		0,43			Limon argileux brun/jaune + cailloux de quartz et de granite	Limon argileux brun foncé hétérogène, meuble + poches de substrat remanié, cailloux de quartz	Fossé
TR 46	F 0767	-	0,4		0,57			Limon argileux brun/jaune + cailloux de quartz et de granite	Limon argileux brun moyen hétérogène, meuble + cailloux de granite	Fossé
TR 46	F 0768	-	0,35	2,45	1,7			Limon argileux brun/jaune + cailloux de quartz et de granite	Limon brun foncé hétérogène, meuble + cailloux de granite	Fosse
TR 46	F 0769	-	0,35	0,66	0,8			Limon argileux brun/jaune + cailloux de quartz et de granite	Limon argileux brun foncé très hétérogène, meuble + poches charbonneuses, graviers et cailloux de granite	Fosse
TR 46	F 0770	-	0,35	1,2	0,57			Limon argileux brun/jaune + cailloux de quartz et de granite	Limon argileux brun foncé peu hétérogène, meuble + rares graviers et cailloux de granite	Fosse
TR 49	F 0771	-	0,45		0,65			Limon argileux brun/jaune	Limon argileux brun moyen homogène, meuble + cailloux de quartz et de granite	Fossé
TR 49	F 0772	-	0,45		0,83			Limon argileux brun/jaune	Limon argileux brun moyen homogène, meuble + cailloux de quartz	Fossé
TR 49	F 0773	-	0,5		0,57			Limon argileux brun/jaune	Limon argileux brun moyen homogène, meuble + cailloux de quartz et de granite	Fossé
TR 49	F 0774	-	0,45		0,6			Limon argileux brun/jaune	Limon argileux brun moyen homogène, meuble + cailloux de quartz	Fossé
TR 48	F 0775	-	0,4		0,95			Limon argileux brun/jaune + cailloux et blocs de quartz	Limon argileux brun clair peu hétérogène, meuble	Fossé
TR 48	F 0776	-	0,35		0,74			Limon argileux brun/jaune + cailloux de quartz + poches d'arène granitique	Limon argileux brun foncé peu hétérogène, meuble + cailloux de granite	Fossé

Description	Attribution générale	Mobilier	Céramique	TCA	Lithique	Métal	Verre	Autre	Détail mobilier	Coupe	Coupe par	Egal à
	Période contemporaine	X	X	-	-	X	-	-				
	Période contemporaine, Ile Guerre Mondiale	X	-	-	-	X	-	-	Fragment d'obus, cerclage			
	Période contemporaine, Ile Guerre Mondiale	X	-	-	-	X	-	-	Fragment d'obus, cerclage			
angle avec F993	Période gallo-romaine	X	X	-	-	-	-	-				F0763
	Période gallo-romaine ?	-	-	-	-	-	-	-				F0765
	Indéterminé	-	-	-	-	-	-	-				
	Période contemporaine	X	X	-	-	-	-	-				
	Période gallo-romaine ?	-	-	-	-	-	-	-				
	Période gallo-romaine ?	-	-	-	-	-	-	-				F1001, F0738, F0739, F0758, F0993
	Période gallo-romaine ?	-	-	-	-	-	-	-				
	Période gallo-romaine ?	-	-	-	-	-	-	-				F0759, F0744
	Période contemporaine, cadastre napoléonien	-	-	-	-	-	-	-			F0768	
	Période contemporaine, cadastre napoléonien	-	-	-	-	-	-	-			F0768	
	Période contemporaine, Ile Guerre Mondiale	X	-	-	-	X	-	-	chargeur de la mitrailleuse avec balles	<b>F0766,</b> <b>F0767</b>		
sous la berme	Indéterminé	-	-	-	-	-	-	-				
sous la berme	Indéterminé	-	-	-	-	-	-	-				
	Indéterminé	-	-	-	-	-	-	-				
	Indéterminé	-	-	-	-	-	-	-				F0773
	Indéterminé	-	-	-	-	-	-	-				F0772
	Période gallo-romaine ?	-	-	-	-	-	-	-				F0782, F0784
	Indéterminé	-	-	-	-	-	-	-				
	Période contemporaine, parcellaire des années 1950	-	-	-	-	-	-	-				F0779

Tranchée	Fait	Sondage	Niv. d'app <sup>on</sup> (en m)	I (en m)	L (en m)	Diamètre (en m)	Profondeur	Encaissant	Remplissage	Interprétation
TR 48	F 0777	-	0,4		0,7			Limons argileux brun/jaune + cailloux de quartz	Limons argileux brun foncé homogène, meuble + cailloux de granite	Fossé
TR 49	F 0778	-	0,4		0,52			Limons argileux brun/jaune + poches d'arène granitique	Limons argileux brun clair homogène, meuble	Fossé
TR 49	F 0779	-	0,45		0,75			Limons argileux brun/jaune + poches d'arène granitique	Limons argileux brun foncé homogène, meuble + cailloux de granite	Fossé
TR 49	F 0780	-	0,35		0,48			Limons argileux brun/jaune + poches d'arène granitique	Limons argileux brun foncé homogène, meuble	Fossé
TR 50	F 0781	-	0,55	1,5	0,64			Limons argileux brun/jaune + cailloux de quartz	Limons sablo-argileux brun clair à foncé très hétérogène, meuble + nombreuses poches d'arène remaniée	Fosse
TR 51	F 0782	-	0,33		0,8			Limons argileux brun/jaune	Limons argileux brun moyen homogène, meuble + blocs de granite	Fossé
TR 51	F 0783	-	0,4	1,1	0,53			Limons argileux brun/jaune + cailloux de quartz	Limons sablo-argileux brun clair à foncé très hétérogène, meuble	Fosse
TR 50	F 0784	-	0,5		0,96			Limons argileux brun/jaune + cailloux de quartz	Limons argileux brun moyen homogène, meuble	Fossé
TR 50	F 0785	-	0,45	0,52	0,42			Limons argileux brun/jaune + cailloux de quartz	Limons argileux brun clair à foncé très hétérogène, peu compact + nombreuses poches de sable remaniée	Fosse
TR 51	F 0786	-	0,4		0,7			Limons argileux brun/orangé + poches d'arène granitique	Limons argileux brun moyen peu hétérogène, meuble	Extrémité de fosse
TR 51	F 0787	-	0,3	1,2	0,4			Limons argileux brun/jaune + cailloux de quartz	Limons sablo-argileux brun clair à foncé très hétérogène, meuble	Fosse
TR 51	F 0788	-	0,3		1,6			Limons argileux brun/jaune + cailloux de granite	Limons argilo-sableux brun foncé hétérogène, meuble + nombreux petits cailloux de granite et de quartz	Fossé
TR 51	F 0789	-	0,4	1,3	0,6			Limons argileux brun/jaune + cailloux de granite	Limons sablo-argileux brun clair à foncé très hétérogène, meuble	Fosse
TR 51	F 0790	-	0,4		1,1			Limons argileux brun/jaune + cailloux de granite	Limons argileux brun moyen hétérogène, meuble + poches d'arène granitique remaniée, cailloux de granite et de quartz	Fossé
TR 51	F 0791	-	0,4		0,63			Limons argileux brun/jaune + cailloux de granite	Limons argilo-sableux brun foncé hétérogène, meuble + petits cailloux de granite et poches d'arène remaniée	Fossé
TR 50	F 0792	-	0,5		0,74			Limons argileux brun/jaune + poches d'arène granitique	Limons argileux brun moyen peu hétérogène, meuble + cailloux de quartz	Fossé
TR 52	F 0793	-	0,3		1,2			Limons argileux brun/jaune + poches d'arène granitique	Limons argileux brun moyen homogène, meuble + petits cailloux et cailloux de granite	Fossé
TR 52	F 0794	-	0,35		0,5			Limons argileux brun/jaune + poches d'arène granitique	Limons argileux brun moyen homogène, peu compact + petits cailloux de granite	Fossé
TR 52	F 0795	-	0,5			0,4		Limons argileux brun/jaune + poches d'arène granitique	Limons argileux brun moyen homogène, meuble + cailloux de granite	TP
TR 52	F 0796	-	0,35	1,78	0,35			Limons argileux brun/jaune + poches d'arène granitique	Limons argileux brun foncé homogène, compact + petits cailloux de granite	Fosse
TR 52	F 0797	-	0,35		0,66			Limons argileux brun/jaune	Limons argileux brun clair homogène, meuble + petits cailloux de granite	Fossé
TR 52	F 0798	X	0,35			2,7	0,08	Limons argileux brun/jaune	Limons argileux brun moyen homogène, peu compact + nombreux petits cailloux de granite	Fosse
TR 52	F 0799	-	0,33		0,47			Limons argileux brun/jaune	Limons argileux brun clair peu hétérogène, meuble + cailloux de granite	Fossé
TR 50	F 0800	-	0,5			2,17		Limons argileux brun/jaune + poches d'arène granitique	Limons argileux brun moyen homogène, meuble + petits cailloux de quartz	Fosse
TR 50	F 0801	-	0,45	1,75	0,67			Limons argileux brun/jaune + poches d'arène granitique	Limons sablo-argileux brun clair à foncé très hétérogène, meuble + nombreuses poches d'arène remaniée	Fosse

Description	Attribution générale	Mobilier	Céramique	TCA	Lithique	Métal	Verre	Autre	Détail mobilier	Coupe	Coupe par	Egal à
	Période contemporaine, parcellaire des années 1950	X	-	-	-	-	-	X	Ardoise			F0780
	Indéterminé	-	-	-	-	-	-	-				
	Période contemporaine, parcellaire des années 1950	X	-	-	-	X	-	X	Ardoise, clous			F0776
	Période contemporaine, parcellaire des années 1950	X	-	-	-	-	-	X	Ardoise			F0777
	Période contemporaine	-	-	-	-	-	-	-				
	Deuxième âge du Fer (La Tène)	X	X	-	-	-	-	-				F0774, F0784
	Période contemporaine	-	-	-	-	-	-	-				
	Deuxième âge du Fer (La Tène)	-	-	-	-	-	-	-				F0774, F0782
sous la berme	Période contemporaine	-	-	-	-	-	-	-				
	Indéterminé	-	-	-	-	-	-	-				
	Période contemporaine	-	-	-	-	-	-	-				
	Indéterminé	-	-	-	-	-	-	-				
	Période contemporaine	-	-	-	-	-	-	-				
	Indéterminé	-	-	-	-	-	-	-				
	Indéterminé	-	-	-	-	-	-	-				
	Indéterminé	-	-	-	-	-	-	-				
	Indéterminé	-	-	-	-	-	-	-				
	Indéterminé	-	-	-	-	-	-	-				
	Indéterminé	-	-	-	-	-	-	-				
	Indéterminé	-	-	-	-	-	-	-				
	Période contemporaine	X	-	-	-	-	X	-				
	Moyen Age ?	X	X	-	-	-	-	-				F0799
	Indéterminé	-	-	-	-	-	-	-				
	Indéterminé	-	-	-	-	-	-	-				F0797
	Indéterminé	-	-	-	-	-	-	-				
	Période contemporaine	-	-	-	-	-	-	-				F0802



Tranchée	Fait	Sondage	Niv. d'app <sup>en</sup> (en m)	I (en m)	L (en m)	Diamètre (en m)	Profondeur	Encaissant	Remplissage	Interprétation
TR 50	F 0802	-	0,4		0,72			Limon argileux brun/jaune + poches d'arène granitique	Limon argileux brun moyen hétérogène, meuble + poches de sable remanié	Fossé
TR 50	F 0803	-	0,45		1,05			Limon argileux brun/jaune + poches d'arène granitique	Limon argileux brun moyen homogène, meuble	Fossé
TR 50	F 0804	-	0,4		0,72			Limon argileux brun/jaune + poches d'arène granitique	Limon argileux brun moyen peu hétérogène, meuble	Fossé
TR 53	F 0805	-	0,35		0,55			Limon argileux brun/jaune	Limon argileux brun foncé homogène, meuble	Fossé
TR 53	F 0806	-	0,4	1,9	0,54			Limon argileux brun/jaune	Limon argileux brun foncé hétérogène, meuble	Extrémité de fosse
TR 53	F 0807	-	0,4	1,08	0,4			Limon argileux brun/jaune + granite altéré	Limon argileux brun foncé très hétérogène, meuble + petits cailloux de quartz	Impact d'obus
TR 53	F 0808	-	0,5		0,8			Limon argileux brun/jaune + poches d'arène granitique	Limon argileux brun moyen homogène, meuble + petits cailloux de granite	Fossé
TR 53	F 0809	-	0,4		0,56			Limon argileux brun/jaune + poches d'arène granitique	Limon argileux brun moyen homogène, meuble + petits cailloux de granite	Fossé
TR 53	F 0810	-	0,35	1,2	0,54			Limon argileux brun/jaune + poches d'arène granitique	Limon argileux brun foncé très hétérogène, meuble + poches de substrat remanié	Fosse
TR 53	F 0811	-	0,25		0,36			Limon argilo-sableux brun/jaune + poches d'arène granitique + granite altéré	Limon argileux brun moyen peu hétérogène, meuble + cailloux de granite et de quartz	Fossé
TR 53	F 0812	-	0,25		0,21			Limon argilo-sableux brun/jaune + poches d'arène granitique + granite altéré	Limon argilo-sableux brun foncé hétérogène, meuble + cailloux de granite	Fossé
TR 53	F 0813	-	0,25			2,4		Limon argilo-sableux brun/jaune + poches d'arène granitique + granite altéré	Limon argileux brun foncé hétérogène, compact + poche centrale d'arène remaniée	Fosse
TR 53	F 0814	-	0,3		0,5			Limon argilo-sableux brun/jaune + poches d'arène granitique + granite altéré	Limon argileux brun moyen peu hétérogène, peu compact + poches charbonneuses, petits cailloux et cailloux de granite	Fossé
TR 54	F 0815	-	0,47		0,6			Limon argileux brun/orangé + granite altere	Limon argileux brun moyen homogène, meuble	Extrémité de fosse
TR 54	F 0816	-	0,6		0,54			Limon argileux brun/orangé + granite altere	Limon argileux brun moyen homogène, meuble	Extrémité de fosse
TR 54	F 0817	-	0,6		0,5			Limon argileux brun/orangé + cailloux de quartz et de granite	Limon argileux brun moyen homogène, meuble	Fossé
TR 54	F 0818	-	0,57		0,63			Limon argileux brun/orangé + cailloux de quartz et de granite	Limon argileux brun moyen homogène, meuble + petits cailloux de granite	Fossé
TR 55	F 0819	-	0,3			1,04		Limon argileux brun/jaune + granite (roche)	Limon argileux brun foncé peu hétérogène, peu compact + cailloux et blocs de granite	Fosse
TR 55	F 0820	-	0,3		1,05			granite (roche)	Limon argileux brun moyen peu hétérogène, peu compact + cailloux et blocs de granite	Fossé
TR 56	F 0821	-	0,3		0,55			Limon argileux brun/jaune + poches de granite altéré	Limon argileux brun/jaune moyen hétérogène, peu compact + blocs et cailloux de granite	Fossé
TR 56	F 0822	-	0,5			1,07		Limon argileux brun/jaune	Limon argileux brun moyen hétérogène, meuble + blocs de granite, poches charbonneuses	Foyer/four
TR 55	F 0823	-	0,3	1,18	0,52			Limon argileux brun/jaune + granite (roche)	Limon sablo-argileux brun foncé très hétérogène, meuble + poches d'arène remanie	Fosse
TR 55	F 0824	-	0,3		0,4			Limon argileux brun/jaune + granite (roche)	Limon brun foncé hétérogène, peu compact + cailloux de granite	Fossé
TR 55	F 0825	-	0,3		0,38			Limon argileux brun/jaune + granite (roche)	Limon brun foncé hétérogène, peu compact + blocs et cailloux de granite	Fossé
TR 56	F 0826	-	0,45			0,7		Limon argileux brun/jaune	Limon argileux brun foncé hétérogène, meuble	Impact d'obus

Description	Attribution générale	Mobilier	Céramique	TCA	Lithique	Métal	Verre	Autre	Détail mobilier	Coupe	Coupe par	Egal à
	Indéterminé	-	-	-	-	-	-	-			F0801	
	Indéterminé	-	-	-	-	-	-	-				
	Indéterminé	-	-	-	-	-	-	-				
	Indéterminé	-	-	-	-	-	-	-				
	Indéterminé	-	-	-	-	-	-	-				
	Période contemporaine, Ile Guerre Mondiale	X	-	-	-	X	X	X	Ardoise			
	Indéterminé	-	-	-	-	-	-	-			F0817	
	Indéterminé	-	-	-	-	-	-	-			F0818	
	Période contemporaine	-	-	-	-	-	-	-				
ornière?	Indéterminé	-	-	-	-	-	-	-				
ornière?	Indéterminé	-	-	-	-	-	-	-				
	Période contemporaine	X	X	-	-	X	X	-			<b>F0814</b>	
	Indéterminé	-	-	-	-	-	-	-			F0813	F0961
	Période gallo-romaine	-	-	-	-	-	-	-				F0816
	Période gallo-romaine ?	-	-	-	-	-	-	-				F0815
	Indéterminé	-	-	-	-	-	-	-				F0808
	Indéterminé	-	-	-	-	-	-	-				F0809
fosse charbonneuse	Indéterminé	-	-	-	-	-	-	-				
	Indéterminé	-	-	-	-	-	-	-				F0961
	Indéterminé	-	-	-	-	-	-	-				F0961
	Indéterminé	-	-	-	-	-	-	-				
	Période contemporaine	-	-	-	-	-	-	-				
	Indéterminé	-	-	-	-	-	-	-				
	Indéterminé	-	-	-	-	-	-	-				
	Période contemporaine, Ile Guerre Mondiale	X	-	-	-	X	-	-	Fragment d'obus, cerclage			

Tranchée	Fait	Sondage	Niv. d'app <sup>m</sup> (en m)	I (en m)	L (en m)	Diamètre (en m)	Profondeur	Encaissant	Remplissage	Interprétation
TR 55	F 0827	-	0,4		1,17			Limon argileux brun/jaune + granite (roche)	Limon argileux brun foncé peu hétérogène, compact + cailloux et blocs de granite	Fossé
TR 55	F 0828	-	0,3		1,1			Limon argileux brun/jaune + granite (roche)	Limon argileux brun foncé peu hétérogène, peu compact + cailloux de granite	Fossé
TR 55	F 0829	-	0,45	0,97	0,73			Limon argileux brun/jaune + poches d'arène granitique + granite altéré	Limon argileux brun moyen peu hétérogène, meuble + cailloux de schiste	Fosse
TR 55	F 0830	-	0,45			0,35		Limon argileux brun/jaune + poches d'arène granitique + granite altéré	Limon argileux brun moyen peu hétérogène, meuble	TP
TR 55	F 0831	-	0,4		0,62			Limon argileux brun/jaune + poches de granite altéré	Limon argileux brun foncé peu hétérogène, compact + cailloux de granite	Fossé
TR 55	F 0832	-	0,4		0,5			Limon argileux brun/jaune + poches de granite altéré	Limon argileux brun foncé peu hétérogène, meuble + cailloux de granite	Fossé
TR 56	F 0833	-	0,45		0,56			Limon argileux brun/jaune	Limon argileux brun clair homogène, meuble + racines	Fossé
TR 56	F 0834	-	0,45		1,07			Limon argileux brun/jaune	Limon argileux brun foncé peu hétérogène, peu compact + racines	Fossé
TR 56	F 0835	-	0,67		0,78			Limon argileux brun/jaune	Limon argileux brun clair homogène, meuble	Fossé
TR 56	F 0836	-	0,47		0,95			Limon argileux brun/jaune	Limon argileux brun moyen peu hétérogène, meuble + racines, cailloux de granite	Fossé
TR 56	F 0837	-	0,3	1,75	0,9			Limon argileux brun/jaune	Limon argileux brun foncé peu hétérogène, meuble	Fosse
TR 57	F 0838	-	0,5			3,5				Autre
TR 57	F 0839	X	0,4			1	0,17	Limon argileux brun/jaune	Limon argileux brun clair peu hétérogène, meuble + poches charbonneuses, cailloux et blocs de granite	Foyer/four
TR 14	F 0840	-	0,3		0,66			limon argileux brun/jaune + macaschiste altéré	Limon argileux brun moyen homogène, meuble + cailloux de micaschiste et de quartz	Fossé
TR 14	F 0841	-	0,4		0,6			limon argileux brun/jaune + macaschiste altéré	Limon argileux brun moyen peu hétérogène, meuble + cailloux de micaschiste et de quartz	Fossé
TR 14	F 0842	-	0,4		1			limon argileux brun/jaune + macaschiste altéré	Limon argileux brun moyen homogène, meuble + cailloux de micaschiste	Fossé
TR 14	F 0843	-	0,5			0,54		limon argileux brun/jaune + macaschiste altéré	Limon argileux brun clair hétérogène, meuble + blocs de quartz	TP
TR 13	F 0844	-	0,45	2,5	0,7			Limon argileux brun/jaune + rares blocs de quartz	Limon argileux brun foncé hétérogène, meuble + cailloux et blocs de quartz	Fosse
TR 05	F 0845	-	0,4			0,26		limon argileux brun/jaune + cailloux de quartz	Limon argileux brun moyen homogène, meuble	TP
TR 05	F 0846	-	0,4			0,9		limon argileux brun/jaune + cailloux de quartz	Limon argileux brun foncé homogène, meuble	Fosse
TR 05	F 0847	-	0,47		0,63			limon argileux brun/jaune + cailloux de quartz	Limon argileux brun moyen homogène, meuble + cailloux de quartz et de schiste	Fossé
TR 02	F 0848	-	0,45			1,35		Limon argileux brun/jaune + cailloux de quartz + arène granitique	Limon argileux brun/noire foncé hétérogène, meuble	Impact d'obus
TR 53	F 0849	-	0,5	1,05	0,7			Limon argileux brun/orangé + poches d'arène granitique	Limon argileux brun moyen homogène, meuble	Fosse
TR 53	F 0850	-	0,5		0,7			Limon argileux brun/jaune + poches d'arène granitique	Limon argileux brun moyen homogène, meuble + cailloux de granite	Fossé
TR 57	F 0851	-						Limon argileux brun/jaune	Limon argileux brun foncé hétérogène, meuble + poches de substrat remanié	Fosse
TR 57	F 0852	-	0,45		0,92			Limon argileux brun/jaune + poche de granite altéré	Limon argileux brun foncé peu hétérogène, meuble + nombreuses racines, cailloux de granite	Fossé

Description	Attribution générale	Mobilier	Céramique	TCA	Lithique	Métal	Verre	Autre	Détail mobilier	Coupe	Coupe par	Egal à
	Indéterminé	-	-	-	-	-	-	-				
	Indéterminé	X	-	-	-	X	-	-	une dXlle			
	Indéterminé	-	-	-	-	-	-	-				
	Indéterminé	-	-	-	-	-	-	-				
	Période contemporaine	X	X	-	-	-	X	-				
	Indéterminé	-	-	-	-	-	-	-				
	Période contemporaine, cadastre napoléonien	-	-	-	-	-	-	-				F0853
	Période contemporaine, cadastre napoléonien	-	-	-	-	-	-	-				
	Période contemporaine, cadastre napoléonien	-	-	-	-	-	-	-				
	Période contemporaine, cadastre napoléonien	-	-	-	-	-	-	-				
	Période contemporaine	X	-	-	-	X	X	X	aluminum décomposé, semelle de chaussure, sacoche en cuir, plastique			
annulé, transformé en ISO 10	haut Moyen Age	-	X	-	-	-	-	-				
	Indéterminé	-	-	-	-	-	-	-				
	Indéterminé	-	-	-	-	-	-	-				
	Indéterminé	-	-	-	-	-	-	-				
	Indéterminé	-	-	-	-	-	-	-				
	Indéterminé	-	-	-	-	-	-	-				
	Indéterminé	-	-	-	-	-	-	-				
	Indéterminé	-	-	-	-	-	-	-				
	Période contemporaine	X	X	-	-	-	-	-				
	Indéterminé	-	-	-	-	-	-	-				
	Période contemporaine, Ile Guerre Mondiale	X	-	-	-	X	-	X	Fragment d'obus, ardoise			
	Indéterminé	-	-	-	-	-	-	-				
	Indéterminé	-	-	-	-	-	-	-				
	Période contemporaine	-	-	-	-	-	-	-				
	Période contemporaine, cadastre napoléonien	-	-	-	-	-	-	-				

Tranchée	Fait	Sondage	Niv. d'app <sup>ent</sup> (en m)	I (en m)	L (en m)	Diamètre (en m)	Profondeur	Encaissant	Remplissage	Interprétation
TR 57	F 0853	X	0,45		0,5		0,35	Limon argileux brun/jaune + poche de granite altéré	Limon argileux brun clair homogène, meuble	Fossé
TR 58	F 0854	-						Limon argileux brun/orangé	Limon argileux brun clair homogène, meuble	Fossé
TR 58	F 0855	X	0,35	0,94	0,6		0,07	Limon argileux brun/jaune + poches de granite altéré	Limon argileux brun/noire foncé très hétérogène, meuble + poches charbonneuses, cailloux et blocs de granite	Foyer/four
TR 58	F 0856	-	0,55		0,93			Limon argileux brun/jaune + poches de granite altéré	Limon argileux brun clair homogène, meuble	Fossé
TR 57	F 0857	-	0,4		1,05			granite altéré	Limon argileux brun moyen peu hétérogène, peu compact + racines, blocs et cailloux de granite	Fossé
TR 57	F 0858	-	0,36	1,54	1,1			Limon argileux brun/jaune + poche de granite altéré	Limon argileux brun/noire foncé hétérogène, meuble + petits cailloux de granite	Fosse
TR 58	F 0859	-	0,35		0,85			Limon argileux brun/jaune + poches de granite altéré	Limon argileux brun foncé hétérogène, meuble + racines, graviers	Fossé
TR 58	F 0860	-	0,35		1,4			Limon argileux brun/jaune + poches de granite altéré	Limon argileux brun foncé hétérogène, meuble + racines cailloux de granite	Fossé
TR 53	F 0861	-	0,4		1,43			Limon argileux brun/jaune + poches d'arène granitique	Limon argileux brun moyen homogène, meuble + cailloux de granite	Fossé
TR 53	F 0862	-	0,6	3,74	1,05			Limon argileux brun/jaune + poches d'arène granitique	Sable Beige moyen très hétérogène, meuble + arènegrnitique remanié , blocs de granite	Fosse
TR 53	F 0863	-	0,25			0,77		Limon argileux brun/jaune	Limon argileux brun foncé hétérogène, meuble	Impact d'obus
TR 58	F 0864	-	0,36			0,94		Limon argileux brun/jaune + poches de granite altéré	Limon argileux brun/gris foncé hétérogène, meuble + poches charbonneuses , graviers et cailloux de granite	Fosse
TR 58	F 0865	-	0,5	1,26	0,88			Limon argileux brun/jaune	Limon argileux brun moyen peu hétérogène, meuble	Fosse
TR 58	F 0866	-	0,4		0,78			Limon argileux brun/jaune	Limon argileux brun moyen homogène, meuble	Fossé
TR 57	F 0867	-	0,25		0,68			Limon argileux brun/jaune + poche de granite altéré	Limon argileux brun foncé hétérogène, peu compact + cailloux et blocs de granite	Fossé
TR 57	F 0868	-	0,3		0,7				Limon argileux brun moyen très hétérogène, meuble + blocs et cailloux de granite	Fossé
TR 59	F 0869	X	0,4			1,05	0,09	Limon argileux brun/orangé	Limon argileux brun moyen hétérogène, meuble + poches charbonneuses, blocs de granite chauffés	Foyer/four
TR 59	F 0870	-	0,4		0,86			Limon argileux brun/orangé	Limon argileux brun foncé peu hétérogène, meuble + racines et petits cailloux de granite	Fossé
TR 59	F 0871	X	0,35	1,2	0,82		0,1	Limon argileux brun/orangé	Limon argileux brun moyen hétérogène, meuble + poches charbonneuses, cailloux de granite chauffés	Foyer/four
TR 60	F 0872	-	0,3	2,44				Limon argileux brun/orangé + poches d'arène granitique	Limon argileux brun foncé hétérogène, compact	Fosse
TR 54	F 0873	-	0,35			0,67		Limon argileux brun/orangé + granite altere	Limon argileux brun foncé hétérogène, compact	Fosse
TR 60	F 0874	-	0,3			2,26		Limon argilo-sableux brun/orangé + poches d'arène granitique	Limon argileux brun clair à foncé hétérogène, meuble	Fosse
TR 60	F 0875	-	0,4	0,67	0,63			Limon argilo-sableux brun/orangé + poches d'arène granitique	Limon argileux brun foncé hétérogène, meuble	Fosse
TR 60	F 0876	-	0,4		0,58			Limon argilo-sableux brun/orangé + poches d'arène granitique	Limon argileux brun foncé peu hétérogène, meuble	Fossé
TR 60	F 0877	-	0,4		0,58			Limon argilo-sableux brun/orangé + poches d'arène granitique	Limon argileux brun foncé peu hétérogène, meuble	Fossé



Description	Attribution générale	Mobilier	Céramique	TCA	Lithique	Métal	Verre	Autre	Détail mobilier	Coupe	Coupe par	Egal à
	Moyen Age ?	X	X	-	-	-	-	-				F0833
	Période contemporaine, cadastre napoléonien	-	-	-	-	-	-	-				
	Indéterminé	-	-	-	-	-	-	-				
	Période contemporaine, cadastre napoléonien	-	-	-	-	-	-	-				
	Période contemporaine, cadastre napoléonien	-	-	-	-	-	-	-				
fosse charbonneuse	Indéterminé	-	-	-	-	-	-	-				
	Indéterminé	-	-	-	-	-	-	-				F0860
	Période contemporaine, cadastre napoléonien	-	-	-	-	-	-	-				F0859
	Indéterminé	-	-	-	-	-	-	-				
	Période contemporaine	-	-	-	-	-	-	-				
aluminum décomposée à proximité de la structure	Période contemporaine, Ile Guerre Mondiale	X	-	-	-	X	-	-	Fragment d'obus, cerclage			
fosse charbonneuse	Protohistoire	-	X	-	-	-	-	-				
	Indéterminé	-	-	-	-	-	-	-				
	Indéterminé	-	-	-	-	-	-	-				
	Période contemporaine	X	X	-	-	X	-	X	Ardoise			
	Période contemporaine	X	X	-	-	-	-	X	Ardoise			
	Indéterminé	-	-	-	-	-	-	-				
	Période contemporaine, cadastre napoléonien	-	-	-	-	-	-	-				
	Indéterminé	-	-	-	-	-	-	-				
fosse dépotoire	Période contemporaine	X	X	-	-	X	X	X	Ardoise, charbons			
fosse charbonneuse	Indéterminé	-	-	-	-	-	-	-				
fosse dépotoire	Période contemporaine	X	X	-	-	X	X	X	Ardoise			
	Indéterminé	-	-	-	-	-	-	-				
	Période contemporaine	-	-	-	-	-	-	-				F0880
	Période contemporaine	-	-	-	-	-	-	-				F0881

Tranchée	Fait	Sondage	Niv. d'app <sup>m</sup> (en m)	I (en m)	L (en m)	Diamètre (en m)	Profondeur	Encaissant	Remplissage	Interprétation
TR 60	F 0878	-	0,35	2,5	1,1			Limon argilo-sableux brun/orangé + poches d'arène granitique	Limon argilo-sableux brun moyen hétérogène, meuble + cailloux de granite	Fosse
TR 07	F 0879	-	0,28	0,67	0,38			limon argileux brun/jaune + arène granitique	Limon brun foncé hétérogène, meuble + arène granitique remanié	Fosse
TR 59	F 0880	-	0,34		0,58			Limon argileux brun/orangé	Limon argileux brun foncé hétérogène, peu compact + graviers	Fossé
TR 59	F 0881	-	0,3		0,45			Limon argileux brun/orangé	Limon argileux brun foncé hétérogène, meuble	Fossé
TR 60	F 0882	-	0,35		0,9			Limon argilo-sableux brun/orangé + poches d'arène granitique	Limon argileux brun/gris foncéfoncé peu hétérogène, meuble	Fossé
TR 60	F 0883	-	0,45	0,73	0,26			Limon argileux brun/orangé + poches de granite altéré	Limon argileux brun foncé homogène, meuble + racines	Fosse
TR 60	F 0884	X	0,5	1,1	0,78	0,13		Limon argileux brun/orangé + poches de granite altéré	Limon argileux brun foncé hétérogène, meuble + poches charbonneuses, blocs de granite chauffés	Foyer/four
TR 60	F 0885	-	0,3		0,54			Limon argileux brun/orangé + poches de granite altéré	Limon argileux brun moyen peu hétérogène, meuble + cailloux de granite	Fossé
TR 60	F 0886	-	0,3		0,7			Limon argileux brun/orangé + poches de granite altéré	Limon argileux brun moyen peu hétérogène, peu compact + graviers, cailloux et blocs de granite	Fossé
TR 60	F 0887	-	0,4		0,63			Limon argileux brun/orangé + poches de granite altéré	Limon argileux brun clair homogène, meuble + petits blocs de granite	Fossé
TR 60	F 0888	-	0,45		0,63			Limon argileux brun/orangé + poches de granite altéré	Limon argileux brun clair homogène, meuble + petits blocs de granite	Fossé
TR 59	F 0889	-	0,4		1,1			Limon argilo-sableux brun/orangé	Limon argileux brun moyen peu hétérogène, meuble + racines, cailloux de granite	Fossé
TR 59	F 0890	X	0,45		0,95	0,29		Limon argilo-sableux brun/orangé	Limon argileux brun clair homogène, meuble	Fossé
TR 59	F 0891	X	0,45		0,75	0,32		Limon argilo-sableux brun/orangé	Limon argileux brun clair homogène, meuble	Fossé
TR 59	F 0892	-	0,45		0,63			Limon argilo-sableux brun/orangé	Limon argileux brun clair homogène, meuble + cailloux de granite	Fossé
TR 61	F 0893	-	0,45		0,8			Limon argileux brun/ jaune + arène granitique	Limon argileux brun clair à foncé hétérogène, compact + cailloux de granite	Fossé
TR 61	F 0894	-	0,55	1,5	0,52			Limon argileux brun/ jaune + arène granitique	Limon argileux brun clair à foncé très hétérogène, compact + cailloux de granite	Fosse
TR 61	F 0895	-	0,55	3,9	0,83			Limon argileux brun/ jaune + arène granitique	Limon argileux brun foncé hétérogène, compact + cailloux de granite	Fosse
TR 61	F 0896	-	0,5		0,88			Limon argileux brun/ jaune + arène granitique	Limon argileux brun foncé homogène, peu compact + cailloux de granite	Fossé
TR 61	F 0897	-	0,43		0,73			Limon argileux brun/ jaune + arène granitique	Limon argileux brun foncé homogène, peu compact + cailloux de granite	Fossé
TR 61	F 0898	-	0,55	2,18	0,8			Limon argileux brun/ jaune + arène granitique	Limon argilo-sableux brun foncé peu hétérogène, meuble	Fossé
TR 61	F 0899	-	0,49	1,14	0,45			Limon argileux brun/ jaune + arène granitique	Limon argileux brun moyen homogène, meuble	Fosse
TR 61	F 0900	-	0,32	1,4	0,72			Limon argileux brun/ jaune + arène granitique	Limon argilo-sableux brun foncé hétérogène, meuble	Fosse
TR 61	F 0901	-	0,4		0,7			Limon argileux brun/ jaune + arène granitique	Limon argileux brun moyen homogène, meuble	Fossé
TR 61	F 0902	-	0,4		0,64			Limon argileux brun/ jaune + arène granitique	Limon argileux brun moyen homogène, meuble	Fossé
TR 61	F 0903	-	0,4	1,53	0,7			Limon argileux brun/ jaune + arène granitique	Limon argileux brun clair homogène, meuble + blocs de granite	Fosse

Description	Attribution générale	Mobilier	Céramique	TCA	Lithique	Métal	Verre	Autre	Détail mobilier	Coupe	Coupe par	Egal à
fosse avec squelette d'animal domestique (bovin)	Période contemporaine	X	-	-	-	-	-	X	faune			
	Période contemporaine	-	-	-	-	-	-	-				
	Indéterminé	-	-	-	-	-	-	-				F0876
	Indéterminé	-	-	-	-	-	-	-				F0877
	Indéterminé	-	-	-	-	-	-	-				
racine ? Sous la berme	bas Moyen Age / Période moderne	X	X	-	-	-	-	-	céramique vernissée verte			
	Indéterminé	-	-	-	-	-	-	-				
	Indéterminé	-	-	-	-	-	-	-				F0901, F0911, F0906
	Indéterminé	-	-	-	-	-	-	-				F0902, F0907
	Période gallo-romaine ?	-	-	-	-	-	-	-				
	Période gallo-romaine ?	-	-	-	-	-	-	-				
	Indéterminé	-	-	-	-	-	-	-				
	Période gallo-romaine ?	-	-	-	-	-	-	-				
	Période gallo-romaine ?	-	-	-	-	-	-	-				
	Période contemporaine	X	X	-	-	-	-	-				
	Période contemporaine	-	-	-	-	-	-	-				
	Période contemporaine	-	-	-	-	-	-	-				
	Période contemporaine	X	X	-	-	-	-	-				
	Période contemporaine	X	X	-	-	-	-	-				
	Période contemporaine	-	-	-	-	-	-	-				
avec excroissance	Indéterminé	-	-	-	-	-	-	-				
	Indéterminé	-	-	-	-	-	-	-				
	Période contemporaine	-	-	-	-	-	-	-				
	Indéterminé	-	-	-	-	-	-	-				F0885, F0906, F0911
	Indéterminé	-	-	-	-	-	-	-				F0886, F0907
	Indéterminé	-	-	-	-	-	-	-				

Tranchée	Fait	Sondage	Niv. d'app <sup>m</sup> (en m)	I (en m)	L (en m)	Diamètre (en m)	Profondeur	Encaissant	Remplissage	Interprétation
TR 61	F 0904	-	0,33		0,5			Limon argileux brun/ jaune + arène granitique	Limon argileux brun clair homogène, meuble	Fossé
TR 62	F 0905	-	0,37		0,47			Limon argileux brun/ jaune	Limon argileux brun moyen homogène, meuble	Fossé
TR 62	F 0906	-	0,37		1,32			Limon argileux brun/ jaune	Limon argileux brun/gris foncé homogène, meuble	Fossé
TR 62	F 0907	-	0,35		0,75			Limon argileux brun/ jaune	Limon argileux brun/gris moyen homogène, meuble	Fossé
TR 62	F 0908	-	0,45			1,16			Limon argileux brun foncé hétérogène, meuble	Impact d'obus
TR 62	F 0909	-	0,44		0,7			Limon argileux brun/ jaune	Limon argileux brun/gris moyen peu hétérogène, meuble	Fossé
TR 63	F 0910	X	0,4	2,2	1,64		0,13	Limon argileux brun/ jaune + poches d'arène granitique	Limon argileux brun moyen hétérogène, meuble + poches charbonneuses, traces de rubefaction, blocs de granite chauffés	Foyer/four
TR 63	F 0911	-	0,4		1,05			Limon argileux brun/ jaune + poches d'arène granitique	Limon brun/noire foncé homogène, meuble	Fossé
TR 63	F 0912	-	0,4		0,5			Limon argileux brun/ jaune + poches d'arène granitique	Limon argileux brun moyen peu hétérogène, meuble	Fossé
TR 63	F 0913	-	0,5	1,12	0,7			Limon argileux brun/ jaune + poches d'arène granitique	Limon argileux brun/noire foncé hétérogène, meuble	Fosse
TR 63	F 0914	-	0,4			0,54			Limon brun/noire moyen hétérogène, meuble	Impact d'obus
TR 26	F 0915	X	0,6	1	0,79		0,16	Limon argileux brun/jaune	Limon argilo-sableux brun moyen homogène, meuble + nombreux blocs de granite chauffé	Fosse
TR 66	F 0916	-	0,66	1,8	1,1			Limon argileux brun/ jaune + nombreux cailloux de granite = remblais	Limon brun/noire foncé hétérogène, meuble	Fosse
TR 65	F 0917	-	0,32			1,63		Limon argileux brun + affleurement de granite	Limon argileux brun/noire foncé peu hétérogène, peu compact + blocs de granite, poches charbonneuses	Foyer/four
TR 65	F 0918	-	0,28	2,25	1,03			Limon argileux brun + affleurement granitique	Limon argileux brun foncé peu hétérogène, peu compact + blocs de granite, poches charbonneuses	Foyer/four
TR 65	F 0919	-	0,36		0,5				Limon argileux brun foncé hétérogène, meuble + racines	Fossé
TR 65	F 0920	-	0,42		0,82			Limon argileux brun/jaune	Limon argileux brun moyen peu hétérogène, meuble	Extrémité de fosse
TR 66	F 0921	-	0,3		1,35			Limon argileux brun/ orangé + poches d'arène granitique	Limon argileux brun foncé hétérogène, meuble + blocs et cailloux de granite	Fossé
TR 66	F 0922	-	0,35		1,2			Limon argileux brun/ orangé + poches d'arène granitique	Limon argileux brun foncé peu hétérogène, meuble + blocs et cailloux de granite	Fossé
TR 66	F 0923	-	0,4		0,5			Limon argileux brun/ orangé + poches d'arène granitique	Limon argileux brun foncé hétérogène, meuble + graviers, cailloux de granite	Fossé
TR 65	F 0924	-	0,4	1,1	0,5			Limon argileux brun/jaune	Limon argilo-sableux brun foncé très hétérogène, meuble	Fosse
TR 65	F 0925	-	0,34		0,48			Limon argileux brun/jaune	Limon argileux brun moyen peu hétérogène, meuble	Fossé
TR 65	F 0926	-	0,3		0,42			Limon argileux brun/jaune	Limon argileux brun moyen peu hétérogène, meuble	Fossé
TR 65	F 0927	-	0,38		0,5			Limon argileux brun/jaune	Limon argileux brun moyen homogène, meuble	Fossé
TR 65	F 0928	-	0,4		0,37			Limon argileux brun/jaune	Limon argileux brun moyen homogène, meuble	Fossé

Description	Attribution générale	Mobilier	Céramique	TCA	Lithique	Métal	Verre	Autre	Détail mobilier	Coupe	Coupé par	Egal à
	Période gallo-romaine ?	-	-	-	-	-	-	-				
	Indéterminé	-	-	-	-	-	-	-				
	Indéterminé	-	-	-	-	-	-	-				F0901, F0911, F0885
	Indéterminé	-	-	-	-	-	-	-				F0886, F0902
	Période contemporaine, Ile Guerre Mondiale	X	X	-	-	X	-	-	Fragment d'obus, cerclage			
	Indéterminé	-	-	-	-	-	-	-				
	Indéterminé	-	-	-	-	-	-	-				
	Période contemporaine	-	-	-	-	-	-	-				F0906, F0885, F0901
	Indéterminé	-	-	-	-	-	-	-				
sous la berme	Période contemporaine, Ile Guerre Mondiale	X	-	-	-	X	-	-	grenade quadrillée US			
	Période contemporaine, Ile Guerre Mondiale	X	-	-	-	X	-	-				
	Campaniforme ?	-	-	-	-	-	-	-				
dans le remblais	Période contemporaine	X	X	-	-	-	X	X	faune bœuf ou cheval			
	Période gallo-romaine	X	X	-	-	-	-	-				
	Période gallo-romaine ?	-	-	-	-	-	-	-				
	Période contemporaine ?	-	-	-	-	-	-	-				
	Période gallo-romaine	X	X	-	-	-	-	-	TC			
	Période gallo-romaine ?	-	-	-	-	-	-	-				F0961
	Période contemporaine, cadastre napoléonien	-	-	-	-	-	-	-				
	Période contemporaine ?	X	-	-	-	-	X	-				
	Période contemporaine	-	-	-	-	-	-	-				
	Période gallo-romaine ?	-	-	-	-	-	-	-				F0938, F0939
	Période gallo-romaine ?	-	X	-	-	-	-	-				F0927
	Période gallo-romaine ?	-	-	-	-	-	-	-				F0926
	Période gallo-romaine ?	-	-	-	-	-	-	-				



Tranchée	Fait	Sondage	Niv. d'app <sup>en</sup> (en m)	I (en m)	L (en m)	Diamètre (en m)	Profondeur	Encaissant	Remplissage	Interprétation
TR 65	F 0929	-	0,36		0,32			Limon argileux brun/jaune	Limon argileux brun moyen homogène, meuble + rares cailloux de granite	Fossé
TR 66	F 0930	-	0,35		0,6			Limon argileux brun/ orangé + poches d'arène granitique	Limon argileux brun moyen peu hétérogène, meuble + graviers, cailloux de granite	Fossé
TR 66	F 0931	-	0,3		0,67			Limon argileux brun/ orangé + poches d'arène granitique	Limon argileux brun moyen peu hétérogène, meuble + graviers, cailloux de granite	Fossé
TR 66	F 0932	-	0,3	1	0,64			Limon argileux brun/ orangé + poches d'arène granitique	Limon argileux brun moyen peu hétérogène, meuble + graviers cailloux de granite	Extrémité de fosse
TR 66	F 0933	X	0,3		0,58		0,16	Limon argileux brun/ orangé + poches d'arène granitique	Limon argileux brun moyen peu hétérogène, meuble + graviers, cailloux de granite	Fossé
TR 66	F 0934	-	0,5			0,36		Limon argileux brun/ orangé + poches d'arène granitique	Limon argileux brun moyen peu hétérogène, meuble + graviers, cailloux de granite	TP
TR 66	F 0935	X	0,4		0,44		0,62	Limon argileux brun/ orangé + poches d'arène granitique	Limon sablo-argileux Beige clair très hétérogène, compact + arène granitique, pierres de granite	Autre
TR 66	F 0936	X	0,4		0,7		0,28	Limon argileux brun/ orangé + poches d'arène granitique	Limon argileux brun moyen peu hétérogène, meuble + poches charbonneuses	Fossé
TR 66	F 0937	-	0,38	0,7	0,26			Limon argileux brun/ orangé + poches d'arène granitique	Limon argileux brun moyen homogène, meuble	Fossé
TR 66	F 0938	-	0,44		0,34					Fossé
TR 66	F 0939	-	0,4		0,56			Limon argileux brun/ orangé	Limon argileux brun moyen peu hétérogène, meuble + graviers et cailloux de granite	Fossé
TR 66	F 0940	-	0,4		1,03			Limon argileux brun/ orangé	Limon argileux brun moyen peu hétérogène, meuble + inclusions d'oxidation, rares blocs de granite	Fossé
TR 66	F 0941	X	0,5		1,22		0,28	Limon argileux brun/ orangé	Limon argileux brun moyen peu hétérogène, meuble	Fossé
TR 66	F 0942	-	0,44		1,12			Limon argileux brun/ orangé	Limon argileux brun moyen peu hétérogène, meuble + inclusions d'oxidation rares blocs de granite	Fossé
TR 66	F 0943	-	0,45		0,6			Limon argileux brun/ orangé	Limon argileux brun moyen peu hétérogène, meuble	Fossé
TR 66	F 0944	-	0,46	0,63	0,52			Limon argileux brun/ orangé	Limon argileux brun moyen peu hétérogène, meuble	TP
TR 66	F 0945	-	0,47	0,59	0,56			Limon argileux brun/ orangé	Limon argileux brun moyen peu hétérogène, meuble	TP
TR 66	F 0946	-	0,47	0,67	0,65			Limon argileux brun/ orangé	Limon argileux brun moyen peu hétérogène, meuble	TP
TR 66	F 0947	-	0,47	0,63	0,63			Limon argileux brun/ orangé	Limon argileux brun moyen peu hétérogène, meuble	TP
TR 66	F 0948	-	0,34		0,68			Limon argileux brun/ orangé	Limon argileux brun moyen homogène, meuble + rares cailloux de granite	Fossé
TR 66	F 0949	-	0,35		0,75			Limon argileux brun/ orangé	Limon argileux brun moyen homogène, meuble	Fossé

Description	Attribution générale	Mobilier	Céramique	TCA	Lithique	Métal	Verre	Autre	Détail mobilier	Coupe	Coupe par	Egata
	Période gallo-romaine ?	-	-	-	-	-	-	-				
	Période gallo-romaine ?	-	-	-	-	-	-	-				F0964, F0970, F0965, F0932, F0966
	Période gallo-romaine	X	X	-	-	-	-	-				F0933, F0943
	Période gallo-romaine ?	-	-	-	-	-	-	-				F0931, F0933
	Période gallo-romaine ?	-	-	-	-	-	-	-				F0931
	Indéterminé	-	-	-	-	-	-	-				
câble métallique - gainé	Période contemporaine, Ile Guerre Mondiale	X	X	-	-	-	X	X	cable, faïence	<b>F0936,</b> <b>F0937</b>		F1048, F0978
	Protohistoire	X	X	X	-	-	-	-			F0935	F0937
	Période gallo-romaine ?	-	X	-	-	-	-	-			F0936, F0937	F0936, F0940, F0942
- enregistre	Période gallo-romaine ?	-	-	-	-	-	-	-				F0939, F0925
départ de fossé	Période gallo-romaine ?	-	-	-	-	-	-	-				F0925, F0938
	Période gallo-romaine	X	-	X	X	-	-	-	lest rainuré sur galet			F0936, F0937, F0942, F0953
fossé interrompu au NO, une petite fosse à coquillages à l'intérieur du fossé (diamètre 0,35 m)	Période gallo-romaine	X	X	-	-	-	-	X	dépôt coquillier			
	Période gallo-romaine ?	-	-	-	-	-	-	-				F0953, F0940, F0937
	Période gallo-romaine ?	-	-	-	-	-	-	-				F0933, F0931
grenier	Période gallo-romaine ?	-	-	-	-	-	-	-				
grenier	Période gallo-romaine ?	-	-	-	-	-	-	-				
grenier	Période gallo-romaine ?	-	-	-	-	-	-	-				
grenier	Période gallo-romaine ?	-	X	-	-	-	-	-				
	Période gallo-romaine ?	-	-	-	-	-	-	-				F0971, F0975
	Période gallo-romaine	X	X	-	-	-	-	-		<b>F0951</b>		F0972, F0957, F0960

Tranchée	Fait	Sondage	Niv. d'app <sup>min</sup> (en m)	I (en m)	L (en m)	Diamètre (en m)	Profondeur	Encaissant	Remplissage	Interprétation
TR 66	F 0950	-	0,35		0,83			Limon argileux brun/ orangé	Limon argileux brun moyen homogène, meuble + rares blocs de granite	Fossé
TR 66	F 0951	-	0,35			0,33		Limon argileux brun/ orangé	Limon argileux brun moyen peu hétérogène, meuble	TP
TR 66	F 0952	-	0,5	0,7	0,51			Limon argileux brun/ orangé	Limon argileux brun moyen peu hétérogène, meuble	TP
TR 66	F 0953	-	0,35		0,8			Limon argileux brun/ orangé	Limon argileux brun moyen peu hétérogène, meuble	Fossé
TR 66	F 0954	-	0,47	0,74	0,67			Limon argileux brun/ orangé	Limon argileux brun moyen peu hétérogène, meuble	TP
TR 66	F 0955	-	0,47	0,84	0,63			Limon argileux brun/ orangé	Limon argileux brun moyen peu hétérogène, meuble	TP
TR 66	F 0956	-								Autre
TR 69	F 0957	-	0,4		1,14			Limon argileux brun/ orangé	Limon argileux brun moyen peu hétérogène, meuble	Fossé
TR 69	F 0958	-	0,4		0,68			Limon argileux brun/ orangé	Limon argileux brun moyen homogène, meuble	Fossé
TR 69	F 0959	-	0,4		0,68			Limon argileux brun/ orangé	Limon argileux brun moyen homogène, meuble	Fossé
TR 69	F 0960	-	0,44		0,52			Limon argileux brun/ orangé	Limon argileux brun moyen homogène, meuble	Fossé
TR 67	F 0961	-	0,34		0,86			Limon argileux brun/jaune	Limon argileux brun moyen homogène, meuble + petits cailloux de granite	Fossé
TR 67	F 0962	-	0,32		1,03			Limon argileux brun/jaune	Limon brun foncé homogène, très meuble + rares cailloux de granite	Fossé
TR 67	F 0963	-	0,32		1,26			Limon argileux brun/jaune	Limon brun foncé peu hétérogène, très meuble + petits cailloux de granite	Fossé
TR 67	F 0964	-	0,4		0,87			Limon argileux brun/jaune	Limon argileux brun moyen homogène, meuble + rares graviers	Fossé
TR 67	F 0965	-	0,42		0,75			Limon argileux brun/jaune	Limon argileux brun moyen homogène, meuble	Fossé
TR 67	F 0966	-	0,44		0,73			Limon argileux brun/jaune	Limon argileux brun moyen homogène, meuble	Fossé
TR 67	F 0967	-	0,44	0,6	0,56			Limon argileux brun/jaune	Limon argileux brun moyen homogène, meuble	Fosse
TR 67	F 0968	-	0,44	1,14	0,76			Limon argileux brun/jaune	Limon argileux brun moyen homogène, meuble	Fosse
TR 68	F 0969	-	0,4	1,2	0,5			Limon argileux brun/jaune	Limon argilo-sableux brun moyen très hétérogène, meuble	Fosse
TR 68	F 0970	-	0,5		0,9			Limon argileux brun/jaune	Limon argileux brun moyen homogène, très meuble + racines	Fossé
TR 66	F 0971	X	0,24		0,9		0,43	Limon argileux brun/ orangé	Limon argileux brun moyen peu hétérogène, meuble	Fossé
TR 66	F 0972	X	0,26		1,1		0,47	Limon argileux brun/ orangé	Limon argileux brun moyen peu hétérogène, meuble	Fossé
TR 67	F 0973	-	0,5			0,47		Limon argileux brun/jaune	Limon argileux brun clair homogène, meuble	TP
TR 67	F 0974	-	0,46		0,56			Limon argileux brun/jaune	Limon argileux brun moyen homogène, meuble + rares blocs de granite	Fossé
TR 69	F 0975	-	0,4		0,8			Limon argileux brun/jaune	Limon argileux brun moyen homogène, meuble	Fossé

Description	Attribution générale	Mobilier	Céramique	TCA	Lithique	Métal	Verre	Autre	Détail mobilier	Coupe	Coupe par	Egal à
	Période gallo-romaine ?	-	-	-	-	-	-	-				
	Indéterminé	-	-	-	-	-	-	-			F0949	
grenier	Période gallo-romaine ?	-	-	-	-	-	-	-				
	Période gallo-romaine ?	-	-	-	-	-	-	-				F0940, F0942
grenier	Période gallo-romaine ?	-	-	-	-	-	-	-				
grenier	Période gallo-romaine ?	-	-	-	-	-	-	-				
annulé	Indéterminé	-	-	-	-	-	-	-				
forme un angle et part vers le Nord	Période gallo-romaine	-	X	-	-	-	-	-				F0949, F0960
	Période gallo-romaine ?	-	-	-	-	-	-	-				F0959
	Période gallo-romaine ?	-	-	-	-	-	-	-				F0958
	Période gallo-romaine ?	-	-	-	-	-	-	-				F0972, F0957, F0949
	Période gallo-romaine ?	-	-	-	-	-	-	-				F0820, F0821, F0921, F0814
	Période contemporaine, cadastre napoléonien	-	-	-	-	-	-	-				
	Période contemporaine, cadastre napoléonien	-	-	-	-	-	-	-				
	Période gallo-romaine ?	-	-	-	-	-	-	-				F0930
	Période gallo-romaine ?	X	-	-	-	-	-	X	un coquillage			F0966, F0970, F0930
	Période gallo-romaine	-	X	-	-	-	-	-				F0965, F0970, F0930
	Période gallo-romaine ?	-	-	-	-	-	-	-				F0968
	Période gallo-romaine ?	-	-	-	-	-	-	-				F0967
sous la berme	Période contemporaine	-	-	-	-	-	-	-				
	Période gallo-romaine ?	-	-	-	-	-	-	-				F0965, F0966, F0930
	Période gallo-romaine ?	-	-	-	-	-	-	-				F0948, F0974, F0975
	Période gallo-romaine ?	-	-	-	-	-	-	-				F0949, F0957, F0960
	Indéterminé	-	-	-	-	-	-	-				
angle	Période gallo-romaine ?	-	-	-	-	-	-	-				F0941, F0971, F0975
	Protohistoire	-	-	-	-	-	-	-				F0941, F0948, F0971, F0974

Tranchée	Fait	Sondage	Niv. d'app <sup>m</sup> (en m)	I (en m)	L (en m)	Diamètre (en m)	Profondeur	Encaissant	Remplissage	Interprétation
TR 68	F 0976	-	0,57		0,27			Limon argileux brun/jaune	Limon argileux brun foncé hétérogène, meuble	Fossé
TR 70	F 0977	-	0,3		0,77			Limon argileux brun/jaune	Limon argileux brun moyen peu hétérogène, meuble	Fossé
TR 70	F 0978	-	0,22		0,42			Limon argileux brun/jaune	Limon sableux brun moyen très hétérogène, meuble	Autre
TR 70	F 0979	-	0,36		0,95			Limon argileux brun/jaune	Limon brun/noire foncé hétérogène, meuble + racines	Fossé
TR 70	F 0980	-	0,35		0,84			Limon argileux brun/jaune	Limon argileux brun clair homogène, meuble	Fossé
TR 70	F 0981	-	0,3		1,2			Limon argileux brun/jaune	Limon argileux brun foncé peu hétérogène, meuble + racines	Fossé
TR 70	F 0982	-	0,4		1,4			Limon argileux brun/jaune	Limon argileux brun foncé peu hétérogène, meuble + racines	Fossé
TR 70	F 0983	-	0,48	1,5	0,94			Limon argileux brun/jaune	Limon argileux brun foncé peu hétérogène, meuble	Chablis
TR 70	F 0984	-	0,5			0,45		Limon argileux brun/jaune	Limon argileux brun clair homogène, meuble	TP
TR 70	F 0985	-	0,45		1,23			Limon argileux brun/jaune	Limon argileux brun moyen homogène, meuble	Fossé
TR 70	F 0986	-	0,4		1,14			Limon argileux brun/jaune	Limon argileux brun moyen homogène, meuble + rares petits cailloux de granite	Fossé
TR 70	F 0987	-	0,4	2,24	0,97			Limon argileux brun/jaune	Limon argilo-sableux brun moyen très hétérogène, meuble + arène granitique, cailloux de granite	Fosse
TR 70	F 0988	-	0,44		0,73			Limon argileux brun/jaune	Limon argileux brun moyen homogène, meuble + racines	Fossé
TR 70	F 0989	X	0,34			0,5		Limon argileux brun/jaune	Limon argileux brun moyen homogène, meuble	TP
TR 70	F 0990	X	0,32	177	1,86		0,49	Limon argileux brun/jaune	Limon argileux brun/orange moyen peu hétérogène, meuble	Fosse
TR 70	F 0991	-	0,5	1,47	0,57			Limon argileux brun/jaune	Limon argileux brun/orange moyen peu hétérogène, meuble	Extrémité de fosse
TR 70	F 0992	-	0,57			0,8		Limon argileux brun/jaune	Limon argileux brun moyen peu hétérogène, meuble + blocs de granite, posés sur l'argile compacte brun/jaune clair avec des charbons	TP
TR 47	F 0993	-	0,4		1,45			Limon argileux brun/jaune + cailloux de quartz + poches d'arène granitique	Limon argileux brun moyen peu hétérogène, meuble	Fossé
TR 47	F 0994	-	0,53	0,59	0,44			Limon argileux brun/jaune + cailloux de quartz + poches d'arène granitique	Limon argileux brun foncé homogène, meuble	Fosse
TR 71	F 0995	-	0,4		0,68			Limon argileux brun/jaune	Limon argileux brun moyen homogène, meuble + zones rubefié	Fossé
TR 71	F 0996	-	0,42			0,75		Limon argileux brun/jaune	Limon argileux brun/noire foncé peu hétérogène, meuble + poches charbonneuses, cailloux de granite chauffés	Fosse
TR 71	F 0997	-	0,45	0,54	0,52			Limon argileux brun/jaune	Limon argileux brun clair homogène, meuble + cailloux de quartz	TP
TR 71	F 0998	-	0,4		0,45			Limon argileux brun/jaune	Limon argileux brun moyen homogène, peu compact + beaucoup de graviers	Fossé
TR 71	F 0999	X	0,42	0,56	0,55		0,19	Limon argileux brun/jaune	Limon argileux brun clair homogène, meuble	TP
TR 71	F 1000	X	0,4		0,9		0,32	Limon argileux brun/jaune	Limon argileux brun clair homogène, meuble + cailloux et petits blocs de granite	Fossé
TR 71	F 1001	X	0,47		1,8		0,62	Limon argileux brun/jaune	Limon argileux brun moyen homogène, meuble + cailloux de quartz	Fossé
TR 71	F 1002	-	0,42			0,44		Limon argileux brun/jaune	Limon argileux brun clair homogène, meuble	TP



Description	Attribution générale	Mobilier	Céramique	TCA	Lithique	Métal	Verre	Autre	Détail mobilier	Coupe	Coupe par	Egal à
sous la berme	Période contemporaine	-	-	-	-	-	-	-				
	Protohistoire	-	-	-	-	-	-	-				
le cable	Période contemporaine, Ile Guerre Mondiale	-	-	-	-	-	-	-				F1048, F0935
	Période Contemporaine	X	-	-	-	-	X	-				
	Période gallo-romaine ?	-	-	-	-	-	-	-				
	Période contemporaine, cadastre napoléonien	-	-	-	-	-	-	-				
	Période Contemporaine	-	-	-	-	-	-	-				
sous la berme	Période Contemporaine ?	-	-	-	-	-	-	-				
	Période gallo-romaine ?	-	-	-	-	-	-	-				
	Période gallo-romaine	X	-	X	-	-	-	-	tegulae			F1000, F0995
	Période gallo-romaine ?	-	-	-	-	-	-	-				F0998
	Période Contemporaine	-	-	-	-	-	-	-				
	Indéterminé	-	-	-	-	-	-	-				
avec calage de blocs de granite et de quartz mais pas de creusement visible	Période gallo-romaine ?	-	-	-	-	-	-	-				
	Indéterminé	-	-	-	-	-	-	-				
	Période gallo-romaine	X	X	-	-	-	-	-				
avec calage, perturbé par les labours	Période gallo-romaine ?	-	-	-	-	-	-	-				
forme un angle avec F758	Période gallo-romaine ?	-	-	-	-	-	-	-				F0763, F1001
	Période gallo-romaine ?	-	-	-	-	-	-	-				
forme un angle avec F1000	Période gallo-romaine	X	X	-	-	-	-	-				F0985, F1000
fosse charbonneuse	Période gallo-romaine ?	-	-	-	-	-	-	-				
	Période gallo-romaine ?	-	-	-	-	-	-	-				
sous la berme	Période gallo-romaine ?	-	-	-	-	-	-	-				F0986
	Période gallo-romaine ?	-	-	-	-	-	-	-				
	Période gallo-romaine	X	X	-	-	-	-	-	TC			F0985, F0995
plusieurs recreusements	Période gallo-romaine	X	X	X	-	-	-	-				F0763, F0993
	Période gallo-romaine	-	-	-	-	-	-	-				

Tranchée	Fait	Sondage	Niv. d'app <sup>m</sup> (en m)	I (en m)	L (en m)	Diamètre (en m)	Profondeur	Encaissant	Remplissage	Interprétation
TR 72	F 1003	-	0,5		0,54			Limon argileux brun claire	Limon argileux brun moyen homogène, meuble	Fossé
TR 72	F 1004	-	0,46		0,66			Limon argileux brun claire	Limon argileux brun moyen homogène, meuble	Fossé
TR 73	F 1005	-	0,38		1			Limon argileux brun claire	Limon argileux brun moyen homogène, meuble	Fossé
TR 74	F 1006	-	0,45	1,27	0,26			Limon argileux brun claire	Limon argileux brun foncé très hétérogène, meuble + poches d'arène granitique	Fosse
TR 74	F 1007	-	1,2	1,4	0,5				Limon argileux brun foncé très hétérogène, meuble + poches d'arène granitique	Fosse
TR 77	F 1008	-	0,8		0,8			Limon argileux brun/jaune + cailloux de granite + poches d'arène granitique	Limon brun/noire foncé hétérogène, meuble + racines	Fossé
TR 77	F 1009	-	0,6			0,38		Limon argileux brun/jaune + cailloux de granite + poches d'arène granitique	Limon argileux brun moyen homogène, meuble	TP
TR 77	F 1010	-	0,3	0,77	0,6			Limon argileux brun/jaune + cailloux de granite + poches d'arène granitique	Limon argilo-sableux brun foncé très hétérogène, meuble + blocs de granite	Fosse
TR 77	F 1011	-	0,54			1,62		Limon argileux brun/jaune + cailloux de granite + poches d'arène granitique	Limon argileux brun foncé homogène, meuble + blocs de granite	Fosse
TR 77	F 1012	-	0,35		0,78			Limon argileux brun/jaune + cailloux de granite + poches d'arène granitique	Limon argileux brun foncé homogène, meuble + graviers et cailloux de granite, racines	Fossé
TR 77	F 1013	-	0,44	0,84				Limon argileux brun/jaune + cailloux de granite + poches d'arène granitique	Limon argileux brun foncé hétérogène, meuble + racines cailloux de granite	Fosse
TR 77	F 1014	-	0,38		1			Limon argileux brun/jaune + cailloux de granite + poches d'arène granitique	Limon argileux brun foncé peu hétérogène, meuble + racines	Fossé
TR 77	F 1015	-	0,47	1,33	0,67			Limon argileux brun/jaune + cailloux de granite + poches d'arène granitique	Limon argilo-sableux brun foncé très hétérogène, meuble + blocs de granite	Fosse
TR 77	F 1016	-	0,32	1,4				Limon argileux brun/jaune + cailloux de granite + poches d'arène granitique	Limon argileux brun foncé peu hétérogène, peu compact	Fosse
TR 77	F 1017	-	0,4		0,82			Limon argileux brun/jaune + cailloux de granite + poches d'arène granitique	Limon argileux brun foncé homogène, meuble	Fossé
TR 77	F 1018	X	0,38	2,2	1,67	0,25		Limon argileux brun/jaune + cailloux de granite + poches d'arène granitique	Limon argileux brun foncé hétérogène, meuble	Fosse
TR 77	F 1019	-	0,45		0,7			Limon argileux brun/jaune + cailloux de granite + poches d'arène granitique	Limon argileux brun foncé peu hétérogène, meuble	Fossé
TR 77	F 1020	X	0,44	2,12	1,2	0,15		Limon argileux brun/jaune + cailloux de granite + poches d'arène granitique	Limon argilo-sableux brun foncé hétérogène, meuble + graviers et cailloux de granite	Fosse
TR 77	F 1021	-	0,36		0,85			Limon argileux brun/jaune + cailloux de granite + poches d'arène granitique	Limon argileux brun foncé hétérogène, meuble + graviers et cailloux de granite	Fossé
TR 77	F 1022	-	0,35		1,4			Limon argileux brun/jaune + cailloux de granite + poches d'arène granitique	Limon argileux brun foncé peu hétérogène, peu compact	Fossé
TR 77	F 1023	-	0,36			1,2		Limon argileux brun/jaune + poches d'arène granitique	Limon argileux brun foncé peu hétérogène, meuble	Impact d'obus

Description	Attribution générale	Mobilier	Céramique	TCA	Lithique	Métal	Verre	Autre	Détail mobilier	Coupe	Coupe par	Egal à
	Indéterminé	-	-	-	-	-	-	-				
	Indéterminé	-	-	-	-	-	-	-				
	Indéterminé	-	-	-	-	-	-	-				
sous la berme	Période Contemporaine	-	-	-	-	-	-	-				
	Période Contemporaine	X	X	-	-	-	-	-				
	Période Contemporaine	-	-	-	-	-	-	-				
	Indéterminé	-	-	-	-	-	-	-				
sous la berme	Période Contemporaine	X	-	-	-	X	X	-				
	Indéterminé	-	-	-	-	-	-	-				
	Période contemporaine, cadastre napoléonien	-	-	-	-	-	-	-				
sous la berme	Indéterminé	-	-	-	-	-	-	-				
	Période contemporaine, cadastre napoléonien	-	-	-	-	-	-	-				
	Période Contemporaine	-	-	-	-	-	-	-				
sous la berme	Indéterminé	-	-	-	-	-	-	-				
	Période contemporaine, cadastre napoléonien	-	-	-	-	-	-	-				
	Période contemporaine, Ile Guerre Mondiale	X	-	-	X	X	-	-	casque allemand, bloc roulé en grès armoricain	<b>F1019,</b> <b>F1022</b>		
	Période contemporaine, cadastre napoléonien	-	-	-	-	-	-	-			F1018, F1020	F1021, F1022
	Période Contemporaine	-	-	-	-	-	-	-		<b>F1019,</b> <b>F1021</b>		
	Période contemporaine, cadastre napoléonien	-	-	-	-	-	-	-			F1020	F1022, F1019
	Période contemporaine, cadastre napoléonien	-	-	-	-	-	-	-			F1018	F1021, F1019
	Période contemporaine, Ile Guerre Mondiale	X	X	-	-	X	-	-	Fragment d'obus, cerclage			

Tranchée	Fait	Sondage	Niv. d'app <sup>tm</sup> (en m)	I (en m)	L (en m)	Diamètre (en m)	Profondeur	Encaissant	Remplissage	Interprétation
TR 77	F 1024	-	0,5	0,87	0,6			Limon argileux brun/jaune + poches d'arène granitique	Limon argilo-sableux brun moyen très hétérogène, meuble	Impact d'obus
TR 78	F 1025	-	0,36			1,24		Limon argileux brun/jaune	Limon argileux brun foncé peu hétérogène, meuble	Impact d'obus
TR 78	F 1026	-	0,48			0,3		Limon argileux brun/jaune	Limon argileux brun moyen homogène, meuble	TP
TR 78	F 1027	-	0,46	2,27	1,1			Limon argileux brun/jaune	Limon argileux brun moyen homogène, meuble + rares graviers de granite	
TR 78	F 1028	-	0,46			0,5		Limon argileux brun/jaune	Limon argileux brun moyen homogène, meuble + rares graviers de granite	TP
TR 78	F 1029	-	0,57			0,5		Limon argileux brun/jaune + poches d'arène granitique	Limon argileux brun foncé homogène, meuble + rares graviers	TP
TR 78	F 1030	-	0,39		0,84			Limon argileux brun/jaune + poches d'arène granitique	Limon argileux brun foncé homogène, peu compact	Fossé
TR 78	F 1031	-	0,38		0,64			Limon argileux brun/jaune + poches d'arène granitique	Limon argileux brun foncé peu hétérogène, meuble + rares graviers	Fossé
TR 78	F 1032	-	0,3		0,61			Limon argileux brun/jaune + poches d'arène granitique	Limon argileux brun foncé homogène, meuble	Fossé
TR 78	F 1033	-	0,36		0,47			Limon argileux brun/jaune + poches d'arène granitique	Limon argileux brun clair homogène, meuble	Extrémité de fosse
TR 78	F 1034	-	0,32	1,2	0,96			Limon argileux brun/jaune	Limon argileux brun moyen homogène, meuble	Fosse
TR 78	F 1035	-	0,28	1,22	0,44				Limon argileux brun moyen hétérogène, meuble	Impact d'obus
TR 78	F 1036	-	0,45		0,84			Limon argileux brun/jaune	Limon argileux brun foncé homogène, meuble	Extrémité de fosse
TR 78	F 1037	-	0,38		0,41			Limon argileux brun/jaune	Limon argileux brun foncé peu hétérogène, meuble	Fossé
TR 78	F 1038	-	0,37		0,95			Limon argileux brun/jaune	Limon argileux brun foncé peu hétérogène, meuble + petits cailloux de granite	Fossé
TR 78	F 1039	-	0,58			0,34		Limon argileux brun/jaune	Limon argileux brun clair homogène, meuble	TP
TR 78	F 1040	-	0,5			0,25		Limon argileux brun/jaune	Limon argileux brun clair homogène, meuble	TP
TR 78	F 1041	-	0,5			0,29		Limon argileux brun/jaune	Limon argileux brun moyen homogène, meuble	TP
TR 78	F 1042	X	0,47			0,31	0,13	Limon argileux brun/jaune	Limon argileux brun moyen homogène, meuble	TP
TR 78	F 1043	X	0,5			0,29	0,05	Limon argileux brun/jaune	Limon argileux brun moyen homogène, meuble	TP
TR 78	F 1044	X	0,43			0,31	0,08	Limon argileux brun/jaune	Limon argileux brun moyen homogène, meuble	TP
TR 78	F 1045	-	0,48			0,29		Limon argileux brun/jaune	Limon argileux brun moyen homogène, meuble	TP
TR 78	F 1046	-	0,5	1,14	0,7			Limon argileux brun/jaune	Limon brun foncé homogène, meuble	Fosse
TR 78	F 1047	-	0,4		0,52			Limon argileux brun/jaune	Limon argileux brun foncé peu hétérogène, meuble	Fossé
TR 66	F 1048	-	0,26		0,52			Limon argileux brun/jaune	Limon sablo-argileux brun moyen très hétérogène, meuble	Fossé
TR 78	F 1049	-	0,5	1,5	1			Limon argileux brun/jaune	Limon argileux brun foncé hétérogène, meuble + cailloux de granite	Impact d'obus
TR 78	F 1050	-	0,5	1	0,57			Limon argileux brun/jaune	Limon brun foncé très hétérogène, meuble + poches de substrat remanié	Fosse
TR 78	F 1051	-	0,4	1,46	0,83			Limon argileux brun/jaune	Limon argileux brun foncé peu hétérogène, meuble + petits cailloux de granite	Fosse
TR 78	F 1052	-	0,4	1,46	0,83			Limon argileux brun/jaune	Limon argileux brun foncé peu hétérogène, meuble + petits cailloux de granite	Fosse
TR 78	F 1053	-	0,49		0,9			Limon argileux brun/jaune	Limon argileux brun moyen peu hétérogène, peu compact + rares graviers granite	Fossé
TR 78	F 1054	-	0,38	1,84	1,3			Limon argileux brun/jaune	Limon argileux brun moyen peu hétérogène, peu compact + poches charbonneuses, graviers et cailloux de granite	Fosse
TR 78	F 1055	-	0,34		0,46			Limon argileux brun/jaune	Limon argileux brun clair peu hétérogène, meuble + rares graviers	Fossé

Description	Attribution générale	Mobilier	Céramique	TCA	Lithique	Métal	Verre	Autre	Détail mobilier	Coupe	Coupe par	Egal à
	Période contemporaine, Ite Guerre Mondiale	X	-	-	-	X	-	-	Fragment d'obus			
	Période contemporaine, Ite Guerre Mondiale	X	-	-	-	X	-	-	cerclage et une balle de fusil			
	Indéterminé	-	-	-	-	-	-	-				
	Indéterminé	-	-	-	-	-	-	-				
	Indéterminé	-	-	-	-	-	-	-				
	Indéterminé	-	-	-	-	-	-	-				
	Période Contemporaine	-	-	-	-	-	-	-				
	Indéterminé	-	-	-	-	-	-	-				
	Indéterminé	-	-	-	-	-	-	-				
fossé partiellement arasé?	Indéterminé	-	-	-	-	-	-	-				
sous la berme	Indéterminé	-	-	-	-	-	-	-				
sous la berme	Période contemporaine, Ite Guerre Mondiale	X	X	-	-	X	-	-	Fragment d'obus ; céramique			
	Indéterminé	-	-	-	-	-	-	-				
	Période contemporaine, cadastre napoléonien	-	-	-	-	-	-	-				
	Période contemporaine, cadastre napoléonien	-	-	-	-	-	-	-				
	Indéterminé	-	-	-	-	-	-	-				
	Indéterminé	-	-	-	-	-	-	-				
	Indéterminé	-	-	-	-	-	-	-				
	Indéterminé	-	-	-	-	-	-	-				
	Indéterminé	-	-	-	-	-	-	-				
	Indéterminé	-	-	-	-	-	-	-				
	Période Contemporaine	-	-	-	-	-	-	-				
	Période Contemporaine	-	-	-	-	-	-	-				
cable métallique	Période contemporaine, Ite Guerre Mondiale ?	X	-	-	-	-	X	-				F0935, F0978
	Période contemporaine, Ite Guerre Mondiale	X	-	-	-	X	-	X	Ardoise			
	Période Contemporaine	-	-	-	-	-	-	-				
sous la berme	Période Contemporaine	-	-	-	-	-	-	-				
sous la berme	Période Contemporaine	-	-	-	-	-	-	-				
	Indéterminé	-	-	-	-	-	-	-				
	Indéterminé	-	-	-	-	-	-	-				
	Indéterminé	-	-	-	-	-	-	-				F1056



Tranchée	Fait	Sondage	Niv. d'app <sup>m</sup> (en m)	I (en m)	L (en m)	Diamètre (en m)	Profondeur	Encaissant	Remplissage	Interprétation
TR 78	F 1056	-	0,3		0,33			Limon argileux brun/jaune	Limon argileux brun clair peu hétérogène, meuble + rares graviers	Fossé
TR 78	F 1057	-	0,34		0,97			Limon argileux brun/jaune	Limon argileux brun foncé homogène, peu compact + cailloux de granite	Fossé
TR 78	F 1058	-	0,4		1,12			Limon argileux brun/jaune	Limon argileux brun foncé peu hétérogène, peu compact + cailloux de granite	Fossé
TR 78	F 1059	-	0,37		0,2			Limon argileux brun/jaune	Limon argileux brun moyen peu hétérogène, peu compact	Extrémité de fosse
TR 78	F 1060	-	0,5			0,77		Limon argileux brun/jaune	Limon brun moyen peu hétérogène, très meuble + cailloux de granite, très organique	Impact d'obus
TR 78	F 1061	-	0,5		2,27			Limon argileux brun/jaune	Limon argileux brun moyen hétérogène, meuble	Extrémité de fosse
TR 78	F 1062	-	0,5	1,6	0,6			Limon argileux brun/jaune	Limon sablo-argileux brun moyen très hétérogène, meuble + poches d'arène granitique	Fosse
TR 78	F 1063	-	0,6		1			Limon argileux brun/jaune	Limon argileux brun foncé homogène, meuble	Fossé
TR 77	F 1064	-	0,56		0,64			Limon argileux brun/jaune	Limon argileux brun clair homogène, meuble	Fossé
TR 77	F 1065	-	0,76		0,32			Limon argileux brun/jaune	Limon argilo-sableux brun moyen homogène, meuble	Fossé
TR 77	F 1066	-	0,54	4,3	1,35			Limon argileux brun/jaune	Limon argilo-sableux brun moyen hétérogène, compact	Autre
TR 80	F 1067	-	0,44	0,57	0,26			Limon argileux brun/jaune	Limon argilo-sableux brun foncé très hétérogène, meuble + poches d'arène granitique	Fosse
TR 80	F 1068	-	0,5	0,57	0,48			Limon argileux brun/jaune	Limon argilo-sableux brun foncé très hétérogène, meuble + poches d'arène granitique	Fosse
TR 80	F 1069	-	0,5	1,15	0,52			Limon argileux brun/jaune	Limon argilo-sableux; Sable brun foncé très hétérogène, meuble + poches d'arène granitique	Fosse
TR 39	F 1070	-	0,36	1,2	1,1			Limon argileux brun/jaune	Limon argileux brun moyen homogène, meuble + blocs de granite chauffés	Foyer/four
TR 39	F 1071	-	0,36			1,35		Limon argileux brun/jaune	Limon argileux brun moyen homogène, meuble + blocs de granite chauffés	Foyer/four
TR 39	F 1072	-	0,36	1	0,9			Limon argileux brun/jaune + granite (roche)	Limon argileux brun moyen homogène, meuble + blocs de granite rubefiés	Foyer/four
TR 39	F 1073	-	0,36			0,24		Limon argileux brun/jaune	Limon argileux brun foncé hétérogène, meuble + cailloux de granite	TP
TR 39	F 1074	-	0,36			0,41		Limon argileux brun/jaune	Limon argileux brun foncé peu hétérogène, meuble + cailloux de granite	TP
TR 39	F 1075	-	0,36	1,24	0,77			Limon argileux brun/jaune	Limon argileux brun foncé très hétérogène, peu compact + poches charbonneuses	Autre
TR 39	F 1076	-	0,36	0,8	0,65			Limon argileux brun/jaune	Limon argileux brun foncé peu hétérogène, meuble + cailloux de granite	Fosse
TR 39	F 1077	-	0,4	1,28	0,7			Limon argileux brun/jaune	Limon argileux brun moyen peu hétérogène, meuble + poches charbonneuses, blocs de granite chauffés	Foyer/four
TR 39	F 1078	X	0,3			0,34	0,15	Limon argileux brun/jaune	Limon argileux brun/noire foncé peu hétérogène, meuble	Sépulture
TR 07	F 1079	-	0,28			0,7		Limon argileux brun/jaune	Limon sableux brun foncé hétérogène, compact + blocs et cailloux de granite, graviers	TP
TR 07	F 1080	-	0,28			0,4		Limon argileux brun/jaune	Limon argileux brun foncé hétérogène, peu compact + bloc de granite	TP

Description	Attribution générale	Mobilier	Céramique	TCA	Lithique	Métal	Verre	Autre	Détail mobilier	Coupe	Coupe par	Egal à
	Indéterminé	-	-	-	-	-	-	-				F1055
	Période contemporaine, cadastre napoléonien	-	-	-	-	-	-	-				
	Période contemporaine, cadastre napoléonien	-	-	-	-	-	-	-				
	Période Contemporaine	-	-	-	-	-	-	-				
	Période contemporaine, Ile Guerre Mondiale	-	-	-	-	-	-	-				
	Période Contemporaine	X	X	-	-	-	-	-	porcelaine			
	Période Contemporaine	-	-	-	-	-	-	-				
antérieur au niveau de remblais	Période Contemporaine	-	-	-	-	-	-	-				
sous la berme	Indéterminé	-	-	-	-	-	-	-				
	Indéterminé	-	-	-	-	-	-	-				
remblais sous la berme	Période Contemporaine	X	X	-	-	X	X	-				
sous la berme	Période Contemporaine	-	-	-	-	-	-	-				
sous la berme	Période Contemporaine	-	-	-	-	-	-	-				
	Période Contemporaine	-	-	-	-	-	-	-				
	Néolithique moyen 2 ?	X	X	-	-	-	-	-				
datation 14C	Néolithique moyen 2	X	X	-	-	-	-	-	fragment coupe à socle décorée			
	Néolithique moyen 2 ?	-	-	-	-	-	-	-				
	Indéterminé	-	-	-	-	-	-	-				
avec calage	Indéterminé	-	-	-	-	-	-	-				
aire rubéfiée	Indéterminé	X	X	-	-	X	-	-	clous			
fosse charbonneuse	Indéterminé	X	-	-	-	-	-	X	ardoise			
	Néolithique moyen 2 ?	-	-	-	-	-	-	-				
urne funéraire très arasée, diamètre de l'urne 0,16 m	Période gallo-romaine	X	X	-	-	-	-	X	ossements brûlés			
	Indéterminé	X	X	-	-	-	-	-				F0212
	Indéterminé	-	-	-	-	-	-	-				

Tranchée	Fait	Sondage	Niv. d'app <sup>en</sup> (en m)	I (en m)	L (en m)	Diamètre (en m)	Profondeur	Encaissant	Remplissage	Interprétation
TR 04	F 1081	-	0,45		0,77			Limon argileux brun/jaune	Limon argileux brun foncé hétérogène, meuble	Fossé
TR 04	F 1082	-	0,38		0,94			Limon argileux brun/jaune	Limon argileux brun foncé hétérogène, peu compact + poches de substrat remanié	Fossé
TR 04	F 1083	-	0,47		0,8			Limon argileux brun/jaune	Limon argileux brun moyen homogène, meuble	Fossé
TR 04	F 1084	-	0,44		0,55			Limon argileux brun/jaune	Limon argileux brun moyen homogène, meuble	Fossé
TR 04	F 1085	-	0,38		0,55			Limon argileux brun/jaune	Limon argileux brun/gris moyen hétérogène, meuble + cailloux de granite	Fossé
TR 04	F 1086	-	0,38		0,73			Limon argileux brun/jaune	Limon argileux brun foncé homogène, meuble + cailloux de granite	Fossé
TR 04	F 1087	-						Limon argileux brun/jaune	Limon argileux brun foncé homogène, meuble + cailloux de granite	Fossé
TR 04	F 1088	-	0,38		1,35			Limon argileux brun/jaune	Limon argileux brun/gris moyen hétérogène, meuble	Autre
TR 04	F 1089	-	0,45		0,64			Limon argileux brun/jaune	Limon argileux brun foncé peu hétérogène, peu compact	Fossé
TR 04	F 1090	-	0,38	0,5	0,42			Limon argileux brun/jaune	Limon argileux brun foncé homogène, meuble	TP
TR 04	F 1091	-	0,38	0,91	0,8			Limon argileux brun/jaune	Limon argileux brun moyen peu hétérogène, meuble	Fosse
TR 04	F 1092	-	0,38			0,28		Limon argileux brun/jaune	Limon argileux brun foncé homogène, meuble	TP
TR 04	F 1093	-	0,38	0,5	0,45			Limon argileux brun/jaune	Limon argileux brun moyen homogène, meuble	TP
TR 04	F 1094	X	0,5	1	0,78		0,31	Limon argileux brun/jaune	Limon argileux brun moyen homogène, meuble + cailloux de quartz et de granite	Fosse
TR 04	F 1095	X	0,5			0,46	0,5	Limon argileux brun/jaune	Limon argileux brun moyen homogène, meuble + blocs de granite	TP
TR 04	F 1096	-	0,38		1,33			Limon argileux brun/jaune	Limon argileux brun moyen hétérogène, meuble	Autre
TR 07	F 1097	-	0,37		0,66			Limon argileux brun/jaune	Limon argileux brun foncé hétérogène, meuble + cailloux et blocs de granite	Fossé
TR 07	F 1098	-	0,3			0,7		Limon argileux brun/jaune	Limon argileux brun foncé hétérogène, meuble + poches charbonneuses	Fosse
TR 07	F 1099	-	0,3	1				Limon argileux brun/jaune	Limon argileux brun foncé hétérogène, meuble + poches charbonneuses	Fosse
TR 08	F 1100	-	0,37	1,08				Limon argileux brun/orangé	Limon argileux brun moyen hétérogène, meuble	Fossé
TR 08	F 1101	-	0,37		0,85			Limon argileux brun/orangé	Limon argileux brun moyen hétérogène, meuble	Fossé
TR 08	F 1102	-	0,37		0,41			Limon argileux brun/orangé	Limon argileux brun moyen hétérogène, meuble	Fossé
TR 08	F 1103	-	0,38		0,77			Limon argileux brun/orangé	Limon brun moyen hétérogène, meuble	Fossé
TR 08	F 1104	-	0,38		0,56			Limon argileux brun/orangé	Limon brun moyen hétérogène, meuble	Fossé
TR 08	F 1105	-	0,38		0,65			Limon argileux brun/orangé	Limon argileux brun moyen hétérogène, meuble	Fossé
TR 05	F 1106	-	0,27			1,4		Limon argileux brun/jaune	Limon argileux brun foncé peu hétérogène, meuble + poches charbonneuses, blocs de granite brûlés	Foyer/four
TR 04	F 1107	-	0,5		1,1			Limon argileux brun/jaune/orangé	Limon argileux brun foncé homogène, meuble	Fossé

Description	Attribution générale	Mobilier	Céramique	TCA	Lithique	Métal	Verre	Autre	Détail mobilier	Coupe	Coupe par	Egal à
	Période contemporaine, cadastre napoléonien	-	-	-	-	-	-	-		F1084		F1082
	Période contemporaine, cadastre napoléonien	-	-	-	-	-	-	-		<b>F1085,</b> <b>F1086,</b> <b>F1087,</b> <b>F1088</b>	F1084	F1081
	Indéterminé	-	-	-	-	-	-	-		F1084		
	Indéterminé	-	-	-	-	-	-	-		<b>F1081,</b> <b>F1082,</b> <b>F1083</b>		
	Indéterminé	-	-	-	-	-	-	-		F1082		F1086
	Indéterminé	-	-	-	-	-	-	-		F1082, F1089		F1087, F1085
	Indéterminé	-	-	-	-	-	-	-		F1089		F1086
niveau indéterminé	Indéterminé	-	-	-	-	-	-	-		F1082, F1089		
	Période contemporaine, cadastre napoléonien	-	-	-	-	-	-	-		<b>F1086,</b> <b>F1087,</b> <b>F1088</b>		
	Indéterminé	-	-	-	-	-	-	-				
	Moyen Age ?	-	-	-	-	-	-	-				
	Indéterminé	-	-	-	-	-	-	-				
	Moyen Age ?	-	-	-	-	-	-	-				
	Moyen Age ?	-	-	-	-	-	-	-				
	haut Moyen Age	X	X	-	-	-	-	-				
niveau indéterminé	Indéterminé	-	-	-	-	-	-	-				
	Période gallo-romaine	X	-	X	-	-	-	-		F0273		F0212
fosse charbonneuses, sous la berme	Période gallo-romaine ?	-	-	-	-	-	-	-				
fosse charbonneuses, sous la berme	Période gallo-romaine ?	-	-	-	-	-	-	-				
	Période gallo-romaine ?	-	-	-	-	-	-	-				F0238
	Période gallo-romaine ?	-	-	-	-	-	-	-				F1104, F0237
	Période gallo-romaine ?	-	-	-	-	-	-	-				
	Période gallo-romaine ?	-	-	-	-	-	-	-				F1105, F0239
	Période gallo-romaine ?	-	-	-	-	-	-	-				F1101
	Période gallo-romaine ?	-	-	-	-	-	-	-				F1103
	Indéterminé	-	-	-	-	-	-	-				
	Indéterminé	-	-	-	-	-	-	-				F0089, F0287

Tranchée	Fait	Sondage	Niv. d'app <sup>(en)</sup> (en m)	I (en m)	L (en m)	Diamètre (en m)	Profondeur	Encaissant	Remplissage	Interprétation
TR 04	F 1108	-	0,5		1,18			Limon argileux brun/jaune/orangé	Limon argileux brun foncé homogène, meuble	Fossé
TR 04	F 1109	-	0,5			0,35		Limon argileux brun/jaune/orangé	Limon argileux brun foncé peu hétérogène, meuble	TP
TR 04	F 1110	-	0,5			0,46		Limon argileux brun/jaune/orangé	Limon argileux brun foncé peu hétérogène, meuble	Fosse
TR 04	F 1111	-	0,5		0,35			Limon argileux brun/jaune/orangé	Limon argileux brun foncé peu hétérogène, meuble	Fossé
TR 04	F 1112	-	0,5		1,43			Limon argileux brun/jaune/orangé	Limon argileux brun moyen peu hétérogène, meuble + rares graviers de granite	Fossé
TR 04	F 1113	-	0,2	0,62	0,43			Limon argileux brun/jaune/orangé	Limon argileux brun moyen hétérogène, meuble + cailloux de granite et de quartz	Impact d'obus
TR 04	F 1114	-	0,5			0,36		Limon argileux brun/jaune/orangé	Limon argileux brun clair homogène, meuble	TP
TR 04	F 1115	X	0,5			0,42	0,21	Limon argileux brun/jaune/orangé	Limon argileux brun clair homogène, meuble	TP
TR 05	F 1116	X	0,2		0,8		0,42	Limon argileux brun/jaune + poches d'arène granitique + granite altéré	Limon argileux brun moyen homogène, meuble	Fossé
TR 05	F 1117	-	0,25	0,55	0,25			Limon argileux brun/jaune + poches d'arène granitique + granite altéré	Limon argilo-sableux brun/noire moyen hétérogène, meuble + cailloux de granite chauffé, poches charbonneuses, graviers	Fosse
TR 07	F 1118	X	0,47		0,4		0,23	Limon argileux brun/orangé	Limon argileux brun moyen homogène, meuble + petits cailloux et graviers de granite	Fossé
TR 07	F 1119	X	0,47		0,97		0,35	Limon argileux brun/jaune + poches d'arène granitique + granite altéré	Limon argileux brun moyen homogène, meuble + graviers et cailloux de granite	Fossé
TR 07	F 1120	-	0,47		0,42			Limon argileux brun/jaune + poches d'arène granitique + granite altéré	Limon argileux brun foncé homogène, meuble + cailloux de quartz et de granite	Fossé
TR 07	F 1121	-	0,5		1,18			Limon argileux brun/jaune + poches d'arène granitique + granite altéré	Limon argilo-sableux brun clair peu hétérogène, peu compact + nombreux graviers	Fossé
TR 09	F 1122	-								Fossé
TR 03	F 1123	-								Autre
TR 66	F 1124	-								Fossé
TR 04	F 1125	X								Autre
TR 79	F 1126	-	0,45		0,68			Limon argileux brun/jaune + poches de micaschiste altéré	Limon argileux brun moyen peu hétérogène, meuble + nombreux cailloux de micaschiste et de quartz, racines	Fossé
TR 79	F 1127	-	0,3		0,45			Limon argileux brun/jaune + poches de micaschiste altéré	Limon argileux brun moyen hétérogène, meuble + nombreux cailloux de micaschiste	Fossé
TR 79	F 1128	-	0,37	2,22	0,97			Limon argileux brun/jaune + poches de micaschiste altéré	Limon argileux brun foncé peu hétérogène, meuble + nombreux cailloux de micaschiste altéré	Fosse
TR 79	F 1129	-	0,54		1,2			Limon argileux brun/jaune + poches de micaschiste altéré	Limon argileux brun moyen homogène, meuble + cailloux de quartz et de micaschiste	Fossé
TR 79	F 1130	-	0,53		0,75			Limon argileux brun/jaune + poches de micaschiste altéré	Limon argileux brun moyen homogène, meuble + cailloux de quartz et de micaschiste	Fossé



Description	Attribution générale	Mobilier	Céramique	TCA	Lithique	Métal	Verre	Autre	Détail mobilier	Coupe	Coups par	Egal à
	Indéterminé	-	-	-	-	-	-	-				
	Moyen Age ?	-	-	-	-	-	-	-				
	Moyen Age ?	-	-	-	-	-	-	-				
ornière ?	Indéterminé	-	-	-	-	-	-	-		F0090, F1112		
	Indéterminé	-	-	-	-	-	-	-			F1111	F0090
	Période contemporaine, Ile Guerre Mondiale	X	-	-	-	X	-	-				
	Moyen Age ?	-	-	-	-	-	-	-				
	Moyen Age ?	-	-	-	-	-	-	-				
	Période gallo-romaine ?	-	-	-	-	-	-	-				
fosse charbonneuses	Période gallo-romaine ?	-	-	-	-	-	-	-				
	Période gallo-romaine	X	X	X	-	-	-	-				
= F164	Indéterminé	-	-	-	-	-	-	-				F1119
	Indéterminé	-	-	-	-	-	-	-				F0149
	Période gallo-romaine ?	-	-	-	-	-	-	-		F0163		F0170, F1116, F0159
	Période contemporaine, cadastre napoléonien	-	-	-	-	-	-	-				F0276
depot d'obus	Période contemporaine, Ile Guerre Mondiale	-	-	-	-	-	-	-				
- enregistre	Période gallo-romaine ?	-	-	-	-	-	-	-				F0925, F0938, F0939
Carrieré	Période gallo-romaine	-	-	-	-	-	-	-				
	Indéterminé	-	-	-	-	-	-	-				F0359
	Indéterminé	-	-	-	-	-	-	-				
sous la berme	Période Contemporaine	X	-	-	-	X	-	-	fragment métallique indéterminé			
	Indéterminé	-	-	-	-	-	-	-				
	Indéterminé	-	-	-	-	-	-	-				

# Inventaire du mobilier lithique

Tr	Fait	US	Matière première	Brûlé	Cortex, surface externe	Support	Outil	Description	L (cm)	l (cm)	e (cm)
4	317		grès riche en fer (couleur rougeâtre)	non	galet	affûtoir cassé sur galet allongé	Présence de stries sur les faces et les bords	section ovulaire	8,25	1,9	1,18
5	iso 3		grès lustré gris beige	non	indéterminé	denticulé sur large éclat	Retouches directes semi-abruptes à abruptes	Bulbe bien marqué, talon large dièdre	7,7	6	1,95
5	159		gneiss	non	roulé, galet côtier	galet plat allongé	une extrémité paraît légèrement émoussée	section ovulaire plate	15,7	7,6	2,4
5	170		quartz fumé	non	filonien	prisme	brut ?	partie basale cassée	2,9	1,8	1,4
9	252		silex gris blond	non	roulé, galet côtier	moitié de grattoir sur entame	retouches directes semi-abruptes	support obtenue par percussion sur enclume. Le bord cassé présente des retouches abruptes.	2,7	1,4	1,05
26	477	1	silex blond translucide	non	grenu, rugueux	entame	grattoir double retouches directes et inverses	Deux fronts avec retouches directes, un autre avec retouches inverses	2,6	2,5	0,7
26	477	1	mylonite	non	lisse, patiné	casson ?	burin sur extrémités ?		3,2	2,2	0,95
26	477	1	mylonite	non	lisse, patiné	fragment distal d'éclat			2,3	2,8	0,7
26	477	1	micaschiste gris bleuté	non	roulé	galet cassé	traces de percussion sur un bord		6,3	2,2	1,55
26	477	1	silex blond translucide	non		éclat sur enclume		talon esquillé	2,7	1,6	0,7
26	477	1	silex gris translucide	non	roulé, galet côtier	éclat sur enclume		extrémités esquillées	2,7	1,75	0,3
26	477	1	quartz	non		éclat silet sur enclume			2,2	1,75	0,6
26	477	1	chloritischiste	non	roulé, galet plat	éclat	une extrémité biseautée et encochée		5,4	3,1	1,1
26	477	1	quartz blanc translucide	non	cortex lisse, éolisé	éclat à bord cortical		éclat allongé, talon lisse	4,4	2,3	1
26	477	1	microquartzite calcédonieux de la Forêt-Landerneau gris noir rosé	oui		éclat d'avivage de nucléus à débitage lamellaire	retouches inverses en bout	percussion unipolaire directe, plan de frappe lisse, corniche peu abrasée	3,5	2	1
26	477	1	quartz gris	oui	cupule thermique	fragment médian d'éclat avivage		débité sur enclume	3,6	3,3	1,7
26	477	1	silex gris	non	roulé, silex côtier	nucléus bipolaire sur enclume			1,8	1,7	0,6
26	496	1	silex gris	non	roulé, silex côtier	éclat semi-cortical sur enclume	grattoir	Retouches directes semi-abruptes	2	2,6	0,9
26	496	1	silex gris	oui	roulé, silex côtier	déchet			2,5	1	0,6
26	496	1	meulière ou calcédoine beige	non	grenu, rugueux	éclat d'avivage de nucléus à débitage lamellaire	coche directe		3,7	1,6	1,2
26	496	1	silex gris	non	roulé, silex côtier	éclat semi-cortical sur enclume		talon esquillé	2,3	1,4	0,65
26	496	1	silex	oui		fragment de nucléus bipolaire sur enclume			1,85	1,5	1

Tr	Fait	US	Matière première	Brûlé	Cortex, surface externe	Support	Outil	Description	L (cm)	l (cm)	e (cm)
26	496	1	grès armoricain (quartzite)	non	roulé, galet côtier	éclat cortical allongé débité sur enclume		retouches d'utilisations possibles sur bord droit	6,55	2,9	0,95
26	496	1	grès armoricain	non	roulé, galet côtier	galet plat	percuteur	plages percutees aux deux extrémités & poli d'usure sur les faces	6,66	4,6	2,34
26	496	1	silex blond translucide	non	roulé, galet côtier	éclat cortical débité sur enclume			2,7	2,2	0,55
26	496	1	silex gris	oui	roulé, galet côtier	éclat cortical débité sur enclume			3	1,7	0,8
26	496	1	silex blond translucide	oui	roulé, galet côtier	fragment nucléus débité sur enclume			2,35	2,85	1,2
26	496	1	silex gris-blanc	non	roulé, galet côtier	esquille à bord partiellement cortical		talon lisse	1,2	1,6	0,3
26	496	1	silex blond translucide	non	roulé, galet côtier	esquille à bord partiellement cortical débitée sur enclume		vibrée	1,6	0,8	0,3
26	496	1	silex	oui	roulé, galet côtier	éclat semi-cortical sur enclume			2,15	1,15	0,45
26	496	1	silex	oui	roulé, galet côtier	casson			1,5	1,15	0,35
26	478		silex blond translucide	oui	roulé, galet côtier	esquille corticale		rubéfié, talon lisse	1,7	1,8	0,6
26	523		schiste gris	non	roulé, galet	fragment de macro-outil		une extrémité biseautée et esquillée ; quelques stries fines sur surfaces usées	5,9	4,85	1,4
26	523		grès armoricain (quartzite)	non	roulé, galet marin	macro-outil		Traces de percussion aux 2 extrémités, utilisée comme enclume sur les faces (cupules), méplats sur les bords	9,7	6,6	3,15
31	551		micaschiste	non	roulé	fragment de galet plat		brut ?	3,8	5,5	1,4
31	551		grès riche en fer (couleur rougeâtre)	non	indéterminé	Affûtoir cassé sur support allongé		surfaces polies par usures avec stries transversales donnant un aspect de rôle ondulée	7	3,4	2,9
56	822		quartz blanc	non	bloc, filonien	percuteur		arêtes écrasées voire abrasées	7,5	4,7	4,15
60	884		granite	non	roulé, galet côtier	galet circulaire plat		lustré sur les faces	5,7	5,5	2,2
61	iso 9		quartzite	non	roulé	retouches directes sur les deux bords d'un caillou de manière à dégager une pointe massive (cf. taraud, bec et alésoir in Brézillon, 1983)		Les retouches sont également émoussé et il est probable que la pièce ait été à nouveau roulée après son utilisation comme outil.	7	6,2	2,9
entre 1 & 2	sur-face champ		silex brun clair	non	roulé, galet côtier	galet testé			4,9	3,1	2,8

# Inventaire des céramiques protohistoriques

tr.	Fait	U.S.	iso	Néolithique	Campaniforme	Age du Bronze	Age du Fer	indét.	total	NMI	datation proposée	cag.	observations
39	1071			4					4	1	Néolithique moyen 2		
26	523				81				81	19	Campaniforme		
5			9		1				1	1	Campaniforme/ Bronze ancien		
5			4			3			3	3	Campaniforme/ Bronze ancien		
26	477	1			46			7	53	7	Campaniforme/ Bronze ancien		
4	113	1					1		1	1	Hallstatt		
4	289						1		1	1	Hallstatt		
9	257						1		1	1	La Tène		
51	782						1		1	1	La Tène		
39	634						1		1	1	La Tène moyenne		
3	107							1	1		Protohistoire		
3			1					1	1		Protohistoire		
5	150							1	1		Protohistoire		2 fgt de jais
6	154							1	1		Protohistoire		
26	468							1	1		Protohistoire		
26	482							1	1		Protohistoire		
26	521							1	1		Protohistoire		
27	529							3	3		Protohistoire		
40	685							1	1		Protohistoire		
41	716							1	1		Protohistoire		
58	864							1	1	1	Protohistoire		
66	936							1	1	1	Protohistoire		
66	975							2	2		Protohistoire		2 TC
70	977							1	1		Protohistoire		

## Inventaire des céramiques historiques

Tranchée	Fait	US	Iso	Type	NR	Descriptif	Datation	Remarques
2	11			céramique	1	panse modelée à pâte micacée orange-grise	Moyen Age	
2	22			céramique	4	panses à pâte micacée orange	Moyen Age	
2	26	1		céramique	1	panse modelée brune?	indéterminée	
2	59			céramique	1	panse à pâte micacée brun-noir	haut Moyen Age	
3	95			céramique	7	fond d'amphore Dressel 2/4? À pâte micacée orange-noir (production locale)	Haut-Empire	
3	115			céramique	2	panses à pâte granuleuse micacée brune et noire	Haut-Empire	
3	180			céramique	3	panse d'amphore Pascual 1? À pâte micacée orange	Haut-Empire	
4	113			céramique	9	4 panses à pâte orange et 1 panse à pâte fine brune à cœur gris en terra nigra	Haut-Empire	
4	290			céramique	5	4 lèvres et 1 panse d'assiettes en faïence	XIXe-XXe s.	
4	316			céramique	4	panse à pâte très micacée beige. Surface externe noircie	Moyen Age	
4	318			céramique	1	fond modelé à pâte micacée beige-noire	Moyen Age	
4	1506			céramique	17	1 panse à pâte granuleuse crème. Surface externe noircie et 1 panse de pot de fleur	Moyen Age/XXe s.	
5	iso 2		10	céramique	1	panse ornée de cordons à pâte micacée orange	haut Moyen Age	
5	175	6	20	céramique	3	bord à lèvre déjetée arrondie grise à cœur brun. Lèvre et surface interne noircies avec dépôt de carbone	Haut-Empire	
5	149			terre-cuite	1	bord de tuile (tegula)	Haut-Empire	
5	159			céramique	9	1 anse d'amphore 7/11 de Bétique et 1 panse à pâte orange à cœur noir.	Haut-Empire	
5	163			céramique	4	1 bord d'assiette «cul noir» en faïence colorée et 1 bord d'assiette en faïence blanche	XXe s.	
5	179			céramique	1	panse dotées de perforations à pâte fine beige et aux surfaces dotées d'une glaçure couvrante verte	XVe-XVIIIe s.	
5	331			céramique	1	amorce d'un fond modelé à pâte granuleuse brune	période gallo-romaine?	
5	1095			céramique	1	panse à pâte granuleuse crème. Surface externe noircie	Moyen Age	
5	175-coupe N/S	6		céramique?	1	nodule à pâte micacée brune	indéterminée	
7	212		9	céramique	15	bord à collerette d'une coupe à pâte micacée beige à cœur orange. Surface externe soigneusement lissée	VIe-VIIe s.	
7	183			céramique	1	panse à pâte granuleuse micacée orange-noir	haut Moyen Age	
7	212			céramique	2	1 carène en terra nigra et 1 panse noire à cœur brun	Haut-Empire	
7	213			céramique	58	panses à pâte orange à cœur gris	période moderne?	
7	1118			céramique	16	10 panses d'amphore Pascual 1 à pâte claire, 5 frag. d'un petit fond modelé à pâte fine siliceuse brune à cœur noir et 1 panse orange à cœur gris	Haut-Empire (Ier s.)	
7	iso 5			céramique	2	panses à pâte granuleuse micacée brune	haut Moyen Age	



Tranchée	Fait	US	Iso	Type	NR	Descriptif	Datation	Remarques
7	212			céramique	3	1 lèvre moulurée d'une cruche à pâte orange à cœur gris et 2 fragments d'une panse à pâte orange	Haut-Empire	
7	212			terre-cuite	4	fragments indéterminés	Haut-Empire	
8	226			céramique?	2	nodules à pâte micacée orange	indéterminée	
11	268	dé-cap	12	céramique	53	bord de pot modelé à pâte siliceuse brun-noir	VIIIe-IXe s.	
13	325			céramique	1	panse en grès gris flammé	XVIIIe-XIXe s.	
16	346			céramique	2	1 panse à pâte fine blanche ayant chauffée et 1 panse à pâte brune dotée d'une glaçure couvrante interne brune	XVe-XVIIIe s.	
16	350			céramique	1	panse modelée à pâte fine noire	haut Moyen Age	
16	356			céramique	1	panse à pâte granuleuse brun-gris	haut Moyen Age	
16	395			céramique	1	lèvre d'un bol en faïence blanche avec décor de fleur bleue réalisée au pochoir	XXe s.	
17	374			céramique	1	fond annulaire d'une faïence à pâte fine orangée avec trace de vernis brun	XVIIIe-XIXe s.	pas dans inventaire et sur plan général
17	367			céramique	4	1 anse arrondie à pâte fine très micacée beige dotée d'une couverte noire et 3 panses modelées à pâte micacée brune	bas Moyen Age/ période moderne	
18	iso 7			céramique	1	panse granuleuse très micacée crème. Surface externe noircie	bas Moyen Age/ période moderne	
22	451			céramique	1	bord avec verseur d'une jatte à pâte très micacée grise avec glaçure interne couvrante vert olive et 1 fond à pâte granuleuse orange doté d'une glaçure interne verdâtre	période moderne	
25	491		19	céramique	3	lèvre haute déversée à pâte granuleuse beige	bas Moyen Age	
25	486	dé-cap		céramique	1	panse modelée à pâte grossière beige-gris	bas Moyen Age	
25	491			céramique	8	lèvre à pâte granuleuse brune déjetée et panse modelée à pâte micacée brune	bas Moyen Age	
25	493			céramique	15	2 lèvres, 1 fond plat modelé et 12 panses modelées à pâte beige et orange	bas Moyen Age	
25	506			céramique	4	2 panses à pâte grossière orange et 2 nodules	indéterminée	
26	496			céramique	3	panses à pâte granuleuse très micacée orangée. Surface externe noircie	bas Moyen Age	silex taillés
27	520		1	céramique	73	pot modelé à lèvre déjetée allongée à pâte très micacée beige	bas Moyen Age	
27	520		11	céramique	6	bord à lèvre haute légèrement déjetée d'un vase de stockage à pâte micacée beige à cœur orangé	bas Moyen Age	
27	520		16	céramique	12	bord épais modelé à pâte siliceuse micacée orangée	bas Moyen Age	
27	520		23	céramique	2	bord avec arrache d'anse à pâte grossière orangée	bas Moyen Age	
27	520		24	céramique	7	4 lèvres droites et 3 panses à pâte grossière orangée	bas Moyen Age	
27	519			céramique	65	1 lèvre épaisse avec amorce d'anse ronde à pâte grossière orange, 5 lèvres droite à pâte micacée orange, 18 frag. de fonds à pâte micacée orange et 46 panses	bas Moyen Age	
27	520			céramique	3	nodules à pâte micacée orange	indéterminée	
27	528			céramique	6	1 fond plat à pâte granuleuse brune et 1 amorce d'un fond à pâte granuleuse très micacée brune	bas Moyen Age	
31	551		7	céramique	2	bord déjeté à lèvre allongée à pâte granuleuse très micacée beige	bas Moyen Age	

Tranchée	Fait	US	Iso	Type	NR	Descriptif	Datation	Remarques
31	542			céramique	1	panse épaisse à pâte grossière beige	bas Moyen Age	
31	551			céramique	24	21 panses à pâte granuleuse micacée beige à orangé et 3 panses à pâte granuleuse micacée orangée	bas Moyen Age	
31	551			céramique	13	1 lèvre et 12 panses	bas Moyen Age	
31	551			terre-cuite	6	fragments indéterminés	bas Moyen Age	
32	558		3	céramique	3	bord droit modelé d'un plat ou terrine à pâte grossière micacée brune. Surfaces noircies	bas Moyen Age	
32	558		4	céramique	2	bord en bourrelet modelé d'un plat ou terrine à pâte granuleuse micacée brune. Surface externe noircie.	bas Moyen Age	
32	558		5	céramique	1	bord en bourrelet modelé d'un plat ou terrine à pâte granuleuse micacée orange. Surface externe noircie.	bas Moyen Age	
32	558		6	céramique	2	bord en bourrelet modelé d'un plat ou terrine à pâte granuleuse micacée orange. Surface externe noircie.	bas Moyen Age	
32	564		21	céramique	25	bord de pot à pâte granuleuse orange à cœur gris. Surface externe noircie et 2 panses modelées à pâte très micacée beige	bas Moyen Age	
32	558			céramique	74	2 lèvres, 1 fond, 1 pied (ou préhension) et 70 panses à pâte granuleuse orange à brun	bas Moyen Age	
32	559			céramique?	1	panse modelée brune?	indéterminée	
32	562			céramique	4	1 lèvre de plat à pâte très micacée brune dotée d'une glaçure interne couvrante verte et 3 panses	XVIe-XVIIIe s.	
32	538			céramique	19	bord tronconique d'un plat ou d'une terrine à pâte brune. Surface externe noircie et 2 frag. à pâte granuleuse beige à cœur orangé	bas Moyen Age	
33	570			céramique	2	panse modelée à pâte granuleuse micacée orange	bas Moyen Age	
33	585			céramique	2	panses à pâte grossière orange avec surface noircie	bas Moyen Age	
34	572			céramique	1	panse à pâte granuleuse orange. Surface externe noircie	bas Moyen Age	
38	617			céramique	1	amorce d'un fond à pâte granuleuse très micacée brune	période gallo-romaine?	
39	619			céramique	1	panse à pâte granuleuse orange	Moyen Age	
39	631			céramique	1	panse à pâte fine brune	période moderne	
39	1070	surface		céramique	1	panse à pâte micacée brune	haut Moyen Age?	
39	1070	surface		lithique	1	fragment altéré	haut Moyen Age?	
39	1078		27	céramique	3	fond d'un pot à pâte micacée brune	Haut-Empire	
39	734		28	céramique	27	fond et panse d'un pot dépourvu de col à pâte micacée brune. Surface externe ornée de bandes lissées verticales alternant avec des croisillons.	Haut-Empire	
40	672			céramique	2	panse à pâte grossière beige à cœur orangé . Surface externe noircie	haut Moyen Age	
41	716			céramique	1	panse modelée	gallo-romain?	
41	660			céramique	1	panse d'assiette en faïence blanche ornée d'un décor floral bleu	XXe s.	
47	758			céramique	2	panse modelée à pâte granuleuse très micacée brune à cœur noir	période gallo-romaine?	
52	797			céramique	1	panse à pâte fine brune à cœur gris	Moyen Age?	
54	815			terre-cuite	2	bord de tuile (tegula)	Haut-Empire	

Tranchée	Fait	US	Iso	Type	NR	Descriptif	Datation	Remarques
57	838 (transformé en iso 10)		8	céramique	7	bord à lèvre déjetée arrondie d'un pot modelé à pâte grossière orange. Lèvre et surface interne noircies avec dépôt de carbone	haut Moyen Age	
57	iso 8		15	céramique	1	bord droit arrondi à pâte grossière brune. Surface externe noire	haut Moyen Age	
57	838 (transformé en iso 10)			céramique	3	1 fond plat et 2 panses à pâte grossière très micacée brune	haut Moyen Age	
57	853			céramique	10	panse à pâte très micacée beige. Surface externe noircie	Moyen Age	
59	892			céramique	1	panse à pâte très micacée brune à cœur noir aux surfaces soigneusement lissées	Haut-Empire (1er s. précoce)	
60	883			céramique	3	panse avec anse à pâte granuleuse beige dotée d'une glaçure externe couvrante verdâtre	bas Moyen Age/ période moderne	
65	917		17	céramique	2	bord de pot modelé à pâte siliceuse brun-noir	Haut-Empire (1er s. précoce)	
65	917		18	céramique	1	bord de pot modelé à pâte siliceuse brun-noir	Haut-Empire (1er s. précoce)	
65	920		22	céramique	1	bord rentrant d'une assiette ou d'une coupe à pâte siliceuse micacée brune à cœur noir. Carbone sur les surfaces	Haut-Empire (1er s. précoce)	
65	917		25	céramique	1	bord de pot à pâte micacée brune. Surface externe noircie	haut Moyen Age	
65	926			céramique	1	panse modelée à pâte granuleuse très micacée brune	période gallo-romaine ?	
66	941		13	céramique	7	coupe à pâte très micacée brune à cœur gris et aux surfaces grises	Haut-Empire	
66	941		14	céramique	4	bord de coupe à pâte micacée orange. Surface externe polissée	Haut-Empire	
66	949		26	céramique	4	assiette à bord rentrant à pâte brune à cœur gris. Trace de chauffe et présence de carbone sur la paroi externe	Haut-Empire	
66	937			céramique	1	fond plat à pâte très micacée brun-noir	période gallo-romaine ?	
66	947			céramique	1	panse à pâte granuleuse très micacée brun-noir	période gallo-romaine?	
66	972			céramique	9	bord d'assiette Drag. 19 en sigillée Centre Gaule	Haut-Empire (1ère moitié 1er s.)	
67	966			céramique	1	panse à pâte grise	Haut-Empire	
69	957			céramique	3	fragments de panses à pâte micacée orange	période gallo-romaine?	
69	957			céramique	2	1 bord d'écuelle et 1 panse à pâte siliceuse micacée orangée. Surface grise et décor de bandes lissées sur la panse	Haut-Empire (1er s. précoce)	
70	991			céramique	1	lèvre (canalisation? Pot de fleur?)	XIXe-XXe s.	
71	995		2	céramique	3	bord d'assiette Ménez 55 en terra nigra à pâte fine grise	Haut-Empire (1er s.)	
71	995			céramique	2	panse ornée d'une collerette en sigillée Centre Gaule (Lezoux)	Haut-Empire (1er s.)	
71	1001			céramique	3	lèvre déversée arrondie à pâte fine micacée grise aux surfaces noires en terra nigra	Haut-Empire (1er s.)	
78	1035			céramique	1	panse à pâte granuleuse noire	indéterminée	

# Inventaire du mobilier de la Deuxième Guerre Mondiale

<b>METAL</b>							
<b>UE</b>	<b>N° identification</b>	<b>Objet, lot ou vrac</b>	<b>Catégorie</b>	<b>Détermination</b>	<b>Nb</b>	<b>Traitement</b>	<b>Datation</b>
F.1018		lot	métal ferreux	Fragments	5	aucun	Contemporaine
F.113	Iso 1	Objet	métal ferreux	Ind	1	aucun	Contemporaine
F.703	Iso 6 et 7	vrac	métal ferreux	Couvercle et fragments	3	aucun	Contemporaine
F.703	Iso 8	Objet	métal	Ind	1	aucun	Contemporaine
F.703	Iso 9	vrac	métal ferreux	Fragments	Ind	aucun	Contemporaine
F.703	Iso 10	vrac	métal ferreux	Fragments	8	aucun	Contemporaine
F.703	Iso 11	vrac	métal ferreux	Fragments	6	aucun	Contemporaine
F.703	Iso 12	vrac	métal ferreux	Fragments	11	aucun	Contemporaine
F.703	Iso 13	vrac	métal ferreux	Fragments	16	aucun	Contemporaine
F.703	Iso 14	vrac	métal ferreux	Fragments	Ind	aucun	Contemporaine
F.703	Iso 15	vrac	métal ferreux	Fragments	12	aucun	Contemporaine
F.703	Iso 17	vrac	métal ferreux	Fragments	2	aucun	Contemporaine
F.703	Iso 18	vrac	métal ferreux	Fragments	5	aucun	Contemporaine
F.703	Iso 19	vrac	métal ferreux	Fragments	9	aucun	Contemporaine
F.703	Iso 20	Objet	métal ferreux	Couvercle	1	aucun	Contemporaine
F.703	Iso 22	vrac	métal ferreux	Fragments	7	aucun	Contemporaine
F.703	Iso 23	Objet	métal ferreux	Couvercle	1	aucun	Contemporaine
F.703	Iso 25	Objet	métal ferreux	Couvercle	1	aucun	Contemporaine
F.703	Iso 26	vrac	métal ferreux	Couvercles et fragments	5	aucun	Contemporaine
F.703	Iso 27	vrac	métal ferreux	Fragments	5	aucun	Contemporaine
F.703	Iso 28	Objet	métal ferreux	Couvercle	1	aucun	Contemporaine
F.703		lot	métal ferreux	Couvercle et fragments	1	aucun	Contemporaine
F.703	Casque 1	Objet	métal	Stahlhelm M35	1	aucun	Contemporaine
F.703	Casque 2	Objet	métal	Stahlhelm M40	1	aucun	Contemporaine
F.703	Casque 3	Objet	métal	Stahlhelm M40	1	aucun	Contemporaine
F.703	Casque 4	Objet	métal	Stahlhelm M40	1	aucun	Contemporaine
F.703	Casque 5	Objet	métal	Stahlhelm M40	1	aucun	Contemporaine
F.703		Objet	métal	Balle et cartouche	1	aucun	Contemporaine
F.815		Objet (fragment)	métal ferreux	Ind	1	aucun	Contemporaine
F.971		Objet	scorie	scorie	1	aucun	Contemporaine
F.977		Objet	métal ferreux	Ind	1	aucun	Contemporaine
F.1018		Objet	métal	Stahlhelm M40	1	aucun	Contemporaine
F.1018	Métal 3	Objet	métal	Couvercle	1	aucun	Contemporaine
F.1018	Métal 4	Objet	métal ferreux	Couvercle	1	aucun	Contemporaine
F.1070		Objet	scorie	scorie	1	aucun	Contemporaine
F.1075		Objet (fragment)	métal ferreux	Ind	1	aucun	Contemporaine
<b>TEXTILE</b>							
<b>UE</b>	<b>N° identification</b>	<b>Objet, lot ou vrac</b>	<b>Catégorie</b>	<b>Détermination</b>	<b>Nb</b>	<b>Traitement</b>	<b>Datation</b>
F.1018		Objet (fragment)	Feutrine	Elément bretelles ?	1	aucun	Contemporaine
F.703	Iso 16	Objet (fragment)	Cuir ?	Elément cartouchière ?	1	aucun	Contemporaine
F.703	Iso 21	Objet (fragment)	Cuir ?	Elément cartouchière ?	1	aucun	Contemporaine
F.703	Iso 24	vrac	Cuir	Ind	3	aucun	Contemporaine
F.703		vrac	Feutrine	Elément bretelles ?	1	aucun	Contemporaine
F.703		vrac	Cuir	Ind	Ind	aucun	Contemporaine
F.1018	Cuir 1	vrac	Cuir	Ind	Ind	aucun	Contemporaine
F.1018	Cuir 2	vrac	Cuir	Ind	Ind	aucun	Contemporaine

# Inventaire des photos

N° tran- chée	N° Fait	N° photo	Structure	Description	Vue depuis	Cibles	Date	Photographe
1	F2	DSCN2807	impact obus	vue verticale			3/4/2015	Equipe de fouille
1	F2	DSCN2808	impact obus	vue verticale			3/4/2015	Equipe de fouille
1	F24	DSCN2813	fosse empierrée	vue générale	ouest		3/4/2015	Equipe de fouille
1	F24	DSCN2814	fosse empierrée	vue générale	ouest		3/4/2015	Equipe de fouille
1	F24	DSCN2872	fosse empierrée	vue générale	sud-ouest		3/9/2015	Equipe de fouille
1	F24	DSCN2873	fosse empierrée	vue générale	sud-ouest		3/9/2015	Equipe de fouille
1	F24	DSCN2874	fosse empierrée	vue générale	sud-ouest		3/9/2015	Equipe de fouille
1	F24	DSCN2877	fosse empierrée	vue verticale		à géoréférencer	3/9/2015	Equipe de fouille
1	F24	DSCN2878	fosse empierrée	vue verticale		à géoréférencer	3/9/2015	Equipe de fouille
1	F24	DSCN2879	fosse empierrée	vue verticale		à géoréférencer	3/9/2015	Equipe de fouille
1	F24	DSCN2880	fosse empierrée	vue verticale		à géoréférencer	3/9/2015	Equipe de fouille
1	F24	DSCN2881	fosse empierrée	vue verticale		à géoréférencer	3/9/2015	Equipe de fouille
1	F24	DSCN2882	fosse empierrée	vue verticale		à géoréférencer	3/9/2015	Equipe de fouille
1	F24	DSCN2883	fosse empierrée	vue verticale		à géoréférencer	3/9/2015	Equipe de fouille
1	F24	DSCN2884	fosse empierrée	vue verticale		à géoréférencer	3/9/2015	Equipe de fouille
1	F24	DSCN2885	fosse empierrée coupée à moitié	vue générale	sud-ouest		3/9/2015	Equipe de fouille
1	F24	DSCN2886	fosse empierrée coupée à moitié	vue coupe	ouest		3/9/2015	Equipe de fouille
2	F144	DSCN2816	détail impact d'obus	fragments métalliques			3/4/2015	Equipe de fouille
2	F30	DSCN2987	fosse à moitié fouillée	vue coupe	ouest		3/12/2015	Equipe de fouille
2	F30	DSCN2988	fosse à moitié fouillée	vue coupe	ouest		3/12/2015	Equipe de fouille
2	F30	DSCN2989	fosse à moitié fouillée	vue verticale			3/12/2015	Equipe de fouille
2	F10	DSCN2996	fossé	vue coupe	est		3/12/2015	Equipe de fouille
2	F10	DSCN2997	fossé	vue coupe	est		3/12/2015	Equipe de fouille
2	F11	DSCN2999	fossé	vue coupe	est		3/12/2015	Equipe de fouille
2	F11	DSCN3000	fossé	vue coupe	est		3/12/2015	Equipe de fouille
2	F12	DSCN3004	fossé	vue coupe	ouest		3/12/2015	Equipe de fouille
2	F12	DSCN3005	fossé	vue coupe	ouest		3/12/2015	Equipe de fouille
2	F407	DSCN3007	TP à moitié fouillé	vue verticale			3/12/2015	Equipe de fouille
2	F407	DSCN3008	TP à moitié fouillé	vue coupe	ouest		3/12/2015	Equipe de fouille
2	F407	DSCN3009	TP à moitié fouillé	vue coupe	ouest		3/12/2015	Equipe de fouille
2	F15	DSCN3011	fossé	vue coupe	sud-est		3/12/2015	Equipe de fouille
2	F15	DSCN3012	fossé	vue coupe	sud-est		3/12/2015	Equipe de fouille
3	F95	DSCN2821	fossé	vue coupe	sud		3/4/2015	Equipe de fouille
3	F95	DSCN2822	fossé	vue coupe	nord		3/4/2015	Equipe de fouille
3	F95	DSCN2823	fossé	vue coupe	nord		3/4/2015	Equipe de fouille
3	F95	DSCN2824	fossé	vue coupe	nord		3/4/2015	Equipe de fouille
3	F176	DSCN2837	matériel métallique issu d'un impact d'obus				3/5/2015	Equipe de fouille
3	F176	DSCN2838	matériel métallique issu d'un impact d'obus				3/5/2015	Equipe de fouille
3	F115 & 120	DSCN2863	fossés parallèles	vue coupe	est		3/9/2015	Equipe de fouille
3	F115 & 120	DSCN2864	fossés parallèles	vue coupe	est		3/9/2015	Equipe de fouille
3	F115	DSCN2866	fossé	vue coupe	ouest		3/9/2015	Equipe de fouille
3	F115	DSCN2867	fossé	vue coupe	ouest		3/9/2015	Equipe de fouille
4	F187	DSCN2869	fossé	vue coupe	est		3/9/2015	Equipe de fouille
4	F187	DSCN2870	fossé	vue coupe	est		3/9/2015	Equipe de fouille
4	F316	DSCN2990	fosse avec empièrrement après nettoyage	vue verticale			3/12/2015	Equipe de fouille
4	F316	DSCN2991	fosse avec empièrrement après nettoyage	vue verticale			3/12/2015	Equipe de fouille
4	F316	DSCN2992	fosse avec empièrrement après nettoyage	vue verticale			3/12/2015	Equipe de fouille
4	F316	DSCN2993	fosse avec empièrrement après nettoyage	vue verticale			3/12/2015	Equipe de fouille



4	F316	DSCN2994	fosse avec empierrement après nettoyage	vue verticale		3/12/2015	Equipe de fouille
4	F112-113-114	IMG_5602	fossé et fosses après coupe	vue générale	ouest	4/16/2015	Equipe de fouille
4	F112-113-114	IMG_5603	fossé et fosses après coupe	vue verticale		4/16/2015	Equipe de fouille
4	F112-113-114	IMG_5604	fossé et fosses après coupe	vue générale	ouest	4/16/2015	Equipe de fouille
4	F112-113-114	IMG_5605	fossé et fosses après coupe	vue verticale		4/16/2015	Equipe de fouille
4	F112-113-114	IMG_5606	fossé et fosses après coupe	vue coupe	ouest	4/16/2015	Equipe de fouille
4	F114	IMG_5607	fossé	vue coupe	ouest	4/16/2015	Equipe de fouille
4	F112-113	IMG_5608	fosses	vue coupe	ouest	4/16/2015	Equipe de fouille
4	F421	IMG_5612	TP fouillé à moitié	vue verticale		4/16/2015	Equipe de fouille
4	F421	IMG_5613	TP	vue coupe	sud	4/16/2015	Equipe de fouille
4	F412	IMG_5615	TP	vue coupe	sud	4/16/2015	Equipe de fouille
4	F412	IMG_5616	TP fouillé à moitié	vue verticale		4/16/2015	Equipe de fouille
4	F415	IMG_5618	TP fouillé à moitié	vue verticale		4/16/2015	Equipe de fouille
4	F415	IMG_5619	TP	vue coupe	ouest	4/16/2015	Equipe de fouille
4	F315	IMG_5621	TP	vue coupe	sud	4/16/2015	Equipe de fouille
4	F317	IMG_5623	TP	vue coupe	sud	4/16/2015	Equipe de fouille
4	F989	IMG_5625	TP	vue coupe	est	4/16/2015	Equipe de fouille
4	F1115	IMG_5627	TP	vue coupe	est	4/16/2015	Equipe de fouille
4	F97	IMG_5629	TP fouillé à moitié	vue verticale		4/16/2015	Equipe de fouille
4	F97	IMG_5630	TP	vue coupe	est	4/16/2015	Equipe de fouille
4	F312	IMG_5632	TP	vue coupe	est	4/16/2015	Equipe de fouille
4	F282	IMG_5634	TP fouillé à moitié	vue verticale		4/16/2015	Equipe de fouille
4	F282	IMG_5635	TP	vue coupe	est	4/16/2015	Equipe de fouille
4	F417	IMG_5637	TP fouillé à moitié	vue verticale		4/16/2015	Equipe de fouille
4	F417	IMG_5638	TP	vue coupe	est	4/16/2015	Equipe de fouille
4	F418	IMG_5640	TP fouillé à moitié	vue verticale		4/16/2015	Equipe de fouille
4	F418	IMG_5641	TP	vue coupe	est	4/16/2015	Equipe de fouille
4	F296	IMG_5643	TP fouillé à moitié	vue verticale		4/16/2015	Equipe de fouille
4	F296	IMG_5644	TP	vue coupe	est	4/16/2015	Equipe de fouille
4	F316	IMG_5645	fosse avec empierrement en partie centrale, fouillée à moitié	vue verticale	à géoréférencer	4/16/2015	Equipe de fouille
4	F316	IMG_5646	fosse avec empierrement en partie centrale, fouillée à moitié	vue verticale	à géoréférencer	4/16/2015	Equipe de fouille
5	F150	DSCN2826	TP	vue coupe	sud-est	3/4/2015	Equipe de fouille
5	F150	DSCN2827	TP	vue coupe	sud-est	3/4/2015	Equipe de fouille
5	F150	DSCN2828	TP fouillé à moitié	vue verticale		3/4/2015	Equipe de fouille
5	F150	DSCN2829	TP fouillé à moitié	vue verticale		3/4/2015	Equipe de fouille
5	F147	DSCN2831	TP avec pierres après nettoyage de surface	vue générale	est	3/4/2015	Equipe de fouille
5	F147	DSCN2832	TP avec pierres après nettoyage de surface	vue générale	est	3/4/2015	Equipe de fouille
5	F147	DSCN2833	TP avec pierres après nettoyage de surface	vue générale	est	3/4/2015	Equipe de fouille
5	F147	DSCN2834	TP avec pierres après nettoyage de surface	vue verticale		3/4/2015	Equipe de fouille
5	F159-1116	DSCN3638	fossés parallèles	vue coupe	sud-est	4/16/2015	Equipe de fouille
5	F159-1116	DSCN3639	fossés parallèles	vue coupe	sud-est	4/16/2015	Equipe de fouille
5	F331	DSCN3643	TP fouillé à moitié	vue verticale		4/16/2015	Equipe de fouille
5	F331	DSCN3644	TP	vue coupe	sud	4/16/2015	Equipe de fouille
5	F329-330	IMG_5609	fossé et TP	vue verticale		4/16/2015	Equipe de fouille
5	F329-330	IMG_5610	fossé et TP	vue coupe	sud	4/16/2015	Equipe de fouille
5		DSCN2968	carrière gallo-romaine	coupe réf. est-ouest	à géoréférencer	3/11/2015	Equipe de fouille
5		DSCN2969	carrière gallo-romaine	coupe réf. est-ouest	à géoréférencer	3/11/2015	Equipe de fouille
5		DSCN2970	carrière gallo-romaine	coupe réf. est-ouest	à géoréférencer	3/11/2015	Equipe de fouille
5		DSCN2971	carrière gallo-romaine	coupe réf. est-ouest	à géoréférencer	3/11/2015	Equipe de fouille
5		DSCN2972	carrière gallo-romaine	coupe réf. est-ouest	à géoréférencer	3/11/2015	Equipe de fouille

5		DSCN2973	carrière gallo-romaine	coupe réf. est-ouest		à géoréférencer	3/11/2015	Equipe de fouille
5		DSCN2974	carrière gallo-romaine	coupe réf. est-ouest		à géoréférencer	3/11/2015	Equipe de fouille
5		DSCN2975	carrière gallo-romaine	coupe réf. est-ouest		à géoréférencer	3/11/2015	Equipe de fouille
5		DSCN2976	carrière gallo-romaine	coupe réf. est-ouest		à géoréférencer	3/11/2015	Equipe de fouille
5		DSCN2977	carrière gallo-romaine	coupe réf. est-ouest		à géoréférencer	3/11/2015	Equipe de fouille
5		DSCN2978	carrière gallo-romaine	coupe réf. est-ouest		à géoréférencer	3/11/2015	Equipe de fouille
5		DSCN2887	carrière gallo-romaine	coupe réf. nord-sud		à géoréférencer	3/9/2015	Equipe de fouille
5		DSCN2888	carrière gallo-romaine	coupe réf. nord-sud		à géoréférencer	3/9/2015	Equipe de fouille
5		DSCN2889	carrière gallo-romaine	coupe réf. nord-sud		à géoréférencer	3/9/2015	Equipe de fouille
5		DSCN2890	carrière gallo-romaine	coupe réf. nord-sud		à géoréférencer	3/9/2015	Equipe de fouille
5		DSCN2891	carrière gallo-romaine	coupe réf. nord-sud		à géoréférencer	3/9/2015	Equipe de fouille
5		DSCN2892	carrière gallo-romaine	coupe réf. nord-sud		à géoréférencer	3/9/2015	Equipe de fouille
5		DSCN2893	carrière gallo-romaine	coupe réf. nord-sud		à géoréférencer	3/9/2015	Equipe de fouille
5		DSCN2894	carrière gallo-romaine	coupe réf. nord-sud		à géoréférencer	3/9/2015	Equipe de fouille
5		DSCN2895	carrière gallo-romaine	coupe réf. nord-sud		à géoréférencer	3/9/2015	Equipe de fouille
5		DSCN2896	carrière gallo-romaine	coupe réf. nord-sud		à géoréférencer	3/9/2015	Equipe de fouille
5		DSCN2897	carrière gallo-romaine	coupe réf. nord-sud		à géoréférencer	3/9/2015	Equipe de fouille
5		DSCN2943	carrière gallo-romaine	coupe réf. nord-sud		à géoréférencer	3/11/2015	Equipe de fouille
5		DSCN2944	carrière gallo-romaine	coupe réf. nord-sud		à géoréférencer	3/11/2015	Equipe de fouille
5		DSCN2945	carrière gallo-romaine	coupe réf. nord-sud		à géoréférencer	3/11/2015	Equipe de fouille
5		DSCN2946	carrière gallo-romaine	coupe réf. nord-sud		à géoréférencer	3/11/2015	Equipe de fouille
5		DSCN2947	carrière gallo-romaine	coupe réf. nord-sud		à géoréférencer	3/11/2015	Equipe de fouille
5		DSCN2948	carrière gallo-romaine	coupe réf. nord-sud		à géoréférencer	3/11/2015	Equipe de fouille
5		DSCN2949	carrière gallo-romaine	coupe réf. nord-sud		à géoréférencer	3/11/2015	Equipe de fouille
5		DSCN2950	carrière gallo-romaine	coupe réf. nord-sud		à géoréférencer	3/11/2015	Equipe de fouille
5		DSCN2951	carrière gallo-romaine	coupe réf. nord-sud		à géoréférencer	3/11/2015	Equipe de fouille
5		DSCN2952	carrière gallo-romaine	coupe réf. nord-sud		à géoréférencer	3/11/2015	Equipe de fouille
5		DSCN2953	carrière gallo-romaine	coupe réf. nord-sud		à géoréférencer	3/11/2015	Equipe de fouille
5		DSCN2954	carrière gallo-romaine	coupe réf. nord-sud		à géoréférencer	3/11/2015	Equipe de fouille
5		DSCN2954	carrière gallo-romaine	coupe réf. nord-sud		à géoréférencer	3/11/2015	Equipe de fouille
5		DSCN2955	carrière gallo-romaine	coupe réf. nord-sud		à géoréférencer	3/11/2015	Equipe de fouille
5		DSCN2956	carrière gallo-romaine	coupe réf. nord-sud		à géoréférencer	3/11/2015	Equipe de fouille
5		DSCN2957	carrière gallo-romaine	coupe réf. nord-sud		à géoréférencer	3/11/2015	Equipe de fouille
5		DSCN2958	carrière gallo-romaine	coupe réf. nord-sud		à géoréférencer	3/11/2015	Equipe de fouille
5	F147	DSCN2830	François au nettoyage				3/4/2015	Equipe de fouille
7	F212	DSCN2966	fossé	vue coupe	est		3/11/2015	Equipe de fouille
7	F212	DSCN2967	fossé	vue coupe	est		3/11/2015	Equipe de fouille
7	F1118-1119	DSCN3642	fossés parallèles	vue coupe	est		4/16/2015	Equipe de fouille
9	F213	DSCN2960	fosse en cours de fouille avec céramiques	vue coupe			11-mars	Equipe de fouille
9	F213	DSCN2962	fosse	vue coupe	ouest		3/11/2015	Equipe de fouille
9	F213	DSCN2963	fosse (coupe le fossé F212)	vue coupe	ouest		3/11/2015	Equipe de fouille
9	F213	DSCN2964	fosse (coupe le fossé F212)	vue coupe	ouest		3/11/2015	Equipe de fouille
15	F381	DSCN3076	fossé	vue coupe	nord-est		3/18/2015	Equipe de fouille
15	F381	DSCN3078	fossé	vue coupe	nord-est		3/18/2015	Equipe de fouille
16	cimetière	DSCN3022	cimetière	vue générale	est		3/12/2015	Equipe de fouille
16	cimetière	DSCN3023	cimetière	vue générale	ouest		3/12/2015	Equipe de fouille
16	F344	DSCN3090	fossé	vue coupe	est		3/19/2015	Equipe de fouille
16	F430	DSCN3092	fossé	vue coupe	nord-ouest		3/19/2015	Equipe de fouille
16	F430	DSCN3093	fossé	vue coupe	nord-ouest		3/19/2015	Equipe de fouille
16	F356	DSCN3138	sépulture fouillée	vue verticale			3/20/2015	Equipe de fouille
16	F356	DSCN3139	sépulture fouillée	vue verticale			3/20/2015	Equipe de fouille
16	F356	DSCN3140	sépulture fouillée	vue générale	nord-est		3/20/2015	Equipe de fouille
16	F400	DSCN3141	sépulture fouillée	vue verticale			3/20/2015	Equipe de fouille
16	F400	DSCN3142	sépulture fouillée	vue verticale			3/20/2015	Equipe de fouille
16	F400	DSCN3143	sépulture fouillée	vue générale	nord-est		3/20/2015	Equipe de fouille

16	F398	DSCN3144	sépulture fouillée	vue verticale		3/20/2015	Equipe de fouille
16	F398	DSCN3146	sépulture fouillée	vue verticale		3/20/2015	Equipe de fouille
16	F398	DSCN3147	sépulture fouillée	vue générale	nord-est	3/20/2015	Equipe de fouille
16	F398	DSCN3148	sépulture fouillée	vue générale	nord-ouest	3/20/2015	Equipe de fouille
16	F348	DSCN3152	TP	vue coupe	nord-ouest	3/20/2015	Equipe de fouille
16	F348	DSCN3153	TP	vue coupe	nord-ouest	3/20/2015	Equipe de fouille
16	F348	DSCN3154	TP à moitié fouillé	vue verticale		3/20/2015	Equipe de fouille
16	F346	DSCN3177	sépulture fouillée	vue verticale		3/20/2015	Equipe de fouille
16	F346	DSCN3178	sépulture fouillée	vue verticale		3/20/2015	Equipe de fouille
16	F346	DSCN3179	sépulture fouillée prise sous berme	vue générale	nord-est	3/20/2015	Equipe de fouille
16		IMG_5378	cimetière médiéval, carré A'	vue verticale	à géoréférencer	3/25/2015	Equipe de fouille
16		IMG_5380	cimetière médiéval, carré A'	vue verticale	à géoréférencer	3/25/2015	Equipe de fouille
16		IMG_5381	cimetière médiéval, carré B'	vue verticale	à géoréférencer	3/25/2015	Equipe de fouille
16		IMG_5382	cimetière médiéval, carré C'	vue verticale	à géoréférencer	3/25/2015	Equipe de fouille
16		IMG_5387	cimetière médiéval, carré D'	vue verticale	à géoréférencer	3/25/2015	Equipe de fouille
16		IMG_5389	cimetière médiéval, carré E'	vue verticale	à géoréférencer	3/25/2015	Equipe de fouille
16		IMG_5393	cimetière médiéval, carré F'	vue verticale	à géoréférencer	3/25/2015	Equipe de fouille
16		IMG_5396	cimetière médiéval, carré G'	vue verticale	à géoréférencer	3/25/2015	Equipe de fouille
16		IMG_5399	cimetière médiéval, carré H'	vue verticale	à géoréférencer	3/25/2015	Equipe de fouille
17	cimetière	DSCN3019	cimetière médiéval	vue générale	est	3/12/2015	Equipe de fouille
17	cimetière	DSCN3020	cimetière médiéval	vue générale	est	3/12/2015	Equipe de fouille
17	cimetière	DSCN3021	cimetière médiéval	vue générale	ouest	3/12/2015	Equipe de fouille
17	F359	DSCN3066	coupe fossé	vue coupe	est	3/18/2015	Equipe de fouille
17	F359	DSCN3067	coupe fossé	vue coupe	est	3/18/2015	Equipe de fouille
17	F359	DSCN3068	coupe fossé	vue coupe	est	3/18/2015	Equipe de fouille
17	F360	DSCN3069	coupe fossé	vue coupe	sud-ouest	3/18/2015	Equipe de fouille
17	F360	DSCN3070	coupe fossé	vue coupe	sud-ouest	3/18/2015	Equipe de fouille
17	F360	DSCN3071	coupe fossé	vue coupe	sud-ouest	3/18/2015	Equipe de fouille
17	F360	DSCN3073	coupe fossé	vue coupe	sud-ouest	3/18/2015	Equipe de fouille
17	F661	DSCN3075	coupe fossé	vue coupe	ouest	3/18/2015	Equipe de fouille
17	F373	DSCN3155	sépulture fouillée	vue verticale		3/20/2015	Equipe de fouille
17	F373	DSCN3156	sépulture fouillée	vue verticale		3/20/2015	Equipe de fouille
17	F373	DSCN3157	sépulture fouillée prise sous berme	vue générale	nord-est	3/20/2015	Equipe de fouille
17	F594	DSCN3158	TP	vue coupe	sud	3/20/2015	Equipe de fouille
17	F594	DSCN3159	TP	vue coupe	sud	3/20/2015	Equipe de fouille
17	F594	DSCN3160	TP à moitié fouillé	vue verticale		3/20/2015	Equipe de fouille
17	F367	DSCN3161	sépulture fouillée	vue verticale		3/20/2015	Equipe de fouille
17	F367	DSCN3162	sépulture fouillée	vue verticale		3/20/2015	Equipe de fouille
17	F367	DSCN3163	sépulture fouillée prise sous berme	vue générale	sud-ouest	3/20/2015	Equipe de fouille
17	F384	DSCN3164	sépulture fouillée	vue verticale		3/20/2015	Equipe de fouille
17	F384	DSCN3165	sépulture fouillée	vue verticale		3/20/2015	Equipe de fouille
17	F384	DSCN3166	sépulture fouillée	vue générale	nord-est	3/20/2015	Equipe de fouille
17	F385	DSCN3167	sépulture fouillée	vue verticale		3/20/2015	Equipe de fouille
17	F385	DSCN3168	sépulture fouillée	vue verticale		3/20/2015	Equipe de fouille
17	F385	DSCN3169	sépulture fouillée	vue générale	nord-est	3/20/2015	Equipe de fouille
17	F390-389	DSCN3170	sépultures fouillées	vue verticale		3/20/2015	Equipe de fouille
17	F390-389	DSCN3172	sépultures fouillées	vue verticale		3/20/2015	Equipe de fouille
17	F390	DSCN3173	sépultures fouillées	vue générale	nord-est	3/20/2015	Equipe de fouille
17	F392	DSCN3174	sépulture fouillée	vue verticale		3/20/2015	Equipe de fouille
17	F392	DSCN3175	sépulture fouillée	vue verticale		3/20/2015	Equipe de fouille
17	F392	DSCN3176	sépulture fouillée	vue générale	nord-est	3/20/2015	Equipe de fouille

17	IMG_5360	cimetière médiéval, carré A	vue verticale		à géoréférencer	3/25/2015	Equipe de fouille	
17	IMG_5361	cimetière médiéval, carré A	vue verticale		à géoréférencer	3/25/2015	Equipe de fouille	
17	IMG_5362	cimetière médiéval, carré B	vue verticale		à géoréférencer	3/25/2015	Equipe de fouille	
17	IMG_5364	cimetière médiéval, carré C	vue verticale		à géoréférencer	3/25/2015	Equipe de fouille	
17	IMG_5365	cimetière médiéval, carré D	vue verticale		à géoréférencer	3/25/2015	Equipe de fouille	
17	IMG_5366	cimetière médiéval, carré E	vue verticale		à géoréférencer	3/25/2015	Equipe de fouille	
17	IMG_5368	cimetière médiéval, carré F	vue verticale		à géoréférencer	3/25/2015	Equipe de fouille	
17	IMG_5369	cimetière médiéval, carré G	vue verticale		à géoréférencer	3/25/2015	Equipe de fouille	
17	IMG_5371	cimetière médiéval, carré G	vue verticale		à géoréférencer	3/25/2015	Equipe de fouille	
17	IMG_5374	cimetière médiéval, carré H	vue verticale		à géoréférencer	3/25/2015	Equipe de fouille	
17	IMG_5375	cimetière médiéval, carré I	vue verticale		à géoréférencer	3/25/2015	Equipe de fouille	
17	IMG_5376	cimetière médiéval, carré J	vue verticale		à géoréférencer	3/25/2015	Equipe de fouille	
21	F450	DSCN3030	foyer à pierres chauffées après nettoyage	vue verticale		à géoréférencer	3/16/2015	Equipe de fouille
21	F450	DSCN3031	foyer à pierres chauffées après nettoyage	vue verticale		à géoréférencer	3/16/2015	Equipe de fouille
21	F448	DSCN3032	TP ou fosse ?	coupe	sud		3/16/2015	Equipe de fouille
21	F448	DSCN3033	TP ou fosse à moitié fouillé	vue verticale			3/16/2015	Equipe de fouille
21	F447	DSCN3034	fosse rubéfiée	coupe	nord-est		3/16/2015	Equipe de fouille
21	F447	DSCN3035	fosse rubéfiée	coupe	nord-est		3/16/2015	Equipe de fouille
21	F447	DSCN3036	fosse rubéfiée à moitié fouillée	vue verticale	nord-est		3/16/2015	Equipe de fouille
21	F449	DSCN3037	foyer à pierres chauffées, fouille en cours	coupe	nord-est		3/16/2015	Equipe de fouille
21	F449	DSCN3038	foyer à pierres chauffées, fouille en cours	coupe	nord-est		3/16/2015	Equipe de fouille
21	F449	DSCN3039	foyer à pierres chauffées, fouille en cours	vue verticale, noter les pierres de chant de l'entourage		à géoréférencer	3/16/2015	Equipe de fouille
21	F449	DSCN3041	foyer à pierres chauffées, fouille en cours	vue verticale, noter les pierres de chant de l'entourage		à géoréférencer	3/16/2015	Equipe de fouille
21	F449	DSCN3042	foyer à pierres chauffées, fouille en cours	vue verticale, noter les pierres de chant de l'entourage			3/16/2015	Equipe de fouille
21	F450	DSCN3043	foyer à pierres chauffées	coupe	nord-est		3/16/2015	Equipe de fouille
21	F450	DSCN3044	foyer à pierres chauffées	coupe	nord-est		3/16/2015	Equipe de fouille
21	F450	DSCN3045	foyer à pierres chauffées fouillé à moitié	verticale		à géoréférencer	3/16/2015	Equipe de fouille
21	F449	DSCN3046	foyer à pierres chauffées, dégagement complet des pierres	vue verticale		à géoréférencer	3/17/2015	Equipe de fouille
21	F449	DSCN3047	foyer à pierres chauffées, dégagement complet des pierres	vue verticale		à géoréférencer	3/17/2015	Equipe de fouille
21	F449	DSCN3048	foyer à pierres chauffées, dégagement complet des pierres	vue verticale		à géoréférencer	3/17/2015	Equipe de fouille
21	F449	DSCN3050	foyer à pierres chauffées, dégagement complet des pierres	vue verticale		à géoréférencer	3/17/2015	Equipe de fouille
21	F449	DSCN3051	foyer à pierres chauffées	vue coupe	nord-est		3/17/2015	Equipe de fouille
21	F449	DSCN3052	foyer à pierres chauffées, moitié fouillée	vue verticale		à géoréférencer	3/17/2015	Equipe de fouille
21	F449	DSCN3054	foyer à pierres chauffées, moitié fouillée	vue verticale			3/17/2015	Equipe de fouille
21	F449	DSCN3055	foyer à pierres chauffées, moitié fouillée	vue verticale		à géoréférencer	3/17/2015	Equipe de fouille
21	F449	DSCN3056	foyer	coupe, état fin de fouille	nord-est		3/17/2015	Equipe de fouille
21	F449	DSCN3057	coupe foyer	vue oblique			3/17/2015	Equipe de fouille
21	F449	DSCN3058	foyer, moitié fouillée	vue oblique			3/17/2015	Equipe de fouille
21	F449	DSCN3059	foyer, moitié fouillée	vue verticale			3/17/2015	Equipe de fouille
21	F449	DSCN3061	foyer, état fin de fouille	vue verticale			3/17/2015	Equipe de fouille

25	F493	DSCN3108	fossé	coupe	sud		3/19/2015	Equipe de fouille
25	F493	DSCN3109	fossé	coupe	sud		3/19/2015	Equipe de fouille
25	F506	DSCN3111	fossé	coupe	sud		3/19/2015	Equipe de fouille
25	F506	DSCN3112	fossé	coupe	sud		3/19/2015	Equipe de fouille
25	F506	DSCN3113	fossé	coupe	sud		3/19/2015	Equipe de fouille
25	F506	DSCN3114	fossé	coupe	sud		3/19/2015	Equipe de fouille
25	F491-492	IMG_5499	foyer sous berme et bout du four	vue verticale			4/2/2015	Equipe de fouille
25	F491-492-506	IMG_5500	foyer, four et fossé	vue verticale		à géoréférencer	4/2/2015	Equipe de fouille
25	F491-492-506	IMG_5501	foyer, four et fossé	vue verticale		à géoréférencer	4/2/2015	Equipe de fouille
25	F491-492-506	IMG_5502	four, fossé et foyer	vue verticale		à géoréférencer	4/2/2015	Equipe de fouille
25	F491-506	IMG_5503	four et fossé	vue verticale		à géoréférencer	4/2/2015	Equipe de fouille
25	F491-492-506	IMG_5504	partie nord four et fossé	vue verticale		à géoréférencer	4/2/2015	Equipe de fouille
25	F492-506-491	IMG_5505	partie sud foyer, fossé et four	vue verticale		à géoréférencer	4/2/2015	Equipe de fouille
25	F492-506-491	IMG_5506	partie sud foyer, fossé et four	vue verticale		à géoréférencer	4/2/2015	Equipe de fouille
25	F491-492-506	IMG_5507	four, fossé et foyer	vue verticale		à géoréférencer	4/2/2015	Equipe de fouille
25	F491-492-506	IMG_5508	four complet et extrémité de fossé	vue verticale		à géoréférencer	4/2/2015	Equipe de fouille
25	F491-492-506	IMG_5509	four complet et extrémité de fossé	vue verticale		à géoréférencer	4/2/2015	Equipe de fouille
25	F491-492-506	IMG_5510	four complet et extrémité de fossé	vue verticale		à géoréférencer	4/2/2015	Equipe de fouille
25	F491-492-506	IMG_5511	four et foyer complets	vue verticale		à géoréférencer	4/2/2015	Equipe de fouille
25	F491-492-506	IMG_5512	four et foyer complets	vue verticale		à géoréférencer	4/2/2015	Equipe de fouille
25	F491-492-506	IMG_5513	four et foyer complets	vue verticale		à géoréférencer	4/2/2015	Equipe de fouille
25	F491-492-506	IMG_5514	four et foyer complets	vue verticale		à géoréférencer	4/2/2015	Equipe de fouille
25	F491-492-506	IMG_5516	four et foyer complets	vue verticale		à géoréférencer	4/2/2015	Equipe de fouille
25	F477	DSCN3450	fosse après nettoyage	vue générale	nord-ouest		3/31/2015	Equipe de fouille
26	F477	DSCN3451	fosse après nettoyage	vue verticale			3/31/2015	Equipe de fouille
26	F477	DSCN3453	fosse après nettoyage	vue verticale			3/31/2015	Equipe de fouille
26	F477	DSCN3454	fosse	vue coupe	nord		3/31/2015	Equipe de fouille
26	F477	DSCN3455	fosse fouillée à moitié fouillée	vue verticale			3/31/2015	Equipe de fouille
26	F477	DSCN3456	fosse fouillée à moitié fouillée	vue générale	nord		3/31/2015	Equipe de fouille
26	F496-915	DSCN3457	fosses après nettoyage	vue générale	nord-est		4/1/2015	Equipe de fouille
26	F496-915	DSCN3458	fosses après nettoyage	vue générale	nord-est		4/1/2015	Equipe de fouille
26	F496-915	DSCN3459	fosses après nettoyage	vue générale	nord-ouest		4/1/2015	Equipe de fouille
26	F496-915	DSCN3460	fosses après nettoyage	vue de détail, partie sud	nord-ouest		4/1/2015	Equipe de fouille
26	F496	DSCN3461	fosse	vue coupe	nord-ouest		4/1/2015	Equipe de fouille
26	F496-915	DSCN3462	fosses après coupe de F496	vue générale	nord-ouest		4/1/2015	Equipe de fouille
26	F496	DSCN3463	fosse, détail principal creusement	vue coupe	nord-ouest		4/1/2015	Equipe de fouille
26	F496-915	DSCN3464	fosses après coupe de F496	vue générale	nord-ouest		4/1/2015	Equipe de fouille
26	F496-915	DSCN3465	fosses, après coupe de F496	vue de détail, partie sud	nord-ouest		4/1/2015	Equipe de fouille
26	F915	DSCN3466	fosse	vue coupe	ouest		4/1/2015	Equipe de fouille
26	F915	DSCN3468	fosse à moitié fouillée	vue verticale			4/1/2015	Equipe de fouille
26	F915	DSCN3478	fosse	vue coupe	ouest		4/1/2015	Equipe de fouille
27	F520	DSCN3095	fossé	vue coupe	est		3/19/2015	Equipe de fouille
27	F520	DSCN3096	fossé	vue coupe	est		3/19/2015	Equipe de fouille
27	F520	DSCN3097	fossé	vue coupe	est		3/19/2015	Equipe de fouille
27	F519	DSCN3099	fossé	vue coupe	est		3/19/2015	Equipe de fouille



27	F519	DSCN3100	fossé	vue coupe	est		3/19/2015	Equipe de fouille
27	F519	DSCN3101	fossé	vue coupe	ouest		3/19/2015	Equipe de fouille
27	F519	DSCN3102	fossé	vue coupe	ouest		3/19/2015	Equipe de fouille
31	F550	DSCN3080	fossé	vue coupe	nord		3/19/2015	Equipe de fouille
31	F550	DSCN3081	fossé	vue coupe	nord		3/19/2015	Equipe de fouille
31	F550	DSCN3082	fossé	vue coupe	nord		3/19/2015	Equipe de fouille
31	F551	DSCN3083	fossé	vue coupe	nord-ouest		3/19/2015	Equipe de fouille
31	F551	DSCN3084	fossé	vue coupe	nord-ouest		3/19/2015	Equipe de fouille
31	F550	DSCN3359	fossé	vue coupe	nord-ouest		3/26/2015	Equipe de fouille
31	F550	DSCN3360	fossé	vue coupe	nord-ouest		3/26/2015	Equipe de fouille
31	F551	DSCN3362	fossé	vue coupe	nord		3/26/2015	Equipe de fouille
31	F551	DSCN3363	fossé	vue coupe	nord		3/26/2015	Equipe de fouille
31	F551	DSCN3364	fossé	vue coupe	nord		3/26/2015	Equipe de fouille
33	F571	DSCN3103	fossé, partie basse dans l'eau	vue coupe	sud		3/19/2015	Equipe de fouille
33	F571	DSCN3104	fossé, partie basse dans l'eau	vue coupe	sud		3/19/2015	Equipe de fouille
33	F571	DSCN3106	fossé, partie basse dans l'eau	vue coupe	sud		3/19/2015	Equipe de fouille
33	F585-569-570	IMG_5518	four médiéval et fossés	vue verticale		à géoréférencer	4/2/2015	Equipe de fouille
33	F585-569-570	IMG_5519	four médiéval et fossés	vue verticale		à géoréférencer	4/2/2015	Equipe de fouille
33	F585-569-570	IMG_5520	four médiéval et fossés	vue verticale		à géoréférencer	4/2/2015	Equipe de fouille
33	F585-569-570	IMG_5521	four médiéval et fossés	vue verticale		à géoréférencer	4/2/2015	Equipe de fouille
33	F585-569-570	IMG_5522	four médiéval et fossés	vue verticale		à géoréférencer	4/2/2015	Equipe de fouille
38	F855	DSCN3492	foyer bouleversé	vue verticale		à géoréférencer	4/8/2015	Equipe de fouille
38	F855	DSCN3493	foyer bouleversé	vue verticale		à géoréférencer	4/8/2015	Equipe de fouille
38	F855	DSCN3494	foyer bouleversé à moitié fouillé	vue générale	sud		4/8/2015	Equipe de fouille
38	F855	DSCN3495	foyer bouleversé à moitié fouillé	vue générale	sud		4/8/2015	Equipe de fouille
39	F605	DSCN3366	fossé	vue coupe	est		3/26/2015	Equipe de fouille
39	F605	DSCN3367	fossé	vue coupe	est		3/26/2015	Equipe de fouille
39	F607	DSCN3369	fossé	vue coupe	est		3/26/2015	Equipe de fouille
39	F607	DSCN3370	fossé	vue coupe	est		3/26/2015	Equipe de fouille
39	F613	DSCN3372	fossé	vue coupe	sud		3/26/2015	Equipe de fouille
39	F613	DSCN3373	fossé	vue coupe	sud		3/26/2015	Equipe de fouille
39	F614	DSCN3441	foyer circulaire à pierres chauffées après nettoyage	vue verticale		à géoréférencer	3/30/2015	Equipe de fouille
39	F614	DSCN3442	foyer circulaire à pierres chauffées après nettoyage	vue verticale		à géoréférencer	3/30/2015	Equipe de fouille
39	F614	DSCN3443	foyer circulaire à pierres chauffées après nettoyage	vue verticale		à géoréférencer	3/30/2015	Equipe de fouille
39	F614	DSCN3444	foyer circulaire à pierres chauffées après nettoyage	vue verticale		à géoréférencer	3/30/2015	Equipe de fouille
39	F614	DSCN3445	foyer circulaire à pierres chauffées	coupe	nord		3/31/2015	Equipe de fouille
39	F614	DSCN3446	foyer circulaire à pierres chauffées	coupe	nord		3/31/2015	Equipe de fouille
39	F614	DSCN3447	foyer circulaire à pierres chauffées à moitié fouillé	vue verticale		à géoréférencer	3/31/2015	Equipe de fouille
39	F614	DSCN3448	foyer circulaire à pierres chauffées à moitié fouillé sous colluvions	vue générale	sud-ouest		3/31/2015	Equipe de fouille
39	F614	DSCN3449	foyer circulaire à pierres chauffées à moitié fouillé sous colluvions	vue générale	sud-ouest		3/31/2015	Equipe de fouille
39	F1071	DSCN3620	foyer circulaire à pierres chauffées après nettoyage	vue générale	nord-ouest		4/14/2015	Equipe de fouille
39	F1071	DSCN3621	foyer circulaire à pierres chauffées après nettoyage	vue verticale		à géoréférencer	4/14/2015	Equipe de fouille
39	F1071	DSCN3622	foyer circulaire à pierres chauffées après nettoyage	vue verticale		à géoréférencer	4/14/2015	Equipe de fouille

39	F1071	DSCN3623	foyer circulaire à pierres chauffées après nettoyage	vue verticale		à géoréférencer	4/14/2015	Equipe de fouille
39	F1071	DSCN3624	foyer circulaire à pierres chauffées après nettoyage	vue verticale		à géoréférencer	4/14/2015	Equipe de fouille
39	F1071	DSCN3625	foyer circulaire à pierres chauffées après nettoyage	vue verticale		à géoréférencer	4/14/2015	Equipe de fouille
39	F1071	DSCN3626	foyer circulaire à pierres chauffées après nettoyage	vue générale	nord-ouest		4/14/2015	Equipe de fouille
39	F1071	DSCN3627	foyer circulaire à pierres chauffées après nettoyage	vue générale	nord-ouest		4/14/2015	Equipe de fouille
39	F1071	DSCN3628	foyer circulaire à pierres chauffées après nettoyage	vue verticale		à géoréférencer	4/14/2015	Equipe de fouille
39	F1071	DSCN3630	foyer circulaire à pierres chauffées après nettoyage	vue générale	nord-ouest		4/14/2015	Equipe de fouille
39	F1078	DSCN3632	urne funéraire arasée après nettoyage	vue verticale			4/14/2015	Equipe de fouille
39	F1078	DSCN3633	urne funéraire arasée après nettoyage	vue verticale			4/14/2015	Equipe de fouille
39	F1078	DSCN3634	urne funéraire arasée après nettoyage	vue verticale			4/14/2015	Equipe de fouille
39	F1078	DSCN3635	urne funéraire arasée après nettoyage	vue générale	nord-est		4/14/2015	Equipe de fouille
39	F1078	DSCN3636	urne funéraire arasée après nettoyage	vue verticale			4/14/2015	Equipe de fouille
39	F1078	IMG_5577	urne funéraire	coupe	nord-est		4/14/2015	Equipe de fouille
39	F1078	IMG_5578	urne funéraire fouillée à moitié	vue générale	nord-est		4/14/2015	Equipe de fouille
39	F1078	IMG_5579	urne funéraire fouillée à moitié	vue générale	nord-est		4/14/2015	Equipe de fouille
39	F1078	IMG_5580	urne funéraire	coupe	nord-est		4/14/2015	Equipe de fouille
39	F1072	IMG_5586	foyer circulaire à pierres chauffées après nettoyage	vue verticale		à géoréférencer	4/14/2015	Equipe de fouille
39	F1072	IMG_5587	foyer circulaire à pierres chauffées après nettoyage	vue verticale		à géoréférencer	4/14/2015	Equipe de fouille
39	F1072	IMG_5588	foyer circulaire à pierres chauffées après nettoyage	vue verticale		à géoréférencer	4/14/2015	Equipe de fouille
39	F1070	IMG_5590	foyer démantelé après nettoyage	vue verticale		à géoréférencer	4/14/2015	Equipe de fouille
39	F1070	IMG_5591	foyer démantelé après nettoyage	vue verticale		à géoréférencer	4/14/2015	Equipe de fouille
39	F1077	IMG_5596	foyer à pierres chauffées après nettoyage	vue verticale		à géoréférencer	4/14/2015	Equipe de fouille
39	F1077	IMG_5597	foyer à pierres chauffées après nettoyage	vue verticale		à géoréférencer	4/14/2015	Equipe de fouille
39	F1077	IMG_5598	foyer à pierres chauffées après nettoyage	vue verticale		à géoréférencer	4/14/2015	Equipe de fouille
39	F374	DSCN3212	incinération après nettoyage de surface	vue générale	nord		3/25/2015	Equipe de fouille
39	F374	DSCN3213	incinération après nettoyage de surface	vue générale	nord		3/25/2015	Equipe de fouille
39	F374	DSCN3214	incinération après nettoyage de surface	vue générale	nord		3/25/2015	Equipe de fouille
39	F374	DSCN3215	incinération après nettoyage de surface	vue générale	nord		3/25/2015	Equipe de fouille
39	F374	DSCN3216	incinération après nettoyage de surface	vue générale	nord		3/25/2015	Equipe de fouille
39	F374	DSCN3217	incinération après nettoyage de surface	vue générale	nord		3/25/2015	Equipe de fouille
39	F374	DSCN3218	incinération après nettoyage de surface	vue générale	nord-est		3/25/2015	Equipe de fouille
39	F374	DSCN3219	incinération après nettoyage de surface	vue rapprochée	nord-est		3/25/2015	Equipe de fouille
39	F374	DSCN3220	incinération après nettoyage de surface	vue verticale			3/25/2015	Equipe de fouille
39	F374	DSCN3221	incinération après nettoyage de surface	vue verticale			3/25/2015	Equipe de fouille
39	F374	DSCN3222	incinération après nettoyage de surface	vue rapprochée	nord-ouest		3/25/2015	Equipe de fouille
39	F374	DSCN3223	incinération après nettoyage de surface	vue verticale		à géoréférencer	3/25/2015	Equipe de fouille
39	F374	DSCN3224	incinération après nettoyage de surface	vue verticale		à géoréférencer	3/25/2015	Equipe de fouille





39	F374	DSCN3318	incinération après moitié de fouille de la fosse et dégagement de l'urne	vue générale sub-verticale	sud-est	3/25/2015	Equipe de fouille
39	F374	DSCN3319	incinération après moitié de fouille de la fosse et dégagement de l'urne	vue oblique	sud	3/25/2015	Equipe de fouille
39	F374	DSCN3320	incinération après moitié de fouille de la fosse et dégagement de l'urne	vue oblique	sud	3/25/2015	Equipe de fouille
39	F374	DSCN3321	incinération après moitié de fouille de la fosse et dégagement de l'urne	vue oblique	sud	3/25/2015	Equipe de fouille
39	F374	DSCN3322	incinération après moitié de fouille de la fosse et dégagement de l'urne	vue oblique	sud	3/25/2015	Equipe de fouille
39	F374	DSCN3323	incinération après moitié de fouille de la fosse et dégagement de l'urne	vue coupe	sud-est	3/25/2015	Equipe de fouille
39	F374	DSCN3324	incinération après moitié de fouille de la fosse et dégagement de l'urne	vue coupe	sud-est	3/25/2015	Equipe de fouille
39	F374	DSCN3325	incinération après moitié de fouille de la fosse et dégagement de l'urne	vue coupe	sud-est	3/25/2015	Equipe de fouille
39	F374	DSCN3326	incinération après moitié de fouille de la fosse et dégagement de l'urne	vue coupe	est	3/25/2015	Equipe de fouille
39	F374	DSCN3327	incinération après moitié de fouille de la fosse et dégagement de l'urne	vue coupe	est	3/25/2015	Equipe de fouille
39	F374	DSCN3328	incinération après moitié de fouille de la fosse et dégagement de l'urne	vue coupe	est	3/25/2015	Equipe de fouille
39	F374	DSCN3329	incinération après moitié de fouille de la fosse et dégagement de l'urne	vue coupe	est	3/25/2015	Equipe de fouille
39	F374	DSCN3330	incinération après moitié de fouille de la fosse et dégagement de l'urne	vue coupe	est	3/25/2015	Equipe de fouille
39	F374	DSCN3331	incinération après moitié de fouille de la fosse et dégagement de l'urne	vue coupe	est	3/25/2015	Equipe de fouille
39	F374	DSCN3332	incinération après moitié de fouille de la fosse et dégagement de l'urne	vue coupe	est	3/25/2015	Equipe de fouille
39	F374	DSCN3333	incinération après moitié de fouille de la fosse et dégagement de l'urne	vue coupe	sud-est	3/25/2015	Equipe de fouille
39	F374	DSCN3334	incinération après moitié de fouille de la fosse et dégagement de l'urne	vue coupe	sud-est	3/25/2015	Equipe de fouille
39	F374	DSCN3335	incinération après moitié de fouille de la fosse et dégagement de l'urne	vue coupe	sud-est	3/25/2015	Equipe de fouille
39	F374	DSCN3336	incinération après moitié de fouille de la fosse et dégagement de l'urne	vue coupe	sud-est	3/25/2015	Equipe de fouille
39	F374	DSCN3337	incinération après moitié de fouille de la fosse et dégagement de l'urne	vue coupe	sud	3/25/2015	Equipe de fouille
39	F374	DSCN3338	incinération après moitié de fouille de la fosse et dégagement de l'urne	vue coupe	sud	3/25/2015	Equipe de fouille
39	F374	DSCN3339	incinération après moitié de fouille de la fosse et dégagement de l'urne	vue coupe	sud	3/25/2015	Equipe de fouille
39	F374	DSCN3340	incinération après moitié de fouille de la fosse et dégagement de l'urne	vue coupe	sud-ouest	3/25/2015	Equipe de fouille
39	F374	DSCN3341	incinération après fouille et dégagement complet de l'urne	vue verticale		3/25/2015	Equipe de fouille
39	F374	DSCN3342	incinération après fouille et dégagement complet de l'urne	vue verticale		3/25/2015	Equipe de fouille
39	F374	DSCN3343	incinération après fouille et dégagement complet de l'urne	vue verticale		3/25/2015	Equipe de fouille
39	F374	DSCN3344	incinération après fouille et dégagement complet de l'urne	vue rapprochée	est	3/25/2015	Equipe de fouille



39	F374	DSCN3345	incinération après fouille et dégagement complet de l'urne	vue rapprochée	est		3/25/2015	Equipe de fouille
39	F374	DSCN3346	incinération après fouille et dégagement complet de l'urne	vue rapprochée	nord		3/25/2015	Equipe de fouille
39	F374	DSCN3347	incinération après fouille et dégagement complet de l'urne	vue rapprochée	nord		3/25/2015	Equipe de fouille
39	F374	DSCN3348	incinération après fouille et dégagement complet de l'urne	vue rapprochée	nord-est		3/25/2015	Equipe de fouille
39	F374	DSCN3349	incinération après fouille et dégagement complet de l'urne	vue rapprochée	nord-est		3/25/2015	Equipe de fouille
39	F374	DSCN3350	incinération après fouille et dégagement complet de l'urne	vue rapprochée	nord-est		3/25/2015	Equipe de fouille
39	F374	DSCN3351	incinération après fouille et dégagement complet de l'urne	vue rapprochée	nord-est		3/25/2015	Equipe de fouille
39	F374	DSCN3352	incinération après fouille et dégagement complet de l'urne	vue rapprochée	nord-est		3/25/2015	Equipe de fouille
39	F374	DSCN3353	incinération après fouille et dégagement complet de l'urne	vue rapprochée	nord-est		3/25/2015	Equipe de fouille
39	F374	DSCN3354	incinération après fouille et dégagement complet de l'urne	vue rapprochée	nord		3/25/2015	Equipe de fouille
39	F374	DSCN3355	incinération après fouille et dégagement complet de l'urne	vue rapprochée	nord		3/25/2015	Equipe de fouille
39	F374	DSCN3356	incinération après fouille et dégagement complet de l'urne	vue rapprochée	nord-ouest		3/25/2015	Equipe de fouille
39	F374	DSCN3357	incinération après fouille et dégagement complet de l'urne	vue rapprochée	nord-ouest		3/25/2015	Equipe de fouille
39	F374	DSCN3380	incinération après fouille complète de la fosse et prélèvement de l'urne	vue verticale		à géoréférencer	3/26/2015	Equipe de fouille
39	F374	DSCN3381	incinération après fouille complète de la fosse et prélèvement de l'urne	vue verticale			3/26/2015	Equipe de fouille
39	F374	DSCN3382	incinération après fouille complète de la fosse et prélèvement de l'urne	vue verticale			3/26/2015	Equipe de fouille
40	F672	DSCN3375	fossé	coupe	nord-est		3/26/2015	Equipe de fouille
40	F672	DSCN3376	fossé	coupe	nord-est		3/26/2015	Equipe de fouille
40	F672	DSCN3377	fossé	coupe	nord-est		3/26/2015	Equipe de fouille
40	F762	DSCN3378	fossé	coupe	sud		3/26/2015	Equipe de fouille
40	F762	DSCN3379	fossé	coupe	sud		3/26/2015	Equipe de fouille
40	F685	DSCN3417	grande fosse d'extraction de sable arénitique	coupe nord-sud		à géoréférencer	3/30/2015	Equipe de fouille
40	F685	DSCN3418	grande fosse d'extraction de sable arénitique	coupe nord-sud		à géoréférencer	3/30/2015	Equipe de fouille
40	F685	DSCN3419	grande fosse d'extraction de sable arénitique	coupe nord-sud		à géoréférencer	3/30/2015	Equipe de fouille
40	F685	DSCN3420	grande fosse d'extraction de sable arénitique	coupe nord-sud		à géoréférencer	3/30/2015	Equipe de fouille
40	F685	DSCN3421	grande fosse d'extraction de sable arénitique	coupe nord-sud		à géoréférencer	3/30/2015	Equipe de fouille
40	F685	DSCN3422	grande fosse d'extraction de sable arénitique	coupe nord-sud		à géoréférencer	3/30/2015	Equipe de fouille
40	F685	DSCN3423	grande fosse d'extraction de sable arénitique	coupe nord-sud		à géoréférencer	3/30/2015	Equipe de fouille
40	F685	DSCN3424	grande fosse d'extraction de sable arénitique	coupe nord-sud		à géoréférencer	3/30/2015	Equipe de fouille
40	F685	DSCN3425	grande fosse d'extraction de sable arénitique	coupe nord-sud		à géoréférencer	3/30/2015	Equipe de fouille
40	F685	DSCN3426	grande fosse d'extraction de sable arénitique	coupe nord-sud		à géoréférencer	3/30/2015	Equipe de fouille
40	F685	DSCN3427	grande fosse d'extraction de sable arénitique	coupe nord-sud		à géoréférencer	3/30/2015	Equipe de fouille
40	F685	DSCN3428	grande fosse d'extraction de sable arénitique	coupe nord-sud		à géoréférencer	3/30/2015	Equipe de fouille

40	F685	DSCN3429	grande fosse d'extraction de sable arénitique	coupe nord-sud		à géoréférencer	3/30/2015	Equipe de fouille
40	F685	DSCN3430	grande fosse d'extraction de sable arénitique	coupe nord-sud		à géoréférencer	3/30/2015	Equipe de fouille
40	F685	DSCN3431	grande fosse d'extraction de sable arénitique	coupe nord-sud		à géoréférencer	3/30/2015	Equipe de fouille
40	F685	DSCN3432	grande fosse d'extraction de sable arénitique	coupe nord-sud		à géoréférencer	3/30/2015	Equipe de fouille
40	F685	DSCN3433	grande fosse d'extraction de sable arénitique	coupe est-ouest		à géoréférencer	3/30/2015	Equipe de fouille
40	F685	DSCN3434	grande fosse d'extraction de sable arénitique	coupe est-ouest		à géoréférencer	3/30/2015	Equipe de fouille
40	F685	DSCN3435	grande fosse d'extraction de sable arénitique	coupe est-ouest		à géoréférencer	3/30/2015	Equipe de fouille
40	F685	DSCN3436	grande fosse d'extraction de sable arénitique	coupe est-ouest		à géoréférencer	3/30/2015	Equipe de fouille
40	F685	DSCN3437	grande fosse d'extraction de sable arénitique	coupe est-ouest		à géoréférencer	3/30/2015	Equipe de fouille
40	F685	DSCN3438	grande fosse d'extraction de sable arénitique	coupe est-ouest		à géoréférencer	3/30/2015	Equipe de fouille
40	F685	IMG_5439	grande fosse d'extraction de sable arénitique	vue générale			3/27/2015	Equipe de fouille
40	F685	IMG_5440	grande fosse d'extraction de sable arénitique	vue générale			3/27/2015	Equipe de fouille
40	F685	IMG_5441	grande fosse d'extraction de sable arénitique	vue générale			3/27/2015	Equipe de fouille
41	F715	DSCN3063	fosse	coupe	est		3/18/2015	Equipe de fouille
41	F715	DSCN3064	fosse	coupe	est		3/18/2015	Equipe de fouille
41	F697-696-702	DSCN3387	fossés parallèles	coupe	sud-ouest		3/26/2015	Equipe de fouille
41	F696-702-701-699-695	DSCN3388	fossés parallèles	coupe	sud-ouest		3/26/2015	Equipe de fouille
41	F696-702-701-699-695	DSCN3390	fossés parallèles	coupe	sud-ouest		3/26/2015	Equipe de fouille
41	F703	DSCN3192	fosse avec casques allemands	vue verticale première passe			3/23/2015	Equipe de fouille
41	F703	DSCN3193	fosse avec casques allemands	vue verticale première passe			3/23/2015	Equipe de fouille
41	F703	DSCN3194	fosse avec casques allemands	vue verticale première passe			3/23/2015	Equipe de fouille
41	F703	DSCN3195	fosse avec casques allemands	vue verticale première passe			3/23/2015	Equipe de fouille
41	F703	DSCN3202	fosse avec casques allemands	vue générale, fin de fouille	ouest		3/25/2015	Equipe de fouille
41	F703	DSCN3203	fosse avec casques allemands	vue générale, fin de fouille	est		3/25/2015	Equipe de fouille
41	F703	DSCN3204	fosse avec casques allemands	vue générale, fin de fouille	est		3/25/2015	Equipe de fouille
41	F703	DSCN3205	fosse avec casques allemands	vue générale, fin de fouille	sud-est		3/25/2015	Equipe de fouille
41	F703	DSCN3206	fosse avec casques allemands	vue générale, fin de fouille	sud		3/25/2015	Equipe de fouille
41	F703	DSCN3207	fosse avec casques allemands	vue générale, fin de fouille	sud		3/25/2015	Equipe de fouille
41	F703	DSCN3208	fosse avec casques allemands	vue générale, fin de fouille	ouest		3/25/2015	Equipe de fouille
41	F703	DSCN3209	fosse avec casques allemands	vue générale, fin de fouille	nord		3/25/2015	Equipe de fouille
41	F703	DSCN3210	fosse avec casques allemands	vue générale, fin de fouille	nord		3/25/2015	Equipe de fouille
41	F703	DSCN3211	fosse avec casques allemands	vue générale, fin de fouille	ouest		3/25/2015	Equipe de fouille
41	F703	IMG_5400	fosse avec casques allemands	vue verticale		à géoréférencer	3/25/2015	Equipe de fouille
41	F703	IMG_5401	fosse avec casques allemands	vue verticale		à géoréférencer	3/25/2015	Equipe de fouille
41	F703	IMG_5402	fosse avec casques allemands	vue verticale		à géoréférencer	3/25/2015	Equipe de fouille
41	F703	IMG_5407	fosse avec casques allemands	vue verticale		à géoréférencer	3/25/2015	Equipe de fouille
41	F703	IMG_5408	fosse avec casques allemands	vue verticale		à géoréférencer	3/25/2015	Equipe de fouille

41	F703	IMG_5409	fosse avec casques allemands	vue verticale		à géoréférencer	3/25/2015	Equipe de fouille
41	F716	DSCN3393	four en pierres sèches dans fosse	vue verticale après nettoyage		à géoréférencer	3/26/2015	Equipe de fouille
41	F716	DSCN3394	four en pierres sèches dans fosse	vue verticale après nettoyage		à géoréférencer	3/26/2015	Equipe de fouille
41	F716	DSCN3397	four en pierres sèches dans fosse	vue verticale après nettoyage		à géoréférencer	3/26/2015	Equipe de fouille
41	F716	DSCN3398	four en pierres sèches dans fosse	vue verticale après nettoyage		à géoréférencer	3/26/2015	Equipe de fouille
41	F716	DSCN3401	four en pierres sèches dans fosse	vue verticale, coupe partielle		à géoréférencer	3/27/2015	Equipe de fouille
41	F716	DSCN3402	four en pierres sèches dans fosse	vue générale, coupe partielle	est		3/27/2015	Equipe de fouille
41	F716	DSCN3403	four en pierres sèches dans fosse	vue générale, coupe partielle	est		3/27/2015	Equipe de fouille
41	F716	DSCN3404	four en pierres sèches dans fosse	vue de détail, partie sud			3/27/2015	Equipe de fouille
41	F716	DSCN3405	four en pierres sèches dans fosse	vue de détail, moitié sud			3/27/2015	Equipe de fouille
41	F716	DSCN3406	four en pierres sèches dans fosse	vue de détail, partie nord			3/27/2015	Equipe de fouille
41	F716	DSCN3407	four en pierres sèches dans fosse	vue de détail, partie nord			3/27/2015	Equipe de fouille
41	F716	DSCN3408	four en pierres sèches dans fosse	vue générale, coupe partielle	nord		3/27/2015	Equipe de fouille
41	F716	DSCN3409	four en pierres sèches dans fosse	vue générale, coupe partielle	sud		3/27/2015	Equipe de fouille
41	F716	DSCN3410	four en pierres sèches dans fosse	vue verticale, coupe partielle		à géoréférencer	3/27/2015	Equipe de fouille
41	F716	DSCN3411	four en pierres sèches dans fosse	vue verticale, coupe partielle		à géoréférencer	3/27/2015	Equipe de fouille
41	F716	DSCN3412	four en pierres sèches dans fosse	vue générale, coupe	nord-est		3/27/2015	Equipe de fouille
41	F716	DSCN3413	four en pierres sèches dans fosse	vue de détail, coupe	nord-est		3/27/2015	Equipe de fouille
41	F716	DSCN3414	four en pierres sèches dans fosse	vue de détail, coupe	nord-est		3/27/2015	Equipe de fouille
41	F716	DSCN3415	four en pierres sèches dans fosse	vue de détail, coupe	nord-est		3/27/2015	Equipe de fouille
41	F716	DSCN3416	four en pierres sèches dans fosse	vue de détail, coupe	nord-est		3/27/2015	Equipe de fouille
41	F716	DSCN3586	four en pierres sèches dans fosse	vue verticale, fin de fouille		à géoréférencer	4/10/2015	Equipe de fouille
41	F716	DSCN3587	four en pierres sèches dans fosse	vue verticale, fin de fouille		à géoréférencer	4/10/2015	Equipe de fouille
41	F716	DSCN3589	four en pierres sèches dans fosse	vue verticale, fin de fouille		à géoréférencer	4/10/2015	Equipe de fouille
41	F716	DSCN3592	four en pierres sèches dans fosse	vue verticale, fin de fouille		à géoréférencer	4/10/2015	Equipe de fouille
41	F716	DSCN3593	four en pierres sèches dans fosse	vue verticale, fin de fouille		à géoréférencer	4/10/2015	Equipe de fouille
41	F716	DSCN3600	four en pierres sèches dans fosse	vue verticale, fin de fouille		à géoréférencer	4/10/2015	Equipe de fouille
41	F716	IMG_5416	four en pierres sèches dans fosse	vue générale	sud-est		3/25/2015	Equipe de fouille
41	F716	IMG_5417	four en pierres sèches dans fosse	vue générale	sud		3/25/2015	Equipe de fouille
41	F716	IMG_5418	four en pierres sèches dans fosse	vue générale	est-nord-est		3/25/2015	Equipe de fouille
41	F716	IMG_5419	four en pierres sèches dans fosse	vue générale	nord-ouest		3/25/2015	Equipe de fouille
41	F716	IMG_5420	four en pierres sèches dans fosse	vue générale	nord-ouest		3/25/2015	Equipe de fouille
41	F716	IMG_5421	four en pierres sèches dans fosse	vue générale	sud-ouest		3/25/2015	Equipe de fouille
41	F716	IMG_5422	four en pierres sèches dans fosse	vue générale	sud-ouest		3/25/2015	Equipe de fouille
41	F716	IMG_5423	four en pierres sèches dans fosse	vue générale	sud-est		3/25/2015	Equipe de fouille
41	F716	IMG_5424	four en pierres sèches dans fosse	vue verticale après nettoyage			3/25/2015	Equipe de fouille
41	F716	IMG_5425	four en pierres sèches dans fosse	vue verticale après nettoyage			3/25/2015	Equipe de fouille

41	F716	IMG_5426	four en pierres sèches dans fosse	vue verticale après nettoyage		3/25/2015	Equipe de fouille
41	F716	IMG_5428	four en pierres sèches dans fosse	vue verticale après nettoyage		3/25/2015	Equipe de fouille
41	F716	IMG_5430	four en pierres sèches dans fosse	vue verticale après nettoyage	à géoréférencer	3/25/2015	Equipe de fouille
41	F716	IMG_5431	four en pierres sèches dans fosse	vue verticale après nettoyage	à géoréférencer	3/25/2015	Equipe de fouille
41	F716	IMG_5432	four en pierres sèches dans fosse	vue verticale après nettoyage	à géoréférencer	3/25/2015	Equipe de fouille
41	F716	IMG_5433	four en pierres sèches dans fosse	en cours de fouille		3/27/2015	Equipe de fouille
41	F716	IMG_5434	four en pierres sèches dans fosse	en cours de fouille		3/27/2015	Equipe de fouille
41	F716	IMG_5435	four en pierres sèches dans fosse	en cours de fouille		3/27/2015	Equipe de fouille
41	F716	IMG_5436	four en pierres sèches dans fosse	vue générale, coupe partielle	nord	3/27/2015	Equipe de fouille
41	F716	IMG_5437	four en pierres sèches dans fosse	vue générale, coupe partielle	nord	3/27/2015	Equipe de fouille
41	F716	IMG_5438	four en pierres sèches dans fosse	vue générale, coupe partielle	nord-est	3/27/2015	Equipe de fouille
41	F716	IMG_5455	four en pierres sèches dans fosse	vue verticale, avec bermes	à géoréférencer	4/1/2015	Equipe de fouille
41	F716	IMG_5456	four en pierres sèches dans fosse	vue verticale, avec bermes	à géoréférencer	4/1/2015	Equipe de fouille
41	F716	IMG_5457	four en pierres sèches dans fosse	vue verticale, avec bermes	à géoréférencer	4/1/2015	Equipe de fouille
41	F716	IMG_5458	four en pierres sèches dans fosse	vue verticale, avec bermes	à géoréférencer	4/1/2015	Equipe de fouille
41	F716	IMG_5459	four en pierres sèches dans fosse	vue verticale, avec bermes	à géoréférencer	4/1/2015	Equipe de fouille
41	F716	IMG_5461	four en pierres sèches dans fosse	coupe C-D	est	4/1/2015	Equipe de fouille
41	F716	IMG_5462	four en pierres sèches dans fosse	détail creusement fosse		4/1/2015	Equipe de fouille
41	F716	IMG_5463	four en pierres sèches dans fosse	coupe interne four avec rubéfaction des bords		4/1/2015	Equipe de fouille
41	F716	IMG_5464	four en pierres sèches dans fosse	vue des coupes liaison four et bord fosse		4/1/2015	Equipe de fouille
41	F716	IMG_5465	four en pierres sèches dans fosse	vue des coupes liaison four et bord fosse		4/1/2015	Equipe de fouille
41	F716	IMG_5466	four en pierres sèches dans fosse	coupe C-D	est	4/2/2015	Equipe de fouille
41	F716	IMG_5467	four en pierres sèches dans fosse	coupe C-D	est	4/2/2015	Equipe de fouille
41	F716	IMG_5468	four en pierres sèches dans fosse	coupe C-D	est	4/2/2015	Equipe de fouille
41	F716	IMG_5469	four en pierres sèches dans fosse	coupe C-D	est	4/2/2015	Equipe de fouille
41	F716	IMG_5470	four en pierres sèches dans fosse	coupe C-D	sud-est	4/2/2015	Equipe de fouille
41	F716	IMG_5471	four en pierres sèches dans fosse	détail creusement fosse et bord externe four		4/2/2015	Equipe de fouille
41	F716	IMG_5472	four en pierres sèches dans fosse	vue verticale liaison fosse et four		4/2/2015	Equipe de fouille
41	F716	IMG_5473	four en pierres sèches dans fosse	vue générale four et fosse	sud-est	4/2/2015	Equipe de fouille
41	F716	IMG_5474	four en pierres sèches dans fosse	vue générale four et fosse	sud-est	4/2/2015	Equipe de fouille
41	F716	IMG_5475	four en pierres sèches dans fosse	vue parement interne four	est	4/2/2015	Equipe de fouille
41	F716	IMG_5476	four en pierres sèches dans fosse	vue parement interne four	est	4/2/2015	Equipe de fouille
41	F716	IMG_5477	four en pierres sèches dans fosse	vue générale parement interne four	est	4/2/2015	Equipe de fouille
41	F716	IMG_5478	four en pierres sèches dans fosse	vue générale parement interne four	est	4/2/2015	Equipe de fouille
41	F716	IMG_5479	four en pierres sèches dans fosse	vue générale parement interne four	est	4/2/2015	Equipe de fouille
41	F716	IMG_5480	four en pierres sèches dans fosse	vue détail parement interne four	est	4/2/2015	Equipe de fouille
41	F716	IMG_5481	four en pierres sèches dans fosse	vue détail parement interne four	est	4/2/2015	Equipe de fouille

41	F716	IMG_5482	four en pierres sèches dans fosse	vue détail parement interne four	est	4/2/2015	Equipe de fouille
41	F716	IMG_5483	four en pierres sèches dans fosse	vue détail parement interne four et coupe extrémité nord fosse	est	4/2/2015	Equipe de fouille
41	F716	IMG_5484	four en pierres sèches dans fosse	vue générale	nord	4/2/2015	Equipe de fouille
41	F716	IMG_5485	four en pierres sèches dans fosse	vue verticale moitié sud		4/2/2015	Equipe de fouille
41	F716	IMG_5486	four en pierres sèches dans fosse	vue verticale moitié nord		4/2/2015	Equipe de fouille
41	F716	IMG_5487	four en pierres sèches dans fosse	vue générale	sud	4/2/2015	Equipe de fouille
41	F716	IMG_5488	four en pierres sèches dans fosse	vue détail coupe extrémité nord	sud	4/2/2015	Equipe de fouille
41	F716	IMG_5489	four en pierres sèches dans fosse	coupe E-F	sud	4/2/2015	Equipe de fouille
41	F716	IMG_5490	four en pierres sèches dans fosse	coupe E-F	sud	4/2/2015	Equipe de fouille
41	F716	IMG_5491	four en pierres sèches dans fosse	partie nord (coupes)	sud	4/2/2015	Equipe de fouille
41	F716	IMG_5492	four en pierres sèches dans fosse	partie nord (coupes)	sud	4/2/2015	Equipe de fouille
41	F716	IMG_5493	four en pierres sèches dans fosse	coupe E-F	sud	4/2/2015	Equipe de fouille
41	F716	IMG_5494	four en pierres sèches dans fosse	coupe partielle partie nord	sud	4/2/2015	Equipe de fouille
41	F716	IMG_5495	four en pierres sèches dans fosse	parement externe four	sud-sud-ouest	4/2/2015	Equipe de fouille
41	F716	IMG_5496	four en pierres sèches dans fosse	partie nord	sud-sud-ouest	4/2/2015	Equipe de fouille
41	F716	IMG_5497	four en pierres sèches dans fosse	partie nord (fosses et parement)	nord	4/2/2015	Equipe de fouille
41	F716	IMG_5523	four en pierres sèches dans fosse	coupe C-D	est	4/2/2015	Equipe de fouille
41	F716	IMG_5524	four en pierres sèches dans fosse	vue large coupe C-D	est	4/2/2015	Equipe de fouille
41	F716	IMG_5525	four en pierres sèches dans fosse	vue large coupe C-D	est	4/2/2015	Equipe de fouille
41	F716	IMG_5526	four en pierres sèches dans fosse	vue large coupe C-D	est	4/2/2015	Equipe de fouille
41	F716	IMG_5527	four en pierres sèches dans fosse	vue large coupe C-D	est	4/2/2015	Equipe de fouille
41	F716	IMG_5528	four en pierres sèches dans fosse	vue large coupe C-D	est	4/2/2015	Equipe de fouille
41	F716	IMG_5529	four en pierres sèches dans fosse	vue large coupe C-D	est	4/2/2015	Equipe de fouille
41	F716	IMG_5530	four en pierres sèches dans fosse	vue large coupe C-D	est	4/2/2015	Equipe de fouille
41	F716	IMG_5531	four en pierres sèches dans fosse	vue verticale partie sud		4/2/2015	Equipe de fouille
41	F716	IMG_5532	four en pierres sèches dans fosse	détail parement externe four		4/2/2015	Equipe de fouille
41	F716	IMG_5533	four en pierres sèches dans fosse	détail parement externe four		4/2/2015	Equipe de fouille
41	F716	DSCN3383	en cours de fouille par Anne			3/26/2015	Equipe de fouille
41	F716	DSCN3384	en cours de fouille par Anne			3/26/2015	Equipe de fouille
41	F716	DSCN3385	en cours de fouille par Anne			3/26/2015	Equipe de fouille
41	F716	DSCN3386	en cours de fouille par Anne			3/26/2015	Equipe de fouille
41	F716	DSCN3395	Aneta près du four			3/26/2015	Equipe de fouille
41	F716	DSCN3645	Anne en train de dessiner			4/16/2015	Equipe de fouille
57	F839	DSCN3510	foyer à pierres chauffées après nettoyage	vue verticale	à géoréférencer	4/8/2015	Equipe de fouille
57	F839	DSCN3511	foyer à pierres chauffées après nettoyage	vue verticale	à géoréférencer	4/8/2015	Equipe de fouille
57	F839	DSCN3512	foyer à pierres chauffées après nettoyage	vue verticale	à géoréférencer	4/8/2015	Equipe de fouille
57	F389	DSCN3516	foyer à pierres chauffées fouillé à moitié	vue verticale	à géoréférencer	4/8/2015	Equipe de fouille



57	F389	DSCN3517	foyer à pierres chauffées fouillé à moitié	vue verticale		à géoréférencer	4/8/2015	Equipe de fouille
57	F359	DSCN3518	foyer à pierres chauffées fouillé à moitié	vue verticale		à géoréférencer	4/8/2015	Equipe de fouille
57	F869	DSCN3543	foyer à pierres chauffées	coupe			4/9/2015	Equipe de fouille
57	F869	DSCN3544	foyer à pierres chauffées à moitié fouillé	vue verticale		à géoréférencer	4/9/2015	Equipe de fouille
57	F839	DSCN3546	foyer à pierres chauffées à moitié fouillé	vue générale et coupe	nord		4/9/2015	Equipe de fouille
57	F839	DSCN3547	foyer à pierres chauffées à moitié fouillé	vue verticale		à géoréférencer	4/9/2015	Equipe de fouille
57	F839	DSCN3549	foyer à pierres chauffées à moitié fouillé	vue verticale		à géoréférencer	4/9/2015	Equipe de fouille
57	F839	DSCN3550	foyer à pierres chauffées	coupe	nord		4/9/2015	Equipe de fouille
57	F839	DSCN3551	foyer à pierres chauffées	vue de détail de la coupe	nord		4/9/2015	Equipe de fouille
57	F839	DSCN3552	foyer à pierres chauffées à moitié fouillé	vue verticale		à géoréférencer	4/9/2015	Equipe de fouille
57	F839	DSCN3553	foyer à pierres chauffées à moitié fouillé	vue verticale		à géoréférencer	4/9/2015	Equipe de fouille
57	F853	IMG_5442	fossé	coupe	est		4/1/2015	Equipe de fouille
57	F853	IMG_5443	fossé	coupe	est		4/1/2015	Equipe de fouille
57	F853	IMG_5445	fossé	coupe	est		4/1/2015	Equipe de fouille
59	F871	DSCN3503	foyer après nettoyage	vue verticale		à géoréférencer	4/8/2015	Equipe de fouille
59	F871	DSCN3504	foyer après nettoyage	vue verticale		à géoréférencer	4/8/2015	Equipe de fouille
59	F869	DSCN3506	foyer circulaire à pierres chauffées après nettoyage	vue verticale		à géoréférencer	4/8/2015	Equipe de fouille
59	F869	DSCN3507	foyer circulaire à pierres chauffées après nettoyage	vue verticale		à géoréférencer	4/8/2015	Equipe de fouille
59	F869	DSCN3508	foyer circulaire à pierres chauffées après nettoyage	vue verticale		à géoréférencer	4/8/2015	Equipe de fouille
59	F871	DSCN3521	foyer	coupe	nord		4/8/2015	Equipe de fouille
59	F871	DSCN3522	foyer fouillé à moitié	vue verticale		à géoréférencer	4/8/2015	Equipe de fouille
59	F871	DSCN3523	foyer fouillé à moitié	vue verticale			4/8/2015	Equipe de fouille
59	F871	DSCN3541	foyer	coupe	nord		4/9/2015	Equipe de fouille
59	F890	IMG_5447	fossé	coupe	nord-est		4/1/2015	Equipe de fouille
59	F890	IMG_5448	fossé	coupe	nord-est		4/1/2015	Equipe de fouille
59	F890	IMG_5449	fossé	coupe	nord-est		4/1/2015	Equipe de fouille
59	F891	IMG_5450	fossé	coupe	nord-est		4/1/2015	Equipe de fouille
59	F891	IMG_5451	fossé	coupe	nord-est		4/1/2015	Equipe de fouille
59	F891	IMG_5454	fossé	coupe	nord-est		4/1/2015	Equipe de fouille
60	F884	DSCN3498	foyer à pierres chauffées après nettoyage	vue verticale		à géoréférencer	4/8/2015	Equipe de fouille
60	F884	DSCN3500	foyer à pierres chauffées après nettoyage	vue verticale		à géoréférencer	4/8/2015	Equipe de fouille
60	F884	DSCN3501	foyer à pierres chauffées après nettoyage	vue verticale		à géoréférencer	4/8/2015	Equipe de fouille
60	F884	DSCN3536	foyer à pierres chauffées	coupe	nord-est		4/9/2015	Equipe de fouille
60	F884	DSCN3537	foyer à pierres chauffées	coupe	nord-est		4/9/2015	Equipe de fouille
60	F884	DSCN3538	foyer à pierres chauffées	coupe	nord-est		4/9/2015	Equipe de fouille
63	F910-911	DSCN3533	four ou foyer à pierres chauffées après nettoyage	vue verticale		à géoréférencer	4/9/2015	Equipe de fouille
63	F910-911	DSCN3535	four ou foyer à pierres chauffées après nettoyage	vue verticale		à géoréférencer	4/9/2015	Equipe de fouille
63	F910	DSCN3555	four ou foyer à pierres chauffées en cours de fouille	vue générale	sud-ouest		4/9/2015	Equipe de fouille
63	F910	DSCN3556	four ou foyer à pierres chauffées en cours de fouille	vue générale	sud-ouest		4/9/2015	Equipe de fouille
63	F910	DSCN3557	four ou foyer à pierres chauffées en cours de fouille	vue générale	sud-ouest		4/9/2015	Equipe de fouille
63	F910	DSCN3558	four ou foyer à pierres chauffées en cours de fouille	vue générale	sud		4/9/2015	Equipe de fouille
63	F910	DSCN3559	four ou foyer à pierres chauffées à moitié fouillé	coupe	sud-ouest		4/9/2015	Equipe de fouille
63	F910	DSCN3560	four ou foyer à pierres chauffées à moitié fouillé	coupe	sud-ouest		4/9/2015	Equipe de fouille
63	F910	DSCN3563	four ou foyer à pierres chauffées à moitié fouillé	vue verticale		à géoréférencer	4/10/2015	Equipe de fouille

63	F910	DSCN3564	four ou foyer à pierres chauffées à moitié fouillé	vue verticale		à géoréférencer	4/10/2015	Equipe de fouille
63	F910	DSCN3565	four ou foyer à pierres chauffées à moitié fouillé	vue verticale		à géoréférencer	4/10/2015	Equipe de fouille
63	F910	DSCN3566	four ou foyer à pierres chauffées à moitié fouillé	vue générale		sud-est	4/10/2015	Equipe de fouille
63	F910	DSCN3567	four ou foyer à pierres chauffées à moitié fouillé	vue de détail sur parties rubéfiées			4/10/2015	Equipe de fouille
66	F933-935	DSCN3470	fossé et tranchée avec câble	coupe		sud	4/2/2015	Equipe de fouille
66	F933-935	DSCN3472	fossé et tranchée avec câble	coupe		sud	4/2/2015	Equipe de fouille
66	F936	DSCN3474	fossé	coupe		sud	4/2/2015	Equipe de fouille
66	F949	DSCN3476	céramique gallo-romaine dans fossé				4/2/2015	Equipe de fouille
66	F949	DSCN3477	céramique gallo-romaine dans fossé				4/2/2015	Equipe de fouille
66	F971	DSCN3479	fossé	coupe		est	4/2/2015	Equipe de fouille
66	F972	DSCN3481	fossé	coupe		est	4/2/2015	Equipe de fouille
66	F972	DSCN3482	fossé	coupe		est	4/2/2015	Equipe de fouille
66	F972	DSCN3483	fossé	coupe		est	4/2/2015	Equipe de fouille
66	F941	DSCN3615	fossé	coupe		est	4/13/2015	Equipe de fouille
66	F941	DSCN3616	fossé	coupe		est	4/13/2015	Equipe de fouille
66	F941	DSCN3617	fossé	coupe		est	4/13/2015	Equipe de fouille
66	F941	DSCN3618	fossé	coupe		est	4/13/2015	Equipe de fouille
66	F941	DSCN3619	fossé	coupe		est	4/13/2015	Equipe de fouille
70	F989	DSCN3601	TP avec pierres de calage	vue verticale			4/10/2015	Equipe de fouille
70	F989	DSCN3602	TP avec pierres de calage	vue verticale			4/10/2015	Equipe de fouille
70	F989	DSCN3603	TP avec pierres de calage	vue verticale			4/10/2015	Equipe de fouille
70	F990	IMG_5535	fosse	coupe dans berme		sud	4/8/2015	Equipe de fouille
70	F990	IMG_5536	fosse	coupe dans berme		sud	4/8/2015	Equipe de fouille
70	F990	IMG_5537	fosse	coupe dans berme		sud	4/8/2015	Equipe de fouille
70	F990	IMG_5538	fosse	coupe dans berme		sud	4/8/2015	Equipe de fouille
71	F1001A-B-C	IMG_5539	fossés parallèles	coupe dans berme		est	4/9/2015	Equipe de fouille
71	F1001	IMG_5540	fossé	coupe dans berme		est	4/9/2015	Equipe de fouille
71	F1001	IMG_5541	fossé	coupe dans berme		est	4/9/2015	Equipe de fouille
71	F1001	IMG_5544	fossé	coupe dans berme		est	4/9/2015	Equipe de fouille
71	F1001	IMG_5548	fossé	coupe dans berme		est	4/9/2015	Equipe de fouille
71	F1001	IMG_5549	fossé	coupe dans berme		est	4/9/2015	Equipe de fouille
71	F1001B-C	IMG_5551	fossé	coupe dans berme		est	4/9/2015	Equipe de fouille
71	F1001B-C	IMG_5552	fossé	coupe dans berme		est	4/9/2015	Equipe de fouille
71	F1001A-B	IMG_5554	fossé	coupe dans berme		est	4/9/2015	Equipe de fouille
71	F1001A-B	IMG_5555	fossé	coupe dans berme		est	4/9/2015	Equipe de fouille
71	F1001	IMG_5556	fossé	coupe dans berme		est	4/9/2015	Equipe de fouille
71	F1001	IMG_5557	fossé	coupe dans berme		est	4/9/2015	Equipe de fouille
71	F1000	IMG_5560	fossé	coupe dans berme		est	4/9/2015	Equipe de fouille
71	F1000	IMG_5561	fossé	coupe dans berme		est	4/9/2015	Equipe de fouille
71	F1000	IMG_5562	fossé	coupe dans berme		est	4/9/2015	Equipe de fouille
71	F1000-1001	IMG_5563	fossé	coupe dans berme		est	4/9/2015	Equipe de fouille
71	F1000-1001	IMG_5564	fossé	coupe dans berme		est	4/9/2015	Equipe de fouille
71	F999	IMG_5566	TP quadrangulaire	coupe		nord	4/9/2015	Equipe de fouille
71	F999	IMG_5567	TP quadrangulaire	coupe		nord	4/9/2015	Equipe de fouille
71	F999	IMG_5568	TP quadrangulaire	coupe		nord	4/9/2015	Equipe de fouille
71	F999	IMG_5569	TP quadrangulaire à moitié fouillé	vue verticale			4/9/2015	Equipe de fouille
71	F999	IMG_5570	TP quadrangulaire à moitié fouillé	vue verticale			4/9/2015	Equipe de fouille
77	F1020	DSCN3569	fosse fouillée au quart	vue générale		ouest	4/10/2015	Equipe de fouille
77	F1020	DSCN3570	fosse	vue coupe nord-sud		ouest	4/10/2015	Equipe de fouille
77	F1020	DSCN3571	fosse fouillée au quart	vue générale		sud-ouest	4/10/2015	Equipe de fouille
77	F1018	IMG_5571	fosse avec casque allemand et bloc roulé	coupe		est	4/9/2015	Equipe de fouille

77	F1018	IMG_5572	fosse avec casque allemand et bloc roulé	coupe	est	4/9/2015	Equipe de fouille	
77	F1018	IMG_5573	fosse avec casque allemand et bloc roulé	coupe	est	4/9/2015	Equipe de fouille	
77	F1018	IMG_5574	fosse avec casque allemand et bloc roulé	coupe	est	4/9/2015	Equipe de fouille	
77	F1018	DSCN3573	fosse avec casque allemand et bloc roulé	vue verticale		à géoréférencer	4/10/2015	Equipe de fouille
77	F1018	DSCN3574	fosse avec casque allemand et bloc roulé	vue verticale		à géoréférencer	4/10/2015	Equipe de fouille
77	F1018	DSCN3575	fosse avec casque allemand et bloc roulé	vue verticale		à géoréférencer	4/10/2015	Equipe de fouille
77	F1018	DSCN3576	fosse avec casque allemand et bloc roulé	vue verticale		à géoréférencer	4/10/2015	Equipe de fouille
77	F1018	DSCN3577	fosse avec casque allemand et bloc roulé	vue verticale		à géoréférencer	4/10/2015	Equipe de fouille
77	F1018	DSCN3578	fosse avec casque allemand et bloc roulé	vue verticale		à géoréférencer	4/10/2015	Equipe de fouille
77	F1018	DSCN3579	fosse avec casque allemand et bloc roulé	vue verticale		à géoréférencer	4/10/2015	Equipe de fouille
77	F1018	DSCN3580	fosse avec casque allemand et bloc roulé	coupe	est		4/10/2015	Equipe de fouille
77	F1018	DSCN3581	fosse avec casque allemand et bloc roulé	vue verticale détail casque et bloc			4/10/2015	Equipe de fouille
77	F1018	DSCN3582	fosse avec casque allemand et bloc roulé	vue verticale détail casque et bloc			4/10/2015	Equipe de fouille
77	F1018	DSCN3583	fosse avec casque allemand et bloc roulé	vue verticale détail casque et bloc			4/10/2015	Equipe de fouille
77	F1018	DSCN3584	fosse avec casque allemand et bloc roulé	vue verticale détail bloc et restes de cuir			4/10/2015	Equipe de fouille
77	F1018	DSCN3585	fosse avec casque allemand et bloc roulé	vue verticale détail restes de cuir			4/10/2015	Equipe de fouille
78	F1042	DSCN3605	TP à moitié fouillé	vue verticale			4/13/2015	Equipe de fouille
78	F1042	DSCN3606	TP à moitié fouillé	vue verticale			4/13/2015	Equipe de fouille
78	F1042	DSCN3607	TP	coupe	ouest		4/13/2015	Equipe de fouille
78	F1043	DSCN3609	TP à moitié fouillé	TP à moitié fouillé			4/13/2015	Equipe de fouille
78	F1043	DSCN3610	TP	coupe	ouest		4/13/2015	Equipe de fouille
78	F1044	DSCN3612	TP à moitié fouillé	vue verticale			4/13/2015	Equipe de fouille
78	F1044	DSCN3613	TP	coupe	ouest		4/13/2015	Equipe de fouille
			Photo aérienne diag Lavallot					Copyright BMa & Panoramic
		DSCN2810	démineurs avec grenade				3/4/2015	Equipe de fouille
		DSCN2811	démineur avec grenade				3/4/2015	Equipe de fouille
		DSCN2839	démineurs en action				3/6/2015	Equipe de fouille
		DSCN2840	démineurs en action				3/6/2015	Equipe de fouille
		DSCN2841	démineurs en action				3/6/2015	Equipe de fouille
		DSCN2842	dépôt de grenades WW2				3/6/2015	Equipe de fouille
		DSCN2843	dépôt de grenades WW2				3/6/2015	Equipe de fouille
		DSCN2847	démineurs en action				3/6/2015	Equipe de fouille
		DSCN2851	cratère après explosion des grenades				3/6/2015	Equipe de fouille



#### **Chronologie**

Néolithique ancien et moyen, Chalcolithique, Protohistoire, Age du Bronze ancien, Premier et deuxième âge du Fer, Antiquité romaine, Haut-Empire, Haut Moyen Age, Bas Moyen Age, Temps modernes, Epoque contemporaine

#### **Sujets et thèmes**

Structure funéraire, Habitat rural, Bâtiment agricole, Structure agraire, Foyer, Fosse, Fossé, Sépulture, Parcellaire

#### **Mobilier**

Lithique, Céramique, Faune, Flore, Outil

Le diagnostic réalisé à l'emplacement de la ZAC nord de Lavallot à Guipavas a permis de mettre en évidence plusieurs sites et indices de sites archéologiques. Cette occupation humaine débute dès le Néolithique ancien avec les premiers agriculteurs ; elle ne s'est pas faite de façon continue et il existe de longues phases de déprise où la zone a été délaissée ou du moins ne se trouvait plus au cœur des activités humaines. Certaines des traces mises en évidence sont bien imprimées dans le paysage tandis que d'autres sont plus fugaces. Ces installations humaines prennent place le plus souvent sur des points hauts du paysage.

Le Néolithique ancien et moyen est représenté à travers plusieurs structures de combustion, petits foyers à pierres chauffées de forme circulaire ou ovale. Une occupation campaniforme a été reconnue à travers la présence de quelques fosses sur une colline à Prat Mellec. Seuls quelques maigres indices signent un passage des hommes durant la Protohistoire récente. La période gallo-romaine est bien identifiée avec deux urnes funéraires et une ferme implantées en bordure de voie ainsi qu'une occupation gallo-romaine se développant de part et d'autre d'une carrière de granite. Durant le haut Moyen Age, un cimetière et un habitat des VII<sup>e</sup>-VIII<sup>e</sup> siècles sont implantés à environ 200 m l'un de l'autre. Aux XIII<sup>e</sup> et XIV<sup>e</sup> siècles, c'est encore à Prat Mellec que s'est installée une occupation domestique insérée dans une enceinte de forme trapézoïdale. Par la suite, aux Périodes Moderne et Contemporaine, le secteur fera l'objet d'une exploitation agricole sans grande modification du parcellaire jusque dans les années 1950. Enfin, la Seconde Guerre Mondiale a laissé ses stigmates dans l'emprise.

#### **Inrap Grand Ouest**

37 rue du Bignon CS 67737  
35 577 Cesson-Sévigné  
Tél. 02 23 36 00 40 [grand-ouest@inrap.fr](mailto:grand-ouest@inrap.fr)

[www.inrap.fr](http://www.inrap.fr)